

Corent

Veyre-Monton (63)

Fouille pluriannuelle 2014-2016
Rapport Final d'Opération

Matthieu POUX (dir.)
Pierre-Yves MILCENT (dir.)
Audrey PRANYIES (dir.)

| | |
|-------------------|-------------------|
| Sylvain MADER | Rachel PHILIBEAUX |
| Romain LAURANSON | Romain SIVIGNON |
| Aurélie COURTOT | Matthieu SONN |
| Nicolas DUBREU | Arthur TRAMON |
| Claire BROSSARD | Florian COUDERC |
| Audrey CHORIN | Cindy LAVAIL |
| Maximilien EVRARD | Pauline VALFORT |
| Florine FREYCON | Matthieu DEMIERRE |
| Magali GARCIA | Aurélie CRAUSAZ |
| Caroline HEMARD | Hélène DUCHAMP |
| Morgan MILLET | Katherine GRUEL |
| Charline ROUSSEL | Antoine MEIRAUD |

II – Études spécialisées, annexes



PUY-DE-DÔME
CONSEIL GENERAL



Avertissement

Les rapports de fouille constituent des documents administratifs communicables au public dès leur remise au Service Régional de l'Archéologie, suivant les prescriptions de la loi n° 78-753 du 17 juillet modifié relative à l'amélioration des relations entre l'administration et le public. Aux termes de la circulaire du 26 mars 1993, ils pourront être consultés ; les agents des Services régionaux de l'archéologie rappelleront à tout demandeur les droits de propriété littéraires et artistiques possédés par les auteurs et les contraintes qui en résultent pour tout consultant. Les prises de notes et les photocopies sont utilisées pour un usage exclusivement privé et non destiné à une utilisation collective (article L122-5 du code de la propriété intellectuelle). Toute reproduction du texte accompagnée ou non de photographies, cartes ou schémas, n'est possible que dans le cadre du droit de courte utilisation, avec les références exactes et complètes de l'auteur et de l'ouvrage. Par ailleurs, l'exercice du droit à la communication exclut, pour ses bénéficiaires ou pour les tiers, la possibilité de reproduire, de diffuser ou d'utiliser à des fins commerciales les documents communiqués (Loi n°78-753 du 17 juillet, art. 10) Le non respect de ces règles constitue un délit de contrefaçon puni par l'article 425 du code pénal.

Générique de l'opération (2014-2016)

Lieu-dit : Puy de Covent

Communes : CORENT

Localisation des fouilles : parcelles ZI 22, ZI 58, ZI 361 (Veyre-Monton)

Coordonnées Lambert : X=666,400 ; Y=2074,175

Propriétaires des parcelles : Commune de Veyre-Monton (ZA 58, campagnes 2014-2016), Stéphane SERRE (ZA 28-361, campagnes 2014-2016), Anick SAUVANET (ZI 22, campagne 2016).

Financement

Ministère de la Culture et de la Communication - DRAC Auvergne-Rhône-Alpes - SRA

Conseil Général du Puy-de-Dôme

Communauté de Communes Gergovie - Val d'Allier

Intervenants terrain

Responsable d'opération, titulaire de l'autorisation de fouille :

Matthieu POUX (Université Lumière Lyon 2, ArAr Archéologie et Archéométrie, UMR 5138-MOM)

Co-responsables :

Pierre-Yves MILCENT (âge du Bronze, Université Toulouse Jean Jaurès, UMR 5608 TRACES)

Audrey PRANYIES (époque laténienne, Archeodunum SA)

Adjoints :

Nicolas DUBREU, Morgan MILLET (2014), Romain LAURANSON (2015), Aurélie COURTAUD (2016), Arthur TRAMON (2014-2015), Sylvain MADER, Florian COUDERC (2016).

Responsables de secteur :

Époques laténienne et romaine : Claire BROSSARD (2014), Aurélie CRAUSAZ (2014), Nicolas DUBREU (2014-2015), Audrey CHORIN (2015), Maximilien EVRARD (2015), Florine FREYCON (2016), Magali GARCIA (2014), Caroline HEMARD (2015), Rachel PHILIBEAUX (2015-2016), Rémi RANOUIL (2016), Matthieu SONN (2016), Pauline VALFORT (2014)

Âge du Bronze : Sylvain MADER (2015), Romain SIVIGNON (2016), Kevin PARACHAUD (2016).

Mobilier et logistique : Hélène DUCHAMP (responsable base et gestion des mobiliers), Nicolas DUBREU, Romain LAURANSON, Aurélie CRAUSAZ, Matthieu DEMIERRE, Marine MONESTIER (enregistrement, intendance)

Décapage : pelle 20 tonnes : 4 jours (Ludovic LONGEON, TAP 63)

Vérification des déblais (détecteurs à métaux) : Mickaël et Sacha CIESIELSKI

Clichés au drone : Bernard.-Noël CHAGNY (Kap-Archéo)

Relevés topographiques : Guilhem TURGIS (2014-2016), Arthur TRAMON (2014-2016), Romain LAURANSON (2015), Sylvain MADER (2015-2016), Romain SIVIGNON (2016), Florian COUDERC (2016),

Intervenants post-fouille

DAO : responsables et adjoints, Cindy LAVAIL.

Études spécialisées

Céramique : Romain LAURANSON, Stella DUFAUD, Audrey CHORIN (La Tène, époque romaine), Antoine MEIRAUD, Pierre-Yves MILCENT (âge du Bronze).

Amphores : Hélène DUCHAMP.

Mobilier métallique : Aurélie CRAUSAZ, Matthieu DEMIERRE (La Tène, époque romaine), Cindy LAVAIL (âge du Bronze).

Mobilier en verre : Hélène DUCHAMP (parures), Aline COLOMBIER (vaisselle)

Numismatique : Katherine GRUEL (monnaies gauloises), Nicolas DUBREU (monnaies romaines)

Faune : Sylvain FOUCRAS (La Tène), Maximilien EVRARD (époque romaine).

Enduits peints : Charline ROUSSEL.

Mobilier lithique : Sylvain MADER, Romain SIVIGNON (âge du Bronze), Pierre CONSTANT (La Tène).

Carpologie : Laurie FLOTTES.

Typologie sédimentaire : Sylvain MADER, Guillaume SAINT-SEVER.

I - ETUDES SPECIALISEES

| | |
|--|--------------|
| Mobiliers lithique de l'âge du Bronze | 7 |
| Macro-outillage lithique du Bronze moyen 2 | 7 |
| Macro-outillage lithique de l'âge du Bronze final | 8 |
| Catalogue des monnaies gauloises (2014-2015) | 27 |
| Campagne 2014 | 27 |
| Campagne 2015 | 31 |
| Campagne 2016 | 35 |
| Matériaux et techniques de construction | - 3 - |
| Principes méthodologiques | - 3 - |
| Analyse des matériaux de construction | - 5 - |
| Formes architecturales des sous-sols de Corent | 10 |
| Peintures murales | 101 |
| Méthodologie | 101 |
| Corps d'habitation V | 102 |
| Corps d'habitation W | 103 |
| Corps d'habitation Y | 114 |
| Conclusion | 127 |
| Bibliographie | 128 |
| Faune | 130 |
| Introduction | 130 |
| Structures étudiées | 130 |
| Méthodologie | 131 |
| Cave [25334] (LTD2b - Auguste) | 133 |
| Cave [24067] (I ^{er} siècle ap. J.C. – II ^e siècle ap. J.C.) | 144 |

| | |
|--|-----|
| Cave [24070] (I ^{er} siècle ap. J.C. – II ^e siècle ap. J.C.) | 148 |
| Cave [25108] (I ^{er} siècle ap. J.C. – II ^e siècle ap. J.C.) | 151 |
| Cave [24059] (II ^e siècle ap. J.C.) | 156 |
| Citernes [24145] et [25333] (II ^e s. apr. J.-C.) | 160 |
| Autres structures hydrauliques [24062 et 24405] | 165 |
| Interprétation et synthèse des résultats | 168 |
| Conclusion | 177 |
| Bibliographie | 178 |

II - ANNEXES

| | |
|---|------------|
| ANNEXE 1 - Inventaire des structures et unités de fouille (UF) | 184 |
| ANNEXE 2 - Inventaire sommaire du mobilier (2014) | 261 |
| ANNEXE 3 - Inventaire sommaire du mobilier (2015) | 273 |
| ANNEXE 4 - Inventaire sommaire du mobilier (2016) | 288 |
| ANNEXE 5 - Inventaire des petits mobiliers (2014-2016) | 293 |



I - Études spécialisées

Mobiliers lithique de l'âge du Bronze

Sylvain MADER

Macro-outillage lithique du Bronze moyen 2

Le niveau [26746] présente 48 restes lithiques, dont 45 galets et un fragment de meule en granite, étudiés par S. Mader dans le cadre de sa thèse de doctorat (université Toulouse Jean Jaurès, en cours). Parmi ces galets, 2 proviennent d'un possible calage de poteau et comportent des traces d'utilisation, et 28 proviennent d'un amas (n°1044) qui constitue probablement les restes d'un radier de foyer en galets : certains de ces derniers semblent avoir été utilisés auparavant comme outils. Enfin, l'outillage compte parmi les pièces restantes un possible aiguisoir en basalte et une boucharde en granite.

Le niveau [25832] plus vaste et mieux conservé livre 58 restes macrolithiques ; parmi ceux-ci, 15 galets dont 9 en basalte, 5 en quartz et 1 en granite. Parmi l'outillage représenté sur ce secteur, 2 outils de mouture probables, fragmentaires, sont en granite et une molette en basalte provient de la structure [25921] proche. Plusieurs outils sur galets sont également présents, dont l'un (n°334) en quartz à la surface intégralement rubéfiée, porte aux extrémités des traces de percussion ; un autre, en basalte, est interprété comme pilon. Une tablette en basalte (n°341), un petit galet sphérique et plusieurs autres galets avec traces d'utilisation complètent cet ensemble.

Cet ensemble est à majorer selon toute vraisemblance des 29 d'objets trouvés dans des niveaux remaniés ou en interface avec le niveau de La Tène [24512], parmi lesquels sur 160m² sont inventoriés 1 probable aiguisoir en granite, 1 petite enclume également en granite, 10 meules et 5 molettes en arkose, granite et épisodiquement en basalte, témoignant d'une densité remarquable en outillage, lié à la mouture mais aussi peut-être à l'artisanat, notamment du métal puisque deux fragments de poignard en alliages cuivreux sont issus pour l'un (objet n°936) de cette zone et l'autre (n°66) du secteur E voisin.

Parmi les autres éléments notables en [25932], une petite hache polie en fibrolite (Pl. 24 n°375) repose sur le sol d'occupation du Bronze moyen, en connexion avec un épandage de tessons. Contrairement à d'autres exemplaires connus, elle ne présente pas de traces de réutilisation importantes (impacts de percussion, facettes). Non loin au milieu du même épandage céramique est identifiée une petite plaquette de basalte (Pl. 24 n°241) aux formes régulières et très aplatie ; d'abord décrite comme « palette à fard » en raison de sa finesse et de sa grande régularité, elle pourrait être liée le cas échéant à des activités d'aiguisage ou de poterie. La présence de ces deux objets particuliers au sein d'un ensemble de vases écrasés suggère en tout cas une concentration de mobiliers remarquable pouvant évoquer l'espace de stockage d'un bâtiment. Il faut enfin évoquer une grande tablette de grès (n°172), manifestement cassée, provenant de l'UF [24938]. Équivalente à [25806], cette couche mal différenciée lors de la fouille comporte certains éléments dont un poignard en alliage cuivreux du Bronze moyen 2. Il n'est donc pas à exclure que certains restes lithiques de cette couche soient issus de [25832].

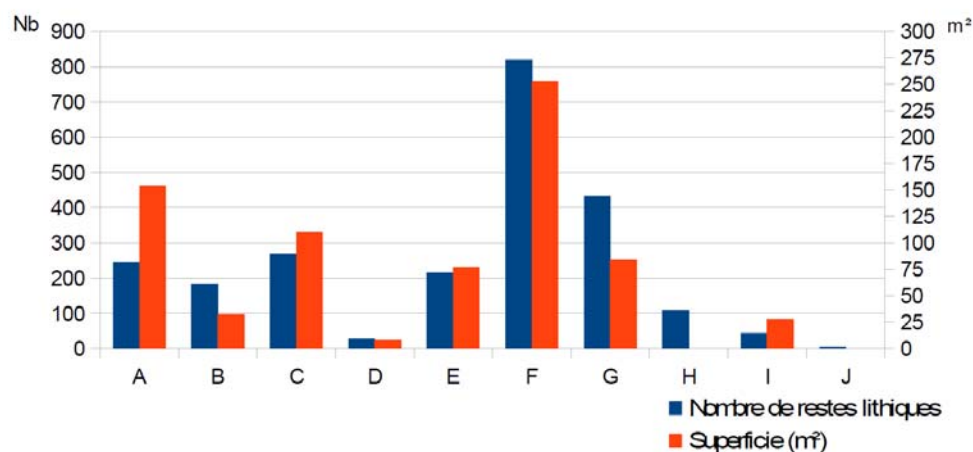
C'est donc un total de 110 objets lithiques qui constituent le corpus lithique du Bronze moyen, soit plus d'un outil ou galet par m² fouillé, à majorer selon toute vraisemblance des 29 d'objets trouvés dans des niveaux mal identifiés ou en interface avec le Bronze final ([25806] et [24512]) qu'il est plus hasardeux d'inclure strictement en raison de leur datation incertaine.

On retrouve dans ces 110 éléments 3 meules en granite et une molette en basalte témoignant des activités de mouture. Un outil évoquant l'aiguisage et plusieurs tablettes de pierre suggèrent des activités d'artisanat qu'il est encore malaisé d'identifier (entretien ou fabrication du mobilier métallique, de la céramique) ; une boucharde et au moins un outil de percussion signalent également la taille de la pierre, sans doute au sein du processus d'élaboration d'outils tels que les meules - la taille du silex restant également envisageable.

Macro-outillage lithique de l'âge du Bronze final

Sur les trois campagnes de cette triennale 2014-2016, un total de 2466 restes lithiques, représentant une masse totale de 250,794 kg, ont été collectés. Cette respectable quantité d'objets et de fragments s'explique par la superficie fouillée, mais aussi par la densité des niveaux d'occupation. La variété des éléments lithiques prélevés est importante : de nombreuses catégories d'outillages, mais également nombre de galets, utilisés ou non, issus de radiers de foyers ou présents de manière erratique sur les niveaux d'occupation.

Le ramassage systématique implique forcément la collecte de nombreux fragments de roche divers, déchets de taille et autres pierres de calage ; mais il permet, une fois la reconnaissance des outils menée à bien, de disposer d'un ensemble de mobilier à peu près complet sinon exhaustif, que seuls impacteraient les facteurs taphonomiques. On remontera ainsi, non pas à l'état fonctionnel des ensembles et des contextes d'utilisation, mais à celui de leur abandon : les outils ne sont pas forcément dans les ateliers, ni les meules à proximité des vases de stockage. Les niveaux ont parfois été remaniés, le mobilier réutilisé. Cependant, il n'est pas non plus placé uniquement en contexte de rejet, ce qui permet d'espérer des assemblages significatifs avec les structures d'habitat identifiées et les autres témoignages archéologiques que représentent la céramique et les diverses catégories d'*instrumentum* complémentaires à l'étude du mobilier lithique.



Campagne 2014-2016 : distribution du mobilier lithique et superficie des secteurs de fouille

Cette étude du mobilier macro-lithique de Corent est la première à être présentée de façon systématique et synthétique. Elle s'inscrit dans le cadre d'un doctorat débuté depuis 2016 à l'Université de Toulouse Jean Jaurès. Les outils seront d'abord classés et décrits selon leur fonction et leur mode d'utilisation. Des perspectives d'interprétation clarifient cette approche.

La mouture et le broyage (Pl. 77-78)

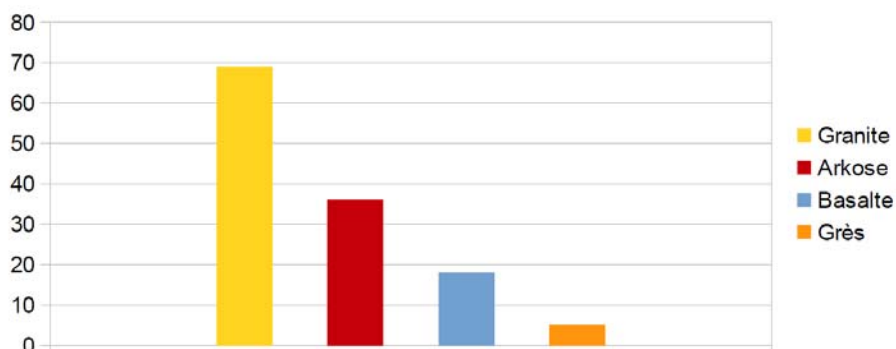
On a identifié 129 outils de mouture, complets ou fragmentaires, représentant 85,668 kg : c'est à dire que le tiers de la masse totale collectée est représentée par cette catégorie. Sur le terrain ces objets sont principalement reconnaissables par la roche dont ils sont constitués, et par leur forme dans un second temps. Le contexte est parfois mis à contribution, mais en raison de la conservation très aléatoire des niveaux, au-delà de la présence quasi-systématique de structures d'habitat et de foyers, il est néanmoins souvent plus aisé de reconnaître l'objet que la nature précise de son contexte archéologique : habitations, ateliers, espace de stockage...

Remarques typologiques

Les outils de mouture pour les niveaux de la protohistoire ancienne de Corent sont exclusivement des moulins de type va-et-vient, impliquant meule et molette. On appellera meule le support fixe sur lequel est effectué le broyage du grain, et molette l'outil mobile, généralement plus petit, qui sert à broyer le matériau (grains, etc).

Les meules sont identifiées par leur forme ovoïde, leurs dimensions (supérieures à celles de la majorité des autres outils en pierre), leur matériau (souvent une roche grenue, avec une bonne capacité d'abrasion) et une large surface d'utilisation plane ou légèrement concave (ou même en cuvette). D'autres indices viennent fréquemment confirmer cette identification : traces de façonnage (épannelage), de ravivage (piquetage) ou d'utilisation (stries). Les molettes sont en général plus petites, avec une surface d'utilisation plutôt convexe portant quelquefois stries et traces d'abrasion ; elles peuvent être de forme sphérique (écrasée) ou allongées et cylindriques. Certaines portent aux extrémités des traces de percussion ou de broyage, et peuvent occasionnellement avoir servi aussi de pilon ou de percuteurs.

La plupart du temps, ces éléments sont découverts isolément ou même brisés, en réemploi, mais il arrive parfois qu'ils soient retrouvés à peu de distance ou regroupés en un même endroit comme la meule en basalte n°904 (UF 25999-29, objet 904) du secteur i, près de laquelle un fragment de molette ou de meule en granite a été ramassé. Il faut aussi noter, en cas d'association de ces deux pièces, la différence de matériaux : un support en basalte dont les vacuoles sont assez larges pour retenir et piéger les grains même quand la cuvette est rendue lisse par le frottement de la molette, nécessitant sans doute un piquetage pour la réactiver, et une molette en roche grenue. Néanmoins, certaines molettes peuvent être en basalte ; elles ont également dans certains cas pu cumuler d'autres fonctions (pilon ou percuteur).



Campagne 2014-2016 : distribution de l'outillage de mouture par type de roche

Observations lithologiques

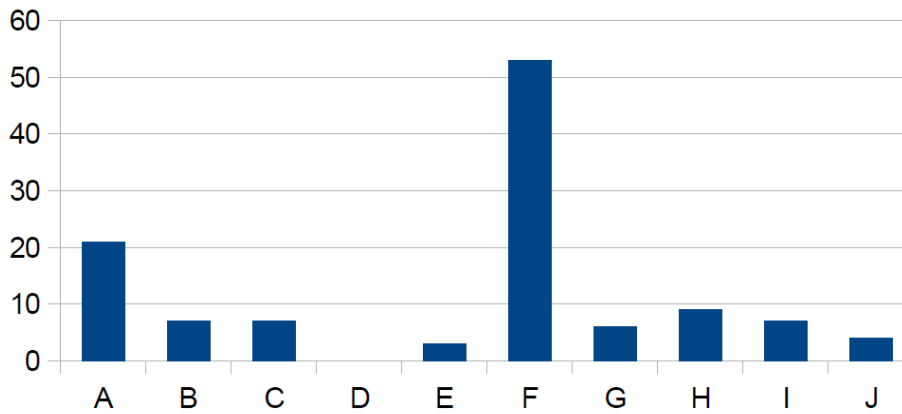
L'importance de la nature des roches est facile à démontrer : 69 de ces pièces sont en granite, 36 en arkose, 18 en basalte et 5 en grès divers. L'écrasante majorité des roches grenues témoigne du choix de matériaux aptes à broyer et écraser le grain ; le granite semble préféré à l'arkose, une meilleure cohésion et une vitesse d'usure moindre en faisant sans doute des outils de meilleure qualité, moins fragiles et plus durables tout en laissant moins de gros fragments de quartz se mêler à la farine. Le basalte quant à lui peut être présent pour sa capacité d'abrasion, dans le cas de basalte vacuolaire, piégeant les grains de céréales dans ses vacuoles, ou pour sa résistance. On pourrait également soupçonner la présence parmi ce mobilier de tables ou supports liés non à la mouture mais au broyage, pour lequel ils présenteraient des qualités optimales.

On note que 10 de ces outils de mouture (probablement des "meules dormantes") dépassent les 3 kg : 2 en arkose, 3 en basalte et 5 en granite. La plus lourde, en basalte, atteint les 7 kg, suivie d'une autre en granite à plus de 5 kg.

Observations spatiales

La répartition spatiale de ce mobilier semble relever de la qualité de conservation des niveaux. On en retrouve dans tous les secteurs de fouille, sauf le D (qui était très réduit). Le secteur F en compte à lui seul plus de 50, mais c'est un secteur très vaste, et les secteurs A et E en comptent respectivement 21 et 18 tandis que ce nombre chute logiquement en-dessous de 10 pour les autres secteurs, plus petits ou plus érodés. Néanmoins, une spatialisation plus fine nous révèle qu'en intégrant la nature des UF, on peut faire apparaître des spécificités notables : ainsi la plupart des éléments liés à la mouture pour le secteur A sont-ils issus de calages et de "fosses", donc en position secondaire de rejet ou de réemploi. Au contraire, dans le secteur F ils sont liés plus directement aux amas de tessons et aux niveaux d'occupation ; il est donc possible qu'ils y soient en position primaire d'utilisation (ou stockés dans l'espace domestique)

Il est à noter la découverte dans la fosse [26896] (une des rares structures de ce type identifiées sur le site) du secteur G, d'une table de mouture en arkose (Pl.78). Sub-complète, elle a été trouvée brisée en 7 morceaux en association avec de nombreux tessons de céramique, quelques éclats de silex et les fragments d'au moins deux percuteurs. Ses dimensions (27 x 33 x 4,5 cm) en font une possible meule ou une table de broyage ; sa surface active, en très légère cuvette, porte des traces nettes de piquetage et comporte un poli d'utilisation très important localisé exclusivement au sommet des reliefs les plus marqués. Cet outil semble donc avoir servi et même avoir été réactivé par piquetage avant d'être cassé, à peu près au moment de son abandon car les fragments sont jointifs dans le comblement supérieur de la fosse. Les fracturations sont intervenues visiblement au niveau de faiblesses de la roche, sans qu'on puisse en déduire si la cassure de l'outil est intervenue avant ou après son rejet. Malgré l'absence de molette, sa fonction de meule reste probable, quoique sa forme atypique puisse évoquer l'hypothèse assez voisine d'un support dédié au broyage, à laquelle il faudrait peut-être associer deux outils fragmentaires trouvés à proximité portant des traces de percussion.



Campagne 2014-2016 : distribution de l'outillage de mouture par secteurs de fouille

Les broyons, pilons et outils de broyage (Pl. 79)

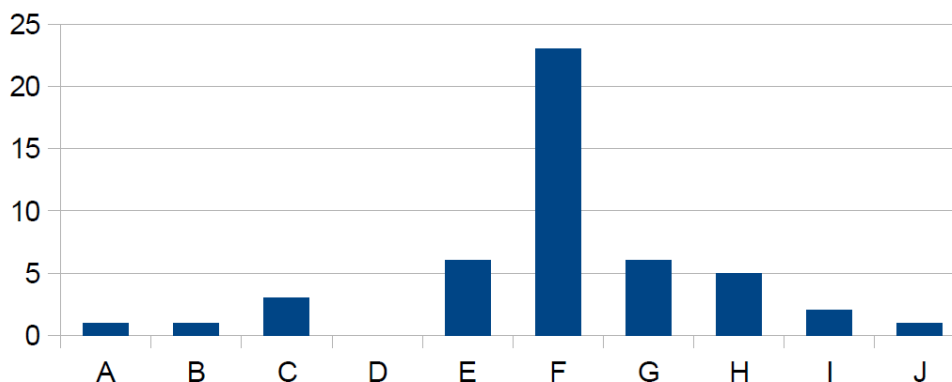
Cette catégorie concerne 49 objets, pour une masse totale de 15,580 kg. Elle rassemble les outils ou instruments portant des traces liées aux activités de broyage et d'écrasement de la matière. Plages de frottement, surface dégradée par frottement et pression mais sans traces de percussion lancée, permettent d'identifier ces outils de taille assez modeste pour permettre une bonne prise en main. Sur certains outils ayant apparemment servi longtemps, les surfaces d'utilisation sont opposées par une symétrie centrale à l'objet, indiquant qu'il a été retourné. Sur un broyon, elles peuvent donner une impression « d'enroulement » autour de l'outil, traduisant un mouvement pivotant autour du poignet de l'utilisateur ; elles seront plutôt concentrées sur une petite surface à l'extrémité des outils plus allongés qu'on pourra alors qualifier de pilon. On a ici choisi d'appeler écraseurs des outils portant ces mêmes traces mais sans organisation spatiale bien définie. De tels objets (broyons, écraseurs, pilons) peuvent avoir été impliqués dans diverses activités du contexte domestique, comme la préparation des aliments, la préparation des grains de céréales (retrait de la "cosse" à l'aide d'un broyon dans un récipient) ou le broyage de matières minérales, végétales ou même animales. Parfois rubéfiés, ils semblent avoir été affectés localement ou totalement par une chaleur vive, au niveau des foyers ou suite à d'éventuels épisodes d'incendie.

Observations lithologiques

C'est cette fois le basalte qui domine, avec 29 pièces identifiées contre 11 en granite et 7 en quartz. On privilégie donc pour ces travaux des roches compactes et résistantes aux chocs et à la pression, avec une certaine capacité d'inertie (que n'auraient pas les roches sédimentaires que sont l'arkose ou le grès, roches relativement plus légères, de même que les basaltes à vacuoles). D'un poids moyen de 331,49 g (les plus lourds atteignent néanmoins 700 à 800 g) ces outils sont de dimensions modérées (12 cm maximum pour la plus grande dimension) pour être tenus dans une main. La quasi-totalité est issue de galets.

Observations spatiales

La répartition au sein des secteurs de ces outils liés au broyage est très inégale. Le secteur F est loin en tête avec 23 éléments, pour seulement 6 dans le secteur G ou le secteur E (deux secteurs assez restreints, quoique densément occupés), et 5 pour le secteur H plus érodé mais très étendu. La comparaison avec les informations apportées par les outils de mouture évoque d'emblée un secteur F dont la richesse peut paraître plus importante que ne saurait l'expliquer sa superficie ; il pourrait donc y avoir dans ce secteur une intéressante concentration d'activités qui méritera une étude plus approfondie et plus complète.



Campagne 2014-2016 : distribution de l'outillage de broyage par secteurs de fouille

Les outils de percussion (Pl. 80)

Les outils de percussion rassemblent ici perceurs (avec traces de percussion lancée ponctuelles ou rassemblées sur les extrémités), marteaux (surface de percussion et de frottement localisée aux extrémités, et parfois convexe) et bouchardes (surfaces de percussion et frottement affrontées, convexes, formant une arête). La différenciation de ces outils, en général des galets tous porteurs d'impacts de percussion lancée et parfois posée / diffuse, a été effectuée selon la disposition de ces traces : sur une ou deux extrémités, très localisées pour les marteaux, sur une large surface périphérique à l'outil et souvent en deux surfaces jointes par une arête pour les bouchardes (Poissonnier 2002 ; Sestier, Bontemps 2003), les outils présentant ces mêmes traces réparties de manière plus diffuse étant qualifiés de perceurs sans qu'on puisse dire si leur fonction diffère des précédents.

Il s'agit ici encore presque exclusivement de galets : 17 outils dont 8 sont en basalte, 5 en quartz et 4 en granite. Les observations sont les mêmes que pour les outils de broyage concernant la lithologie, les caractéristiques exigées du matériau étant assez proches. Cependant le quartz dépasse en proportion le granite, les galets de quartz étant plus résistants à l'usage.

Observations spatiales

Ici encore le secteur F sort nettement du lot ; 11 galets y portent des traces de percussion, contre 2 pour le secteur C, également 2 pour le secteur H et 2 pour le secteur G.

Trois outils au moins parmi eux (un dans le secteur F, deux dans le secteur G) méritent le qualificatif de "boucharde" par leurs surfaces convexes, porteuses de traces de percussion et d'abrasion et s'affrontant de manière symétrique (Pl.80). Ces outils spécifiques peuvent évoquer la taille et le traitement de surface de la pierre ; on les retrouve dans les contextes archéologiques connus pour accueillir en particulier la réalisation de stèles ou de sculptures sur pierre et leur fonctionnement est déjà décrit et bien connu (Poissonnier 2002 ; Sestier, Bontemps 2003). A Corent, il peuvent avoir été impliqués dans la fabrication ou l'entretien des meules et supports de mouture ou de broyage, dont on a chaque fois des exemplaires à peu de distance et qui semblent les seuls outils en pierre préalablement taillés, mis en forme et nécessitant un entretien régulier, sinon fréquent (piquetage, ravivage, bouchardage, épannelage...).

Les aiguisoirs et outils d'abrasion (Pl. 81)

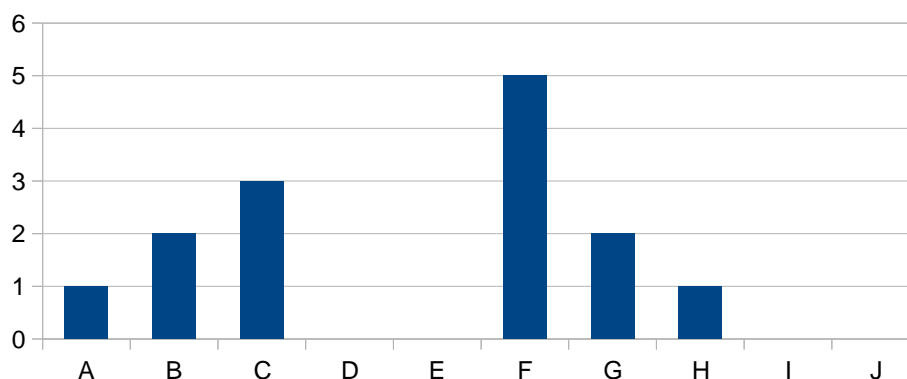
Si ces deux catégories sont réunies, c'est en raison de leur forte proximité technique, les aiguisoirs étant en général des outils d'abrasion particuliers. Néanmoins à Corent, la différenciation n'est pas évidente au premier regard et sera l'objet de recherches ultérieures ; en attendant, ces 15 objets lithiques ont fait l'objet de descriptions lithologiques et d'observations de surface. Il s'agit d'outils de formes variées, mais présentant un matériau aux capacités abrasives et comportant des traces de frottement sous forme de surfaces d'abrasion concaves ou de rainures plus marquées que les stries liées au simple frottement.

Observations lithologiques

Le basalte est majoritaire (7 exemplaires), suivi du grès (4), du granite (2) et du schiste (2) et enfin d'un outil en arkose (roche voisine du grès). Ces outils ont en commun un grain assez abrasif, et des surfaces d'usure par abrasion ; ceux dont le grain est le plus grossier semblent peu compatibles avec l'aiguisage des lames en métal dont on connaît plusieurs exemples sur le site (couteaux, poignards, épées) et qui nécessitent vraisemblablement un grain fin pour entretenir leur tranchant. Mais l'entretien de certains outils agricoles pourrait peut-être y faire appel. En revanche certains grès fins ou schisteux peuvent s'y prêter, et cela semble également possible pour certains basalte, sous réserve d'expérimentations ultérieures.

Observations spatiales

Encore une fois, le secteur F est le plus riche, mais dans une moindre mesure ; les secteurs C, B et G en sont pourvus, de même que A et H. En d'autres termes, ces outils semblent plus équitablement répartis en fonction des superficies fouillées et de la conservation des niveaux.



Campagne 2014-2016 : distribution des aiguisoirs et outils d'abrasion par secteurs de fouille

Les enclumes (Pl. 81)

On qualifiera d'enclume des outils présentant une ou plusieurs surfaces polies ou patinées, très planes, ayant pu servir au martelage des métaux. De forme plutôt parallélépipédique, elles sont également plus petites que les meules (dimensions inférieures à 20 cm) mais, rarement trouvées intactes ou complètes, on en connaît surtout des fragments. Elles présentent peu ou pas de traces de percussion mais, extrêmement fragmentaires, la plus grande partie manque et leur fonction proposée reste encore à confirmer.

Il s'agit d'une catégorie assez peu représentée (3 exemplaires, dont 2 en granite et 1 en basalte) mais à forte signification, dans un contexte à priori domestique au sein duquel peu de traces de lieux liés à l'artisanat sont aujourd'hui connues. En revanche les produits d'artisanat tels que la céramique, le textile (par les fusaïoles) ou le petit mobilier métallique abondent, laissant envisager des travaux divers au sein des habitats. Pour l'âge du Bronze, il paraît légitime de chercher ainsi à identifier des traces de l'activité métallurgique ; ordinairement, celles-ci se retrouvent dans les rares ateliers identifiés ou au sein des dépôts, funéraires ou rituels. La question des autres contextes reste donc posée.

Nous ne disposons pour y répondre, pour le moment que de ces 3 outils à la fonction encore théorique, dont la compatibilité avec les travaux du métallurgiste semble possible à défaut d'être avérée. Il convient donc d'utiliser le terme d'enclumes avec des pincettes ; des études tracéologiques et l'identification d'autres outils impliqués dans le travail des métaux seront nécessaires à la confirmation de cette hypothèse.

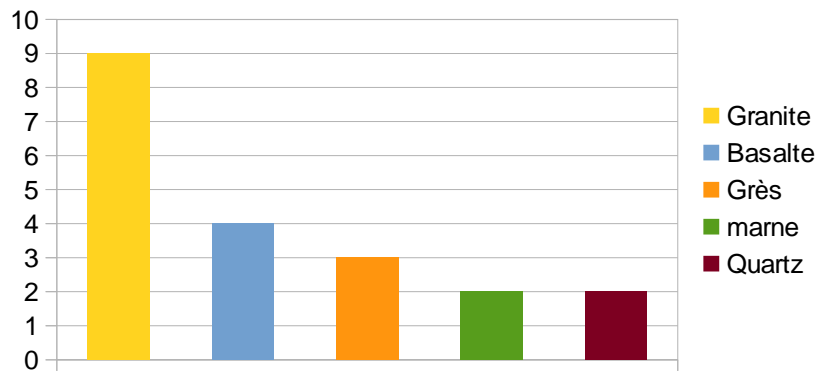
Les tablettes de travail (Pl. 82-83)

Cette catégorie d'outillage macro-lithique réunit les outils présentant généralement une forme parallélépipédique, et au moins une surface relativement plane ou polie, mais d'une épaisseur trop faible pour être qualifiées d'enclumes. Ils s'agit de 20 pièces, pour un poids de 5,166 kg.

En 2014, 3 de ces tablettes de travail ont été inventoriées. Il s'agissait de plaquettes en pierre aux dimensions réduites (une vingtaine de centimètres de côté ou moins) de section sub-rectangulaire à ovoïde, avec une face plane et soigneusement polie. Ces tablettes sont souvent trouvées cassées net, ce qui ne nous permet pas de connaître leurs dimensions maximales. Considérées comme des tables (ou supports) de travail portatives, il paraît logique de les associer à l'artisanat. Le terme d'enclume à leur encontre paraît en revanche peu adapté, en raison de leur faible épaisseur (< à 2 cm) les rendant sensibles aux chocs, et considérant l'absence de traces d'impacts de percussion (Pieters 2013). Mais si on pouvait songer, comme l'ont avancé d'autres auteurs, à l'artisanat du cuir ou des végétaux, en raison du poli très fin de ces pièces lithiques, l'hypothèse d'outils réservés à l'aiguisage de certaines lames au fil relativement fin semble être à considérer. C'est aussi envisageable pour les plus petits de ces objets, qualifiés parfois de "plaquettes" (Pl. 83).

Observations lithologiques

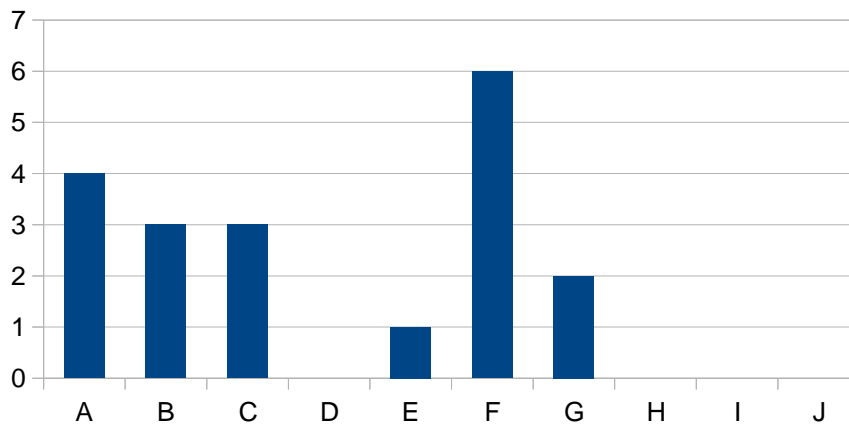
Le granite domine nettement cette catégorie, suivi du basalte et du grès. Ce n'est pas sans rappeler les caractéristiques des aiguisoirs et abraseurs. Il est alors utile de rappeler que la catégorie des tablettes repose exclusivement sur des critères de forme et de positionnement des surfaces d'utilisation supposées ; peut-être faudra-t-il à l'avenir revenir sur ce classement pour répartir ces outils d'une manière plus adaptée à leur fonction, une fois celle-ci clairement définie ou du moins mieux comprise.



Campagne 2014-2016 : distribution des tablettes en pierre par type de roche

Observations spatiales

De nouveau, on observe une distribution plus en rapport avec la superficie fouillée des secteurs.



Campagne 2014-2016 : distribution des tablettes en pierre par secteurs de fouille

Plusieurs outils remarquables sont inclus dans cette catégorie, et autorisent des hypothèses fonctionnelles. C'est ainsi le cas d'une tablette de grès cassée en 5 fragments (incomplète) provenant du secteur C (Pl. 83 n°330). Cet outil présente sur chacune de ses deux plus grandes surfaces une cuvette avec des traces d'érosion par frottement. Il pourrait s'agir d'un support de broyage, divers matériaux ou aliments de taille réduite pouvant être écrasés dans ces légères cuvettes à l'aide d'un broyon ou d'un pilon.

Le second outil de cette catégorie est un objet issu de l'environnement immédiat du foyer [26849] (Pl.83) dans le secteur H : en granite blanc mais très rubéfié, il présente une forte patine sur ses deux plus grandes faces, dont l'une semble porter des rayures entrecroisées qui suggèrent un support de découpe. Cependant, les extrémités de l'outil portent des traces d'érosion par frottement et percussion, qui ont affecté la patine et la couche rubéfiée. Cet usage en percussion / frottement est donc intervenu dans un second temps. Il a même entraîné des éclats sur les surfaces patinées, et une fente affectant l'objet en son milieu indique qu'il était sur le point de se briser. Cet outil a donc eu plusieurs usages, dont on ignore s'ils sont contemporains malgré les dégâts observés ; l'usage en percuteur (marteau, boucharde...) est postérieur mais ne signifie pas nécessairement la fin de sa précédente fonction.

Lissoirs et brunissoirs (Pl. 81)

Il s'agit de deux catégories distinctes d'outils, liés à la fabrication de la céramique. On associera plutôt le lissoir au polissage de la céramique en cours de fabrication, laissant des stries occasionnées par le dégraissant (quartz, basalte...) et des facettes d'usure polies, et le brunissoir au lustrage des vases après lissage et séchage - bien que de tels outils soient également utilisés pour le travail du métal dans un objectif de traitement de surface fin. Mais la distinction sur le terrain ou lors des premiers comptages est parfois difficile en l'absence d'observations de détail, aussi ces catégories d'inventaire apparaissent-elles très proches, et seront donc ici rassemblées (mais pas confondues).

12 galets ont été identifiés comme lissoirs possibles, pour un poids total de 786 g. Il y en a 10 en basalte, 1 en granite et 1 en quartz. 8 proviennent du secteur F et 2 du secteur G.

On compte 25 brunissoirs, pour une masse de 1,117 kg : 9 proviennent du secteur G, 7 du secteur F, 3 du secteur C, 2 du secteur D et viennent enfin les secteurs A et B avec chacun 1 exemplaire. 15 sont en basalte, 4 en quartz, 3 en granite. Un est en schiste et un autre, en roche verte, paraît être un fragment de hache polie. Ce dernier répond en réalité très exactement à la description d'un lissoir de potier, son poli très fin pouvant être à l'origine de la confusion.

La représentativité de ces deux catégories, sur le plan fonctionnel, semble donc à revoir dans les inventaires, afin de reconnaître les outils de potier ou de métallurgiste parmi ces outils qui présentent pour la plupart pour toute trace une ou plusieurs surfaces polies ou lustrées.

Commentaires et perspectives

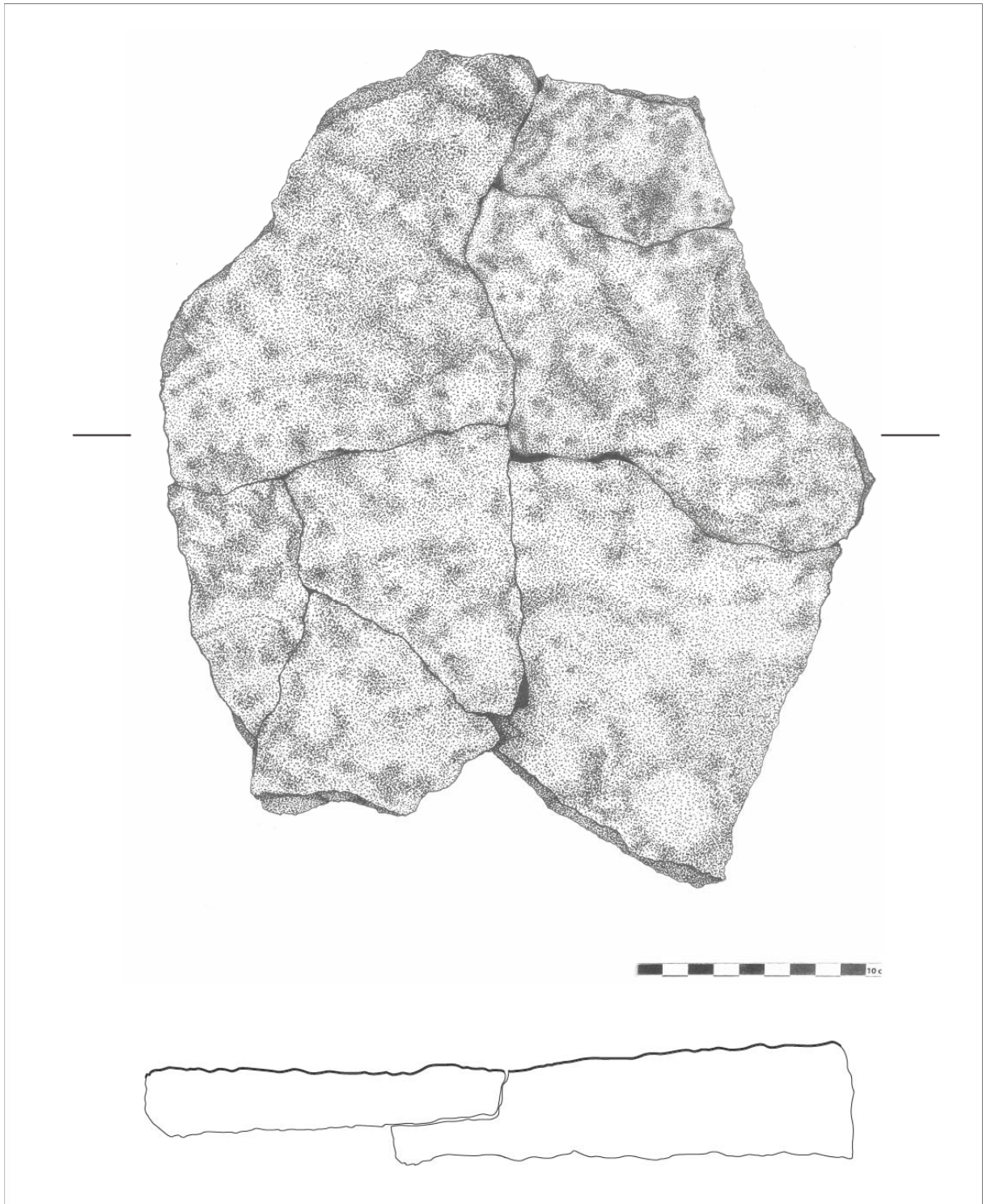
Comme il est fréquent pour le site de Corent, la campagne triennale 2014-2016 a livré une grande quantité de matériel macrolithique, principalement exogène au site. On note par exemple parmi cet inventaire 1443 galets, représentant plus de 128 kg de matériel. Tous ne sont pas des outils, mais certaines catégories y font en revanche presque exclusivement appel (percuteurs, broyeurs...). Il n'est pas inopportun de penser que le choix de galets à cette fin permet à la fois un choix plus vaste dans la qualité du matériau et un début de façonnage et de calibrage des outils. Rappelons que les 1443 galets ont nécessairement été apportés sur le plateau de Corent car ils n'y sont pas présents naturellement : ces 128,678 kg de roche (au moins) ont été montés depuis l'Allier, qui constitue l'hypothèse la plus proche de gîte de galets, à 200 m en contrebas du site. De même, les blocs d'arkose et de grès peuvent provenir de gisements situés plus bas, à la base du plateau ou dans ses environs proches ; en témoignent la représentation de ces roches dans les maisons des villages entourant le plateau. Ces dynamiques d'approvisionnement probables seront ultérieurement testées pour quantifier, à terme, l'investissement consacré à de tels besoins.

Le secteur F sort du lot par sa richesse en macro-outillage lithique : ce vaste secteur comporte ainsi de nombreux outils où la mouture apparaît très présente. D'autres outils, comme les percuteurs, marteaux et bouchardes, ont pu servir à l'entretien ou la mise en forme de ces instruments ou servir au sein de pratiques artisanales (métallurgie, chaudronnerie, orfèvrerie...) dont on observe peu de déchets, mais dont les produits sont fréquents (épingles, perles, bracelets, alènes). Si la mouture et le broyage sont des activités assez facilement identifiables, par l'emploi de roches grenues ou la présence de facettes d'utilisation très marquées, les travaux de poterie laissent parfois des traces plus ténues, quoique reconnaissables. Certains outils par ailleurs sont plus énigmatiques à première vue ; ainsi, un outil identifié comme molette présente pourtant des éclats à son extrémité, attribués à un usage en percussion (pic) et deux encoches latérales évoquant un système d'attache et peut-être un emmanchement (Pl.85 n°744). Il est possible que ce galet-outil, d'abord utilisé pour la mouture, ait ensuite été sujet à des modifications fonctionnelles et en même temps morphologiques.

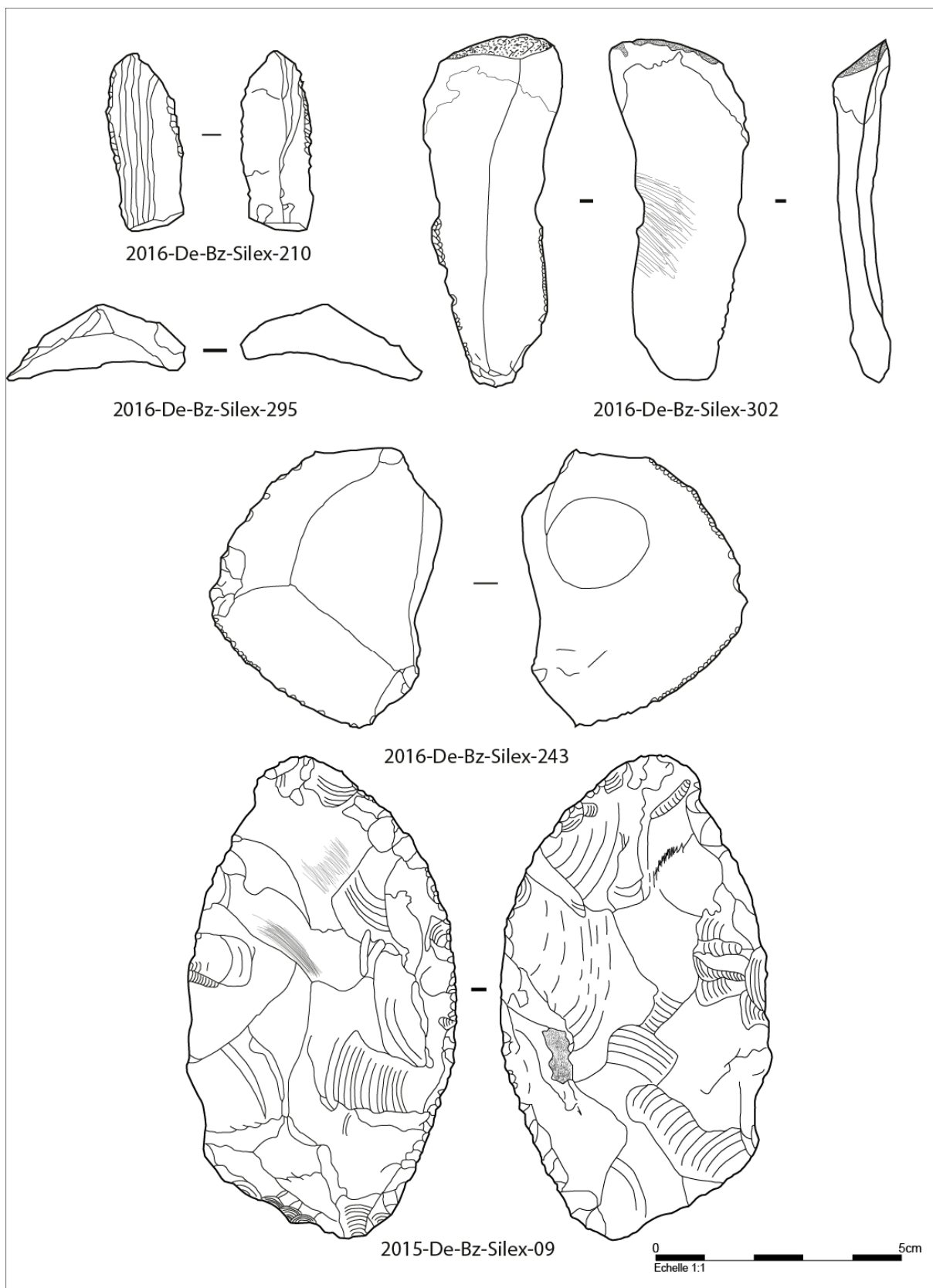
Si les proportions varient beaucoup, en fonction de la conservation des niveaux ou, peut-être, de certaines spécialisations, les activités représentées restent cependant les mêmes, lorsqu'elles sont perceptibles, dans la plupart des secteurs. En conséquence, le regroupement des outils au sein d'espaces dédiés à certains travaux n'apparaît pas évident. Bien entendu, ces caractéristiques peuvent être artificiellement renforcées par des phénomènes liés à l'érosion ou à l'abandon du site, ainsi que par des pratiques particulières concernant le stockage des outils au sein de l'agglomération du Bronze final.

On constate à ce stade que l'étude des outils en pierre permet déjà de mieux caractériser les niveaux où ils ont été prélevés ; leur association systématique avec les structures propres aux occupations domestiques, la proximité des foyers et de bâtiments conservés ou suggérés témoignent d'un lien fort dont la nature précise et les modalités restent à définir, mais permettent déjà de confirmer l'importance de la pierre dans l'outillage domestique protohistorique. Il y avait donc nécessité d'appliquer à ce matériel les techniques d'enregistrement et d'analyses, et toute la rigueur octroyée à ce jour à l'étude des autres mobiliers, céramiques ou métalliques par exemple ; leur apport à la connaissance des activités internes d'un habitat, voire d'une agglomération du Bronze final n'est certainement pas moindre, et gagne probablement en volume et en conservation ce qu'il peut perdre en variété stylistique ou en précision dans la datation. En retour, cette précision étant fournie par les typologies de céramique et de mobilier métallique, l'étude de ces mobiliers en association avec les restes macrolithiques pourra se concentrer sur l'élargissement des connaissances liées au contexte immédiat, à l'identification des espaces et des dynamiques internes du site.

Par exemple, la problématique de l'artisanat du métal reste posée, comme pour les niveaux du Bronze moyen 2, par la présence d'outils qu'une étude plus approfondie permettra certainement de mieux comprendre. De plus, les assemblages de meules, molettes et outils de percussion, en lien avec la répartition des foyers et des concentrations de mobilier, suggèrent à la fois des zones spécifiques qu'il serait imprudent encore d'associer à des activités (artisanales ou domestiques) ou à du stockage, mais qui ne semblent pas relever de la simple dispersion erratique. Ces questions seront à traiter au sein de publications ultérieures, mettant en regard, au-delà de la zone de fouille 2014-2016, l'intégralité du mobilier macrolithique prélevé sur les niveaux du Bronze final du plateau de Corent.



Pl. 1. – .Outillage de mouture : illustrations et exemples (meule n°3158, UF [22905])



Pl. 2. – Table de broyage / mouture de la fosse [26896] Bronze final 3 - Secteur G.



Outil à encoches en basalte (n°744) de l'UF [25859] (Secteur F)

Pl. 3. – Outils de quartz rubéfiés des niveaux [25832] et [25859] (Secteurs E et F). Plusieurs pilons potentiels.



Outil en quartz rubéfié (n°661) de l'UF [25859] (Secteur F)

Outil en quartz rubéfié (n°334) de l'UF [25832] (Secteur E)

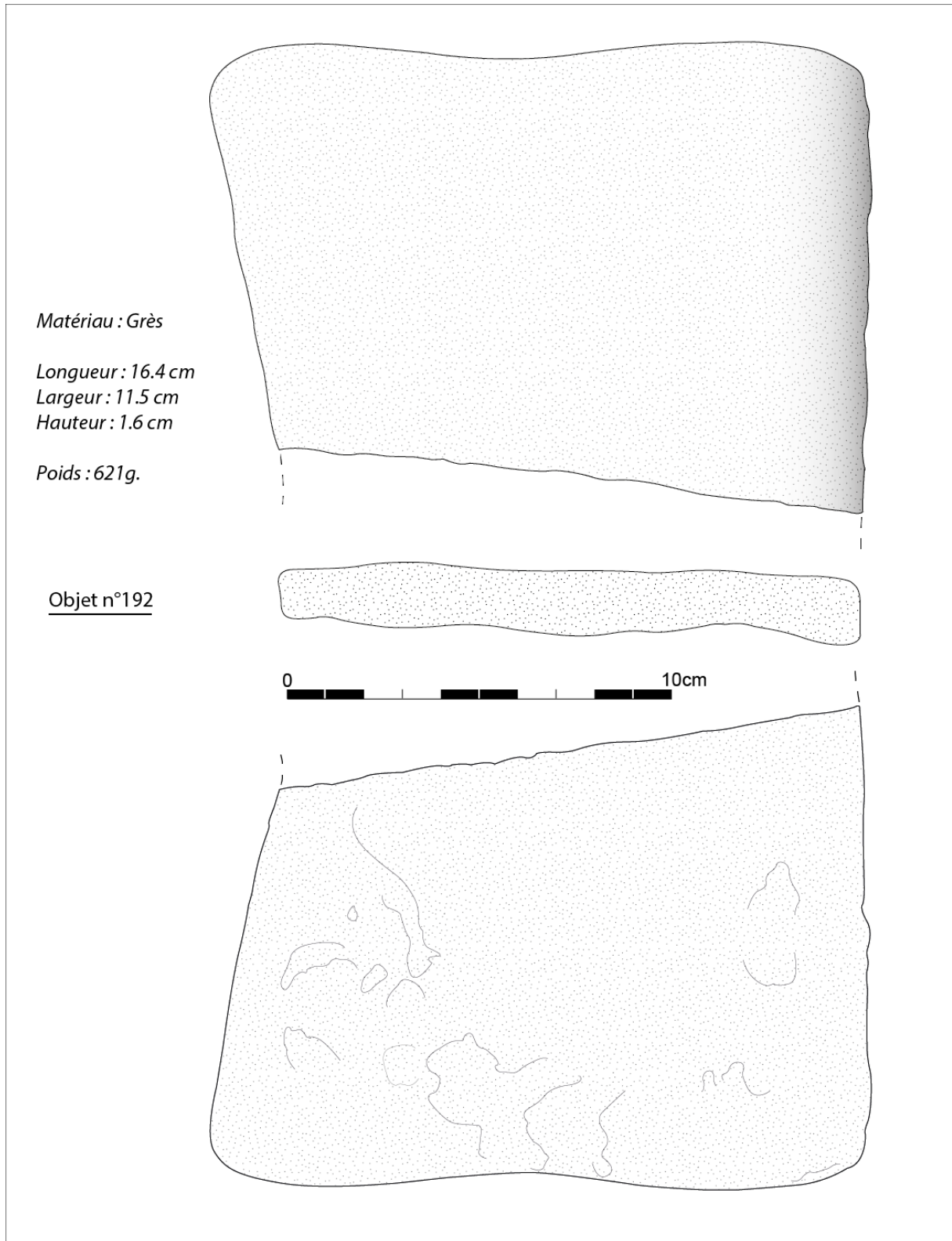
Pl. 4. – Objets lithiques - Secteurs E, F et G - Niveaux 24938 / 26713 / 26746 / 26806, outils de percussion (bouchardes).



Pl. 5. – Planche typologique : Lisseur, enclume et abraseur issus des campagnes de Corent 2011 et 2012.



Pl. 6. – Planche descriptive de la tablette de travail en grès du Secteur E - Bf 3 récent (UF 24938).



Pl. 7. – Tablettes en pierre du Foyer [26849] (Secteur H) et du niveau [25822] du Bronze final (Secteur C).



Tablette réutilisée en percussion, près du foyer [26849]



(2 surfaces concaves
opposées)



Tablette de broyage en grès (n°330/351) de l'UF [25822]



Pl. 9. – Outil à encoches sur galet de basalte du niveau [25859], Bronze final 3 récent (Secteur F).

Catalogue des monnaies gauloises (2014-2015)

Katherine GRUEL (AOROC, UMR 8546, ENS-Paris)

Campagne 2014

Série à la tête casquée des *Aedui*

Denier - Argent

classe 1

D/ : Tête casquée à g., croix derrière le cou, grènetis.

R/ : Cheval à g., hampe sommée d'un cercle pointé sortant du poitrail, anneau pointé au-dessus et au-dessous.

LT XVI, 5138 ; Scheers Lyon, 335-342.

2 images :

LT/LT 16 / LT 5138.jpg

1 * Corent, Puy de Coirent - 2014_HC_193

* 2,4 g - 11 mm - 9 h

Série à la lyre dressée

Denier - Argent

classe 1

D/ : Tête humaine à dr., chevelure en quatre mèches couchées sur le front, grènetis.

R/ : Cheval à dr., timon sortant du poitrail, esse au-dessus, lyre dressée au-dessous, grènetis.

LT XV, 4866. 1Im impoasgsei b:l Le Td/eL tTr o1u5v /e rL Tle 4fi8c6h6ie.jrp g:

LT 4866.jpg

2 * Coirent, Puy de Coirent - 2014_24024_227

* 3,70 g - 16 mm - 1 h

Potin à la grosse tête et au bandeau lisse

Potin

classe 1, GT A 9,1

D/ : Grosse tête très schématisée à g., calotte large occupant la moitié de l'espace, oeil en creux, grande bouche en demi-cercle contenant un globule.

R/ : Taureau cornupète à g., tête basse et massive, corne placée sur le front, échine légèrement redressée, queue bouletée.

BnF 5380-5381; GT A 9,1.

3 * Coirent, Puy de Coirent - 2014_HC_788

* 3,9 g - 19 mm - 3 h

Série MOTVIDIACA et hippocampe

Argent gaulois - Argent

classe 1, argent

D/ : Tête à g., cheveux bouclés. Coupe du cou perlée ou non.

R/ : Hippocampe à g., MOTVIDIACA centripète. Grènetis au pourtour. ; légende MOTVIDIACA.

BnF 3990-4005; LT XII, 3994; Blanchet pl III n°16; Nash pl XVIII n°438; RIG 208; Scheers Lyon,

419. 1Im impoasgsei b:l Le Td/eL tTr o1u2v /e rL Tle 3fi9c9h4ie.jrp g: LT 3994.jpg

4 * Coirent, Puy de Coirent - 2014_HC_683

* 2,66 g - 16 mm - 12 h

classe 3, Type hippocampe à g.

Bronze

D/ : Tête à g. ; coiffe et volutes sur le front.

R/ : Hippocampe à g., légende derrière. ; légende MOTVIDI-ACA.

LT XII, 3994 ; Lyon 419 ; RIG 208 ; Nash 438 ; Bnf 3990-4005 ; Sylvia Nieto-Pelletier, Monnaies celtiques de la BnF, p. 248 .

2 images :

LT/LT 12 / LT 3994.jpg

DICOMON VIGNETTES_1 / LT 3994.jpg

Impossible de trouver le fichier :

LT 3994.jpg

5 * Corent, Puy de Coirent - 2014_24016_732
* 1,5 g - 19 mm - 9 h

Série ADCANAVNOS

Drachme - Argent

classe 2, type indéterminé, légende ADCANAVNOS

Bronze

D/ : Tête laurée de type juvénile à g., profil réaliste, oreille bien dessinée, chevelure en - mèches. A dr. de la coupe du cou, la lettre A et à gauche, DCANAVNOS. Grènetis au pourtour. ; légende ADCANAVNOS.

R/ : Cheval à g.. Au-dessus, une esse couchée. Au-dessous, anneau perlé ou lisse avec au centre un point ou un anneau ; ou L (en caractère cyrillique) entre les jambes antérieures du cheval, anneau perlé sous le cheval et lettre A sous l'anneau ; ou trois anneaux disposés en triangle et surmontés

6 * Coirent, Puy de Coirent - 2014_24057_306
* 1,5 g - 16 mm - 6 h

Série CAL.DV

Bronze

D/ : Buste drapé à dr., les cheveux disposés en deux rangées de boucles, collier autour du cou, losange pointé derrière la nuque, légende devant entre deux lignes, grènetis. ; légende CAL.DV. R/ : Cheval au galop à g., quatre annelets s'intercalent entre les quatre rayons d'une roue au-dessus,

fleuron au-dessous, grènetis.

LT XII, 3931 ; Scheers Lyon, 404-405 ; BMC 3/S162 ; RIG 89 ; Nash 425.

7 * Coirent, Puy de Coirent - 2014_24061_237
* 1,22 g - 14 mm

Série EPAD

Argent gaulois - Argent

classe 2, au cavalier lancier en bronze

Bronze

D/ : Buste juvénile à droite, cheveux mi-longs et ondulés, torque autour du cou, un pentagramme derrière la nuque, légende devant, grènetis. ; légende CICIIDV BRI .

R/ : Cavalier à droite, portant une lance, sorte de bannière flottant au vent derrière lui, deux esses couchées et affrontées au-dessous, légende sous la ligne d'exergue, grènetis. ; légende IIPAD.

LT XII, 3894 ; Scheers Lyon, 406-408 ; BMC 3/175, S181 ; RIG 106 ; Nash 422.

8 * Coirent, Puy de Coirent - 2014_24097_470
* 1,3 g - 15 mm - 11 h

classe 4, au guerrier en bronze

Bronze

D/ : Buste ailé à dr., tête casquée et laurée, imité d'un denier romain de la gens Plaetoria. Coupe du cou perlée et paludamentum. Devant la face réaliste, EPAD (centrifuge). Grènetis au pourtour. ; légende EPAD.

R/ : Guerrier debout de 3/4, tenant dans la main dr., une enseigne-militaire ornée de 2 ailes et de la gauche une lance, un bouclier rond et une épée. A ses pieds, un casque. Grènetis au pourtour.

Scheers, Lyon 412-413

9 * Coirent, Puy de Coirent - 2014_HC_1270
* 1,6 g - 16 mm - 11 h

10 * Coirent, Puy de Coirent - 2014_hc_411
* 2,1 g - 16 mm

Potin au long cou

Potin

classe 1

D/ : Tête casquée à g.

R/ : Quadrupède à long cou à gauche, tête représentée par deux globules, queue recourbée en esse au-dessus du dos, ligne de sol.

Scheers Lyon 434-435 ; Nash 597.

11 * Coirent, Puy de Coirent - 2014_24937_1154
* 1,4 g - 17 mm

12 * Coirent, Puy de Coirent - 2014_24092_658
* 2,2 g - 16 mm - 3 h

Série au bucrâne sous cheval

Argent gaulois - Argent

D/ : Tête à dr., grènetis au pourtour.

R/ : Cheval galopant à dr., une esse au-dessus ; au-dessous, un bucrâne.

A6 Chapelle Laurent; BnF 3804, 3813?, cmc 174-176

13 * Coarent, Puy de Coarent - 2014_24512_563
* 0,54 g - 8 mm - 10 h

Petit bronze au renard

Bronze

D/ : Tête nue à g. ; coupe du cou perlée.

R/ : Un renard caractérisé par ces oreilles pointues et la queue en panache rabattue au dessus du dos ; dessous souvent une roue.

LT XI, 3966-3969; BN 3963-3981; Blanchet p 422; Nash pl XVI n°394-396.

14 * Coarent, Puy de Coarent - 2014_HC_1104
* 0,8 g - 10 mm - 3 h

15 * Coarent, Puy de Coarent - 2014_24024_291
* 0,82 g - 11 mm - 6 h

16 * Coarent, Puy de Coarent - 2014_24016_731
* 0,9 g - 11 mm - 12 h

17 * Coarent, Puy de Coarent - 2014_HC_1146
* 1,1 g - 12 mm - 10 h

18 * Coarent, Puy de Coarent - 2014_24027_70
* 1,3 g - 12 mm - 12 h

19 * Coarent, Puy de Coarent - 2014_HC_409
* 1,3 g - 11 mm - 12 h

20 * Coarent, Puy de Coarent - 2014_HC_1103
* 1,4 g - 11 mm - 12 h

21 * Coarent, Puy de Coarent - 2014_HC_407
* 1,4 g - 12 mm - 12 h

22 * Coarent, Puy de Coarent - 2014_24088_844
* 1,4 g - 12 mm - 12 h

23 * Coarent, Puy de Coarent - 2014_24024_265
* 1,45 g - 13 mm - 11 h

24 * Coarent, Puy de Coarent - 2014_24512_567
* 1,45 g - 12 mm - 1 h

25 * Coarent, Puy de Coarent - 2014_24092_1038
* 1,5 g - 13 mm - 6 h

26 * Coarent, Puy de Coarent - 2014_HC_1111
* 1,5 g - 11 mm - 6 h

27 * Coarent, Puy de Coarent - 2014_24061_406
* 1,5 g - 12 mm - - h

28 * Coarent, Puy de Coarent - 2014_24050_864
* 1,5 g - 13 mm - 6 h

29 * Coarent, Puy de Coarent - 2014_HC_410
* 1,6 g - 12 mm - 11 h

30 * Coarent, Puy de Coarent - 2014_HC_1045
* 1,7 g - 14 mm - 12 h

31 * Coarent, Puy de Coarent - 2014_HC_1090
* 1,7 g - 12 mm - 3 h

32 * Coarent, Puy de Coarent - 2014_24512_553
* 1,8 g - 13 mm - 7 h

33 * Coarent, Puy de Coarent - 2014_24086-3_503
* 1,8 g - 12 mm - 5 h

34 * Coarent, Puy de Coarent - 2014_24409_418
* 1,8 g - 12 mm - 12 h

35 * Coarent, Puy de Coarent - 2014_24405-2_1076
* 1,8 g - 11 mm - 12 h

36 * Coarent, Puy de Coarent - 2014_24086-2_482
* 1,8 g - 11 mm

37 * Coarent, Puy de Coarent - 2014_HC_1275
* 1,8 g - 13 mm

38 * Coarent, Puy de Coarent - 2014_24024_438
* 2 g - 12 mm - 12 h

39 * Coarent, Puy de Coarent - 2014_24026_417
* 2,2 g - 16 mm - 12 h

40 * Coarent, Puy de Coarent - 2014_HC_1094
* 2,2 g - 12 mm - 3 h

41 * Coarent, Puy de Coarent - 2014_24159_778
* 2,4 g - 14 mm - 1 h

42 * Coarent, Puy de Coarent - 2014_HC_1044
* 2,5 g - 15 mm - 3 h

43 * Coarent, Puy de Coarent - 2014_HC_1277
* 2,65 g - 11 mm

Petit bronze au cheval-cheval

Bronze

D/ : Cheval à g.

R/ : Cheval à g.

BnF 3982-3989; Nash n°398; Scheers Lyon 429-433.

44 * Coarent, Puy de Coarent - 2014_24061_228
* 0,6 g - 10 mm

45 * Coirent, Puy de Coirent - 2014_HC_909
* 1,5 g - 14 mm - 3 h

46 * Coirent, Puy de Coirent - 2014_24017_19
* 1,8 g - 9 mm - 6 h

47 * Coirent, Puy de Coirent - 2014_24526-1_773
* 1,9 g - 11 mm - 12 h

48 * Coirent, Puy de Coirent - 2014_HC_1273
* 2,2 g - 11 mm - 3 h

49 * Coirent, Puy de Coirent - 2014_24024_376
* 2,3 g - 11 mm - 12 h

50 * Coirent, Puy de Coirent - 2014_HC_1043
* 2,4 g - 12 mm - 11 h

Série au cheval à volute et bucrâne

Argent gaulois - Argent

D/ : Tête nue à dr.

R/ : Cheval à dr. ; au-dessus volute ; au-dessous, bucrâne.

BnF, 3812-3813.

51 * Coirent, Puy de Coirent - 2014_24092_1031
* 0,8 g - 11 mm - 5 h

Potin au sanglier à la ligne de soie marquée

Potin

, **BN 4021-4022**D/ : Tête à dr., bourrelet.

R/ : Sanglier à dr., une ligne prononcée allant de la queue à l'oreille accentuant la soie; bourrelet.

Scheers, Lyon, 663-665; Bnf 4021-4022, 6271 ; Nash 1978, nos 605-606.

52 * Coirent, Puy de Coirent - 2014_HC_1286
* 1,9 g - 15 mm - 2 h

53 * Coirent, Puy de Coirent - 2014_HC_1042
* 2,2 g - 19 mm - 9 h

54 * Coirent, Puy de Coirent - 2014_HC_1278
* 2,5 g - 15 mm - 1 h

Bronze à la tête aquitanique et à la roue

Bronze frappé gaulois - bronze

D/ : Gueule de loup à g.

R/ : Cheval à g., crinière perlée, roue à 4 rayons entre les jambes, grénétis

BN 4282, Nash 580 var.

55 * Coirent, Puy de Coirent - 2014_HC_1108
* 1,53 g - 13 mm - 2 h

Groupe à la grue et au trilobe

Statère - électrum

classe 1, Statère à la grue et au trilobe

D/ : Tête à droite, chevelure aquitanique, cordon en accolade s'échappant de la bouche, grénétis au pourtour. ; légende -.

R/ : Cheval à droite, au-dessus une grue, au-dessous un trilobe entre les pattes, plusieurs éléments annexes (cercles pointés). ; légende -.

LT 4072, 4066

56 * Coirent, Puy de Coirent - 2014_HC_1276
* 4,5 g - 18 mm - 12 h

57 * Coirent, Puy de Coirent - 2014_24405-1_1063
* 6,35 g - 15 mm - 11 h

Potin aux 4 croissants

Potin

D/ : Tête à gauche occupant tout le champ ; bandeau rectiligne. ; légende -.

R/ : Quatre croissants en reliefs dans le champ, pointes tournées vers l'extérieur. ; légende -.

PTM 333

58 * Coirent, Puy de Coirent - 2014_24512_704
* 2,15 g - 15 mm - 12 h

Indéterminés: illisibles

Indéterminé

classe 1, Alliage et attribution indéterminés

D/ : Illisible

R/ : Illisible

Référence indéterminée

59 * Coirent, Puy de Coirent - 2014_24092_781
* 1,2 g - 14 mm - - h

60 * Coirent, Puy de Coirent - 2014_24077_349
* 1,5 g - 13 mm - - h

61 * Coirent, Puy de Coirent - 2014_HC_1274
* 1,85 g - 12 mm

62 * Coirent, Puy de Coirent - 2014_24512_580
* 1,9 g - 12 mm - - h

63 * Corent, Puy de Corent - 2014_24026_417
* 2,2 g - 16 mm - 12 h

Monnaies sans classification

64 * Corent, Puy de Corent - 2014_24086-3_557
* 0,2 g - 13 mm

65 * Corent, Puy de Corent - 2014__789
* 0,75 g - 13 mm

66 * Corent, Puy de Corent - 2014_24024_145
* 1,1 g - 11 mm

67 * Corent, Puy de Corent - 2014_HC_446
* 1,7 g - 13 mm - 6 h

68 * Corent, Puy de Corent - 2014_HC_408
* 1,9 g - 16 mm

69 * Corent, Puy de Corent - 2014_HC_74
* 1,9 g - 12 mm

Campagne 2015

Potin à la grosse tête et au bandeau lisse

Potin

classe 10, GT A 8,1

D/ : Grosse tête à g., nez droit, petit oeil en creux dans l'axe de l'arête du nez, touchant le double

bandeau lisse, pas de front, cou marqué par deux barres, boule dans la bouche, menton en galoche.

R/ : Taureau chargeant à g., petite tête haute, corne longue.

GT A 8,1.

1 * Corent, Puy de Corent - 2015_HC_1053
* 6 g - 19 mm - 3 h

classe 15, GT A 11,1

D/ : Grosse tête à g., nez droit, oeil globulaire à la paupière dessinée, petite boule dans la bouche,

menton en galoche, cou, triple bandeau lisse limitant la chevelure, mèche de cheveux s'échappant

en volute sur le front.

R/ : Taureau chargeant à g., corne dans le prolongement de la tête, queue non bouletée repliée à

l'horizontale au-dessus du corps, jambe avant repliée parallèlement à la ligne du sol formée par la

jambe arrière.

LT XVI, 5401 variante anépigraphie; Scheers Lyon, 533-555; GT A 11,1.

2 * Corent, Puy de Corent - 2015_25051_523
* 4,8 g - 18 mm - 3 h

classe 17, GT A

D/ : Grosse tête au bandeau lisse, type non précisé. ; légende TEVT.

R/ : Taureau chargeant à g.

GT A.

3 * Corent, Puy de Corent - 2015_25009_93
* 1;7 g - 15 mm

Monnaies sans classification

4 * Corent, Puy de Corent - 2015_HC_316
* 2,7 g - 14 mm

Potin à la grosse tête et au bandeau perlé

Potin

classe 3, GT B 4,1

D/ : Grosse tête laurée à g., calotte non distincte, oeil cerclé par un anneau et relié au nez, lèvres

ponctiformes, oreille bien dessinée, pas de cou.

R/ : Taureau chargeant à g., petite tête haute, queue relevée terminée en spirale.

LT XVI, 5390 ; BnF 5387-5392 ; Scheers Lyon, 529-530; BMC 3/328; Castelin 732-742, 840; GT B 4,1.

5 * Corent, Puy de Corent - 2015_25371_498
* 3,9 g - 18 mm - 5 h

Série MOTVIDIACA et hippocampe

Argent gaulois - Argent

classe 1, argent

D/ : Tête à g., cheveux bouclés. Coupe du cou perlée ou non.

R/ : Hippocampe à g., MOTVIDIACA centripète. Grènetis au pourtour. ; légende MOTVIDIACA.

BnF 3990-4005; LT XII, 3994; Blanchet pl III n°16; Nash pl XVIII n°438; RIG 208; Scheers Lyon, 419.

6 * Corent, Puy de Coirent - 2015_32
* 1,6 g - 16 mm - 9 h

classe 2, bronze

Bronze frappé gaulois - bronze

D/ : Tête à g., nue ou avec une coiffe ; cheveux courts ou longs ; avec ou sans collier perlé autour

du cou.

R/ : Hippocampe à g. ou à dr., légende derrière. ; légende MOTVIDI-ACA.

LT XII, 3994 ; Scheers Lyon, 419 ; RIG 208 ; Nash 438 ; Bnf 3990-4005 ; Sylvia Nieto-Pelletier,

Monnaies celtiques de la BnF, p. 248 .

7 * Coirent, Puy de Coirent - 2015_HC_305
* 2 g - 16 mm

Série CAL.DV

Bronze

D/ : Buste drapé à dr., les cheveux disposés en deux rangées de boucles, collier autour du cou,

losange pointé derrière la nuque, légende devant entre deux lignes, grènetis. ; légende CAL.DV.

R/ : Cheval au galop à g., quatre annelets s'intercalent entre les quatre rayons d'une roue au-dessus,

fleuron au-dessous, grènetis.

LT XII, 3931 ; Scheers Lyon, 404-405 ; BMC 3/S162; RIG 89 ; Nash 425.

8 * Coirent, Puy de Coirent - 2015_25000_168
* 0,5 g - 12 mm - 12 h

9 * Coirent, Puy de Coirent - 2015__60
* 3,5 g - 18 mm - - h

Série EPAD

Argent gaulois - Argent

classe 4, au guerrier en bronze

Bronze

D/ : Buste ailé à dr., tête casquée et laurée, imité d'un denier romain de la gens Plaetoria. Coupe du

cou perlée et paludamentum. Devant la face réaliste, EPAD (centrifuge). Grènetis au pourtour. ;

légende EPAD.

R/ : Guerrier debout de 3/4, tenant dans la main dr., une enseigne-militaire ornée de 2 ailes et de la

gauche une lance, un bouclier rond et une épée. A ses pieds, un casque. Grènetis au pourtour.

Scheers, Lyon 412-413

10 * Coirent, Puy de Coirent - 2015_HC_320
* 1,9 g - 16 mm

11 * Coirent, Puy de Coirent - 2015_25300_199
* 2,4 g - 16,42 mm

Potin à la tête diabolique

Potin

Monnaies sans classification

12 * Coirent, Puy de Coirent - 2015_HC_1059
* 2,8 g - 17 mm

Potin au long cou

Potin

classe 1

D/ : Tête casquée à g.

R/ : Quadrupède à long cou à gauche, tête représentée par deux globules, queue recourbée en esse

au-dessus du dos, ligne de sol.

Scheers Lyon 434-435; Nash 597.

13 * Coirent, Puy de Coirent - 2015_HC_1037
* 1 g - 15 mm

14 * Coirent, Puy de Coirent - 2015_HC_330
* 2,4 g - 14 mm

Obole à la roue sous cheval

Obole - Argent

classe 1

D/ : : Tête à dr., coiffure en petites mèches serrées.

R/ : Cheval galopant à g., au-dessous, roue à 4 raies.

Nash 373, BnF 3849; Scheers Lyon, 399.

15 * Coirent, Puy de Coirent - 2015_25300_385
* 0,9 g - 8 mm

16 * Coirent, Puy de Coirent - 2015_25000_162
* 0,3 g - 7 mm - 9 h

Petit bronze au renard

Bronze

D/ : Tête nue à g. ; coupe du cou perlée.

R/ : Un renard caractérisé par ces oreilles pointues et la queue en panache rabattue au dessus du

dos ; dessous souvent une roue.

LT XI, 3966-3969; BN 3963-3981; Blanchet p 422; Nash pl XVI n°394-396.

17 * Coirent, Puy de Coirent - 2015_HC_1086
* 1,6 g - 13 mm

18 * Coirent, Puy de Coirent - 2015_HC_1087
* 1 g - 15 mm

19 * Coirent, Puy de Coirent - 2015_25005_315
* 1,1 g - 12 mm - 9 h

20 * Coirent, Puy de Coirent - 2015_HC_504
* 1,2 g - 10 mm

21 * Coirent, Puy de Coirent - 2015_HC_326
* 1,4 g - 15 mm

22 * Coirent, Puy de Coirent - 2015_25026-1_412
* 1,5 g - 13 mm - 9 h

23 * Coirent, Puy de Coirent - 2015_25309_177
* 1,8 g - 11 mm

24 * Coirent, Puy de Coirent - 2015_HC_491
* 1,8 g - 12 mm

25 * Coirent, Puy de Coirent - 2015_25002_189c
* 2,0 g - 12,33 mm - &é h

26 * Coirent, Puy de Coirent - 2015_HC_759
* 2,1 g - 15 mm

27 * Coirent, Puy de Coirent - 2015_25026-2_637
* 2,3 g - 16 mm

28 * Coirent, Puy de Coirent - 2015_25002_406
* 2,7 g - 12 mm

Petit bronze au cheval-cheval

Bronze

D/ : Cheval à g.

R/ : Cheval à g.

BnF 3982-3989; Nash n°398; Scheers Lyon 429-433.

29 * Coirent, Puy de Coirent - 2015_HC_758
* 1,2 g - 11 mm

30 * Coirent, Puy de Coirent - 2015_HC_1091
* 2,1 g - 11 mm

31 * Coirent, Puy de Coirent - 2015_HC_484
* 2,1 g - 10 mm

32 * Coirent, Puy de Coirent - 2015_HC_337
* 2,1 g - 11 mm

33 * Coirent, Puy de Coirent - 2015_25348_451
* 2,1 g - 11 mm

34 * Coirent, Puy de Coirent - 2015_HC_1088
* 4,1 g - 14 mm

Bronze à la grue dessus et au fleuron sous cheval

Bronze

D/ : Tête aquitanique à dr.

R/ : Cheval galopant à g., monté par une grue, au-dessous, un fleuron trilobé proche .

Nash 644-646/648-649.

35 * Coirent, Puy de Coirent - 2015_HC_1092
* 7,1 g - 15,8 mm

Série BRIGIOS

Bronze

D/ : Tête à g. avec casque à côtes ; devant légende BRIGIOS. ; légende BRIGIOS.

R/ : Cheval à dr. sur une ligne de terre monté par un cavalier à longue chevelure.

LT XII, 3948-3949 ; BnF 3948-3949 ; Scheers, 418; Castelin, 455 ; Sylvia Nieto-Pelletier,

Monnaies celtiques de la BnF, p. 251.

36 * Corent, Puy de Corent - 2015_25000_172
* 3,4 g - 18 mm - " h

Obole au cheval

Obole - argent

classe 99, Fraction au cheval, classe indéterminée

D/ : Tête à droite ou à gauche.

R/ : Cheval à droite ou à gauche ; parfois éléments annexes.

37 * Corent, Puy de Corent - 2015_25085-1_822
* 0,3 g - 9 mm

Bronze VANDIINOS à l'aigle

Bronze frappé gaulois - bronze

D/ : Buste à g., cou orné d'un torque, grènetis.

R/ : Aigle se posant sur le sol, les ailes éployées, les pattes dirigées en bas, la tête tournée à g. ; à gauche de la tête, anneau centré, à droite pentagramme ; sous l'aile gauche, anneau centré et

pentagramme, sous la droite anneau centré ; légende en dessous. ; légende VANDIINOS (ou VANDILOS) .

LT XXXII, 7988-7981 ; BnF 7980-7999 ; Scheers Lyon, 632-633 ; BMC 3/152-159; RIG 294.

38 * Corent, Puy de Corent - 2015_HC_486
* 4,3 g - 16 mm

Série au cavalier lancier

Denier - Argent

classe 3, légende BRI COMA

D/ : Tête casquée de Roma à dr.; devant légende BRI ou BRIC (formes diverses) coupant le

grènetis. ; légende BRI.

R/ : Cavalier à dr. (imitation des dioscures), armé d'une lance, la cape au vent, légende COMAN ou

COMA au-dessous, grènetis. ; légende COMA.

LT XVII, 5807-5836 ; Scheers Lyon, 181-197, 213-215 ; RIG 76.

39 * Corent, Puy de Corent - 2015_25026-2_694
* 1,4 g - 13 mm

Indéterminés: illisibles

Indéterminé

Monnaies sans classification

40 * Corent, Puy de Corent - 2015_25416-1_1002

* 0,(g - 13 mm

41 * Corent, Puy de Corent - 2015_25088-1_1070

* 0,7 g - 17 mm

42 * Corent, Puy de Corent - 2015_HC_317
* 0,8 g - 12 mm

43 * Corent, Puy de Corent - 2015_HC_312
* 0,8 g - 13 mm

44 * Corent, Puy de Corent - 2015_25417_928
* 1,2 g - 15 mm

45 * Corent, Puy de Corent - 2015_HC_334
* 1,3 g - 11 mm

46 * Corent, Puy de Corent - 2015_HC_1090
* 1,6 g - 12 mm

47 * Corent, Puy de Corent - 2015_25019-1_195
* 1,6 g - 13 mm

48 * Corent, Puy de Corent - 2015_25371_760
* 1,7 g - 16 mm

49 * Corent, Puy de Corent - 2015_HC_309
* 1,8 g - 14 mm

50 * Corent, Puy de Corent - 2015_25334_300
* 1,8 g - 15 mm

51 * Corent, Puy de Corent - 2015_HC_340
* 1,8 g - 15 mm

52 * Corent, Puy de Corent - 2015_25108-1_1082
* 2,1 g - 18 mm

53 * Corent, Puy de Corent - 2015_HC_1041
* 2,4 g - 17,68 mm

54 * Corent, Puy de Corent - 2015_HC_139
* 3,2 g - 19 mm

55 * Corent, Puy de Corent - 2015_HC_1054
* 3,4 g - 18 mm

Flan monétaire-lingot-raté de coulée

Bronze

classe 5, raté de coulée

Indéterminé - bronze

D/ : manque de matière, Conservation des tenons de coulée

R/ :

56 * Corent, Puy de Corent - 2015__31
* 1,6 g - 13 mm

Monnaies sans classification

57 * Corent, Puy de Corent - 2015_HC_187
* 2,3 g - 13 mm

58 * Corent, Puy de Corent - 2015_25000_181
* 2,78 g - 18 mm

Monnaie de la péninsule ibérique

Bronze indéterminé, très usée

D/ : Buste à dr.

R/ : Lancier à dr.

59* Corent, Puy de Corent - 2015_25334_901
* 9,1 g - 25 mm

Campagne 2016

Série EPAD au cavalier

Classe 2, au cavalier lancier en bronze

Bronze

D/ : Buste juvénile à droite, cheveux mi-longs et ondulés, torse autour du cou, un pentagramme derrière la nuque, légende devant, grènetis. ; légende CICIIDV BRI .

R/ : Cavalier à droite, portant une lance, sorte de bannière flottant au vent derrière lui, deux essences couchées et affrontées au-dessous, légende sous la ligne d'exergue, grènetis. ; légende IIPAD.

LT XII, 3894 ; Scheers Lyon, 406-408; BMC 3/175, S181; RIG 106 ; Nash 422.

1 * Corent, Puy de Corent - 2016_26014_39
* 1,7 g - 14 mm - 8 h

2 * Corent, Puy de Corent - 2016_26117_455
* 1,9 g - 18 mm - 4 h

3 * Corent, Puy de Corent - 2016_26263_397
* 1.9 g - 18.5 mm -

Classe 4, EPAD au guerrier en bronze

Bronze

D/ : Buste ailé à dr., tête casquée et laurée, imité d'un denier romain de la gens Plaetoria. Coupe du cou perlée et paludamentum. Devant la face réaliste, EPAD (centrifuge). Grènetis au pourtour. ; légende EPAD.

R/ : Guerrier debout de 3/4, tenant dans la main dr., une enseigne-militaire ornée de 2 ailes et de la gauche une lance, un bouclier rond et une épée. A ses pieds, un casque. Grènetis au pourtour.

Scheers, Lyon 412-413, BIB46

4 * Corent, Puy de Corent - 2016_26103_236
* 1.7 g - 16 mm - 9 h

5 * Corent, Puy de Corent - 2016_HC_739
* 1.8 g - 16.4 mm - 6 h

6 * Corent, Puy de Corent - 2016_25056_119
* 3.6 g - 18.51 mm - 2 h

Classe 4, types indéterminés

D/ : Tête nue à g. avec favoris ; coupe du cou perlée ou avec encoche.

R/ : Cheval à g. ; au-dessus roue perlée ou lisse ; au-dessous, oiseau tourné vers la g.

BnF, 3784-3794, 3796-3797, 3799-3800, 3802 ; LT. XI, 3794 ; Scheers, 398?.

7 * Corent, Puy de Corent - 2016_HC_128
* 2.1 g - 13 mm –

Série IIPPOS

Classe 3

Bronze frappé gaulois - Bronze

D/ : Tête humaine à dr., arête du nez dans la prolongement du front.

R/ : Gros échassier courant à g., devant IIPPOS. Grènetis au pourtour. ; légende IIPPOS.

BnF 3950-3962; LT pl XII n°3952; Blanchet p 120, 421-422; Nash pl XVIII n°439-440, RIG 167; Scheers, 420-421.

8 * Corent, Puy de Coarent - 2016_HC_723

* 1.4 g - 16 mm - 11 h

Petit bronze au renard

Bronze

D/ : Tête nue à g. ; coupe du cou perlée.

R/ : Un renard caractérisé par ces oreilles pointues et la queue en panache rabattue au dessus du dos ; dessous souvent une roue.

LT XI, 3966-3969; BN 3963-3981; Blanchet p 422; Nash pl XVI n°394-396.

9 * Coarent, Puy de Coarent - 2016_HC_435

* 1 g - 12 mm - 11 h

10 * Coarent, Puy de Coarent - 2016_26103_255

* 1,4 g - 13 mm

11 * Coarent, Puy de Coarent - 2016_26279_765

* 1,7 g - 13 mm - 9 h

12 * Coarent, Puy de Coarent - 2016_26133-3_805

* 2,1 g - 12 mm

13 * Coarent, Puy de Coarent - 2016_26527_603

* 2,1 g - 16 mm

14 * Coarent, Puy de Coarent - 2016_HC_384

* 1.2 g - 11 mm

15 * Coarent, Puy de Coarent - 2016_26518_598

* 1.2 g - 12 mm - 9 h

16 * Coarent, Puy de Coarent - 2016_HC_741

* 1.2 g - 11.33 mm - 3 h

17 * Coarent, Puy de Coarent - 2016_HC_416

* 1.8 g - 13 mm - 3 h

18 * Coarent, Puy de Coarent - 2016_26283-1_737

* 1.9 g - 13.63 mm - 12 h

19 * Coarent, Puy de Coarent - 2016_HC_709

* 2.2 g - 13 mm

Petit bronze au cheval-cheval

Bronze

D/ : Cheval à g. R/ : Cheval à g.

BnF 3982-3989; Nash n°398; Scheers Lyon 429-433.

20 * Coarent, Puy de Coarent - 2016_HC_749

* 1,7 g - 12 mm - 9 h

Bronze au fleuron sous cheval

Bronze

D/ : Tête aquitanique à dr., collier de perles autour du cou.

R/ : Cheval galopant à dr., monté par une grue, au-dessous, un fleuron trilobé.

Charvilhat G. p 150-151; Delage F. p 57-70 fig. 2; Bnf 4082. Depeyrot III, 44. Nash 1978, 652, 532 - 1993-9339-1 .

21 * Coarent, Puy de Coarent - 2016_HC_124

* 6,3 g - 16,8 mm - 6 h

Bronze à la grue dessus et au fleuron sous cheval

Bronze

D/ : Tête aquitanique à dr.

R/ : Cheval galopant à g., monté par une grue, au-dessous, un fleuron trilobé proche .

Nash 644-646/648-649.

22 * Coarent, Puy de Coarent - 2016_HC_712

* 6.3 g - 19 mm

Bronze à la tête sous cheval

Bronze

Classe 1, bronze, LT 6140

D/ : Tête à g., oeil bien marqué

R/ : Cheval galopant à gauche, tête humaine à g. entre les jambes.

Nash 447, BnF 4557.

23 * Coarent, Puy de Coarent - 2016_26103_235

* 1.9 g - 12.95 mm - 6 h

Série PICTILOS

Argent gaulois - Argent

D/ : Buste à dr. ; collier autour du cou ; vêtement possible (paludamentum). Légende de part et d'autre de la tête. ; légende PIC-TILOS.

R/ : Cheval à dr. au galop ; au-dessus sorte de volute ; au-dessous fleuron.

BnF, 4007-4012 ; LT XII, 4007 ; Scheers 400 ; BMC 206 ; Castelin 452. Chapelle laurent E1, RIG 223

24 * Coirent, Puy de Coirent - 2016_26283-1_783

* 2.4 g - 14 mm - 3 h

Bronze à l'aigle

Bronze

Classe 2, Serpent et rouelle, type LT 6117

D/ : Tête à dr., chevelure en arcs parallèles, ligne ondulée séparant le visage des cheveux, grènetis. R/ : Oiseau aux ailes déployées, la tête à dr., rouelle à quatre rayons derrière la tête, serpent ondulant devant, grènetis.

LT XIX, 6117 ; Scheers Lyon, 768; BMC 3/142-143.

25 * Coirent, Puy de Coirent - 2016_HC_228

* 3.1 g - 17.12 mm - 6 h

Bronze à la tête sous le cheval

D/ : Tête réaliste, casquée à g.

R/ : Aigle éployé, tête à g., grènetis au pourtour.

LT XIX, 6140 var ; Scheers Lyon, 806.

/

26 * Coirent, Puy de Coirent - 2016_HC_747

* 7 g - 20 mm - 12 h

Potin au long cou

Potin

Classe 1

D/ : Tête casquée à g.

R/ : Quadrupède à long cou à gauche, tête représentée par deux globules, queue recourbée en esse au-dessus du dos, ligne de sol.

Scheers Lyon 434-435; Nash 597.

27 * Coirent, Puy de Coirent - 2016_HC_418

* 1,8 g - 13,9 mm - 1 h

28 * Coirent, Puy de Coirent - 2016_HC_383

* 3 g - 16 mm - 7 h

Potin à longue chevelure et taureau

Potin

D/ : Tête à g., cheveux stylisés en trois longues mèches ondulées. R/ : Taureau chargeant à g., queue relevée.

Scheers Lyon, 590-592.

29 * Coirent, Puy de Coirent - 2016_HC_125

* 4 g - 17 mm - 2 h

Potin au swastiska dextrogyre à volute

Potin

D/ : Tête à g. qui remplit le flan, visage bien dessiné, coiffé de cheveux tirés en chignon, , essences opposées en lyre

R/ : Svastika dextrogyre dont les branches s'enroulent en volute.

ABT 23, BNF 7930-7932, Scheers, Lyon, 822-825 (variante b)

30 * Coirent, Puy de Coirent - 2016_HC_708

* 2.3 g - 15.95 mm

Monnaie à la croix, série au panache

Denier - argent

Classe 9, Chevelure bordée de S sur la partie supérieure, rangée inférieure composée de Y, pointe en bas

D/ : Tête à gauche, chevelure bordée de S sur la partie supérieure, rangée inférieure composée de Y, pointe en bas.

R/ : Croix bouletée au centre ; aux premier, deuxième et quatrième cantons, globule et lunule ; au troisième, anneau et lunule.

MCR 249c ; Savès 75 ; LT 2986/

31 * Coirent, Puy de Coirent - 2016_26272_778

* 2.3 g - 16 mm - 6 h

Bronze au cheval/sanglier

Bronze frappé gaulois - bronze

D/ : Tête masculine à gauche avec cheveux en forme de S, collier de perles au cou.

R/ : Cheval à la crinière perlée à gauche, dessous un sanglier aux soies hérissées, dessus un anneau.

LT 7037 ; BNF 7037 ; SST 786 ; DT 2451-2452

32 * Coirent, Puy de Coirent - 2016_HC_707

* 1.7 g - 16.11 mm -

33 * Coirent, Puy de Coirent - 2016_26283-1_784

* 2 g - 15 mm

Indéterminés: illisibles

Potin indéterminé

34 * Coirent, Puy de Coirent - 2016_HC_478

* 3.2 g - 15 mm

Classe 2 Indéterminé - argent

35 * Coirent, Puy de Coirent - 2016_HC_701

* 1.5 g - 13 mm

Monnaies sans classification

36 * Coirent, Puy de Coirent - 2016_HC_711

* 0.9 g - 14 mm

37 * Coirent, Puy de Coirent - 2016_HC_432

* 1.3 g - 12.5 mm

38 * Coirent, Puy de Coirent - 2016_HC_704

* 3.3 g - 18 mm

39 * Coirent, Puy de Coirent - 2016_HC_746

* 3.4 g - 13.5 mm

Indéterminés: monnaies gauloises

Potin

Classe 2, Indéterminés monnaies Bronze

Bronze

40 * Coirent, Puy de Coirent - 2016_26283-1_757

* 1,6 g - 15 mm

41 * Coirent, Puy de Coirent - 2016_26283-1_755

* 2,2 g - 16 mm

42 * Coirent, Puy de Coirent - 2016_HC_417

* 2,5 g - 18 mm

43 * Coirent, Puy de Coirent - 2016_26279_760

* 2,6 g - 18 mm

44 * Coirent, Puy de Coirent - 2016_26062_101

* 3,1 g - 17 mm

45 * Coirent, Puy de Coirent - 2016_HC_706

* 1.7 g - 12 mm

46 * Coirent, Puy de Coirent - 2016_26514-1_578

* 3.2 g - 18 mm

Classe 7, Indét. monnaies gauloises Potin

47 * Coirent, Puy de Coirent - 2016_26110_134

* 1.3 g - 10.5 mm

Potin au sanglier à la ligne de soie marquée

Potin, BN 4021-4022D/ : Tête à dr., bourrelet.

R/ : Sanglier à dr., une ligne prononcée allant de la queue à l'oreille accentuant la soie; bourrelet.

Scheers, Lyon, 663-665; Bnf 4021-4022, 6271 ; Nash 1978, nos 605-606.

48 * Coirent, Puy de Coirent - 2016_HC_705

* 1.7 g - 16.34 mm - 3 h

Monnaies sans classification

49 * Coirent, Puy de Coirent - 2016_HC_297

* 1,7 g - 13 mm

50 * Coirent, Puy de Coirent - 2016_HC_427

* 1.2 g - 18 mm

51 * Coirent, Puy de Coirent - 2016_26283-1_756

* 2.1 g - 16 mm

52 * Coirent, Puy de Coirent - 2016_HC_158

* 4.2 g - 14.48 mm

Matériaux et techniques de construction

Rachel PHILIBEAUX (université Lumière Lyon 2)

Les bâtiments gallo-romains sur sous-sols¹ fouillés en 2014-2015 à l'ouest du sanctuaire de Corent, construit et occupés entre le I^{er} s. av. J.-C. et le II^e s. apr. J.-C., attestent d'une forte diversité architecturale. Les analyses effectuées dans le cadre de deux mémoires de Master soutenus à l'université Lumière Lyon 2 (dir. M. Poux, A. Borlenghi) ont permis d'établir à la fois une typologie des parements mais aussi une typologie des types de rebord des tuiles de couverture et de leurs pâtes. Les comparaisons effectuées avec d'autres bâtiments sur sous-sols fouillés en Gaule romaine (notamment à Alésia, Vertault) ont permis d'opérer des rapprochements architecturaux et amené des éléments de réponses quant à la possible fonction des sous-sols, résumés en synthèse du présent rapport.

Principes méthodologiques

L'étude des matériaux de construction est une discipline relativement récente. Généralement encombrants, ils ne sont pas étudiés et sont simplement dénombrés. Ces dernières années ont vu la parution de différents ouvrages traitant des matériaux de construction tels que la taille et l'approvisionnement des pierres ou la typo-chronologie des tuiles ou des mortiers (Feugère 2000, Ferdière *et al.* 2004, Coutelas 2009, Jaffrot 2015, Clément 2016).

Ce travail se fonde principalement sur la méthode d'étude du bâti gallo-romain développée dans la thèse de B. Clément pour la colonie de Lugdunum (Clément 2016), dont l'application au corpus de Corent est d'emblée apparue difficile, les données architecturales (dimensions des moellons, des joints, etc.) provenant de différents rapports et n'ayant pas été enregistrées à l'aide des « fiches maçonneries » *ad hoc* (Figure 1). Ces lacunes dans la documentation ont pu être comblées par la documentation photographique et à l'occasion de la campagne de fouille 2016, par la collecte de données précises sur le terrain. Les fiches maçonneries ont pu être complétées pour chaque mur des bâtiments étudiés. Les informations ainsi acquises ont ensuite été compilées au sein de « fiches murs » normalisées et illustrées.

La typologie des parements établie sur la base de l'analyse architecturale a été synthétisée en deux planches (Planches V et VI) et un tableau expliquant les différents types. Ce tableau définit ainsi le liant, la dimension et la qualité de taille des moellons et le type de groupe de rebord majoritaire. Les planches sont la version « plus visuelle » des types. Les résultats présentés ont été obtenus grâce aux « fiches murs » et aux études de la TCA. Si la structure ne présentait pas assez de fragments de TCA, aucun type dominant ne peut être associé à un modèle de parement. De même, si le parement n'a pas pu être relevé, on se limite à une description de ses caractéristiques.

Par souci d'économie de place, seules les fiches synthétiques résumant pour chaque bâtiment et sous-sol les matériaux utilisés et leur mise en œuvre, ont été reproduites à la suite de cette contribution.

¹ Ce terme a été préféré à celui de « cave », connoté du point de vue fonctionnel, qui induit une utilisation comme lieu de stockage et présuppose qu'il est surmonté par une pièce en surface. Or, il est possible que les sous-sols étudiés aient pu être, lorsqu'ils sont retrouvés sans maçonneries annexes, une unité d'habitat semi-enterré ou enterré.

Clos de la Solitude - 2013

MUR

SONDAGE : ZONE : Espace : DATE :

MR sur : Equivalence : MR sert d'appui à :
MR sous : MR coupe : MR contre :
Egalité : MR coupé par : Chainage :

Fondation Elévation Indéterminé

US composantes et relations strati entre US : CROQUIS (localisation, orientation, strati...):

Dimensions: Altitudes (m NGF) :
Long : Larp : Haut : (diagramme schématisant les hauteurs et les points de mesure)

| FOUNDATION | % | Qualité de la taille | Forme générale | Traces d'outils | ELEVATION | % | Qualité de la taille | Forme générale | Traces d'outils |
|------------|---|----------------------|----------------|-----------------|-----------|---|----------------------|----------------|-----------------|
| Granite | | | | | Granite | | | | |
| Graiss | | | | | Graiss | | | | |
| Calcaire | | | | | Calcaire | | | | |
| Galets | | | | | Galets | | | | |
| TCA | | | | | TCA | | | | |
| Autre: | | | | | Autre: | | | | |

DESCRIPTION CONSTRUCTION (radier de fondation, arrachements, reprises, trou de boulin, couverture...):

Nature de l'enduit : N° US:

PLAN: STRATI: FOUILLEUR: (Sauf au verso)

Clos de la Solitude - 2013

Analyse modulaire du parement :

| Module 5 x 5 (cm) | Moellons au m² | Epaisseur joints de lit | | | Finition des joints | |
|---------------------|----------------------------|--------------------------|------|------|-----------------------------------|--------------------------------------|
| | | Min: | Max: | Moy: | <input type="checkbox"/> Lissé | <input type="checkbox"/> Ragami |
| | | | | | <input type="checkbox"/> Retracoé | <input type="checkbox"/> Creux |
| Module 10 x 10 (cm) | Nombre de moellons mesurés | Epaisseur joints montant | | | Finition des joints | |
| | | Min: | Max: | Moy: | <input type="checkbox"/> Plein | <input type="checkbox"/> Indéterminé |
| | | | | | <input type="checkbox"/> Autre: | |

Dimensions des moellons (en cm) :

| | 1 | 2 | 3 | 4 | 5 | 6 | 7 | 8 | 9 | 10 | 11 | 12 | 13 | 14 | 15 | 16 | 17 |
|-------|----|----|----|----|----|----|----|----|----|----|----|----|----|----|----|----|----|
| Long: | | | | | | | | | | | | | | | | | |
| Haut: | | | | | | | | | | | | | | | | | |
| Long: | 18 | 19 | 20 | 21 | 22 | 23 | 24 | 25 | 26 | 27 | 28 | 29 | 30 | 31 | 32 | 33 | 34 |
| Haut: | | | | | | | | | | | | | | | | | |
| Long: | 35 | 36 | 37 | 38 | 39 | 40 | 41 | 42 | 43 | 44 | 45 | 46 | 47 | 48 | 49 | 50 | 51 |
| Haut: | | | | | | | | | | | | | | | | | |

Longueur moyenne : Hauteur moyenne :

Analyse morphologique du parement :

Typologie parement : Ovoid irrégulier Ovoid vitreux Ovoid spigolés

Alignement des moellons : Irrégulier Peu régulier Régulier

Assises de réglage : Brûlées x1 x2 x3 Martelés Martelés

Chainage d'angles : Pleins de taille Brûlés

Prop. Blocage/mur : Composition blocage : Prop. Blocage/mortier : Remarques :

Description du mortier :

Inclusions : GALETS SABLE TCA ROCHE GRAVIER CHARBON AUTRE

Couleur dominante : Couleur secondaire :

TEXTURE : COMPACTE FRIABLE GRAVELEUX

ASPECT : HOMOGÈNE HÉTÉROGÈNE SABLEUX TISSEAU

Diagramme stratigraphique :

Figure 1 : Fiche maçonnerie utilisée dans le cadre de l'étude des parements des sous-sols étudiés dans ce Master 2 (B.Clément 2016, p.110-111)

| GROUPES TYPOLOGIQUE | MODES CONSTRUCTIONS | LIANTS | TYPES DE TCA DOMINANT |
|---------------------|--|---------------------------------------|-----------------------|
| A | Pierres sèches | Aucun | TYPE III |
| B | Qualité de taille et assises irrégulières | « Mortier » d'argile : argilo-sableux | TYPE IV |
| C.1 | Qualité de taille et assises irrégulières | Mortier de chaux sablo-graveleux | TYPE III et IV |
| C.2 | Qualité de taille et assises irrégulières, recouvertes d'un enduit | Mortier de chaux sablo-graveleux | TYPE IV ? |
| D.1 | Qualité de taille et assises quasi-régulières | Mortier de chaux sablo-graveleux | TYPE III et IV |
| D.2 | Qualité de taille et assises régulières | Mortier de chaux sableux | TYPE IV |
| D.3 | Qualité de taille et assises régulières, recouvertes d'un enduit | Mortier de chaux sableux | / |
| E | Taillé dans le substrat basaltique | / | / |

Tableau 1 : Description des groupes typologiques des parements des sous-sols de Corent

Analyse des matériaux de construction

Examen des mortiers de construction

Dans un premier temps, l'ensemble des mortiers liée aux comblements des sous-sols, et non des parements, a été mesuré et étudié à l'œil nu. Ces données ont été ajoutées à la base de données des mortiers déjà existante. Les mortiers agglomérés à une *imbrex* ou une *tegula* mesurées et indexées sont enregistrés sous le même numéro d'individu que la tuile dans la base de données des TCA. Une analyse des types de mortier a été réalisé à l'œil nu. Elle consiste en la mesure du pourcentage volumétrique des inclusions à l'aide de la fiche présentée en Figure 2. Ensuite, les inclusions sont décrites selon un système de symbole « + » et « - ». 6 types ont été définis (M.1, M.2, M.3 M.4, M.5 et M.6, voir Tableau 2 : Référence des types de mortiers créée pour l'étude). Ces observations furent un premier travail de distinction, qui fut complété par une analyse de certains fragments de mortier à la loupe binoculaire. De deux types ont été observé grâce à cette analyse (Figure 3) : le type M.7 et le type M.8. Le premier groupe peut potentiellement englober les groupes M.1, M.2, M.3 ou M.4, alors que le type M.8 pourrait englober les types M.5 et M.6 (Figure 3, Tableau 2). Les analyses de ce travail s'appuieront principalement sur les types définis à l'œil nu, récapitulés dans le Tableau 2 ci-dessous.

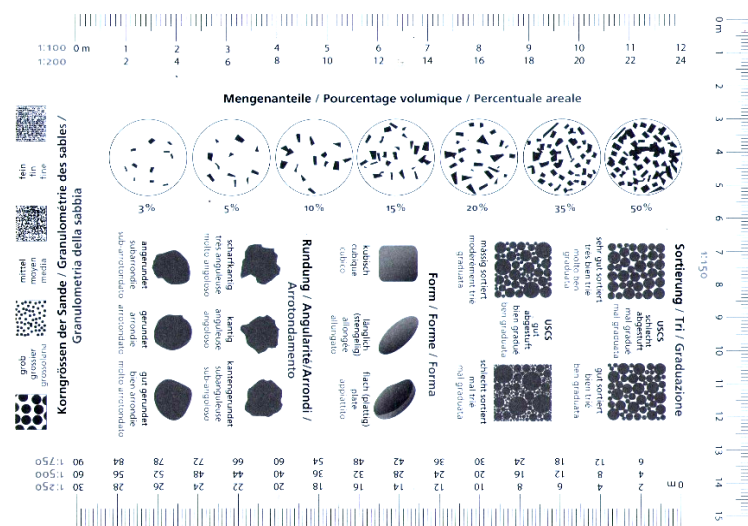


Figure 2 : Fiche d'étude des sédiments (Source : Association suisse des géologues)

| Type de mortier |
|--|
| M.1 : Basaltes + ; Sable (inclusions anguleuses : blanche, rose beige) + |
| M.2 : Basaltes + ; Sable (inclusions anguleuses : blanche, rose beige) + Chamotte ? |
| M.3 : Basaltes ++ ; Sable (inclusion blanche) ++, tuileau (?) + |
| M.4 : Basaltes ++ ; Sable (inclusions anguleuses : blanche, rose beige) ++ |
| M.5 : Basaltes ++ ; tuileau (?) + |
| M.6 : Basaltes ++ ; tuileau (?) + ; charbon (?) |

Tableau 2 : Référence des types de mortiers créée pour l'étude

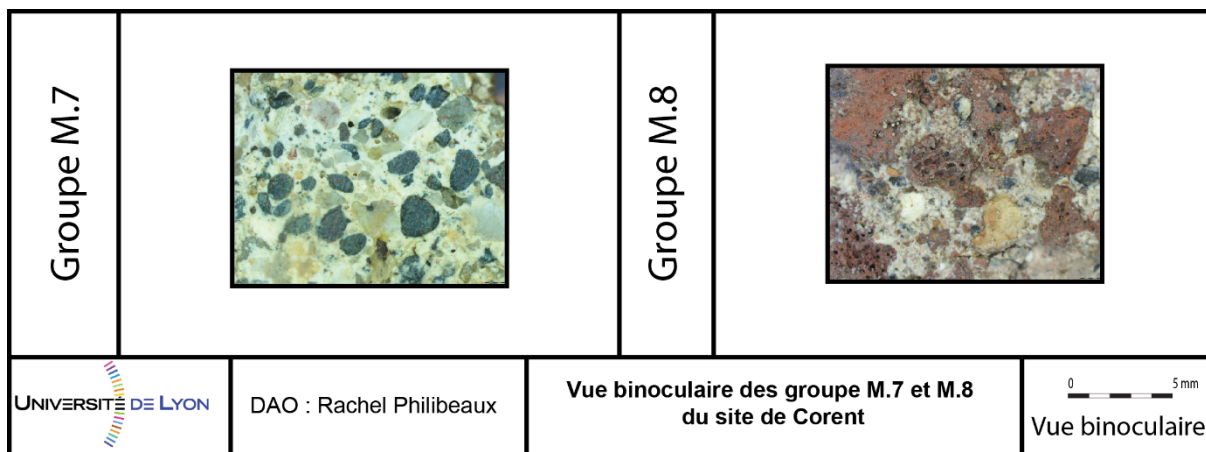


Figure 3 : Groupe des types de mortier de Corent définis par examen binoculaire

Terres cuites architecturales (TCA)

La méthode d'étude des terres cuites architecturales a déjà été définie par B. Clément (2013) pour l'ensemble de la région Auvergne-Rhône-Alpes. Si elle est largement adoptée aujourd'hui, une « journée d'actualité du réseau TCA » organisée à Auxerre le 14 octobre 2016² a soulevé le problème de la précision des mesures prises sur la largeur des rebords des tuiles. Ces mesures n'ayant pas fourni de résultat probant, il s'est avéré nécessaire de redéfinir les méthodes d'analyse en augmentant encore la précision de la localisation de la mesure. La largeur et la hauteur du rebord pouvant en effet varier selon la partie mesurée.

Sur les conseils des différents spécialistes présents à cette journée de recherche, seules les données issues de tuiles entières ont été exploitées dans le cadre de ce travail, à savoir les exemplaires intégralement conservés comportant un rebord, une encoche, ou un signe distinctif (estampilles, traces digitées), les autres fragments « informes » étant jetés après comptage et pesée. L'étude s'est surtout concentrée sur les lots provenant d'ensemble clos, à savoir les sous-sols et leurs emmarchements. Cette sélection permet de minimiser le risque de lots non homogènes. En effet, les tuiles sont des objets archéologiques particulièrement fragmentaires dont l'utilisation en tant que couverture n'est de loin pas la seule, puisqu'elles sont souvent réemployées en architecture. Elles sont, par exemple, souvent retrouvées au sein des maçonneries, afin d'assurer une meilleure solidité et/ou pour niveler une assise ou un sol. Les tuiles sont aussi régulièrement utilisées dans des canalisations ou comme éléments drainants dans des remblais (Clément 2013, 22).

La totalité des TCA étudiée se réduit ainsi à 185 restes, qui comprennent également des tuiles entières utilisées pour l'aménagement d'une sépulture, d'un foyer et de canalisations. Comme expliqué précédemment, leurs mesures peuvent permettre de définir un référentiel quant au gabarit des tuiles de Corent et apportent, grâce à leur faible degré de fragmentation et à leurs localisations particulières, des éléments de réflexion supplémentaires sur le corpus. L'identification des types de rebord est synthétisée sur la Planche I.

² Comité d'organisation composé de Sylvain Aumard (CEM Auxerre, ArTeHiS), Fabrice Charlier (Archeodunum, Mont Beuvray), Florent Delencre (Doctorant, Dijon, ArTeHiS). Le réseau TCA est dirigé par Étienne Jaffrot (Eveha, Archéologue, Responsable d'opération), Céramologue.

Pour permettre l'analyse des pâtes, des prélèvements ont été effectués sur chaque fragment. Afin de faciliter la compréhension des relations entre les différents groupes, un tableau de concordance a été mis en place (Tableau 3). Au sein de ce dernier, les termes « pâte fine », « sableuse » et « grossière » s'appliquent uniquement aux tuiles et diffèrent de ceux utilisés pour la céramique. Les signes « + » et « - » renvoient à la proportion d'inclusions dans l'échantillon. Ces groupes sont illustrés dans les Planches II et III.

| Descriptions | | | | | |
|--------------|--|---|---|---|--|
| | 1.1 | 1.2 | 1.3 | | |
| Groupe 1 | Pâte claire, assez sableuse, comportant des inclusions diverses de taille moyenne et de couleurs variées (blanches, saumon, crème, grises (+ +)) | Pâte claire (moins que 1.1), assez sableuse, comportant des inclusions diverses de taille moyenne et grosse, de couleur variée (blanches, saumon, crème, grises (+ +)) | Pâte claire (moins que 1.1), très sableuse, comportant des inclusions (dont des ions ferreux) diverses de taille moyenne et grosse, de couleurs variées (blanches, saumon, crème, grises (+ +)) | | |
| | | | | | |
| Groupe 2 | 2.1 | 2.2 | | | |
| | Pâte claire, sableuse et "fine", comportant de très petites inclusions de couleurs variées ((blanches, saumon, crème, grises (+)) | Pâte claire, sableuse et "fine", comportant de très petites inclusions de couleurs variées ((blanches, saumon, crème, grises (+ +)) | | | |
| Groupe 3 | 3.1 = 12 | 3.2 = 7.1 | | | |
| | Pâte foncée, très sableuse à nombreuses inclusions anguleuses, grossières de couleurs variées (blanche (en majorité) crème, grise (+++)) | <i>Null</i> | | | |
| Groupe 4 | 4.1 | 4.1.1 | 4.2 | 4.3 | 4.4 |
| | Pâte de couleur saumon (pâte claire), très "fine", comportant de multiples petites inclusions rondes et de couleurs variées ((blanches, saumon, crème, marron (ions ferreux ?), grises, noirs (+++)) | Pâte claire, très "fine", comportant de petites inclusions rondes et de couleurs variées ((moins nombreuses que 4.1 : blanches, saumons, crèmes, marrons (ions ferreux ?), grises, noirs (+)) | Pâte de couleur saumon (pâte claire), très "fine", comportant de multiples petites inclusions rondes et de couleurs variées ((plus grossières et anguleuses que 4.1 ou 4.1.1 : blanches, saumons, crèmes, marrons (ions ferreux ?), grises, noirs (++)) | Pâte claire, sableuse, comportant de multiples inclusions rondes et anguleuses (les plus grosses sont grises), de couleurs variées ((blanches, saumon, crème, marron (ions ferreux ?), grises, noirs (+++)) | Pâte claire, très sableuse, comportant de multiples inclusions anguleuses et rondes (moindres), de couleurs variées ((blanches, saumon, crème, marron (ions ferreux ?), grises, noirs (+++)) |
| Groupe 5 | 5 | | | | |
| | Pâte de couleur saumon (pâte claire), assez sableuse, comportant de petites et moyennes inclusions rondes et de couleurs variées ((blanches, saumon, crème (+)) | | | | |
| Groupe 6 | 6 | | | | |
| | Pâte claire, sableuse et "fine", comportant de très petites inclusions (majoritaire) de couleurs variées ((blanches, saumons, crèmes, grises, marrons (+)) et de grosses inclusions grises à taches blanches (-) | | | | |

| | | | | | |
|-----------|---|---|--|--|--|
| Groupe 7 | 7.1 | 7.2 = 3.2 | | | |
| | Pâte claire, grossière, comportant de multiples inclusions anguleuses et grossières, de couleurs variées ((blanches, saumon, crème, grises (+++)) | Pâte claire, grossière, comportant de multiples inclusions anguleuses, moins grossières que 7.1 et de couleurs variées ((blanches, saumon, crème, grises (+++)) | | | |
| Groupe 8 | 8.1 | 8.2 | | | |
| | Pâte légèrement foncée, comportant plusieurs couches plus ou moins claires, grossière, comportant de multiples inclusions anguleuses et grossières, de couleurs variées ((blanches, crème, grises (+++)) | Pâte claire et grossière, comportant de multiples inclusions anguleuses et grossières (voire très larges), de couleurs variées ((blanches, crème, grises (+++)) | | | |
| Groupe 9 | 9 | | | | |
| | Pâte très claire, comportant plusieurs couches plus ou moins claires, comportant quelques inclusions anguleuses et grossières, de couleurs variées ((blanches, crèmes, grises (+)) | | | | |
| Groupe 10 | 10 | | | | |
| | Pâte très claire et sableuse comportant de multiples inclusions rondes de petite taille (blanches, saumon, crème (+++)) et quelques inclusions anguleuses et grossières, de couleurs variées ((blanches, saumon, crème (+)) | | | | |
| Groupe 11 | 11 | | | | |
| | Pâte "foncée" (très orangée), "fine", avec rares inclusions grossières et anguleuses de couleurs variées (blanche, noir, marron/rouges (ions ferreux) (+) | | | | |
| Groupe 12 | 12 = 3.1 | | | | |
| | <i>Null</i> | | | | |

Tableau 3 : Définitions des groupes céramiques des TCA étudiées

Formes architecturales des sous-sols de Corent

Les différentes études menées durant nos deux années de Master permettent d'obtenir une vue d'ensemble architecturale et chronologique des bâtiments sur sous-sols de Corent, principalement localisés dans les quartiers fouillés en 2014-2016 à l'ouest du sanctuaire. Le premier travail d'identification des matériaux et de leurs modalités de mise en œuvre a été complété, dans un second temps, d'une analyse des mortiers et terres cuites architecturales (TCA) associés aux bâtiments du corpus.

Analyses des types de mortier

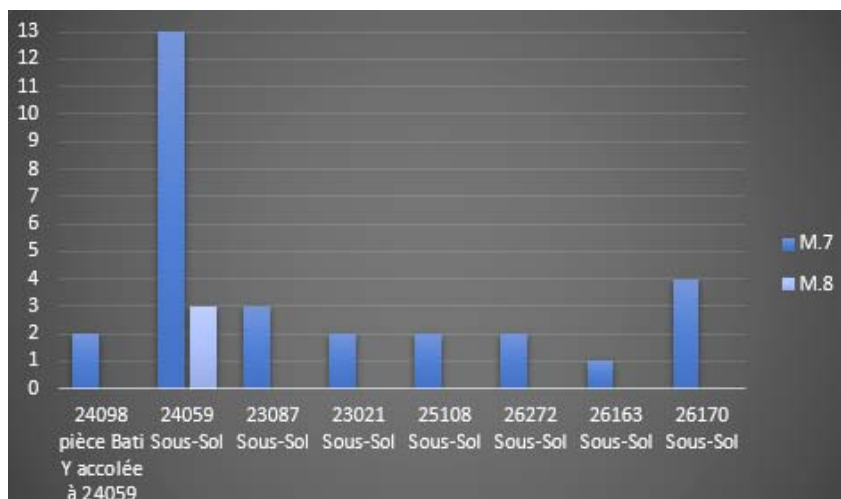
L'analyse des mortiers n'est pas la plus fournie au niveau des restes étudiés, puisque tout le mobilier concerné n'a pu être étudié pour des raisons techniques. Les observations faites sur le terrain permettent néanmoins de combler ces lacunes.

L'analyse des liants utilisés pour chaque bâtiment a fait l'objet d'une présentation détaillée dans le volume de catalogue du Master et se trouve résumée dans les fiches synthétiques qui suivent cette contribution.

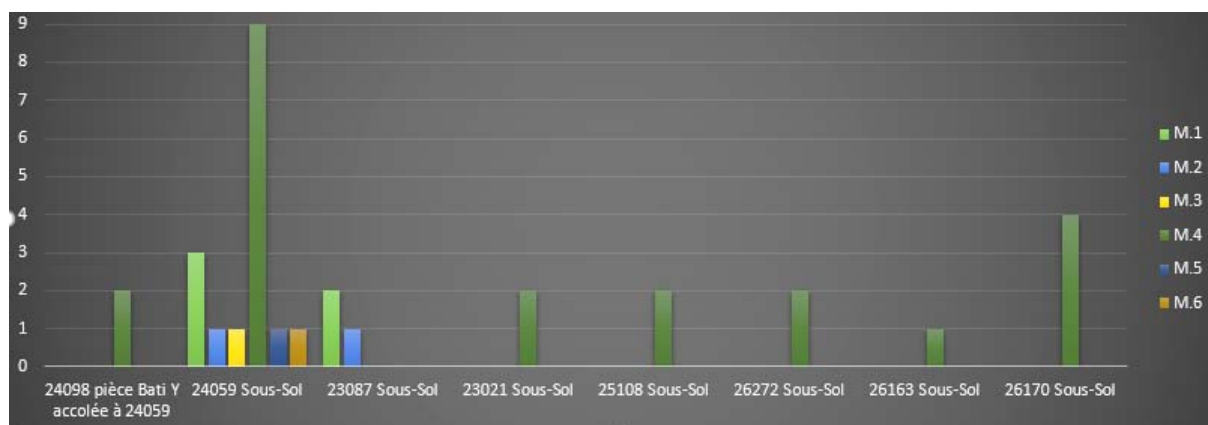
Un type de mortier prédomine dans les constructions maçonnées de Corent (Graphique 1), qui présente une matrice graveleuse (inclusions de basalte et très faiblement de pouzzolane), sableuse et fortement chaulée (M.7, Figure 3). Le pourcentage d'inclusion varie quelque peu mais son profil reste assez identique. Il peut parfois être moins chaulé, comme c'est le cas dans le sous-sol [24067] du bâtiment W (Planche V) et sûrement dans les sous-sols où le mortier était très dégradé (sous-sols des bâtiments U et V, Planche VI).

Un autre type a été identifié dans le sous-sol [24059], qui correspond à un mortier riche en inclusions de pouzzolane (M.8, Figure 3). Il se distingue par sa couleur rosâtre et possède des propriétés hydrauliques qui le rapprochent des mortiers dits « de tuileau » enrichis de TCA concassée. Il pourrait être lié dans le sous-sol à des éléments de démolition apportés de l'extérieur, puisqu'il n'est pas utilisé dans les constructions conservées du bâtiment Y attenant. Surtout attesté dans les constructions du sanctuaire, il semble également utilisé dans la chape de sol du groupe de construction arasées repéré au nord de ce dernier, qui ont conservé un lambeau de sol mortier enrichi d'amphores concassées.

De manière plus générale, l'observation à l'œil nu des types de mortiers révèle une plus grande diversité au sein du sous-sol [24059] (Graphique 2). Il s'agit peut-être d'un comblement multiple. Il faut cependant noter que ce sous-sol est aussi celui dont le plus grand nombre de fragments de mortier a été analysé. C'est en partie pour cela que les groupes ont été réunis en deux groupes généraux. Il est préférable de prendre en compte uniquement ces deux groupes (M.7 et M.8).



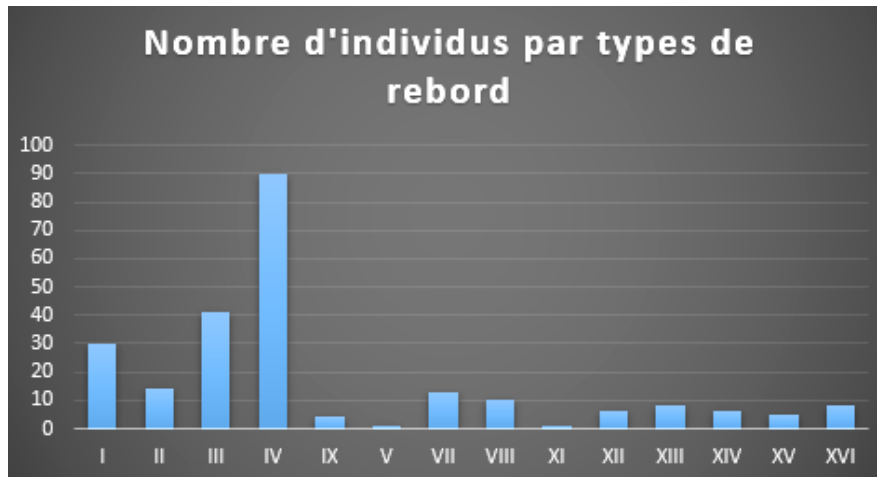
Graphique 1 : Répartition des types de mortiers observés à la loupe binoculaire



Graphique 2 : Répartition des types de mortiers définis à l'œil nu

Analyses des types de tuile

En ce qui concerne les *tegulae* deux profils sont dominants : les types III et IV. Bien que 16 profils aient pu être identifiés (Planche I), les types III et IV ressortent toujours de manière majoritaire dans les analyses (Graphique 3).

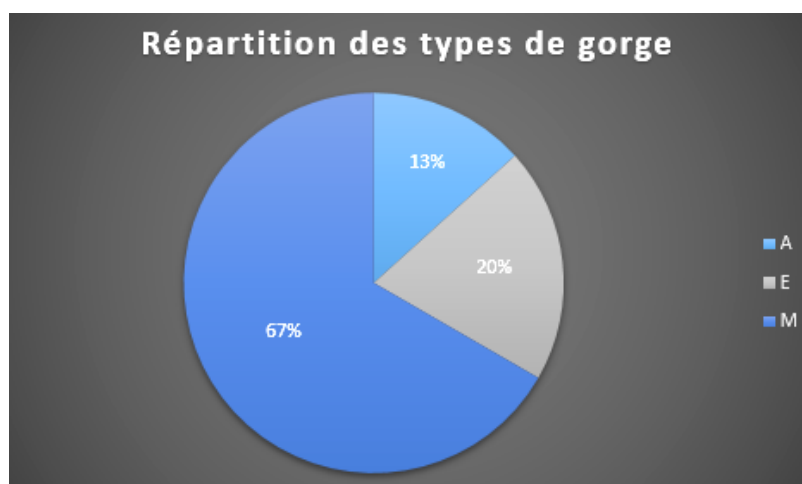


Graphique 3 : Nombre d'individus par type de rebord exprimé en nombre et en NMI

Les *imbrices* étudiées ont une épaisseur moyenne de 1,8 cm avec un écart type de 0,25 et seulement trois individus ont un engobe.

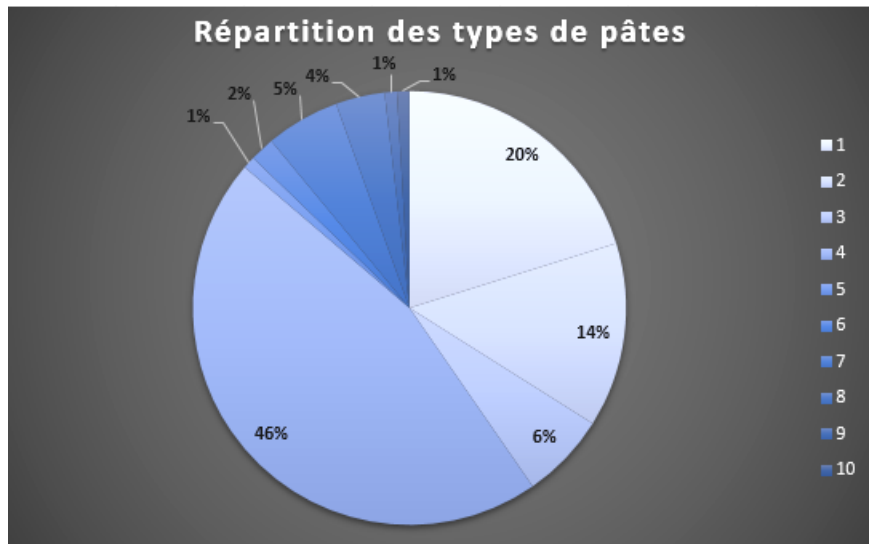
Les tuiles entières analysées ont pour types de profils majoritaires les types I, IV, XIII et XVI. Leurs mesures donnent un gabarit compris entre 45 et 52 cm de long avec une largeur comprise entre 33 et 34,5 cm et une épaisseur allant de 2,6 cm à 3,3 cm. Ces tuiles ne sont pas en lien direct avec les sous-sols hormis pour un individu émanant du sous-sol [24059] du bâtiment Y. Elles proviennent de canalisations ou de la sépulture d'immature de l'enclos V5. Sur ce point il est intéressant de voir que l'une des canalisations, la [26310], comprend les deux mêmes types de profils. Le type IV provient de l'autre canalisation [26311].

La sépulture de l'enclos V5 a quant à elle été coffrée à l'aide de tuiles de type I et XIII. Le type I est le troisième type le plus courant dans le comblement des sous-sols à Corent avec 30 individus (Graphique 3). Les gorges de tuiles provenant de ces mêmes comblements sont de type majoritairement marquées (Graphique 4). 47 tuiles sur un NMI de 193 possèdent des traces d'engobes.

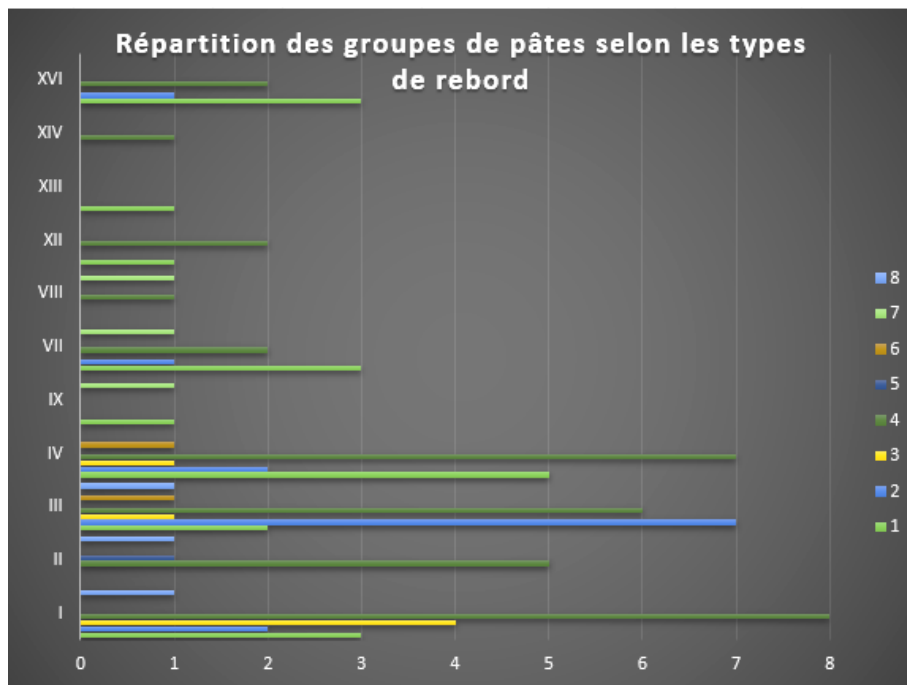


Graphique 4 : Répartition des types de gorge exprimée en pourcentage et en NMI, A : Absente ; E : Esquissée ; M : Marquée.

Le type de pâte (Planche II et III) le plus présent est le type 4 avec près de la moitié des individus composés de cette pâte (Graphique 5). Le second groupe majoritaire est le groupe 1 ensuite vient le groupe 2. Le graphique de répartition des types de pâtes selon le type de rebord (Graphique 6) montre la relation entre le rebord de type IV et la pâte de type 4 ; le second type de rebord, le type III est majoritairement composé d'une pâte de type 2. Le type de pâte 1 renvoie aux *tegulae* ayant un rebord de type XVI ou VII et se rattache également aux *tegulae* ayant rebord de type IV. Le groupe de pâte 3 est aussi marqué et en lien avec les *tegulae* de type I.

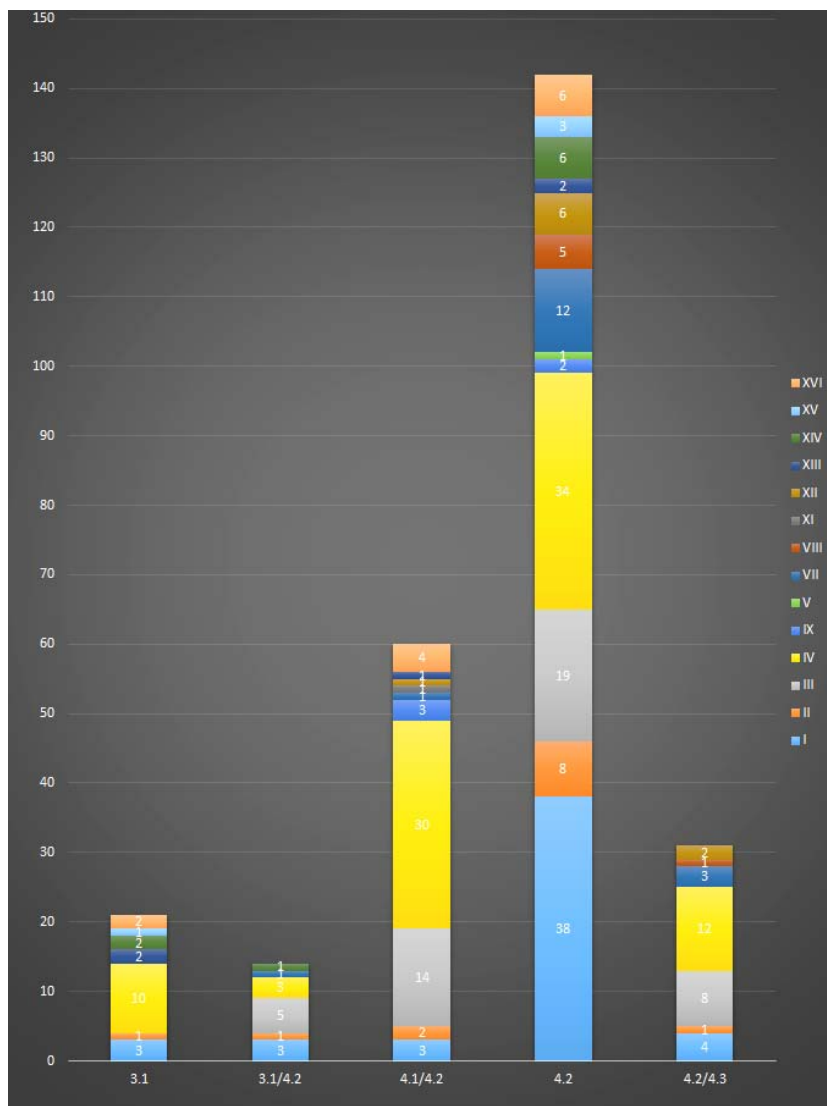


Graphique 5 : Répartition des types de pâtes (vue binoculaire) exprimée en pourcentage et en NMI



Graphique 6 : Répartition des groupes de pâtes selon les types de rebord, exprimé en nombre et en NMI.

Le dernier graphique (Graphique 7) d'étude globale des *tegulae* de Corent montre le rapport entre la datation des sous-sols et le type de rebord retrouvé. Il est possible que le II^{ème} siècle apr. J.-C. soit marqué par une grande diversité de types de rebord. Mais ce propos doit être nuancé car il s'agit de la période pour laquelle le plus grand nombre de fragments ont été retrouvés. En revanche, le fait que le type IV soit majoritaire est confirmé de nouveau par ce graphique. De même, le type I est beaucoup plus présent au II^{ème} siècle apr. J.-C. qu'aux siècles précédents. Le type III quant à lui connaît une fréquence notable durant le I^{er} siècle apr. J.-C. et II^{ème} siècle apr. J.-C. Ces différences de production apparaissent comme liées avec la phase « d'apogée » des sous-sols qui se situe entre la période 4.1 et la période 4.2. Cependant ce constat se doit d'être nuancé du fait que la plupart des rebords étudiés proviennent du sous-sol [24059] qui est daté de la phase 4.2.



Graphique 7 : Type de rebord selon les périodes des sous-sols

Modes de construction

Les sous-sols retrouvés jusqu'ici apparaissent dès le I^{er} siècle av. J.-C. Cette forme d'occupation perdure jusqu'au II^{ème} siècle apr. J.-C (**Erreur ! Source du renvoi introuvable.**). Entre le I^{er} siècle apr. J.-C. et le II^{ème} siècle apr. J.-C., chaque bâtiment possède un sous-sol maçonné.

Les constructions utilisent majoritairement du basalte et de la pouzzolane, dans de plus rares cas du calcaire ou de l'arkose sont ajoutés aux parements (exemple de parement du sous-sol [24059], Planche V). Les sous-sols attestés peuvent posséder soit des parois « brutes », directement taillées dans le substrat basaltique (grand sous-sol [25334], Planche VI) qui auraient pu être recouvertes de parois en bois, ou bien être construits en pierres sèches ou encore avoir des parements liés à l'argile ou au mortier.

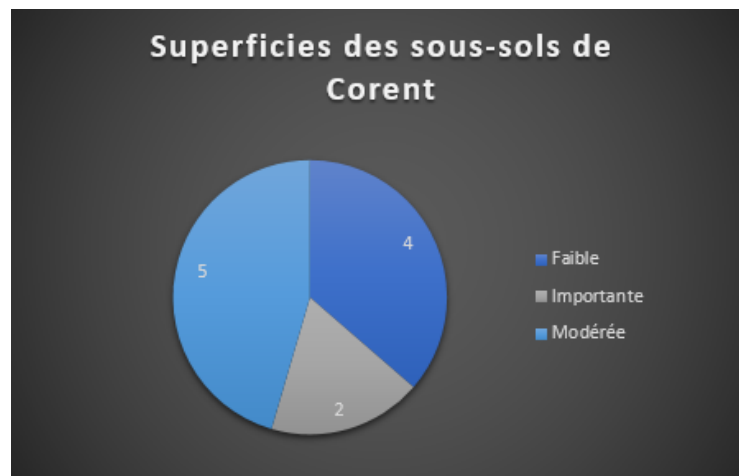
L'analyse des types de parements (Planches V et VI, tableau 2) montre une grande diversité dans la mise en œuvre. Les sous-sols datant des états les plus anciens (3.1 ou 3.2) sont majoritairement constitués de parements en pierres grossièrement équarries liées à l'argile, voire même montés pierre sèche (sous-sol [23087] Planche V). Mais on trouve également à cette période un sous-sol avec un parement assez régulier, maçonné et enduit (sous-sol [26163], Planche VI).

Le liant entre les pierres du parement est du mortier, alors que celui utilisé pour l'embranchement [26205] est en revanche de l'argile. Le mortier serait donc utilisé dès l'état 3.1. Le fait que le mortier apparaisse si tôt sur le plateau de Corent est surprenant. Autre fait intéressant, le sous-sol [26163] contient dans son comblement des amphores prises dans le mortier. Ces amphores (Planche XXVII) devaient être utilisées à la place des tuiles comme pièces de réglages pour les assises des parements du sous-sols.

Il est possible que l'argile soit encore utilisée en tant que liant au I^{er} s. apr. J.-C., comme tend à l'indiquer le sous-sol [24070] du bâtiment X (Planche V). Utilisé au moins jusqu'au début du II^e s. apr. J.-C., il a néanmoins pu être construit dès le I^{er} s. apr. J.-C. à l'instar de la cave [26163]. Le sous-sol [26272] utilisé entre la période 3.2 et 4.2, est également source de questionnement, il est taillé dans le basalte sur une hauteur d'environ 1 m, puis il est parementé avec un liant qui semble être de l'argile mais qui pourrait tout aussi bien être du mortier dégradé au vu des marques de mortier présentes sur certaines pierres du parement.

Il apparaît donc compliqué, en l'état des découvertes, d'esquisser une tendance architecturale pour les premières phases d'occupation du quartier et plus encore, pour les phases suivantes. Si la qualité des maçonneries visibles est assez variable durant la période 4.1, on observe que les assises et la taille de moellons peuvent continuer à être irrégulières à la période 4.2. Les différences de tailles et d'assises sont manifestes si l'on compare les parements du bâtiment T et du bâtiment Y (Planche V). Ces deux bâtiments sont pourtant datés de la même période mais le savoir-faire diffère concernant la mise en œuvre. Le sous-sol [26170] du bâtiment V est encore construit d'une autre manière alors qu'il date de la même période que les sous-sols énoncés précédemment. La *tegula* conservée au sommet de son parement est soit une assise de réglage et donc l'indice d'une similitude architecturale avec le sous-sol du bâtiment Y, soit le reliquat d'une niche ce qui pourrait être un indice quant à sa fonction. Les types de construction rencontrés dans cette étude ne sont peut-être pas un indice de richesse ou d'acquis technique mais renvoient peut-être plutôt à la fonction des bâtiments.

Les cages d'escalier, à la différence des parements, suivent des formes bien définies. Tout d'abord, la majeure partie des escaliers est faite de pierres. Ensuite, il se divise en deux standards, ils peuvent être soit à volée droite, soit à double volée. Seulement trois sous-sols sur onze possèdent des formes d'escalier différentes. Le sous-sol [25108] devait accueillir un escalier à double volée en bois soutenue par des poteaux. Les structures [26163] et [26272] (Planche VII) quant à elles, ont un escalier taillé à même le substrat, il est possible qu'un habillage de bois ait pu les recouvrir. Ces informations concernant la forme de la cage d'escalier et les plans des sous-sols de Corent sont réunis au sein de la Planche IV. Grâce à ce tableau on observe que les sous-sols maçonnés et possédant un escalier à double volée (2A) datent majoritairement du II^{ème} siècle apr. J.-C. Il s'agit également du type dominant à Corent, juste devant les escaliers à volée droite se trouvant dans les sous-sols maçonnés (1A). La superficie (Graphique 8) usuelle des sous-sols se situe en dessous de 16 m² sauf pour les sous-sols [25108] et [25334] qui dépassent les 20 m². Là encore, une tendance se dégage quant à la taille des sous-sols.



Graphique 8 : Superficie des sous-sols de Corent (Faible : [0 ; 11[, Modérée : [11,1 - 16[, Importante : [16,1[)

Cette étude des sous-sols montre donc une grande diversité des modes de construction mais aussi une certaine régularité de la forme globale de ceux-ci (cage d'escalier et superficie) suivie. Cela est sûrement en rapport avec la taille globale des habitats qui devait très peu varier au vu de la constance de la superficie des sous-sols. Le mode de construction des parements est peut-être, comme il a été énoncé plus haut, lié à la fonction des sous-sols. Quant au plan phasé (**Erreur ! Source du renvoi introuvable.**) des sous-sols et de leurs bâtiments une grande concentration des structures peut être observée durant la période 4.2. De plus, l'orientation des bâtiments est bien délimitée pour cette période, chaque bâtiment possédant un sous-sol. Dans ce cas de figure, le sous-sol [25108] devrait être rattaché à un bâtiment. La forme globale de ces bâtiments rattachés aux sous-sols devrait être de petite taille ne comportant pas plus de trois pièces de surfaces et une pièce en sous-sol liée. Ce constat est nuancé par le bâtiment Y, qui apparaît comme possédant une annexe, le bâtiment Z, dans sa partie sud. Cependant, on peut envisager que le sous-sol [25108] soit en réalité lié à cette partie, son emmarchement allant vers le bâtiment Z. Les sous-sols étudiés dans les sites de comparaison avaient des accès donnait majoritairement sur une cour ouverte et non sur l'intérieur d'un bâtiment. Ainsi, on peut tout à fait supposer que le sous-sol [25108] s'ouvrait sur une grande cour appartenant au bâtiment Z.

Conclusion

Par l'analyse attentive des matériaux de construction, des maçonneries et de la forme générale des bâtiments sur sous-sols datant du I^{er} siècle avant J.-C au III^{ème} siècle après J.-C, cette étude met en lumière la diversité des formes architecturales du bâti gallo-romain de Corent.

Les études conduites sur les terres cuites architecturales ont permis la mise en place d'une base de données des *tegulae* et *imbrices* retrouvées dans les sous-sols. Elles ont validé la présence majoritaire des types de rebord IV et III, fortement utilisés à la période 4.1 et 4.2. De même, les analyses concernant les pâtes des TCA ont confirmé la récurrence sur le site d'une pâte de type 4, suivie des types 3, 2 et 1 ; mais également le fait que les TCA de Corent sont majoritairement sans engobe et qu'elles possèdent une gorge marquée.

Les analyses de mortier montrent que les bâtiments domestiques de Corent utilisent principalement un même type (M.7) sableux, assez chaulé et enrichi entre autres d'un granulats d'inclusions de basalte. Il se distingue notamment de celui utilisé pour la construction du sanctuaire, sorte de mortier au « tuileau » utilisant de la pouzzolane concassée (M.8), dont quelques fragments ont été trouvés dans le comblement du sous-sol [24059]. Enfin, l'étude des parements et des maçonneries des bâtiments sur sous-sol révèle l'existence d'au moins cinq types génériques, mis en œuvre à différentes périodes et dans différents types de caves sans qu'il soit possible de discerner une logique particulière.

Au-delà de l'intérêt archéologique que représente la description normalisée des bâtiments sur les fiches de synthèse reproduites à la suite de cette contribution, il ne s'agit là que de premières pistes, qui pourront être validées ou invalidées ultérieurement par d'autres découvertes et un approfondissement des analyses.

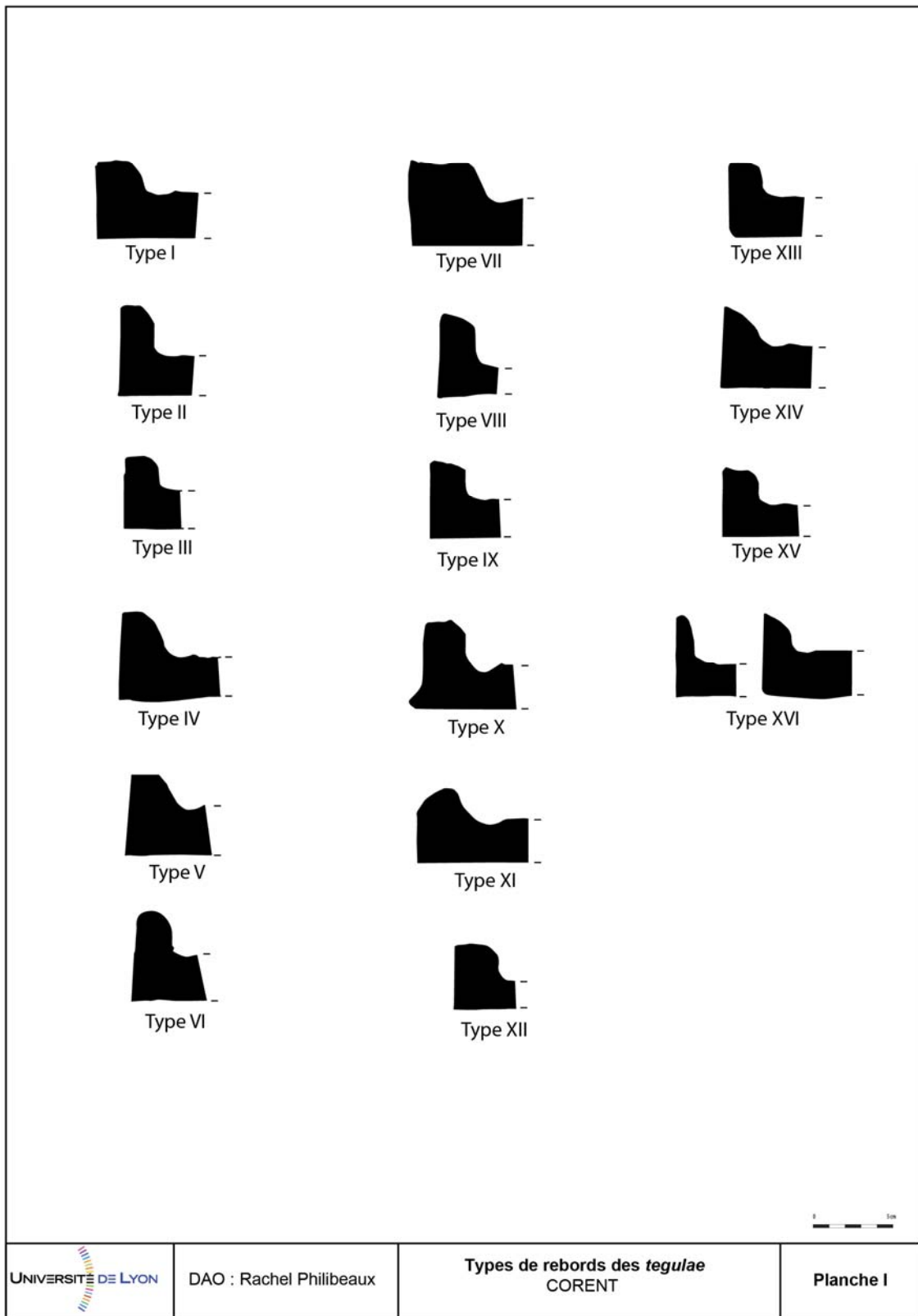


Planche I : Typologie des rebords des tegulae de Corent


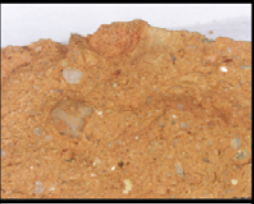




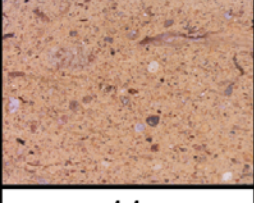



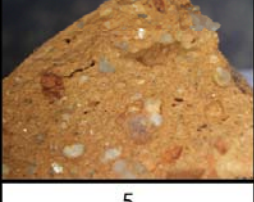


| | | | | |
|---|---|--|---|--|
| | 1.1 | 1.2 | 1.3 | |
| Groupe 1 |  |  |  | |
| | 2.1 | 2.2 | | |
| Groupe 2 |  |  | | |
| | 3.1 | 3.2 = 7.2 | | |
| Groupe 3 |  | X | | |
| | 4.1 | 4.1.1 | 4.2 | 4.3 |
| Groupe 4 |  |  |  |  |
| | 4.4 | | | |
| Groupe 4 |  | | | |
| | 5 | | | |
| Groupe 5 |  | | | |
| Vue binoculaire | | | 0 — 5 mm | |
|  | DAO : Rachel Philibeaux | Typologie des pâtes de TCA Groupes 1 à 5 CORENT | | Planche II |

Planche II : Typologie des pâtes de TCA de Corent : Groupes 1 à 5






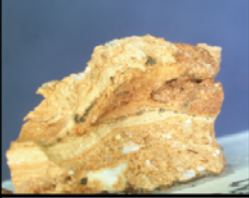
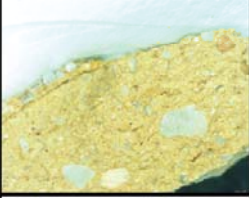

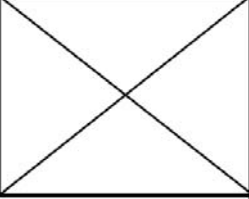


| | | | | |
|---|---|---|---|-------------|
| | 6 | | | |
| Groupe 6 |  | | | |
| | 7.1 | 7.2 | | |
| Groupe 7 |  |  | | |
| | 8.1 | 8.2 | | |
| Groupe 8 |  |  | | |
| | 9 | | | |
| Groupe 9 |  | | | |
| | 10 | | | |
| Groupe 10 |  | | | |
| | 11 | | 12 = 3.1 | |
| Groupe 11 et 12 |  | |  | |
| Vue binoculaire | | |  | |
|  | DAO : Rachel Philibeaux | Typologie des pâtes de TCA Groupes 6 à 12 CORENT | | Planche III |

Planche III : Typologie des pâtes de TCA de Corent : Groupes 6 à 12

| Sous-sols de superficie inférieure à 16,1 m2 | | | | | | Sous-sols de superficie supérieure ou égale à 16,1 m2 | | | | | | | | | | | | | | | | | |
|--|--|--|--|-----------------------------------|---|---|----------------------------------|---|---|---|-------|--------------------|----------------------------------|------------------|---|--------------------|----------------------------------|------------------|---|--|--|--|--|
| Typologie | Type 1 : Maçonné Escalier à volée droite | | Type 2 : Maçonné Escalier à double volée | | Type 3 : Sans escalier ou avec escalier en bois | | Type 4 : Grand sous-sols | | | | | | | | | | | | | | | | |
| | | | | | Sans habillage ou parois en bois | Pierres sèches ou maçonné | Sans habillage ou parois en bois | | | Pierres sèches ou maçonné | | | | | | | | | | | | | |
| | | | | | | | | | | | | | | | | | | | | | | | |
| 1A | | 1B | | 2A | | 2B | | 3A | | 3B | | 4A | 4A' | 4A'' | | 4B | 4B' | 4B'' | | | | | |
| Escalier droit en pierre | | Escalier droit taillé dans le substrat | | Escalier en pierre à double volée | | Escalier à double volée taillé dans le substrat | | Escalier en bois ou sans trace d'escalier | | Escalier en bois ou sans trace d'escalier | | Escalier en pierre | Escalier taillé dans le substrat | Escalier en bois | | Escalier en pierre | Escalier taillé dans le substrat | Escalier en bois | | | | | |
| Sous-sols associés | 23021 | | | | 24067 | | | | | | | | | | | | | | | | | | |
| | 23087 (pierres sèches) | | 26163 26272 | | 24070 24059 26170 | | 25108 | | | | 25334 | | | | | | | | | | | | |
| Total | 2 (+ 1) | | 2 | | 4 | | 1 | | 0 | | 0 | | 1 | 0 | 0 | | 0 | 0 | 0 | | | | |

N.B :

| | | | |
|--|-------------------------|--|-------------------|
| | DAO : Rachel Philibeaux | Les types de sous-sols de Corent CORENT | Planche IV |
|--|-------------------------|--|-------------------|

Planche IV : Typologie des sous-sols de Corent

| | Parement des structures 0 1m | Rebord le plus courant 0 5cm | Phase | Groupe typologique |
|---|---------------------------------|-----------------------------------|---------|--------------------|
| Atelier de potier Bâtiment T | | | 3.1/4.2 | A |
| Bâtiment X | | | 4.1/4.2 | B |
| Bâtiment T | | | 4.2 | C.1 |
| Bâtiment W | | | 4.1 | D.1 |
| Bâtiment Y | | | 4.2 | D.2 |
| Légende : Pouzzolane Basalte Calcaire Substrat Argile Mortier | | | | |
| UNIVERSITÉ DE LYON | DAO : Rachel Philibeaux | Typologie des parements CORENT | | Planche V |

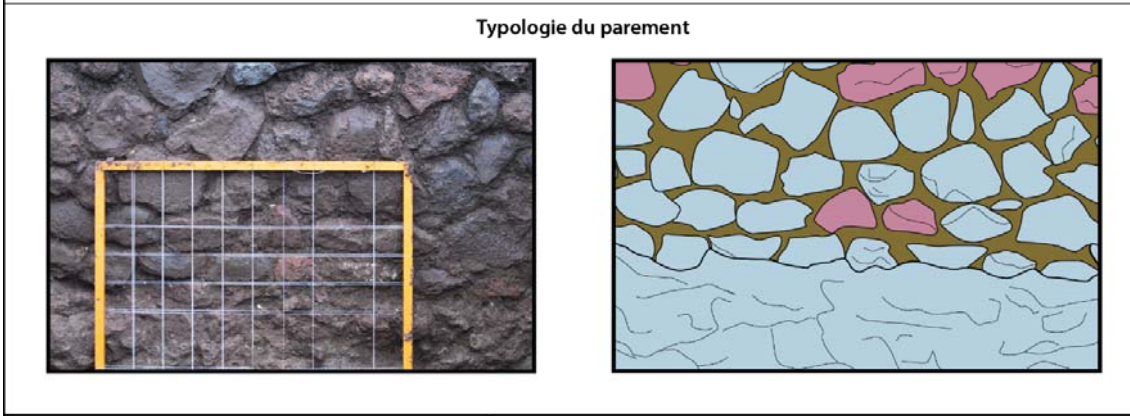
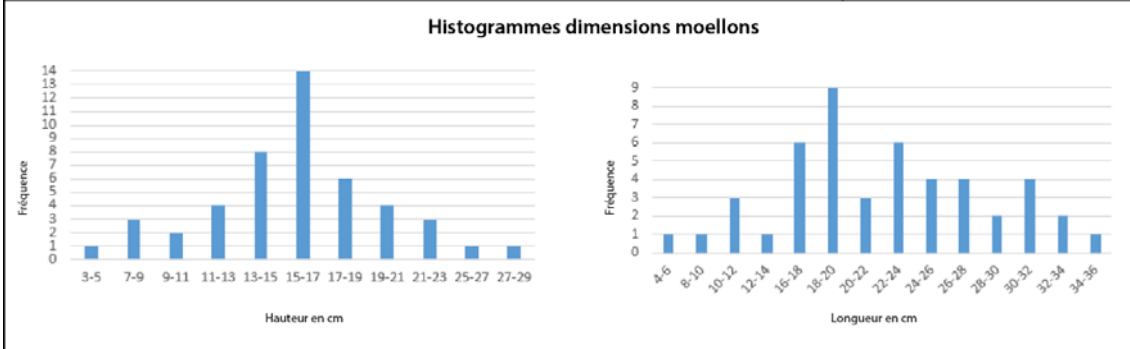
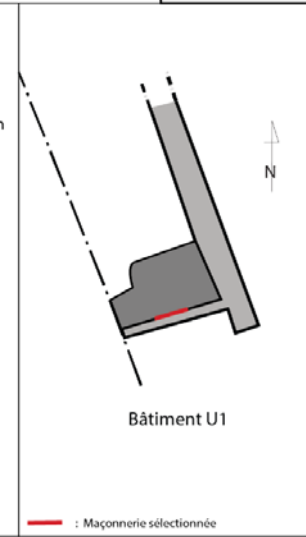
Planche V : Typologie des parements PL.1

| | Parement des structures 0 1m | Rebord le plus courant 0 5cm | Phase | Groupe typologique |
|---|---|-----------------------------------|---------|--------------------|
| Bâtiment V4b | | | 3.1 | C.2 |
| Bâtiment V6 | | | 3.1 | C.2 |
| Sous-sol 25334 | Taillé dans le substrat basaltique | | 3.2/4.1 | E |
| Bâtiment U1 | | | 3.2/4.2 | B (+ E) |
| sous-sol 25108 | Murs parementés avec enduit peint, similaire à V4b mais postérieur, très mal conservés. | | 4.1/4.2 | D.3 |
| Bâtiment V4a | | | 4.2 | D.1 |
| | | | | |
| Légende : Pouzzolane Basalte Calcaire Substrat Mortier Mortier dégradé Argile | | | | |
| UNIVERSITÉ DE LYON | DAO : Rachel Philibeaux | Typologie des parements CORENT | | Planche VI |

Planche VI : Typologie des parements PL.2

| | | |
|--|---|--------------------------------|
| I- Définition structure : UF 26272 Cave, représentée par le Mur est-ouest UF 26057 bâtiment U1, élévation Largeurs murs : 0,60m-0,62m ; Haut. max. élèv. : 1,46m ; Longueur max. : 1,50m Dimension total cave : 1,42m de large par 1,50m de long ; m ² : 2,13 | II- Phase de construction : Courant Ier (3.2 ?) | Groupe Typologique : B (+E) |
|--|---|--------------------------------|

- III- Description des moellons :**
- Qualité du matériau majoritaire utilisé : Basalte
 - Qualité du matériau minoritaire utilisé : Pouzzolane
 - Qualité de taille : irrégulière
 - Typologie TCA : /
 - Autres informations : /
- V- Description de la mise en oeuvre :**
- **Opus : Incertum**
 - Assise des moellons : Quasi-irrégulier
 - Finition des joints : /
 - Traces de revêtements : /
 - Assises de briques : /
 - Chainage d'angle : /
 - Hauteur d'assise module : 10 cm - 14 cm
- VII- Description du blocage :**
- Agencement : Caementicum
 - Composition de l'agrégat : Basalte, pouzzolane
 - Proportion ép. blocage 10 cm / ép. mur : 60 cm
 - Mise en oeuvre de l'agrégat : Tout venant, moellons
 - Remarque sur la qualité du blocage : peu épais.
- IV- Analyse modulaire du parement (en cm) :**
- Épaisseur joints de lit : min. : 0,84cm ; max. : 4,04 cm ; moy. : 2,17 cm
 - Épaisseur joints montant : min. : 0,54 cm ; max. : 4,28 cm ; moy. : 2,75 cm
 - Module hauteur 5 moellons + 5 joints de lit : 77,48 cm
 - Total moellons mesurés : 47
 - Dimension moy. hauteur moellons : 15,50 cm
 - Dimension moy. longueur moellons : 21,86 cm
 - Dimension moy. profondeur moellons : /
- VI - Description du mortier :**
- Famille de liant : Argile
 - Coloration : marron
 - Texture du granulat : sableux
 - Groupe typologique : /
 - Remarques : /
- VIII- Particularités :**
- Le côté est du parement sud du mur 26057 sert d'appui à un muret 26328 et au mur 26056.
 - La cave n'est pas totalement maçonnerie, la partie inférieure est creusée dans le substrat basaltique.

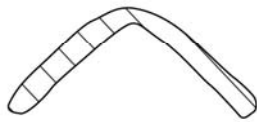


Légende :

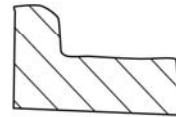
| | | | |
|--|------------|--|--------|
| | Basalte | | Argile |
| | Pouzzolane | | |



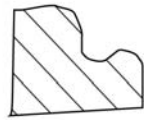
| | | | |
|--|--|-------------------------------------|--------------------|
| | DAO : Rachel Philibeaux Photographie : L.U.E.R.N. | Batiment U1 CORENT | Planche VII |
|--|--|-------------------------------------|--------------------|



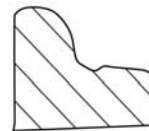
N°26272.0.6



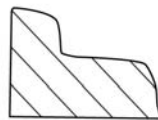
N°26272.0.8



N°26272.0.7



N°26272.0.9



N°26272.2.1



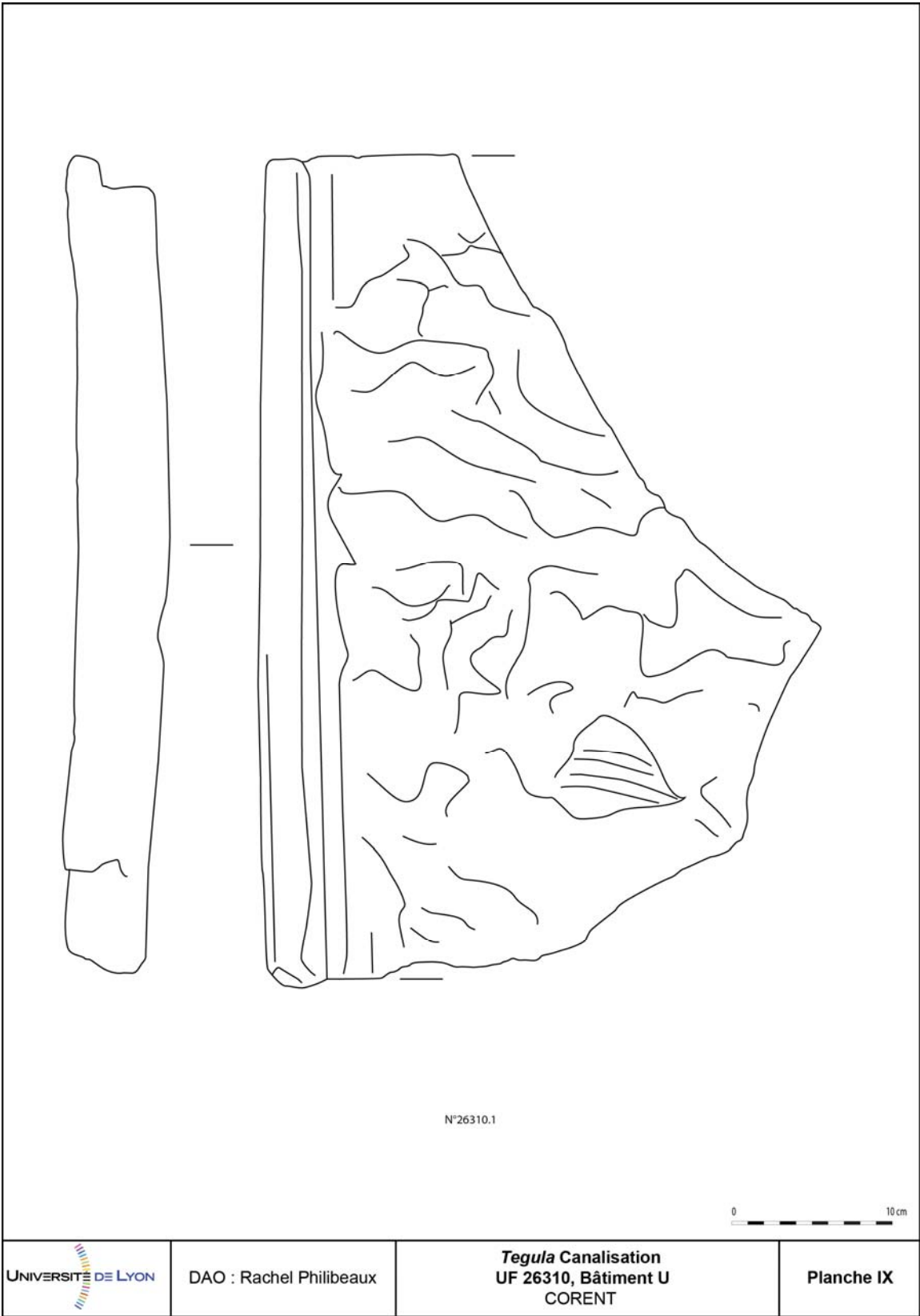


Planche VIII : Fragment de Tegula, UF 26310, Bâtiment U

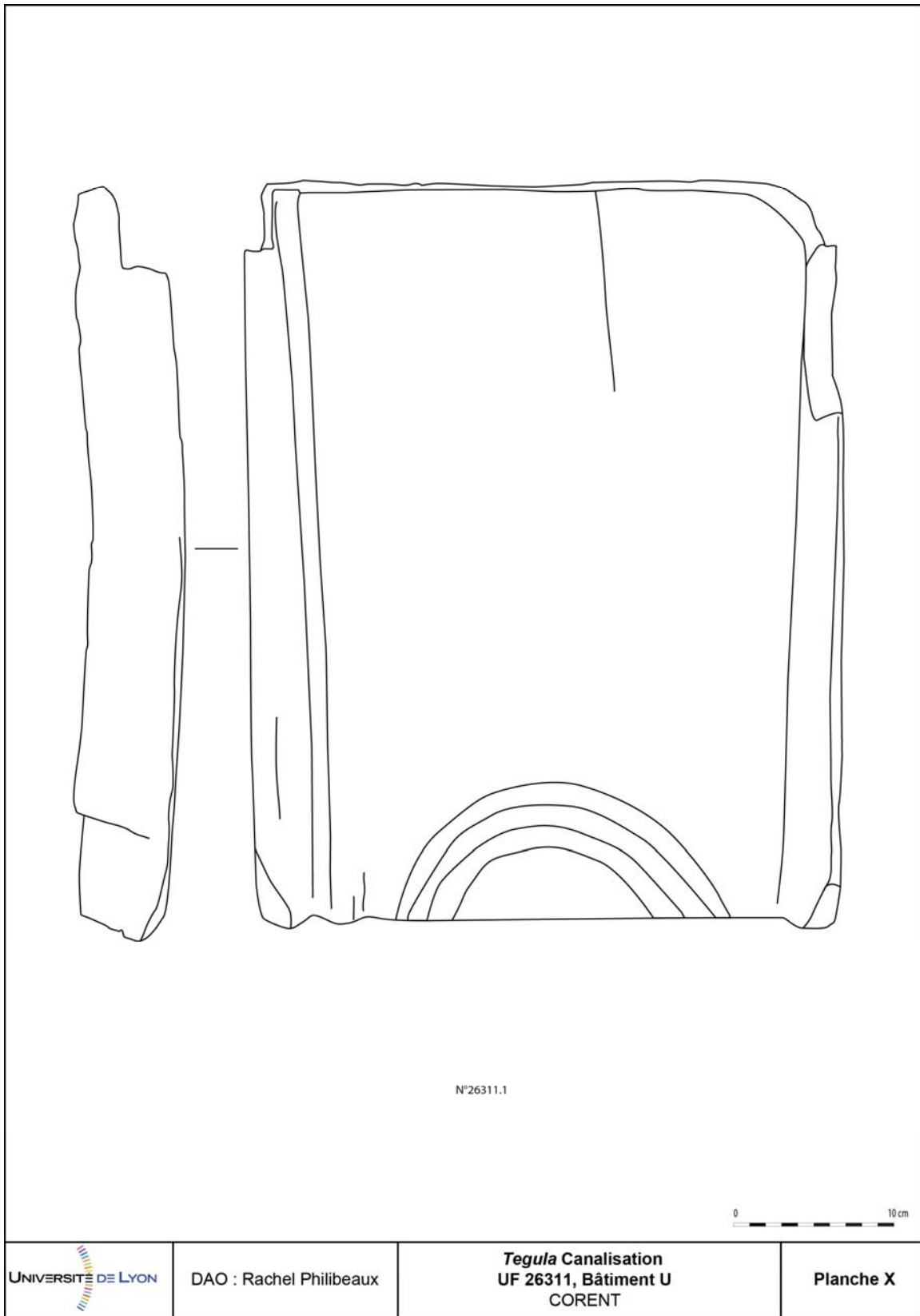


Planche IX : Tegula entière, UF 26311, Bâtiment U

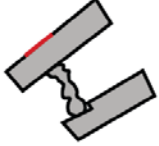
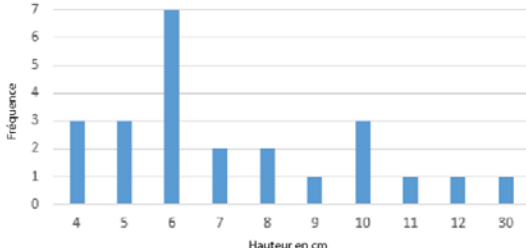
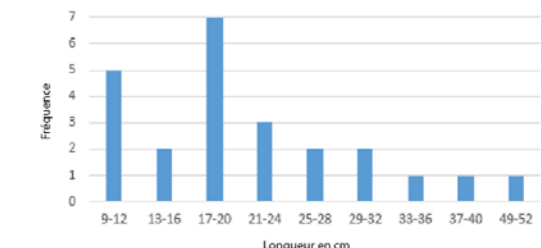




| | | | |
|--|--|--|--------------------------|
| <p>I- Définition structure : UF 26009, est-ouest, bâtiment V1, élévation Largeur mur : 0,48m ; Haut. max. élév. : 0,57m ; Longueur max. : 2,60m</p> | <p>II- Phase de construction : ?</p> | <p>Groupe Typologique</p> | |
| <p>III- Description des moellons :</p> <ul style="list-style-type: none"> - Qualité du matériau majoritaire utilisé : Basalte - Qualité du matériau minoritaire utilisé : Pouzzolane - Qualité de taille : irrégulière - Typologie TCA : / - Autres informations : / <p>V- Description de la mise en oeuvre :</p> <ul style="list-style-type: none"> - Opus : Incertum - Assisage des moellons : irrégulier - Finition des joints : / - Traces de revêtements : / - Assises de briques : / - Chainage d'angle : / - Hauteur d'assise module : 7 cm - 10 cm <p>VII- Description du blocage :</p> <ul style="list-style-type: none"> - Agencement : Caementicum - Composition de l'agrégat : Basalte, pouzzolane - Proportion ép. blocage 10 cm / ép. mur : 48 cm - Mise en oeuvre de l'agrégat : Tout venant, moellons - Remarque sur la qualité du blocage : peu épais. | <p>IV- Analyse modulaire du parement (en cm) :</p> <ul style="list-style-type: none"> - Épaisseur joints de lit : min. : / cm ; max. : / cm ; moy. : / cm - Épaisseur joints montant : min. : / cm ; max. : / cm ; moy. : / cm - Module hauteur 5 moellons + 5 joints de lit : / cm - Total moellons mesurés : 25 - Dimension moy. hauteur moellons : 8,08 cm - Dimension moy. longueur moellons : 20,68 cm - Dimension moy. profondeur moellons : / <p>VI - Description du mortier :</p> <ul style="list-style-type: none"> - Famille de mortier : chaux - Coloration : blanc-jaune - Texture du granulat : graveleux - Groupe typologique : / - Remarques : friable, très dégradé <p>VIII- Particularités :</p> |  <p style="text-align: center;">Bâtiment V1</p> <p style="text-align: right; font-size: small;">: Maçonnerie sélectionnée</p> | |
| Histogrammes dimensions moellons | | | |
|  |  | | |
| Typologie du parement | | | |
|  |  | | |
| <p>Légende :</p> <ul style="list-style-type: none"> Basalte Pouzzolane Amphore Mortier dégradé Mortier |  | | |
|  | <p>DAO : Rachel Philibeaux Photographie : L.U.E.R.N.</p> | <p>Bâtiment V1 CORENT</p> | <p>Planche XI</p> |

Planche X : Fiche maçonnerie MR [26009], Bâtiment V1

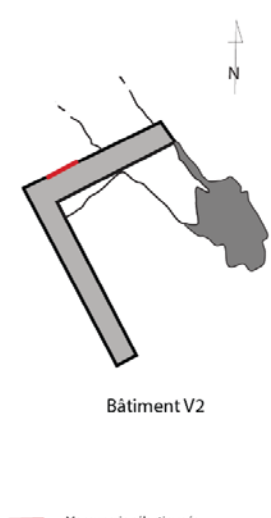
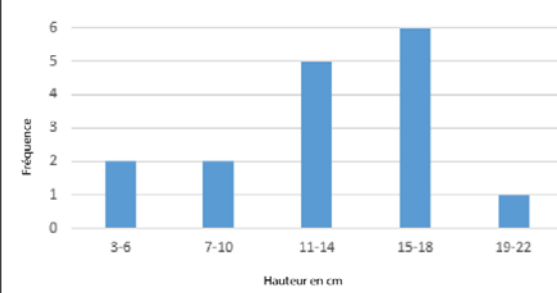
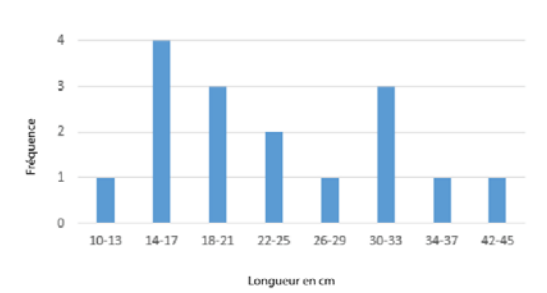

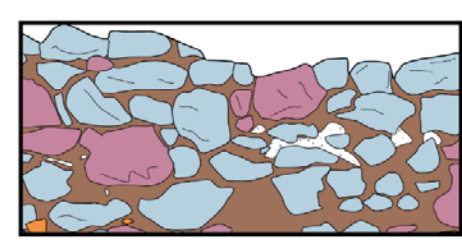



| | | | |
|--|--|---|-----------------------|
| I- Définition structure : UF 26123, est-ouest, bâtiment V2, élévation Largeur mur : 0,55m ; Haut. max. élèv. : 0,83m ; Longueur max. : 3,3m | | II- Phase de construction : ? | Groupe Typologique |
| III- Description des moellons : - Qualité du matériau majoritaire utilisé : Basalte - Qualité du matériau minoritaire utilisé : Pouzzolane - Qualité de taille : Quasi-irrégulière - Typologie TCA : / - Autres informations : / V- Description de la mise en oeuvre : - Opus : Incertum - Assisage des moellons : Quasi-irrégulier - Finition des joints : / - Traces de revêtements : / - Assises de briques : / - Chainage d'angle : grands moellons (UF 26011) - Hauteur d'assise module : 16 cm VII- Description du blocage : - Agencement : Caementicum - Composition de l'agrégat : Basalte, pouzzolane, amphore - Proportion ép. blocage 17 cm / ép. mur : 55 cm - Mise en oeuvre de l'agrégat : Tout venant, moellons - Remarque sur la qualité du blocage : / | | IV- Analyse modulaire du parement (en cm) : - Épaisseur joints de lit : min. : 0,2 cm ; max. : 5 cm ; moy. : 2,5 cm - Épaisseur joints montant : min. : 0,1 cm ; max. : 7 cm ; moy. : 3,5 cm - Module hauteur 5 moellons + 5 joints de lit : 62,54 cm - Total moellons mesurés : 16 - Dimension moy. hauteur moellons : 12,8 cm - Dimension moy. longueur moellons : 23,3 cm - Dimension moy. profondeur moellons : / VI - Description du mortier : - Famille de mortier : chaux - Coloration : Blanc - Texture du granulat : Graveleux - Groupe typologique : / - Remarques : Très friable VIII- Particularités : | |
| | |  <p>Bâtiment V2</p> <p>— : Maçonnerie sélectionnée</p> | |
| Histogrammes dimensions moellons | | | |
|  | |  | |
| Typologie du parement | | | |
|  | |  | |
| Légende :  | |  | |
|  | | DAO : Rachel Philibeaux Photographie : L.U.E.R.N. | |
| | | Batiment V2 CORENT | |
| | | Planche XII | |

Planche XI : Fiche maçonnerie MR [26123], Bâtiment V2

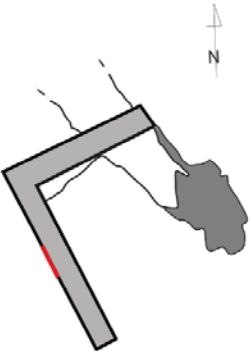
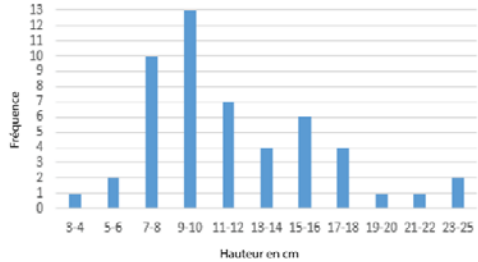
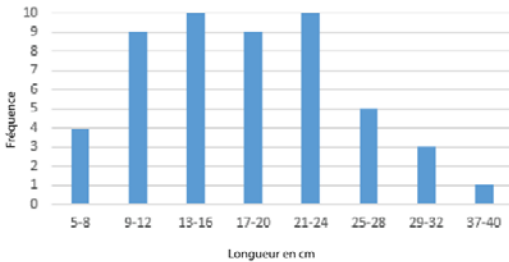

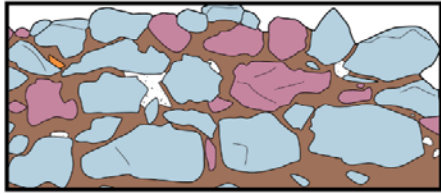



| | | | |
|--|--|--|-----------------------|
| I- Définition structure : UF 26011, nord-sud, bâtiment V2, élévation Largeur mur : 0,45m ; Haut. max. élév. : 0,60m ; Longueur max. : 4,27m | | II- Phase de construction : ? | Groupe Typologique |
| III- Description des moellons : - Qualité du matériau majoritaire utilisé : Basalte - Qualité du matériau minoritaire utilisé : Pouzzolane - Qualité de taille : Quasi-irrégulière - Typologie TCA : / - Autres informations : / V- Description de la mise en oeuvre : - Opus : Incertum - Assisage des moellons : Quasi-irrégulier - Finition des joints : / - Traces de revêtements : / - Assises de briques : / - Chainage d'angle : grands moellons (UF 26123) - Hauteur d'assise module : 30 cm VII- Description du blocage : - Agencement : Caementicum - Composition de l'agrégat : Basalte, pouzzolane, amphore - Proportion ép. blocage 12 cm / ép. mur : 45 cm - Mise en oeuvre de l'agrégat : Tout venant, moellons - Remarque sur la qualité du blocage : parfois inexistant. | | IV- Analyse modulaire du parement (en cm) : - Épaisseur joints de lit : min. : 3 cm ; max. : 5 cm ; moy. : 3,5 cm - Épaisseur joints montant : min. : 2 cm ; max. : 4 cm ; moy. : 2,9 cm - Module hauteur 5 moellons + 5 joints de lit : 53,52 cm - Total moellons mesurés : 50 - Dimension moy. hauteur moellons : 11,51cm - Dimension moy. longueur moellons : 18,41cm - Dimension moy. profondeur moellons : / VI - Description du mortier : - Famille de mortier : chaux - Coloration : Blanc - jaune - Texture du granulat : Sablo-graveleux - Groupe typologique : / - Remarques : Compact VIII- Particularités : Dépôt de fondation retrouvé du côté du parement ouest (deux cruches en céramiques). | |
| | |  <p>Bâtiment V2</p> <p>— : Maçonnerie sélectionnée</p> | |
| Histogrammes dimensions moellons | | | |
|  | |  | |
| Typologie du parement | | | |
|  | |  | |
| Légende :  | |  | |
|  | | Batiment V2 CORENT | |
| DAO : Rachel Philibeaux Photographie : L.U.E.R.N. | | Planche XIII | |

Planche XII : Fiche maçonnerie MR [26011], Bâtiment V2

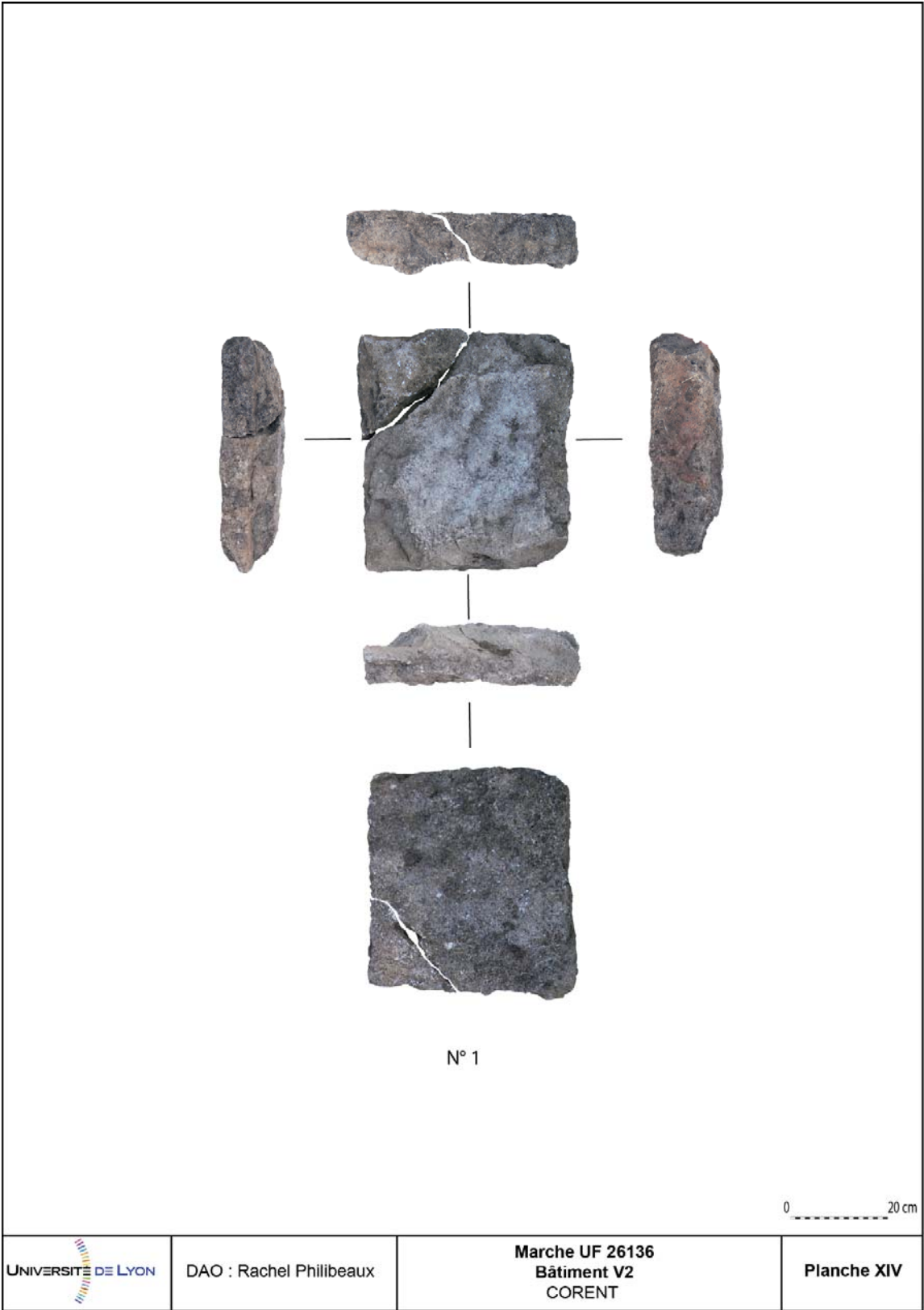
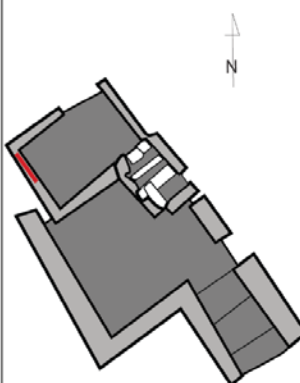
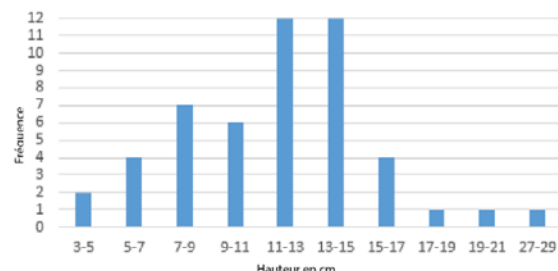
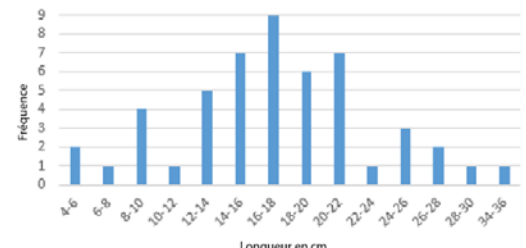

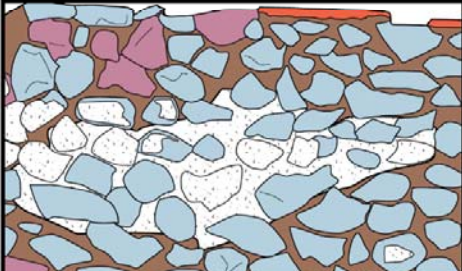



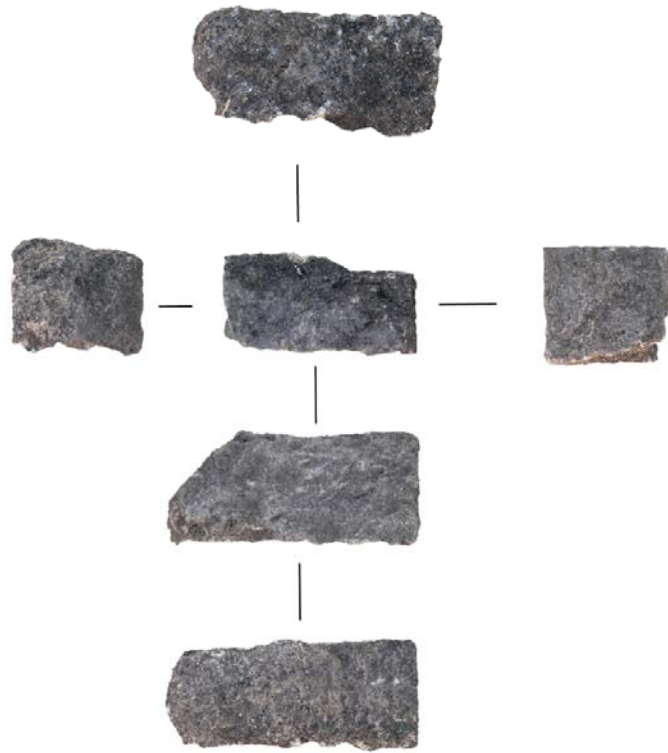


Planche XIII : UF [26136], Marche n°1

| | | | | | |
|--|--|--|--|---|--|
| I- Définition structure : UF 26170 Cave, représentée par le Mur nord-sud UF 26207 bâtiment V4a, élévation Largeurs murs : 0,33m-0,66m ; Haut. max. élev. : 1,8m ; Longueur max. : 1,80m Ile s Dimension total cave : 2,4m de large par 1,7m de long ; m ² : 4 | | II- Phase de construction : 4.2 | | Groupe Typologique : D.1 | |
| III- Description des moellons : - Qualité du matériau majoritaire utilisé : Basalte - Qualité du matériau minoritaire utilisé : Pouzzolane - Qualité de taille : irrégulière - Typologie TCA : / - Autres informations : / V- Description de la mise en oeuvre : - Opus : Incertum - Assisage des moellons : irrégulier - Finition des joints : / - Traces de revêtements : / - Assises de briques : / - Chainage d'angle : moellons - Hauteur d'assise module : 10 cm - 14 cm VII- Description du blocage : - Agencement : Caementicum - Composition de l'agrégat : Basalte, pouzzolane - Proportion ép. blocage 10 cm / ép. mur : 33 cm - Mise en oeuvre de l'agrégat : Tout venant, moellons - Remarque sur la qualité du blocage : peu épais. | | IV- Analyse modulaire du parement (en cm) : - Épaisseur joints de lit : min. : 0,96cm ; max. : 5,04 cm ; moy. : 2,37 cm - Épaisseur joints montant : min. : 0,94 cm ; max. : 5,3 cm ; moy. : 2,97 cm - Module hauteur 5 moellons + 5 joints de lit : 53,62 cm - Total moellons mesurés : 50 - Dimension moy. hauteur moellons : 11,78 cm - Dimension moy. longueur moellons : 17,27cm - Dimension moy. profondeur moellons : / VI - Description du mortier : - Famille de mortier : chaux - Coloration : jaune-marron - Texture du granulat : graveleux - Groupe typologique : / - Remarques : friable, très dégradé VIII- Particularités : - Arase de tuile présente dans le mur 26207. | |  <p>Bâtiments V4a/V4b</p> <p>— : Maçonnerie sélectionnée</p> | |
| Histogrammes dimensions moellons | | | | | |
|  | |  | | | |
| Typologie du parement | | | | | |
|  | |  | | | |
| Légende :  | |  | | | |
|  | | DAO : Rachel Philibeaux Photographie : L.U.E.R.N. | | Bâtiment V4a CORENT | |
| | | | | Planche XV | |



N° 2

0 ----- 20 cm

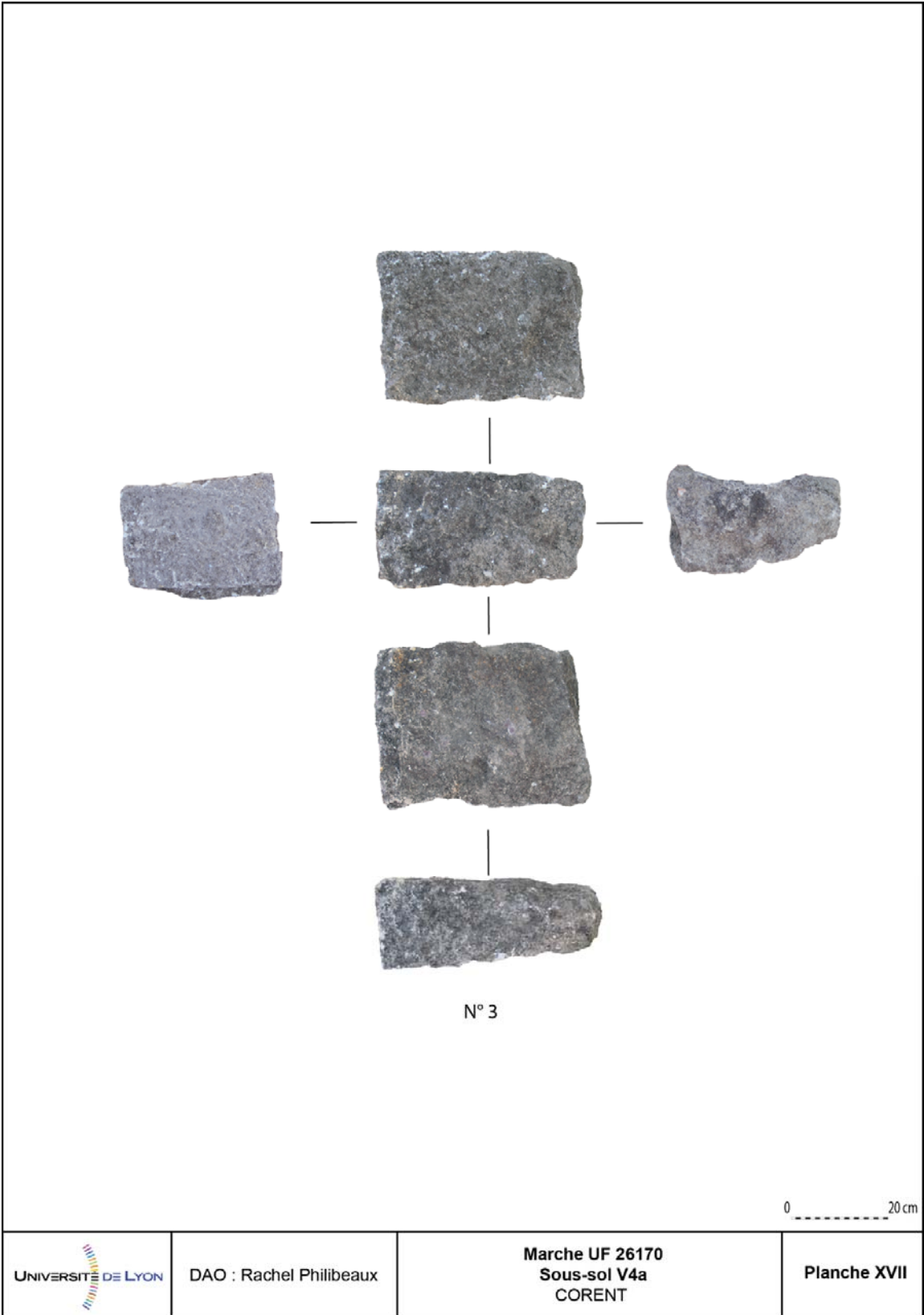
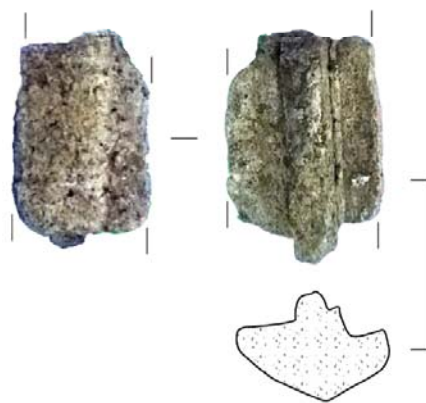


Planche XVI : Sous-sol [26170], Marche n°3



N°26170.4

 Mortier 0 5 cm

UNIVERSITÉ DE LYON

DAO : Rachel Philibeaux

Fragment d'une accroche en mortier
Bâtiment V4a
CORENT

Planche XVIII

Planche XVII : Fragment d'un accroche en mortier pour tegulae et imbrex, sous-sol 26170

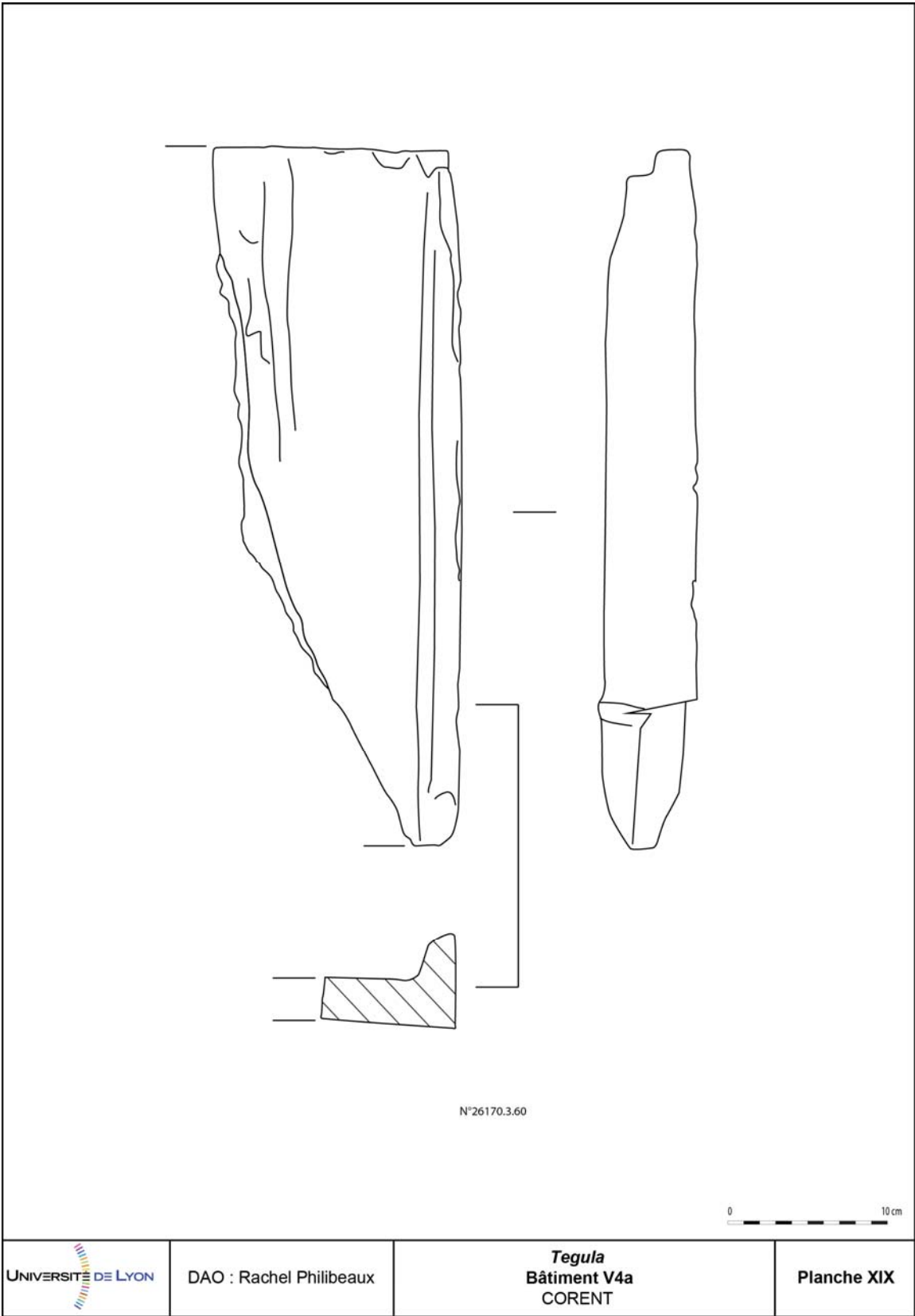


Planche XVIII : Fragment de tegula, Bâtiment V, sous-sol [26170]

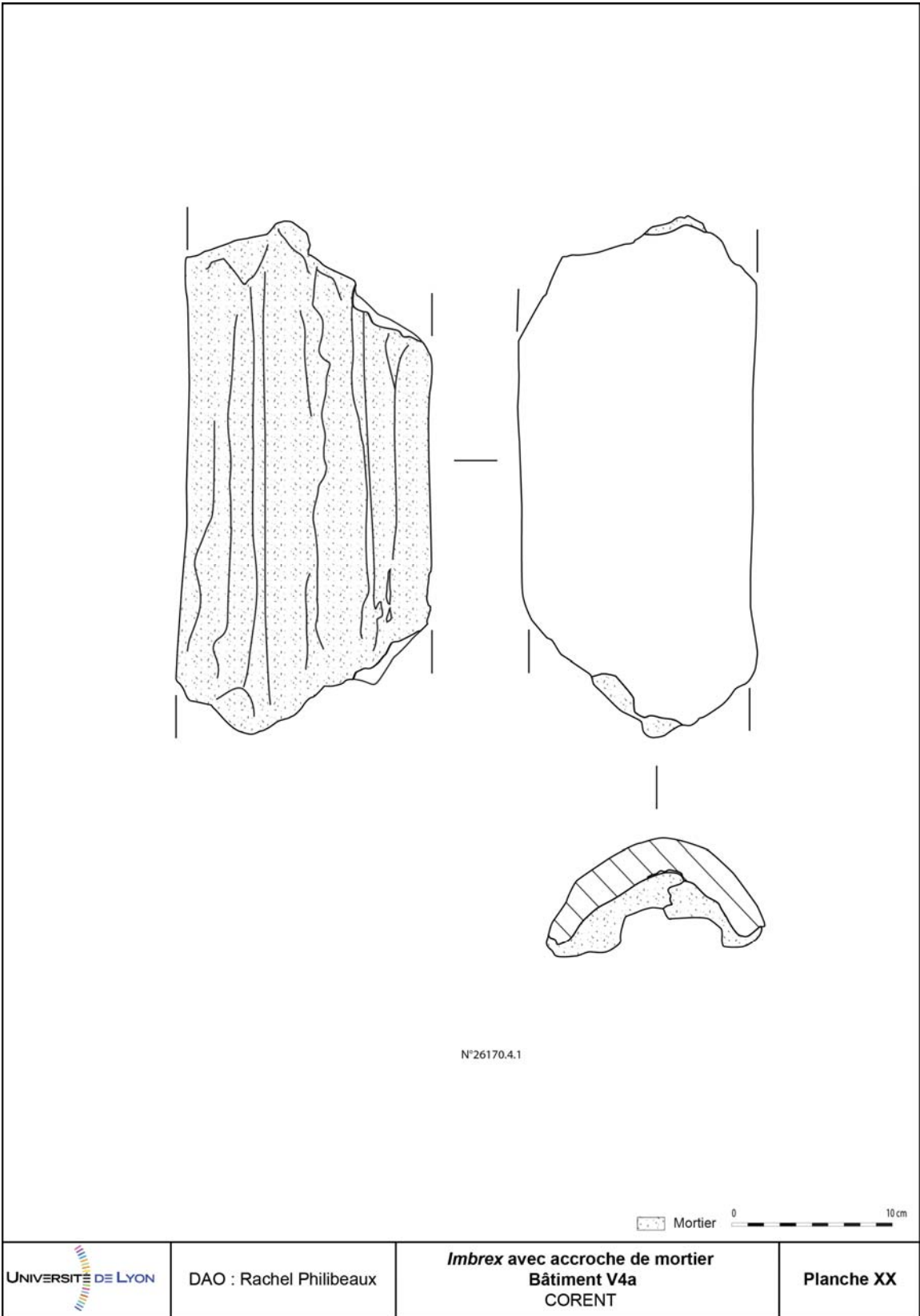


Planche XIX : Imbrex avec accroche de mortier, Bâtiment V, sous-sol [26170]

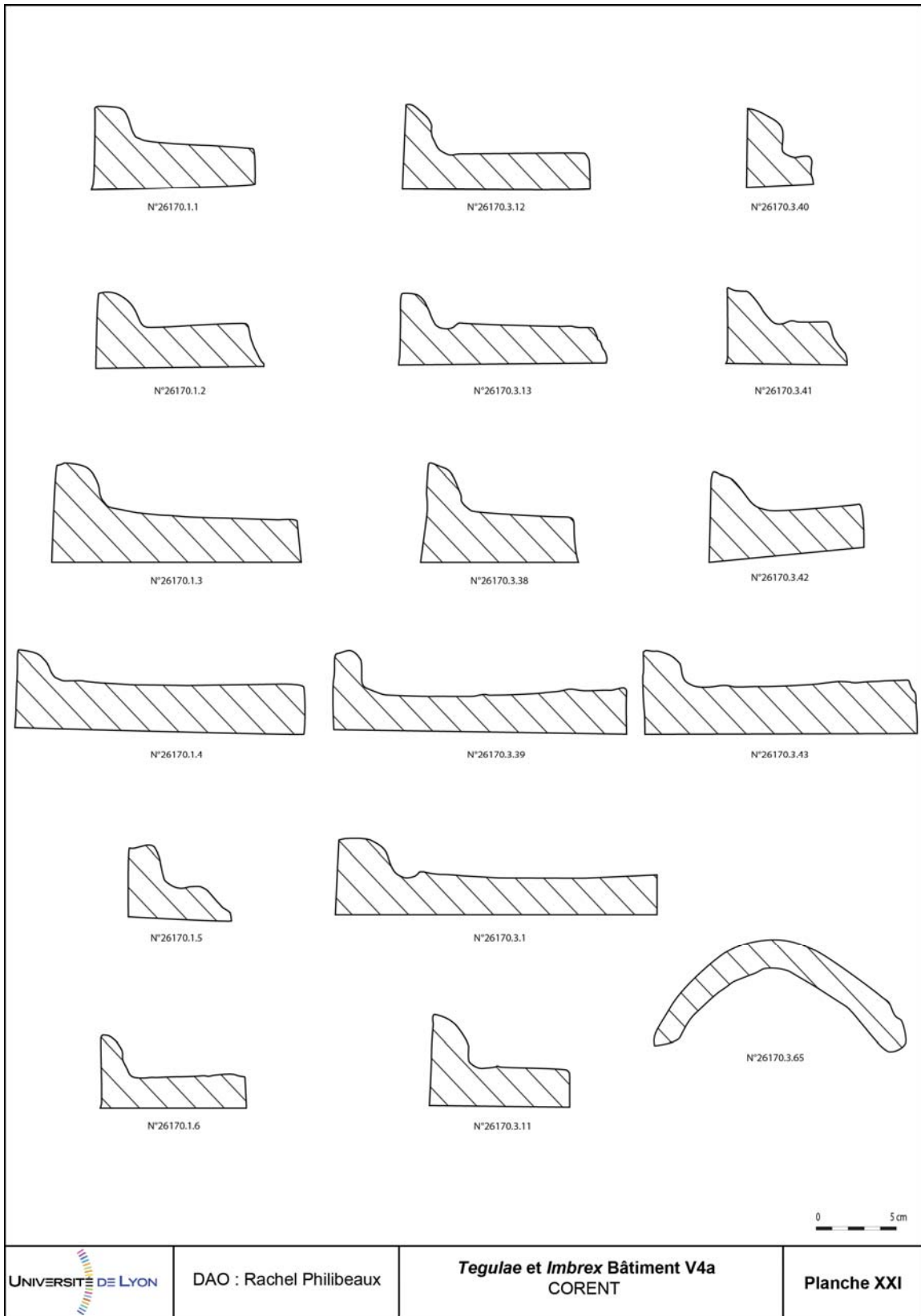
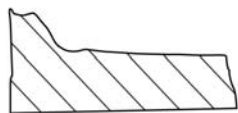
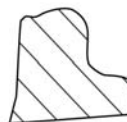


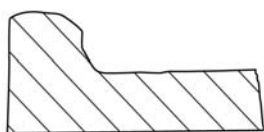
Planche XX : Profils de tegulae et d'imbrex, Bâtiment V, sous-sol [26170]



N°26170.4.4



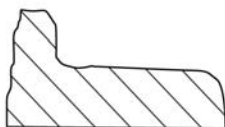
N°26170.4.15



N°26170.4.5



N°26170.4.16



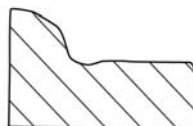
N°26170.4.8



N°26170.4.17



N°26170.4.9



N°26170.4.24





Planche XXII : TCA particulières : Brique de cheminée, Bâtiment V, sous-sol [26170]

D



N°26170.3.44

0 ——— 10 cm

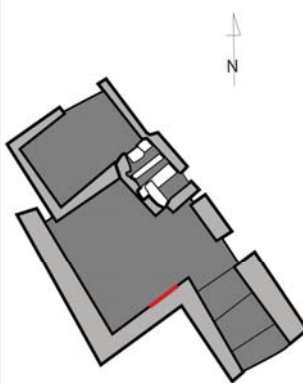
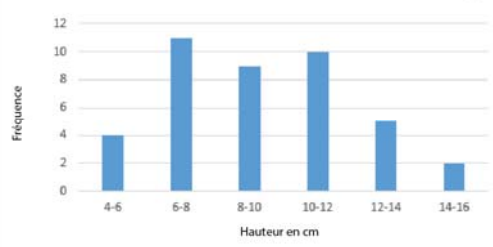
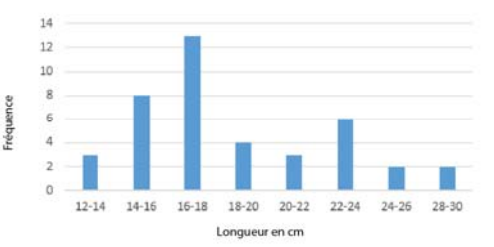

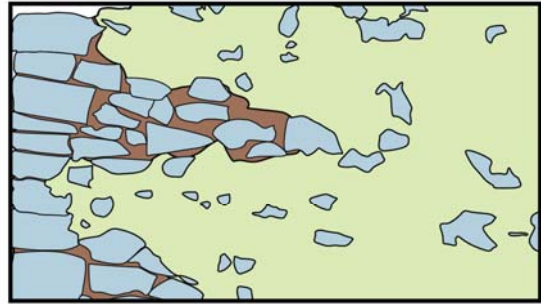






| | | | | | | |
|--|--|---|--|---|--|--------------------|
| I- Définition structure : UF 26163 Cave, représentée par le Mur est-ouest UF 26083, bâtiment V4b, élévation Largeurs murs : 0,4m-0,5m ; Haut. max. élev. : 2,90m ; Longueur max. : 2,9m Dimension total cave : 4,5m de large par 2m de long ; m ² : 9 | | II- Phase de construction : 3.1 LTD2b ou Auguste (-40 / -10) | | Groupe Typologique : C.2 | | |
| III- Description des moellons : - Qualité du matériau majoritaire utilisé : Basalte - Qualité du matériau minoritaire utilisé : / - Qualité de taille : Quasi-irrégulière - Typologie TCA : / - Autres informations : / V- Description de la mise en oeuvre : - Assisage des moellons : Peu irrégulier - Finition des joints : / - Traces de revêtements : Mortier de chaux lissé - Assises de briques : / - Chainage d'angle : Pierres de taille - Hauteur d'assise module : 20,1 cm VII- Description du blocage : - Composition de l'agrégat : Basalte, fragments d'amphores - Proportion ép. blocage 20 cm / ép. mur : 50 cm - Mise en oeuvre de l'agrégat : Tout venant - Remarque sur la qualité du blocage : / | | IV- Analyse modulaire du parement (en cm) : - Épaisseur joints de lit : min. : / cm ; max. : / cm ; moy. : / cm - Épaisseur joints montant : min. : / cm ; max. : / cm ; moy. : / cm - Module hauteur 5 moellons + 5 joints de lit : 54,36 - Total moellons mesurés : 41 - Dimension moy. hauteur moellons : 9,31 cm - Dimension moy. longueur moellons : 18,53 cm - Dimension moy. profondeur moellons : / cm VI - Description du mortier : - Famille de mortier : chaux - Coloration : Beige-jaune - Texture du granulat/inclusions : fragments d'amphores - Groupe typologique : / - Remarques : fortement dégradée | |  <p>Bâtiments V4a/V4b</p> <p>— : Maçonnerie sélectionnée</p> | | |
| Histogrammes dimensions moellons | | | | | | |
|  | |  | | | | |
| Typologie du parement | | | | | | |
|  | |  | | | | |
| Légende :  Pouzzolane  Mortier dégradé  Basalte  Mortier lissé | |  | | | | |
|  | | DAO : Rachel Philibeaux Photographie : L.U.E.R.N. | | Batiment V4b CORENT | | Planche XXV |

Planche XXIV : Fiche maçonnerie Bâtiment V, sous-sol [26163]

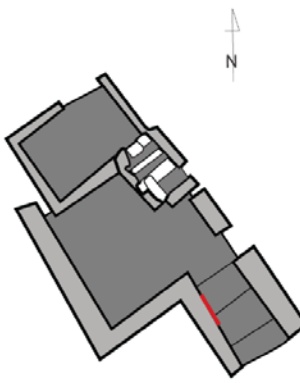
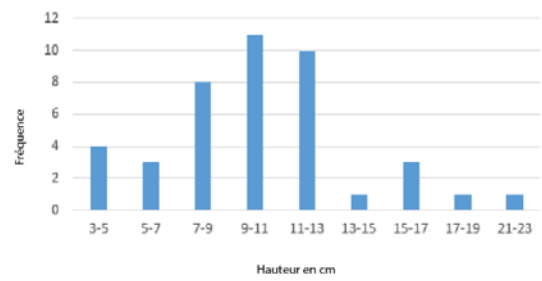
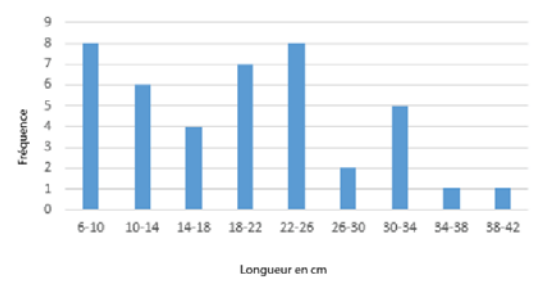
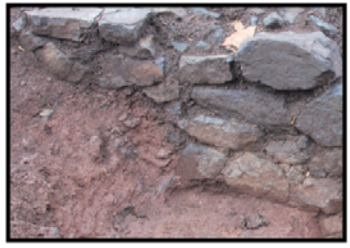

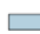



| | | | | | |
|--|--|---|--|---|--|
| I- Définition structure : UF 26163 Cave, représentée par le Mur est-ouest UF 26224, bâtiment V4b, élévation (piedroit) Largeurs murs : 0,43m-0,5m ; Haut. max. élèv. : 1,58m ; Longueur max. : 2m Dimension total cave : 1,25m de large par 1,8m de long ; m ² : 2,25 | | II- Phase de construction : 3.1 LTD2b ou Auguste (-40 / -10) | | Groupe Typologique : B | |
| III- Description des moellons : - Qualité du matériau majoritaire utilisé : Basalte - Qualité du matériau minoritaire utilisé : / - Qualité de taille : Quasi-irrégulière - Typologie TCA : / - Autres informations : / | | IV- Analyse modulaire du parement (en cm) : - Épaisseur joints de lit : min. : 0,2 cm ; max. : 3,22 cm ; moy. : 2,57 cm - Épaisseur joints montant : min. : 1,13 cm ; max. : 2,23 cm ; moy. : 4,04 cm - Module hauteur 5 moellons + 5 joints de lit : 49,8 cm - Total moellons mesurés : 42 - Dimension moy. hauteur moellons : 10,14 cm - Dimension moy. longueur moellons : 19,66 cm - Dimension moy. profondeur moellons : / | |  <p>Bâtiments V4a/V4b</p> <p>— : Maçonnerie sélectionnée</p> | |
| V- Description de la mise en oeuvre : - Opus : Incertum - Assises des moellons : Quasi-irrégulier - Finition des joints : / - Traces de revêtements : / - Assises de briques : / - Chainage d'angle : grands moellons - Hauteur d'assise module : 10 cm -12 cm | | VI - Description du mortier : - Famille de liant : Argile - Coloration : marron-rouge - Texture du granulat : argileux - Groupe typologique : / - Remarques : / | | | |
| VII- Description du blocage : - Agencement : Caementicum - Composition de l'agrégat : Basalte, fragments d'amphores - Proportion ép. blocage 10 cm / ép. mur : 43 cm - Mise en oeuvre de l'agrégat : Tout venant, moellons - Remarque sur la qualité du blocage : peu épais. | | VIII- Particularités : - Fragments d'amphores utilisés dans le blocage. | | | |
| Histogrammes dimensions moellons | | | | | |
|  | |  | | | |
| Typologie du parement | | | | | |
|  | |  | | | |
| Légende :  Basalte  Argile | |  | | | |
|  | | DAO : Rachel Philibeaux Photographie : L.U.E.R.N. | | Batiment V4b OPPIDUM DE CORENT | |
| | | | | Planche XXVI | |

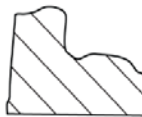
Planche XXV : Fiche maçonnerie Bâtiment V, sous-sol [26163], emmarchement [26205]



Planche XXVI : Amphore prise dans le mortier, Bâtiment V, sous-sol [26163]



N°26163.3.1



N°26163.3.2



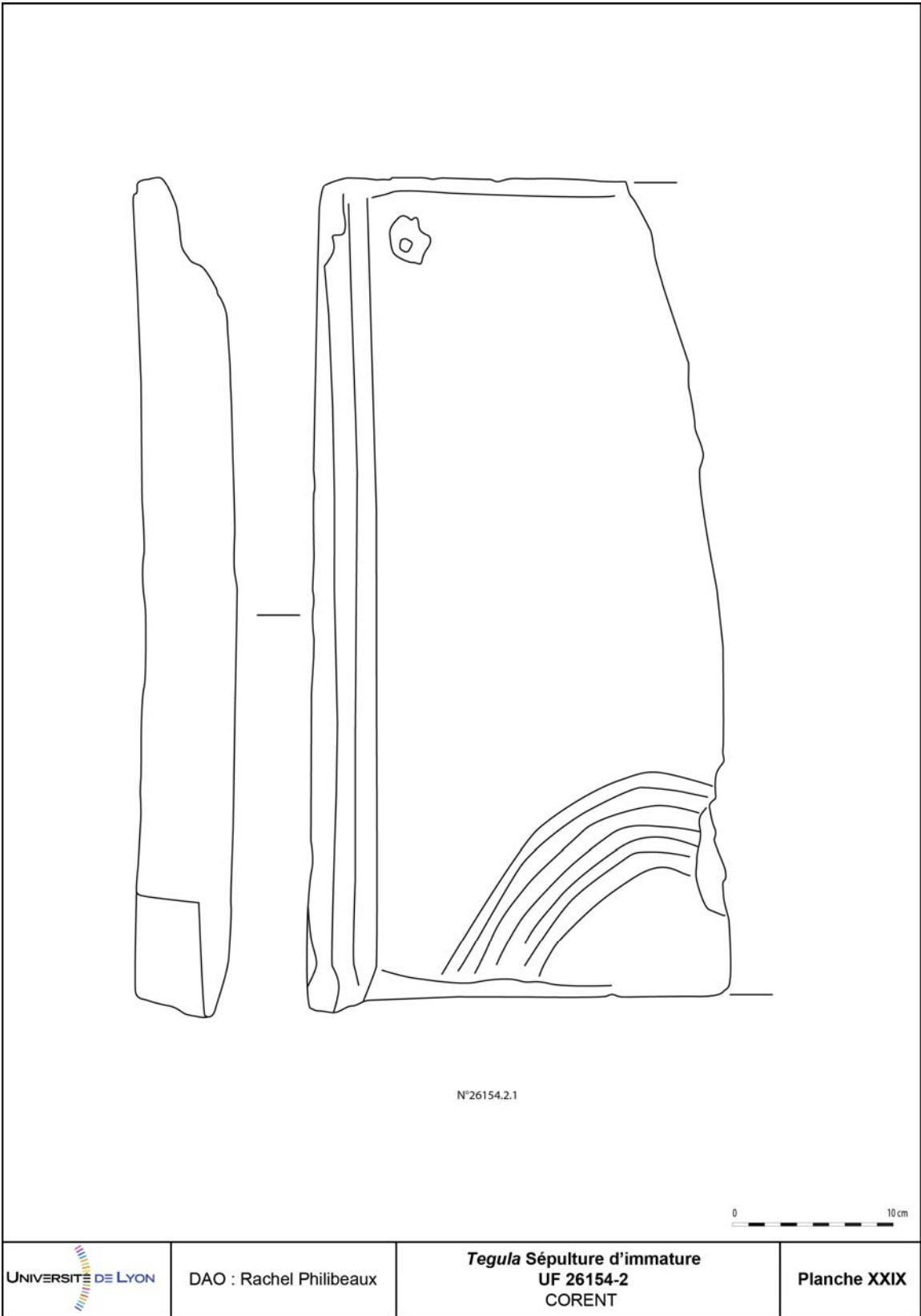
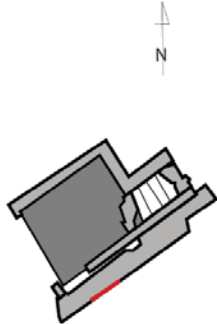
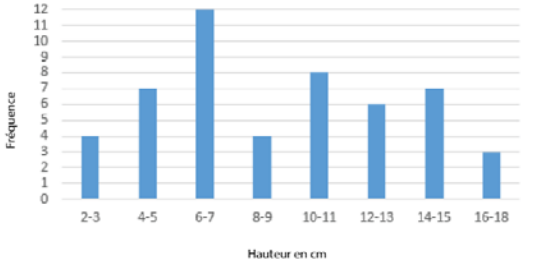
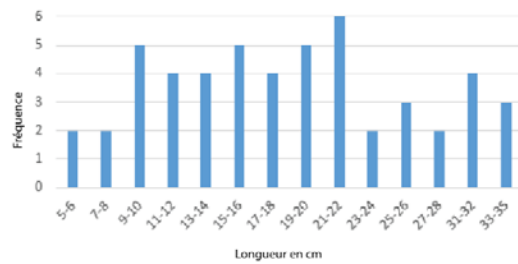

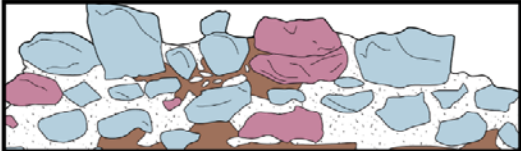




Planche XXVIII : Tegula issue de la sépulture d'imature, UF [26154-2]

| <p>I- Définition structure : UF 26007, est-ouest, bâtiment V6, élévation Largeur mur : 0,62m ; Haut. max. élév. : 0,71m ; Longueur max. : 3,26m</p> | <p>II- Phase de construction : ?</p> | <p>Groupe Typologique</p> | | | | | | | | | | | | | | | | | | | | | | | | | | | | | | | | | | | | | | | | | | | | | | | |
|---|--|---|---------------------------|---|-----|---|-----|----|-----|---|-------|---|-------|---|-------|---|-------|---|--|---------------|-----------|-----|---|-----|---|------|---|-------|---|-------|---|-------|---|-------|---|-------|---|-------|---|-------|---|-------|---|-------|---|-------|---|-------|---|
| <p>III- Description des moellons :</p> <ul style="list-style-type: none"> - Qualité du matériau majoritaire utilisé : Basalte - Qualité du matériau minoritaire utilisé : Pouzzolane - Qualité de taille : irrégulière - Typologie TCA : / - Autres informations : / <p>V- Description de la mise en oeuvre :</p> <ul style="list-style-type: none"> - Opus : Incertum - Assisage des moellons : irrégulier - Finition des joints : Plein - Traces de revêtements : / - Assises de briques : / - Chainage d'angle : / - Hauteur d'assise module : 15cm <p>VII- Description du blocage :</p> <ul style="list-style-type: none"> - Agencement : Caementicum - Composition de l'agrégat : Basalte, pouzzolane - Proportion ép. blocage 26 cm / ép. mur : 0,62 cm - Mise en oeuvre de l'agrégat : Tout venant, moellons - Remarque sur la qualité du blocage : / | <p>IV- Analyse modulaire du parement (en cm) :</p> <ul style="list-style-type: none"> - Épaisseur joints de lit : min. 4 cm ; max. : 6 cm ; moy. : 5 cm - Épaisseur joints montant : min. 2 cm ; max. : 8 cm ; moy. : 4 cm - Module hauteur 5 moellons + 5 joints de lit : / cm - Total moellons mesurés : 51 - Dimension moy. hauteur moellons : 9,13 cm - Dimension moy. longueur moellons : 18,82 cm - Dimension moy. profondeur moellons : / <p>VI - Description du mortier :</p> <ul style="list-style-type: none"> - Famille de mortier : chaux - Coloration : blanc-ocre - Texture du granulat : graveleux - Groupe typologique : / - Remarques : friable, très dégradé inclusions de TCA et de gravier. <p>VIII- Particularités :</p> |  <p>Bâtiment V6</p> <p>— : Maçonnerie sélectionnée</p> | | | | | | | | | | | | | | | | | | | | | | | | | | | | | | | | | | | | | | | | | | | | | | | |
| <p>Histogrammes dimensions moellons</p> | | | | | | | | | | | | | | | | | | | | | | | | | | | | | | | | | | | | | | | | | | | | | | | | | |
|  <table border="1"> <caption>Hauteur des moellons</caption> <thead> <tr> <th>Hauteur (cm)</th> <th>Fréquence</th> </tr> </thead> <tbody> <tr><td>2-3</td><td>4</td></tr> <tr><td>4-5</td><td>7</td></tr> <tr><td>6-7</td><td>12</td></tr> <tr><td>8-9</td><td>4</td></tr> <tr><td>10-11</td><td>8</td></tr> <tr><td>12-13</td><td>6</td></tr> <tr><td>14-15</td><td>7</td></tr> <tr><td>16-18</td><td>3</td></tr> </tbody> </table> | Hauteur (cm) | Fréquence | 2-3 | 4 | 4-5 | 7 | 6-7 | 12 | 8-9 | 4 | 10-11 | 8 | 12-13 | 6 | 14-15 | 7 | 16-18 | 3 |  <table border="1"> <caption>Longueur des moellons</caption> <thead> <tr> <th>Longueur (cm)</th> <th>Fréquence</th> </tr> </thead> <tbody> <tr><td>5-6</td><td>2</td></tr> <tr><td>7-8</td><td>2</td></tr> <tr><td>9-10</td><td>5</td></tr> <tr><td>11-12</td><td>4</td></tr> <tr><td>13-14</td><td>4</td></tr> <tr><td>15-16</td><td>5</td></tr> <tr><td>17-18</td><td>4</td></tr> <tr><td>19-20</td><td>5</td></tr> <tr><td>21-22</td><td>6</td></tr> <tr><td>23-24</td><td>2</td></tr> <tr><td>25-26</td><td>3</td></tr> <tr><td>27-28</td><td>2</td></tr> <tr><td>31-32</td><td>4</td></tr> <tr><td>33-35</td><td>3</td></tr> </tbody> </table> | Longueur (cm) | Fréquence | 5-6 | 2 | 7-8 | 2 | 9-10 | 5 | 11-12 | 4 | 13-14 | 4 | 15-16 | 5 | 17-18 | 4 | 19-20 | 5 | 21-22 | 6 | 23-24 | 2 | 25-26 | 3 | 27-28 | 2 | 31-32 | 4 | 33-35 | 3 |
| Hauteur (cm) | Fréquence | | | | | | | | | | | | | | | | | | | | | | | | | | | | | | | | | | | | | | | | | | | | | | | | |
| 2-3 | 4 | | | | | | | | | | | | | | | | | | | | | | | | | | | | | | | | | | | | | | | | | | | | | | | | |
| 4-5 | 7 | | | | | | | | | | | | | | | | | | | | | | | | | | | | | | | | | | | | | | | | | | | | | | | | |
| 6-7 | 12 | | | | | | | | | | | | | | | | | | | | | | | | | | | | | | | | | | | | | | | | | | | | | | | | |
| 8-9 | 4 | | | | | | | | | | | | | | | | | | | | | | | | | | | | | | | | | | | | | | | | | | | | | | | | |
| 10-11 | 8 | | | | | | | | | | | | | | | | | | | | | | | | | | | | | | | | | | | | | | | | | | | | | | | | |
| 12-13 | 6 | | | | | | | | | | | | | | | | | | | | | | | | | | | | | | | | | | | | | | | | | | | | | | | | |
| 14-15 | 7 | | | | | | | | | | | | | | | | | | | | | | | | | | | | | | | | | | | | | | | | | | | | | | | | |
| 16-18 | 3 | | | | | | | | | | | | | | | | | | | | | | | | | | | | | | | | | | | | | | | | | | | | | | | | |
| Longueur (cm) | Fréquence | | | | | | | | | | | | | | | | | | | | | | | | | | | | | | | | | | | | | | | | | | | | | | | | |
| 5-6 | 2 | | | | | | | | | | | | | | | | | | | | | | | | | | | | | | | | | | | | | | | | | | | | | | | | |
| 7-8 | 2 | | | | | | | | | | | | | | | | | | | | | | | | | | | | | | | | | | | | | | | | | | | | | | | | |
| 9-10 | 5 | | | | | | | | | | | | | | | | | | | | | | | | | | | | | | | | | | | | | | | | | | | | | | | | |
| 11-12 | 4 | | | | | | | | | | | | | | | | | | | | | | | | | | | | | | | | | | | | | | | | | | | | | | | | |
| 13-14 | 4 | | | | | | | | | | | | | | | | | | | | | | | | | | | | | | | | | | | | | | | | | | | | | | | | |
| 15-16 | 5 | | | | | | | | | | | | | | | | | | | | | | | | | | | | | | | | | | | | | | | | | | | | | | | | |
| 17-18 | 4 | | | | | | | | | | | | | | | | | | | | | | | | | | | | | | | | | | | | | | | | | | | | | | | | |
| 19-20 | 5 | | | | | | | | | | | | | | | | | | | | | | | | | | | | | | | | | | | | | | | | | | | | | | | | |
| 21-22 | 6 | | | | | | | | | | | | | | | | | | | | | | | | | | | | | | | | | | | | | | | | | | | | | | | | |
| 23-24 | 2 | | | | | | | | | | | | | | | | | | | | | | | | | | | | | | | | | | | | | | | | | | | | | | | | |
| 25-26 | 3 | | | | | | | | | | | | | | | | | | | | | | | | | | | | | | | | | | | | | | | | | | | | | | | | |
| 27-28 | 2 | | | | | | | | | | | | | | | | | | | | | | | | | | | | | | | | | | | | | | | | | | | | | | | | |
| 31-32 | 4 | | | | | | | | | | | | | | | | | | | | | | | | | | | | | | | | | | | | | | | | | | | | | | | | |
| 33-35 | 3 | | | | | | | | | | | | | | | | | | | | | | | | | | | | | | | | | | | | | | | | | | | | | | | | |
| <p>Typologie du parement</p> | | | | | | | | | | | | | | | | | | | | | | | | | | | | | | | | | | | | | | | | | | | | | | | | | |
|  |  | | | | | | | | | | | | | | | | | | | | | | | | | | | | | | | | | | | | | | | | | | | | | | | | |
| <p>Légende :</p> <ul style="list-style-type: none"> Basalte Pouzzolane Mortier dégradé Mortier |  | | | | | | | | | | | | | | | | | | | | | | | | | | | | | | | | | | | | | | | | | | | | | | | | |
|  | <p>DAO : Rachel Philibeaux Photographie : L.U.E.R.N.</p> | <p>Bâtiment V6 CORENT</p> | <p>Planche XXX</p> | | | | | | | | | | | | | | | | | | | | | | | | | | | | | | | | | | | | | | | | | | | | | | |

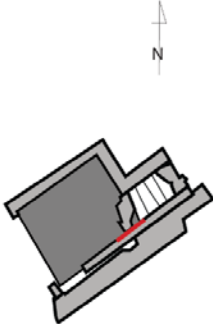

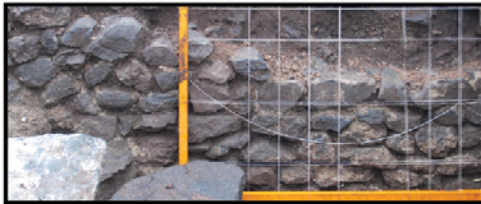
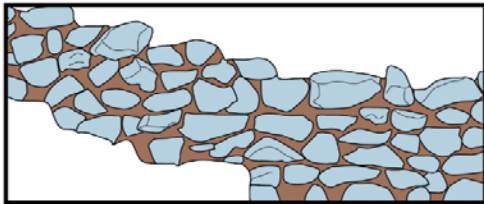



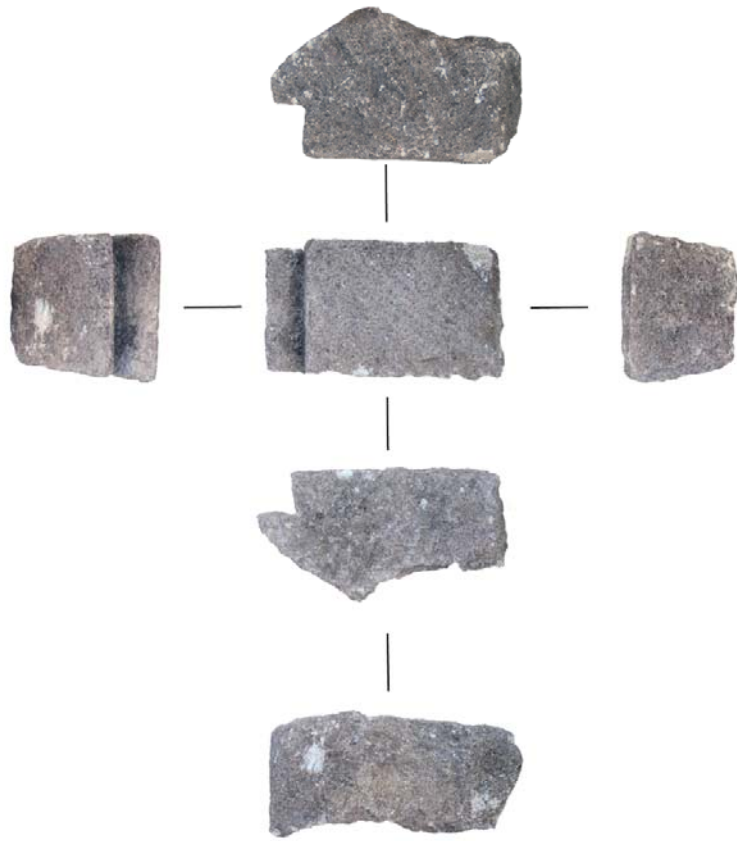
| | | | | | |
|--|--|--|--|---|--|
| I- Définition structure : UF 26219 Cave, représentée par le Mur est-ouest UF 26253 = 26259, bâtiment V6, élévation Largeurs murs : 0,20m-0,33m ; Haut. max. élèv. : 1,12m ; Longueur max. : 2,04m Dimension total cave : 2,27m de large par 1,91m de long ; m ² : 4,33 | | II- Phase de construction : 4.1 Courant 1er s. (-14) | | Groupe Typologique : C.2 | |
| III- Description des moellons : - Qualité du matériau majoritaire utilisé : Basalte - Qualité du matériau minoritaire utilisé : / - Qualité de taille : Quasi-irrégulière - Typologie TCA : / - Autres informations : / V- Description de la mise en oeuvre : - Opus : Incertum - Assisage des moellons : Quasi-irrégulier - Finition des joints : / - Traces de revêtements : / - Assises de briques : / - Chainage d'angle : moellons - Hauteur d'assise module : 10 cm VII- Description du blocage : - Agencement : Caementicum - Composition de l'agrégat : Basalte, TCA - Proportion ép. blocage 8 cm / ép. mur : 20 cm - Mise en oeuvre de l'agrégat : Tout venant, moellons - Remarque sur la qualité du blocage : peu épais, présence éparse. | | IV- Analyse modulaire du parement (en cm) : - Épaisseur joints de lit : min. : 0,7 cm ; max. : 3,58 cm ; moy. : 1,83cm - Épaisseur joints montant : min. : 1,16 cm ; max. : 3,20 cm ; moy. : 1,97 cm - Module hauteur 5 moellons + 5 joints de lit : 41,10 cm - Total moellons mesurés : 50 - Dimension moy. hauteur moellons : 8,08 cm - Dimension moy. longueur moellons : 13,78cm - Dimension moy. profondeur moellons : / VI- Description du mortier : - Famille de mortier : chaux - Coloration : jaune-marron - Texture du granulat : graveleux - Groupe typologique : / - Remarques : friable, très dégradé VIII- Particularités : - Le mur 26253 se poursuit à l'est pour former le piedroit sud de la cave. | |  Bâtiment V6  : Maçonnerie sélectionnée | |
| Histogrammes dimensions moellons | | | | | |
| | | | | | |
| Typologie du parement | | | | | |
|  | |  | | | |
| Légende :  | |  | | | |
|  | | DAO : Rachel Philibeaux Photographie : L.U.E.R.N. | | Batiment V6 CORENT | |
| | | | | Planche XXXI | |

Planche XXX : Fiche maçonnerie Bâtiment BÂTIMENT U, sous-sol [26219]



N° 4

0 ----- 20 cm

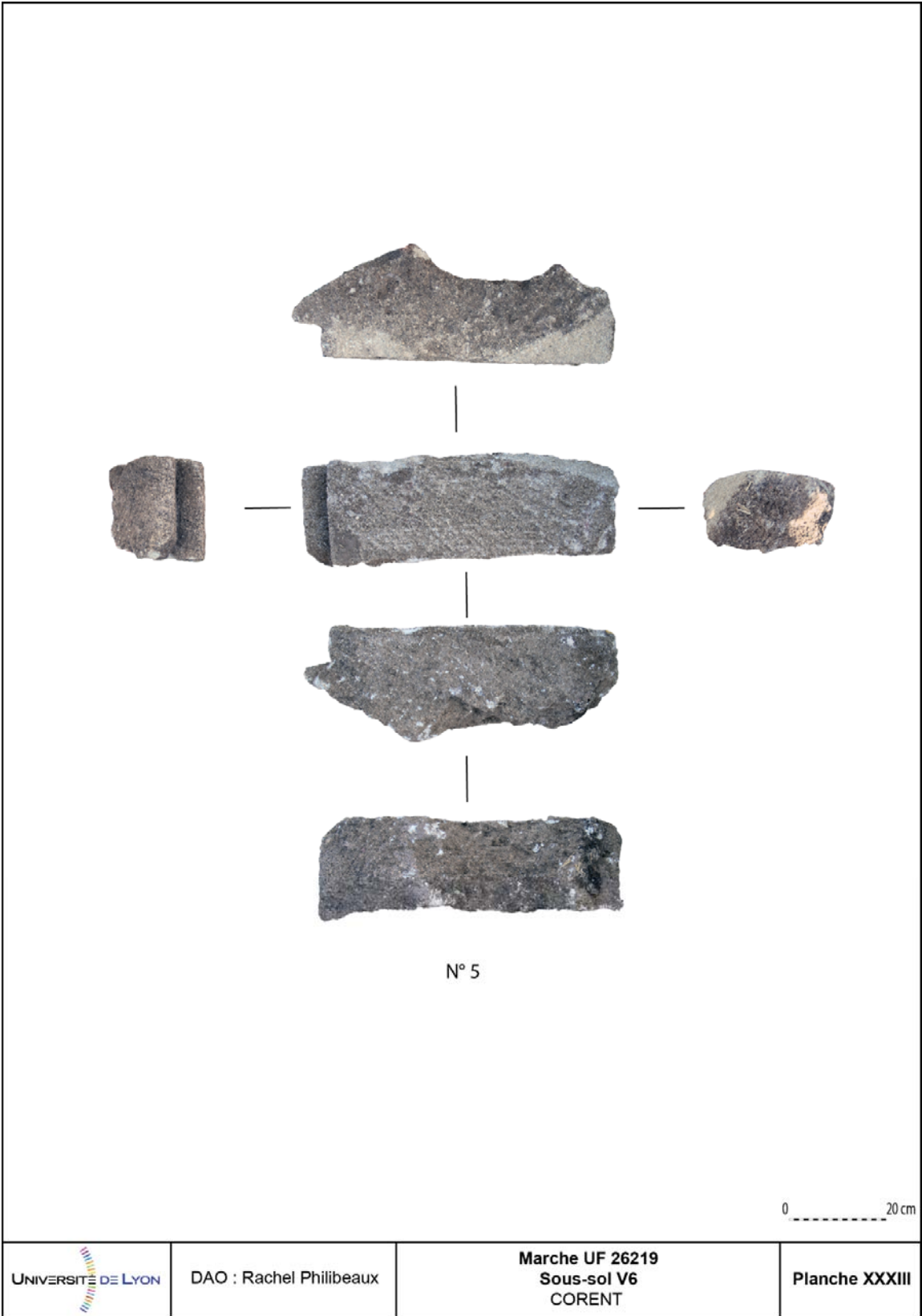


Planche XXXII : Sous-sol bâtiment U [26219], Marche n°5

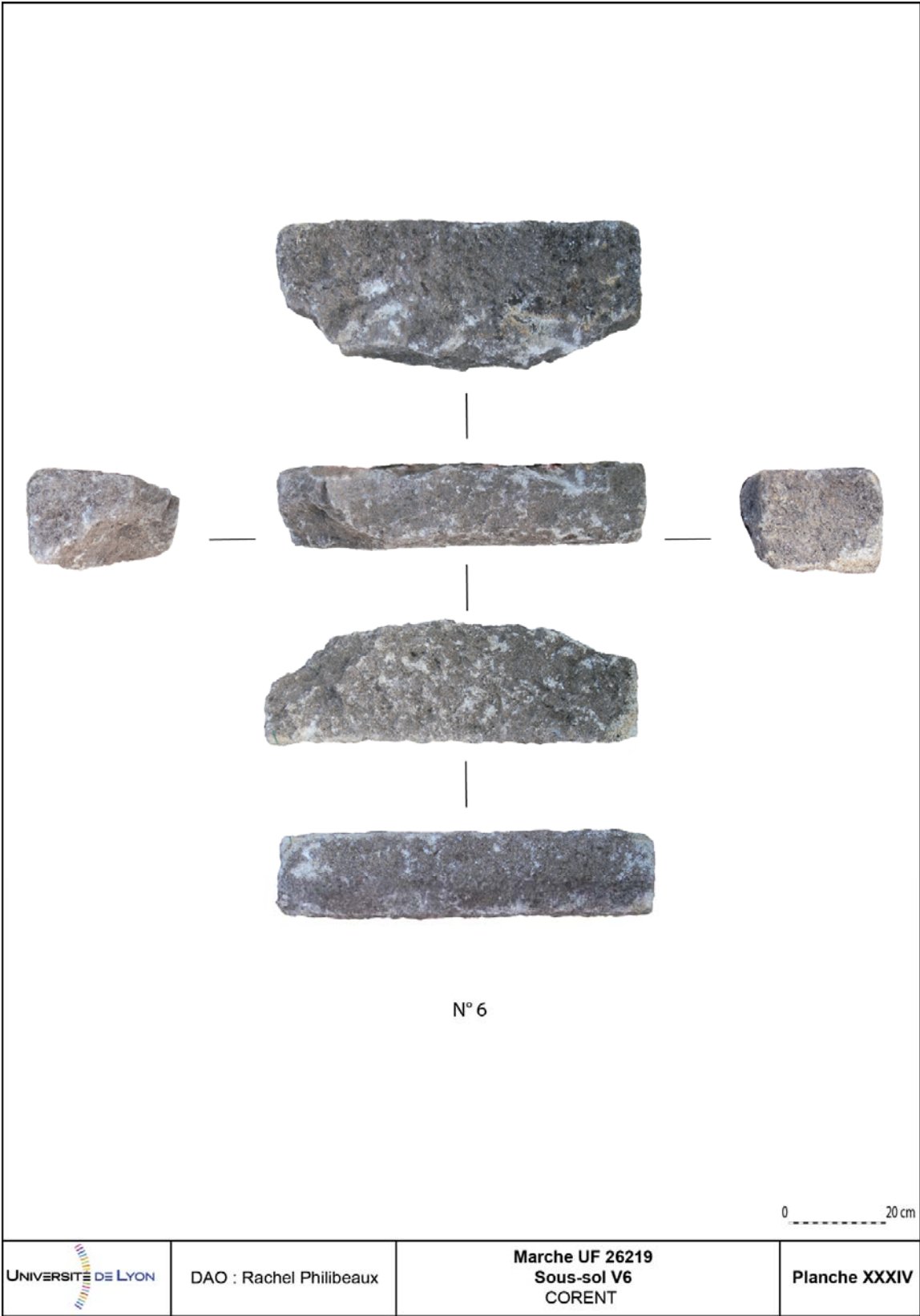
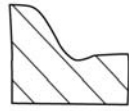
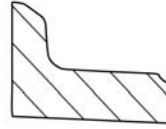


Planche XXXIII : Sous-sol BÂTIMENT U [26219], Marche n°6



N°26219.3.2



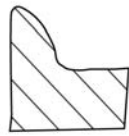
N°26219.3.6



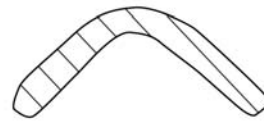
N°26219.3.3



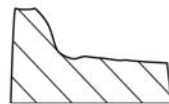
N°26219.3.7



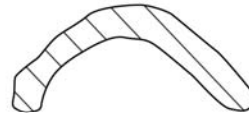
N°26219.3.4



N°26219.3.24



N°26219.3.5



N°26219.3.31




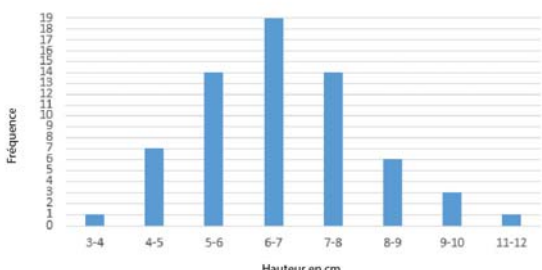
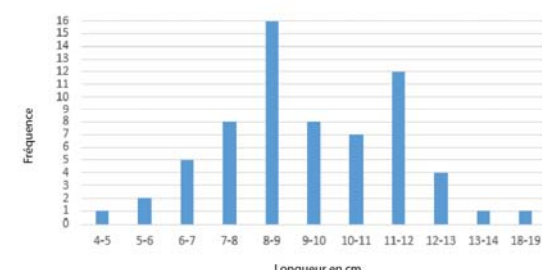

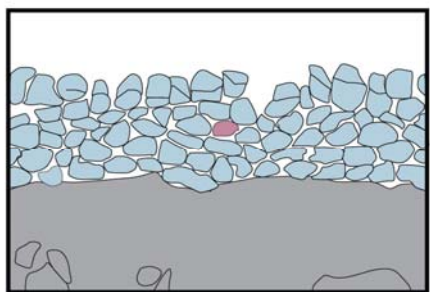




| | | | | | | | |
|--|--|--|--|--|--|----------------------|--|
| I- Définition structure : UF 23087 Cave, représentée par le Mur est-ouest UF 23276, bâtiment T, élévation Largeurs murs : 0,25m-0,48m ; Haut. max. élév. : 0,74m ; Longueur max. : 2,1m Dimension total cave : 2,2m de large par 6m de long ; m ² : 13,2 | | II- Phase de construction : États 3.1/4.2 : Aug.- IIème s. 2 États | | Groupe Typologique A | | | |
| III- Description des moellons : - Qualité du matériau majoritaire utilisé : Basalte - Qualité du matériau minoritaire utilisé : Pouzzolane - Qualité de taille : Irrégulière - Typologie TCA : / - Autres informations : / V- Description de la mise en oeuvre : - Opus : Pierres sèches - Assise des moellons : Irrégulier - Finition des joints : / - Traces de revêtements : / - Assises : / - Chainage d'angle : Blocs de basalte, Tegula - Hauteur d'assise module : 5,58 cm VII- Description du blocage : - Agencement : / - Composition de l'agrégat : / - Proportion ép. blocage / cm / ép. mur / cm - Mise en oeuvre de l'agrégat : / - Remarque sur la qualité du blocage : / | | IV- Analyse modulaire du parement (en cm) : - Épaisseur joints de lit : min. : / cm ; max. : / cm ; moy. : / cm - Épaisseur joints montant : min. : / cm ; max. : / cm ; moy. : / cm - Module hauteur 5 moellons : 26,3 cm - Total moellons mesurés : 65 - Dimension moy. hauteur moellons : 7,12 cm - Dimension moy. longueur moellons : 8,71 cm - Dimension moy. profondeur moellons : 7,24 cm VI- Description du mortier : - Famille de mortier : / - Coloration : / - Texture du granulat : / - Groupe typologique : / - Remarques : Joints vifs VIII- Particularités : - 3 Murs en pierres sèches s'appuyent à mi hauteur sur le substrat rocheux dans lequel la cave est aménagée. - Épandage de Tegulae peu fragmentés, presque entières, non organisées dans le fond de la cave. | |  Bâtiment T — : Parement sélectionné | | | |
| Histogrammes dimensions moellons | | | | | | | |
|  | |  | | | | | |
| Typologie du parement | | | | | | | |
|  | |  | | | | | |
| Légende :  Pouzzolane  Substrat  Basalte | | 0 ————— 1m | | | | | |
|  | | DAO : Rachel Philibeaux Photographie : L.U.E.R.N. | | Bâtiment T CORENT | | Planche XXXVI | |

Planche XXXV : Fiche maçonnerie Bâtiment T, sous-sol [23087]

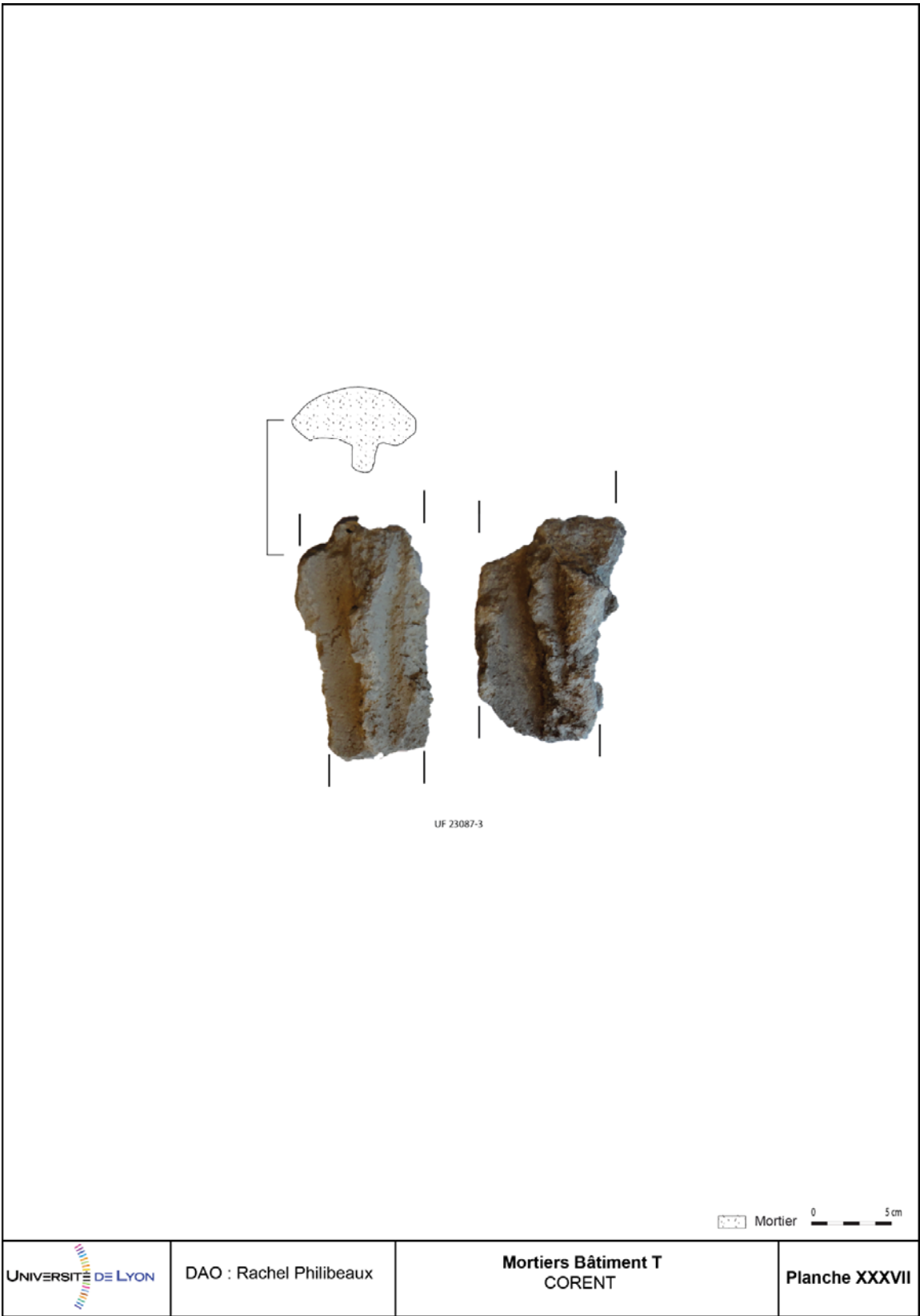


Planche XXXVI : Fragment d'un accroche en mortier pour tegula et imbrex, Bâtiment T

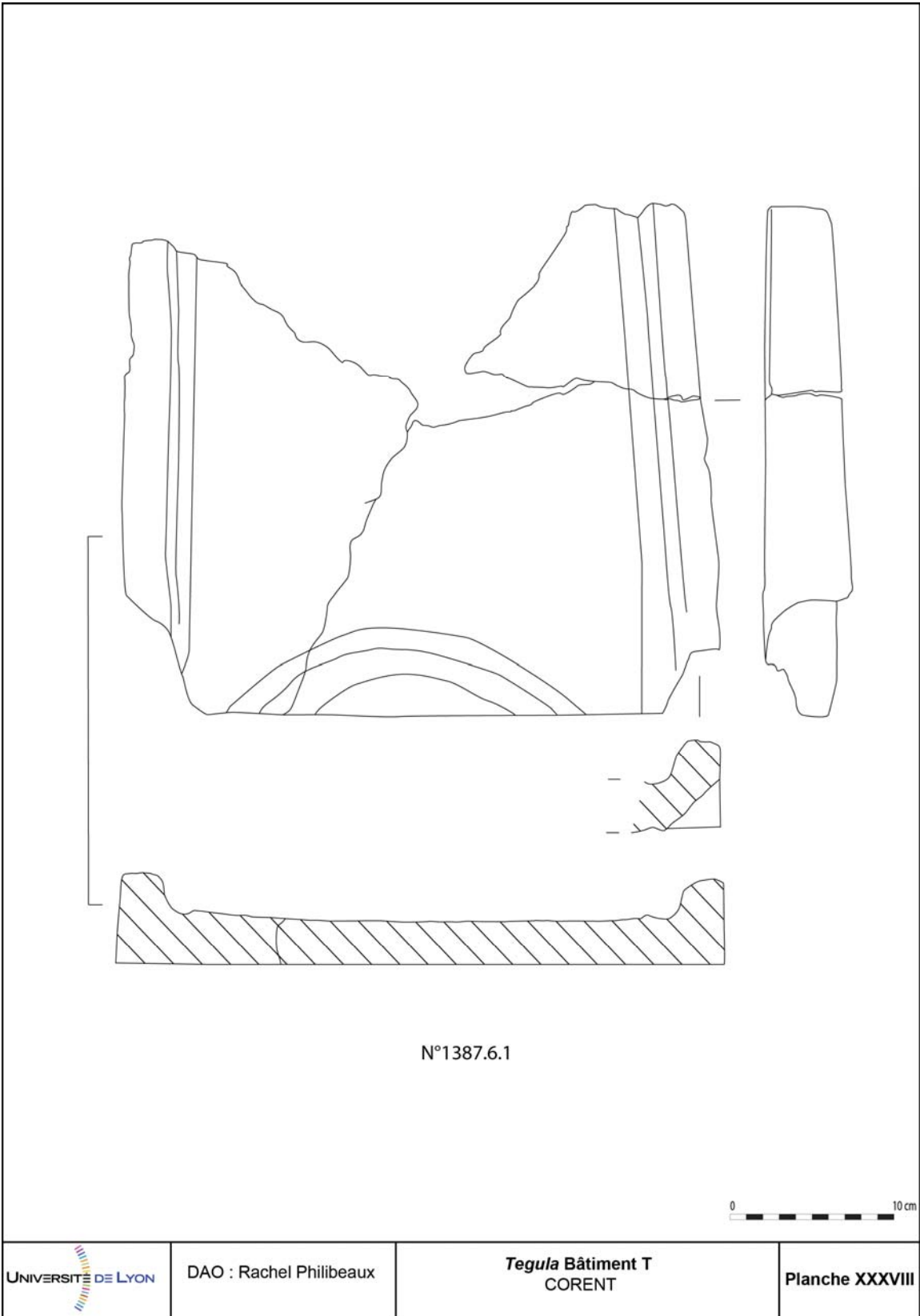


Planche XXXVII : Fragment de tegula, Bâtiment T, sous-sol [23087]

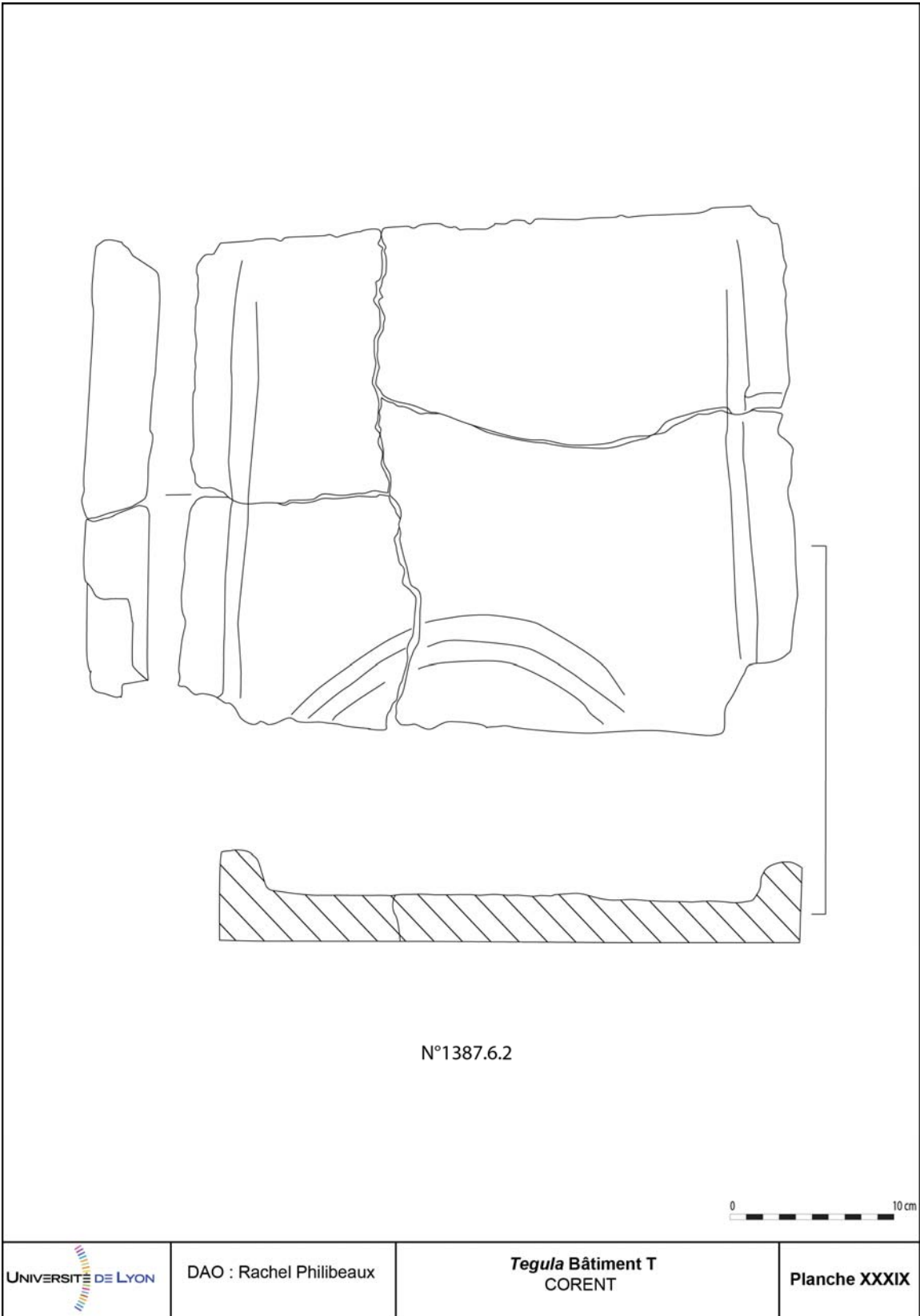


Planche XXXVIII : Fragment de tegula, Bâtiment T, sous-sol [23087]



N°1387.3.15



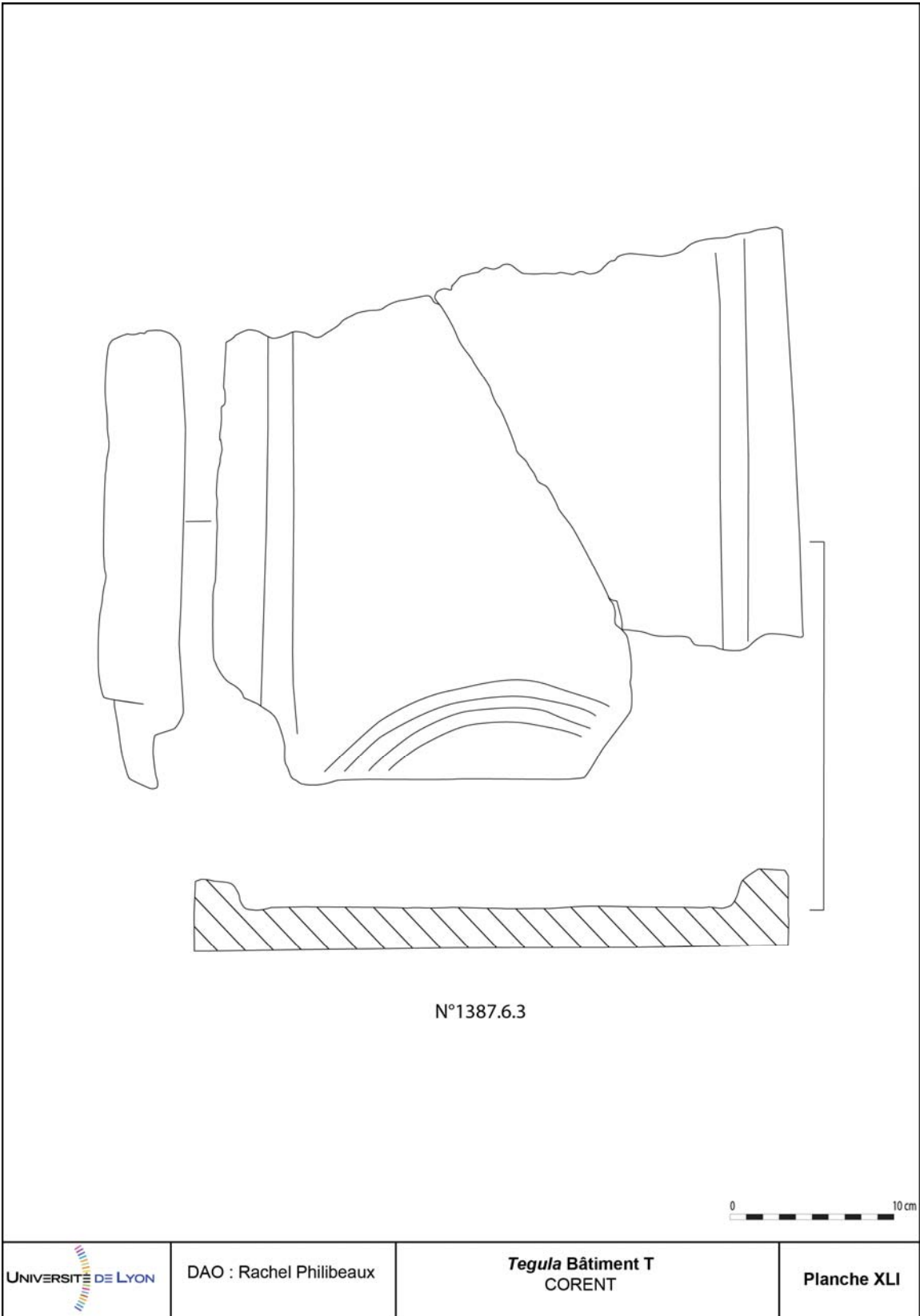
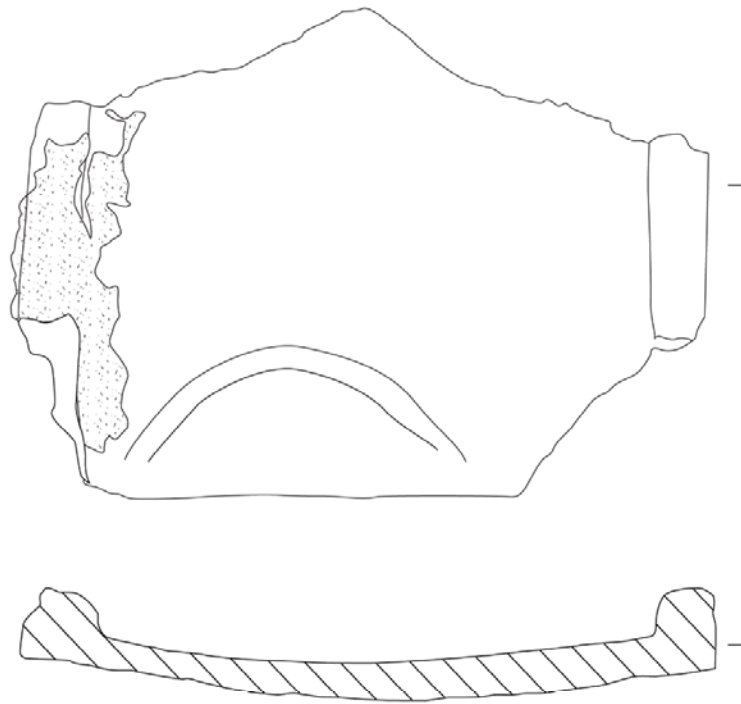
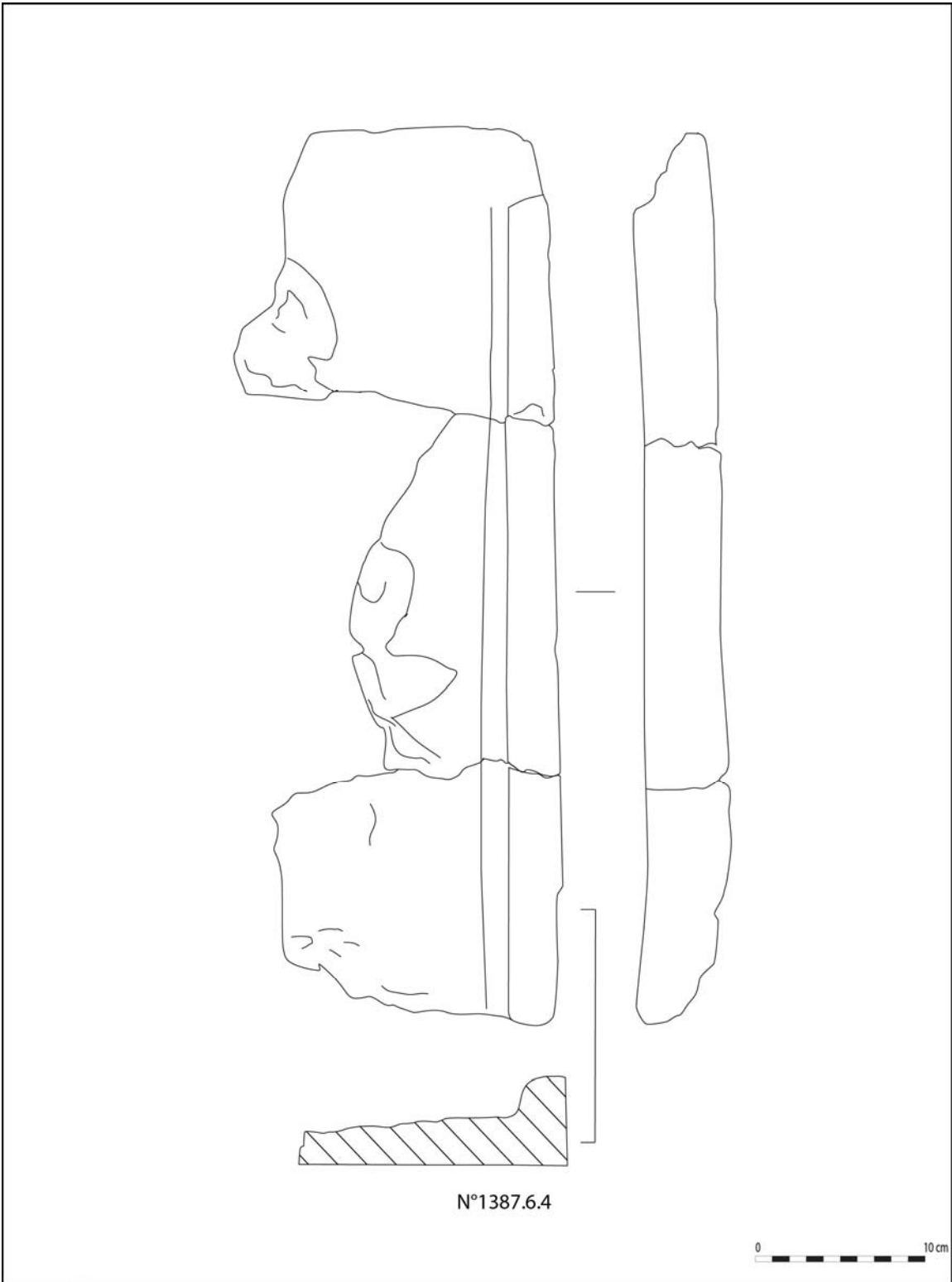


Planche XL : Fragment de tegula, Bâtiment T, sous-sol [23087]



N°1387.4.1

Mortier 0 10 cm

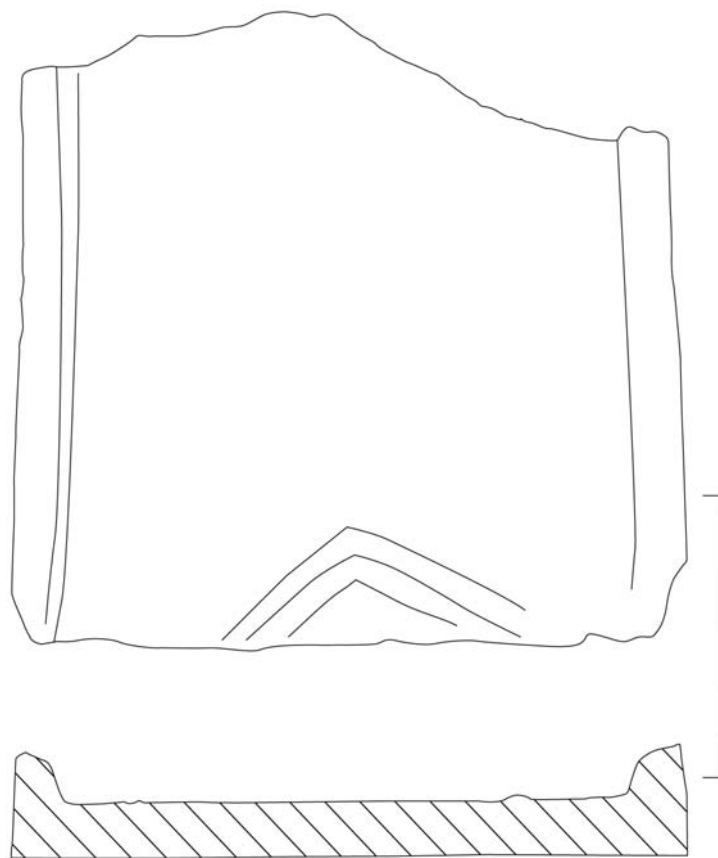


N°1387.6.4

0 10 cm

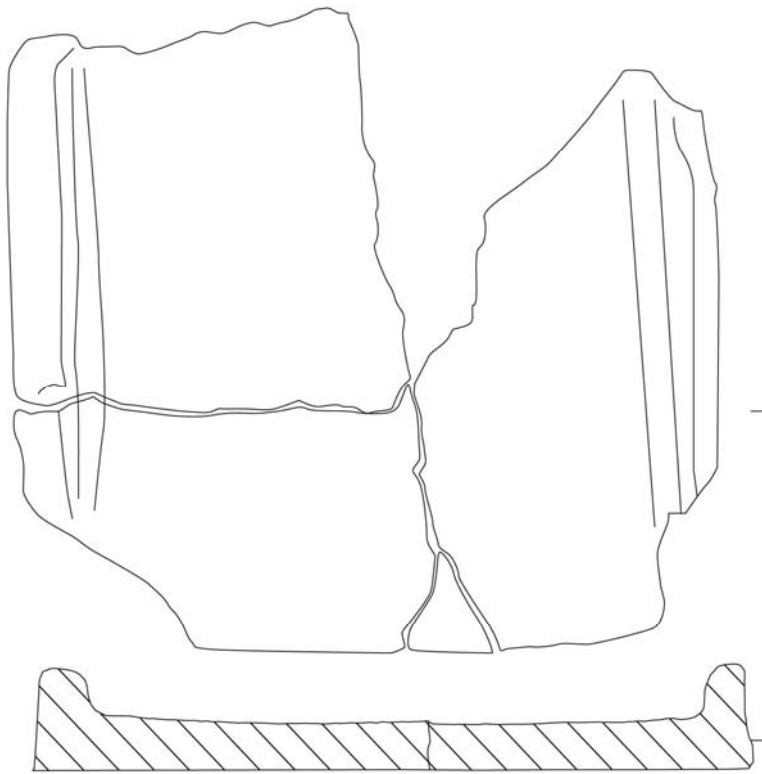
| | | | |
|---|-------------------------|---|----------------------|
|  | DAO : Rachel Philibeaux | Tegula Bâtiment T CORENT | Planche XLIII |
|---|-------------------------|---|----------------------|

Planche XLII : Fragment de tegula, Bâtiment T, sous-sol [23087]



N°1387.6.8





N°1387.6.5



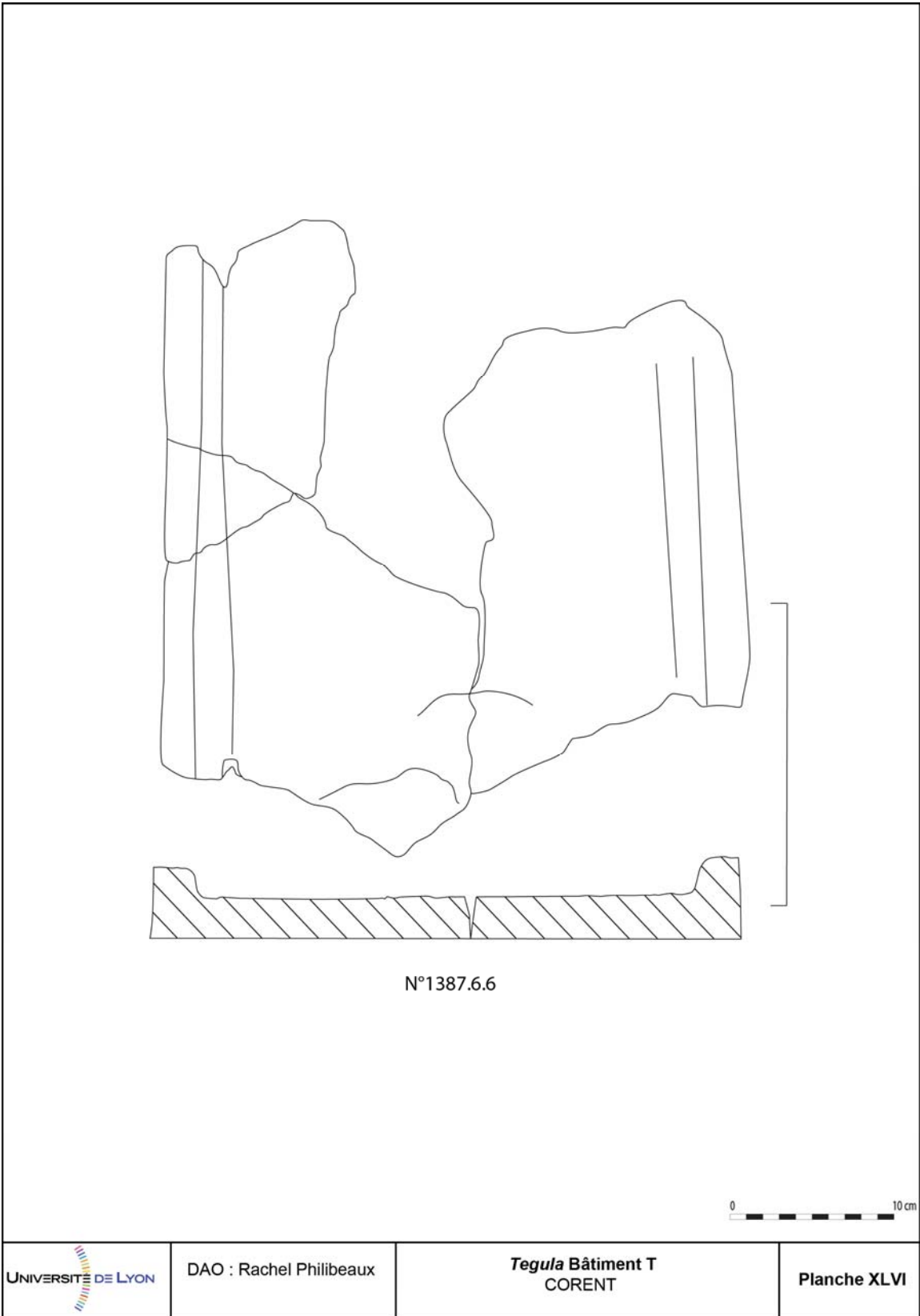


Planche XLV : Fragment de tegula, Bâtiment T, sous-sol [23087]

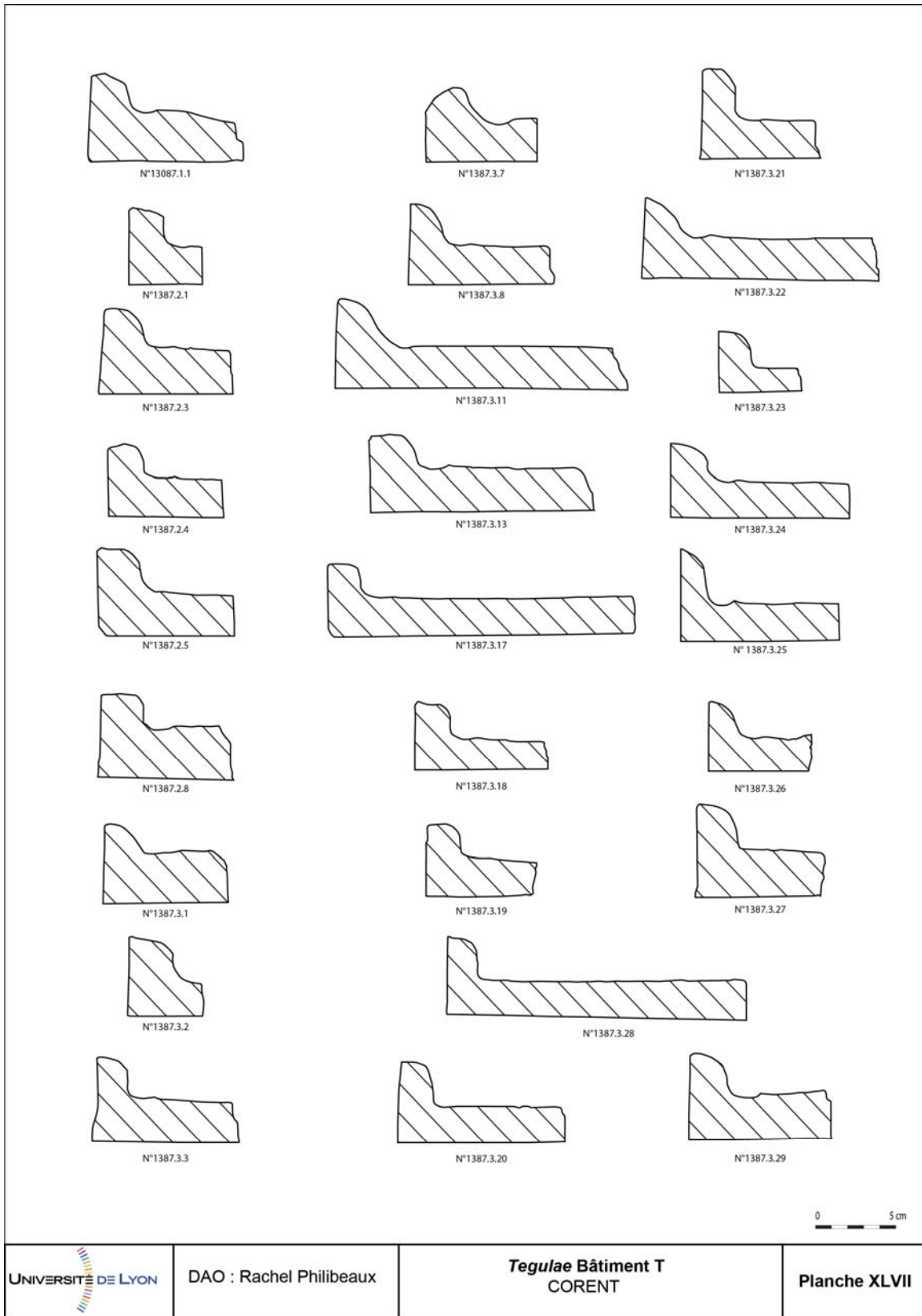


Planche XLVI : Profils de tegulae, Bâtiment T, sous-sol [23087]

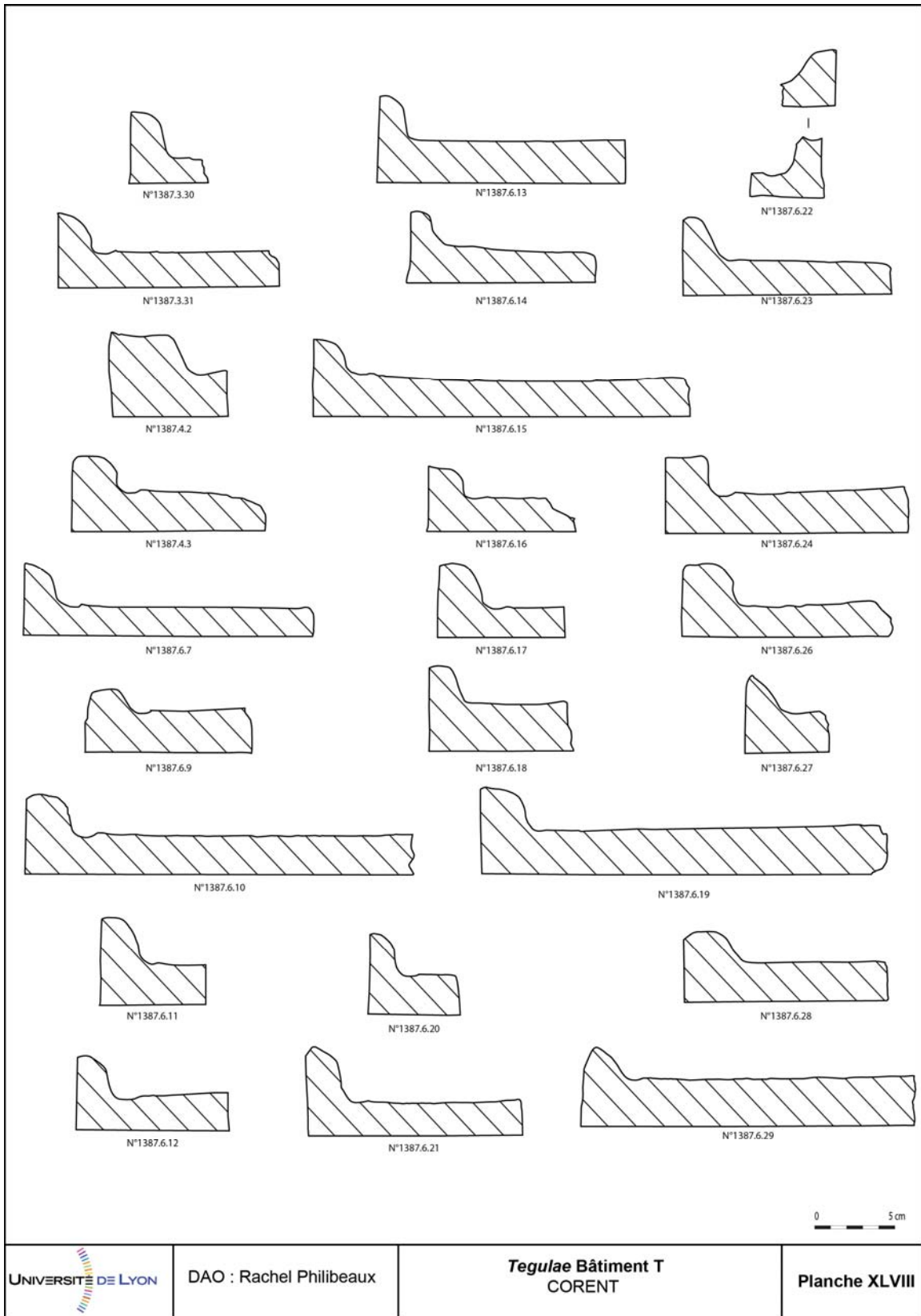


Planche XLVII : Profils de tegulae, Bâtiment T, sous-sol [23087]

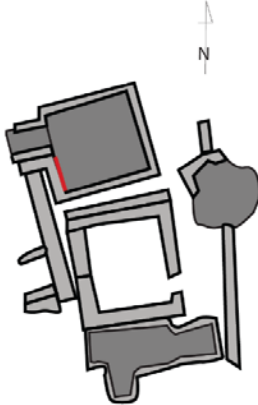
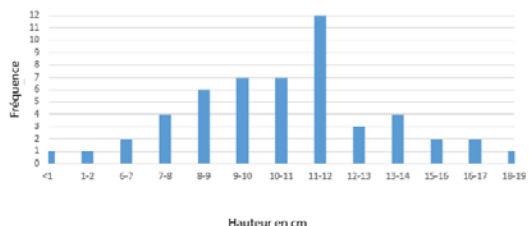
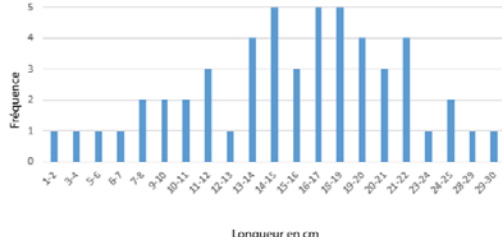

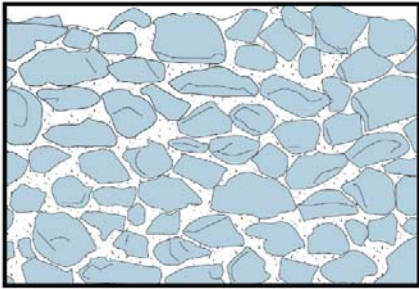




| | | | | | |
|---|--|---|--|---|--|
| I- Définition structure : UF 23021 Cave, représentée par le Mur sud-nord UF 23271, bâtiment T, élévation Largeurs murs : 0,4m-0,7m ; Haut. max. élév. : 1,06m ; Longueur max. : 4m Dimension total cave : 3,4m de large par 3,7m de long ; m ² : 12,5 | | II- Phase de construction : Etat 4.2/4.3 : II ^{ème} s. - III ^{ème} s. | | Groupe Typologique C | |
| III- Description des moellons : - Qualité du matériau majoritaire utilisé : Basalte - Qualité du matériau minoritaire utilisé : / - Qualité de taille : Irrégulière - Typologie TCA : / - Autres informations : / | | IV- Analyse modulaire du parement (en cm) : - Épaisseur joints de lit : min. 3,98 cm ; max. : 9,16 cm ; moy. : 5,31 cm - Épaisseur joints montant : min. : 0,8 cm ; max. : 5,88 cm ; moy. : 4,04 cm - Module hauteur 5 moellons + 5 joints de lit : 42,07cm - Total moellons mesurés : 52 - Dimension moy. hauteur moellons : 10,59 cm - Dimension moy. longueur moellons : 15,82 cm - Dimension moy. profondeur moellons : / | |  <p style="text-align: center;">Bâtiment T</p> <p style="text-align: center;">— : Parement sélectionné</p> | |
| V- Description de la mise en oeuvre : - Opus : Incertum - Assises des moellons : Irrégulier - Finition des joints : / - Traces de revêtements : / (enduits peints présents dans le comblement) - Assises : / - Chaînage d'angle : Moellons - Hauteur d'assise module : cm | | VI- Description du mortier : - Famille de mortier : Chaux - Coloration : Blanc - Texture du granulat : Sablo-graveleux - Groupe typologique : / - Remarques : / | | | |
| VII- Description du blocage : - Agencement : Caementicum - Composition de l'agrégat : Basalte - Proportion ép. blocage 22,3 cm / ép. mur : 47,86 cm - Mise en oeuvre de l'agrégat : Tout venant, moellons - Remarque sur la qualité du blocage : / | | VIII- Particularités : - Les quatre murs de la cave 23021, ne sont pas chaînés : Seul l'UF 23271 est chaîné avec l'UF 23270. L'enmarchement n'est pas chaîné avec les murs de la cave 23021. | | | |
| Histogrammes dimensions moellons | | | | | |
|  | | |  | | |
| Typologie du parement | | | | | |
|  | | |  | | |
| Légende :  Basalte  Mortier | | |  | | |
|  | | DAO : Rachel Philibeaux Photographie : L.U.E.R.N. | | Bâtiment T CORENT | |
| | | | | Planche XLIX | |

Planche XLVIII : Fiche maçonnerie Bâtiment T, sous-sol [23021]

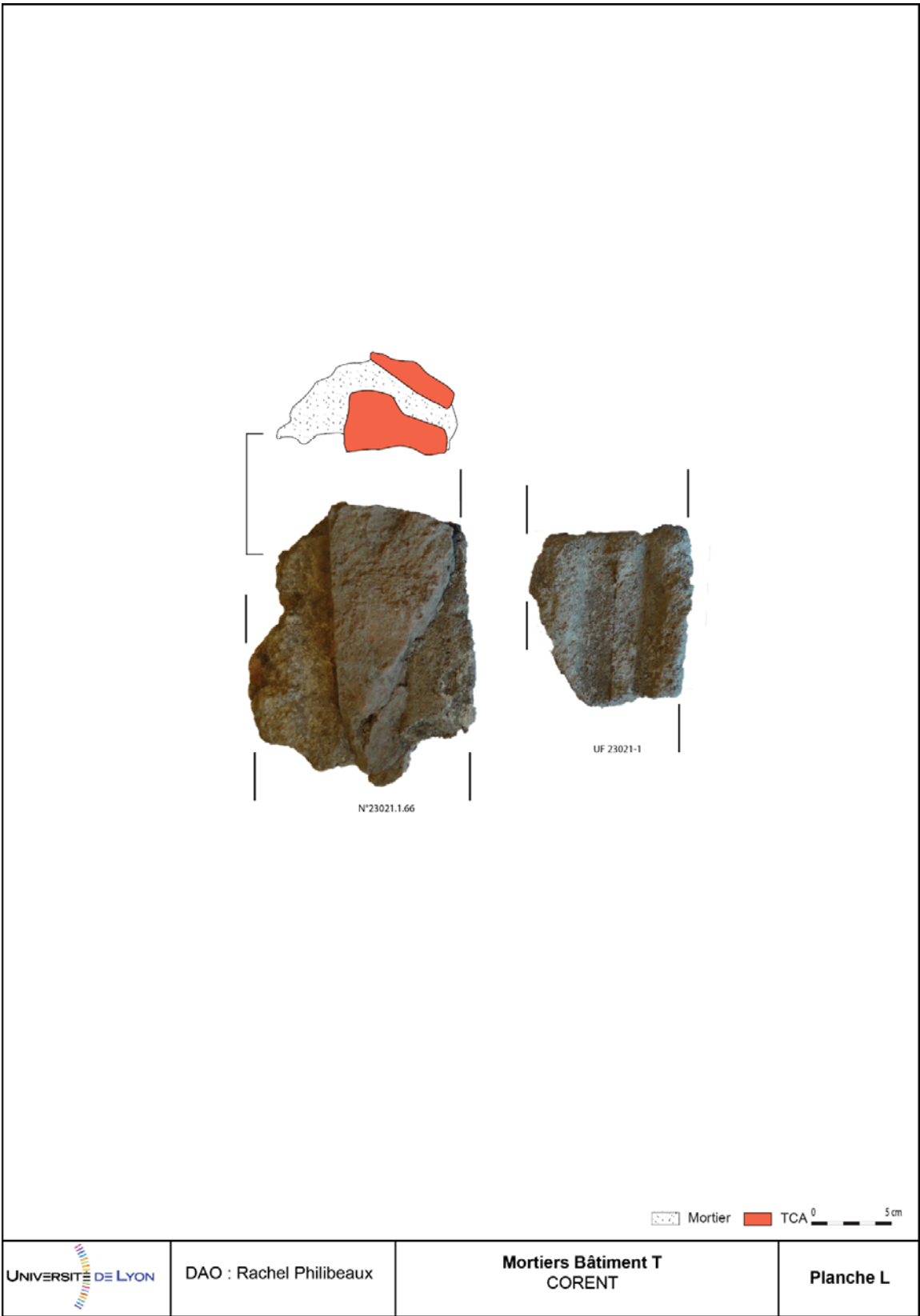


Planche XLIX : Accroches de mortier, dont une avec fragment de tegula et d'imbres, Bâtiment T, sous-sol [23021]

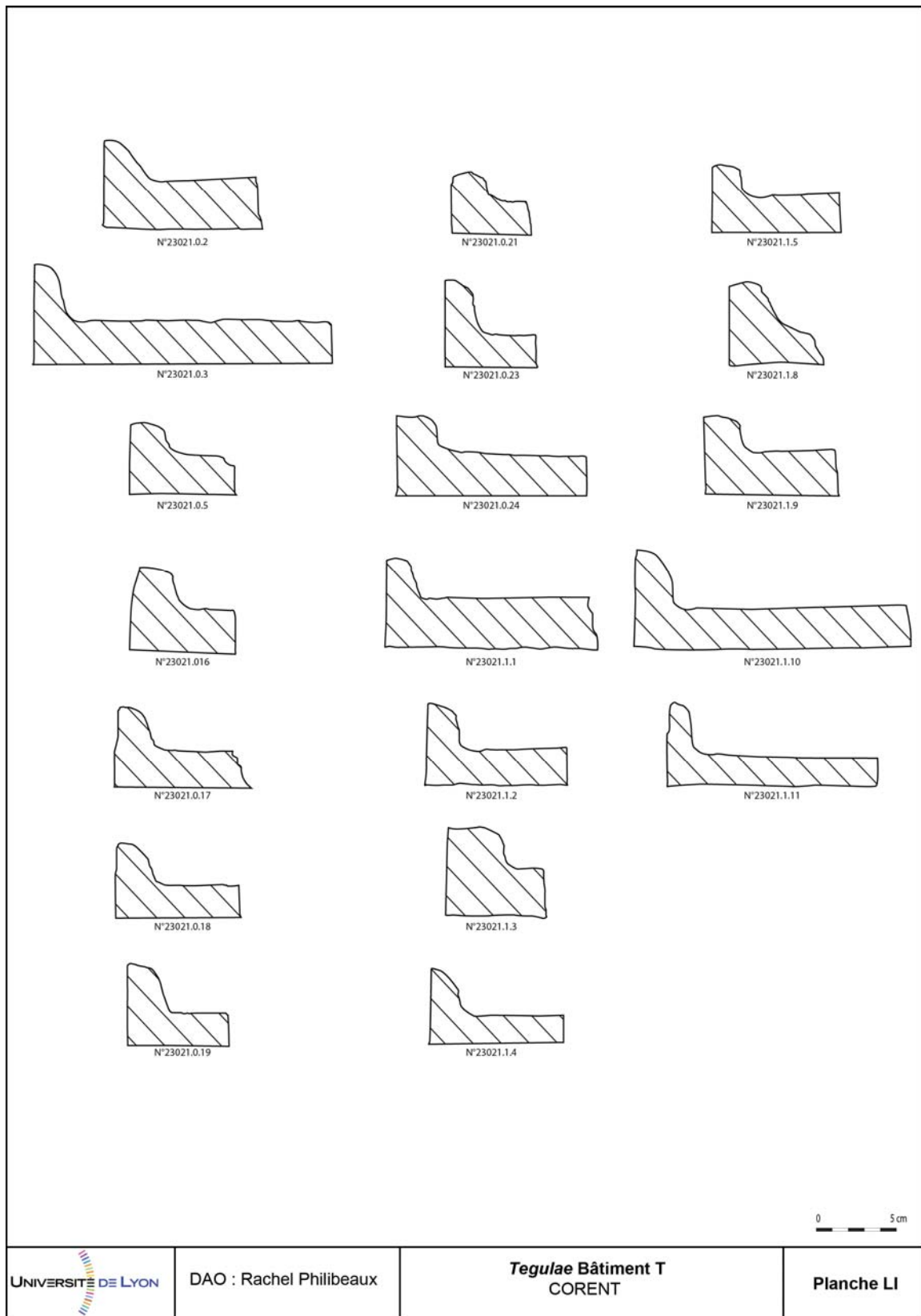
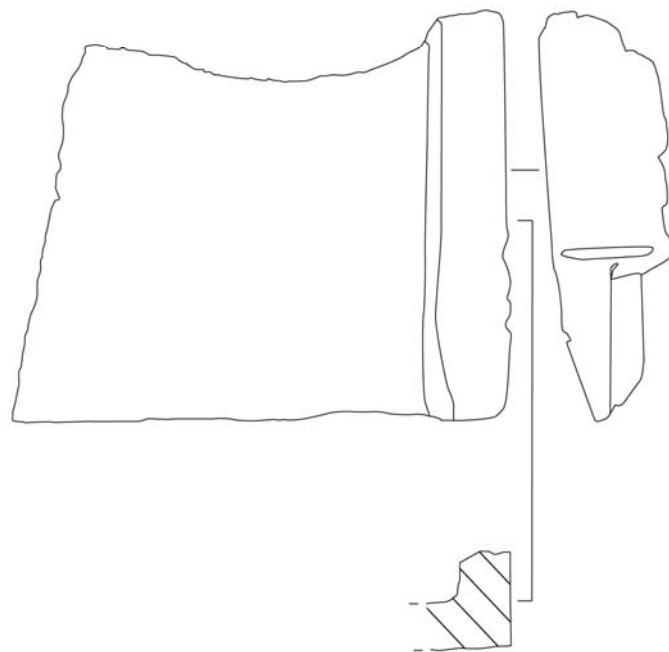


Planche L : Profils de tegulae, Bâtiment T, sous-sol [23021]



N°13229.0.1



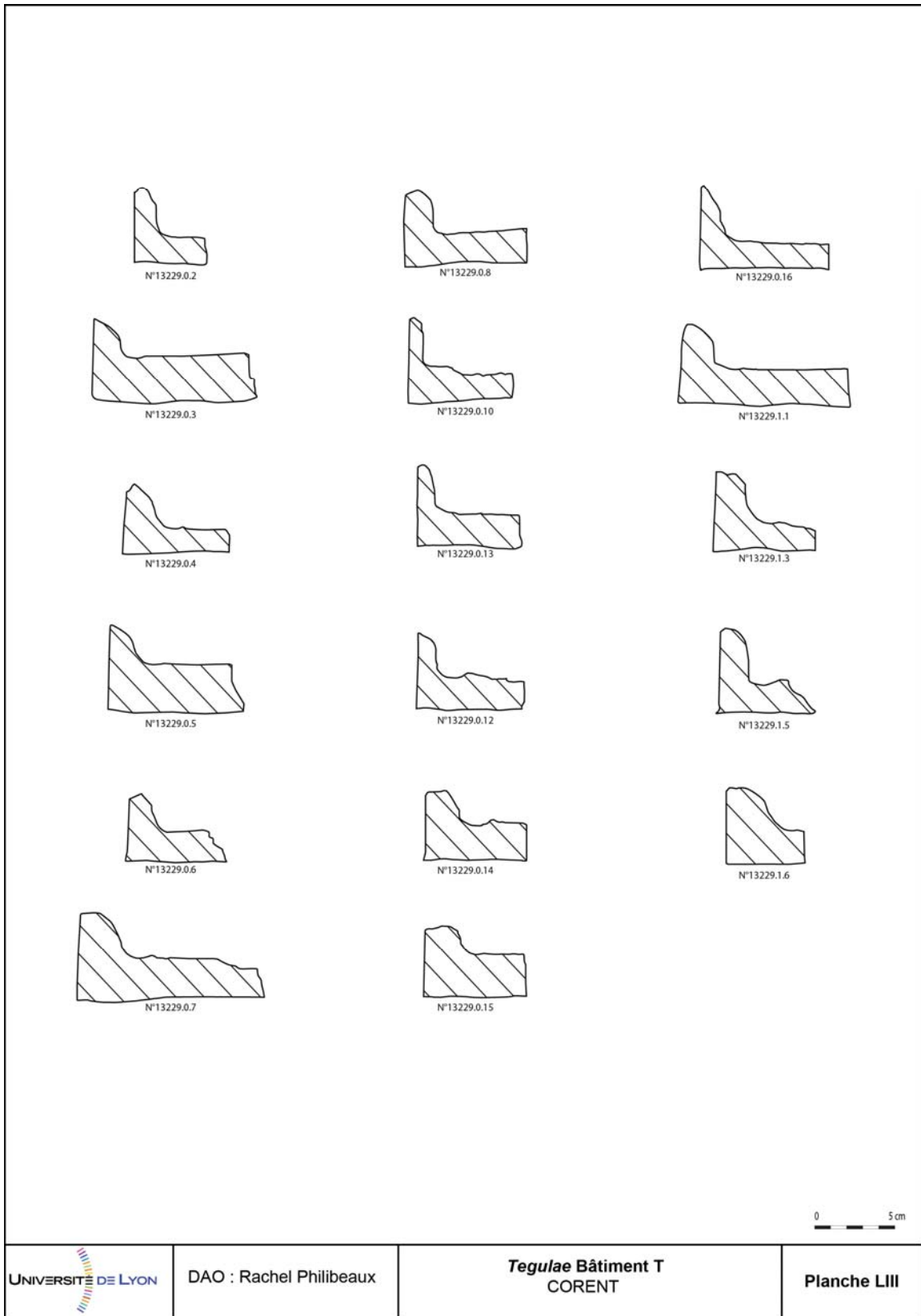


Planche LII : Profils de tegulae, Bâtiment T, cellier [23229]

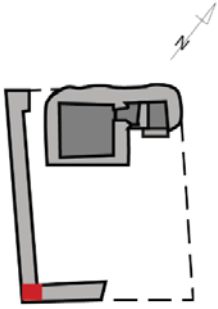
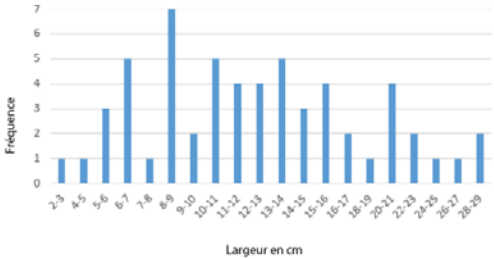
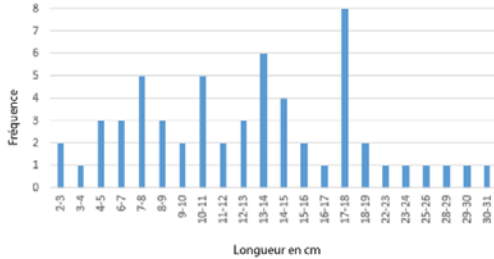

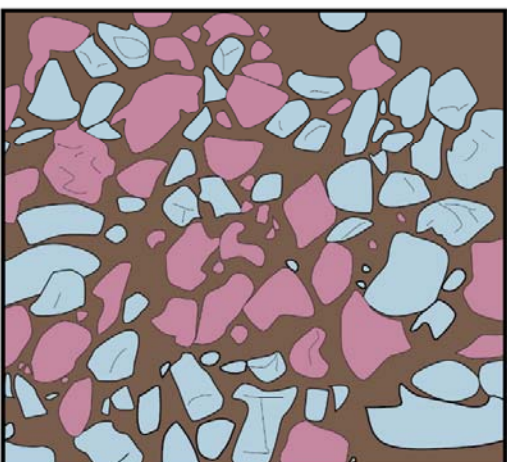


| | | | | | |
|--|--|---|--|--|--|
| I- Définition structure : Pièce entourant la cave, représentée par les maçonneries : UF 24007- UF 24169 Bâtiment W, solin Largeurs murs : 0,7m-0,75m ; Longueurs : UF24007: 9,05m ; UF24169 : 3,5m Dimension possible : 9,05 m de long par 0,7 m de large ; m ² : 35,91 | | II- Phase de construction : Etat 4.1/4.2 : Fin 1er, début 11ème s. | | Groupe Typologique | |
| III- Description des moellons : - Qualité du matériau majoritaire utilisé : Basalte - Qualité du matériau minoritaire utilisé : Pouzzolane - Qualité de taille : Irrégulière - Typologie TCA : / - Autres informations : / | | IV- Analyse modulaire du parement (en cm) : - Épaisseur joints de lit : min. : /cm ; max. : /cm ; moy. : /cm - Épaisseur joints montant : min. : /cm ; max. : /cm ; moy. : /cm - Module hauteur 5 moellons : /cm - Total moellons mesurés : 58 - Dimension moy. largeur moellons : 12,90 cm - Dimension moy. longueur moellons : 13,11cm - Dimension moy. profondeur moellons : / | |  <p>Bâtiment W</p> <p>— : Maçonnerie sélectionnée</p> | |
| V- Description de la mise en oeuvre : - Opus : / - Assisage des moellons : Irrégulier - Finition des joints : / - Traces de revêtements : / - Assises : / - Chainage d'angle : Moellons - Hauteur d'assise module : / | | VI - Description du mortier : - Famille de mortier : Chaux - Coloration : Brun - Texture du granulat : / - Groupe typologique : / - Remarques : Dégradé, peu chaulé | | | |
| VII- Description du blocage : - Agencement : Caementicum - Composition de l'agrégat : Basalte, Pouzzolane - Proportion ép. blocage / cm / ép. mur : / cm - Mise en oeuvre de l'agrégat : Tout venant, moellons - Remarque sur la qualité du blocage : Quasi- régulier | | VIII- Particularités : | | | |
| Histogrammes dimensions moellons | | | | | |
|  | | |  | | |
|  | | |  | | |
| Légende : Basalte Pouzzolane Terre et mortier | | |  | | |
|  | | DAO : Rachel Philibeaux Photographie : L.U.E.R.N. | | Batiment W CORENT | |
| | | | | Planche LIV | |

Planche LIII : Fiche maçonnerie Bâtiment W, sous-sol [24067]

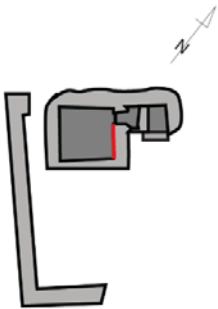
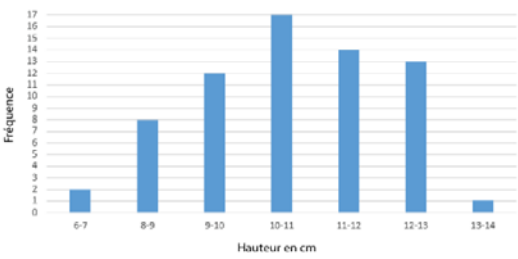
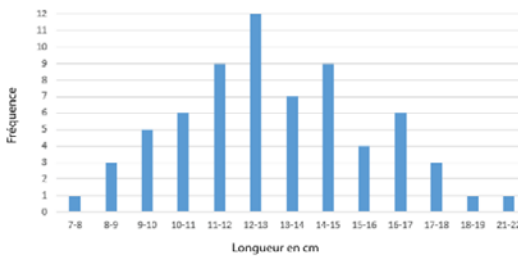

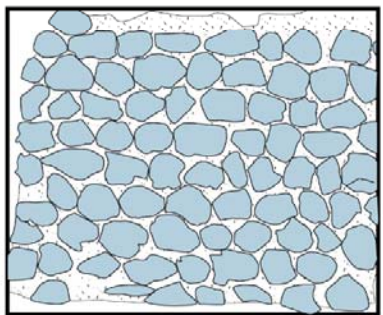




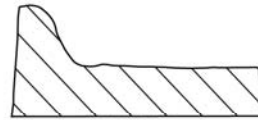
| | | | | | | | |
|---|--|---|---|---|--|-------------------|--|
| I- Définition structure : UF 24067 Cave, représentée par le Mur sud/est-nord/ouest UF 24173, bâtiment W, élévation Largeurs murs : 0,25m-0,6m ; Haut. max. élev. : 1,27m ; Longueur max. : 2,78m Dimension total cave : 3,35m de large par 3,55m de long ; m ² : 11,9 | | II- Phase de construction : Etat 4.1/4.2 : Fin 1er, début 11ème s. | | Groupe Typologique D.1 | | | |
| III- Description des moellons : - Qualité du matériau majoritaire utilisé : Basalte - Qualité du matériau minoritaire utilisé : Pouzzolane - Qualité de taille : Quasi-régulière - Typologie TCA : / - Autres informations : / | | IV- Analyse modulaire du parement (en cm) : - Épaisseur joints de lit : min. : 0,92 cm ; max. : 6,06 cm ; moy. : 1,9 cm - Épaisseur joints montant : min. : 1,1 cm ; max. : 5,2 cm ; moy. : 2,50 cm - Module hauteur 5 moellons : 51,5 cm - Total moellons mesurés : 67 - Dimension moy. hauteur moellons : 13,02 cm - Dimension moy. longueur moellons : 10,58 cm - Dimension moy. profondeur moellons : / | |  Bâtiment W — : Parement sélectionné | | | |
| V- Description de la mise en oeuvre : - Opus : Incertum, pseudo-vittatum - Assises des moellons : Quasi-régulier - Finition des joints : / - Traces de revêtements : Enduit peint blanc moucheté. - Assises : / - Chainage d'angle : / - Hauteur d'assise module : 11 cm | | VI - Description du mortier : - Famille de mortier : Chaux - Coloration : Blanc-jaune - Texture du granulat : Sablo-graveleux - Groupe typologique : / - Remarques : Dégradé, peu chaulé | | | | | |
| VII- Description du blocage : - Agencement : Caementicum - Composition de l'agrégat : Basalte, Pouzzolane - Proportion ép. blocage / cm / ép. mur : / cm - Mise en oeuvre de l'agrégat : Tout venant, moellons - Remarque sur la qualité du blocage : / | | VIII- Particularités : | | | | | |
| Histogrammes dimensions moellons | | | | | | | |
|  | | |  | | | | |
| Typologie du parement | | | | | | | |
|  | |  | | | | | |
| Légende :  Basalte  Mortier | |  | | | | | |
|  | | DAO : Rachel Philibeaux Photographie : L.U.E.R.N. | | Batiment W CORENT | | Planche LV | |

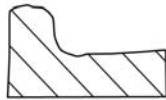
Planche LIV : Fiche maçonnerie Bâtiment W, sous-sol [24067]



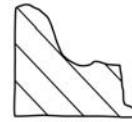
N°14034.0.1



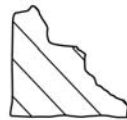
N°14034.0.5



N°14034.0.2



N°14034.0.6



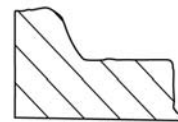
N°14034.0.3



N°14034.0.8



N°14034.0.4



N°14034.0.9



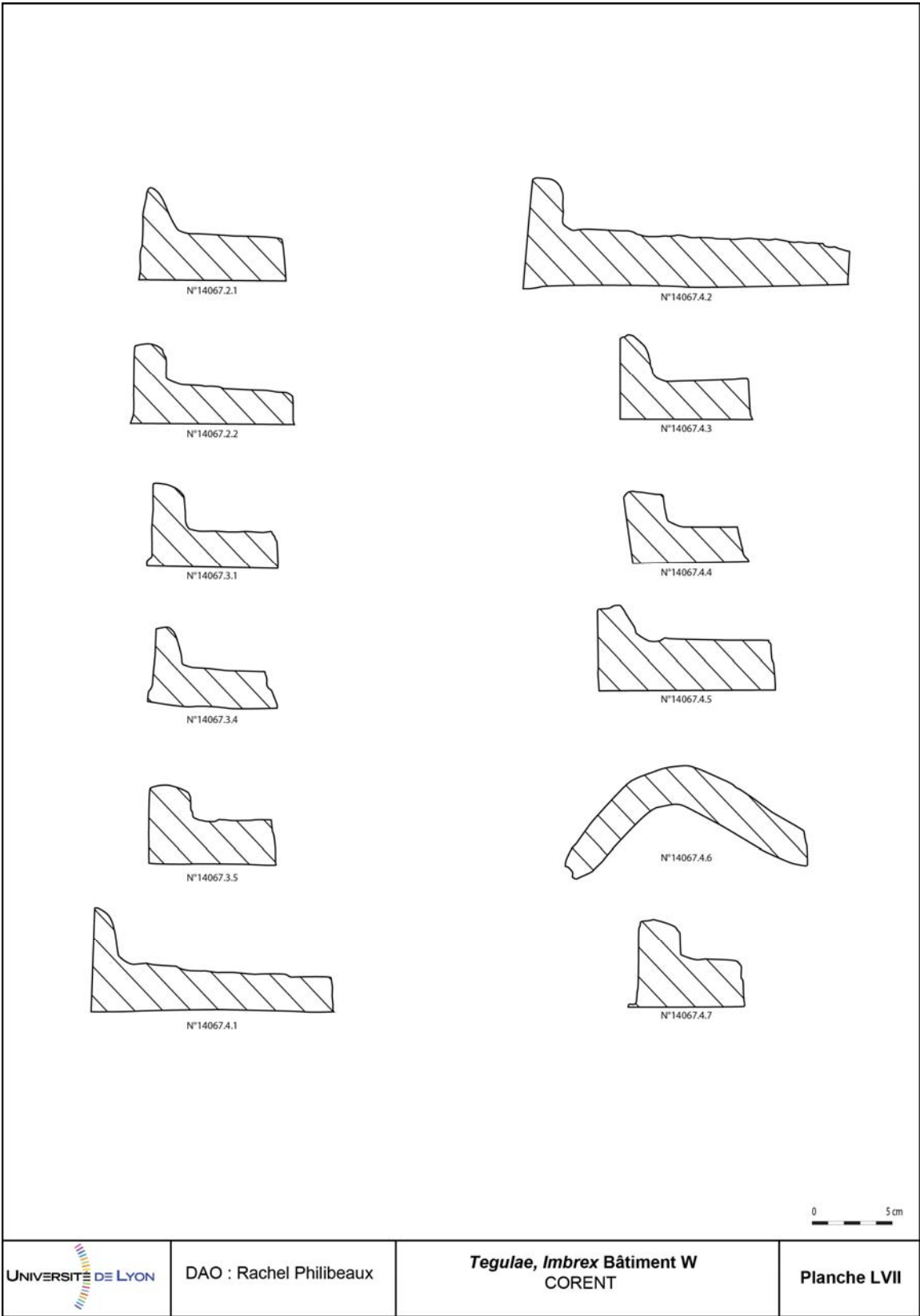


Planche LVI : Profils de tegulae et d'une imbrex, Bâtiment W, sous-sol [24067]

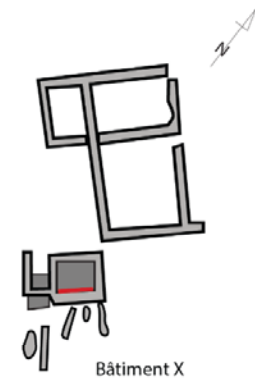
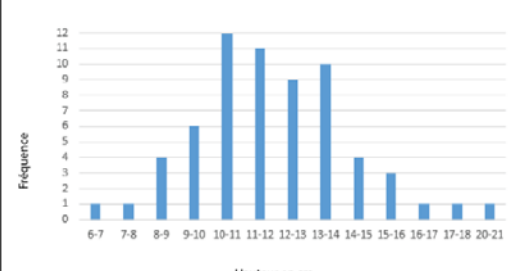
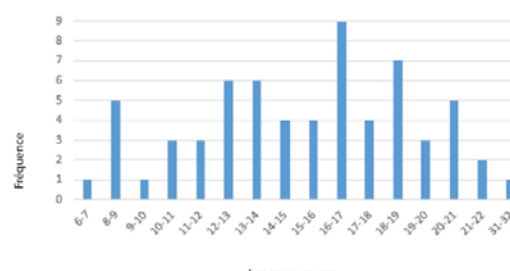

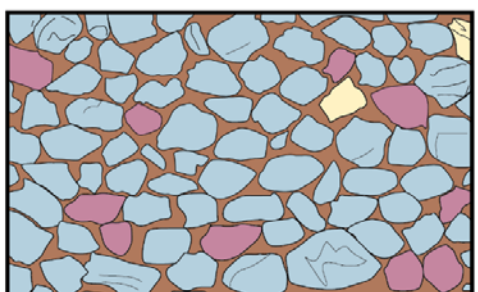



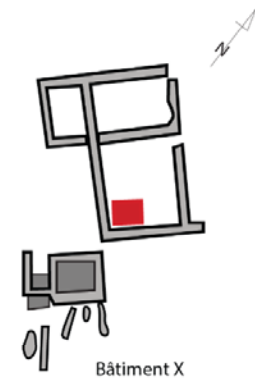
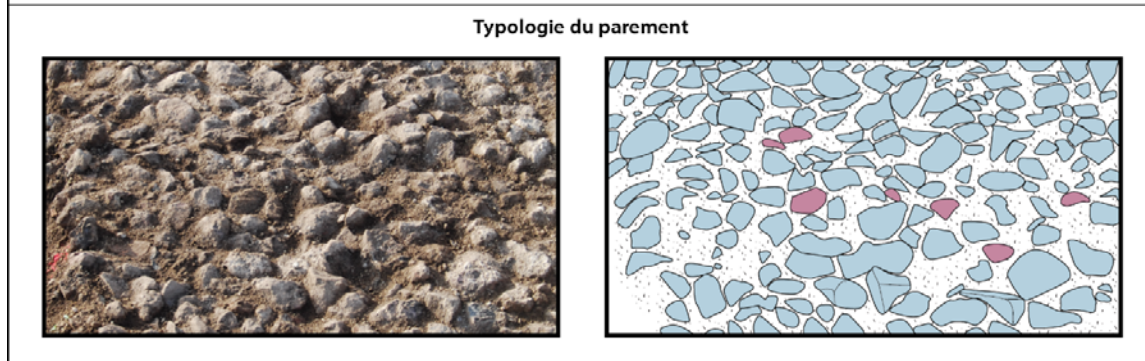
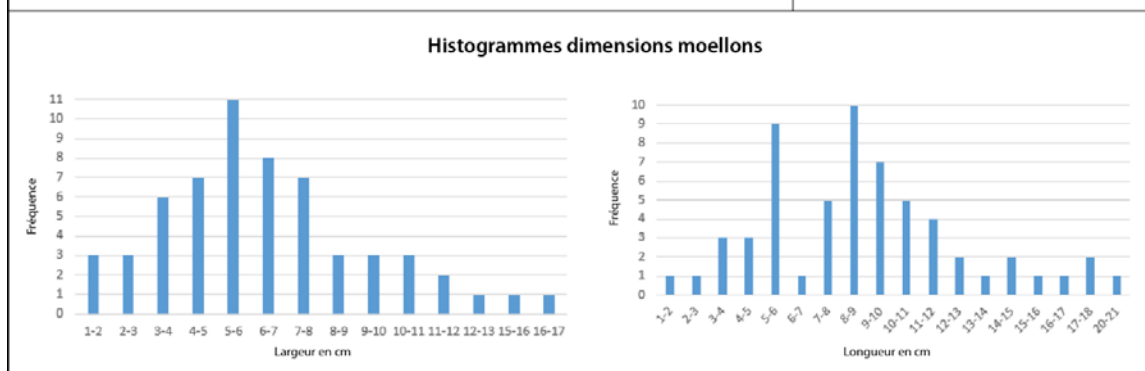
| | | | | | |
|--|--|---|---|------------------------------------|--|
| I- Définition structure : UF 24070 Cave, représentée par le Mur est-ouest UF 24162, bâtiment x, élévation Largeurs murs : 0,23m-0,78m ; Haut. max. élèv. : 1,19 m ; Longueur max. : 3,95m Dimension total cave : 2,2m de large par 2,7m de long ; m ² : 6,05 | | II- Phase de construction : Etat 4.1/4.2: Fin ler, début llème s. | | Groupe Typologique B | |
| III- Description des moellons : - Qualité du matériau majoritaire utilisé : Basalte - Qualité du matériau minoritaire utilisé : Calcaire - Qualité de taille : Irrégulière - Typologie TCA : / - Autres informations : / | | | IV- Analyse modulaire du parement (en cm) : - Épaisseur joints de lit : min. : / cm ; max. : / cm ; moy. : / cm - Épaisseur joints montant : min. : / cm ; max. : / cm ; moy. : / cm - Module hauteur 5 moellons : 54,42 cm - Total moellons mesurés : 65 - Dimension moy. hauteur moellons : 11,92 cm - Dimension moy. longueur moellons : 15,38 cm - Dimension moy. profondeur moellons : / | | |
| V- Description de la mise en oeuvre : - Opus : Incertum - Assises des moellons : Irrégulier - Finition des joints : / - Traces de revêtements : / - Assises : / - Chainage d'angle : Bloc de basalte, de pouzzolane. - Hauteur d'assise module : 12,58 cm | | | VI - Description du liant : - Famille de liant : Argile - Coloration : Beige clair - Texture du granulat : Argilo-sableux - Groupe typologique : / - Remarques : / | | |
| VII- Description du blocage : - Agencement : Caementicum - Composition de l'agrégat : Basalte, Pouzzolane - Proportion ép. blocage / cm / ép. mur : / cm - Mise en oeuvre de l'agrégat : Tout venant, moellons - Remarque sur la qualité du blocage : / | | | VIII- Particularités : | | |
| <div style="text-align: right;">  <p>Bâtiment X</p> <p>— : Parement sélectionné</p> </div> | | | | | |
| Histogrammes dimensions moellons | | | | | |
|  | | |  | | |
| Typologie du parement | | | | | |
|  | | |  | | |
| Légende :  | | |  | | |
|  | | DAO : Rachel Philibeaux Photographie : L.U.E.R.N. | | Bâtiment X CORENT | |
| | | | | Planche LVIII | |

Planche LVII : Fiche maçonnerie Bâtiment X, sous-sol [24070]

| | | |
|--|---|-----------------------|
| I- Définition structure : Maçonnerie pièce Sud, représentée par le <i>statumen</i> UF 24159, bâtiment X, radier Largeurs murs : /m ; Haut. max. élév. : / ; Longueur max. : / m | II- Phase de construction : Etat 4.1/4.2: Fin ler, début llème s. | Groupe Typologique |
|--|---|-----------------------|

| | | |
|--|--|--|
| III- Description des moellons : - Qualité du matériau majoritaire utilisé : Basalte - Qualité du matériau minoritaire utilisé : Pouzzolane - Qualité de taille : Irrégulière - Typologie TCA : / - Autres informations : / V- Description de la mise en oeuvre : - Opus : Statumen - Assisage des moellons : / - Finition des joints : / - Traces de revêtements : Terrazzo - Assises : / - Chainage d'angle : / - Hauteur d'assise module : / VII- Description du blocage : - Agencement : Statumen - Composition de l'agrégat : Basalte, Pouzzolane - Proportion ép. blocage / cm / ép. mur : / cm - Mise en oeuvre de l'agrégat : Tout venant, Bloc - Remarque sur la qualité du blocage : / | IV- Analyse modulaire du parement (en cm) : - Épaisseur joints de lit : min. : / cm ; max. : / cm ; moy. : / cm - Épaisseur joints montant : min. : / cm ; max. : / cm ; moy. : / cm - Module hauteur 5 moellons : / - Total moellons mesurés : 59 - Dimension moy. largeur moellons : 6,50cm - Dimension moy. longueur moellons : 9,01cm - Dimension moy. profondeur moellons : / VI- Description du liant : - Famille de liant : / - Coloration : / - Texture du granulat : / - Groupe typologique : / - Remarques : / VIII- Particularités : |  <p style="text-align: center;">Bâtiment X</p> <p style="text-align: center;">— : Maçonnerie sélectionnée</p> |
|--|--|--|



| | |
|---|------------|
| Légende : Pouzzolane Mortier Basalte | 0 ————— 1m |
|---|------------|

| | | | |
|---|--|------------------------------------|--------------------|
|  | DAO : Rachel Philibeaux Photographie : L.U.E.R.N. | Bâtiment X CORENT | Planche LIX |
|---|--|------------------------------------|--------------------|

Planche LVIII: Fiche maçonnerie Bâtiment X

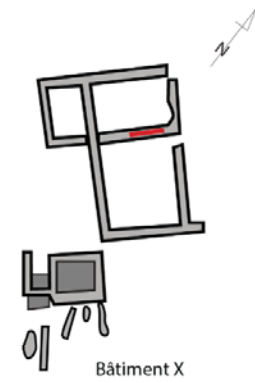
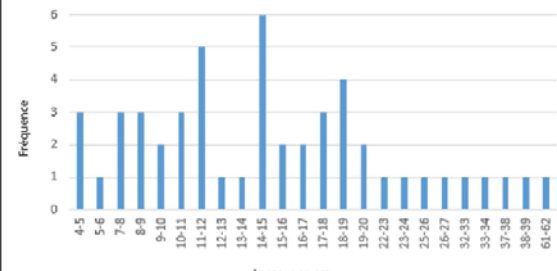
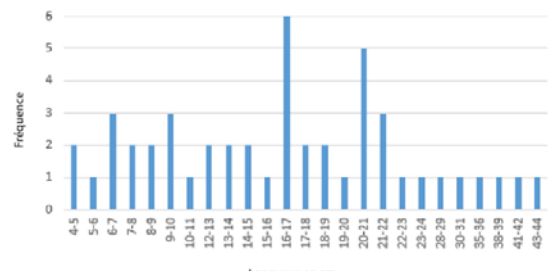

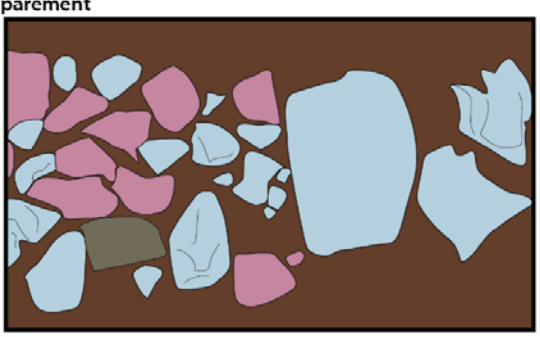


| | | | | | |
|---|--|--|--|--|--|
| I- Définition structure : Pièce Nord, représentée par les maçonneries est-ouest UF 24151, UF 24153, bâtiment X, solin Largeurs murs : 0,55m-0,6m ; Haut. max. élèv. : / ; Longueur max. : 6 m Dimension de la pièce : 2,75m de large par 4,75m de long ; m ² : 13,06 | | II- Phase de construction : Etat 4.1/4.2: Fin ler, début llème s. | | Groupe Typologique | |
| III- Description des moellons : - Qualité du matériau majoritaire utilisé : Basalte - Qualité du matériau minoritaire utilisé : Arkoze - Qualité de taille : Irrégulière - Typologie TCA : / - Autres informations : / | | IV- Analyse modulaire du parement (en cm) : - Épaisseur joints de lit : min. : / cm ; max. : / cm ; moy. : / cm - Épaisseur joints montant : min. : / cm ; max. : / cm ; moy. : / cm - Module hauteur 5 moellons : / - Total moellons mesurés : 50 - Dimension moy. largeur moellons : 16,51cm - Dimension moy. longueur moellons : 17,2 cm - Dimension moy. profondeur moellons : / | |  <p>Bâtiment X</p> <p>— : Maçonnerie sélectionnée</p> | |
| V- Description de la mise en oeuvre : - Opus : / - Assisage des moellons : / - Finition des joints : / - Traces de revêtements : / - Assises : / - Chainage d'angle : Bloc de basalte, de pouzzolane. - Hauteur d'assise module : / | | VI- Description du liant : - Famille de liant : / - Coloration : / - Texture du granulat : / - Groupe typologique : / - Remarques : / | | | |
| VII- Description du blocage : - Agencement : Caementicum - Composition de l'agrégat : Basalte, Pouzzolane - Proportion ép. blocage / cm / ép. mur : / cm - Mise en oeuvre de l'agrégat : Tout venant, moellons, blocs. - Remarque sur la qualité du blocage : / | | VIII- Particularités : Possible seuil de porte, blocs de basalte pour poteaux porteurs ? | | | |
| Histogrammes dimensions moellons | | | | | |
|  <p>Fréquence</p> <p>Largeur en cm</p> | | |  <p>Fréquence</p> <p>Longueur en cm</p> | | |
| Typologie du parement | | | | | |
|  | |  | | | |
| Légende : Pouzzolane Basalte Arkose Terre géologique | |  | | | |
|  | | DAO : Rachel Philibeaux Photographie : L.U.E.R.N. | | Bâtiment X CORENT | |
| | | | | Planche LX | |

Planche LIX : Fiche maçonnerie Bâtiment X

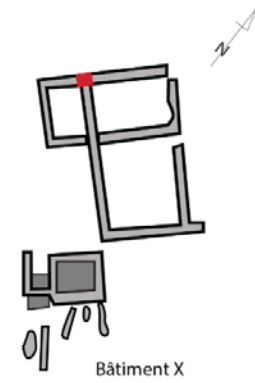
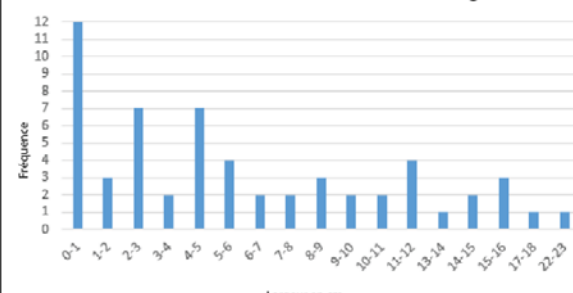
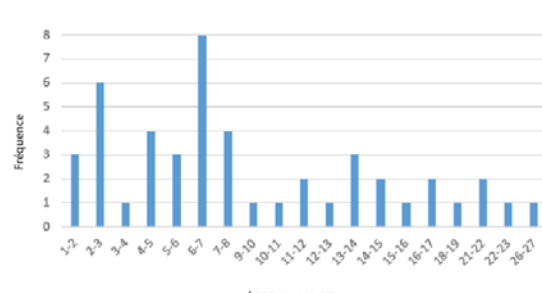

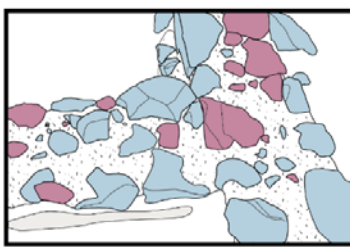



| | | | |
|--|--|---|--|
| I- Définition structure : Maçonnerie Nord, représentée par le mur nord UF24157 et le mur n/s UF24014, bâtiment X, Fondation Etat 4.2: Largeurs murs : 0,6m-0,7m ; Haut. max. élév. : 0,33 ; Longueur max. : 10,60 m | | II- Phase de construction : Fin ler, début IIème s. | Groupe Typologique |
| III- Description des moellons : - Qualité du matériau majoritaire utilisé : Basalte - Qualité du matériau minoritaire utilisé : Pouzzolane - Qualité de taille : Irrégulière - Typologie TCA : / - Autres informations : / V- Description de la mise en oeuvre : - Opus : Incertum - Assises des moellons : / - Finition des joints : / - Traces de revêtements : Enduit blanc - Assises : / - Chainage d'angle : / - Hauteur d'assise module : / VII- Description du blocage : - Agencement : Caementicum - Composition de l'agrégat : Basalte, Pouzzolane - Proportion ép. blocage / cm / ép. mur : / cm - Mise en oeuvre de l'agrégat : Tout venant, Bloc - Remarque sur la qualité du blocage : / | | IV- Analyse modulaire du parement (en cm) : - Épaisseur joints de lit : min. : / cm ; max. : / cm ; moy. : / cm - Épaisseur joints montant : min. : / cm ; max. : / cm ; moy. : / cm - Module hauteur 5 moellons : / - Total moellons mesurés : 47 - Dimension moy. largeur moellons : 7,86cm - Dimension moy. longueur moellons : 8,92 cm - Dimension moy. profondeur moellons : / VI- Description du liant : - Famille de liant : Chaux - Coloration : Blanc - Texture du granulat : Sableux - Groupe typologique : / - Remarques : Très fin VIII- Particularités : - Ressaut de fondation visible. |  Bâtiment X ■ : Maçonnerie sélectionnée |
| Histogrammes dimensions moellons | | | |
|  | |  | |
| Typologie du parement | | | |
|  | |  | |
| Légende :  | |  | |
|  | | Bâtiment X CORENT | |
| DAO : Rachel Philibeaux Photographie : L.U.E.R.N. | | Planche LXI | |

Planche LX : Fiche maçonnerie Bâtiment X

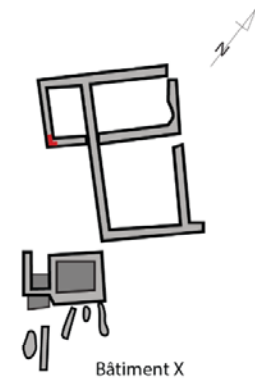
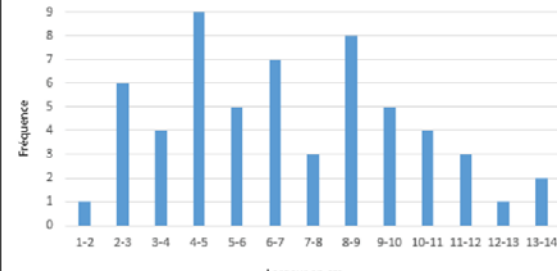
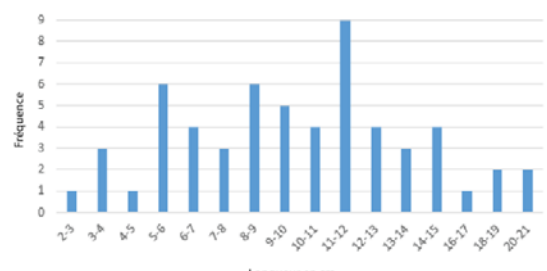

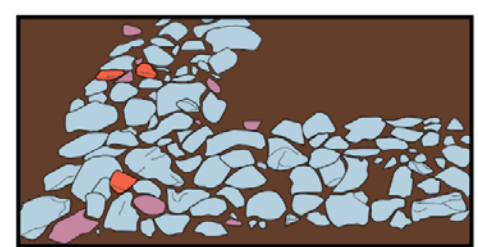






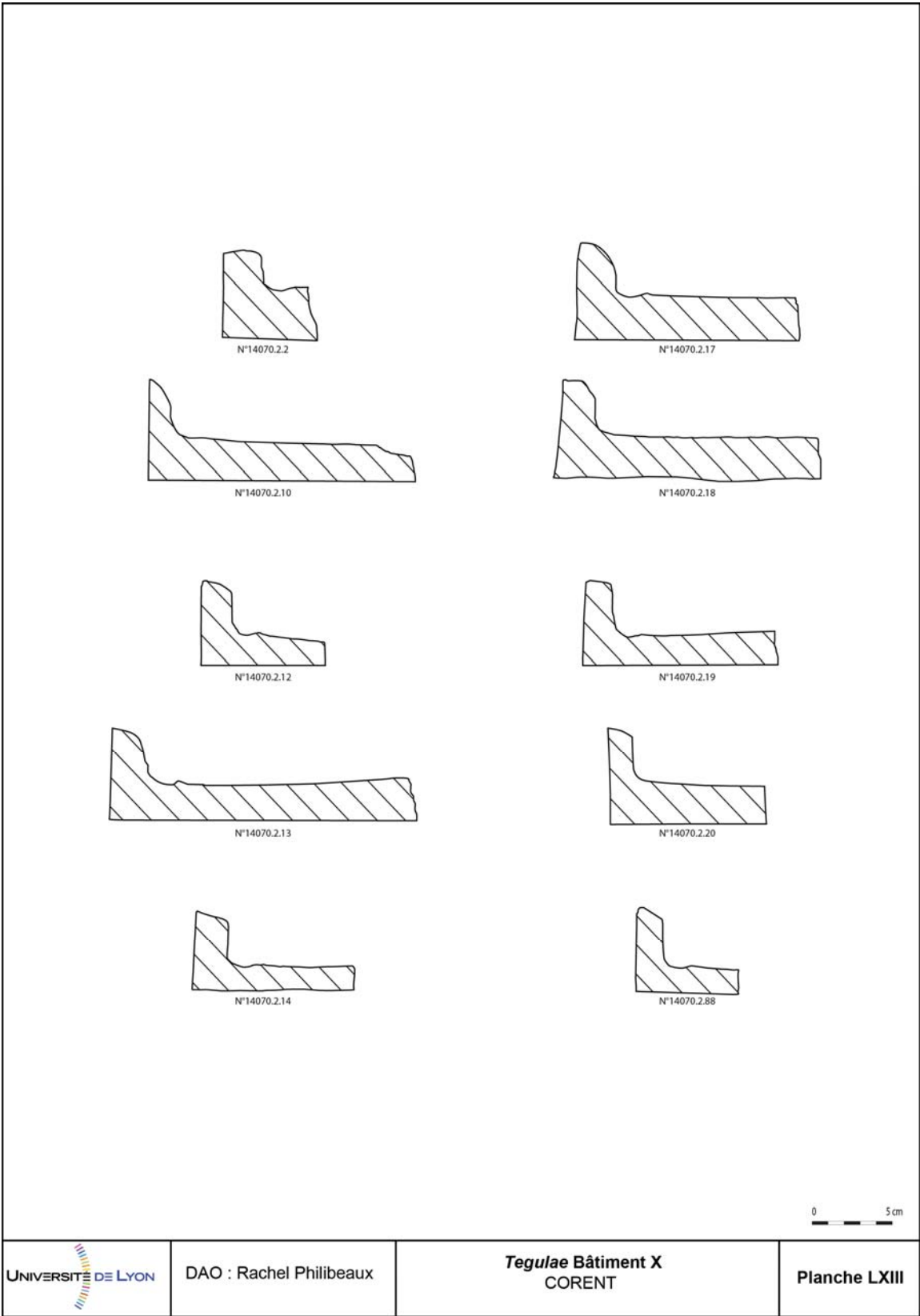
| | | | |
|---|--|--|--|
| I- Définition structure : Pièce Ouest, représentée par les maçonneries E/O UF 24154, S/N UF 24155, bâtiment X, solin Largeurs murs : 0,6m-0,65m ; Haut. max. élèv. : / ; Longueur max. : 4,1 m Dimension de la pièce : 2,65m de large par 4,1m de long ; m ² : 10,86 | | II- Phase de construction : Etat 4.1/4.2: Fin ler, début llème s. | Groupe Typologique |
| III- Description des moellons : - Qualité du matériau majoritaire utilisé : Basalte - Qualité du matériau minoritaire utilisé : Pouzzolane - Qualité de taille : Irrégulière - Typologie TCA : / - Autres informations : / V- Description de la mise en oeuvre : - Opus : - Assisage des moellons : / - Finition des joints : / - Traces de revêtements : / - Assises : / - Chainage d'angle : Bloc de basalte, de pouzzolane. - Hauteur d'assise module : / VII- Description du blocage : - Agencement : Caementicum - Composition de l'agrégat : Basalte, Pouzzolane - Proportion ép. blocage / cm / ép. mur : / cm - Mise en oeuvre de l'agrégat : Tout venant, moellons - Remarque sur la qualité du blocage : / | | IV- Analyse modulaire du parement (en cm) : - Épaisseur joints de lit : min. : / cm ; max. : / cm ; moy. : / cm - Épaisseur joints montant : min. : / cm ; max. : / cm ; moy. : / cm - Module hauteur 5 moellons : / - Total moellons mesurés : 58 - Dimension moy. largeur moellons : 6,86cm - Dimension moy. longueur moellons : 10,06 cm - Dimension moy. profondeur moellons : / VI - Description du liant : - Famille de liant : Terre. - Coloration : / - Texture du granulat : / - Groupe typologique : / - Remarques : / VIII- Particularités : |  Bâtiment X — : Maçonnerie sélectionnée |
| Histogrammes dimensions moellons | | | |
|  | |  | |
| Typologie du parement | | | |
|  | |  | |
| Légende :  Pouzzolane  TCA  Basalte  Terre géologique | |  | |
|  | DAO : Rachel Philibeaux Photographie : L.U.E.R.N. | Bâtiment X CORENT | Planche LXII |

Planche LXI : Fiche maçonnerie Bâtiment X



UNIVERSITÉ DE LYON

DAO : Rachel Philibeaux

Tegulae Bâtiment X
CORENT

Planche LXIII

Planche LXII : Profils de tegulae, Bâtiment X, sous-sol [24070]

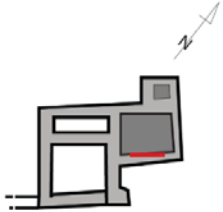
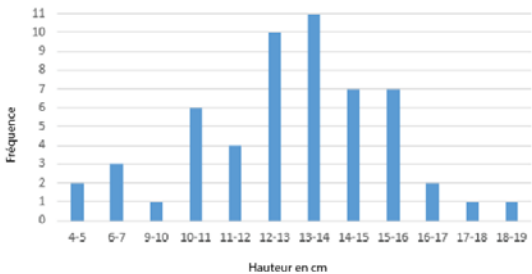
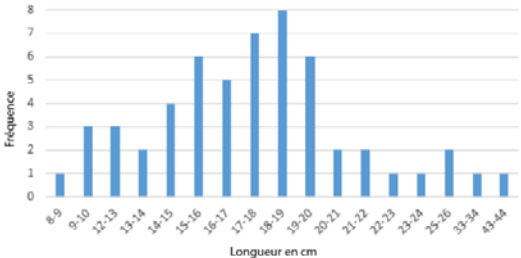

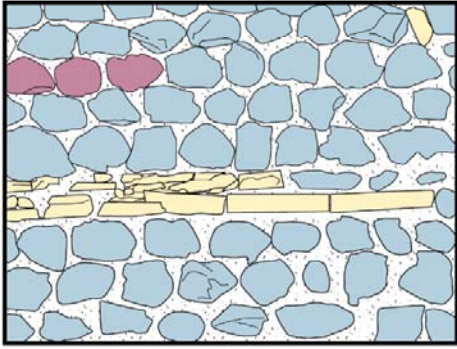
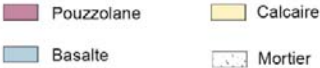


| | | | |
|--|--|---|-----------------------|
| I- Définition structure : UF 24059 Cave, représentée par le Mur sud/est-nord/ouest UF 24177, bâtiment Y, élévation Largeurs murs : 0,3m-0,78m ; Haut. max. élèv. : 1,44m ; Longueur max. : 5,1m Dimension total cave : 5,5m de large par 4,5m de long ; m ² : 24,75 | | II- Phase de construction : Etat 4.2 : 1ère moitié du IIème s. | Groupe Typologique |
| III- Description des moellons : - Qualité du matériau majoritaire utilisé : Basalte - Qualité du matériau minoritaire utilisé : Calcaire - Qualité de taille : Quasi-régulière - Typologie TCA : Fragments de TCA (réglage) - Autres informations : / V- Description de la mise en oeuvre : - Opus : Incertum, pseudo-vittatum - Assises des moellons : Régulier - Finition des joints : / - Traces de revêtements : / - Assises : de réglage calcaire (deux lignes de dallettes) - Chainage d'angle : Moellons de basalte, de pouzzolane. - Hauteur d'assise module : 14,28 cm VII- Description du blocage : - Agencement : Caementicum - Composition de l'agrégat : Basalte, Pouzzolane - Proportion ép. blocage / cm / ép. mur : / cm - Mise en oeuvre de l'agrégat : Tout venant, moellons - Remarque sur la qualité du blocage : / | IV- Analyse modulaire du parement (en cm) : - Épaisseur joints de lit : min. : 1,2 cm ; max. : 3,66 cm ; moy. : 1,32 cm - Épaisseur joints montant : min. : 0,8 cm ; max. : 6,66 cm ; moy. : 2,42 cm - Module hauteur 5 moellons : 65,6 cm - Total moellons mesurés : 55 - Dimension moy. hauteur moellons : 12,63 cm - Dimension moy. longueur moellons : 17,88 cm - Dimension moy. profondeur moellons : / VI- Description du mortier : - Famille de mortier : Chaux - Coloration : Blanc - Texture du granulat : Sableux - Groupe typologique : / - Remarques : Très fin VIII- Particularités : - Nombreux enduits peints (plus de 2500 fragments). Réfection partielle : reprise dans l'angle sud-est de l'UF 24177, séparée du reste du parement par un effet de césure, emploi d'un mortier différent (riche chaux). |  <p>Bâtiment Y</p> <p>— : Parement sélectionné</p> | |
| Histogrammes dimensions moellons | | | |
|  | |  | |
| Typologie du parement | | | |
|  | |  | |
| Légende :  | |  | |
|  | | Batiment Y CORENT | |
| DAO : Rachel Philibeaux Photographie : L.U.E.R.N. | | Planche LXIV | |

Planche LXIII : Fiche maçonnerie Bâtiment X, sous-sol [24059]

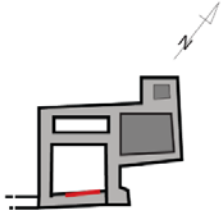
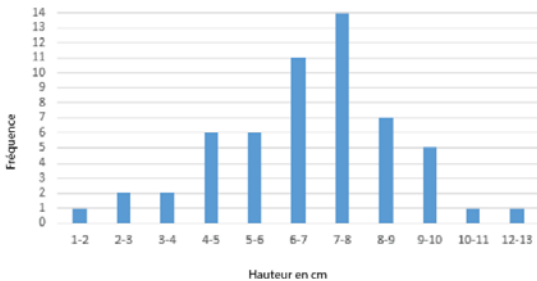
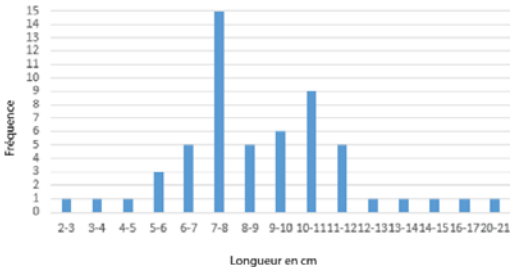





| | | | |
|---|--|--|-----------------------|
| I- Définition structure : Pièce sud représentée par le Mur est-ouest UF 24174 bâtiment Y, Fondation Largeurs murs : 0,55m-0,75m ; Haut. max. élèv. : 1,44m ; Longueur max. : 5,6m Dimension de la pièce : 5,6m de large par 5,1m de long ; m ² : 28,56 | | II- Phase de construction : Etat 4.2 : 1ère moitié du 11ème s. | Groupe Typologique |
| III- Description des moellons : - Qualité du matériau majoritaire utilisé : Basalte - Qualité du matériau minoritaire utilisé : Calcaire - Qualité de taille : Irrégulière - Typologie TCA : / - Autres informations : / | IV- Analyse modulaire du parement (en cm) : - Épaisseur joints de lit : min. : / ; max. : / cm ; moy. : / cm - Épaisseur joints montant : min. : / cm ; max. : / cm ; moy. : / cm - Module hauteur 5 moellons : / cm - Total moellons mesurés : 56 - Dimension moy. hauteur moellons : 6,80 cm - Dimension moy. longueur moellons : 8,88 cm - Dimension moy. profondeur moellons : / |  <p>Bâtiment Y</p> <p>— : Maçonnerie sélectionnée</p> | |
| V- Description de la mise en oeuvre : - Opus : / - Assisage des moellons : Irrégulier - Finition des joints : / - Traces de revêtements : / - Assises : / - Chainage d'angle : / - Hauteur d'assise module : 8,6 cm | VI - Description du mortier : - Famille de mortier : Chaux - Coloration : Blanc - Texture du granulat : Sableux - Groupe typologique : / - Remarques : Très fin | | |
| VII- Description du blocage : - Agencement : Caementicum - Composition de l'agrégat : Basalte, Pouzzolane - Proportion ép. blocage / cm / ép. mur : / cm - Mise en oeuvre de l'agrégat : Tout venant, moellons - Remarque sur la qualité du blocage : / | VIII- Particularités : - Ressaut de fondation visible | | |
| Histogrammes dimensions moellons | | | |
|  | |  | |
| Typologie du parement | | | |
|  | |  | |
| Légende :  | |  | |
|  | DAO : Rachel Philibeaux Photographie : L.U.E.R.N. | Batiment Y CORENT | Planche LXV |

Planche LXIV : Fiche maçonnerie Bâtiment X

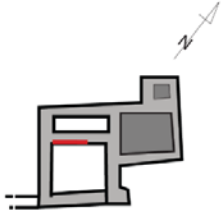
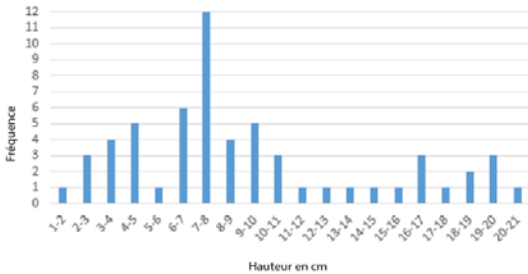
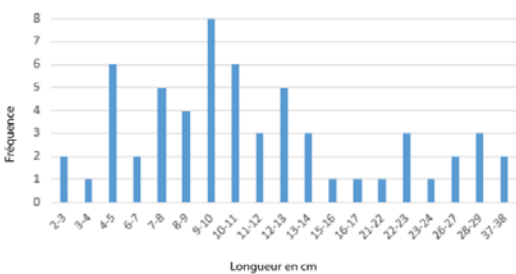

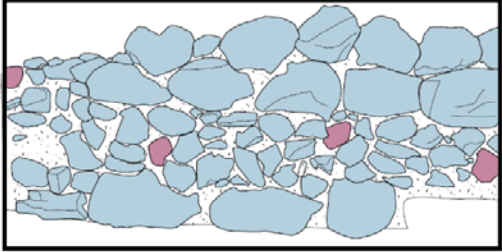





| | | | |
|--|--|---|--|
| I- Définition structure : Pièce Sud représentée par le Mur de partition est-ouest UF 24191 bâtiment Y, Fondation Largeurs murs : 0,55m-0,75m ; Haut. max. élèv. : 1,44m ; Longueur max. : 5,6m Dimension de la pièce : 5,6m de large par 5,1m de long ; m ² : 28,56 | | II- Phase de construction : Etat 4.2 : 1ère moitié du 11ème s. | Groupe Typologique |
| III- Description des moellons : - Qualité du matériau majoritaire utilisé : Basalte - Qualité du matériau minoritaire utilisé : Pouzzolane - Qualité de taille : Quasi-régulière - Typologie TCA : / - Autres informations : / V- Description de la mise en oeuvre : - Opus : / - Assisage des moellons : Quasi-régulier - Finition des joints : / - Traces de revêtements : / - Assises : - Chainage d'angle : Moellons, blocs - Hauteur d'assise module : 13,92 cm VII- Description du blocage : - Agencement : Caementicum - Composition de l'agrégat : Basalte, Pouzzolane - Proportion ép. blocage / cm / ép. mur : / cm - Mise en oeuvre de l'agrégat : Blocs, moellons - Remarque sur la qualité du blocage : / | | IV- Analyse modulaire du parement (en cm) : - Épaisseur joints de lit : min. : / ; max. : / cm ; moy. : / cm - Épaisseur joints montant : min. : / cm ; max. : / cm ; moy. : / cm - Module hauteur 5 moellons : / cm - Total moellons mesurés : 59 - Dimension moy. hauteur moellons : 9,22 cm - Dimension moy. longueur moellons : 12,80 cm - Dimension moy. profondeur moellons : / VI - Description du mortier : - Famille de mortier : Chaux - Coloration : Blanc-jaune - Texture du granulat : Sableux - Groupe typologique : / - Remarques : Très fin VIII- Particularités : |  <p>Bâtiment Y</p> <p>— : Maçonnerie sélectionnée</p> |
| Histogrammes dimensions moellons | | | |
|  | |  | |
| Typologie du parement | | | |
|  | |  | |
| Légende :  Pouzzolane  Mortier  Basalte | |  | |
|  | | DAO : Rachel Philibeaux Photographie : L.U.E.R.N. | |
| | | Bâtiment Y CORENT | |
| | | Planche LXVI | |

Planche LXV : Fiche maçonnerie Bâtiment X

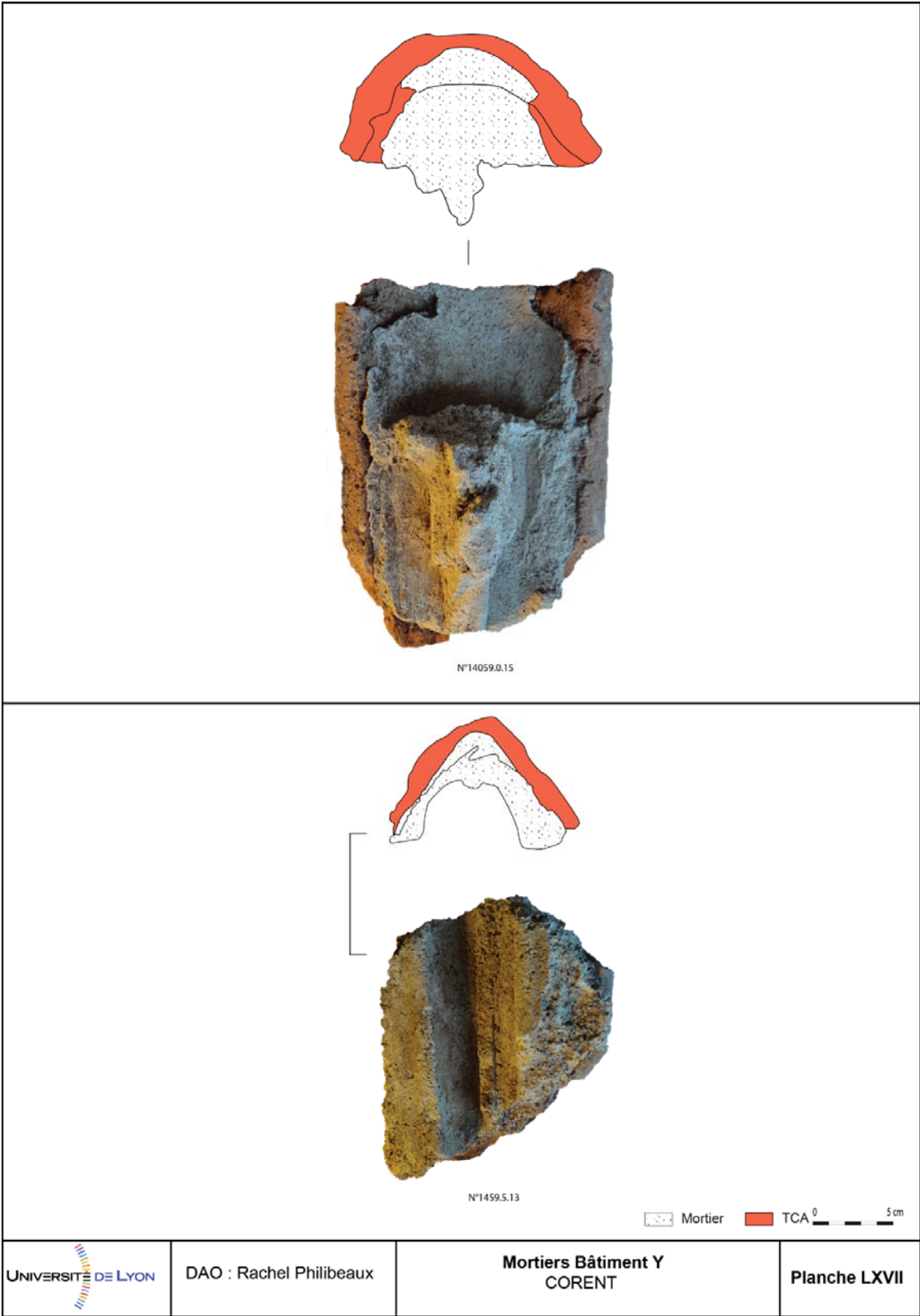


Planche LXVI : Accroches de mortier avec fragments d'imbrices, Bâtiment Y, sous-sol [24059]

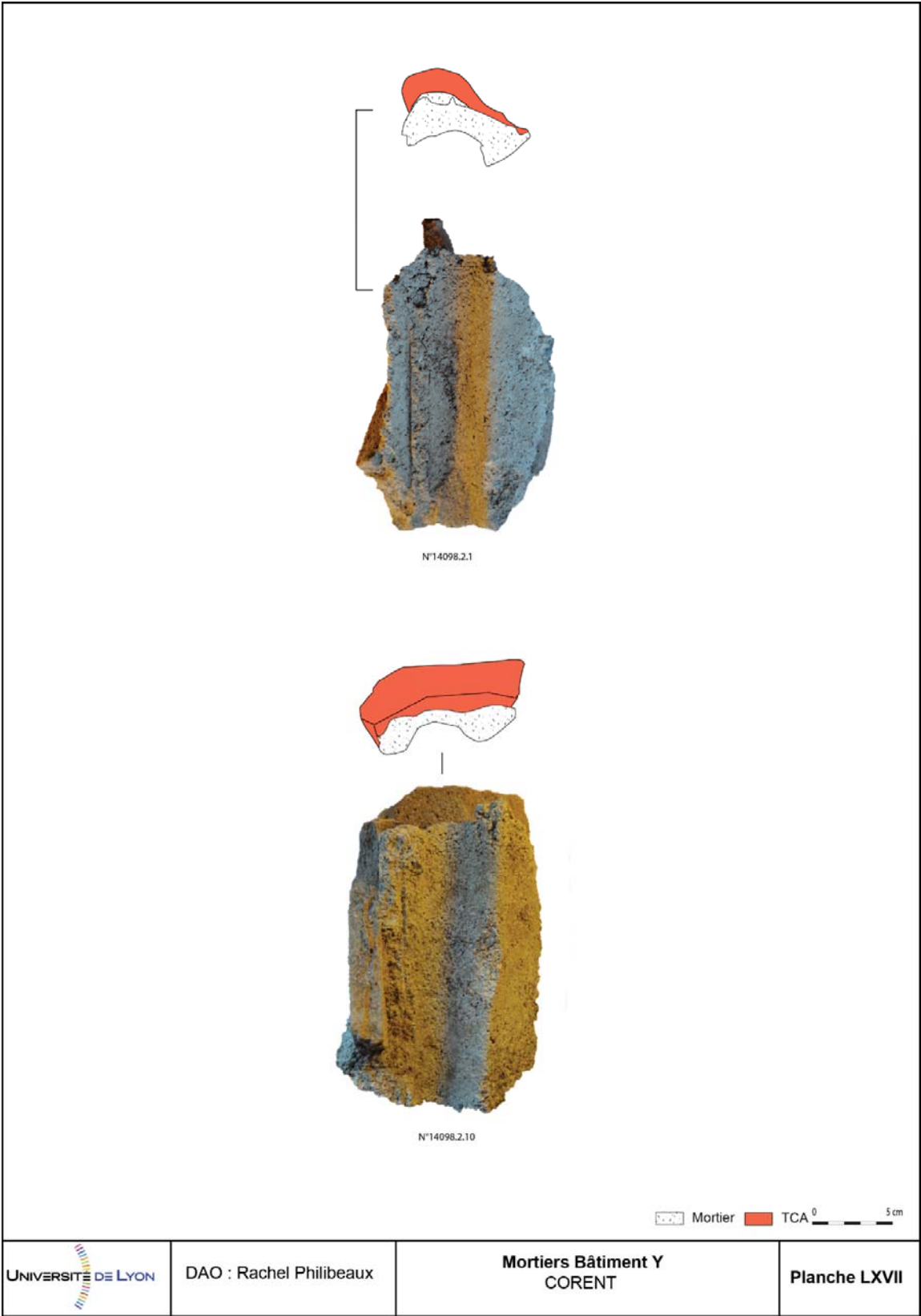
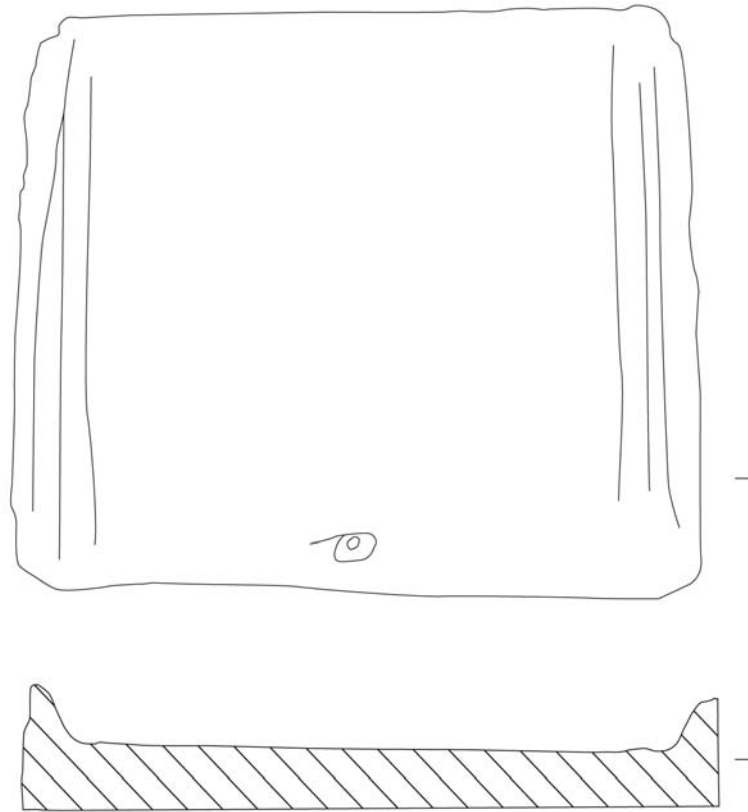
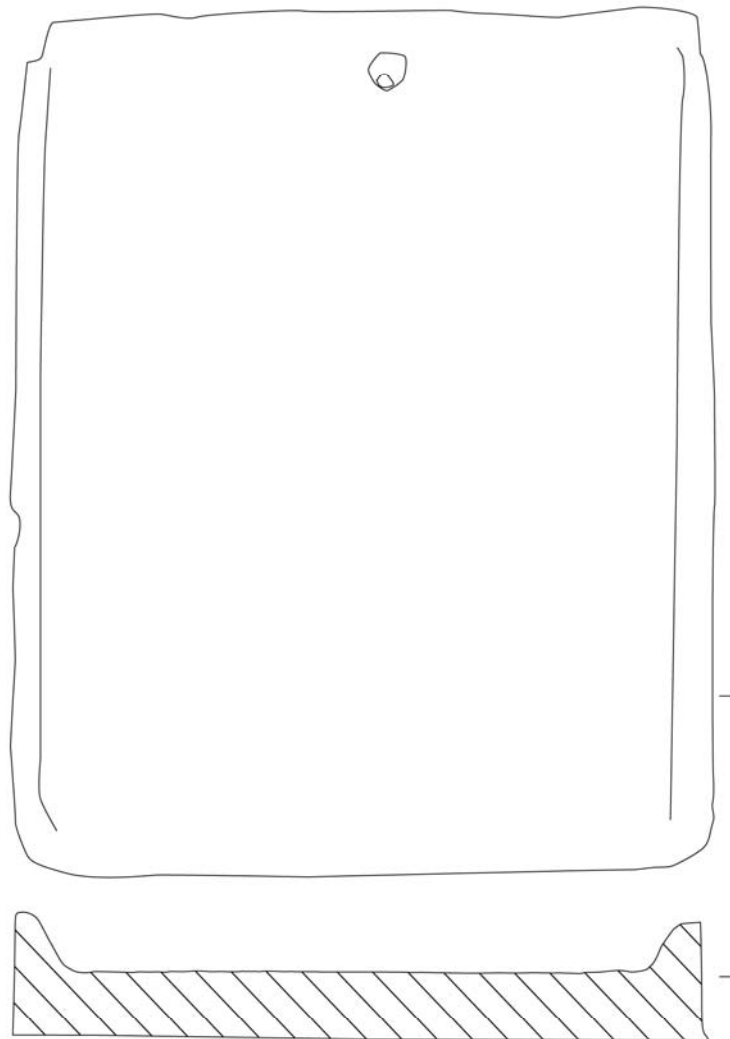


Planche LXVII : Accroches de mortier avec fragments d'imbrices, Bâtiment Y, sous-sol [24059]



N°1459.6.1





N°1459.6.2



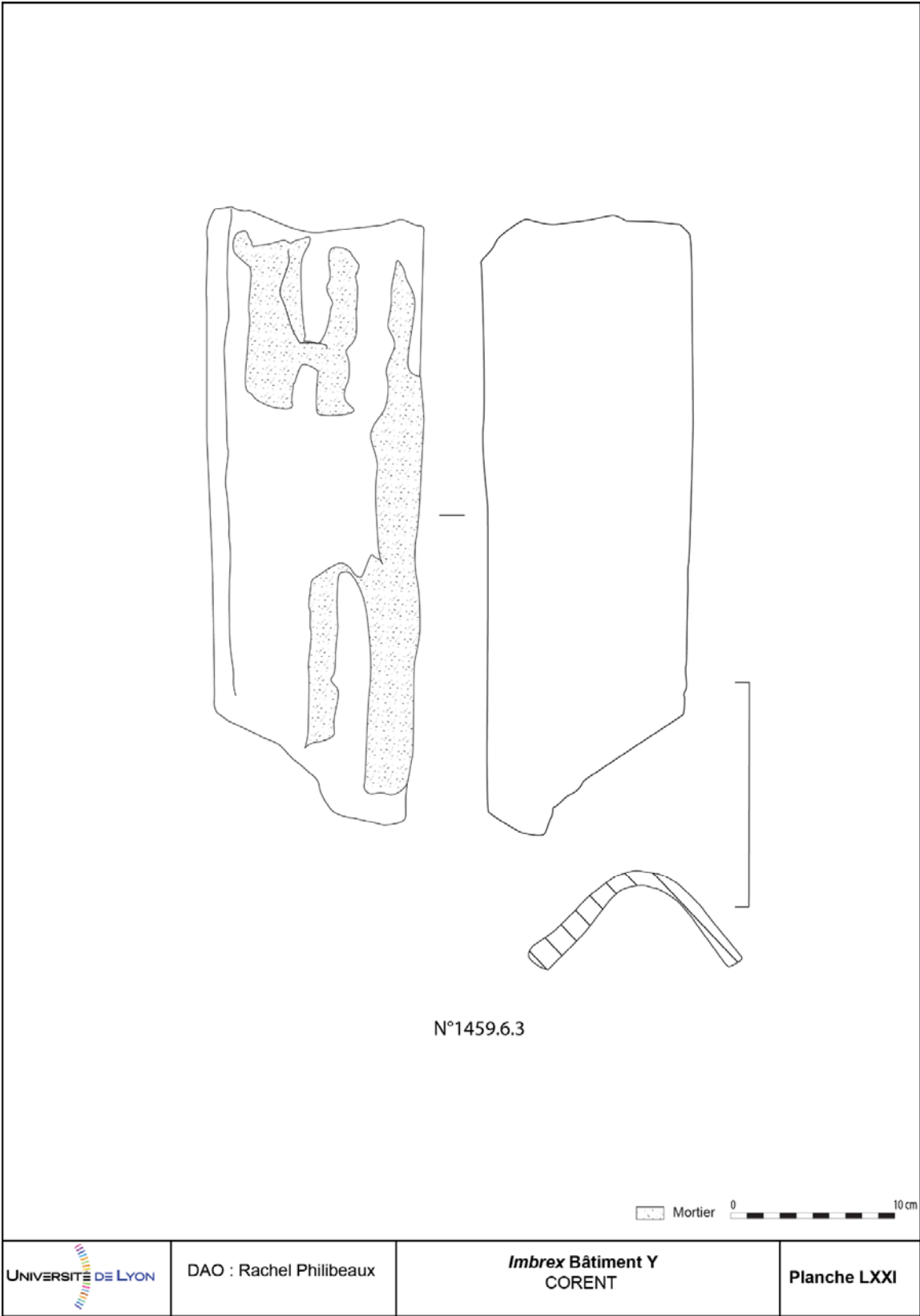


Planche LXX : Fragment d'imbres, Bâtiment Y, sous-sol [24059]

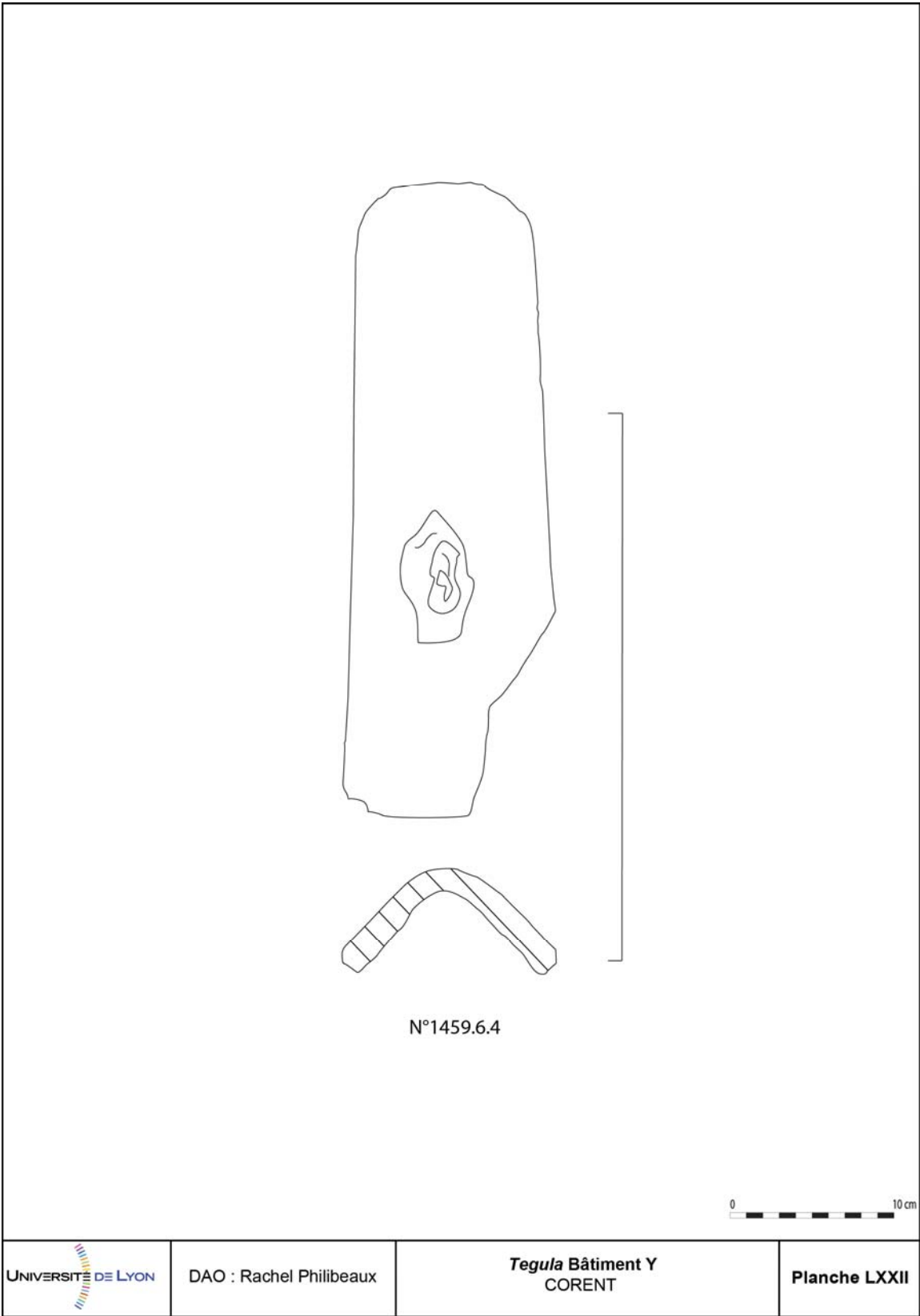


Planche LXXI : Fragment d'imbrex, Bâtiment Y, sous-sol [24059]

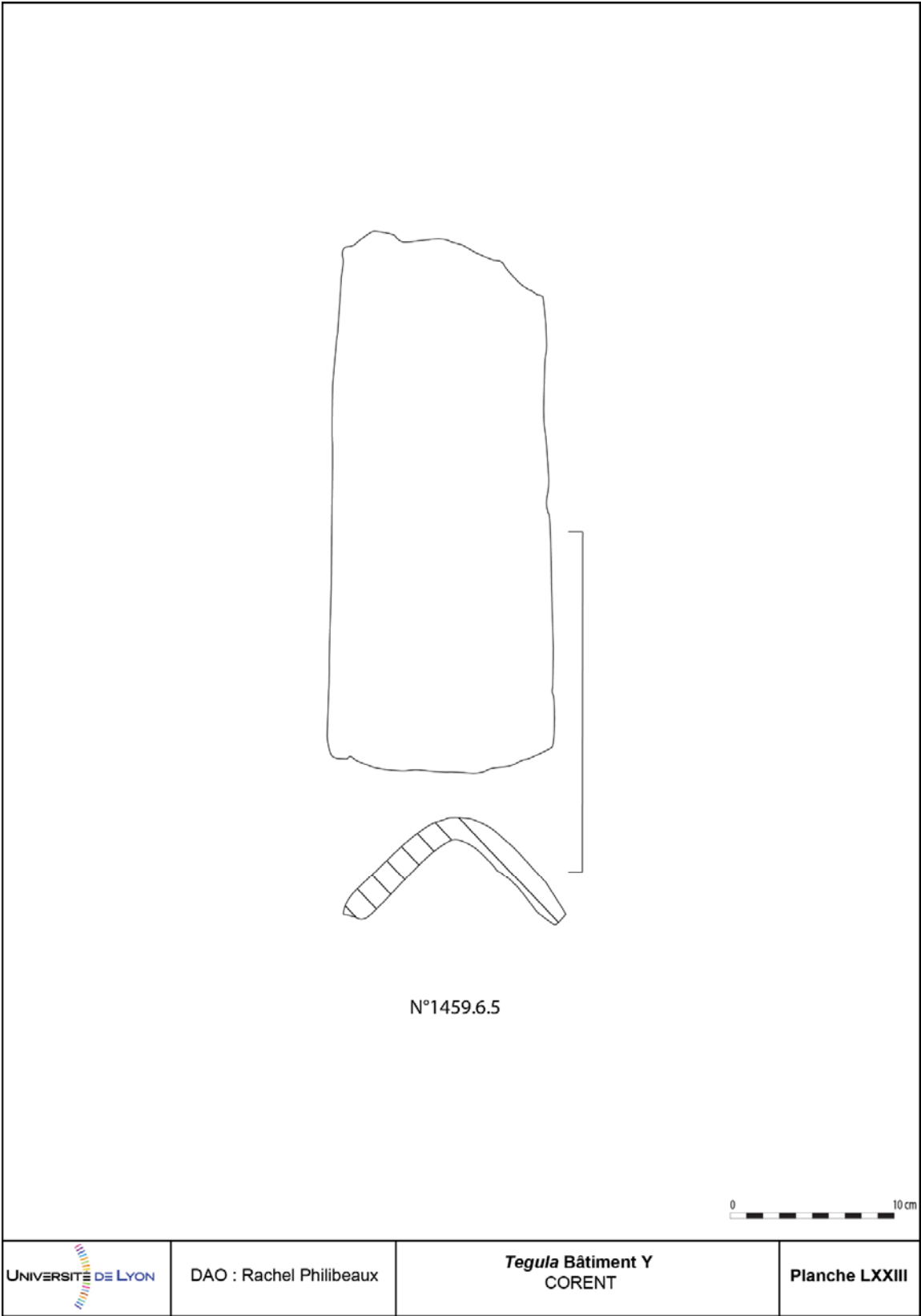


Planche LXXII : Fragment d'imbres, Bâtiment Y, sous-sol [24059]

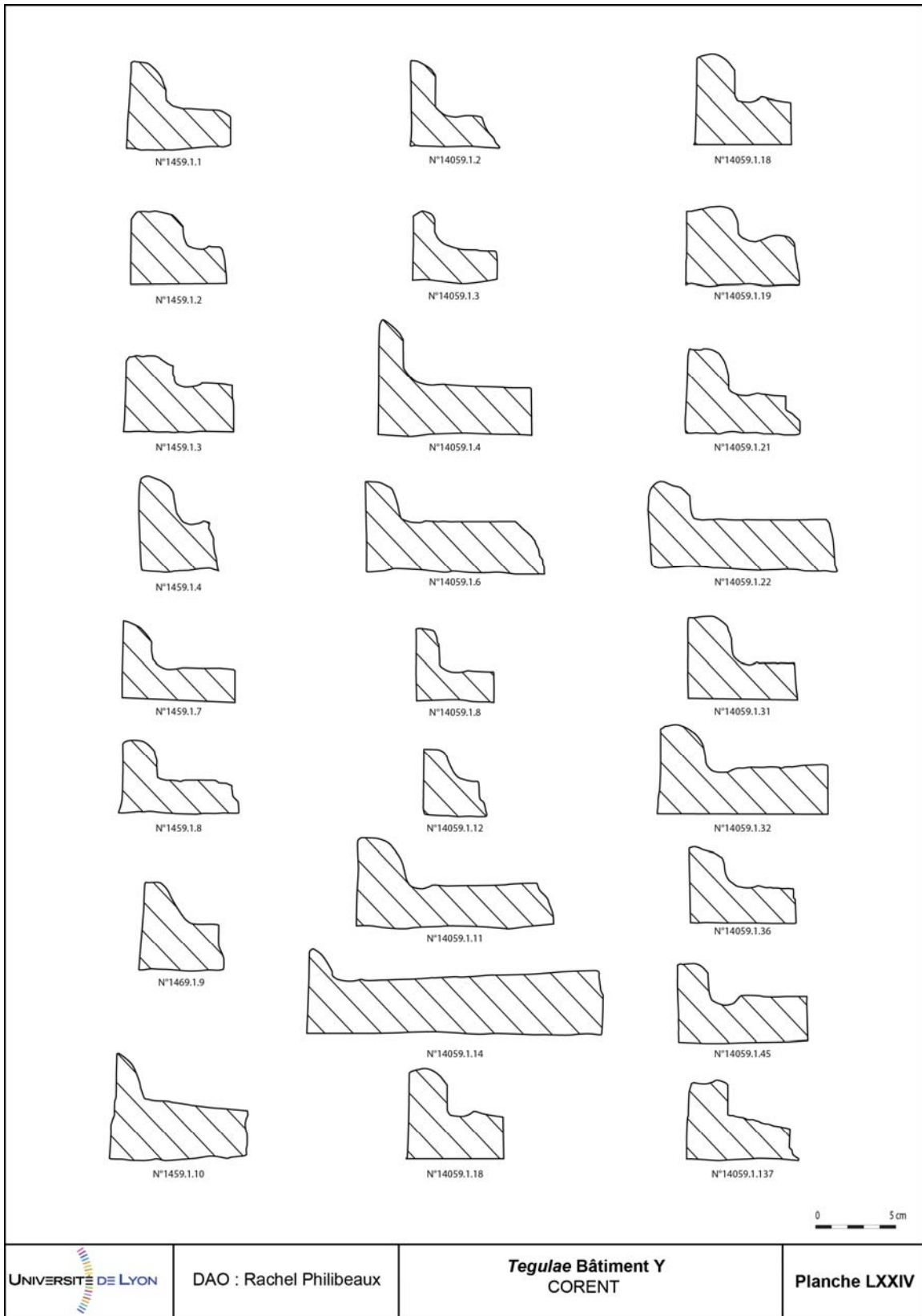


Planche LXXIII : Profils de tegulae, Bâtiment Y, sous-sol [24059]

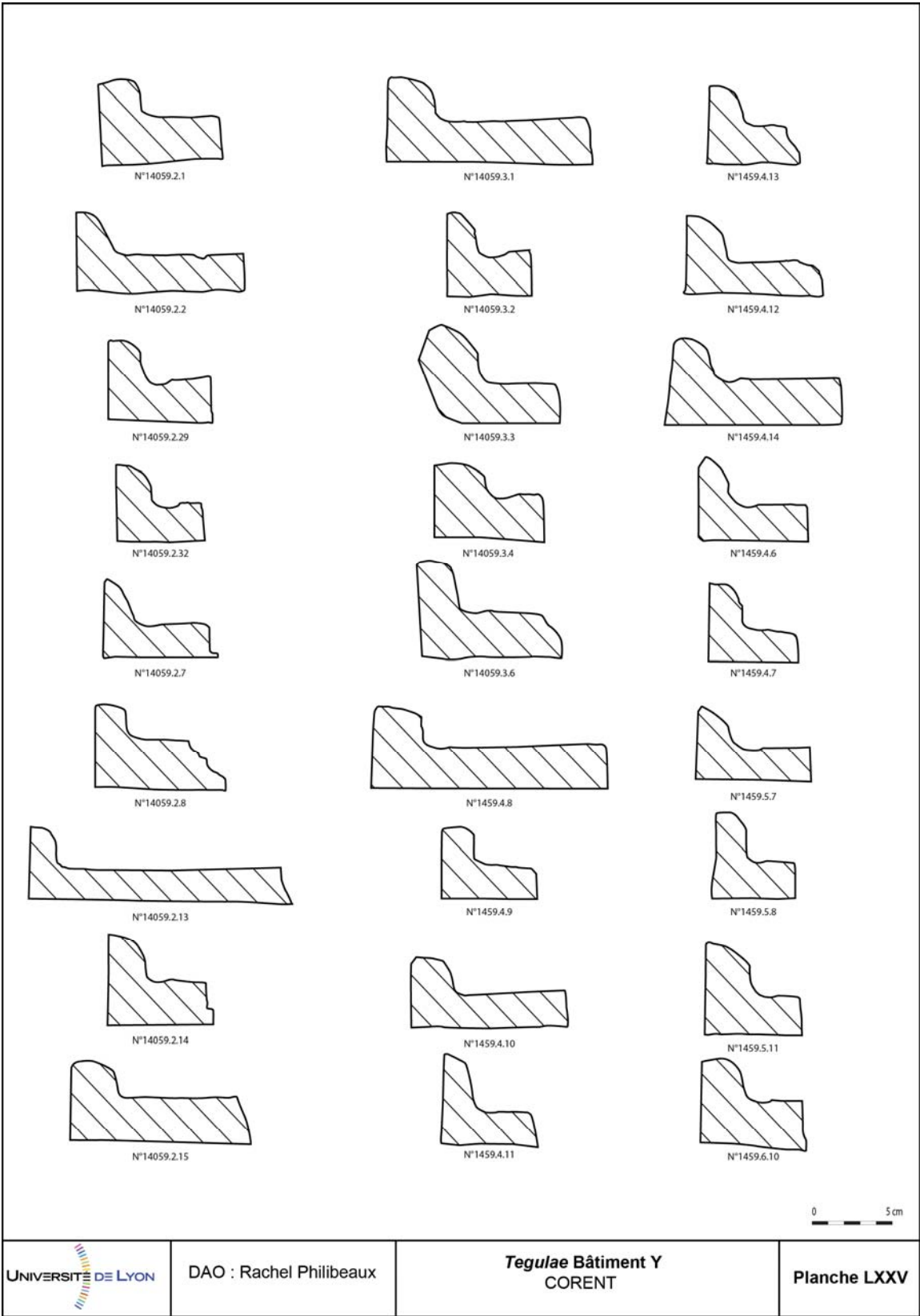


Planche LXXIV : Profils de tegulae, Bâtiment Y, sous-sol [24059]

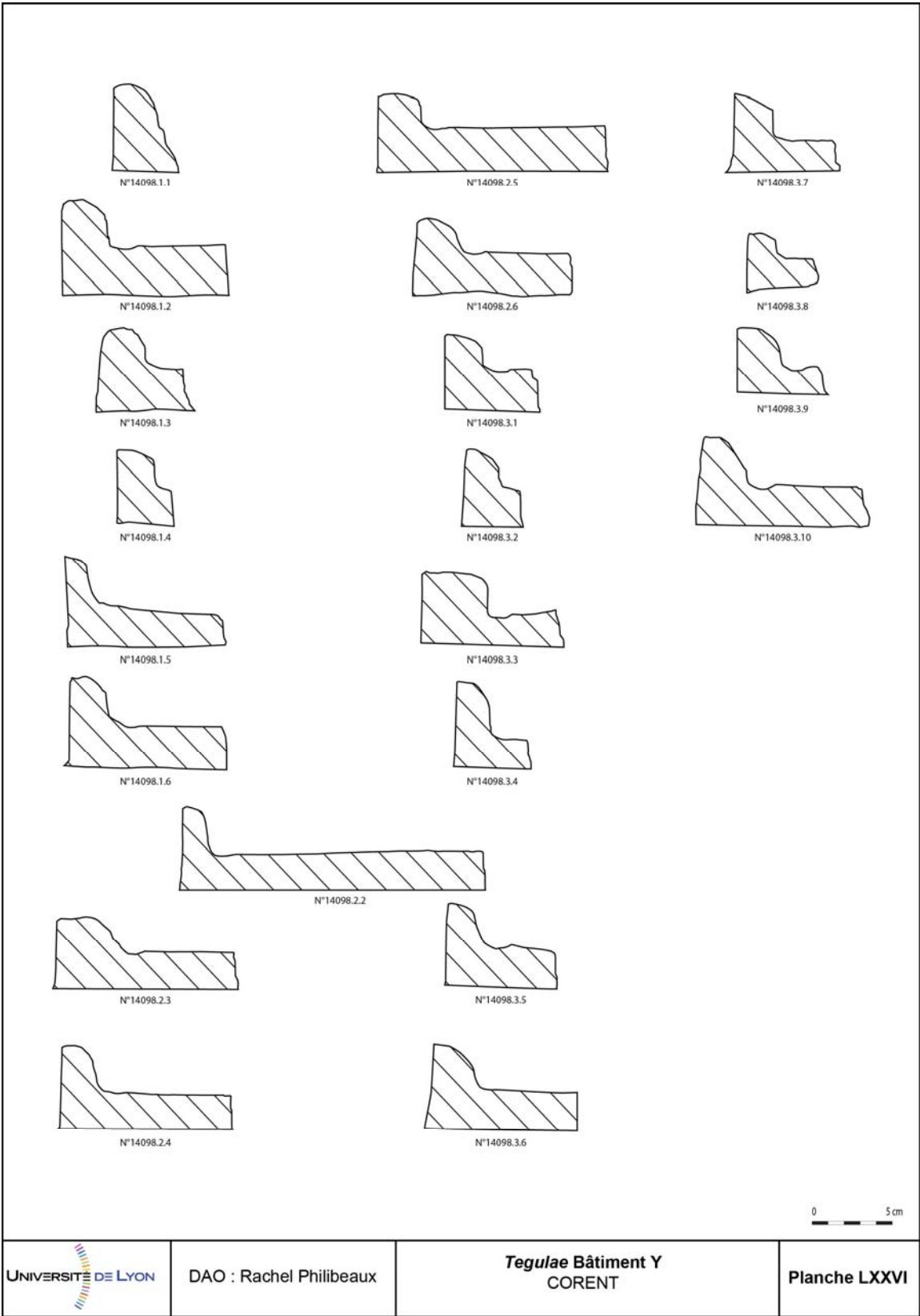
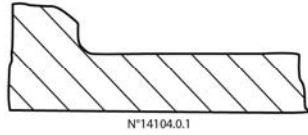
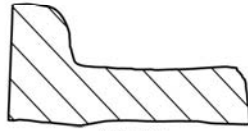


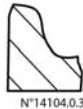
Planche LXXV : Profils de tegulae, Bâtiment Y



N°14104.0.1



N°14104.0.2



N°14104.0.3





Détail face



Détail dos



0 10 cm

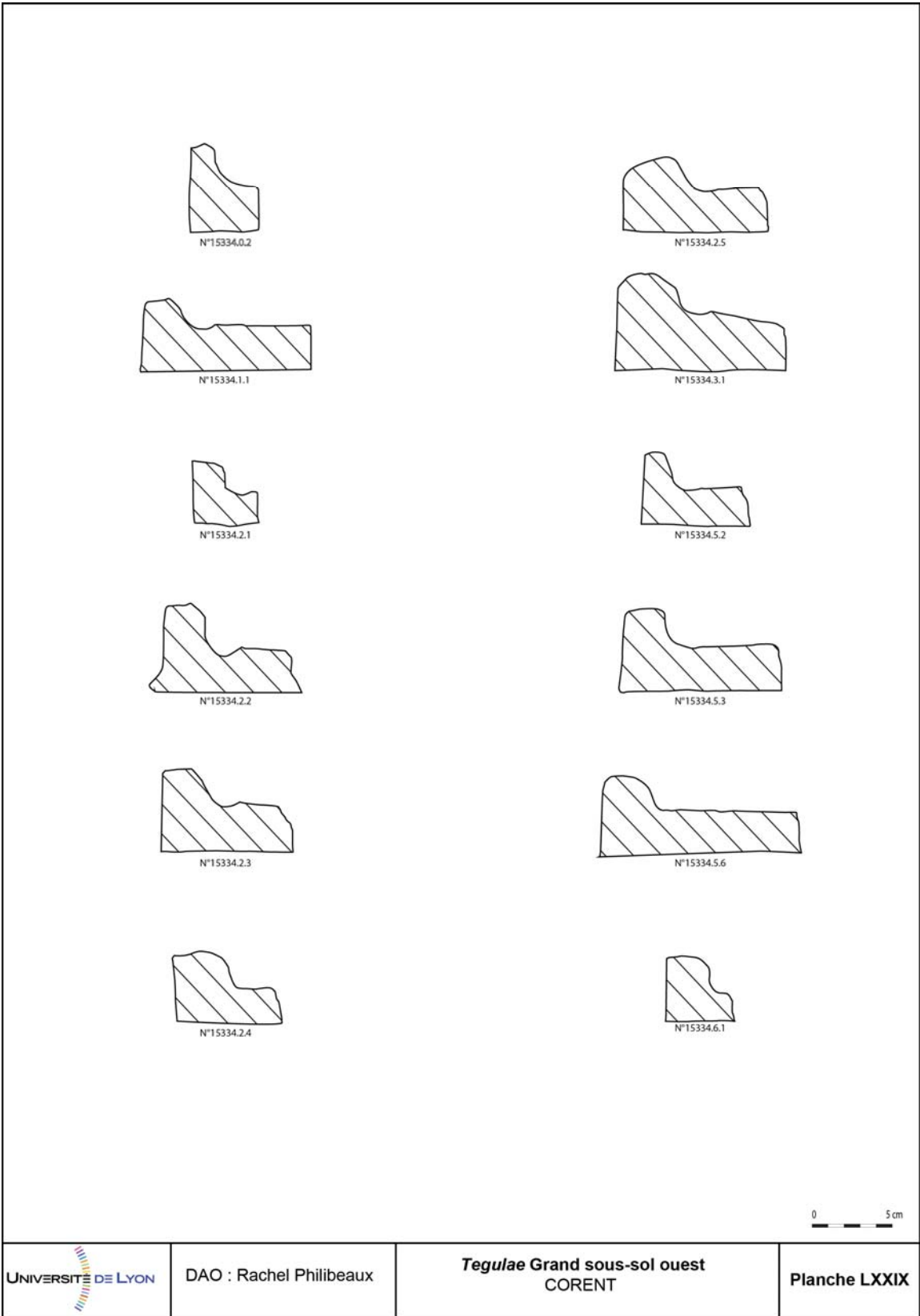
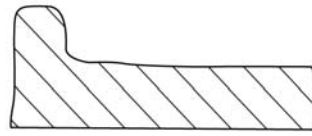
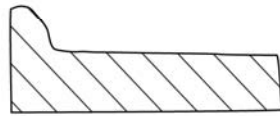


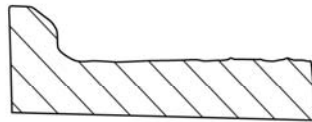
Planche LXXVIII : Profils tegulae sous-sol [25334]



N°25108.04



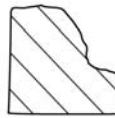
N°25108.05



N°25108.15



N°25108.1.11



N°25108.1.12



E



N°25108.0.1

F



N°25108.0.2



N°25108.0.3

0 ——— 10 cm

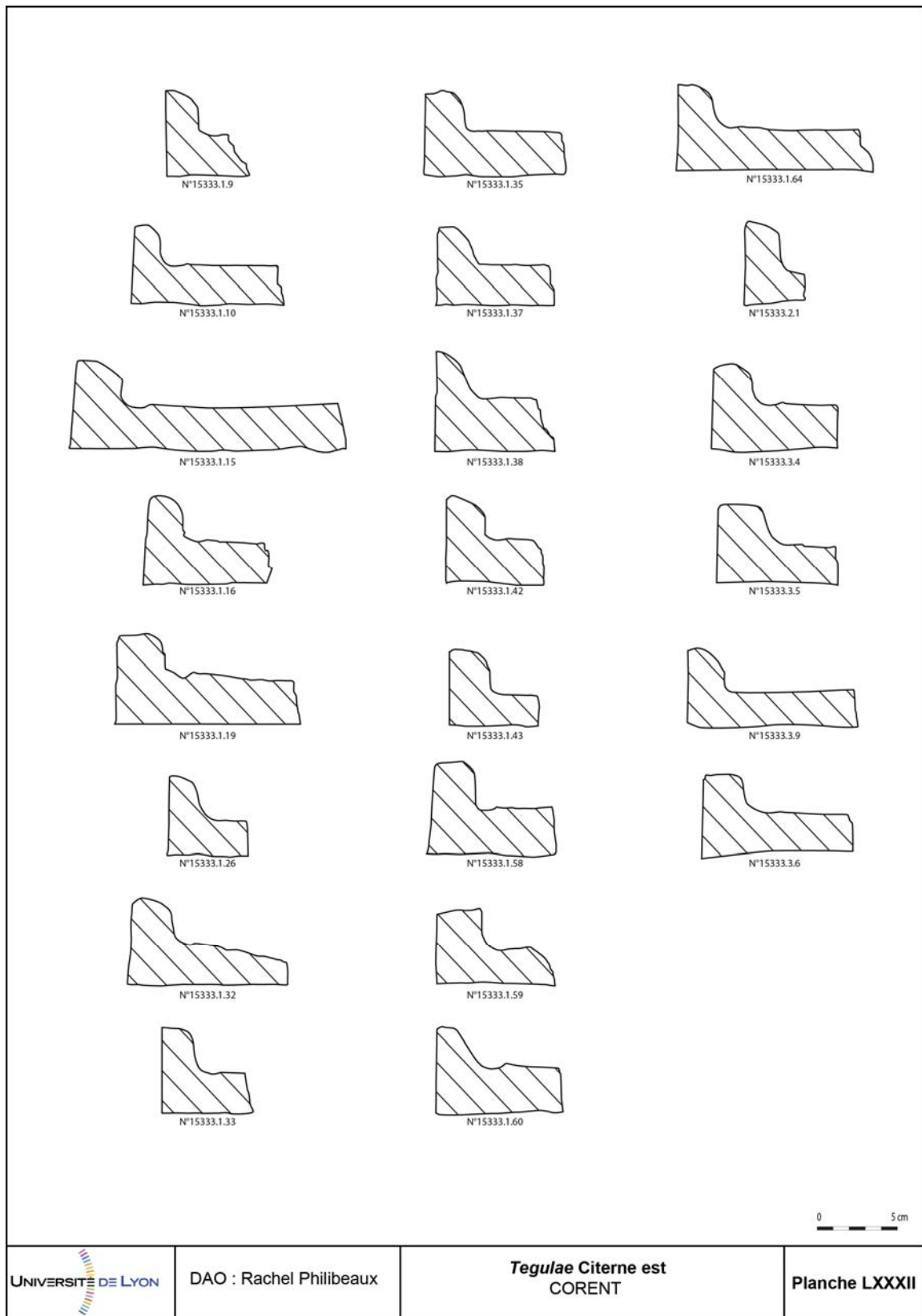


Planche LXXXI : Profils de tegulae, citerne [25333]








| | | | |
|--|--|--|-------------------------------|
| <p>A</p>  <p>UF 24067-4 Bâtiment W</p> | <p>D</p>  <p>UF 25334-2 Grande cave</p> | | |
| <p>B</p>  <p>Agrandissement : 300%</p> <p>UF 24070-2 Bâtiment X</p> | <p>E</p>  <p>UF 24059 Bâtiment Y</p> | | |
| <p>C</p>  <p>N°14098.3.3 Bâtiment Y</p> | <p>F</p>  <p>UF 23087-3 Bâtiment T</p> <p style="text-align: right;">0 ——— 10 cm</p> | | |
|  | <p>DAO : Rachel Philibeaux</p> | <p>TCA particulières Bâtiment W, X, Y, T, Grand sous-sol CORENT</p> | <p>Planche LXXXIII</p> |

Planche LXXXII : TCA particulières, Bâtiment W, X, Y, T et grand

Peintures murales

Charline ROUSSEL (université Lumière Lyon 2)

Parmi les bâtiments fouillés entre 2013 et 2016 dans les quartiers d'époque romaine localisés à l'ouest du sanctuaire de Corent, cinq (U, V W, Y, Z) ont livré des lots d'enduits peints de qualité et de conservation variables. Seuls trois d'entre eux (V, W, Z) comportaient des ensembles encore en place, sur une hauteur comprise entre 0,05 et 0,80 cm au maximum pour le bas de paroi mis au jour en 2016 le long de l'étroite portion du mur nord de la pièce V1 épargnée par les travaux agricoles (fig. 2).

Notre étude portera principalement sur les ensembles provenant des unités d'habitation W et Y du secteur ouest. Bien que d'inégale importance, ils nous permettront de saisir le programme décoratif en vigueur dans cet espace à la fin du I^{er} s. apr. J.-C. et au début du II^e s. apr. J.-C. Le lot de fragments le plus complet, retrouvé en position secondaire dans la cave [24059] du bâtiment Y, retiendra plus particulièrement notre attention du fait de leur abondance et de la richesse des décors, sans équivalent parmi les ensembles mis au jour jusqu'à présent sur le site.

Méthodologie

Les bâtiments W, Y et Z ont été dégagés selon une procédure standard consistant à effectuer plusieurs passes mécaniques. Le ramassage des enduits peints dans les différents corps d'habitation s'est fait manuellement et de manière exhaustive afin d'optimiser les remontages lors de l'étude post-fouille (fig. 12). Une couverture photographique zénithale ainsi que des relevés à l'échelle 1/20e et 1/10e complètent les fiches descriptives réalisées sur le terrain.

Une fois extraits, les fragments ont été entreposés au Luern où ils ont reçu un premier traitement de surface consistant en un simple nettoyage à l'eau et à un brossage des tranches. Les fragments ont été ensuite observés individuellement et de manière systématique, à l'œil nu, afin de les répartir en différents ensembles déterminés par la composition de leur support et décor. Consécutivement à leur identification, les groupes ont été enregistrés informatiquement : constat d'état (faiblesse(s) structurelle(s), anomalie(s)...), structure du mortier (mesure des couches, identification du granulat, couleur(s)...), commentaires sur la couche picturale (badigeon, tenue des pigments, tracé(s) préparatoire(s), trace(s) d'outil...), description du décor et observations diverses. Les conclusions tirées de cette première étude macroscopique ont préparé les phases de remontage en bac à sable. Pour des raisons d'ordre matériel, les enduits peints ont été transférés temporairement au musée gallo-romain de Saint-Romain-en-Gal afin d'exécuter la phase d'assemblage.

Parallèlement à cela, des lames minces ont été produites au laboratoire ArAr à partir d'échantillons de mortier provenant du lot Y2 (cette procédure pourra être étendue aux autres ensembles à condition qu'ils possèdent un nombre d'individus suffisamment représentatif) et de prélèvements de sable constitué à proximité directe du plateau de Corent. Les résultats de ces analyses seront exploités afin d'identifier et de localiser les composants employés. Cette recherche répond à une démarche visant à reconstituer une partie essentielle du chantier : la sélection des matériaux. À terme, les données pourront intégrer les études paléoenvironnementales et géophysiques menées par le programme AYPONA (dirigé par Yannick Miras, Geolab, UMR 6042) dont l'un des objectifs est d'identifier et de caractériser le profil des sources géologiques exploitées dans la région.



fig. 1 - Bâtiment Y, cave [24059] : vue détaillée des enduits (d'après Poux *et al.* 2014, fig. 16, p.64)

Corps d'habitation V

Ce bâtiment découvert lors de la dernière campagne de fouille 2016 se distingue par la mise en évidence d'une large portion de décor pariétal conservée en place contre le parement sud du mur [26027-3], sur une largeur d'environ 1 m pour une hauteur atteignant jusqu'à 0,80 m côté ouest (fig. 2). Ce bas de paroi comporte une plinthe mouchetée de gouttelettes vert et jaune, surmontée d'une bande blanche, de panneaux noirs à décor de touffes végétales en dégradé de vert, alternant avec des panneaux jaunes et des bandes de séparation (?) rouges soulignées par des filets blancs.

Ce décor, d'une qualité exceptionnelle pour la région, s'inscrit dans la tradition du Troisième style pompéien à l'instar des autres décors identifiés sur le site. Consolidé et prélevé en bloc en vue de sa restauration, il n'a pas encore été étudié mais le sera dans le cadre de la publication.



fig. 2 - Bâtiment V, bas de paroi conservé en place contre le mur [26027-3].

Corps d'habitation W

Situation

Le bâtiment W, d'orientation nord-sud, est localisé entre les coordonnées E1010-E1018 et N1097-N1107. Il bénéficie d'une surface au sol de 36 m² (9 m de long pour 4 m de large) et est associé à une cave [24067] de 3,55 m de long pour 3,35 m de large et dont la profondeur maximale est estimée à 1,54 m (altitude comprise entre 578,27 et 578,52 NGF). L'accès à la pièce souterraine se fait par l'intermédiaire d'un escalier dont l'embranchement forme un « L » de 2,65 m par 2,25 m. Notons que l'espace est pourvu d'un soupirail dont l'empreinte est perceptible sur un bloc de basalte taillé en biseau et formant un angle de 45° avec le parement du mur nord [24170] où il est positionné (Poux *et al.* 2014).

EnsembleW1

Origine des enduits

Lors de la fouille, les parois de la cave [24067] revêtaient encore les reliquats d'un enduit peint dit de « propreté ». Couvrant ponctuellement le mur nord [24170] ainsi que le mur sud de l'embranchement [24172], le revêtement se développait jusqu'aux dernières assises conservées (10 pour une hauteur maximale de 1,27 m). En ce qui concerne l'extrémité inférieure des enduits peints, elle s'arrêtait au-dessus d'une fine couche de terre meuble épaisse d'environ 1 cm en moyenne. Déposé à la surface d'un sol composé de cailloutis de pouzzolane [24112] et de chaux, ce niveau correspondait à un espace de circulation postérieur à mettre en lien avec une série de réfections effectuées à l'entrée de la pièce (Poux *et al.* 2014).

Observations techniques

La peinture murale possède des caractéristiques assez grossières ainsi qu'une forte usure en bas de paroi. Les altérations structurelles et/ou détériorations diverses en partie basse des murs ne sont pas un fait rare puisqu'elles sont généralement induites par un certain nombre de causes associées à leur positionnement : chocs provoqués au cours de l'entretien de la pièce et/ou de la circulation, remontées d'humidité par phénomène de capillarité...

Le support se compose de 8 couches (fig. 3) :

- La couche picturale (cp1), d'aspect irrégulier, repose sur un badigeon blanc (a1) d'une épaisseur moyenne inférieure à 1 mm et dont l'usure laisse apercevoir les grains composant le mortier.
- La couche (b1) mesure 6 mm. Sa matrice de couleur beige clair est constituée d'un sable plus siliceux que calcaire. Les grains adoptent différentes formes (d'arrondis à anguleux ; voir la classification des grains proposée dans Pettijohn *et al.* 1973) et leurs épaisseurs sont comprises entre 1 mm et 3 mm (gravier). On observe également la présence de quelques rares nodules de chaux (< ou = à 1 mm).
- La couche (b1) repose directement sur une seconde couche picturale (cp2).
- La couche d'épiderme lui succédant, (a2), est inférieure à 0,5 mm d'épaisseur et est de couleur blanche.
- La couche de transition (b2), d'une épaisseur de 5 mm présente une matrice beige clair à la composition hétérogène. On y observe l'usage de sable siliceux, sable calcaire et gravier de différents modules (de 1 mm à 10 mm) ainsi que la présence de grumeaux de chaux (environ 2 mm) et de rares inclusions de tuileau (environ 2 mm).
- La deuxième couche de transition (c2), mesurant 10 mm, possède les mêmes caractéristiques que (b2) cependant, on y notifie la présence de quelques poches argileuses pouvant mesurer jusqu'à 7 mm.

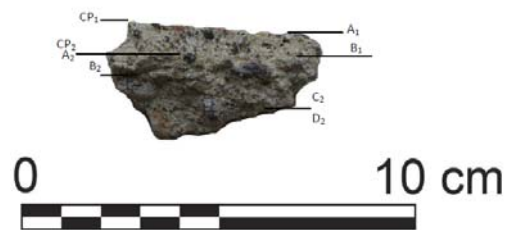


fig. 3 Ensemble W1 : support (Cl. C. Roussel)

- La couche préparatoire (d2) n'est pas conservée intégralement, une partie ayant été endommagée lors du prélèvement des peintures *in situ*. L'épaisseur maximale observée est de 6 mm et sa matrice semble comparable à celle de la couche (c2).
- Il est à noter que la limite entre les couches (b2), (c2) et (d2) est matérialisée par de fines lignes de vides sphériques correspondant aux empreintes laissées par des bulles d'air. Par ailleurs, aucune trace de fibres végétales et/ou animales n'a été observée dans la composition du support, ce qui n'exclut pas leur potentiel usage. En effet, les fragments conservés sont en nombre insuffisant pour que l'on puisse juger de leur représentativité.

La description de la stratigraphie du support permet de confirmer que le décor étudié appartient à une phase de réfection de la cave [24067]. Par ailleurs, la couche (cp2) nous informe que le premier état de la pièce était également enduit.

Description du décor

Le décor observé sur les élévations de l'espace [24067] est relativement succinct. Simple champ blanc moucheté de taches de couleur rouge et noire, il est divisé verticalement par des traits noirs épais de 0,7 cm formant des compartiments et inter-compartiments (fig. 4). La répartition ainsi que les dimensions de ces derniers restent des données inconnues puisque seuls deux fragments témoins sont conservés. Ces derniers nous apprennent cependant que les mouchetures ont été projetées dans un second temps puisque l'un des filets présente, en surface, des taches rouges significatives.

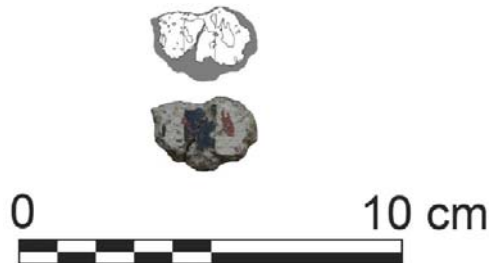


fig. 4 Ensemble W1 : Champ moucheté et filet noir (D.A.O. et Cl. C. Roussel)

Interprétation et comparaisons stylistiques

Les pièces souterraines peintes en Gaule ont donné matière à un article de S. Groetembril (Groetembril 2011) dans lequel est exposé un certain nombre d'exemples plus ou moins proches du cas étudié. Citons notamment les découvertes faites à Auxerre dans la cave n°13 du quartier de Vaulabelle ou encore dans la cave des Nones de Mars à Limoges. Toutes deux sont parées d'un simple décor linéaire servant à la matérialisation des différents espaces : plinthe, soulignement des angles et des niches ou panneaux composés de bandes noires doublées de filets noirs. Bien que la composition lacunaire du lot W1 ne nous permette pas de concevoir pleinement la répartition du décor, une mise en valeur des différents espaces semblable à celles évoquées préalablement est cependant envisageable. En approfondissant cette hypothèse, il s'avère tout à fait possible que le soupirail localisé au niveau de l'assise supérieure du mur nord [24170] ait bénéficié d'un encadrement soulignant ses arêtes comme cela est régulièrement observé. À ce titre, nous pouvons citer l'exemple du décor peint de la galerie sud des cryptoportiques de Bavay daté du milieu du IIe s. apr. J.-C. (Allag 1985 ; Vibert-Guigue 2012).

Les mouchetures, ici développées sur l'ensemble de la hauteur, sont généralement astreintes à la partie basse des murs. Souvent projetées à même les murs comme cela est le cas pour l'ensemble W1, les taches de peinture sont plus rarement apposées à l'éponge (Sabrié 2013). Simple et économique, ce procédé s'avère également pratique puisqu'il « camoufle » aisément les petites salissures issues de l'usage quotidien de la pièce. Ces divers aspects expliquent sans doute son usage fréquent dès l'apparition du IIe style pompéien en Gaule (Sabrié 2013). Les comparaisons sont donc nombreuses et nous nous contenterons d'évoquer le décor peint mis au jour *in situ* sur le site de l'hôpital Fourvière au 8-10 rue Roger-Radisson (Boissard 2013) et dont la datation est estimée entre 20 av. J.-C. et 10 apr. J.-C.

Sur la base de ces éléments, l'organisation du décor de la cave [24067] peut sembler relativement simpliste. Néanmoins, il est à noter que sa présence révèle à elle seule d'une attention particulière portée au détail. En effet, comme le souligne E. Boissard, « la mise en œuvre d'une polychromie, même sommaire, témoigne d'un souci esthétique » (Boissard 2013, p. 383). Plus loin, s'appuyant sur l'article d'H. Eristov et de S. Groetembril (Eristov, Groetembril 2006), elle ajoute que le choix d'un revêtement à fond blanc est particulièrement approprié à une pièce souffrant d'une faible luminosité – le blanc permettant à la lumière de se diffuser plus aisément –.

Ainsi, nous sommes portés à croire qu'au-delà des caractéristiques techniques répondant à des besoins matériels tels que l'assainissement des murs, cette peinture s'accorde également avec l'environnement et la fonction de la pièce. On peut alors s'interroger sur l'emploi de celle-ci. Était-elle uniquement destinée au stockage ? Si le matériel exhumé dans le comblement ne nous offre aucune indication quant à la destination de cet espace, l'étude de S. Groetembril (Groetembril 2011) – menée sur les pièces souterraines en Gaule –, laisse à penser qu'une fonction complémentaire peut être imaginée comme l'accueil d'un culte domestique ou encore d'activités commerciales et/ou artisanales.

Datation

Le programme décoratif W1 ne présente aucune spécificité permettant d'en faire un élément de datation fiable. Cependant, ayant été découvert *in situ*, il peut être associé à la construction de l'unité d'habitation W. Les restes découverts dans les unités stratigraphiques [24067-1] à [24067-4] et [24112] permettent d'estimer une fourchette chronologique comprise entre la toute fin du Ier s. apr. J.-C. et le début du IIe s. apr. J.-C. Il est nécessaire de rappeler que l'ensemble W1 n'apparaît que dans une seconde phase correspondant à la réfection de la cave [24067].

Ensemble W2

Origine des enduits

Le lot W2 est composé d'enduits peints fragmentaires mouchetés dont on ne dénombre qu'une dizaine d'individus dans la couche [24067-4]. Ce niveau repose directement sur le dernier sol de circulation employé [24112] et correspond ainsi à la première couche de comblement de la pièce souterraine [24067] (Poux et *al.* 2014). Il est nécessaire de préciser que quatre fragments appartenant au même décor (similitude du support) ont été découverts dans la cave annexe [24059] du bâtiment Y. L'ensemble pictural, en position secondaire, ne peut donc être associé avec certitude au corps d'habitation W et cela malgré une présence numérique supérieure dans la cave [24067].

Observations techniques

La couche picturale est de bonne qualité et les fragments présentant le meilleur état de conservation démontrent un processus de carbonatation abouti. Les pigments employés sont durablement fixés et ne semblent pas avoir souffert d'importants dommages structurels liés au temps ou encore à l'enfouissement prolongé.

Le support, d'une épaisseur maximale de 55 mm, est formé de 5 couches :

- La couche picturale (cp) présente, de manière générale, un bon état de conservation. Quelques traces d'usure sont néanmoins perceptibles.
- La couche de finition (a) mesure 1 mm et est de couleur blanche.
- La première couche de transition (b) mesure en moyenne 7 mm. De teinte blanc crème, elle associe du sable siliceux, du sable calcaire et du gravier (de 1 mm à 3 mm) à de la pouzzolane (jusqu'à 7 mm).
- La deuxième couche de transition (c) mesure 12 mm affiche une composition relativement semblable à celle de la couche (b). On perçoit certaines différences telles que la présence de poches de nature argileuse ou encore celle de gravier (jusqu'à 17 mm). Nous notons également la présence de négatifs correspondant à la décomposition de fibres végétales. Leur présence confère au mélange une structure permettant de limiter les risques de fissuration au séchage (Coutelas 2003).
- La troisième couche de transition (c') est de même nature que la précédente et mesure 10 mm.
- La couche de préparation (d) est irrégulière et son épaisseur fluctue entre 4 mm et 28 mm. Ces variations s'expliquent par la nécessité de régulariser la surface des moellons servant de support. La composition et la couleur de sa matrice sont à rapprocher des caractéristiques de la couche (c).

- Aucune trace d'accrochage n'a pu être observée au revers des fragments.

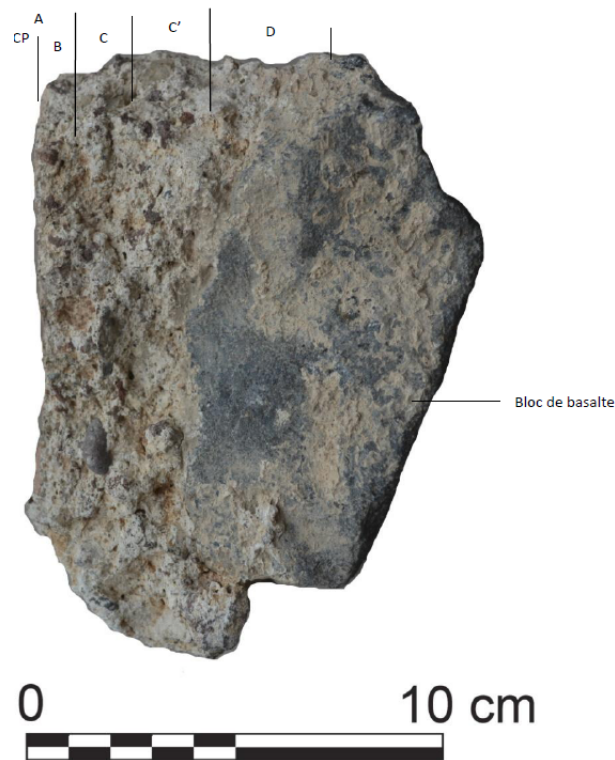


fig. 5 Ensemble W2 : support (Cl. C. Roussel)

Notons que l'un des fragments étudiés conserve dans son emprise un bloc de basalte irrégulier et de petit module (125 mm par 98 mm). Cela semble indiquer que le mur ou le solin juxtaposé au décor était probablement constitué de pierres non-parementées au format aléatoire.

Description du décor

De la peinture murale W2 ne subsiste qu'un bref aperçu de la composition globale. Sur un fond de couleur rose viennent s'apposer des taches jaunes, vertes et rouges (fig. 6). Si l'observation des ces projections peut – dans certains cas – dispenser des indications quant à la chronologie de l'application, il est néanmoins nécessaire d'étudier un échantillonnage suffisamment conséquent afin d'identifier véritablement un quelconque systématisme. Dans ce lot, les fragments disposent d'un même ordonnancement des couleurs : le rouge est projeté le premier, suivi du jaune et du vert. Notons toutefois que le nombre réduit de pièces ne permet pas d'affirmer qu'il s'agit d'une règle générale.

Les pigments employés sont également révélateurs du travail réalisé sur la palette chromatique. Le rose a possiblement été obtenu grâce au mélange d'hématite et de calcite tandis que le

vert légèrement pastel semble avoir, lui aussi, bénéficié d'une pointe de calcite mais cette fois-ci combinée vraisemblablement à de la glauconie.

Enfin, les teintes adoptées en partie basse du décor peuvent également livrer des indices sur l'ornementation de la partie sus-jacente. En outre, il est couramment admis que les pigments employés pour la composition d'une plinthe mouchetée proviennent des reliquats de matières non-utilisées de la zone en surplomb, participant ainsi à une économie de moyens.

Interprétation et comparaisons stylistiques

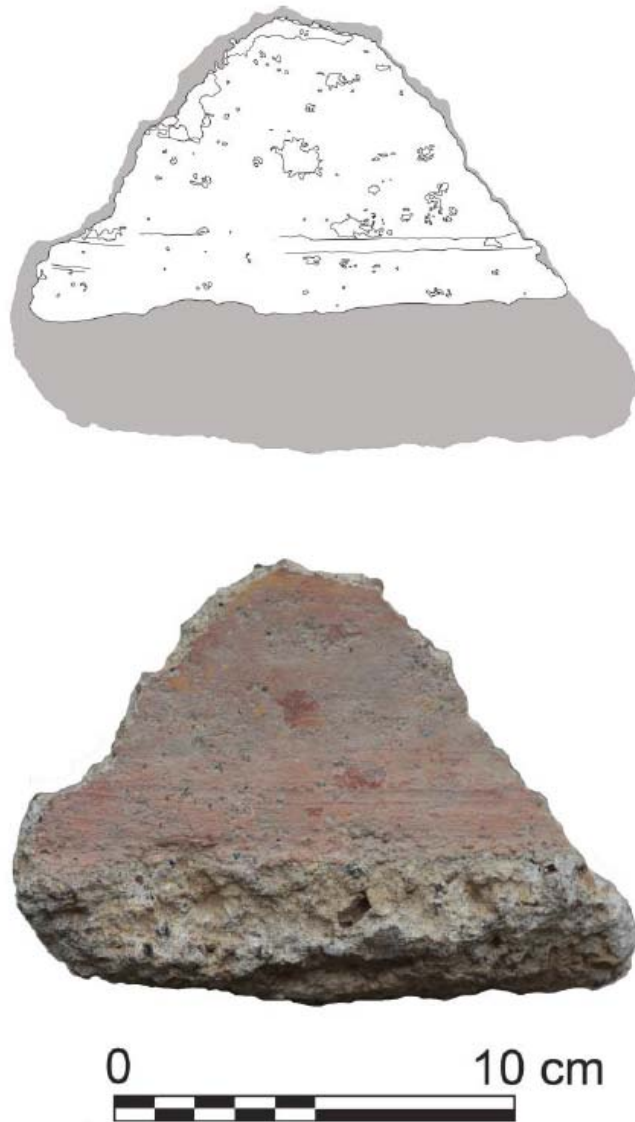


fig. 6 Ensemble W2 : champ rose moucheté de vert, jaune et rouge (D.A.O. et Cl. C. Roussel)

Comme indiqué pour les éléments du décor W1, de nombreux décors mouchetés sont répertoriés en Gaule (voir *supra*, p. 10). Si l'on observe plus généralement l'emploi d'un fond blanc ou gris-mauve, l'usage de rose fait partie des multiples variantes existantes. On notifie, par exemple, sa présence dans la pièce 2 de la *domus* (phase 1 : deuxième quart du 1er s. apr. J.-C.) mise au jour lors de la fouille de l'École supérieure de commerce de Clermont-Ferrand (Jouquand *et al.* 1994). La plinthe du mur M 26 était en effet pourvue d'un fond rose moucheté de rouge, de vert, de jaune et de noir, scandée par de fines lignes noires verticales dont l'espacement était compris entre 0,26 m et 0,28 m. Bien qu'aucune trace de partition linéaire ne soit attestée dans le lot W2, un agencement de même nature peut être envisagé faisant ainsi écho à un modèle d'organisation du soubassement employé de manière avérée sur le site (W1, Y2).

Datation

Composant le remblai des pièces souterraines [24067] et [24059], les fragments du lot W2 sont déconnectés de leur provenance d'origine. En revanche, ils s'inscrivent dans des couches stratigraphiques à la datation commune : fin du I^{er} s. apr. J.-C. – début du II^e s. apr. J.-C. Tout comme pour le matériel W1, la peinture murale W2 ne possède aucune spécificité technique ou iconographique permettant de préciser la période de réalisation.

Ensemble W3

Origine des enduits

Les informations délivrées par l'ensemble W3 sont particulièrement ténues et les fragments conservés n'offrent qu'une appréciation incomplète du programme décoratif associé. Identifiés dans l'unité stratigraphique [24031-1], les restes de la peinture murale comblaient la partie supérieure de l'embranchement [24034] (position secondaire). Si de manière assurée nous savons que ce décor n'appartient pas à la cave [24067], un rapprochement avec le corps d'habitation W ne peut pas être entièrement exclu. De nombreux sites permettent d'observer que les remblais comportant des peintures murales se trouvent généralement dans un rayon de moins de 100 m autour du bâtiment d'origine. Cette proximité peut aisément s'expliquer par la nécessité de répondre efficacement à une contrainte matérielle : le déplacement des gravats. L'encombrement et le poids de ces derniers nécessitent une logistique singulière alliant rapidité et efficacité. N'oublions cependant pas que les fragments de peinture murale peuvent avoir un second usage pouvant expliquer un déplacement plus important. On recourt parfois à leur usage pour le terrassement/nivellement d'un sol ou encore pour l'enrichissement du granulat d'un mortier (les fragments sont alors concassés).

Observations techniques

Le support est constitué de 7 couches compactes (fig. 7) :

- La couche picturale (cp1) est de bonne réalisation. Les rares pertes de pigment observées sont certainement imputables à la fragilité de certaines teintes employées (notamment le vert) plutôt qu'à une disparité dans la qualité de l'exécution.
- La couche (a1), de couleur rose prononcée, est inférieure à 0,5 mm. Elle est apposée sur une seconde couche picturale (cp2) correspondant, sans doute, à une première phase d'ornementation (fig. 8). Sur certains fragments, l'écaillage de la couche (a1) offre la possibilité de percevoir les coloris mis en œuvre dans ce premier décor : vert ou noir. Il est intéressant de noter que ces couleurs sont en accord avec celles utilisées sur la couche picturale (cp1) des mêmes fragments.
- La couche de finition (a2) est blanche et d'une épaisseur moyenne de 1 mm. Cette dimension augmente dans certains cas jusqu'à 5 mm. Ce changement d'épaisseur répond à une contrainte architecturale : ici, la présence d'un angle sortant.
- La couche (b2), mesurant 6 mm, affiche une matrice de couleur blanc crème très dense en sable siliceux (de 1 mm à 2,5 mm).

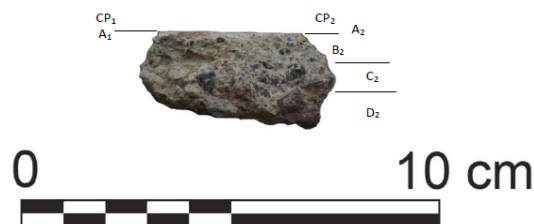


fig. 7 Ensemble W3 : support (Cl. C. Roussel)

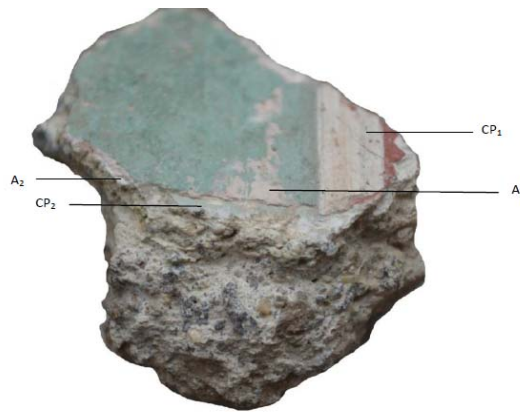


fig. 8 Ensemble W3 : détail des couches (cp1), (a1), (cp2) et (a2) (Cl. C. Roussel)

- Séparée par une ligne de bulles d'air, la couche (c2) de couleur beige clair est épaisse de 12 mm. Elle est composée de gravier (jusqu'à 11,5 mm), de poches argileuses et de nodules de chaux (jusqu'à 10 mm).
- La couche préparatoire (d2), beige foncé, est particulièrement riche en pouzzolane (de 2 mm à 10 mm). On y observe également des nodules de chaux (de 2 mm à 18 mm) ainsi que des faisceaux de fibres végétales. Incomplète, cette couche présente une épaisseur de 7,5 mm.
- Aucune trace d'accrochage n'a pu être observée au revers des fragments.

Le nombre important d'inclusions de pouzzolane dans la pâte interroge sur l'usage de la pièce qui portait ces peintures. Ce matériau est reconnu dès l'Antiquité pour ces qualités hydrauliques, faut-il donc y voir une réponse concrète à un besoin architectural spécifique ? Pas forcément. De fait, la pouzzolane est retrouvée en abondance dans les vestiges de construction de l'*oppidum* de Corent tant à l'époque laténienne que romaine. Cela s'explique parfaitement par l'implantation de ce dernier dans une région volcanique. Son usage procède donc plutôt de l'exploitation des matières premières du site.

Description du décor

Du lot W3 sont issus plusieurs extraits de séquences décoratives dont les connexions et/ou développements ne sont pas connus. Un premier fragment dispose de deux champs de couleur, vert et rouge, séparés en leur centre commun par un filet blanc. Un second fragment présente, sur fond blanc, une bande noire doublée d'un trait ocre (espace moyen : 0,7 cm). Quant aux individus restants, ils sont généralement pourvus d'un fond uni (rouge, vert ou noir) dont la couleur correspond à l'un des éléments de décor cités précédemment.

Interprétation et comparaisons stylistiques

L'état de conservation de l'ensemble W3 ne permet pas l'établissement de connexions entre les différents motifs examinés et n'offre pas de certitude à propos de l'élaboration du décor. Malgré cela, on peut déduire de son observation une certaine logique ornementale. En outre, l'apposition des pigments semble signaler un décor basé sur une alternance de teintes contrastées : rouge et vert, noir et ocre. L'association des couleurs rouges et vertes séparées d'un filet blanc peut être rapprochée, entre autres hypothèses, de différentes parties de la peinture. Il pourrait s'agir, par exemple, de la transition entre un panneau et un inter-panneau ou entre deux compartiments.

Ce fragment se rapproche d'un lot d'enduits peints mis au jour en 2013 dans la cave [23021] du secteur est de Corent. Exhumées dans le comblement de la pièce souterraine, les peintures sont datées de la fin du I^{er} s. apr. J.-C – début du IIe s. apr. J.-C (Poux *et al.* 2013). Certains fragments présentent, de façon semblable, un fond rouge et un fond vert séparés par un filet blanc. Seulement, la comparaison s'arrête là puisque la composition de leur support diffère. Notons toutefois que l'ensemble découvert dans la pièce souterraine [23021] est caractérisé par plusieurs fragments tricolores à la répartition similaire : fond bleu, vert ou noir – filet blanc – fond rouge. En ce qui concerne le second type de décor identifié, son organisation se rapproche de la corniche figurée dans la zone médiane du décor Y2 (voir *infra*, p. 25). Ces différentes propositions restent cependant de l'ordre de la simple spéculation. Il s'avère donc difficile d'engager des comparaisons valides.

Bien que l'étude de ces peintures murales conserve encore d'importantes parts d'ombre, certains fragments nous éclairent au contraire sur la constitution et l'évolution de la pièce. Plusieurs fragments rouges unis sont pourvus d'un angle sortant de 115° (fig. 9). Ce biseau caractéristique est souvent assimilé à une embrasure, qu'il s'agisse d'une porte ou d'une fenêtre. On peut ainsi imaginer une mise en valeur des arêtes (face interne et face externe) par une bande rouge. Cette mise en valeur des ouvertures est tout à fait commune et est régulièrement observée dans les provinces. Comme cela a été exposé précédemment (voir *supra*, p. 11), les « ruptures » présentes dans un programme ornemental linéaire (niche, porte, fenêtre, coin de pièce...) sont généralement soulignées et reprennent le schéma décoratif utilisé sur le reste de la paroi (Broillet-Ramjoué, Bujard 2011). Ce procédé bien documenté a notamment été identifié dans le secteur 2 de la fouille du site dit « du Cinéma » à Chartres. Retrouvé dans deux unités stratigraphiques distinctes (US 2112 ; US 2143), le décor 22 serait à rapprocher d'une *domus* localisée dans le secteur 4 et dont l'ornementation peut être datée de la première moitié ou du milieu du I^{er} s. apr. J.-C. (Huchin 2013). La faible quantité d'information apportée par les enduits peints du lot W3 incite à la plus grande prudence quant à la prise en compte de cette hypothèse. À l'inverse, les données issues de l'étude des mortiers s'avère assurément fiables. La succession de deux couches picturales au sein du même support est révélatrice d'une réfection du décor. La faible épaisseur de la couche intermédiaire (a1) ainsi que la reprise des mêmes coloris d'une couche (cp1) à l'autre (cp2) pourrait plaider en la faveur d'un simple « rafraîchissement » d'une ou plusieurs zones légèrement endommagées. Une fois encore, cette remarque demeure théorique.



fig. 9 Ensemble W3 : fragment présentant un angle sortant (Cl. C. Roussel)

Datation

Provenant du comblement supérieur [24031-1] de l'embranchement [24034], les enduits peints de l'ensemble W3, de façon semblable à ceux du lot W2, sont séparés de leur environnement primaire mais en lien avec des unités stratigraphiques datées de la fin du I^{er} s. apr. J.-C. et du début du IIe s. apr. J.-C.

EnsembleW4

Origine des enduits

Les enduits muraux du lot W4 (moins d'une caisse) proviennent de la couche [24031-1] (voir considérations sur le contexte de découverte ; *supra*, p. 13 et 14).

Observations techniques

Les fragments sont affectés par un certain nombre de détériorations qui ne nuisent cependant pas à la lecture du décor : couche picturale ponctuellement abîmée, affadissement du pigment noir, support incomplet. Remarquons toutefois l'emploi d'un pigment ocre jaune de belle qualité.

Le mortier est composé de 7 couches denses et compactes (fig. 10) :

- La couche picturale (cp1) et la couche de finition (a1) présentent régulièrement des arrachements laissant apercevoir la couche (b1).
- L'épiderme (a1) est épais de 2,5 mm et est de couleur blanche.
- La première couche de transition (b1), de 3 mm, affiche une matrice de couleur beige clair très riche en sable siliceux (1 mm).
- Une fine césure marque la limite entre la couche (b1) et (b1'). Cette dernière est épaisse de 10 mm et est de couleur beige foncé. Sa matrice, également riche en sable siliceux (entre 1 mm et 2 mm) renferme de petits nodules de chaux (2 mm).
- Une seconde couche picturale (cp2) est perceptible dans le support. Son épiderme (a2), inférieur à 0,5 mm, est de couleur blanc crème.
- La couche (b2) présente une texture proche de celle observée pour (b1), sa matrice est beige clair. Des négatifs de fibres végétales sont perceptibles à l'œil nu.
- Des cristaux de calcite sont observables dans toutes les couches du support à l'exception des couches picturales (cp1) et (cp2).
- Aucune trace d'accrochage n'a pu être observée au revers des fragments.



fig. 10 Ensemble W4 : support (Cl. C. Roussel)

L'étude des couches révèle que le décor W4 est lié à une seconde phase d'ornementation. Seul un badigeon blanc est perceptible en surface de la couche (cp2).

Description du décor

Le lot W4 est composé d'enduits peints formant un décor pariétal cohérent. On y notifie, dans des proportions plus ou moins égales, des fragments à champ noir ou à champ ocre jaune et de façon plus exceptionnelle, des fragments tricolores (seuls deux individus sont concernés). Ces derniers sont particulièrement intéressants puisqu'ils nous offrent une idée de la partition de la paroi. En effet, on peut y observer une bande ocre jaune formant un angle droit. Celle-ci est accentuée en son bord interne par un filet blanc qui la sépare d'un fond noir (fig. 11). Deux autres fragments, eux aussi remarquables, complètent cette première approche du décor : sur un fond noir uni se développe un filet blanc. Là encore, faute d'indices supplémentaires, le motif vertical ou horizontal peut être placé en zone médiane tout comme en partie basse.

Interprétation et comparaisons stylistiques

Le programme décoratif de la pièce attachée à l'ensemble W4 peut être envisagé selon une trame linéaire et probablement répétitive. Les bandes ocre jaunes forment très certainement l'ossature du décor comme le laissent à penser les fragments dotés d'un départ d'angle rentrant. On peut alors concevoir un schéma basé sur l'alternance de panneaux, d'inter-panneaux et/ou de compartiments, d'inter-compartiments à fond noir et encadrement ocre jaune rappelant un système décoratif largement employé dans la peinture en Gaule et porteur d'un héritage provenant du Troisième style. Le décor de la pièce AA de la *domus* de Fréjus (place Jules-Fromigé), du milieu du 1er s. apr. J.-C, est doté d'une zone médiane pourvue de ce jeu de couleurs (panneaux rouges et inter-panneaux verts). Dans le cas étudié, le peu d'indices collectés ne nous permet cependant pas de préciser si cette hypothèse est valide. Plus modestement, on peut également concevoir un simple soulignement de la zone médiane rapprochant ainsi le décor W4 de celui restitué dans la pièce 5 de la maison aux peintures de Saint-Romain-en-Gal (Leblanc 2012 ; Leblanc 2013). En ce qui concerne les filets blancs apposés sur fond noir, il peut s'agir de filets d'encadrement intérieur, de filets définissant les compartiments et inter-compartiments ou encore de hampes (développant un motif ou non) ornant les inter-panneaux ou les inter-compartiments. Pour illustrer cette proposition, nous pouvons faire référence au programme décoratif de la zone inférieure découvert dans la pièce 24 de la *villa* Coste Deferne construite dans le dernier tiers du 1er s. apr. J.-C (Boislève, Vallat 2013). Notons que dans tous les cas évoqués, ces filets participent à l'organisation linéaire du décor.

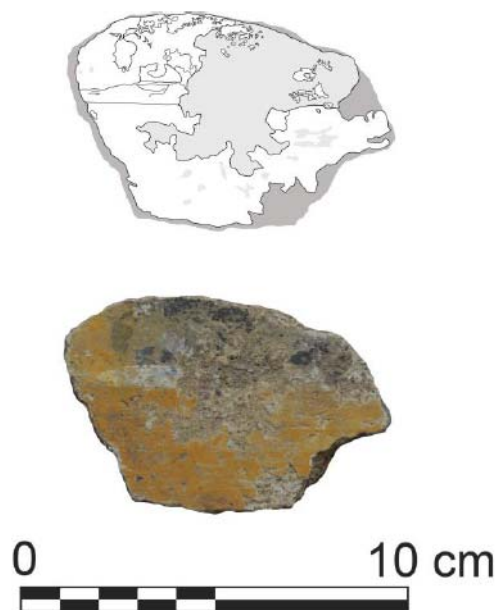


fig. 11 Ensemble W4 : champ jaune, champ noir et filet blanc (D.A.O. et Cl. C. Roussel)

Datation

Les enduits peints W4 proviennent de la même unité stratigraphique [24031-1] que l'ensemble W3. De ce fait, les remarques formulées pour ce dernier sont applicables à ce lot (voir *supra*, p. 16). Bien qu'en sous nombre, les éléments décoratifs clés tendent à rattacher le décor pariétal W4 au Troisième style. Ce modèle, apparaissant à la toute fin du 1^{er} s. av. J.-C. en Narbonnaise (Barbet 1982 ; Barbet 1983), est attesté sur plusieurs sites archéologiques de la région tels que le sanctuaire de Trémonteix à Clermont-Ferrand (Boislève, Chuniaud 2014). Le décor de la galerie nord du temple septentrional s'accorde particulièrement bien avec les essais d'interprétation émis précédemment. Si la datation précise des peintures de Trémonteix n'est pas établie clairement, J. Boislève propose – en s'appuyant sur certaines données stylistiques – une datation autour de la seconde moitié du 1^{er} s. apr. J.-C.

Corps d'habitation Y

Situation

Le bâtiment Y a été mis au jour dans l'emprise sud-ouest du site et est localisé entre les coordonnées N1060-E0998 et N1055-E1005. Mesurant 5,8 m de long pour 5,1 m de large, il est à mettre en lien direct avec la cave [24059] qui le jouxte. Des trois pièces souterraines découvertes dans le secteur ouest, celle-ci possède les dimensions les plus importantes : 5,5 m par 4,5 m. Son accès est garanti par un emmarchement [24098] localisé dans la partie septentrionale.

Ensemble Y1

Origine des enduits

Les peintures constituant le lot Y1 ont été découvertes en place au bas du mur [23173] appartenant à la pièce sud de l'édifice Y. Mesurant 4 m par 4 m, la pièce est aménagée d'un sol en *terrazzo*.

Observations techniques

Les enduits, en faible quantité, présente un état de conservation aléatoire (de bon à mauvais) qui permet néanmoins d'obtenir une lecture très partielle du décor.



fig. 12 Ensemble Y1 : support (Cl. C. Roussel)

Le support est composé de cinq couches (fig. 12):

- La couche picturale (cp) est techniquement bien réalisée : les pigments présentent une bonne tenue.
- La couche de finition (a), à la matrice blanche, mesure entre 1,5 mm et 2 mm.
- La couche de transition (b), blanc crème présente une texture riche en sable siliceux. Mesurant jusqu'à 7 mm, elle présente de rares nodules de chaux (2 mm).

- La couche (b') est séparée de la couche (b) par une très fine ligne de bulles d'air. Sa composition est très proche de celle observée précédemment. La seule différence remarquable correspond aux quelques faisceaux de fibres végétales perceptibles.

- La couche de préparation (c) n'est pas conservée intégralement (voir raison évoquée *supra*, p.10). D'une teinte tirant plutôt vers le beige foncé, sa matrice est composée de sable siliceux au sein duquel on observe des grumeaux de chaux (jusqu'à 3 mm).

- Les couches (b), (b') et (c) sont denses et compactes. Toutes présentent de nombreux cristaux de calcite.

L'observation macroscopique du lot Y1 permet d'affirmer une bonne mise en œuvre. Le mortier possède d'excellentes qualités de résistance (ne s'effrite absolument pas) et les pigments n'ont que très peu soufferts des dégradations liées au temps, à l'enfouissement ou à leur position en bas de paroi.

Description du décor

Les enduits peints du lot Y1 disposent d'une palette chromatique réduite. Sur un champ blanc sont projetées des taches rouges et ocre jaunes (fig. 13). D'après les observations réalisées à l'aide d'une loupe compte-fils, les mouchetures ocre jaunes ont été déposées dans un second temps. Toutefois, le nombre de fragments étudiés ne permet pas d'affirmer un quelconque systématisme dans l'application des couleurs.

Interprétation et comparaisons stylistiques

Tout comme cela était le cas pour les ensembles W1 et W2, les fragments du lot Y1 sont attribuables à la zone inférieure. Le développement des registres supérieurs est totalement inconnu. Il est possible de concevoir l'usage d'une même palette chromatique mais là encore, il ne s'agit que d'une supposition fondée sur des généralités qui ne se vérifient pas toujours. Le cas des enduits peints fragmentaires du site de Gellainville illustre parfaitement les limites d'un tel raisonnement (Groetembril 2012). Ce décor, appartenant à une habitation de type secondaire, possède un modèle ornemental particulièrement répandu entre le milieu du Ier s. apr. J.-C. et la fin du IIe s. apr. J.-C. Sa plinthe, à fond blanc, affiche une série de mouchetures noires, rouges et jaunes. S. Groetembril mentionne dans son article la présence d'une « triple bande de séparation ocre jaune, noire et verte, bordée d'un filet blanc rosé » (Groetembril 2012, p. 177). La zone médiane, quant à elle, est pourvue de « panneaux rouge ocre et d'inter-panneaux noirs » (*ibid.*). Dès lors, nous pouvons constater que si l'on retrouve effectivement les teintes employées dans la plinthe en zone médiane, elles ne sont pas les seules appliquées. En outre, le vert n'est absolument pas représenté dans la zone inférieure. Cet exemple montre donc l'ambivalence de telles généralités.

Datation

Exhumés en position primaire, les enduits peints muraux du lot Y1 s'accordent à la datation du bâtiment Y. Le profil archéologique des artefacts mis au jour dans les couches stratigraphiques associées déterminent une période chronologique assignée au Ier et IIe s. apr. J.-C.

Origine des enduits

L'ensemble Y2 est le plus important retrouvé jusqu'à ce jour sur le site. Composé d'une centaine de caisses d'enduits peints fragmentaires, ce lot nous permet d'appréhender la quasi-totalité du schéma décoratif mis en œuvre. Réparti dans les différentes unités stratigraphiques [24059-2 à 24059-6 ; 24098-1 à 24098-2] composant le remblai de la cave [24059], il serait directement associé au bâtiment Y. L'expertise archéologique, basée sur l'étude stratigraphique du comblement, détermine l'existence d'une pièce sus-jacente. En effet le grand nombre de tuiles représenté dans la couche [24059-6], se trouvant au-dessus du niveau de circulation de la pièce, laisse à penser qu'il s'agit des vestiges effondrés de la toiture. Ainsi, les enduits peints découverts en quantité importante dans la cave [24059] pourraient appartenir à cette pièce. En l'absence de preuves supplémentaires, il faut néanmoins rester prudent quant à la localisation exacte de ce décor. On peut néanmoins supposer que le nombre considérable de fragments exhumés est révélateur d'une localisation proche.

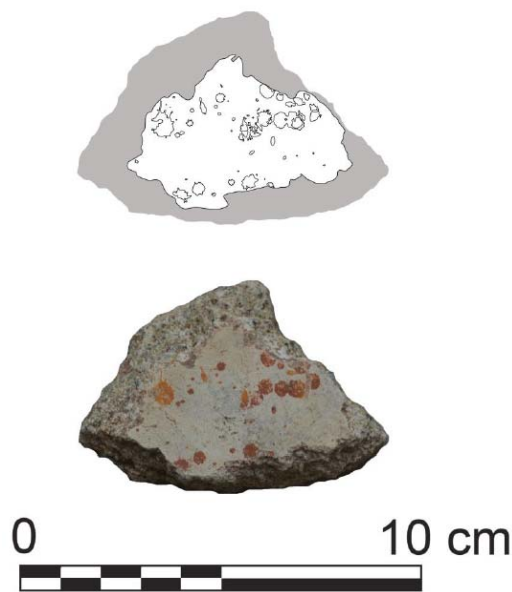


fig. 13 Ensemble Y1 : champ blanc moucheté de rouge et d'ocre jaune (D.A.O. et Cl. C. Roussel)

Observations techniques

Le lot Y2 comporte de nombreux éléments techniques permettant d'accroître nos connaissances sur les pratiques artisanales en vigueur sur le site à la fin du 1er s. apr. J.-C. et au début du 2e s. apr. J.-C. Son très bon état de conservation révèle une grande maîtrise dans la mise en œuvre des peintures murales. Le support, conservé sur une épaisseur satisfaisante pour l'étude, est composé de 5 couches compactes (fig. 14):

- La couche picturale (cp) est généralement bien conservée. Les pigments subissent occasionnellement quelques pertes ou affaiblissements assignables à la fragilité du pigment plutôt qu'à la réalisation. Citons notamment les cas du pigment vert et du pigment noir dont la constitution, en feuillets pour l'un (Delamare et al. 1990) et à partir de matière calcinée pour l'autre, peut induire des

problèmes de cohésion et/ou d'adhérence.

- La couche de finition (a), à la matrice blanche, mesure 2 mm.

- La première couche de transition (b), de 11 mm, présente une texture hétérogène de couleur beige-gris. Elle est composée de sable siliceux, de galets (compris entre 1 mm et 2 mm) ainsi que de nodules de chaux (jusqu'à 1,5 mm).



fig. 14 Ensemble Y2 : support (Cl. C. Roussel)



fig. 15 Ensemble Y2 : négatif de fibre végétale (Cl. C. Roussel)

- La seconde couche de transition (b'), de 22 mm, montre une composition relativement semblable. La couleur de la matrice beige-gris est formée d'un granulat hétérogène aux modules variés. On y observe du sable siliceux, des galets (jusqu'à 4 mm), des grumeaux de chaux (jusqu'à 9 mm) ainsi que des inclusions de pouzzolane (jusqu'à 15 mm).

- La couche (c) n'est pas préservée dans son intégralité. Cependant, elle possède les mêmes caractéristiques que la couche (b'). L'épaisseur maximale observée est inférieure à 10 mm. On notifie la présence de négatifs correspondant à la décomposition de fibres végétales dont la morphologie semble se rapprocher de celle de brins de paille (fig. 15).

- Aucune trace d'accrochage n'a pu être observée au revers des fragments.

- La limite entre les couches (b), (b') et (c) est matérialisée par la présence de lignes de bulles d'air.

Au sein de l'ensemble Y2, un second type de mortier – que nous appellerons mortier n°2 – est connu (fig. 16). Il est primordial de notifier que ce dernier n'est employé que pour la constitution des enduits peints de forme convexe. Le rattachement du mortier n°2 à l'ensemble Y2 est basé sur l'observation de quelques fragments présentant une transition entre le mortier n°1 et le mortier n°2. Sa composition singulière compte cinq couches :

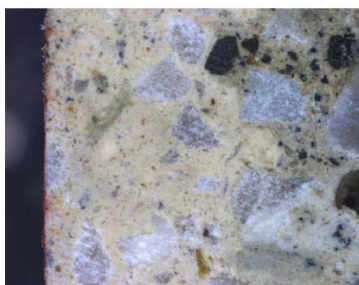


fig. 16 Ensemble Y2 : détail mortier n°2 ; échelle 1 mm (Cl. C. Roussel)

- La couche picturale (cp) est globalement bien conservée.
- La couche (a), inférieure à 0,5 mm est de couleur blanche.
- La couche (b), à la matrice beige clair, est composée de sable siliceux (inférieur à 1 mm), de ponctuels graviers et galets pouvant atteindre jusqu'à 4 mm ainsi que de rares inclusions de pouzzolane (jusqu'à 4 mm). Notons que cette couche est riche en grains translucides de forme anguleuse. Ses dimensions peuvent varier légèrement mais nous retiendrons l'épaisseur moyenne de 8,5 mm.
- La couche (c) possède une composition relativement similaire mais sa matrice est d'un beige plus foncé. Là encore, nous observons une forte présence de grains translucides anguleux. La couche n'est pas conservée dans son intégralité.

Retenons de ce mortier sa charge granulométrique particulièrement dense et compacte. La présence de nombreux grains anguleux semblent être le fruit d'un criblage volontaire et confèrent au support d'excellentes propriétés d'accrochage. Cette donnée associée à la forme convexe des fragments concernés semble induire une adaptation du support répondant à un impératif d'ordre technique et/ou architectural dont la nature nous échappe encore : bouchage, élément architectural en saillie..?

La composition de ces supports accorde aux fragments d'excellentes qualités de maintien et peut être considérée comme le produit d'un véritable savoir-faire. L'action des artisans transparaît également à travers une série de marques intentionnelles ou fortuites liant intimement la réalisation de ces peintures murales aux hommes qui les ont constituées. Ces témoignages du passé nous indiquent que les grandes lignes du décor ont été ébauchées à l'aide d'une cordelette (fig. 19) dont l'empreinte en creux caractéristique (Allag, Barbet 1972) est perceptible à la surface de

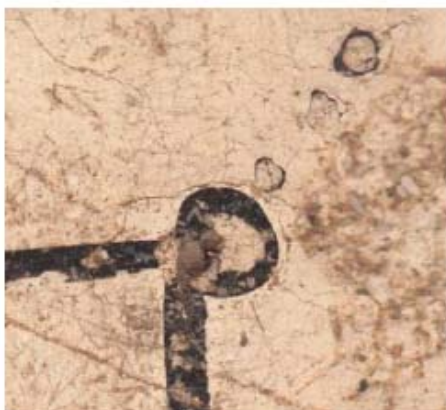


fig. 17 Ensemble Y2 : détail cupule (CL. C. Roussel)

l'enduit. Nous remarquons également que les fragments possèdent un certain nombre de marques, qu'il s'agisse d'incisions ou de petites cupules circulaires (fig. 17), visant à créer des repères visuels. Ainsi, l'emplacement des motifs est régulièrement signalé par une entaille réalisée dans l'enduit frais et celui des angles est pointé à l'aide d'un outil à la tige cylindrique (diamètre compris entre 2 mm et 3 mm). Ce dernier pourrait s'apparenter à un stylet, à un clou ou à tout autre objet présentant les mêmes spécificités. D'autres indices sont quant à eux perceptibles grâce à l'usure de la couche picturale. On devine ainsi l'ordre d'application des différents éléments structurels constituant la zone médiane et la zone inférieure (voir *infra*, p. 25). À ces traces révélatrices de la mise en œuvre du schéma pictural s'ajoutent toutes celles qui relèvent de maladresses diverses : bavures, repentirs, chocs (fig. 18)... S'il est difficile voire impossible de déterminer le nombre d'artisans ayant participé à la confection de ce décor, il est possible d'observer certaines différences notables dans l'exécution des motifs. Ces divergences pourraient être considérées comme la manifestation du travail de plusieurs mains. Une étude comparative des motifs pourrait très certainement permettre la caractérisation des différentes mains actives.



fig. 18 Ensemble Y2 : détail d'un débordement (Cl. C. Roussel)



fig. 19 Ensemble Y2 : détail d'une empreinte de cordelette (Cl. C. Roussel)

Description du décor

La peinture murale Y2 appartient au décor à fond blanc influencé par le Troisième style. Très épurée, elle présente un programme ornemental linéaire pourvu de quelques rares motifs. La palette chromatique choisie se limite à l'emploi de pigments rouges, noirs, blancs et verts.

Zone inférieure : la plinthe

Le fond de la plinthe est réalisé dans un coloris gris-mauve probablement obtenu par le mélange de différents pigments. Il n'est pas inhabituel d'observer l'emploi d'une formule à base d'hématite, de carbone et de calcite. Néanmoins l'absence d'analyses chimiques ne légitime pas une telle affirmation dans le cas de l'ensemble Y2. En surface, on observe des projections. L'étude macroscopique de l'ensemble des fragments mouchetés conclue à un systématisme dans l'ordre d'application des couleurs. Les mouchetures noires sont les premières exécutées, suivies des vertes et enfin des blanches. La plinthe est limitée en sa partie supérieure par un filet noir. Certains fragments suggèrent une partition en compartiments et en inter-compartiments définis par l'usage de filets noirs verticaux. Le peu de connexions établies entre les différents fragments ne nous a pas permis de restituer les dimensions de cette partie.

Zone inférieure : la partie basse

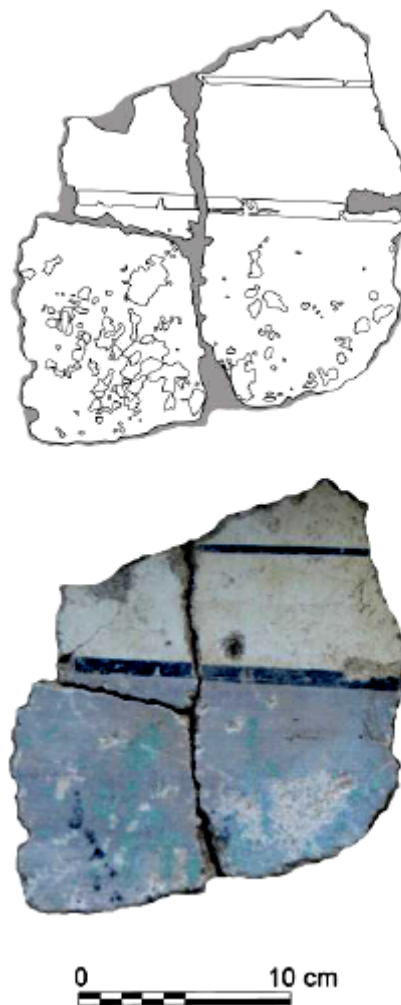


fig. 20 Ensemble Y2 : plinthe mouchetée (D.A.O. et Cl. C. Roussel)

La zone inférieure est dotée d'un fond blanc. On observe, à chaque extrémité des murs, une petite colonnette schématique (appuyée sur la plinthe et soutenant la zone médiane) composée d'un filet noir vertical dont les extrémités sont dotées de deux petites barbes latérales ainsi que de deux petits disques sommitaux (diamètre moyen : 1 cm) situés de part et d'autre du filet. On note également qu'une partie circulaire, généralement sur le haut des disques, est régulièrement laissée blanche (volonté de rendre un effet de lumière ?). À proximité directe, en moyenne 4,5 cm, un compartiment noir se développe sur une hauteur de 13 cm et sur une longueur non déterminée. Ses angles sont décorés de trois points en diagonale qui si l'on se réfère à la typologie de C. Maigret correspondent au type « a » (Maigret 1995). Ces points, appelés parfois « pompons » apparaissent dès le I^{er} s. apr. J.-C. et leur usage s'intensifie entre le II^e s. apr. J.-C. et le III^e s. apr. J.-C. Ce motif pourrait être considéré comme la symbolisation des pompons d'un tapis tendu comme le propose A. Barbet (Allag, Barbet 1995). Les fragments étudiés tendent à montrer que la plupart des « colonnettes » sont bordées, sur leur autre côté, d'une représentation végétale réalisée dans des tons de vert. Celle-ci présente une réalisation relativement sommaire et semble être plus haute que large. Les feuilles de ces touffes végétales sont généralement falciformes et peuvent présenter quelques nuances dans leur coloris obtenues par l'ajout de noir (observations réalisées à la loupe compte-fils). On remarque également qu'elles peuvent se développer sur la partie supérieure de la plinthe. La hauteur de la zone inférieure est estimée à 23 cm.

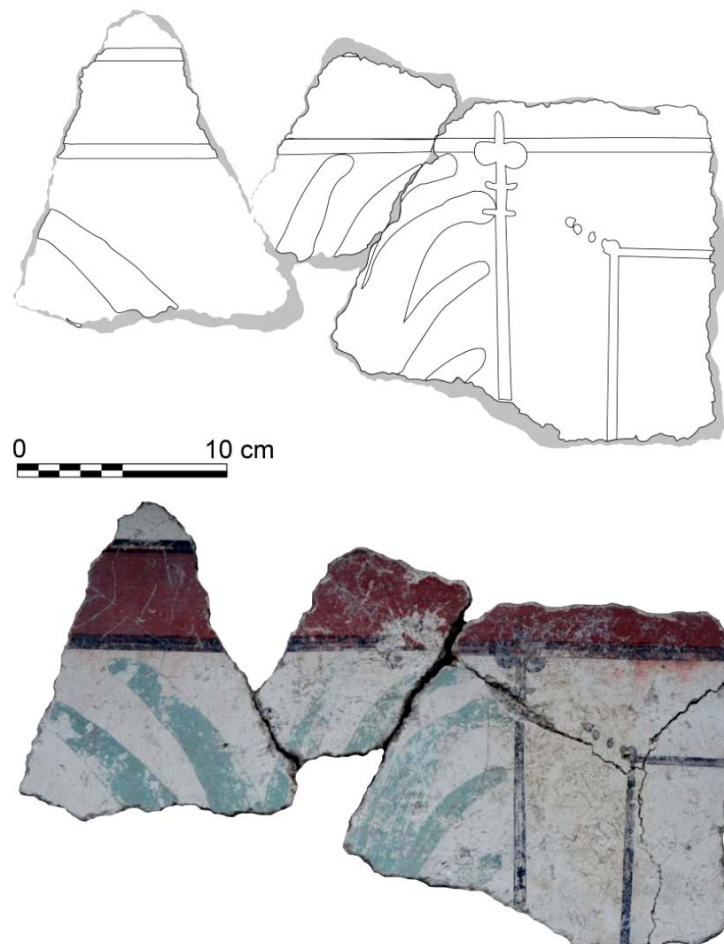


fig. 21 Ensemble Y2 : partie basse (D.A.O. et Cl. C. Roussel)

Zone médiane : les compartiments et inter-compartiments

La zone médiane est organisée selon un système de panneaux et d'inter-panneaux. Sur fond blanc, se développe une bande d'encadrement rouge dont les bordures sont marquées par l'usage de traits noirs. Ces bandes rouges créent le lien entre la zone inférieure de la partie basse et la zone médiane. La forte représentativité des fragments rouges présentant un départ d'angle rentrant semble indiquer qu'elles soulignent de façon systématique les angles de la pièce. On remarque par ailleurs que ces bandes sont accompagnées de candélabres « minimalistes ». Ces derniers sont composés, de bas en haut, par :

- un pied plein de forme oblongue dont les dimensions n'excèdent pas 1,9 cm de long pour une épaisseur moyenne de 0,6 cm ;
- une hampe grêle formée à partir d'un filet vertical ;
- deux petites barbes latérales qui ponctuent la partie supérieure des candélabres (écart moyen : 1,5 cm) ;
- un couronnement sommital formé de deux tiges opposées et symétriques (la longueur totale de ces deux éléments est de l'ordre de 5 cm).

Il est à noter que l'ensemble du motif est réalisé à l'aide d'un pigment noir. Joutant cet inter-panneau, se développe un encadrement constitué d'une bande verte bordée de traits noirs. Il est doublé par un filet d'encadrement intérieur noir. Tous deux sont ornés en leurs angles par une série de trois points en diagonale. Ces cadres forment les panneaux flottants de la composition.

L'organisation des inter-panneaux (hormis ceux situés dans les angles de la pièce) est moins assurée. En effet, si certains fragments présentent une succession de quatre filets verticaux (noir, rouge, rouge, noir) séparés d'environ 5 cm, il n'est pas certain que cela soit représentatif de l'ensemble des inter-panneaux constituant le décor.

D'un point de vue plus technique, les différents manques ou effacements perceptibles à la surface de la peinture murale montrent clairement le déroulé de l'application des couleurs. Celui-ci est scindé en trois temps : la mise en place des bandes d'encadrement rouges et vertes, des traits et motifs noirs et enfin des touffes végétales.

Zone médiane : la corniche

La zone médiane est couronnée par la figuration d'une corniche fictive. La bande d'encadrement rouge constitue la partie inférieure de cet élément décoratif. On remarque que si ailleurs il est bordé de deux traits noirs, ici il perd son trait noir supérieur. Deux traits horizontaux, l'un noir et l'autre rouge, surmontent la bande. On constate ainsi que la corniche est évoquée à travers un jeu d'ombre et de lumière formé sur l'alternance d'une teinte claire/vive (rouge) et d'une teinte sombre (noir).

En surplomb de cet élément est peint une bande noire qui peut être dissocié de l'ensemble. Si l'on se base sur les observations proposées par le CEPMR, il pourrait s'agir de la reproduction symbolique de la bande peinte que l'on observe au-dessus de certaines corniches en stuc. En effet l'espacement entre ces dernières et le plafond, induit par la pose du gabarit en bois, étaient souvent rehaussé de peinture. Il faut néanmoins rester prudent quant à la signification de cet élément qui pourrait s'apparenter à une simple fantaisie décorative.

Enfin, notons que le fond blanc s'étend au dessus de cette bande noire sur encore 15,5 cm à minima (hauteur complète non conservée). Le blanc, moins éclatant, tire sur le gris.

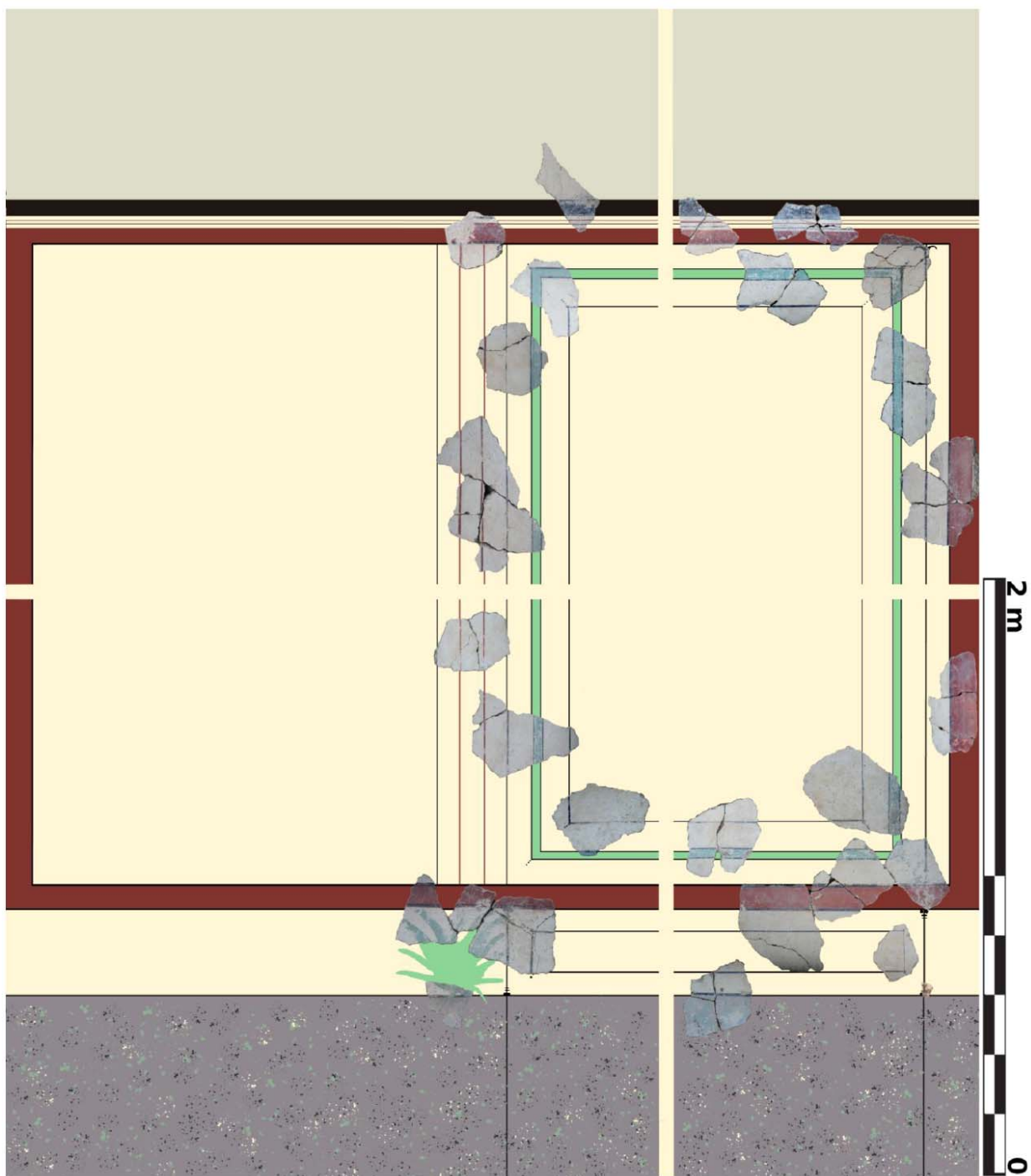


Fig. 22. Essai de restitution infographique (Ch. Roussel)

Architecture

Aucune trace d'accrochage n'a pu être détectée au revers des fragments. Cette lacune ne nous permet pas de rattacher l'ensemble Y2 à un type d'architecture défini.

Ouverture n°1

Certains fragments offrent des indices sur l'agencement intérieur de la pièce. Plusieurs d'entre eux dessinent un angle en biseau formant un angle de 134°. Cette forme singulière peut être rapprochée des ébrasures pratiquées sur les fenêtres hautes (voir Allag 2011) et/ou les portes. Dans le cas étudié, on remarque une reprise du schéma décoratif de la zone médiane. De cette façon, la partie supérieure de l'ouverture est ornée de la corniche. Partant de la bordure inférieure de celle-ci, des traits verticaux rouges se développent sur le premier tableau ainsi que de part et d'autre de l'embrasure. La découverte d'un angle présentant le retour d'un trait vertical rouge indique que les deux traits latéraux rouges forment un encadrement. Au sein des quatre tableaux, on observe également un encadrement intérieur formé d'un trait noir. Les fragments appartenant aux parties latérales indiquent également la présence des panneaux flottants de la zone médiane. La fenêtre (ou la porte) serait donc incluse entre

deux panneaux de la composition globale. Enfin l'agencement de la partie inférieure n'est pas connu. Un seul fragment présentant trois traits rouges (deux verticaux et un horizontal) et le début d'un biseau pourrait être associé à cette partie du décor. L'un des deux traits verticaux est orné d'un couronnement sommital – plus ou moins – triangulaire qui pourrait être interprété comme la schématisation d'un chapiteau de colonnette. Ce dernier vient s'appuyer perpendiculairement sur un trait rouge horizontal qui serait à mettre en lien avec la partie basse de l'encadrement rouge. Ce chapiteau viendrait ainsi se placer sous l'ouverture afin de la soutenir. Cette hypothèse ne peut être considérée que si l'ouverture en question est une fenêtre.

Ouverture n°2

À l'intérieur du lot Y2, un deuxième type d'ouverture a pu être identifié. Le profil des fragments correspondant à cette embrasure diffère de celui étudié précédemment. Les fragments ont tous une tranche latérale de mortier parfaitement lisse. Cette dernière doit être associée à l'empreinte laissée par le chambranle d'une porte. Les enduits peints présentent une surface légèrement convexe ainsi qu'un décor linéaire s'accordant avec les grandes thématiques du programme pictural. La porte est habillée, de l'intérieur vers l'extérieur, d'une première bande rouge (environ 4,5 cm de large) auquel vient s'accoler une bande vert de plus petite dimension (environ 2,5 cm de large). Le tout bénéficie d'un encadrement extérieur réalisé à l'aide d'un trait noir (écart moyen mesuré : 6,1 cm).

L'organisation de la partie haute de la porte est assurée par la découverte de deux fragments constituant l'angle supérieur gauche. Le haut de l'encadrement vert est associé directement au bas de la corniche sans qu'aucun espacement ne soit respecté. En ce qui concerne la partie basse de l'ouverture, aucune des données récoltées ne nous permet de proposer une restitution. Le motif pourrait être conservé sur l'intégralité de la hauteur tout comme il pourrait s'accorder au décor de la zone inférieure et de la plinthe.



Fig. 22. Détail : fragment d'enduit peint avec chanfrein

Ouverture n°3

Quelques rares fragments à fond noir possèdent un biseau marquant un angle de 124° . Ils sont à rapprocher des fragments sur lesquels sont peintes deux bandes noires convergentes sur un fond blanc gris. Celles-ci proviennent de l'intérieur de l'un des tableaux d'une fenêtre haute.

Les fragments convexes

Les fragments affichant une surface convexe sont particulièrement difficiles à replacer dans l'ensemble Y2. Dotés généralement d'un fond uni rouge, ils peuvent être ornés d'un filet noir ou d'un schéma décoratif plus complexe : champ noir, trait noir sur fond blanc, champ rouge bordé d'un trait noir. Si la palette chromatique s'accorde avec celle adoptée dans la partie supérieure de la zone médiane, rien ne permet d'associer les différents fragments entre-eux. Ils peuvent donc alimenter différentes hypothèses construites autour d'un même principe commun : il s'agit vraisemblablement du témoignage d'un aménagement singulier au sein de la pièce. Dès lors, cet enduit peint peut être attribué tant à une colonne engagée, qu'à une réfection imputable à des détériorations.

Essai de restitution

Cet essai de restitution est basé sur les connexions établies lors du remontage des fragments de l'ensemble Y2. Nous ne disposons pas, hormis dans le cas de la zone inférieure (hauteur), des dimensions attribuées à chaque zone du décor pariétal.

Zone inférieure : la plinthe

La largeur des compartiments restitués a été choisie de manière à fonctionner avec le rythme établi en zone inférieure et en zone médiane comme cela semblait être indiqué par le départ d'un filet noir vertical sous une des colonnettes.

Zone inférieure : la partie basse

Dans la zone inférieure, la colonnette est placée sous le candélabre de la zone médiane. Ce choix est appuyé par la découverte d'un fragment montrant cet agencement. L'organisation des différents éléments les uns vis-à-vis des autres (compartiment et colonnette, colonnette et touffe végétale) est déduite selon les observations réalisées sur plusieurs fragments clés.

Zone médiane : les panneaux et inter-panneaux

Les différentes associations représentées sont fondées sur l'observation de fragments clés permettant la lecture, même partielle, de la partition décorative. Bien que les décors linéaires soient généralement répétitifs, nous ne pouvons pas l'assurer pour ce schéma faute de connexions supplémentaires.

Zone médiane : la corniche

Plusieurs fragments nous assurent le rapport spatial entre la corniche, les panneaux et inter-panneaux. Nous n'avons cependant pas idée de la nature de la connexion entre la partie supérieure de la zone médiane et le plafond. La présence de cette zone blanche en surplomb peut être soumise à différentes hypothèses architecturales. Le développement d'une toiture en bâtière pourrait expliquer une poursuite de l'enduit à fond blanc gris. Cette proposition peut être compétée par de nombreuses autres hypothèses et cas de figure répondant à l'adaptation des champs décorés à une contrainte architecturale. De ce fait, la question reste entièrement ouverte.

Interprétation et comparaisons stylistiques

L'ensemble Y2 est un très bel exemple de décor à fond blanc inspiré du Troisième style. Les remontages effectués au cours de cette étude nous ont permis de saisir un pan de l'ornementation de la pièce connectée à ce décor. Si certains doutes demeurent, l'esprit de la composition a été saisi. La relative sobriété de ces peintures murales en fait un décor fréquemment mis en œuvre dès la fin du 1^{er} s. apr. J.-C. en Gaule. L'étude menée par H. Eristov et S. Groetembril (Eristov, Groetembril 2006) démontre que malgré leur simplicité les décors à fond blanc ornent indifféremment des habitats plus modestes, des pièces souterraines ou encore des pièces utilitaires de riches demeures. Il ne s'agit donc pas d'un marqueur social.

Zone inférieure : la plinthe et la partie basse

Comme cela a été illustré pour les ensembles W1, W2 et Y1, les plinthes mouchetées sont abondamment représentées en Gaule. S'il ne paraît pas utile de revenir sur les différents types existants, il est intéressant d'évoquer plus en détail l'organisation de la partie basse. Décorée par l'alternance de colonnettes, de compartiments et de touffes végétales, elle enrichit considérablement le programme ornemental de la pièce. Une fois encore, des parties basses à la composition similaire sont attestées un peu partout dans les provinces romaines. On peut notamment citer le cas de l'ensemble n°6 mis au jour dans le petit temple du sanctuaire de Bois l'Abbé et daté du II^e s. apr. J.-C. (Muller-Dufeu 1997). Bien que présentant un schéma décoratif plus complexe et riche, la partie basse du décor n°6 est déterminée par les mêmes standards que l'ensemble Y2. Elle est accommodée de filets verticaux symbolisant de petites colonnettes, ces dernières permettant de répartir l'espace en compartiments et inter-compartiments décorés. Les inter-compartiments sont ornés de touffes végétales tandis que les compartiments portent des représentations d'oiseaux. Le tout surmonte une plinthe marron-rouge mouchetée de blanc. La partie basse de l'ensemble Y1, bien moins détaillée, utilise cependant les mêmes règles ornementales : alternance de compartiments et d'inter-compartiments, emploi de colonnettes faisant le lien entre la plinthe et la zone médiane, touffes végétales.

Zone médiane : les compartiments et inter-compartiments

Si l'on évoque souvent la division tripartite employée dans la peinture romaine, on remarque plus souvent une division bipartite (zone inférieure et zone médiane) en Gaule. Les exemples sont multiples et nous nous attarderons plutôt sur un détail de la composition. Les points en diagonale (qui peuvent prendre des formes plus ou moins élaborées ; voir Maigret 1995) apparaissent dès le 1^{er} s. apr. J.-C. mais se diffusent plus largement entre le II^e s. apr. J.-C. et le III^e s. apr. J.-C. On en observe notamment dans le décor (plaque n°3), daté du début du II^e s. apr. J.-C., mis au jour rue Arthur-Ranc à Poitiers (Allag, Nivelles 2013) ou place Camille-Jouffray (Leblanc *et al.* 2013) à Vienne, sur le mur M1 de l'îlot B et de datation antérieure (première moitié du 1^{er} s. apr. J.-C.).

Zone médiane : les candélabres

L'aspect végétal des candélabres est ici simplifié à son maximum. Les deux tigelles formant le couronnement sommital sont certainement inspirées de deux feuilles ployant de part et d'autre de la hampe. Certaines représentations proches de celle-ci exposent clairement la transition entre les modèles les plus développés et les versions plus schématiques. Bien qu'il ne s'agisse pas d'un candélabre (car il est localisé dans la partie basse) le motif ornant l'inter-compartiment de la pièce 24 de la *villa* Coste Deferne (Boislève 2013) illustre pleinement cet état intermédiaire. Il est composé « d'un bulbe, matérialisé par un gros point, [qui] donne naissance à deux feuilles embrassantes et opposées » (Boislève 2013, p. 168). Le décor n°13 provenant de la fouille du site dit « du Cinéma » présente encore plus de similitudes (Huchin 2013). La plaque 1432 présente une hampe dont les développements supérieurs ne sont plus que de simples volutes. Le « bulbe » est surmonté d'une petite barbe latérale. Dans le cas étudié, le « bulbe » est remplacé par une seconde barbe latérale.

Datation

L'ensemble Y1 découvert en remblai est daté de la fin du Ier s. apr. J.-C. et du début du IIe s. apr. J.-C. selon l'étude des artefacts représentés dans le comblement. Cette datation s'accorde parfaitement avec la période de large diffusion des décors inspirés du Troisième style.

Conclusion

L'étude des lots d'enduits peints fragmentaires du secteur ouest de l'*oppidum* de Corent nous offre l'opportunité exceptionnelle de lever le voile sur tout un pan de l'art de vivre en usage sur le site entre le Ier et le IIe s. apr. J.-C. Conservés sur à peine quelques assises, les vestiges de ces habitations reprennent partiellement leur volume et se parent à nouveau de couleurs. On découvre alors un quartier soigneusement entretenu dont les habitations sont ornées de peintures murales simples, certes, mais à la technique maîtrisée. Les différentes réfections observées dans les lots étudiés sont révélatrices du soin apporté à ces dernières. Alors que les pièces auraient pu être couvertes d'un enduit de « propreté » monochrome blanc ou de couleur, comme on le constate dans une pièce de service du bâtiment X (Poux *et al.* 2014), elles affichent des palettes chromatiques plus ou moins développées offrant des associations et combinaisons variées. Le lot Y1, plus complet, permet quant à lui d'appréhender l'organisation d'un décor de la plinthe jusqu'à la partie supérieure de la zone médiane. Au-delà des études techniques et stylistiques, il nous offre également la possibilité de saisir, même superficiellement, les goûts et les influences du commanditaire. L'emploi de candélabres, de colonnettes, de touffes végétales ou encore de points en diagonale, aussi simplifiés soient-ils, prouve de toute évidence la recherche d'un certain raffinement. Ces motifs étaient connus du commanditaire. Ils reflètent peut-être la volonté de reproduire un schéma stylistique inspiré par le répertoire d'une grande cité voisine (Augustonemetum ? Lugdunum ?). Si rien ne permet de l'affirmer, il est néanmoins certain que les grandes tendances décoratives en vogue dans ces cités se soient diffusées dans leur sphère d'influence tout en connaissant un certain nombre d'adaptations et de déclinaisons.

Cette étude démontre que l'analyse exhaustive d'un lot d'enduits peints fragmentaires même lacunaire et détaché de son support d'origine peut donner des résultats satisfaisants liés à la définition des caractères techniques et à la formulation d'hypothèses de restitution. Elle prouve ainsi la nécessité d'appliquer une méthode rigoureuse dès le prélèvement.

Bibliographie

ABRÉVIATIONS

AFPMA Association française pour la peinture murale antique

ArAr Laboratoire d'archéologie et d'archéométrie (UMR 5138).

CEPMR Centre d'étude des peintures murales romaines

AFPMA (1985) : *Les enduits peints du Nord de la France, Actes du séminaire 1984, Valenciennes, Revue du Nord*, 67, 1985, 264 p.

– (2012) : *Les enduits peints en Gaule romaine : Approches croisées, Actes du 23e séminaire de l'AFPMA, Paris, 13-14 Novembre, 2009, Revue archéologique de l'Est*, 31, Dijon, 2012, 294 p.

ALLAG CL. (1985) : Le décor des cryptoportiques en Gaule, in AFPMA 1985, p. 9-20.

– (2001) : Ouvertures, embrasures, in Balmelle et al. 2001, p. 567-577.

ALLAG CL., BARBET A. (1972) : Techniques de préparation des parois dans la peinture murale romaine, in *Mélanges de l'École française de Rome. Antiquité*, t. 84, n°2, 1972, p. 935-1070.

– (1995) : Vaison-la-Romaine, la maison dite "Le Prétoire", in *Revue archéologique de Picardie*, Numéro spécial 10, 1995, p. 85-92.

ALLAG CL. AVEC LA COLLABORATION DE NIVELLE C. (2013) : Poitiers (Vienne), rue Artur-Ranc : thermes publics et expression libre, in Boislève et al. 2013, p. 317-326.

BALMELLE C., ERISTOV H., MONIER F. ÉD. (2011) : *Décor et architecture en Gaule entre l'Antiquité et le haut Moyen-Âge : Mosaïque, peinture, stuc, Actes du colloque international, université de Toulouse II-Le Mirail, 9-12 Octobre 2008, Aquitania Suppl.* 20, Bordeaux, 795 p.

BARBET A. (1982) : La diffusion du IIIe style pompéien en Gaule, Première partie, in *Gallia*, t. 40, fasc. 1, 1982, p. 53-82.

– (1983) : La diffusion du IIIe style pompéien en Gaule, Deuxième partie, in *Gallia*, t. 41, fasc. 1, 1983, p. 111-165.

BOISLÈVE J., CHUNIAUD K. (2014) : Les peintures du sanctuaire de Trémonteix à Clermont-Ferrand (Puy-de-Dôme), in Boislève et al. (2014), p. 57-178.

BOISLÈVE J., DARDENAY A., MONIER F. ÉD. (2013) : *Peintures murales et stucs d'époque romaine : De la fouille au musée : Actes du 24e et 25e colloques de l'AFPMA., Narbonne 12-13 Novembre 2010, Paris 25-26 Novembre 2011, Ausonius Pictor, Collection de l'AFPMA 1, Bordeaux, 2013, p. 492.*

– (2014) : Peintures murales et stucs d'époque romaine : Révéler l'architecture par l'étude du décor, Actes du 26e colloque de l'AFPMA, Strasbourg, 16 et 17 novembre 2012, Ausonius Pictor, collection de l'AFPMA 3, Bordeaux, 345 p.

BOISLÈVE J., JARDEL, TENDRON G. (2012) : *Décor des édifices publics civils et religieux en Gaule durant l'Antiquité Ier-IVe siècle, peinture, mosaïque, stuc et décor architectonique, Actes du colloque de Caen, Service archéologie, conseil général du Calvados 7-8 avril 2011, Mémoire XLV, 2012, p. 41-61.*

BOISLÈVE J., VALLAT P. (2013) : La villa de Coste Deferne, une découverte au Puy-en-Velay (Haute-Loire), in Boislève et al. (2013), p. 157-174.

BOISSARD E. (2013) : Trois exemples inédits de découverte d'enduits peints antiques sur des chantiers d'archéologie préventive en Rhône-Alpes, in Boislève et al. (2013), p. 369-384.

BROILLET-RAMJOUÉ E., BUJARD S. (2011) : Fenêtre ou la quatrième dimension de la paroi, in Balmelle et al. (2011), p. 579-593.

- COLLECTIF (2012)** : *Pigments et colorants de l'Antiquité et du Moyen-Âge : Teinture peinture, enluminure, études historiques et physico-chimiques, Colloque international du CNRS*, Département des Sciences de l'Homme et de la Société, Département Chimie, Éditions du CNRS, Paris, 1990, 375 p.
- COUTELAS A. (2003)** : *Pétraarchéologie du mortier de chaux gallo-romain : Essai de reconstitution et d'interprétation des chaînes opératoires du matériau antique au métier*, Thèse de doctorat, université Panthéon Sorbonne Paris-I, 2003, 493 p.
- DELAMARE FR., DELAMARE L., GUINEAU B., ODIN G.-S. (1990)** : Couleur, nature et origine des pigments verts employés en peinture murale gallo-romaine, in Collectif (2012), p. 103-116.
- ERISTOV H., GROETEMBRIL S. (2006)** : Murs blancs en Gaule : entre économie et raffinement, in *Dossiers d'Archéologie*, 318, p. 58-61.
- GROETEMBRIL (2011)** : La question des pièces souterraines en Gaule, in Balmelle *et al.* (2011), p. 311-320.
– (2012) : Gellainville ou comment jeter des peintures murales ? in AFPMA 2012, p. 175-180.
- HUCHIN R. AVEC LA COLLABORATION DE LEGAGNEUX M. (2013)** : Les peintures murales du site Pasteur, Vieux-Capucins, Châteaudun, à Chartre (Eure-et-Loir) : Les décors des secteurs 1, 2, 3 et 5, in Boislève *et al.* 2013, p. 187-206.
- JOUQUAND A.-M., SAUGET (J.-M.), WITTMANN A. (1994)** : L'habitat gallo-romain de l'École Supérieure de Commerce à Clermont-Ferrand (Puy-de-Dôme) / A gallo-roman habitation site at the École Supérieure de Commerce, Clermont-Ferrand (Puy-de-Dôme), in *Revue archéologique du Centre de la France*, t. 33, Tours, 1994, p. 87-132.
- LEBLANC O. (2012)** : Un ensemble de peinture du début du I^{er} s. apr. J.-C. : Le site du Garon et la Maison aux Peintures à Saint-Romain-en-Gal (Rhône), in AFPMA 2012, p. 53-68.
– (2013) : La maison aux Peintures, Saint-Romain-en-Gal (Rhône) : Un exemple de l'apport des peintures à la compréhension des vestiges, in Boislève *et al.* (2013), p. 207-214.
- LEBLANC O. AVEC LA COLLABORATION DE HELLY B. ET NOURISSAT S. (2013)** : L'apport des peintures murales découvertes in situ dans la ville antique de Vienne, in Boislève *et al.* 2013, p. 385-402.
- MAIGRET C. (1995)** : Peintures murales de thermes d'une villa de Mandelieu (Alpes-Maritimes), in *Revue archéologique de Picardie*, Numéro spécial 10, p. 99-101.
- MULLER-DUFEU M. (1997)** : Le sanctuaire de Bois L'Abbé (76) et son décor, in *Revue du Nord*, vol. 79, 323, p. 7-63.
- PETTIJOHN F., POTTER P., SIEVER R. (1973)** : *Sand and sandstone*, Springer-Verlag, Berlin, 618 p.
- POUX M., MILCENT P.-Y. DIR. (2013)** : Corent (63) : *Volume I – Texte : Rapport de fouille 2013*, SRA Auvergne, 2013, p. 212.
- POUX M., PRANYIES A., MILCENT P.-Y. DIR. (2014)** : Corent, Veyre-Monton (63) : *Fouille pluriannuelle 2014-2016 : Rapport de fouille intermédiaire 2014*, SRA Auvergne, 2013, p. 486.
- SABRIÉ R. (2013)** : Peinture murale dans une ferme à Joncquières près de Narbonne, in Boislève *et al.* 2013, p. 269-278.
- VIBERT-GUIGUE CL. (2012)** : Les cryptoportiques peints de Bavay (Nord) et de Reims (Marne) sous l'angle de la « copie » et de la « romanité », in Boislève *et al.* 2012, p. 41-62.

Faune

Maximilien EVRARD (UNIVERSITÉ LUMIÈRE LYON 2)

Introduction

Le mobilier faunique recueilli sur le site de Corent a déjà fait l'objet de plusieurs études et publications. La première, qui concernait le sanctuaire, a été réalisé par Sylvain Foucras dans le cadre d'une thèse de doctorat³. La deuxième, entreprise et inachevée par Tatiana Delaune présente la faune d'une zone de boucherie (Bâtiment B)⁴. En 2011, Corentin Bochaton présente une première étude en dehors du sanctuaire, sur la faune recueillie lors de la campagne de 2010⁵. En 2014 deux études supplémentaires viennent compléter les recherches archéozoologiques sur le site ; la première par Lisa Grimal sur la faune recueillie dans un puits découvert en 2012, et la seconde par l'auteur de ce chapitre dans le cadre d'un Master I portant sur la faune de l'atelier de potier de 2013, ses niveaux antérieurs et postérieurs⁶. La dernière étude a été réalisé par Caroline Hémard sur la faune retrouvée dans la cave laténienne [18015] située dans les quartiers nord du site⁷.

L'étude qui suit, réalisée dans le cadre d'un mémoire de Master 2 soutenu en 2017 à l'université Lumière Lyon 2 (dir. M. Poux, S. Foucras), s'inscrit dans la continuité de tous ces travaux et va contribuer à enrichir le corpus faunique étudié sur le site de l'*oppidum* de Corent. Elle se focalise sur le mobilier issu des nombreuses caves et citernes fouillées dans les quartiers situés à l'ouest du sanctuaire durant les campagnes de 2014 et 2015. Elle a pour but de déterminer le(s) faciès de consommation inhérent(s) aux structures d'habitat romaine sur l'*oppidum* de Corent. Nous chercherons à analyser la diversité des cheptels des différentes périodes romaine au travers de cinq caves qui témoignent d'une occupation continue du site entre la fin de l'âge du fer et la fin du II^e siècle de notre ère. Nous nous questionnerons sur les utilisations diverses des animaux, en termes de consommation carnée, d'artisanat et même rituel.

Structures étudiées

Pour cette étude, un échantillonnage a été effectué au sein des structures découvertes lors des campagnes de fouilles de 2014 et 2015, en privilégiant celles qui ont livré un mobilier suffisant pour en tirer des interprétations statistiques. Parmi les structures étudiées figurent principalement des caves, aménagées entre la Tène D2 et le II^e siècle de notre ère. Nous avons également étudié la faune recueillie dans les citernes découvertes lors des deux campagnes ainsi que deux structures hydrauliques supplémentaires : le bassin maçonné [24062] et la latrine [25405] découverts en 2014.

L'étude est structurée en quatre parties ; tout d'abord il s'agira de présenter la cave la plus ancienne, [25334], qui livre le nombre de restes le plus important. Dans un deuxième temps, nous rassemblerons les résultats des caves [24067], [24070] et [25108] qui sont vraisemblablement daté d'une période proche. Ensuite nous nous pencherons sur la structure [24059] qui semble être la plus

³ Poux, Foucras 2008 ; Foucras 2011

⁴ Delaune 2008

⁵ Bochaton 2011 ; Poux *et al.* 2011

⁶ Evrard 2014

⁷ Hémard 2015

récente de toutes les caves. Pour finir, dans une dernière partie nous présenterons les résultats correspondant aux quatre structures hydrauliques de notre corpus.

Méthodologie

Détermination des restes et enregistrement des données

La première étape du travail consiste à déterminer par unité de fouille, la quantité de restes récoltés. La détermination va s'appuyer sur des caractères constants, caractéristiques d'un genre, une famille, une espèce. Pour ceci, une bonne connaissance de l'anatomie animale est indispensable ; mais cela peut-être facilité par certains outils, que sont les collections ostéologiques de comparaison et les manuels d'anatomie comparée⁸.

La détermination s'appuiera à découvrir la partie anatomique et l'espèce de chacun des fragments récupérés. Lorsque cela n'est pas possible il sera alors classé comme « indéterminé ». Dans certain cas la détermination ne permettra pas de définir précisément l'espèce mais la famille dont il fait partie. Nous aurons donc des restes enregistrés comme canidés, regroupant chiens, renards et loups, des équidés regroupant chevaux et ânes, ou encore plus régulièrement des caprinés regroupant moutons et chèvres. En ce qui concerne la différenciation *ovis/capra*, elle a pu être effectuée, lorsque la conservation des os le permettait, grâce aux chevilles osseuses, la forme des sutures du crâne, ou encore l'ostéométrie⁹.

Une fois la détermination effectuée, il s'agit d'enregistrer les données récoltées. Ceci se fait à l'aide d'une base de données informatisée ; pour cette étude nous avons choisi d'utiliser le logiciel « Filemaker ». Grâce à celle-ci nous pouvons enregistrer pour chaque reste les informations spécifiques et anatomiques le concernant. De plus, nous complétons la fiche de chacun de ces restes, lorsque cela est possible, par des informations utiles le concernant, tel que son état de conservation, sa latéralité, le sexe, les traces sur l'os (découpe, brûlures, pathologies), la partie de l'os correspondant au reste (épiphyses, proximal, distal, diaphyse, éclat,...), l'âge approximatif (périnatal, juvénile, immature, adulte sénile), et toutes autres informations qui pourraient être intéressantes.

Avec ces informations nous pourrions entre autres mettre en avant des nombres minimum d'individus, ou encore regrouper les restes des unités de fouilles par région anatomique : tête, épaules, cuisses, tronc et pieds/mains. La « tête » regroupera toutes les mandibules, maxillaires, et élément du crâne ; les dents isolées ont été exclues des comptages pour éviter de fausser les données par un nombre trop important de restes provenant de la tête. L'« épaule » regroupera les os des membres antérieurs (scapula, humérus, radius et ulna). Les os des membres postérieurs (coxaux, fémur, patella, tibia et fibula) correspondent à la « cuisse ». Le « tronc » regroupe les vertèbres, le sacrum et les côtes. Finalement les extrémités des pattes (métapodes, os du carpe, os du tarse, phalanges, talus et calcanéum) seront réunies sous la dénomination des « pieds/mains ». Cette répartition permettra de considérer les os dans leur ensemble anatomique et nous offrira une idée de la distribution des quartiers après la découpe en boucherie.

Quantification des restes

Lors de la détermination la liste des espèces établie nous permet déjà de se faire une idée de la diversité de la faune retrouvée. Les méthodes de dénombrement des restes utilisées sont au nombre

⁸ Bailon 1999; Barone 2010; Callou 1997; France 2009; Hillson 1992; Prummel 1987; Schmid 1972; Cohen, Serjeantson 1996.

⁹ Halstead *et al.* 2002 ; Zeder, Lapham 2010.

de trois : le nombre de restes (N.R.), le poids des restes (P.R.) et le nombre minimum d'individus (NMI.)¹⁰.

Le nombre de restes représente l'effectif du nombre de pièces présentes. Cela nécessite un remontage pour les os cassés et les os non-épiphysés. En effet si plusieurs fragments d'os recollent entre eux, alors l'ensemble sera considéré comme un reste unique.

Le nombre minimum d'individus a pour but de déterminer combien d'individus distinct se sont retrouvés dans la même structure. Pour ceci on utilise plusieurs méthodes ; il s'agit soit de déterminer l'effectif de la partie la mieux représentée (Ex : Proximal de radius gauche), soit d'additionner des critères d'exclusion (jeunes et adultes, mâles et femelles, ...) ¹¹. La fiabilité de ces nombres étant relative, il faudra rester prudent dans leurs utilisations.

Le poids des restes donne une dimension supplémentaire aux différents lots étudiés. Il rend compte de l'effet de masse de chacune des espèces en ramenant les restes indéterminés à un poids minime. Cela nous permet d'avoir une idée des masses de viande étudiées.

Estimation de l'âge au décès

La détermination de l'âge est une donnée importante pour la compréhension de la gestion des troupeaux et l'utilisation des espèces. Cette estimation peut être rendue possible par plusieurs moyens. Le premier consiste à analyser l'épiphysation des os recueilli quand cela est possible¹². La méthode se base sur la fusion de l'épiphyse à la diaphyse, qui se fait selon un ordre et une chronologie. Cela nous permet d'obtenir l'âge d'un individu par rapport à une limite. Sur des os de fœtus ou de nouveau-nés, la longueur de la diaphyse peut être mise en relation avec l'âge ; des tables ont été établies pour la plupart des espèces domestiques¹³.

Un autre moyen d'estimer l'âge au décès de nos individus est l'étude de l'usure dentaire. Elle se pratique lorsque la dentition définitive est en place. Il existe plusieurs méthodes mais celle que nous avons utilisée a été proposée par A. Grant¹⁴. Le « stade d'usure dentaire » a été répertorié pour chaque dent de chaque espèce permettant de calculer le « stade d'usure de la mandibule », qui nous donne un âge au décès approximatif. Cette méthode s'appliquant uniquement à la triade domestique (bœuf, porc et caprinés), n'est exploitable que sur les mandibules et lorsque les trois molaires sont conservées.

Une dernière méthode est utilisée ; il s'agit de l'éruption dentaire. Cette méthode se base sur l'observation du remplacement progressif de la dentition déciduale par une dentition définitive. Pour cela nous nous référons aux tables d'éruption dentaire élaborées par plusieurs chercheurs¹⁵.

Détermination du sexe

Le sexage est un complément indispensable à la compréhension de la gestion des cheptels et l'utilisation des animaux. Cette distinction n'est possible que sur un nombre limité de restes. Il s'agit pour les mammifères de caractères divers : les chevilles osseuses, les canines, la morphologie du bassin ou les dimensions des os longs. Le caractère le plus récurrent et le plus fiable dans la différenciation mâle/femelle reste les canines de suidés qui montrent une différence notable de

¹⁰ Chaix, Méniel 2001.

¹¹ Poplin 1976.

¹² Barone 2010 : p. 76.

¹³ Prummel 1987

¹⁴ Grant 1982.

¹⁵ Barone 2010 ; Habermehl 1975 ; Schmid 1972.

forme et de dimension selon le sexe. Les chevilles osseuses nous montrent des différences de dimensions et de morphologie importantes chez les caprinés qui sont moins évidentes chez les bœufs. La morphologie du bassin est une source très fiable mais qui ne peut être utilisée que rarement en raison de la fragmentation importante relative à cette partie dans notre étude. Les données ostéométriques pourront également nous permettre de déterminer le sexe ; les individus femelles, notamment chez le bœuf, sont régulièrement plus petits et plus graciles que les mâles¹⁶.

En ce qui concerne les oiseaux, nous pourrions différencier le sexe chez la poule et le coq à partir d'un os : le tarso-métatarse. Celui-ci présente, lorsqu'il s'agit d'un individu mâle, un ergot.

Ostéométrie

Dans une étude archéozoologique, l'ostéométrie représente un apport conséquent, qui pourra être utile pour la détermination de l'espèce, de l'âge ou du sexe. Les mesures ont été effectuées sur des os entiers et épiphysés selon la méthode de A. Von den Driesch et J. Desse¹⁷. A partir de ces données ostéologiques et à l'aide de coefficients établis par plusieurs chercheurs, nous pourrions estimer la hauteur au garrot de l'animal¹⁸.

NB : par souci de gain de place, la plus grande partie des tableaux et diagrammes de détail réalisés pour cette étude ont été extraits du rapport mais sont disponibles sur demande.

Cave [25334]
(LTD2b - Auguste)

Faciès général

Un tableau a été dressé, détaillant le nombre des restes déterminés et indéterminés par espèce et par unité de fouille ; le même tableau a été produit pour traiter le poids de ces restes. Dans un second temps nous proposons un tableau récapitulatif, moins indigeste, permettant de rajouter les nombres minimums d'individus par espèce et les pourcentages relatifs aux données exposées précédemment. Pour une meilleure vision des résultats nous y avons ajouté des graphiques représentant le pourcentage du nombre de restes par espèce, le pourcentage du poids des restes par espèce et le nombre minimum d'individus.

De manière générale la faune de la cave se répartie au sein d'un corpus de 13 unités de fouille ; elle est constituée de 4452 restes pour un poids total de 63,564 kilogrammes. Le pourcentage de faune déterminée correspond à 91 % des restes de la cave. Le faciès général voit donc la triade domestique (porc, caprinés et bœuf) être majoritairement présente (97% de la faune déterminée). Le reste des espèces est de ce fait très peu présent, en notant tout de même la part inhabituellement plus élevée des équidés. Le poids des restes nous offre une nouvelle perspective de nos résultats, qui voient le bœuf dominer le reste des espèces, tout en notant que les équidés représentent alors une part encore plus importante de ce faciès.

Les indéterminés qui représentent un peu plus de 8% des restes étudiés, ne correspondent qu'à 2,3% du poids des restes total. Ces chiffres relativement faibles dénotent d'un bon état de conservation général des restes et d'une fragmentation plus faible qu'à l'accoutumance.

¹⁶ Chaix, Méniel 2001 : p. 80.

¹⁷ Desse *et al.* 1987 ; Driesch 1976.

¹⁸ Godynicki 1965 ; Kiesewalter 1888 ; Koudelka 1885 ; Matolcsi 1970 ; Schramm 1967 ; Teichert 1969 ; Teichert 1975.

En raison du nombre important de restes découverts et étudiés en provenance de cette structure il sera d'autant plus intéressant de détailler espèce par espèce les résultats suivants.

| Tableau de synthèse de la cave [25334] | | | | | | |
|--|----------------------------------|-------------|------------|--------------|------------|------------|
| | | NR | % NR | PR | % PR | NMI |
| Porc | <i>Sus sp.</i> | 1698 | 41,8 | 16687 | 26,9 | 79 |
| Caprinés | <i>Ovis aries / Capra hircus</i> | 1128 | 27,8 | 8278 | 13,3 | 77 |
| Bœuf | <i>Bos taurus</i> | 1115 | 27,4 | 30984 | 49,9 | 57 |
| Cheval | <i>Equus caballus</i> | 85 | 2,1 | 5828 | 9,4 | 6 |
| Chien | <i>Canis sp.</i> | 14 | 0,3 | 93 | 0,1 | 3 |
| Total domestique | | 4040 | 99,4 | 61870 | 99,6 | 224 |
| Cerf | <i>Cervus sp.</i> | 3 | 0,07 | 230 | 0,4 | 1 |
| Lièvre | <i>Lepus sp.</i> | 3 | 0,07 | 4 | 0,0 | 1 |
| Total sauvage | | 6 | 0,1 | 234 | 0,4 | 2 |
| Poule / Coq | <i>Gallus gallus</i> | 10 | 0,2 | 12 | 0,02 | 3 |
| Gallinacés Indé. | | 6 | 0,1 | 7 | 0,01 | 2 |
| Oiseaux Indé. | Aves | 2 | 0,05 | 2 | 0,00 | 1 |
| Total oiseaux | | 18 | 0,4 | 21 | 0,03 | 6 |
| déterminés | | 4064 | 91,3 | 62125 | 97,7 | 232 |
| indéterminés | | 388 | 8,7 | 1439 | 2,3 | |
| TOTAL | | 4452 | 100 | 63564 | 100 | 232 |

Tableau 4 : Synthèse de la faune de la cave [25334]

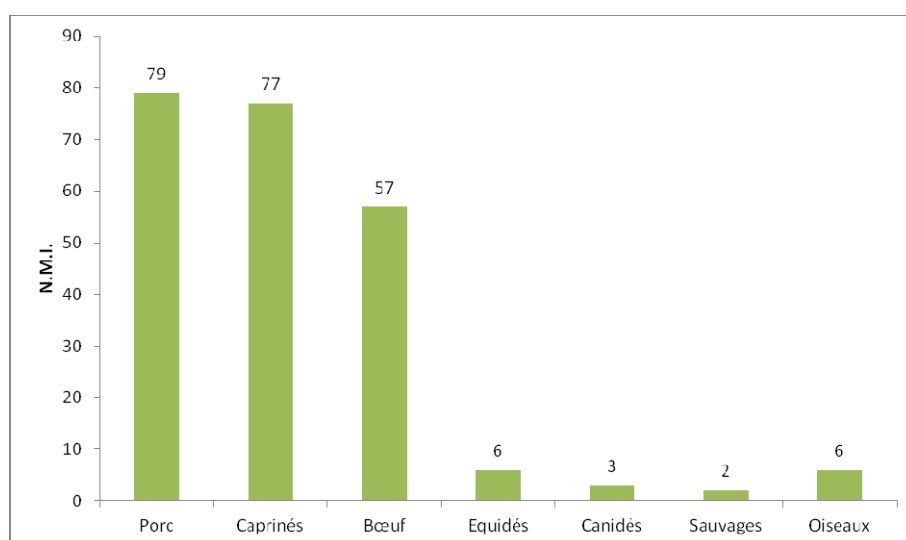


Tableau 5 : Nombres minimums d'individus par espèce de la cave [25334]

Le porc

Le porc représente dans notre ensemble une des espèces les plus importantes ; il s'agit de la plus grande quantité de restes pour une espèce, soit 1698 restes (41,8 %). En revanche, en qualité de poids des restes ce n'est que la deuxième espèce la plus présente après le bœuf, en ne regroupant que 26,3 % du poids total des restes déterminés.

Le cochon est assez équitablement représenté en termes du nombre de restes prélevés, avec une légère prédominance des éléments du tronc, qui représentent 34 % des restes. Les éléments du tronc évoquent surtout une part très importante de restes provenant des côtes. En effet les côtes représentent 445 des 1671 restes étudiés. La deuxième partie la plus figurée dans ce lot provient de la cuisse ; parmi cette partie le tibia-fibula représente plus de la moitié des restes avec 169 restes. L'épaule présente une représentation à peu près équivalente de chacun des os, hormis l'ulna qui semble plus effacé que les autres. En ce qui concerne les pieds et les mains, ce sont les métapodes et les phalanges proximales qui représentent près des trois quart des restes de cette partie ; à noter que les métapodes sont assez équilibrés entre les membres antérieurs et postérieurs.

Le nombre minimum d'individu

Comme cela a été expliqué lors de la partie sur la méthodologie employée, le nombre minimum d'individus (N.M.I.) a été calculé sur la fréquence de latéralité de chaque partie du squelette.

Pour le porc ici, le tibia représente l'élément du squelette le plus récurrent. En effet grâce au tibia nous avons pu calculer un minimum de 79 individus dans cette cave [25334]. C'est le nombre le plus élevé de toutes les espèces de ce lot ; il nous permet d'accentuer les résultats des N.R. qui plaçaient le porc au premier plan de notre faciès.

L'âge au décès

La détermination de l'âge de la mort a pu être déterminée, de manière plus ou moins précise, de plusieurs moyens. Tout d'abord nous nous sommes servis du « code Grant »¹⁹, pour déterminer l'âge à l'aide de l'usure dentaire. Dix mandibules ont donc pu être exploitées, six d'entre elles appartiennent à des adultes alors que les quatre autres correspondent à des individus immatures de moins d'un an. Les âges déterminés varient entre 3 et 7 ans pour les adultes et la moitié de ces individus possèdent 6 ans-6 ans et demi.

Dans un deuxième temps nous avons pu remarquer lors de la détermination des restes que trois d'entre eux appartiennent à des individus nouvellement nés²⁰. Il s'agit d'un ulna, un humérus et une fibula.

Finalement nous avons pu mettre en place un tableau présentant le stade d'épiphyse des os du porc sur 333 restes de notre cave [25334]. Selon les résultats obtenus, très peu de restes appartiennent à des individus de moins d'un an, puisque plus de 90 % des restes de cette classe d'âge sont épiphysés. En ce qui concerne les « jeunes adultes » (12-30 mois), les restes épiphysés et non épiphysés sont présents de manière assez équivalente. Cependant les données recueillies nous rendent compte également d'une autre tendance qui voit une très grande partie des restes de ce tableau appartenir à des individus de moins de 4 ans (+ de 70 %). Le dernier groupe concernant les adultes de 5-7 ans évoque à travers ces données que seulement 12 % des restes traités appartiennent à des individus de plus de 5 ans.

¹⁹ Grant 1982

²⁰ Prummel 1987

Détermination du sexe

Au sein des suidés la détermination du sexe a été possible à l'aide exclusive de la morphologie et des dimensions des canines supérieures et inférieures. A partir des 87 restes étudiés pour le sexage des porcs, 74 appartiennent à des individus mâles et seulement 13 à des femelles. On remarque donc que le pourcentage de verrats est nettement supérieur à celui des truies. Hauteur au garrot et ostéométrie

Lors de l'enregistrement de nos données nous avons pu mesurer 66 restes entiers dont 25 métapodes, un radius, 17 phalanges proximales, 9 talus, 3 calcanéum, 5 phalanges médianes, et une phalange distale. Les talus et calcanéum ont été mis de côté en raison de la grande variabilité des dimensions de ces os dans le squelette²¹. Nous nous intéresserons exclusivement au métapodes et aux phalanges proximales. Grâce aux mesures prises sur le radius, les métacarpes et les métatarses associées aux coefficients de Teichert²², nous obtenons une hauteur au garrot d'une moyenne de 0,75 mètre. Selon une étude de S. Foucras²³ sur la taille au garrot des porcs arvernes, la moyenne pour le 1er siècle av. J.C. est de 0.75 mètre ; cette moyenne correspond à notre résultat pour la cave [25334] qui serait, rappelons-le, daté approximativement de la Tène D2b- Auguste (50/30 av. J.C. – 1er siècle ap. J.C.)²⁴. Les 17 phalanges proximales entières et épiphysés qui ont pu être mesurées nous ont permis grâce au graphique de montrer la variabilité de la taille des porcs en fonction de leurs grandes longueurs (G.L) et du diamètre de leurs épiphyses proximales (B.P)²⁵. Trois phalanges sortent légèrement du lot en dénotant des tailles plus importantes, mais cela ne nous permet quand même pas de définir s'il s'agit d'espèces sauvages.

Traces et pathologies

Sur la totalité des restes de porc étudiés nous avons pu dénombrer 57 traces de découpe qui ont été représentées sur un schéma. Nous avons représenté les différentes traces par trois couleurs : en rouge les entailles localisées, en jaune les entailles localisées non précisément, et en vert les os tranchés. Parmi celles-ci 24 sont des entailles au couteau observées sur les côtes, indiquant de ce fait une majorité de rejets de consommation. Pour accentuer cette hypothèse, on notera la présence de 9 canines de verroat affublées de traces de flammes, provenant probablement de la cuisson du porc.

Parmi les traces relevées aucunes ne relèvent de la mise à mort ou du détachement de la tête hormis les traces de section sur les atlas et les axis. Sur une mandibule on note une trace d'entaille correspondant à un possible détachement des mandibules. Le peu de vertèbres découvertes rendent compte de quelques traces de découpe du rachis. En ce qui concerne les traces au niveau des extrémités (pieds/mains), elles sont très peu présentes. La découpe des extrémités renvoie aux activités bouchères ; l'absence de traces et la sous-représentation de la région des extrémités, nous indique donc l'absence d'activité bouchère dans ce bâtiment.

De plus nous avons noté la présence de 5 restes rognés, rongés ou présentant des traces de crocs. Nous n'avons pas trouvé de pathologies associées aux restes de porc dans cette structure.

²¹ Horard-Herbin 1997 : p. 88-89

²² Teichert 1969

²³ Foucras 2011.

²⁴ Poux *et al.* 2015

²⁵ Driesch 1976



Figure 1 : Métapode de porc rogné provenant de l'Uf [25334]

Les caprinés

Parmi le faciès général, les caprinés constituent 27,8 % des restes déterminés avec 1128 fragments. Ils se placent à la deuxième place du faciès. En revanche ils occupent la troisième place de la triade en termes de poids des restes en regroupant 13,3 % du poids total (soit 8,278 kilogrammes).

Si l'on établit un diagramme de répartition anatomique, on remarque que le tronc est la partie la plus représentée avec 321 restes dont 258 sont des fragments de côtes. Après le tronc c'est l'épaule qui le plus représenté (20 %) ; avec au sein de ses 204 restes près de 95 fragments appartenant à des radius qui représente après les 104 métapodes l'os long le plus fréquent dans notre lot. Les mandibules constituent une partie également conséquente dans notre étude, promulguant la région de la tête à 19% des restes étudiés. La région la moins présente (13 %) est la cuisse avec 129 restes dont 82 sont des tibia-fibula.

Le nombre minimum d'individus

En raison du nombre conséquent de radius nous avons pu effectuer un calcul du nombre minimum d'individus (N.M.I.) sur la latéralité la plus fréquente en écartant les éclats. De ce calcul nous avons réussi à dégager un minimum de 77 individus appartenant à l'ordre des caprinés.

La distinction ovis/capra

Comme cela a été expliqué lors de la partie méthodologique, tous les restes de chèvres et de moutons ont été notés lors de l'enregistrement des données comme caprinés. Néanmoins, parfois la distinction a pu être distinguée. La partie la plus propice à découvrir cette distinction est le crâne ; les chevilles osseuses et les sutures pariéto-frontales²⁶ ont permis de distinguer le plus grand nombre de caprinés. Les atlas²⁷ et les tibias²⁸, sont les deux autres éléments osseux en assez bon état pour nous permettre d'obtenir une distinction entre les deux espèces. En tout huit restes appartiennent à des ovins pour six appartenant à des caprins.

Dans un second temps nous avons pu mesurer les phalanges proximales de caprinés et nous avons mis en relation la longueur totale de l'os (GL) avec le diamètre de la partie proximale (Dp)²⁹. Cela ne nous a pas permis de distinguer une différence moutons/chèvres, par contre on observe qu'une des phalanges sort clairement du lot, s'agit-il d'une espèce sauvage comme le chevreuil, ou seulement d'un capriné plus imposant ?

²⁶ Hillson 1992 : p.7

²⁷ Barone 2010.

²⁸ Zeder 2010.

²⁹ Foucras 2011 : p. 68.

L'âge au décès

Grâce à deux méthodes on a pu estimer l'âge de la mort des restes de caprinés de la cave [25334]. Commençons d'abord par l'étude de l'épiphysation des os³⁰. Comme pour le porc précédemment nous avons établi un tableau regroupant les différents stades d'épiphysation pour les caprinés. Ce comptage regroupant les os épiphysés et non-épiphysés, nous permettra d'obtenir un pourcentage d'épiphysation pour chacun des groupes créés. Ce tableau regroupe 119 restes.

Les jeunes individus de moins d'un an ne sont représentés que par 8% des restes. On remarque également que les individus de moins de deux ans ne représentent que 17% des restes. De plus les groupes rassemblant les restes appartenant à des individus de trois et quatre ans minimum nous montrent chacun 75% d'épiphysation. On remarque donc qu'une grande quantité des restes étudiés ici représentent des individus de plus de quatre ans.

Dans un second temps nous avons récolté, grâce au code Grant³¹, le stade d'usure dentaire sur toutes les mandibules de caprinés possédant leurs trois molaires. A partir des 15 mandibules, nous avons pu établir un graphique reliant le nombre de mandibules étudiées et les âges obtenus pour chacune.

Ce graphique nous permet d'observer une tendance que l'on avait déjà remarquée avec le tableau du stade d'épiphysation des os, qui rend compte qu'une part importante des restes de caprinés appartient à des individus de 4 à 5 ans. Parmi ces mandibules seulement deux appartiennent à des individus plus jeunes, un de 2 ans et demi et le second de 3 ans et demi. Nous noterons également qu'une mandibule appartenant à un immature a été retrouvée dans le lot de caprinés.

La détermination du sexe

En ce qui concerne le sexage des caprinés pour la cave [25334] nous n'avons pu attribuer un résultat que pour un reste (cheville osseuse), qui s'avère être un mâle.

Hauteur au garrot et ostéométrie

Parmi la totalité des restes de caprinés de la cave [25334] nous avons pu mesurer les 7 phalanges proximales vues précédemment, 6 talus, 3 calcanéum, 2 phalanges médianes, une phalange distale, un métacarpe et un radius. Parmi ceux-ci nous avons pu mesurer la hauteur au garrot de deux individus à partir du métacarpe et du radius et des coefficients de Teichert³². Nous avons obtenu un premier individu de 0,57 mètre et un second de 0,59 mètre ; les individus paraissent de petites dimensions surtout si nous les comparons à la moyenne des caprinés arvernes établies par S. Foucras qui est égal à 0,62 mètre pour le 1er siècle av. J.C.³³.

Les traces et pathologies

Les traces de découpe présentent sur les restes de caprinés sont au nombre de 50 (entailles et sections), deux restes présentent des traces de crocs et deux autres montrent des traces de brûlure. En revanche aucune pathologie n'a été détectée dans le lot de faune. La plupart des traces sont situées sur les côtes, mais aussi les radius et les vertèbres ; cela renvoie inévitablement à des activités de boucherie ou de consommation.

Toutes les traces de découpes dénombrées précédemment ont été représentées dans le schéma ci-dessous en gardant le même système de légende que pour les suidés.

³⁰ Barone 2010 : p. 76

³¹ Grant 1982

³² Teichert 1975

³³ Foucras 2011 : p.71



Figure 2 : Radius de capriné tailladé provenant de l'Uf [25334_4]



Figure 3 : Métatarse de capriné tailladé provenant de l'Uf [25334_5]

Le bœuf

Le bœuf représente dans la faune de la cave [25334] 27,4 % des restes étudiés (1115 restes) et constitue dès lors la troisième espèce la plus importante de la structure; en revanche en termes de poids des restes c'est l'espèce prédominante (49,9%) avec 30,984 kilogrammes de restes.

La répartition anatomique des ossements nous montre qu'une partie est nettement plus représentée que les autres ; il s'agit de l'extrémité des membres (métapodes, phalanges, os du carpe et du tarse) avec un pourcentage de 31 %. Dans cette région anatomique les métapodes regroupent à eux seuls 234 restes et constituent l'os de bœuf le plus représenté dans cette structure. Les régions de la cuisse et de l'épaule sont présentes de manière à peu près équivalente (respectivement 13 et 17 %).

Le tronc regroupe les vertèbres et les côtes ; le premier représente 78 restes tandis que les fragments de côtes sont au nombre de 161. Nous possédons donc une part importante de restes provenant de déchets de consommation (côtes) tout en ne négligeant pas la part tout de même intéressante de déchets de boucherie (vertèbres). Si l'on ajoute à cela la part importante de restes provenant des extrémités, nous avons dans cette structure une part non négligeable de déchet de boucherie au détriment des rejets de consommation.

Le nombre minimum d'individus

Le calcul du N.M.I. pour les bœufs dans la cave [25334] s'est fait à partir de la fréquence et la latéralité de l'os le plus représenté dans le lot de faune. Nous avons dès lors obtenu un minimum de 57 individus.

L'âge au décès

L'estimation de l'âge de la mort s'est faite par le code Grant³⁴ et l'étude du stade d'épiphyse des os de bœuf³⁵.

Tout d'abord en ce qui concerne le code Grant, nous n'avons pu utiliser que deux mandibules : celle d'un individu de 3 ans et un second de 5 ans. Mais avant de nous intéresser au tableau présentant les stades d'épiphyse, il faut noter la présence d'un métapode appartenant à un individu périnatal. Un tableau a été établi à partir des 319 restes épiphysés ou non épiphysés, qui nous donne une idée des âges au décès des bœufs. On note la part moins importante de restes appartenant à des individus de moins d'un an (27%). En revanche, en ce qui concerne les restes d'individus de moins de 3 ans ils sont presque aussi importants que ceux qui sont épiphysés (67 % de restes épiphysés). Le même type de répartition touche le troisième groupe (36-48 mois). Le dernier groupe rassemblant les restes d'individus de plus de 4 ans, présente 42% de restes épiphysés. Tout cela nous permet de nous rendre compte que la part des restes épiphysés et non épiphysés est à peu près équivalente dans la faune issue de la cave [25334], hormis pour le groupe d'individus de moins d'un an.

La détermination du sexe

Pour déterminer la proportion de mâles et femelles, nous nous sommes exclusivement servis des chevilles osseuses. Dix restes de chevilles osseuses nous ont prouvé la présence de dix restes de vache et aucuns mâles. Cependant nous avons également découvert un métacarpe entier qui a donc pu être mesuré. Grâce à ces mesures et à l'étude de S. Foucras sur la faune arverne³⁶ nous avons pu ajouter un reste de plus aux vaches dans cette structure. Nous avons donc onze restes d'individus femelles pour aucuns mâles. Le peu de restes utilisés pour étudier cette distinction ne nous permet pas d'être véritablement précis dans l'estimation de nos données, cependant il semble apparemment que la part des vaches soit plutôt majoritaire.

Ostéométrie

Parmi les restes ayant été mesurés, nous avons un métacarpe (utilisé précédemment), un calcanéum, cinq talus, treize phalanges proximales, trois phalanges médianes et cinq phalanges distales. Aucun des os n'a pu permettre la détermination de la hauteur au garrot d'un individu.

Traces et pathologies

Au total 127 traces en tous genres ont pu être recensées sur les 1115 restes de bœuf de la cave. Outre une trace de crocs, nous avons 125 traces de coupes (entailles et sections), dont 87 se situent sur les métapodes. De plus, nous sommes en possession d'un reste de scapula présentant la trace d'un crochet renvoyant directement aux activités bouchères qui sont accentuées par la présence très importantes de traces de coupes sur les extrémités (métapodes et talus). Pour se faire une idée plus précise des traces répertoriées nous les avons schématisées ci-dessous en utilisant la légende habituelle.

³⁴ Grant 1982

³⁵ Barone 2010 : p. 76

³⁶ Foucras 2011 : p. 74



Figure 4 : Métapodes de bœuf présentant des entailles provenant de l'Uf [25334_2]



Figure 5 : Scapula de bœuf présentant des traces de crochets provenant de l'Uf [25335]

Les équidés

La faune relative aux équidés représente 2,1% des restes déterminés de la cave [25334] avec 85 fragments. Et se place donc loin derrière la triade domestique dans le faciès général en termes de nombres de restes. En revanche le poids de ces restes constitue 5,828 kilogrammes, c'est-à-dire 9,4% du poids total des restes.

La répartition anatomique des restes montre une majoritaire représentation des os provenant des pieds et des mains (37%). La tête avec exclusivement des mandibules constitue la deuxième partie la plus représentée (19%). En ce qui concerne l'épaulé et la cuisse, les restes sont équivalents représentant 9 restes chacun. Le tronc quant à lui englobe 8 restes dont six sont des côtes et 2 sont des vertèbres. A tout ceci nous ne devons pas oublier de noter la présence de 26 dents isolées qui ont été écartées des données de ce diagramme pour ne pas fausser les résultats.

Le nombre minimum d'individus a pu être calculé selon les mêmes méthodes utilisées précédemment. En l'occurrence, nous avons un minimum de 6 individus.

Malgré la possibilité mince d'avoir dans notre lot des restes appartenant à des ânes ou des mulets³⁷ nous ne devons pas écarter cette possibilité. Mais malheureusement la distinction a été plutôt compliqué et nous ne préférons pas nous avancer sur ce point.

³⁷ Foucras 2010 : p.86

Détermination de l'âge au décès

En étudiant les stades de soudure des épiphyses³⁸, nous avons pu établir un tableau pour 27 des restes d'équidés de la cave [25334].

Nous remarquons ainsi que la quasi-totalité des restes de chevaux de ce tableau sont épiphysés, hormis deux restes de fémur proximal qui indiquent que les individus possèdent moins de trois ans. Nous sommes donc en présence ici de chevaux d'âge adulte.

Hauteur au garrot

La bonne conservation des os d'équidés nous permet d'obtenir ici un corpus de sept os pour calculer la hauteur au garrot de ceux-ci. Selon S. Foucras³⁹, la hauteur moyenne des équidés arvernes au I^{er} siècle av. J.C. est de 1,28 mètre, pour des tailles qui oscillent de manière générale entre 1,25 et 1,30 mètre. La moyenne des tailles obtenues dans la cave [25334] est de 1,31 mètre, ce qui est légèrement supérieur à la moyenne du I^{er} siècle av. J.C.

En détail nous avons un individu de 1,25 mètre, un deuxième de 1,30 mètre et un troisième de 1,31 mètre. Il faut ajouter à cela un individu nettement plus petit, sûrement plus jeune, de 1,07 mètre. Et enfin, nous avons également trois individus nettement plus grands de 1,40 mètre, 1,41 mètre et 1,43 mètre. Cet écart par rapport à la moyenne du siècle précédent pourrait dénoter une croissance dans la stature des chevaux arvernes, mais le peu de restes pris en compte nous oblige à rester prudents quant à cette hypothèse.

Traces

Aucunes traces de découpe ni pathologies n'ont pu être perçues sur les restes d'équidés de la cave [25334].

Les canidés

Dans cette cave, le chien est très peu présent il ne représente que 0,3% des restes déterminés (14 restes), pour un poids de 93 kilogrammes (0,1%).

La majorité des restes appartient à la « tête » (31%) avec notamment 3 mandibules et un maxillaire. Les extrémités des pattes et le tronc possèdent chacun 3 restes, le premier rassemblant exclusivement des métapodes et le second des vertèbres lombaires. L'épaule est présente par une scapula et un radius, alors que la cuisse ne se distingue que par la présence d'un coxal.

Le N.M.I. a pu être calculé en fonction des mandibules, nous donnant donc un minimum de 3 individus.

La distinction sexuelle n'ayant pu être effectuée, nous nous intéressons donc à la détermination de l'âge au décès. Parmi les trois mandibules, deux d'entre elles appartiennent à des individus adultes alors qu'une d'entre elles correspond à un immature. En ce qui concerne le stade d'épiphysation des os, les trois métapodes apparaissent comme épiphysés (> ou égal à 6-7 mois), la scapula est également épiphysée (> ou égal à 5-8 mois), et les lombaires sont aussi épiphysées (> ou égal à 1 an et demi – 2 ans)⁴⁰.

En l'absence d'os entier l'étude ostéologique n'a pas pu être effectuée.

³⁸ Barone 2010 : p.76

³⁹ Foucras 2011 : p. 86

⁴⁰ Barone 2010 : p. 76

Aucunes traces ou pathologies n'ont été décelées.

La faune sauvage

Les cervidés

Dans la cave [25334], trois restes de cervidés ont été découverts. Parmi ces restes deux correspondent à des éclats de bois et un est un métacarpe. Représentant 0,4% du poids total des restes déterminés (230 grammes), nous pourrions préciser puisque les morceaux de bois sont d'une taille plutôt importante et que le métacarpe est épiphysé, qu'il s'agit de restes de cerf adulte.

Les traces de découpe sur l'un des éclats de bois de cerf nous indiquent certainement les traces d'une utilisation pour l'artisanat de ceux-ci.



Figure 6 : Eclat de bois de cerf présentant des traces de découpe provenant de l'Uf [25334_8]



Figure 7 : Métacarpe de cerf provenant de l'Uf [25334_9]

Le lièvre

Les restes de lièvre sont au nombre de 3, regroupant exclusivement des os de la « tête » : un maxillaire et deux éclats de crâne. Le poids total des restes de lièvre est égal à 4 grammes.

Nous n'avons pas pu obtenir plus d'information concernant les restes de léporidés provenant de la cave [25334].

Les oiseaux

Les différents restes d'oiseaux mis au jour dans cette structure, sont au nombre de 18, pour un poids représentant 0,03% du poids total des restes déterminés. Ce poids paraît dérisoire alors qu'en termes de nombre de restes il représente un pourcentage plus élevé que les canidés dans le nombre total de restes déterminés (0,4%).

Parmi ces 18 restes, 10 appartiennent à des poules/coqs, 6 à des gallinacés indéterminés, et 2 à des oiseaux indéterminés. Les restes de poules/coqs, ont révélés pendant l'étude, qu'un de ces restes appartenait à un individu femelle, dut à l'absence d'ergot sur un tarso-métatarse.

La répartition anatomique reste assez simple ; elle a été divisée en deux parties : la cuisse qui regroupe le fémur, le tibio-tarse, et le tarso-métatarse ; l'aile qui regroupe la scapula, l'humérus, le radius, l'ulna, le carpo-métacarpe, et les phalanges. Dans le diagramme on observe donc que la part de l'aile est présente au trois quart des restes d'oiseaux.

On notera donc que les restes provenant d'oiseaux de cette structure, représentent exclusivement des rejets de consommation, puisqu'il n'y ni têtes, ni extrémités de pattes. Cependant nous n'avons décelé aucunes traces de découpe ou de brûlures sur les os qui auraient pu nous renseigner sur l'utilisation de ces espèces ici.

Cave [24067]

(I^{er} siècle ap. J.C. – II^e siècle ap. J.C.)

Cette structure découverte en 2014, regroupe au total 250 restes déterminés et indéterminés. Les tableaux regroupent toutes les données relatives aux nombres de restes et au poids de ces restes pour chacune des espèces représentées et pour chaque Uf de complements. Un troisième tableau, accompagné de graphiques, permet de montrer ces résultats dans leur globalité au sein de la cave [24067] en termes de N.R, P.R, et N.M.I.

Les indéterminés ne représentent ici que 16% des restes étudiés pour un poids relativement faible de 100 grammes.

| Tableau de synthèse de la faune de la cave [24067] | | | | | | |
|--|----------------------------------|------------|------------|-------------|------------|-----------|
| | | NR | % NR | PR | % PR | NMI |
| Porc | <i>Sus sp.</i> | 88 | 41,9 | 632 | 35,2 | 11 |
| Caprinés | <i>Ovis aries / Capra hircus</i> | 71 | 33,8 | 399 | 22,3 | 13 |
| Bœuf | <i>Bos taurus</i> | 38 | 18,1 | 724 | 40,4 | 8 |
| Cheval | <i>Equus caballus</i> | 1 | 0,5 | 7 | 0,4 | 1 |
| Chien | <i>Canis sp.</i> | 2 | 1,0 | 15 | 0,8 | 2 |
| | | | | | | |
| Total domestique | | 200 | 95,2 | 1777 | 99,1 | 35 |
| Poule / Coq | <i>Gallus gallus</i> | 5 | 2,4 | 9 | 0,5 | 3 |
| Perdrix | <i>Perdix Perdix</i> | 3 | 1,4 | 5 | 0,3 | 1 |
| Oiseaux Indé. | <i>Aves</i> | 1 | 0,5 | 1 | 0,1 | 1 |
| Gallinacés Indé. | | 1 | 0,5 | 1 | 0,1 | 1 |
| | | | | | | |
| Total oiseaux | | 10 | 4,8 | 16 | 0,9 | 6 |
| | | | | | | |
| déterminés | | 210 | 84,0 | 1793 | 94,6 | 41 |
| indéterminés | | 40 | 16,0 | 103 | 5,4 | |
| | | | | | | |
| TOTAL | | 250 | 100 | 1896 | 100 | 41 |

Tableau 6 : Synthèse de la faune de la cave [24067]

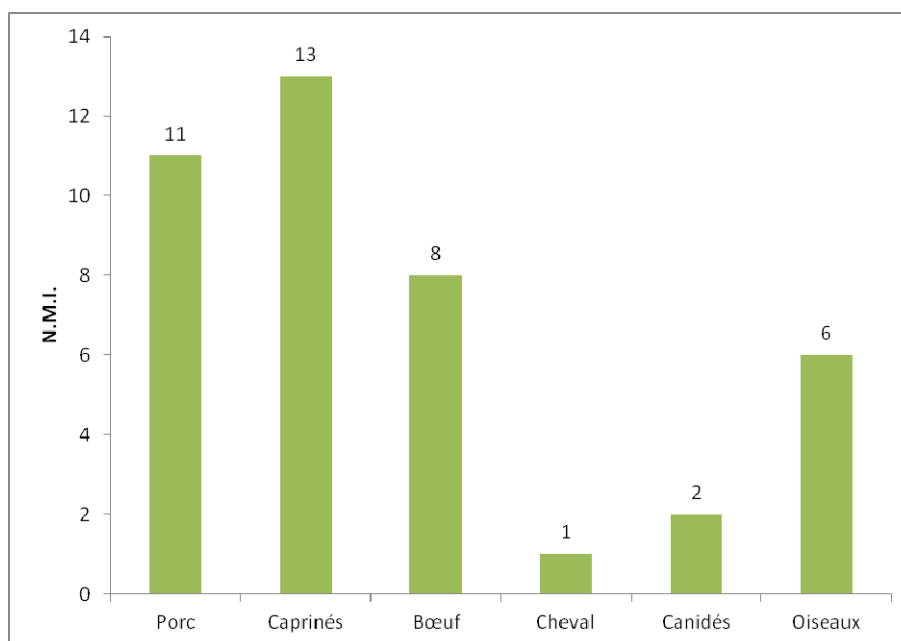


Tableau 7 : Nombres minimums d'individus par espèce de la cave [24067]

Le porc

Le porc est l'espèce la plus importante en termes de nombres de restes, mais ce n'est pas le cas en ce qui concerne le poids des restes et les nombres minimums d'individus. L'espèce regroupe 41% des restes déterminés pour un poids de 632 grammes.

La répartition anatomique des restes nous permet d'obtenir une information importante, qui rend compte de la part très élevée provenant du tronc, de la cuisse et de l'épaule. En effet, en considérant que parmi les 27 restes provenant du tronc 22 sont des côtes, alors la grande majorité des restes proviennent de parties consommables et indiqueraient donc la nature détritique de ceux-ci.

Les traces de découpes présentes sur les os auraient pu nous confirmer cette hypothèse, mais leur nombre trop faible (3 traces recensées) rend la confirmation hasardeuse. Parmi ces traces deux sont des entailles sur les côtes et une correspond à une section d'une vertèbre thoracique. En raison de leur petit nombre, nous avons décidé de ne pas les représenter sur un schéma comme cela a pu être fait auparavant.

Grâce à la fréquence et la latéralité de certains éléments du squelette, nous avons pu obtenir un nombre minimum de 11 individus.

En ce qui concerne l'âge au décès, seulement une mandibule a pu être exploitée par le code Grant⁴¹. Il s'agit d'un individu d'environ un an et demi qui provient d'une des Uf de comblement de l'emmarchement. L'épiphysation des os a, en revanche, fourni un corpus légèrement plus conséquent avec 14 restes exploitables.

On peut noter plusieurs faits. Tout d'abord le groupe regroupant les individus de moins d'un an présente un pourcentage d'épiphysation plutôt élevé contrairement aux groupes regroupant les individus de plus d'un an et celui de plus de trois ans. Néanmoins le groupe qui logiquement devrait présenter le taux d'épiphysation le plus faible, nous indique en réalité le taux d'épiphysation le plus important ; sur les cinq fragments de vertèbres récupérés, trois ont pu être analysés et ils présentent tous des épiphyses soudées. Il faut pourtant relativiser ces informations qui se basent sur un corpus peu exhaustif.

En l'absence de pathologie, et d'étude ostéométrique nous finirons avec la détermination du sexe, qui a été possible sur 5 restes. Il s'agit exclusivement de canines, dont 4 appartiennent à des individus mâles et une à une femelle. Cela converge avec les données relatives au site et aux porcs arvernes en général qui montrent bien souvent un nombre de mâle nettement supérieur à celui des femelles.

Les caprinés

Les caprinés représentent la deuxième espèce pour le nombre de restes dans la cave [24067] en regroupant 34% du faciès général avec 73 restes. Par contre, le poids de ces restes, égal à 399 grammes, placent le capriné au dernier rang de la triade domestique.

Le nombre minimum d'individus de 13 révèle par contre que les caprinés sont plus nombreux que les autres espèces de la cave [24067]. Même si le N.M.I. est une donnée qu'il faut « prendre avec des pincettes », on remarque que dans cette structure aucune espèce de la triade ne se démarquent particulièrement, chacune est plus ou moins importante selon le point de vue adopté.

⁴¹ Grant 1982

En revanche l'étude de la répartition anatomique des ossements de caprinés révèle comme pour le porc la part belle aux régions renvoyant à la consommation (côtes, épaule, cuisse). Au sein du tronc, 17 restes ont été comptabilisés dont 11 sont des côtes. Les os les plus représentés sont le radius et le tibia qui représentent à eux deux près d'un quart des restes de caprinés de la cave [24067].

Au vu de ces résultats, on peut déjà en déduire la probable utilisation des caprinés de la structure étudiée, qui rejoint les résultats obtenus sur le porc de la cave.

En plus de cela, l'unique trace de découpe repérée est une section sur la partie proximale d'un fémur, ce qui correspond aux traces généralement retrouvées sur les os lors de la découpe bouchère pour la consommation du gigot de mouton.

La distinction chèvre/ mouton n'a malheureusement pas pu être effectuée car aucune cheville n'a été étudiée. L'étude ostéométrique a concerné trois restes dont deux calcaneum et une phalange médiane ; cela n'a permis de déterminer aucune distinction de ces deux espèces mais également aucun calcul de hauteur au garrot de ces caprinés.

Le seul élément concret qui a pu être pris en compte dans l'étude est l'âge au décès des individus de cette cave. En revanche le code Grant n'a pas été utilisé puisqu'aucune mandibule n'a été retrouvée avec ses trois molaires. Nous avons donc pris en compte dans le tableau 13 restes dont le stade d'épiphyse est à analyser.

Malgré le corpus relativement faible, on remarque dans un premier temps le haut taux d'épiphyse qui résulte de ces données. En effet, excepté un humérus distal et une vertèbre, tous les autres restes présentent des épiphyses soudées. On peut donc tout même noter la part importante d'individus adultes dans la cave [24067]. Il faudra cependant mettre en avant la présence d'un coxal et d'un sacrum d'au moins un individu immature.

Le bœuf

Le bœuf est l'espèce la moins représentée en termes de nombre de restes (38 restes) et de nombre minimum d'individus (n=8) dans notre cave [24067]. Néanmoins, le poids des restes est largement dominé par le bœuf en regroupant 40% des restes déterminés, soit 724 grammes.

La répartition anatomique du bœuf continu à nous montrer une part importante des régions renvoyant à la consommation. En effet, plus de la moitié des restes sont concernés par cette affirmation, puisque parmi les 13% de restes provenant du tronc, 77% proviennent de côtes. Cependant, contrairement aux autres espèces, ici, la partie correspondant aux extrémités des pattes est nettement plus importante que chez le porc et les caprinés ; cinq de ces restes appartiennent à des métapodes et trois à une phalange, un talus et un calcaneum.

Les traces relevées ici sont au nombre de trois ; il s'agit d'entailles sur les côtes et d'une entaille sur le talus. Les premières correspondant à des traces de couteau pour consommation et la dernière correspondant à une trace probable de découpe primaire⁴².

Outre le stade d'épiphyse de quatre restes, nous n'avons rien pu obtenir de plus des os de bœufs de la cave [24067].

Nous avons donc pu repérer un radius proximal, un métatarse distal, un tibia distal et un calcaneum, qui sont tous épiphysés. Le peu de restes de ce corpus ne nous permet pas de conclure sur la présence plus ou moins importante d'individus adultes, mais l'exclusivité des restes épiphysés peut nous y faire penser.

⁴² Foucras 2011 : p. 117

Les équidés et les canidés

Le nombre de restes relatif aux équidés est relativement faible puisque nous n'en avons qu'un. Il s'agit d'une diaphyse de tibia qui nous donne donc un N.M.I. d'un individu dans cette cave. Aucune traces ou pathologies n'ont été décelées sur ce reste d'équidé.

Quant aux canidés, ils sont représenté par deux restes provenant du crâne, l'un est un os zygomatique gauche et l'autre un éclat d'occipital. Tout comme les équidés aucune informations n'ont pu être rajoutées à notre étude.

Les oiseaux

Les restes d'oiseaux provenant de la cave [24067] sont en termes de nombre plus important que les chevaux et les chiens. Ce corpus contient en effet 10 restes provenant de divers oiseaux (4,8%). Nous avons séparé ces restes en quatre catégories : les poules/coqs, les indéterminés, les gallinacés dont l'appartenance à une espèce précise n'a pas pu être possible, et les perdrix, qui apparaissent au nombre de trois restes dans cette études (un radius, un sternum et un coracoïde).

Les poules et coqs représentent près de la moitié des os d'oiseaux présent ici ; ceci n'est pas forcément étonnant puisqu'il s'agit de la volaille la plus consommée en Gaule⁴³. Les gallinacés indéterminés et les indéterminés en général, regroupent quant à eux ensemble deux restes.

En essayant de déterminer le sexe de ces restes d'oiseaux nous avons découvert la présence d'un ergot sur un des tarso-métatarse de poulets indiquant son appartenance au genre masculin.

En plus de cela nous avons effectué un diagramme permettant de rendre compte de la répartition anatomique des différents oiseaux de la cave [24067].

Les parties consommables représentent près de trois quart des restes d'oiseaux étudiés. Avec les quelques traces de couteau découverte sur un des fémurs de poulet, ces informations continuent à accentuer l'idée que les restes de faune présent dans cette cave proviennent de déchets post-consommation.

Cave [24070]

(I^{er} siècle ap. J.C. – II^e siècle ap. J.C.)

La cave [24070] est la seule des trois structures de cette partie à nous avoir livré moins de cents restes. Les résultats détaillés par unité de fouilles et par espèce nous sont décrit dans des tableaux. Tout comme pour les structures précédentes nous y avons ajouté un tableau synthétisant pour cette cave les résultats fauniques avec des graphiques qui résumant plus facilement ces mêmes résultats.

⁴³ Méniel 2001

| Tableau de synthèse de la faune de la cave [24070] | | | | | | |
|--|----------------------------------|-----------|------------|------------|------------|-----------|
| | | NR | % NR | PR | % PR | NMI |
| Porc | <i>Sus sp.</i> | 45 | 52,3 | 209 | 44,0 | 3 |
| Caprinés | <i>Ovis aries / Capra hircus</i> | 20 | 23,3 | 74 | 15,6 | 2 |
| Bœuf | <i>Bos taurus</i> | 11 | 12,8 | 160 | 33,7 | 2 |
| Chien | <i>Canis sp.</i> | 2 | 2,3 | 23 | 4,8 | 1 |
| Total domestique | | 78 | 90,7 | 466 | 98,1 | 8 |
| Poule / Coq | <i>Gallus gallus</i> | 2 | 2,3 | 1 | 0,2 | 1 |
| Oiseaux Indé. | <i>Aves</i> | 1 | 1,2 | 1 | 0,2 | 1 |
| Gallinacés Indé. | | 2 | 2,3 | 1 | 0,2 | 1 |
| Total oiseaux | | 5 | 5,8 | 3 | 0,6 | 3 |
| Escargots | <i>Gastropoda Pulmonata</i> | 3 | 3,5 | 6 | 1,3 | 3 |
| Déterminés | | 86 | 94,5 | 475 | 98,3 | 14 |
| Indéterminés | | 5 | 5,5 | 8 | 1,7 | |
| TOTAL | | 91 | 100 | 483 | 100 | 14 |

Tableau 8 : Synthèse de la faune de la cave [24070]

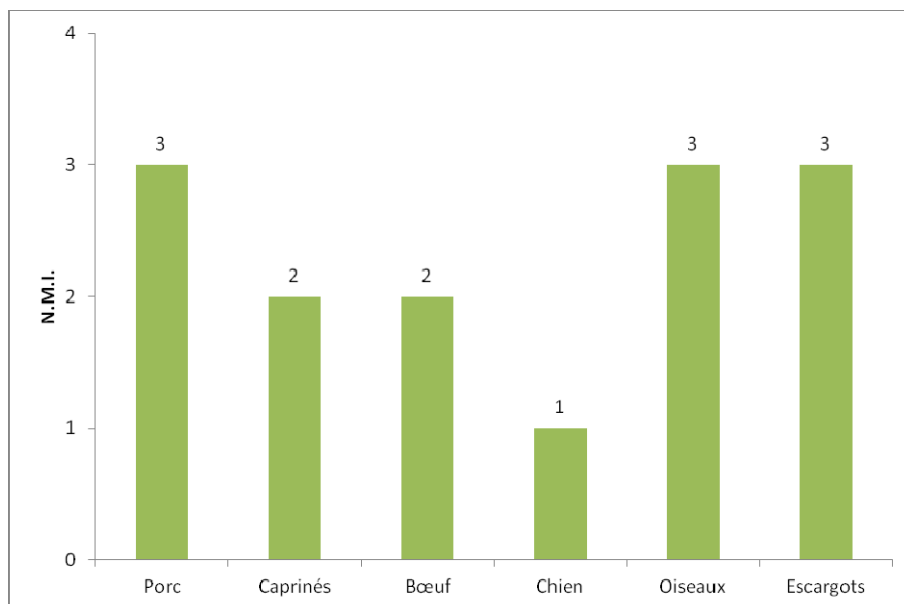


Tableau 9 : Nombres minimums d'individus par espèce de la cave [24070]

Le porc

45 restes représentant 52% de la faune déterminé de cette cave appartiennent à des porcs. Le porc est l'espèce la plus représentée dans cette cave en termes de nombre de restes mais également en termes de poids des restes (209 grammes). Comme pour les autres espèces, le peu de restes provenant de cette cave ne nous permettrons pas d'obtenir beaucoup d'information. Pour cela nous ne présenterons pas de tableaux quantifiant les différents stades d'épiphyse des restes des espèces de cette cave, ni de schéma représentant les traces de découpes puisqu'elles sont trop peu nombreuses ici, et une énumération de celles-ci suffira.

Ici encore, ce sont la cuisse, l'épaule et les côtes qui constituent les régions les plus importantes. Sur les sept restes provenant du tronc, six sont des fragments de côtes. Le fémur constitue l'os long le plus présent dans ce corpus avec 6 restes. Celui-ci nous a permis d'établir un N.M.I. de 3 pour le porc.

Parmi les cinq dents isolées écartées de ce diagramme, l'une est une canine inférieure de porc qui nous permet d'établir la présence d'au moins un individu mâle pour aucune femelle dans ce lot de faune.

Pour la détermination de l'âge au décès des porcs de cette structure, nous n'avons aucune mandibule exploitable par le code Grant, mais une de ces mandibules a pu être attribuée à un individu immature. L'étude des soudures des épiphyses est possible sur seulement deux restes : un sacrum épiphysé et un ulna distal qui lui n'est pas épiphysé.

Les traces de découpes sont au nombre de quatre, une entaille sur une côte, une entaille sur un ulna proximal, une entaille sur un tibia distal et une section sur un sacrum.

Les caprinés

Le poids que représente les caprinés dans notre faciès est égal à 74 grammes, soit 15,6% du poids total. Alors qu'au niveau du nombre de restes, les caprinés regroupent 23% des restes (n=20).

Le nombre minimum d'individus dans ce corpus a été calculé en fonction des radius gauches, il est égal à 2.

La répartition anatomique des caprinés dans cette cave nous montre qu'ici la région des pieds et mains est la plus présente avec 5 restes, dont un métapode, un calcaneum, un talus et deux phalanges. Le tronc regroupe deux côtes, qui associées au 8 restes provenant de l'épaule et la cuisse regroupent près de 65% de restes provenant de parties associées à la consommation.

Parmi ces restes, l'âge au décès d'au moins un individu a pu être identifié grâce à l'étude des stades d'épiphyse des os. Nous avons retrouvé dans ce lot une phalange médiane non-épiphysé qui induit un âge de la mort inférieur ou égal à 6 mois⁴⁴. Nous avons, en plus de cela un reste d'humérus distal épiphysé montrant que l'individu est décédé après 4 mois, il pourrait donc s'agir du même individu que l'immature qui possède la phalange médiane ou un tout simplement un autre capriné.

Aucunes traces, ou pathologies n'ont été décelées dans ce corpus, et aucune mesure n'a pu être prise.

⁴⁴ Barone 2010 : p.76

Le bœuf

Le bœuf représente 11 restes, soit 13% du total des os de ce faciès et se place en troisième place des espèces présentes dans la cave [24070]. Par contre, le poids des restes de bœuf qui est équivalent à 33% du poids total est égal à 160 grammes.

En raison du faible nombre de restes la répartition anatomique des restes de bœuf ne paraît pas forcément éloquent.

D'après ce diagramme, le tronc et les extrémités sont les parties les plus représentées ; dans la première partie, nous avons 2 côtes pour 1 vertèbre, alors que dans la seconde nous possédons 3 métapodes. L'épaule est représentée par deux restes d'humérus de même latéralité. Nous avons pu obtenir d'après cela un minimum de deux individus.

Le N.M.I. des bœufs de cette cave aurait pu être calculé d'une seconde façon puisque parmi les métapodes recueillis l'un est épiphysé un autre ne l'est pas. Indiquant deux individus d'âges différents.

Les canidés

Au nombre de deux, les restes de canidés représentent 2% de la faune déterminée pour un poids total de 23 grammes (4,8%). Les deux restes dont il est question, nous donnent un nombre d'individu minimum d'1, puisqu'il s'agit d'un morceau de vertèbre cervicale et d'un tibia proximal, qui est d'ailleurs épiphysé. Cet individu aurait donc plus de 10 mois⁴⁵.

Les oiseaux

La faune correspondant aux oiseaux représente 6% des restes déterminés et 0,6% du poids total de ces restes. Nous avons pu distinguer trois catégories : les poules /coqs, les gallinacés indéterminés et les indéterminés.

Les gallinacés (poules et gallinacés indéterminés) représentent 80% des restes de ce corpus (n=4). Ces quatre restes et celui appartenant à un oiseau indéterminé ont pu être répartis anatomiquement en deux parties : l'aile et la cuisse. Trois des quatre restes de gallinacés provenaient de la cuisse et le reste d'oiseau indéterminé provenait de l'aile, permettant d'obtenir un diagramme.

Les os d'oiseaux retrouvés dans cette cave renvoient sûrement, comme la plupart des restes fauniques de la structure, à des rejets de consommation.

Cave [25108]

(I^{er} siècle ap. J.C. – II^e siècle ap. J.C.)

La cave qui suit nous présente le lot le plus important de faune de ces trois structures avec ses 477 restes pour le poids total de 6,189 kilogrammes.

Comme précédemment les résultats seront d'abord présentés de manière générale à travers les tableaux et graphiques qui suivent, puis espèce par espèce pour avoir une idée plus précise de l'utilisation et de la représentation de chacune de ces espèces.

⁴⁵ Barone 2010 : p.76

| Tableau de synthèse de la faune de la cave [25108] | | | | | | |
|--|----------------------------------|------------|------------|-------------|------------|-----------|
| | | NR | % NR | PR | % PR | NMI |
| Porc | <i>Sus sp.</i> | 208 | 50,2 | 2609 | 44,0 | 16 |
| Caprinés | <i>Ovis aries / Capra hircus</i> | 129 | 31,2 | 1057 | 17,8 | 8 |
| Bœuf | <i>Bos taurus</i> | 71 | 17,1 | 2125 | 35,9 | 6 |
| Cheval | <i>Equus caballus</i> | 1 | 0,2 | 83 | 1,4 | 1 |
| Total domestique | | | | | | |
| | | 409 | 98,8 | 5874 | 99,1 | 31 |
| Sanglier | <i>Sus scrofa</i> | 1 | 0,2 | 36 | 0,6 | 1 |
| Total Sauvage | | | | | | |
| | | 1 | 0,2 | 36 | 0,6 | 1 |
| Poule / Coq | <i>Gallus gallus</i> | 3 | 0,7 | 3 | 0,1 | 2 |
| Total oiseaux | | | | | | |
| | | 3 | 0,7 | 3 | 0,1 | 2 |
| Bivalve | | | | | | |
| | | 1 | 0,2 | 13 | 0,2 | 1 |
| déterminés | | 414 | 86,8 | 5926 | 95,8 | 35 |
| indéterminés | | 63 | 13,2 | 263 | 4,2 | |
| TOTAL | | 477 | 100 | 6189 | 100 | 35 |

Tableau 8 : Synthèse de la faune de la cave [25108]

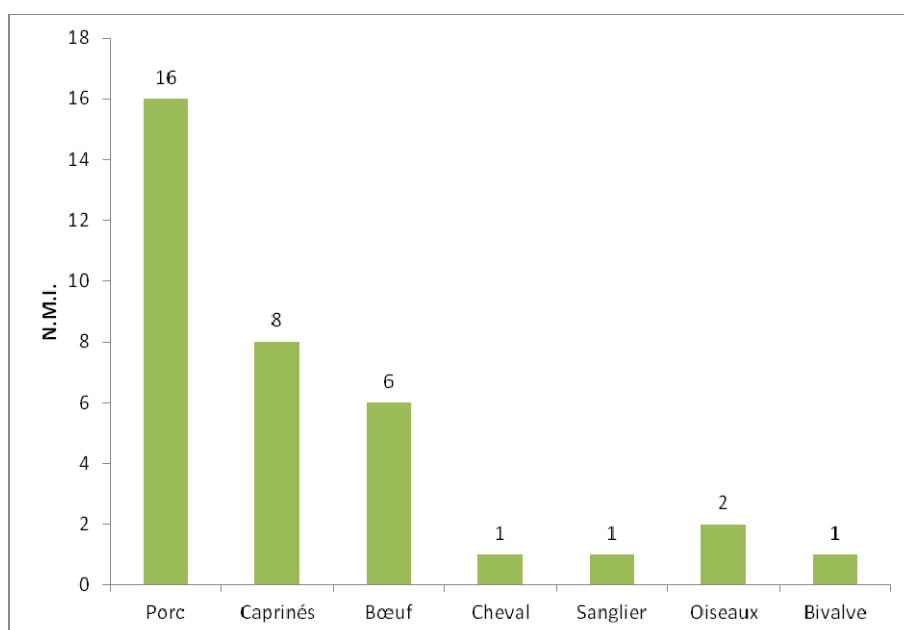


Tableau 9 : Nombres minimums d'individus par espèce de la cave [25108]

Le porc

Le porc est encore l'espèce la plus importante en termes de nombres de restes (n=208), mais également aussi en termes de poids des restes (2,609 kilogrammes). Il représente près de 44% du poids total des restes de la cave [25108] et constitue 50% des restes de cette même cave.

La répartition anatomique des restes de porc, nous permet de voir qu'encore une fois c'est le tronc qui est le plus largement représenté (33%) dont 58 des 64 restes sont des côtes. Au second plan, nous avons l'épaule et la cuisse qui sont réparties de manière presque similaire. En effet, derrière les côtes, c'est le tibia qui est l'os le plus représenté par le biais de 26 restes et l'humérus avec ses 14 restes. Ensuite au niveau de la tête c'est, outre quelques morceaux de crânes et de maxillaires, surtout des éclats de mandibules qui ne permettront pas, même après recollage, d'obtenir beaucoup d'information à leurs sujets.

Le nombre minimum d'individus pour le porc a pu être établi grâce à la fréquence de la latéralité de l'os long le plus représenté de notre lot. Nous sommes parvenu au nombre de 16 individus minimum.

La détermination de l'âge de la mort fut possible à l'aide du code Grant⁴⁶ sur une seule mandibule, appartenant donc à un individu d'environ 6 ans. En revanche l'analyse des os a révélé la présence d'une seconde mandibule appartenant à un individu immature mais dont l'âge n'a pas pu être précisé. Nous avons également décelé parmi nos restes un tibia gauche appartenant à un individu périnatal.

L'analyse des soudures⁴⁷ d'épiphyse a porté sur 34 restes. On remarque tout de suite deux traits ; le premier rend compte de l'absence d'individus de moins d'un an et le second, c'est l'absence également d'individus de plus de 3 ans. Malgré le peu de restes utilisés il paraît évident qu'une certaine classe d'âge (1-2ans) semble plus représentée dans notre lot. Encore une fois le corpus n'étant pas très conséquent nous préférons ne pas trop nous avancer sur cette hypothèse.

La détermination du sexe a été effectuée, de la même manière que pour les précédentes caves, au moyen des canines. Huit restes ont été identifiables et parmi ceux-ci six sont d'appartenance masculine et deux proviennent d'individus femelles. Comme précédemment lorsque l'étude en donnait la possibilité, nous voyons que les verrats sont nettement supérieurs aux femelles.

L'étude ostéologique qui a été produite, n'a pas donné beaucoup de résultat, puisqu'elle s'est faite sur trop peu de restes (un talus, une phalange proximale, une phalange médiane et une phalange distale), qui plus est ne nous permet pas de calculer la hauteur au garrot du porc.

Aux vues du peu de traces présentes nous avons préféré les énumérer plutôt que de les schématiser. Trois entailles ont été recensées, une sur une côte, une deuxième sur un humérus distal et une dernière sur une scapula distale. Les trois pourraient résulter de découpe au couteau lors de la découpe secondaire⁴⁸, en vue d'une consommation. Les trois dernières traces découvertes sont des marques de flammes sur des incisives et sur une canine inférieure de mâle, résultant probablement de la cuisson.

⁴⁶ Grant 1982

⁴⁷ Barone 2010 : p. 76

⁴⁸ Foucras 2011 : p. 121

Les caprinés

Le nombre de restes de caprinés (n=129), comme souvent en contexte domestique, est situé en deuxième place au sein des restes de la triade domestique (31%). Par contre, leur poids de 1,057 kilogramme est bien moins important que celui des restes de bœufs qui les surpassent donc sur ce point.

Les différents restes de ces caprinés ont été répartis anatomiquement dans un diagramme. On remarque la part encore importante de fragments appartenant au tronc, dont 31 sur les 38 appartiennent à des côtes. La deuxième région représentée de manière importante est la tête, mais cela est surtout dû aux nombreux éclats de mandibules, qui ont forcément fait gonfler le nombre de restes de cette région anatomique. En termes d'os long, c'est le tibia qui est encore une fois le reste le plus régulier (n=12) ; mais les métapodes, regroupant métacarpes, métatarses et métapodes non identifiés, sont tout de même largement présent avec 15 des restes du corpus. Mais d'une manière générale, il ressort surtout de ce diagramme que les différentes régions anatomiques semblent assez équitablement partagées.

A l'aide de ces restes, nous avons pu dégager un nombre minimum d'individus de 8 pour les caprinés de cette cave [25108]. La distinction entre moutons et chèvres n'a pas été possible dans le cadre de ce lot de faune en l'absence de caractères distinctifs. En revanche grâce à l'étude ostéométrique, une des phalanges proximale de capriné a pu être mesurée et en associant la longueur totale (GL) de celle-ci au diamètre de son épiphyse proximale (Dp) nous avons pu l'insérer dans le graphique effectué par S. Foucras⁴⁹ pour découvrir qu'il s'agit probablement d'une phalange de mouton (GL= 37,3mm ; Dp= 12.9mm).

En ce qui concerne l'âge au décès de nos caprinés nous avons pu nous servir du code Grant⁵⁰ pour deux de nos mandibules nous offrant des individus âgés de 3 et 4 ans. L'étude des différentes soudures des épiphyses nous montre des résultats quelque peu ressemblant.

En effet selon ces résultats, basés sur 19 restes, aucuns individus n'auraient moins de 10 mois et seulement deux restes appartiendraient à des individus de moins d'un an. Ce tableau nous indique surtout le haut taux d'épiphyse obtenus à l'aide d'une vingtaine de restes seulement.

L'étude ostéométrique a été utile pour la phalange proximale étudiée précédemment mais elle a également permis la détermination de la hauteur au garrot d'un individu à l'aide d'un métatarse entier et du coefficient de Teichert⁵¹. La taille de cet individu serait de 0,57 mètre, soit dans la même moyenne que celle des caprinés étudiés dans la cave [25334], et donc en dessous de la moyenne régionale de 0,62 mètre, établie pour le 1er siècle av. J.C.⁵²

Pour finir, les traces recueillies sur les restes de caprinés de la cave [25108] sont assez peu nombreuses (n=4) et sont exclusivement des entailles. Elles sont situées sur le coxal, une lombaire et une côte.

Aucune pathologie n'a été révélée.

⁴⁹ Foucras 2011 : p.68.

⁵⁰ Grant 1982

⁵¹ Teichert 1975

⁵² Foucras 2011 : p. 71-72.

Le bœuf

Le bœuf est l'espèce la moins représentée de la triade domestique en termes de nombre de restes (n=31). Mais constitue l'espèce la plus importante, après le porc au niveau du poids de ses restes avec 2,125 kilogrammes (soit 36% du poids total).

La partie anatomique la plus représentée reste encore le tronc, en raison du nombre important de côtes (n=16). Pour le reste des régions elles sont présentes de manière équivalente, avec tout de même une légère prédominance des restes provenant de la cuisse (fémur, tibia, et coxal).

La fréquence de latéralité de certains os nous ont permis d'obtenir ici un N.M.I. de 6 individus.

Le peu de restes permettant une étude des soudures de l'épiphyse ne nous a pas permis d'établir un tableau récapitulatif mais on notera que parmi ces cinq restes, quatre d'entre eux sont épiphysés (scapula distale, radius proximal, tibia distal et sacrum) et le seul qui ne l'est pas est une vertèbre thoracique qui présente une soudure de l'épiphyse très tardive (4 ans et demi- 7ans). En résumé, malgré le nombre réduit de restes utilisés pour l'estimation des âges au décès, nous pouvons voir la part d'individus adultes qui semble être majoritaire.

Les traces décelées ici correspondent à deux sections sur deux talus différents, une entaille sur un métatarse et une seconde entaille sur une côte.

Les équidés, la faune sauvage et les oiseaux

Les équidés représentent dans notre corpus 1,4% du poids total, soit 83 grammes pour un reste. Ce reste qui s'avère être un tibia distal épiphysé et donc nous donne un âge minimum de 17 mois à notre unique individu provenant de la cave [25108].

Quant à la faune sauvage, elle est représentée également par un tibia distal épiphysé de 36 grammes, appartenant à un sanglier. L'association de ce reste à la famille des suidés a été plutôt facile en raison de sa morphologie, mais c'est ses dimensions qui nous ont permis, après comparaison, d'attribuer ce tibia à un sanglier plutôt qu'un porc.

Les oiseaux sont eux présents au moyen de trois restes d'un gramme chacun, appartenant tous à des poules ou coqs ; deux de ces restes font partie de la cuisse et le dernier provient de l'aile. Malgré le peu de restes nous avons tout de même pu attribuer le sexe d'au moins l'un d'entre eux ; il s'agit d'un tarso-métatarse qui ne présente pas d'ergot et qui de ce fait est un individu de genre féminin.

Malacologie

Dans toute la faune étudiée ici, nous avons trouvé un reste de 13 grammes appartenant à un coquillage, un bivalve qui s'avère être sûrement une amande ou une palourde. Aucune trace de perforation n'a été décelée dessus et cela nous tend à penser qu'il s'agit d'un déchet d'un repas à base de crustacé.



Figure 8 : Eclat de coquille de bivalve provenant de la cave [25108]

Cave [24059] (II^e siècle ap. J.C.)

Cette dernière cave étudiée a été séparé des autres par soucis de chronologie, puisqu'elle est selon toute vraisemblance datée du II^eme siècle de notre ère. Comme précédemment, après avoir présenté nos tableaux détaillés et nos graphiques, nous analyserons les 484 restes de cette structure et ses 3,059 kilogrammes espèce par espèce.

| Tableau de synthèse de la faune de la cave [24059] | | | | | | |
|--|----------------------------------|------------|------------|-------------|------------|-----------|
| | | NR | % NR | PR | % PR | NMI |
| Porc | <i>Sus sp.</i> | 149 | 34,3 | 902 | 30,3 | 15 |
| Caprinés | <i>Ovis aries / Capra hircus</i> | 91 | 20,9 | 419 | 14,1 | 14 |
| Bœuf | <i>Bos taurus</i> | 118 | 27,1 | 1611 | 54,1 | 10 |
| Chien | <i>Canis sp.</i> | 8 | 1,8 | 21 | 0,7 | 1 |
| Total domestique | | 839 | 84,1 | 6610 | 99,1 | 40 |
| Poule / Coq | <i>Gallus gallus</i> | 20 | 4,6 | 8 | 0,3 | 4 |
| Canard | <i>Anas</i> | 1 | 0,2 | 1 | 0,03 | 1 |
| Passereau | <i>Passer</i> | 2 | 0,5 | 1 | 0,03 | 1 |
| Perdrix | <i>Perdix Perdix</i> | 1 | 0,2 | 1 | 0,03 | 1 |
| Oiseaux Indé. | <i>Aves</i> | 16 | 3,7 | 5 | 0,2 | 3 |
| Gallinacés Indé. | | 20 | 4,6 | 8 | 0,3 | 3 |
| Total oiseaux | | 60 | 13,8 | 24 | 0,8 | 13 |
| Souris / Rat | <i>Rodentia</i> | 3 | 0,7 | 1 | 0,03 | 1 |
| Grenouille | <i>Anoura</i> | 5 | 1,1 | 1 | 0,03 | 1 |
| Total sauvage | | 8 | 1,8 | 2 | 0,07 | 2 |
| Ichtyo-faune | | 1 | 0,2 | 1 | 0,03 | 1 |
| déterminés | | 435 | 89,9 | 2980 | 97,1 | 56 |
| indéterminés | | 49 | 10,1 | 89 | 2,9 | |
| TOTAL | | 484 | 100 | 3069 | 100 | 56 |

Tableau 10 : Synthèse de la faune de la cave [24059]

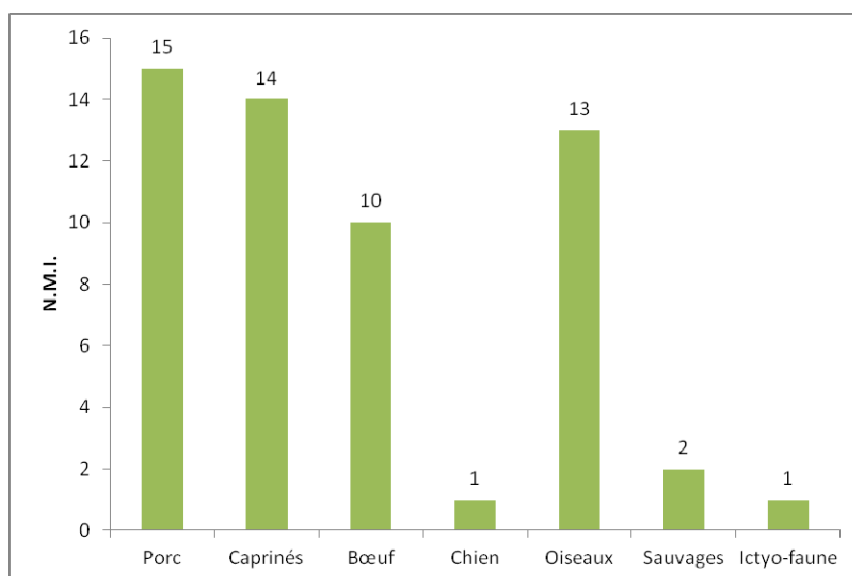


Tableau 11 : Nombres minimums d'individus par espèce de la cave [24059]

Le porc

Le porc de cette structure représente près de 34 % des restes du faciès avec 149 fragments osseux, et occupe donc encore la place principale en nombre de restes déterminés. Mais il est détrôné par le poids des restes de bœuf, puisqu'il n'occupe que 30% du poids total de la faune de la cave [24059].

De manière générale, la répartition anatomique du porc n'est pas bien différente ici et dans les autres caves étudiées.

En effet ce sont toujours les trois mêmes régions qui sont le mieux représentées : le tronc avec 34 côtes sur 36 restes, la cuisse avec ses 15 restes de fémur, 8 tibias, 5 fibula et 4 fragments de coxal, et l'épaule avec ses 17 restes d'humérus, 5 scapulas, 2 radius et 4 ulna. Notons aussi la présence de 18 métapodes qui permettent de monter la représentation des extrémités à 18%.

Le nombre minimum d'individus a été calculé à 15 pour notre lot de faune provenant de la cave [24059] et son emmarchement.

La détermination du sexe a, comme à son habitude été possible grâce aux canines. Ici, sur les six restes, quatre sont issus de verrats et deux proviennent de truies.

L'âge au décès

L'étude des mandibules avec le code Grant n'ayant été concluante que sur un individu âgé d'environ un an. Nous avons donc dû établir un tableau regroupant les différents stades d'épiphyse des os de porc sur 28 restes de la cave [24059].

Les résultats de ce tableau indiquent qu'une grande majorité des restes appartiennent à des individus de plus d'un an, mais nous remarquons également que très peu de ces restes appartiennent à des individus de plus de trois ans. En effet le pourcentage d'épiphyse des groupes 2 et 3 est respectivement de 26,7% et 16,7%. Ceci jumelé au résultat de la mandibule précédente, nous pouvons peut-être penser que les porcs présents dans cette cave sont pour la plupart des individus plutôt jeunes. Pour compléter notre réflexion ajoutons également une incisive déciduale de porc retrouvé dans notre corpus, renforçant notre hypothèse d'un faciès porcin plutôt jeune.

Les traces et pathologies

Nous n'avons récupéré sur la totalité de nos restes de porc que cinq traces. L'une d'entre elles est une trace de flamme sur une canine inférieure de mâle ; les autres sont des entailles localisées sur la diaphyse d'un fémur, la diaphyse d'un humérus, un humérus distal et sur une côte. Toutes ces traces relèvent encore une fois plutôt de la consommation. Nous n'avons trouvé aucune pathologie sur ces os.

Les caprinés

Dans cette cave, l'espèce la moins représentée de la triade domestique, regroupe 21% des restes déterminés (n=91), pour un poids total de 419 grammes (soit 14% du poids des restes total).

Le peu de restes représenté ici n'induit pas forcément un nombre moins élevé de caprinés puisque nous avons tout de même calculé un minimum de 14 individus, soit 4 de plus que pour le bœuf et seulement un de moins que le porc.

La répartition anatomique des restes nous schématise la part encore importante que représente le tronc, avec ses 21 côtes et ses 6 vertèbres. L'épaule est la deuxième partie le mieux représentée avec

notamment une forte concentration d'humérus. En ce qui concerne la cuisse, la tête et les extrémités des membres, ils sont représentés ici de manière équivalente.

Parmi les restes nous pourrions tout de même noter la présence de 24 dents isolées de cette répartition pour éviter de fausser les résultats.

Les vertèbres nous ont également apporté une information supplémentaire : un atlas entier nous a permis de distinguer un individu ovin au sein de ce corpus (Barone 2010 : p. 339).

L'âge au décès

En l'absence de mandibule étudiable par le biais du code Grant, nous avons tout de même pu attribuer une mandibule à un individu juvénile et deux autres à des immatures. Pour le reste de l'estimation nous nous référerons au tableau dressé pour l'occasion. Nous pouvons observer un taux d'épiphyse élevé pour la plupart des groupes, mais ces résultats ne regroupant que 9 restes, ils rendent toutes hypothèses trop hasardeuses.

Les traces et pathologies

Aucunes pathologies n'ont été décelées dans ce corpus. En revanche, nous avons pu dénombrer deux traces ; l'une des traces est une entaille sur un métacarpe, et l'autre une section horizontale d'un atlas.

Le bœuf

Le bœuf est la deuxième espèce en termes de nombre de restes en regroupant près de 27% de la faune déterminée dans la cave [25059] (n=118). Le poids total de ces ossements de bœuf est équivalent à 1,611 kilogrammes soit 54% du poids total de la faune provenant de notre structure.

Comme pour les autres espèces, c'est les côtes qui sont le plus représentées avec près de 44 restes (41%). Pour le reste des autres régions anatomiques, elles s'équilibrent à peu près toutes, montrant tout de même une légère prédominance des restes provenant de l'épaule. Elle regroupe à elle seule 19 restes.

Comme nous l'avons expliqué précédemment le nombre minimum d'individus obtenus à partir de ces données pour le bœuf est de 10. Cependant au sein de ceux-ci nous n'avons pas pu distinguer une quelconque dissociation sexuelle.

L'âge au décès

N'ayant aucune mandibule à exploiter au moyen du code Grant, nous nous intéresserons dans un premier aux soudures des épiphyses des os de notre corpus.

Les 12 restes concernés par ce tableau nous permettent dans un premier temps, de percevoir un taux d'épiphyse plutôt élevé pour les restes provenant du groupe des 6 à 18 mois et un taux bien plus bas pour le groupe suivant (18-36 mois). Cependant on remarque que les restes provenant du dernier groupe (36-48 mois) sont quant à eux tous épiphysés. En réalité ce tableau ne nous permet pas d'établir une certaine tendance entre individus jeunes et adultes, mais grâce aux restes qui vont suivre nous savons que l'on possède au moins un individu périnatal.

En effet, nous avons découvert dans l'Uf correspondant au niveau de sol, 7 restes appartenant à des périnataux : un fragment de coxal, un radius proximal, une épiphyse proximale de phalange supérieure, un fémur proximal, un radius entier, un métacarpe entier et un métatarse entier. Sur les trois derniers restes, nous avons pu proposer, grâce à leur taille, un âge approximatif (Prummel

1987) : le radius est daté d'environ 220 jours après conception, le métacarpe de 210 jours après conception et le métatarse d'au moins 195 jours après conception.

Les traces

Une trace de découpe a pu être comptabilisée pour le bœuf de la cave [24059] et il s'agit d'une entaille sur la partie proximale d'une phalange proximale.

Les canidés, la faune sauvage et l'ichtyo-faune

Tout d'abord concernant les restes de canidés, ils ne pèsent que 21 grammes, soit 0,7% du poids total. Les 7 restes sont épiphysés et regroupe quatre phalanges proximale et trois vertèbres lombaires. Aucune trace n'y a été décelée.

La faune « sauvage » regroupe deux espèces : les souris et les grenouilles récupérés après tamisage du niveau de sol de la cave. La grenouille est représentée par cinq restes provenant du crâne, du bassin, des pattes arrière et avant. La souris est représentée par trois restes provenant de l'épaule et la patte arrière. A eux deux ils regroupent 0,07% du poids total des restes de la cave [24059].

L'ichtyo-faune est représenté ici par la présence d'une vertèbre de poisson indéterminé retrouvé également par tamisage du niveau de sol ; il s'agit vraisemblablement d'une vertèbre lombaire mais nous n'avons pas plus d'informations sur sa spécification précise. En revanche elle nous indique la présence de poisson dans l'alimentation au II^e siècle.

Les oiseaux

La diversification des espèces d'oiseaux est beaucoup plus importante dans cette structure. En plus des poules/coqs, gallinacés indéterminés et des oiseaux indéterminés, nous pouvons ajouter la présence de deux restes de passereau (radius et ulna), d'un reste de canard et d'un reste de perdrix (il s'agit de coracoïde pour les deux).

Aucune trace de découpe n'a été trouvée et aucun dimorphisme sexuel n'a été possible. En revanche concernant la répartition anatomique de ces espèces, là encore, les parties relatives à la consommation sont bien plus représentées.

Citernes [24145] et [25333] (II^e s. apr. J.-C.)

Les parties qui suivent vont dès à présent traitées des structures romaines de nature hydraulique découvertes en 2014 et 2015. Parmi celles-ci nous avons récupéré de la faune dans les deux citernes datées du II^e siècle de notre ère, dans le bassin maçonné découvert en 2014 et une latrine tous deux datés de la fin du I^{er} siècle ap. J.C.

Cette première partie traitera dans un premier temps des deux citernes qui dans les tableaux de faunes ont été rassemblée en raison du peu de faune récupéré dans la structure [24145].

Elles regroupent au total près de 304 restes pour un poids de 3,522 kilogrammes. Les tableaux qui suivent traitent en détail le nombre de restes livré et leur poids.

| Tableau de synthèse de la faune des citernes [24145] et [25333] | | | | | | |
|---|----------------------------------|------------|------------|-------------|------------|-----------|
| | | NR | % NR | PR | % PR | NMI |
| Porc | <i>Sus sp.</i> | 111 | 40,1 | 1070 | 31,3 | 17 |
| Caprinés | <i>Ovis aries / Capra hircus</i> | 81 | 29,2 | 630 | 18,4 | 13 |
| Bœuf | <i>Bos taurus</i> | 79 | 28,5 | 1683 | 49,2 | 10 |
| Cheval | <i>Equus caballus</i> | 2 | 0,7 | 30 | 0,9 | 1 |
| Chien | <i>Canis sp.</i> | 1 | 0,4 | 8 | 0,2 | 1 |
| Total domestique | | 274 | 98,9 | 3421 | 99,9 | 43 |
| Poule / Coq | <i>Gallus gallus</i> | 2 | 0,7 | 2 | 0,06 | 1 |
| Oiseaux Indé. | <i>Aves</i> | 1 | 0,4 | 1 | 0,03 | 1 |
| Total oiseaux | | 3 | 1,1 | 3 | 0,09 | 2 |
| déterminés | | 277 | 91,1 | 3424 | 97,2 | 45 |
| indéterminés | | 27 | 8,9 | 98 | 2,8 | |
| TOTAL | | 304 | 100 | 3522 | 100 | 45 |

Tableau 12 : Synthèse de la faune des citernes [24145] et [25333]

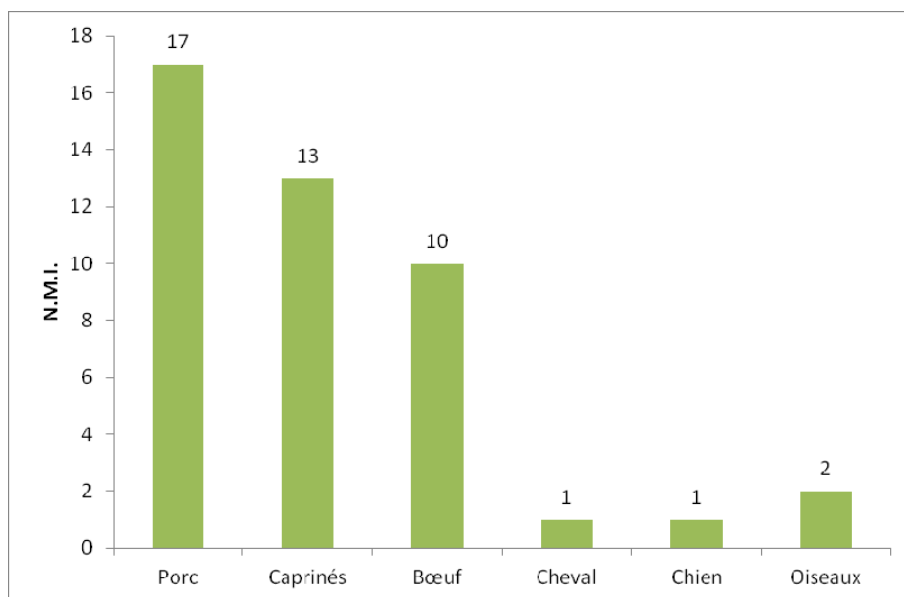


Tableau 13 : Nombres minimums d'individus par espèce des citernes [24145] et [25333]

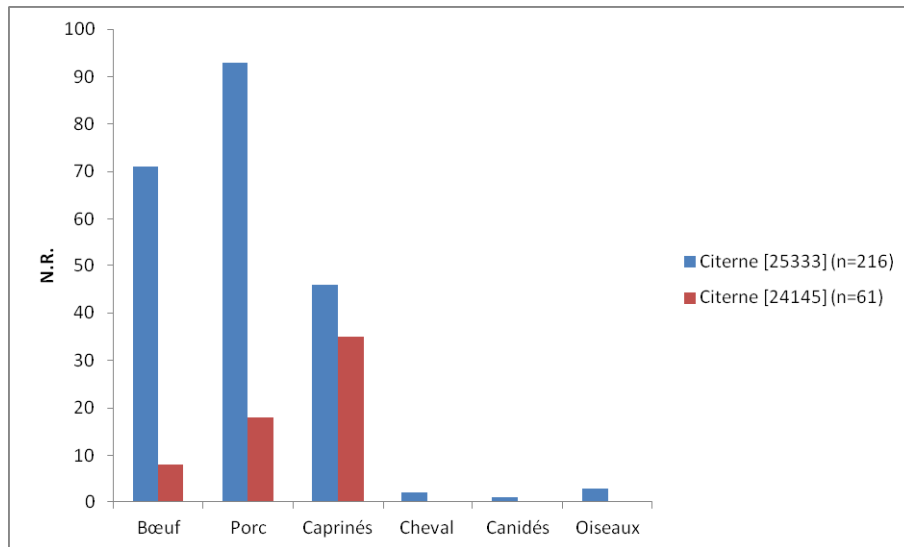


Tableau 14 : Comparatif du nombre de restes des citernes [24145] et [25333]

Le porc

Le porc constitue 40% des restes des citernes (n=111) et se place en tête des espèces représentées. Leur poids avoisine 1,07 kilogramme, représentant 31% du poids total de la faune des citernes soit 18% de moins que ce que représente le bœuf dans ce corpus.

La répartition des restes par région anatomique démontre l'importance quasi-équivalente des côtes (n=19), de la cuisse (n=23) et l'épaule (n=26). La région de la tête et les extrémités sont, en revanche, bien moins présentes.

Le calcul du N.M.I. a été effectué en fonction de la récurrence de certains ossements dans chacune des structures permettant d'obtenir un nombre minimum de 14 pour la citerne [25333] et un minimum de 3 pour la seconde citerne.

L'étude ostéométrique a quant à elle révélé la présence d'un métatarse permettant le calcul de hauteur au garrot⁵³ pour un individu ; sa hauteur calculée de 0,74 mètre coïncide avec la moyenne calculée pour la cave [25334] qui était de 0,75 mètre.

L'âge au décès

En l'absence de mandibule complète nous nous intéresserons directement aux soudures des épiphyses.

Les 21 restes utilisés proviennent presque exclusivement de la citerne [25333] (hormis une scapula distale non épiphysée). Près de la moitié des restes provenant du groupe 1 ne sont pas épiphysés ; en revanche près des trois quarts des restes du deuxième sont épiphysés et le dernier groupe montre la même tendance mais à l'envers. D'après ce tableau la plupart des restes appartiendraient à des individus de moins de trois ans, mais encore une fois le nombre relativement faible de ces restes rend toute hypothèse discutable.

Néanmoins nous noterons la présence de deux restes (un humérus et un radius) appartenant à un individu périnatal.

⁵³ Teichert 1969

Les traces

Elles concernent huit restes ; six proviennent de la citerne [25333] et deux de la citerne [24145]. Dans la première structure, nous n'avons que des traces de flammes (canine, humérus, radius, coxal, et maxillaire) et même un fémur carbonisé. Dans la deuxième citerne, nous avons une trace de flamme sur une côte et un humérus sectionné à la verticale.

Ces diverses traces montrent principalement des brûlures dues à la cuisson nous permettant d'interpréter nos restes comme des rejets de consommation.

Les caprinés

Les caprinés sont représentés par 46 restes ; ils sont l'espèce la moins bien représentée de la triade domestique (29% de N.R. et 18% de P.R.). Cependant si l'on dissocie les structures, nous pouvons remarquer que les caprinés constituent l'espèce la plus importante en termes de nombre de restes dans la citerne [24145].

Quant à sa répartition anatomique, on remarque tout de suite la prédominance des restes provenant de l'épaule (n=24). La tête, le tronc, et la cuisse représentent quasiment le même pourcentage, mais les extrémités sont bien moins représentées avec seulement 8 restes.

Le N.M.I. de ces deux structures a été additionné regroupant 13 individus, 10 venant de la citerne [25333] et 3 provenant de la citerne [24145].

Parmi ces restes une cheville osseuse a rendu la distinction ovins / caprins possible, en attribuant ce reste à une chèvre.

Grâce à l'étude ostéométrique, nous avons pu mesurer deux restes provenant tous deux de la citerne [24145]. Le premier est une phalange proximale, qui en associant sa longueur totale (GL) au diamètre de son épiphyse proximale (Dp) nous a permis de distinguer un individu ovins dans notre corpus⁵⁴ (GL=34,3mm ; Dp=11,6mm). Le deuxième reste est un métacarpe qui en associant sa longueur totale au coefficient fourni par Teichert⁵⁵, nous offre une hauteur au garrot de 0,64 mètre ; cette taille est légèrement supérieure à la moyenne de hauteur au garrot des individus de la fin du I^{er} siècle de notre ère - début du II^{ème} siècle de notre ère qui est de 0,63 mètre⁵⁶.

L'âge au décès

Deux faits sont à voir dans ce corpus ; tout d'abord il s'agit de regarder la soudure des épiphyses des 14 restes provenant de nos structures.

Nous pourrions remarquer le faible taux de restes appartenant à des individus de moins de 6 mois ; mais pour les autres catégories il semble que les individus non épiphysés soit majoritaires. Ajoutons à cela, deux mandibules qui semblent appartenir à des individus immatures.

L'ensemble de faune correspondant aux caprinés des deux citernes tendent à nous faire penser qu'une majorité de ses individus peuvent être considérés comme immatures.

De plus dans la citerne [24145] dans le niveau de comblement inférieur, a été retrouvé 22 restes d'un capriné immature correspondant au minimum à un individu. Parmi ces os, un atlas, un axis, une vertèbre cervicale, une vertèbre thoracique, trois vertèbres lombaires, un éclat de la partie occipital du crâne, les deux mandibules, une scapula distale, un humérus, un radius, un ulna, un métacarpe,

⁵⁴ Foucras 2011 : p.68.

⁵⁵ Teichert 1975

⁵⁶ Foucras 2011 :p. 71

deux fragments de coxal, un fémur, les deux tibias, et les deux métatarses. Aucune trace sur les os n'indique une quelconque utilisation. Il est alors légitime de se demander pour quelle raison est-il là ? S'agit d'une mort prématurée durant la phase d'abandon de la citerne résultant ainsi sur son rejet dans le puit en cours de comblement, ou s'agit-il d'un dépôt intentionnel, puisque rappelons-le, le mouton est régulièrement utilisé dans le cadre rituel⁵⁷.

Les traces

Nous avons dénombrés trois traces de découpe, toutes provenant de restes de la citerne [25333], regroupées sur les radius ou les côtes.

Le bœuf

Il est présent dans ces structures au nombre de 79 restes, soit 28,5% de la faune étudiée ici ; le poids qu'il égale équivaut au poids de restes le plus conséquent de la triade domestique en regroupant près de 49% du poids total (1,683 kilogramme).

Le N.M.I. correspondant aux deux structures est équivalent à 10 individus, dont 9 sont issus de la citerne [25333] et 1 de la citerne [24145].

La répartition des restes par région anatomique nous indique la forte représentation du tronc et des extrémités ; neuf restes proviennent de métapodes et treize de phalanges, talus, os du tarse et du carpe. Le tronc quant à lui regroupe seize côtes et six vertèbres.

Les parties de l'épaule et la cuisse, reste néanmoins bien présents contrairement aux restes provenant de la tête qui est largement mineur dans ce corpus. Précisons qu'aucune dent isolée n'a été trouvée dans les lots de faune de ces deux structures.

L'âge au décès

L'étude permettant la détermination de l'âge de la mort n'a pas pu s'aider du code Grant en l'absence de mandibule complète.

Aucun os isolé n'a présenté d'appartenance à une quelconque classe d'âge.

Cependant une analyse des stades d'épiphyse sur treize restes a été effectuée à l'aide d'un tableau. Il en ressort plusieurs éléments ; aucun reste appartenant à des individus de moins de 6 mois n'a été trouvé, et la moitié des restes étudiés ci-dessous sont épiphysés alors que l'autre ne l'est pas. Donc selon cette analyse il paraît y avoir un certain équilibre d'individus épiphysés et non-épiphysés, mais le caractère non-exhaustif de cet examen ne nous permet pas d'être aussi catégorique.

Les traces

Le recensement des traces nous a apporté huit restes qui en possèdent. Deux d'entre elles sont des entailles sur des côtes, une autre est une entaille sur un talus, et une dernière est une section sur une vertèbre lombaire. Les quatre restantes sont des traces de flammes (radius, côte, fémur) ou des os carbonisés (vertèbre thoracique). La totalité de ces traces sont issues de la structure [25333].

⁵⁷ Foucras 2011

Les équidés, les canidés et les oiseaux

Commençons par les équidés représentés ici par deux restes provenant de la citerne [25333] ; il s'agit d'une molaire III inférieure et d'un éclat de métapode. La totalité pèse grammes soit 0,9% du poids total de la faune des deux citernes.

Les canidés sont représentés au moyen d'un unique reste provenant de la partie occipitale d'un crâne dans la structure [25333]. Son poids constitue 0,2% du poids total des restes fauniques de notre corpus.

Les oiseaux provenant également de la citerne [25333] sont divisés en deux parties : les poules / coqs et les indéterminés. Deux restes (radius et ulna) appartiennent à la première catégorie et un pour la seconde (radius). Aucune trace de découpe n'a été détectée et aucune distinction sexuelle n'a pu être faite.

Autres structures hydrauliques [24062 et 24405]

Les structures qui suivent sont datées de manière plus précoce que les citernes précédentes. Elles regroupent 111 restes pour 843 grammes. Ce chiffre relativement faible nous a conduits à ne pas représenter la répartition anatomique de chaque espèce sous formes de diagramme.

Dans les tableaux qui suivent nous avons le détail par structure et par espèce des nombres de restes et de leur poids. Ces résultats, comme pour les autres structures de cette étude, seront ensuite présentés sous la forme d'un tableau synthétique et de graphiques comparant les nombres de restes, les poids des restes et les nombres minimums d'individus de chaque espèce pour chacune des deux structures.

| Tableau de synthèse des structures [24062] et [24405] | | | | | | |
|---|----------------------------------|------------|------------|------------|------------|-----------|
| | | NR | % NR | PR | % PR | NMI |
| Porc | <i>Sus sp.</i> | 43 | 48,3 | 201 | 25,0 | 5 |
| Caprinés | <i>Ovis aries / Capra hircus</i> | 26 | 29,2 | 130 | 16,2 | 4 |
| Bœuf | <i>Bos taurus</i> | 15 | 16,9 | 462 | 57,5 | 2 |
| Total domestique | | 84 | 94,4 | 793 | 98,8 | 11 |
| Poule / Coq | <i>Gallus gallus</i> | 5 | 5,6 | 10 | 1,2 | 2 |
| Total oiseaux | | 5 | 5,6 | 10 | 1,2 | 2 |
| déterminés | | 89 | 80,2 | 803 | 95,3 | 13 |
| indéterminés | | 22 | 19,8 | 40 | 4,7 | |
| TOTAL | | 111 | 100 | 843 | 100 | 13 |

Tableau 15 : Synthèse de la faune des structures [24062] et [24405]

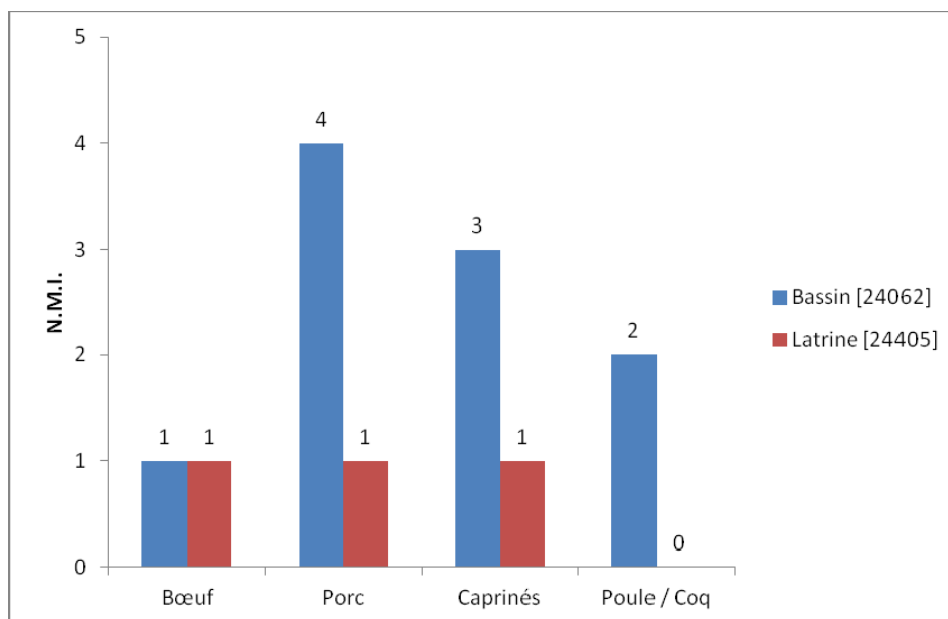


Tableau 16 : Nombres minimums d'individus par espèce des structures [24062] et [24405]

Le porc

En termes de pourcentage des nombres de reste le porc est assez équivalent dans chacune de ces structures (48% et 50%) tout comme pour le pourcentage du poids des restes (25% et 28%). En revanche le comparatif de N.M.I. montre une part nettement plus importante de porc dans le bassin (n=4) que dans la latrine (n=1). Cet écart est dû à l'écart de N.R. entre les deux structures, car le bassin possède environs 38 restes de porc pour 5 restes dans la latrine.

Les restes provenant de la latrine n'ont pas révélés d'informations particulières, contrairement aux restes du bassin.

L'étude ostéométrique a permis le calcul de la hauteur au garrot d'un individu à l'aide d'un métacarpe⁵⁸, sa taille avoisinerait le 0,75 mètres, ce qui le place dans la moyenne des porcs de l'époque augustéenne en Auvergne⁵⁹.

L'étude de l'âge a rendu compte de la présence d'une mandibule d'un individu juvénile, d'un humérus de périnatal, d'un radius proximal non épiphysé provenant donc d'un individu de moins de 12 mois⁶⁰, d'un tibia distal non épiphysé provenant d'un individu de moins de 18 mois et une vertèbre lombaire également non-épiphysé provenant d'un individu de moins de 48 mois ; il n'est pas exclu que les trois restes non épiphysés proviennent du même individu. Nous pourrions quand même relever l'importance du nombre de restes appartenant à des jeunes voire très jeunes individus.

⁵⁸ Teichert 1969

⁵⁹ Foucras 2011 : p. 79.

⁶⁰ Barone 2010 : p. 76

Les caprinés

En termes de nombre de restes, 24 proviennent du bassin et 2 de la latrine pour un poids total de 130 grammes. Les deux restes de la structure [24405] sont un talus carbonisé et un tibia distal appartenant à un individu de plus de 18 mois⁶¹.

En revanche les caprinés du bassin [24062] ne nous ont rien appris outre un nombre minimum d'individus de 3 calculé grâce à des mandibules.

Le bœuf

Constituant dans les deux cas le pourcentage le plus élevé de poids des restes (59% et 46%) de la triade domestique, il ne représente que 12 restes dans le bassin et 3 restes dans la latrine.

L'étude des restes provenant de la latrine n'a rien donné outre la présence de traces de flammes sur un éclat d'os long, et rien sur les deux éclats de côtes qui l'accompagne.

Cependant les restes du bassin ont révélé la présence d'entailles sur une phalange proximale, et un métatarse a été retrouvé entier permettant ainsi la prise de mesures. En associant sa longueur totale (GL) et le diamètre de sa diaphyse (SD) nous avons pu conclure selon les données de S. Foucras pour les bovins du 1er av. J.C. à Auguste que notre reste appartiendrait peut-être à un bœuf (mâle châtré)⁶²

Les oiseaux

Des restes d'oiseaux ont été découverts au nombre de 5 dans le bassin [24062] ; parmi eux 4 restes appartiendraient à des poules /coqs et le dernier reste à un individu indéterminé. De ces restes nous avons pu déceler trois éléments ; tout d'abord, quasiment tous les restes proviennent de la cuisse (hormis un qui provient de l'aile) ; ensuite nous pouvons noter une entaille sur un des tibio-tarse retrouvé coïncidant au trace qu'un couteau aurait pu laisser lors de la consommation. Finalement nous noterons également l'absence d'ergot sur le tarso-métatarse de poulet que l'on possède, cela indiquant son appartenance au genre féminin.

⁶¹ Barone 2010 : p. 76

⁶² Foucras 2011 : p. 74

Interprétation et synthèse des résultats

L'étude et la présentation des données recueillies étant effectuée, il est alors temps de procéder à un bilan sur les résultats pour nous permettre d'en tirer quelques interprétations et essayer par la même occasion de répondre à notre questionnement initial. Nous essayerons de comparer et analyser nos résultats entre eux, de les mettre en relation avec les autres recherches réalisées sur le site de Corent (63), et peut-être si cela est possible, réaliser une comparaison d'envergure régionale.

1.1. Les faciès des caves

Nous commencerons notre analyse par l'examen des différents faciès des caves étudiées. Sur l'oppidum de Corent, les études concernant le mobilier faunique provenant de cave sont peu nombreuses ; il n'y en a qu'une et elle concerne la structure d'époque laténienne [18015] située dans le secteur de fouille au nord du sanctuaire⁶³. De plus les caves d'époque romaine, n'ont fait l'objet d'aucunes études sur le site de Corent ; cela est en partie dû à leur absence dans les fouilles précédentes, outre la cave [23021] retrouvée en 2013. Cette cave, datée du II^e siècle de notre ère, n'a pas été concernée par l'étude de faune provenant de la campagne de 2013⁶⁴ et ne nous permet donc pas de comparaison avec les caves étudiées ici dont une d'entre elle (la cave [24059]) serait datée de la même période.

En l'absence de comparaison avec d'autre cave d'époque romaine sur le site, nous nous contenterons d'un comparatif entre les structures étudiées ici.

La cave [25334], qui est la plus ancienne (La Tène D2b-Auguste), voit une nette prédominance du porc, et une présence équivalente du bœuf et des caprinés. Les équidés, les canidés, la faune sauvage (cerf et lièvre) et les oiseaux sont présents dans la faune dans une même mesure que les périodes étudiées précédemment à Corent⁶⁵.

La cave [24067], datée du I^{er} siècle de notre ère, montre le porc présent de manière équivalente à la structure précédente, mais on observe une augmentation nette des caprinés au détriment du bœuf. Les canidés et les équidés sont toujours aussi peu représentés alors que les oiseaux nous livrent la part la plus importante d'avifaune (poules, perdrix, etc.) de toute notre étude. Outre la part relative aux oiseaux, le faciès de cette cave nous rappelle celui de l'atelier de potier fouillé en 2013.

La cave [25108], datée de la fin du I^{er} siècle ap. J.C. jusqu'au milieu du II^e siècle de notre ère, présente toujours le porc comme espèce dominante, mais cette fois les caprinés sont bien moins présents mais toujours le bœuf. Les autres espèces constituées des équidés, de poules, de sanglier, et de crustacé sont quasi-inexistantes dans le faciès. Ce faciès est plutôt proche de celui observé lors de l'étude de la faune romaine de la campagne de 2013.

La cave [24070] est quant à elle datée de la fin du I^{er} siècle ap. J.C. jusqu'à la fin du II^e siècle de notre ère. Le porc y est clairement majoritaire puisqu'il représente plus de la moitié des restes. Il s'agit de la structure qui dénombre le plus grand pourcentage de restes de porc. Les caprinés y sont légèrement plus représentés que le bœuf. Les oiseaux sont également une des parts importantes du faciès il est quasiment équivalent au bœuf. Les canidés sont encore les moins nombreux de ce faciès.

⁶³ Hémond 2015

⁶⁴ Evrard 2014

⁶⁵ Foucras 2011 ; Bochaton 2010

La dernière cave [24059] présente le faciès le plus hétéroclite de cette étude. Le porc est très présent, mais bien moins que dans les structures précédentes. Le bœuf est devenu la deuxième espèce de ce faciès devant les caprinés. Les oiseaux (poules, perdrix, passereau et canard) représentent une part bien plus importante dans ce corpus ; notons surtout qu'il y a bien plus d'espèce d'oiseaux différentes dans ce lot. La présence des canidés et des espèces sauvages (souris, grenouille) est relativement faible. Ce faciès paraît être inédit sur le site.

Suite à cela nous avons voulu essayer de percevoir, au travers des différentes datations des caves, les changements dans l'utilisation de certaines espèces.

Le porc semble rester assez équivalent d'Auguste à la fin du I^{er} siècle de notre ère, hormis une légère baisse dans la dernière cave datée du II^e siècle ap. J.C.

Les caprinés semblent petit à petit devenir de moins en moins présents dans le faciès après le I^{er} siècle de notre ère.

La courbe du bœuf montre une diminution progressive du pourcentage de ses restes dans le faciès jusqu'au II^e siècle où il semble ré-augmenter.

Les équidés montrent une courbe en nette diminution pendant toute l'époque romaine pour ne finalement plus être présent dans les faciès domestique. Les canidés sont eux représentés de manière totalement aléatoire selon la période, nous n'avons pas de courbe logique.

Pour finir, les oiseaux semblent présenter au contraire des équidés une forte augmentation pendant toute la période romaine à l'exception des restes provenant de la cave [25108] qui sont nettement inférieur. Cela est peut-être due à la fouille de celle-ci qui, vu la petite taille et la fragilité des os d'oiseaux, a laissée passé plus de restes dans les déblais.

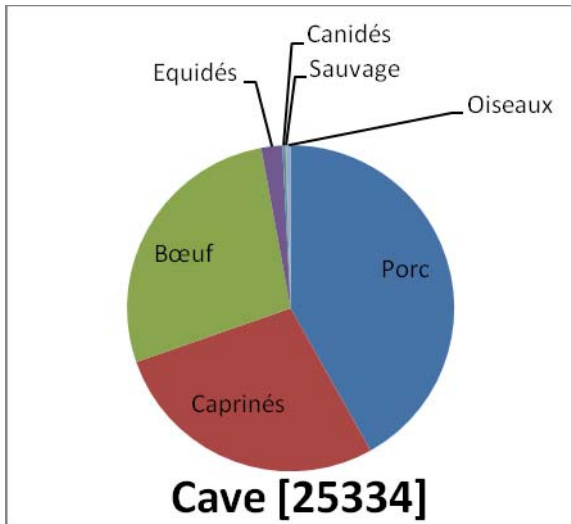


Figure 10a : Faciès de la cave [25334]

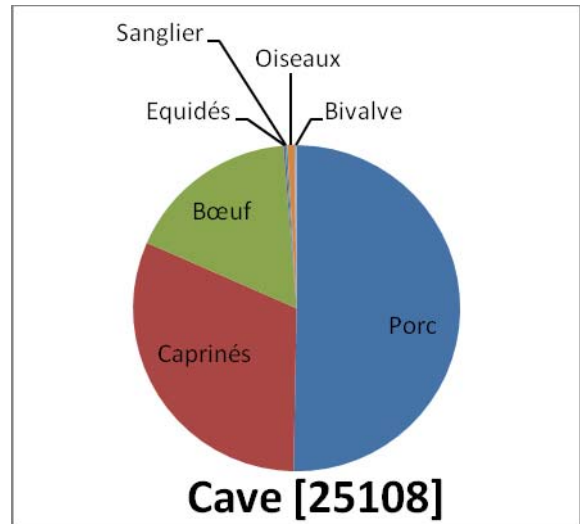


Figure 10b : Faciès de la cave [25108]

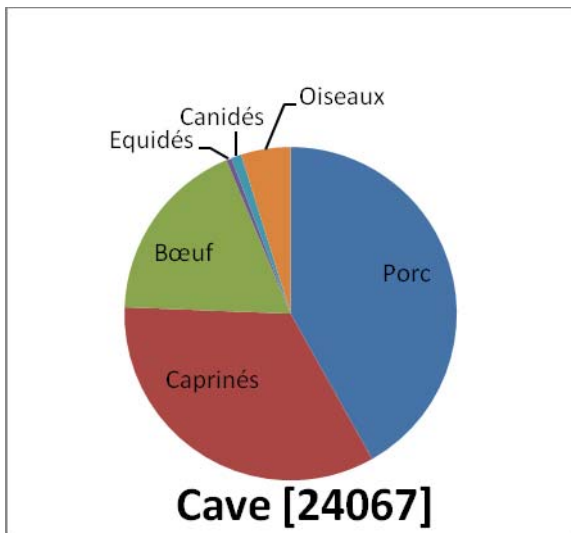


Figure 10c : Faciès de la cave [24067]

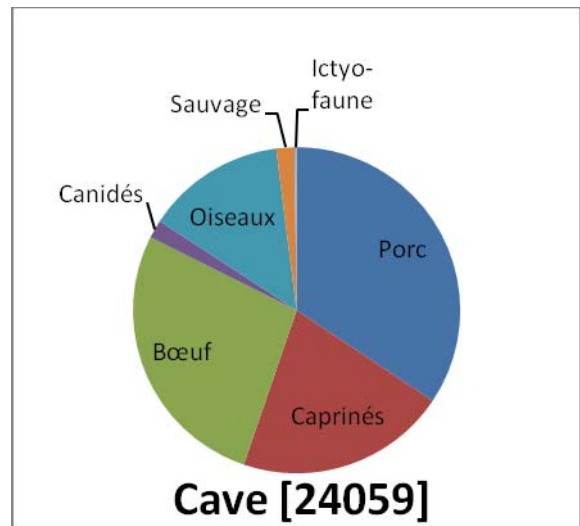


Figure 10d : Faciès de la cave [24059]

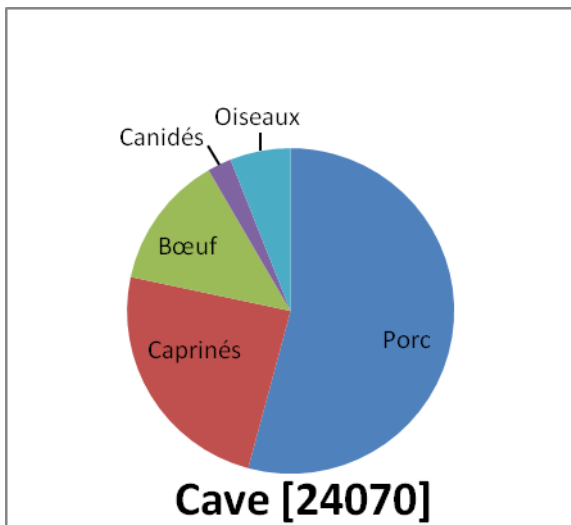


Figure 10e 4 : Faciès de la cave [24070]

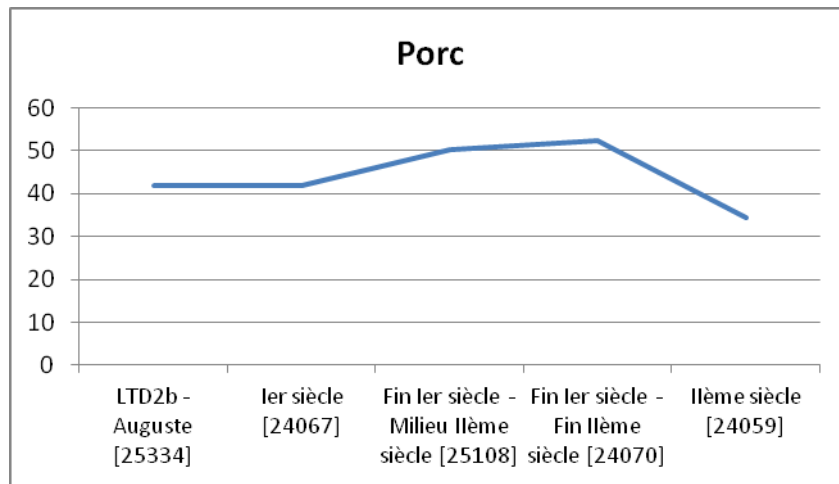


Figure 11 : Evolution du pourcentage de porc à travers les différentes datations des caves de cette étude.

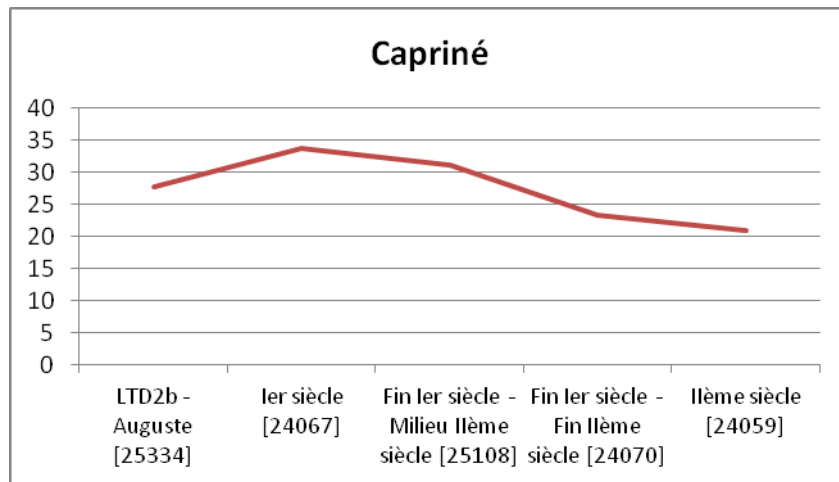


Figure 12 : Evolution du pourcentage des caprinés à travers les différentes datations des caves de cette étude

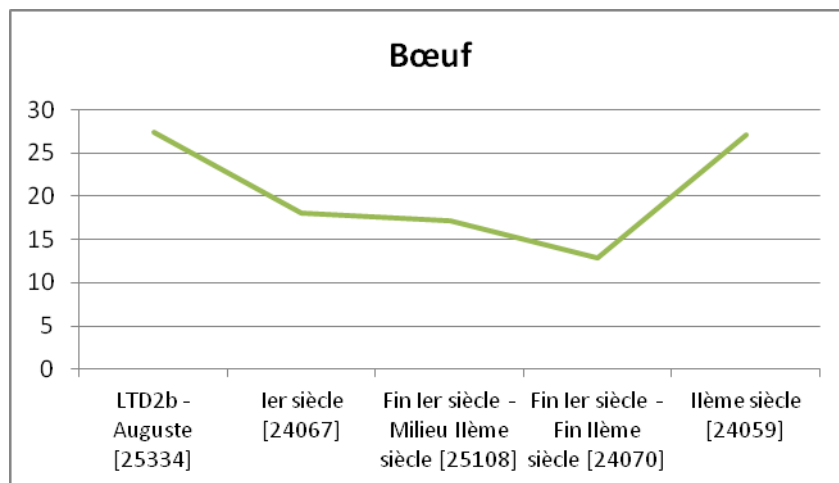


Figure 13 : Evolution du pourcentage de bœuf à travers les différentes datations des caves de cette étude

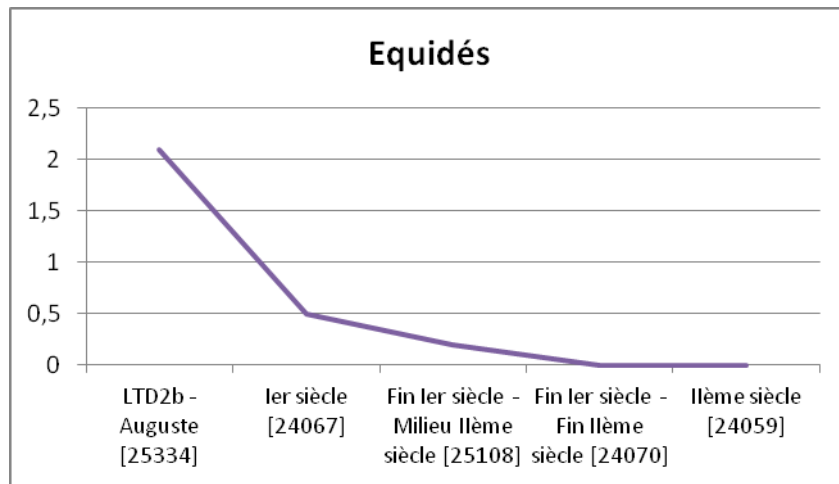


Figure 14 : Evolution du pourcentage des équidés à travers les différentes datations des caves de cette étude

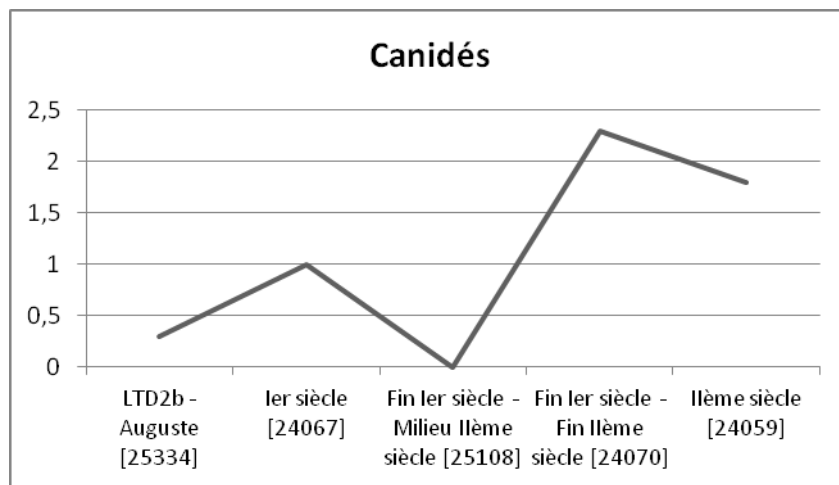


Figure 15 : Evolution du pourcentage des canidés à travers les différentes datations des caves de cette étude

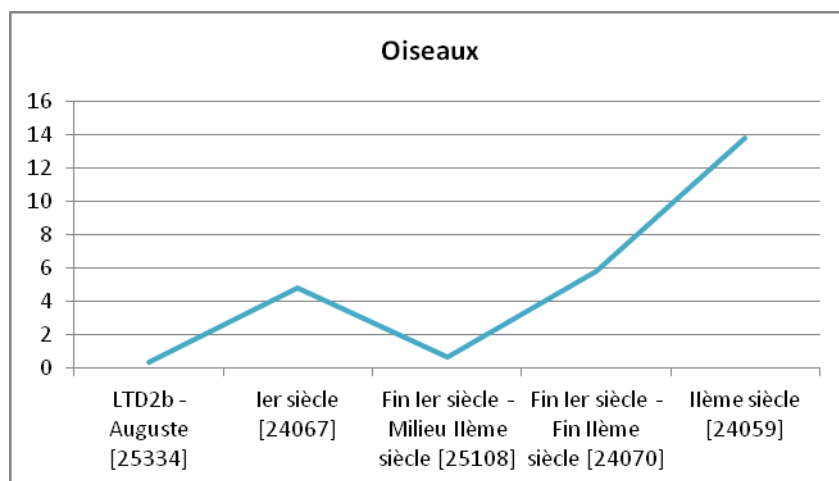


Figure 16 : Evolution du pourcentage des oiseaux à travers les différentes datations des caves de cette étude

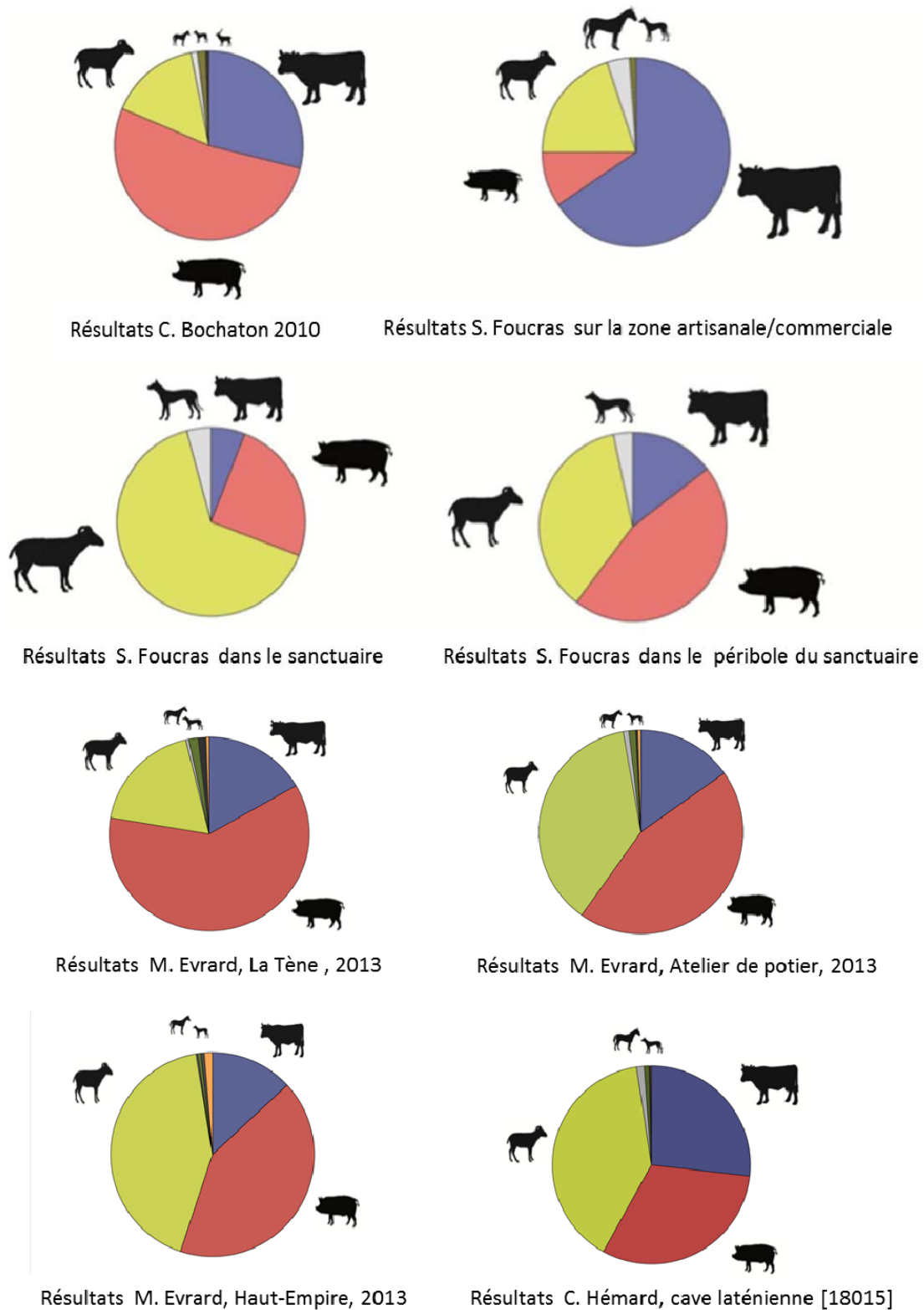


Figure 17 : Ensemble des résultats archéozoologiques sur le site de Coirent

Élevage et production

En regroupant les analyses sur la détermination du sexe, l'âge de la mort et les tailles des individus lorsque cela était possible, nous avons pu dégager un certain nombre d'informations sur l'utilisation de chaque espèce.

Le porc constitue l'espèce la plus importante en termes d'élevage dans notre étude et sur l'*oppidum*⁶⁶. Selon les données recueillies dans la cave la plus précoce [25334] et la plus tardive [24059], ainsi que dans les citernes, il semble que l'âge d'abattage des porcs varie entre 1 et 4 ans. L'apport en viande devait être le plus intéressant dans cette tranche d'âge. De plus grâce aux données récupérées cette fois ci dans toutes les structures (hormis les structures hydraulique), on sait que le nombre d'individus de sexe mâle sont nettement supérieur aux femelles dans les cheptels. Ils constituent en effet, entre 60 et 85% des restes. Cette importante quantité indique encore une fois ce désir de privilégier la production de viande plutôt que la reproduction.

La hauteur au garrot des porcs n'a pu être calculée que dans la cave [25334] avec une moyenne de 0,75 mètre. S. Foucras a établi chez les Arvernes, des moyennes de 0,75 mètre pour les porcs du 1er siècle av. J.C. et de 0,77 mètre pour ceux d'époque augustéenne⁶⁷ ; notre structure étant à cheval sur les deux périodes, nos individus se place donc dans la continuité des données recueillies. Néanmoins nous avons pu calculer la taille d'un autre individu, cette fois ci situé dans la citerne [24145] datée du IIème siècle de notre ère. N'ayant trouvé aucune comparaison pour cette époque en Auvergne, nous nous contenterons du comparatif avec la cave précédente. Notre individu mesure 0,74 mètre et se situe donc dans la même moyenne que celle des siècles précédents. Notre analyse ne se basant que sur un seul reste, nous ne pouvons en aucun cas en déduire quoique ce soit, mais on peut légitimement penser que la taille ferait partie d'un caractère n'ayant pas évolué à travers les différents élevages porcins d'Auguste jusqu'au IIème siècle de notre ère.

En ce qui concerne les caprinés, selon les données recueillies au sein des caves les plus anciennes [25334], [24067] et [25108], il semble que l'âge d'abattage se situe entre 2 et 5 ans. On assiste donc à deux utilisations des caprinés, la première pour la viande indiquée par un âge d'abatage antérieur à 3 ans⁶⁸ et la seconde pour le lait indiquée par un âge de la mort plus haut. En revanche l'absence d'individus particulièrement âgés indique sûrement un âge d'abatage des femelles lorsque leur rendement en lait ne devait plus être suffisant. La distinction sexuelle n'ayant pas donnée de résultats nous ne pourrions pas nous prononcer sur le sex-ratio du cheptel de caprinés.

La taille des caprinés a pu être analysé au moyen de quatre restes, deux provenant de la cave [25334], un issu de la cave [24070] et un dernier récupéré dans la citerne [24145]. Les deux premiers individus de 0,57 et 0,59 mètre se situent bien sous les moyennes calculées en Auvergne pour les caprinés du 1er av. J.C. et d'époque augustéenne (0,62 et 0,63 mètre)⁶⁹. Le reste provenant de la cave datée de la fin du 1er siècle de notre ère jusqu'à la fin du IIème ap. J.C., mesure 0,57 mètre. Ce reste s'inscrit dans la continuité de ceux retrouvés à l'époque précédente et non pas dans la moyenne établie pour les caprinés du 1er-IIème siècle de notre ère en Auvergne (0,63 mètre). En revanche dans la citerne [24145], l'individu mesuré serait plus proche de la moyenne établie pour les caprinés de cette période, puisqu'il aurait une taille au garrot de 0,64 mètre. D'après ces données on ne peut pas véritablement proposer de caractère évolutif des cheptels de caprinés en fonction de leur taille à l'époque romaine.

Il a été difficile d'obtenir des informations sur les bœufs dans cette étude ; en effet selon nos données dans la cave [25334] les bœufs étaient plutôt abattus entre 2 et 5 ans mais les autres structures ne nous ont pas permis de définir une tranche d'âge approximative de l'âge au décès de cette espèce. Les informations fournis par la cave [25334] ne nous permettent pas véritablement de connaître l'utilisation des bœufs sur le site puisqu'ils auraient très bien pu être abattus pour leur viande qu'ils s'agissent de veaux, de jeunes adultes et même d'adultes, ou utilisé pour des travaux agraires. Cependant nous allons pouvoir affirmer la présence de bovins pour la production de lait, puisque dans la cave [25334], le ratio de femelle est nettement supérieur à celui des mâles.

⁶⁶ Foucras 2011 ; Bochaton 2010 ; Poux *et al* 2012

⁶⁷ Foucras 2011 : p.79

⁶⁸ Horard-Herbin 1997 : p. 145-150

⁶⁹ Foucras 2011 : p.71

Pour finir, les poules même si très peu présentes face aux espèces de la triade, nous montre une majorité d'individus femelles pour peu de mâles, ceci nous renvoi certainement à une production d'œufs.

Boucherie, consommation et artisanat.

Grâce à l'étude de répartition anatomique des restes, nous arrivons à la conclusion qu'une grande partie des restes étudiés sont typiques des déchets de consommation.

Outre la cave [25334], nous n'avons recensé que très peu de restes pourvu de traces, qui semblent pour la majorité, indiquées la nature détritique des restes.

Concernant les équidés, aucune trace de découpe n'indique une quelconque trace d'hippophagie ou d'activité bouchère. Il en va de même pour les canidés.

En revanche si l'on revient sur la répartition des os de bœufs de la cave [25334] on remarque une forte représentation des extrémités de pattes et notamment des métapodes, sur lesquels des traces d'entailles et de sections sont régulièrement retrouvées. En boucherie, les pattes sont en général séparées du reste du corps au niveau du talus et des os du carpe, c'est donc sur ces éléments là que les traces de découpe des bas de pattes sont le plus régulièrement visibles. Cependant les métapodes, tout comme les phalanges proximales sont régulièrement récupérer par la suite pour une utilisation artisanale⁷⁰. En effet, des traces de découpes sont fréquemment retrouvé dans notre cave [25334], sur les parties distales et proximales des métapodes, indiquant la section des épiphyses afin d'utiliser la diaphyse de ceux-ci pour l'artisanat. Les diaphyses sont également souvent sectionnées dans le sens de la longueur expliquant alors la fréquente section retrouvée entre les deux poulies de l'épiphyse distale.

Il paraît certain après ces informations, qu'une partie des restes de bœuf de la cave [25334] constituent les déchets d'une production artisanale à base de métapodes de bovins proche de ce bâtiment.

La production artisanale n'est pas présente dans cette structure qu'au moyen du bœuf. Un reste de bois de cervidé pourvu d'entailles multiples indique également qu'un artisanat à base de bois de cerf était proche.

⁷⁰ Foucras 2011 : p. 120

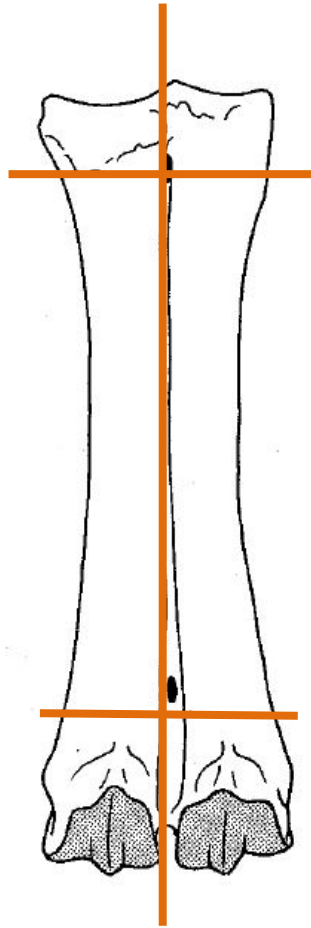


Figure 18 : Découpes relatives aux métapodes de bœuf

Pratiques rituelles ?

Face à toute cette faune retrouvée en contexte domestique, il y a peu de chance de retrouver les traces de pratiques rituelles, et pourtant, un élément semble être à considérer.

Il s'agit du mouton immature retrouvé dans le comblement inférieur du puit [24145].

Il convient de rappeler, l'importance du mouton dans le déroulement de nombreux rituels arvernes à la fin de la période laténienne et au I^{er} siècle ap. J.C.⁷¹. A la période romaine, on retrouve ces pratiques sous de nouvelles formes plus discrète et moins évidente ; au II^{ème} siècle de notre ère, il s'agit plus souvent d'actes individuels⁷².

Bien souvent dans les rituels associés aux citernes il s'agit de déchets alimentaires où les traces de coupes et de cuissons ne sont pas rares⁷³. En revanche ce n'est pas le cas pour notre capriné immature, qui ne présente aucune trace.

On sait que parfois, la condamnation de ces citernes fait l'objet de certaines pratiques spécifique⁷⁴. Il est donc légitime de se demander à quel type de rejet appartient ce capriné ; s'agit-il d'un rejet détritique suite à sa mort prématurée ou s'agit-il d'une offrande rituelle correspondant avec la période de condamnation de cette citerne ? Malgré la forte probabilité qu'il s'agisse de la première hypothèse, il convient de laisser la réflexion ouverte aux débats.

⁷¹ Foucras 2013

⁷² Foucras 2013 : p. 342

⁷³ Foucras 2013 : p. 341

⁷⁴ Foucras 2013 : p. 213-214

Conclusion

Cette étude regroupe le plus grand nombre de structures romaines ayant fait l'objet d'une analyse faunique sur le plateau de Corent. Le secteur de fouille correspondant, représente une zone d'habitat inédite sur le site pour cette période chronologique. Il paraissait alors essentiel d'en étudier la faune pour mieux comprendre le fonctionnement de l'oppidum du I^{er} siècle ap. J.C. jusqu'à la fin du II^{ème} siècle de notre ère.

Grâce à l'étude archéozoologique nous avons pu répondre aux questions que nous nous posions sur le rôle et l'utilisation des différentes espèces animales en contexte domestique à la période romaine. Les études concernant la faune en contexte d'habitat du site ne traitaient jusqu'à lors que l'époque laténienne. De ce fait en plus d'apporter des éléments nouveaux, nous avons pu contribuer à la diversification du corpus faunique d'un point de vue chronologique.

Le faciès représenté s'inscrit plutôt bien dans la continuité du site et de la région. La présence de la triade domestique est toujours aussi importante, mais nous avons pu remarquer la part non négligeable que prend au fur et à mesure l'avifaune dans ce faciès. Cela est-il dû à une attention particulière lors de la fouille ou s'agit-il réellement d'une plus forte représentation de cette catégorie ?

L'ensemble étudié semble nous offrir majoritairement des rejets post-consommation, ce qui nous a permis de mieux cerner les habitudes alimentaires et l'utilisation des différentes espèces au sein des élevages. Nous avons donc pu mettre en avant la production de viande, mais aussi la production de lait et d'œufs. La production artisanale a également été décelée au moyen de bois de cerf et de restes de bœufs. Quant aux possibles pratiques rituelles elles ont pu être évoquées, discutées et restes encore incertaines.

Ainsi cette étude a été des plus intéressantes et mériterait d'être aboutie par l'examen des structures romaines qui ont été découvertes lors de cette campagne de fouille de 2016, mais également par l'étude de la cave [23021] laissée de côté lors de l'étude de la faune de 2013.

Bibliographie

- Bailon 1999** : Bailon S. - *Différenciation ostéologique des anoures de France*, Fiche d'ostéologie animale pour l'archéologie, Série C : Varia N°1, APDCA, 1999, Antibes, 41p.
- Barone 2010** : Barone R. - *Anatomie comparée des mammifères domestiques. Tome I : ostéologie*, Vigot (5^e édition), Paris, 2010, 761p.
- Bochaton 2011** : Bochaton C. - *Nouvelles données archéozoologique sur l'oppidum de Corent. Résultat de la campagne de fouille de 2010*, Lattes, 2011, 9p.
- Boessneck 1969** : Boessneck J. – Osteological differences between sheep and goat. In: Brothwell D. & Higgs E., *Sciences in Archaeology*, 2nd edition, Londres, Thames and Hudson, 1969, p. 331-358.
- Callou 1997** : Callou C. - *Diagnose différentielle des principaux éléments squelettiques du lapin et du lièvre en Europe occidentale*, Fiche d'ostéologie animale pour l'archéologie, Série B : Mammifères N°8, APDCA, Valbonne, 1997, 24p.
- Chaix, Méniel 1996** : Chaix L., Méniel P. – *Élément d'archéozoologie*, Editions Errance, Paris 1996, 112p.
- Chaix, Méniel 2001** : Chaix L., Méniel P. – *Archéozoologie. Les animaux et l'archéologie*, Editions Errance, Collection des Hespérides, Paris, 2001, 239p.
- Cohen, Serjeantson 1996** : Cohen A., Serjeantson D. – *A manual for the identification of bird bones from archaeological sites*, Archetype Publications, London, 1996, 115p.
- Columeau 1991** : Columeau P. – *L'animal pour l'homme. Tome I : Le monde rural*, Travaux du Centre Camille Jullian, Université de Provence, Aix-en-Provence, 1991, 186p.
- Columeau 2002** : Columeau P. – *Alimentation carnée en Gaule du Sud (VIIe s. av. J.-C. – XIVE s.)*, Publication de l'Université de Provence, Aix-en-Provence, 2002, 270p.
- Deberge 2009** : Deberge Y., Cabezuelo U., Cabanis M., Foucras S., Garcia M., Gruel K., Loughton M., Blondel F., Caillat P. – L'oppidum arverne de Gondole (Le Cendre, Puy-de-Dôme). Topographie de l'occupation protohistorique (La Tène D2) et fouille du quartier artisanal : un premier bilan, *Revue Archéologique du Centre de la France*, 48, 2009, p. 33-130.
- Delaune 2008** : Delaune T. – *Etude archéozoologique du corps de bâtiment B de l'oppidum de Corent*, Mémoire de Master 1, Université Lyon II, 2008, 91p.
- Desse et al. 1986** : Desse J., Chaix L., Desse-Berset N. – « Ostéo », *Base de données ostéométriques pour l'archéozoologie. Procédures, codages, exploitation des données, organisation du réseau*, Edition du CNRS, Paris, 1986.
- Driesch 1976** : Driesch A. Von Den – *A guide to measurement of animal bones from archaeological sites*, Harvard University: Preabody Museum Bulletin, 1976.
- Evrard 2014** : Evrard M. – *Etude archéozoologique de l'atelier de potier de l'oppidum de Corent et de ses niveaux antérieurs*. (Mémoire de Master 1), Université Lumière Lyon 2, Lyon, 2014, 61 p.
- Foucras, Poux 2008** : Foucras S., Poux M., Demierre M., Garcia M. – Banquets gaulois, sacrifices romains dans le sanctuaire de Corent. In : Lepetz S., Van Andringa W. dir. – *Archéologie du sacrifice animal en Gaule romaine, rituels et pratiques alimentaires*. Actes du colloque de Paris, Museum d'Histoire Naturelle, Edition Monique Mergoïl, Montagnac, 2008, p. 165-186.
- Foucras 2011** : Foucras S. – *Animaux domestiques et faunes sauvages en territoire Arverne (Ve s. av. J.-C. - Ier s. ap. J.-C.)*, Thèse de Doctorat, Université de Bourgogne, Dijon, 2011, 285p.
- Foucras 2012** : Foucras S. – Elevage et consommation en territoire arverne. De l'agglomération d'Aulnat aux oppida du bassin clermontois, changements ou continuité ?, in : Sievers S. & Schönfelder M. (dir.), *Die Frage der Protourbanisation in der Eisenzeit.*, Dr. Rudolf Habert GmbH, Bonn, 2012, p. 200-209.
- Foucras 2013** : Foucras S. – « Des pieds de moutons dans la citerne du sanctuaire de Corent (Veyre-Monton, Puy-de-Dôme) : rejet détritique ou dépôt rituel ? », *Revue archéologique du centre de la France*, n°52, 2013, 13p.

- Foucras 2013** : Foucras S. – *Déposition d'animaux et processus rituels chez les Arverne (IIe s. av. J.-C. - Ier s. ap. J.-C.)*, Actes de la table ronde Bibracte – Les dépôts d'ossements animaux en France, de la fouille à l'interprétation, Bibracte, 2013, p. 209-216.
- France 2009** : France D. – *Human and Nonhuman bone identification*, CRC Press, Miami, 2009, 734p.
- Grant 1982** : Grant A. – The use of tooth wear as a guide to the age of domestic ungulates. In: Wilson B., Grigson C., Payne S. – *Ageing and sexing animal bones from archeological sites*, BAR, Oxford, 1982.
- Habermehl 1985** : Habermehl K.-H. – *Alterbestimmung bei Wild- und Pelztieren*, Edition Paul Parey, Berlin/Hambourg, 1985, 223p.
- Hémard 2015** : Hémard c. – *Etude archéozoologique d'une cave laténienne de l'oppidum de Corent (Puy-de-Dôme, 63)*, (Mémoire de Master 1), Université Lumière Lyon 2, Lyon, 2015, 62p.
- Halstead 2002** : Halstead P., Collins P., Isaakidou V. – *Sorting the Sheep from the goats: Morphological distinctions between the mandibles and mandibular teeth of adult Ovis and Capra*, Journal of Archaeological Science, 2002, 9p.
- Hillson 1992** : Hillson S. – *Mammal Bones and Teeth. An introductory guide to methods of identification*, The Institute of Archaeology University College London, 1992, 64p.
- Horard-Herbin 1997** : Horard-Herbin M. -P. – Le village celtique des Arènes à Levroux. L'élevage et les productions animales dans l'économie de la fin du second âge du Fer, *Revue archéologique du centre de la France*, n°12, Levroux 4, Levroux, 1997, 206p.
- Koudelka 1885** : Koudelka F. cite par Riedel A. – *The fauna of four prehistoric settlements in northern Italy*, Atti del Museo Civico di Storia Naturale, 1977, XXX, 1, 6, p. 65-121.
- Lepetz 1996** : Lepetz S. – *L'animal dans la société gallo-romaine de la France du Nord*, Revue Archéologique de Picardie, n° spécial 12, Amiens, 1996, 174p.
- Lepetz, Oueslati 2003** : Lepetz S., Oueslati T. – *La consommation de viande dans les villes romaines d'Ile-de-France au Ier siècle. Les cas de Meaux et de Paris (Seine-et-Marne et Seine)*, Revue Archéologique du Centre de la France, 2003, 42, p.41-59.
- Matolcsi 1970** : Matolcsi J. – Historische Erforschung der Körpergrösse des Rindes auf Grund von ungarischem Knochenmaterial. *Zeitschr. f. Tierzüchtg. u. Züchtungsbiol*, 1970, 87, p. 89-137.
- Méniel 1984** : Méniel P. – *Contribution à l'histoire de l'élevage en Picardie du Néolithique à la fin de l'âge du Fer*, Revue Archéologique de Picardie, n° spécial, Amiens, 1984, 56p.
- Méniel 1987** : Méniel P. – *Chasse et élevage chez les Gaulois*, Editions Errance, Collection des Hespérides, Paris, 1987, 156p.
- Méniel 1992** : Méniel P. – *Les sacrifices d'animaux chez les Gaulois*, Editions Errance, Paris, 1992.
- Méniel 2001** : Méniel P. – *Les Gaulois et les animaux. Elevage, repas et sacrifices*, Editions Errance, Collection des Hespérides, 2001.
- Méniel 2005** : Méniel P. – *Sur les traces du mouton en Gaule*, Revue de Paléobiologie, vol spé. 10, Genève, 2005, p. 283-292.
- Méniel 2008** : Méniel P. – *Manuel d'archéozoologie funéraire et sacrificielle*, Editions Errance, Collection Vestigia, Paris, 2008, 188p.
- Poplin 1976** : Poplin F. – *A propos du nombre de restes et du nombre d'individus dans les échantillons d'ossements*, Cahier du Centre de Recherches Préhistoriques, 5, Paris, 1976, p.61-75.
- Poux 2001** : Poux M. – *Corent, festins et pratiques religieuses, fouille programmée du sanctuaire du Puy de Corent (Veyre-Monton, Puy-de-Dôme)*, rapport de la campagne 2001, ARAFA/SRA Auvergne, 2001.
- Poux et al 2002 A** : Poux M., Foucras S., Garcia M., Gasc J. – *Corent, festins et pratiques religieuses (II), fouille programmée du sanctuaire du Puy de Corent (Veyre-Monton, Puy-de-Dôme)*, rapport de la campagne 2002, ARAFA/SRA Auvergne, 2002.
- Poux et al 2002 B** : Poux M., Deberge Y., Foucras S., Pasquier D., Gasc J. – *L'enclos cultuel de Corent (Puy-de-Dôme) : festins et rites collectifs*, Revue Archéologique du Centre de la France, 41, 2002, p. 57-110.

Poux et al 2003 : Poux M., Demierre M., Garcia M., Gasc J., Verrier G. – *Corent, festins et pratiques religieuses (III), fouille programmée du sanctuaire du Puy de Corent (Veyre-Monton, Puy-de-Dôme)*, rapport de la campagne 2003, ARAFA/SRA Auvergne, 2003.

Poux et al 2004 : Poux M., Demierre M., Garcia M., Gasc J., Verrier G. – *Corent, festins et pratiques religieuses (IV), fouille programmée du sanctuaire du Puy de Corent (Veyre-Monton, Puy-de-Dôme)*, rapport de la campagne 2004, ARAFA/SRA Auvergne, 2004.

Poux et al 2005 : Poux M., Demierre M., Garcia M., Foucras S., Gasc J., Gruel K., Milcent P.-Y. – *Corent, Oppidum et sanctuaire (I), fouille programmée pluriannuelle du Puy de Corent (Veyre-Monton, Puy-de-Dôme)*, rapport de la campagne 2005, ARAFA/SRA Auvergne, 2005.

Poux et al 2006 : Poux M., Demierre M., Garcia M., Foucras S., Gasc J., Gruel K., Milcent P.-Y., Pranyies A., Guichon R., Verrier G. – *Corent, Oppidum et sanctuaire (II), fouille programmée pluriannuelle du Puy de Corent (Veyre-Monton, Puy-de-Dôme)*, rapport de la campagne 2006, ARAFA/SRA Auvergne, 2006.

Poux et al 2007 : Poux M., Demierre M., Pranyies A., Guichon R., Gruel K., Milcent P.-Y., Ramona J., Clément B., Dejean S., Garcia M., Michel A., Pouget C., Genechesi J., Le Saint-Ferrière M. – *Corent, Oppidum et sanctuaire (III), fouille programmée pluriannuelle du Puy de Corent (Veyre-Monton, Puy-de-Dôme)*, campagne de 2007, rapport final d'opération, ARAFA/SRA Auvergne, 2007.

Poux et al 2008 : Poux M., Demierre M., Pranyies A., Lauranson R., Saint-Sever G., Milcent P.-Y., Ramona J., Guillaud L., Vaudable E. – *Corent, rapport de fouille de 2008*, LUERN/Université Lyon II/SRA Auvergne, 2008.

Poux et al 2010 : Poux M., Demierre M., Pranyies A., Lauranson R., Saint-Sever G., Milcent P.-Y., Collet A., Guillaud L., Vaudable E., Gruel K., Bochaton C., Filet C., Passemard B. – *Corent, rapport de fouille de 2010*, LUERN/Université Lyon II/SRA Auvergne, 2010.

Poux et al 2011 : Poux M., Pranyies A., Lauranson R., Saint-Sever G., Milcent P.-Y., Collet A., Guillaud L., Vaudable E., Passemard B., Lemaistre C., Verriez Q., Vigier E. – *Corent, rapport de fouille de 2011*, LUERN/Université Lyon II/SRA Auvergne, 2011.

Poux et al 2012 : Poux M., Pranyies A., Milcent P.-Y., Guichard-Kobal L., Guillaud L., Millet M., Passemard B., Lemaistre C., Tramon A., Mader S. – *Corent, rapport de fouille de 2012*, LUERN/Université Lyon II/SRA Auvergne, 2012.

Poux et al 2013 : Poux M., Pranyies A., Milcent P.-Y., Prioux F., Millet M., Tramon A., Mader S., Brossard C., Dubreu N., Demierre M., Duchamp H., Lauranson R., Dufaud S. – *Corent, rapport de fouille de 2013*, LUERN/Université Lyon II/SRA Auvergne, 2013.

Poux et al 2014 : Poux M., Pranyies A., Milcent P.-Y., Millet M., Tramon A., Mader S., Brossard C., Dubreu N., Duchamp H., Lauranson R., Crausaz A., Valfort P. – *Corent, fouille pluriannuelle 2014-2016, rapport intermédiaire (2014)*, LUERN, Les Martres-de-Veyre, 2014.

Poux et al 2015 : Poux M., Pranyies A., Milcent P.-Y., Tramon A., Mader S., Dubreu N., Duchamp H., Lauranson R., Crausaz A., Valfort P., Philibeaux R., Chorin A., Evrard M. – *Corent, fouille pluriannuelle 2014-2016, rapport intermédiaire (2015)*, LUERN, Les Martres-de-Veyre, 2015.

Poux 2012 : Poux M. dir – *Corent. Voyage au cœur d'une ville gauloise*, Editions Errance, Paris, 2012, 304p.

Prummel 1987 : Prummel W. – *Atlas for identification of foetal skeletal elements of cattle, horse, sheep and pig. Part 1*, Archaeozoologia Vol I, 1987.

Prummel 1987 : Prummel W. – *Atlas for identification of foetal skeletal elements of cattle, horse, sheep, and pig. Part 2*, Archaeozoologia Vol I2, 1987.

Prummel 1987 : Prummel W. – *Atlas for identification of foetal skeletal elements of cattle, horse, sheep, and pig. Part 3*, Archaeozoologia Vol I2, 1987.

Serjeantson 2009 : Serjeantson D. - *Birds*, Cambridge University Press, New-York, 2009.

Silver 1969 : Silver I. E., - *The ageing of domestic animals*, (Sciences in Archaeology). D. Brothwell & E. S. Higgs, Londres, 1969.

Schmid 1972 : Schmid E. – *Atlas of animal bones for prehistorians, archaeologist, and quaternary geologists*, Elsevier Publishing Company, London, 1972, 159p.

Teichert 1969 : Teichert M. - Osteometrische Untersuchungen zur Berechnung der Widerristhöhe bei vor und frühgeschichtlichen Schweinen. *Kühn Archiv*, 83, 1969, p. 235-292.

Teichert 1975 : Teichert M. - Osteometrische Untersuchungen zur Berechnung der Widerristhöhe bei Schafzen. In : CLASON (A. T.) ed. – *Archaeological studies*, Amsterdam, 1975, p. 51-59

Wolsan 1982 : Wolsan M. – A comparative analysis of the ribs of ungulates for archaeozoological purposes, *Acta Zoologica Cracoviensia*, 26, 1982, p. 167-228.

Zeder, Lapham 2010

Zeder M. A., Lapham H. A. – *Assessing the reliability of criteria used to identify postcranial bones in sheep, Ovis, and goats, Capra*, *Journal of Archaeological Science*, 2010, 19p

II - Annexes

-
- ANNEXE 1 - Inventaire des structures et unités de fouille (UF)
 - ANNEXE 2 - Inventaire sommaire du mobilier (2014)
 - ANNEXE 3 - Inventaire sommaire du mobilier (2015)
 - ANNEXE 4 - Inventaire sommaire du mobilier (2016)
 - ANNEXE 5 - Inventaire des petits mobiliers

ANNEXE 1 - Inventaire des structures et unités de fouille (UF)

| UF | | Description | Type | Z sup max | Z inf max | Long (l) | larg (m) | Prof (m) |
|-------|---|--|------------|-----------|-----------|----------|----------|----------|
| 24000 | | Décapage mécanique général du site | Mécanique | | | | | |
| 24001 | | Décapage manuel du bâtiment sud-ouest | Mécanique | | | | | |
| 24002 | | Décapage manuel au nord du bâtiment sud-ouest | Mécanique | | | | | |
| 24003 | | Décapage manuel du bâtiment sud | Mécanique | | | | | |
| 24004 | | Pierrier moderne d'orientation N/S, recoupe la cave 24059 | Négative | | | 10,8 | 1,6 | |
| 24004 | 1 | Comblement du pierrier 24004. Grande quantité de gros blocs de basalte et de pouzzolane, sédiment brun/noir argileux. Le matériel collecté montre un faciès hétérogène. | Positive | | | 10,8 | 1,6 | |
| 24005 | | Creusement pour l'implantation du solin nord du bassin O. | Négative | | | | | |
| 24005 | 1 | Solin nord du bassin O. | Construite | 578,7 | | 3 | 0,6 | |
| 24006 | | Décapage manuel constitué d'un sédiment noir argileux, englobant un mobilier assez rare constitué de quelques restes céramiques et fauniques. | Technique | | 578,48 | | | |
| 24007 | | Creusement pour l'implantation du solin ouest du bâtiment W | Englobante | | | | | |
| 24007 | 1 | Décapage manuel du mur 24007 | Technique | | | | | |
| 24007 | 2 | Mur construit ouest du bâtiment W | Construite | 578,5 | | 9,05 | 0,75 | |
| 24007 | 3 | Tranchée de fondation du mur 24007 | Positive | | | | | |
| 24009 | | Nettoyage à l'est du mur 23810 du bassin O. Terre noire argileuse englobant de nombreux éléments de démolition. | Technique | 578,2 | | | | |
| 24010 | | Décapage au nord-ouest de 24004 | Mécanique | | 579,3 | 3,7 | 3 | |
| 24011 | | Décapage sur bassin 24062. Sédiment brun limono-argileux. Présence de tegulae et de fragments de céramiques. | Mécanique | 578,4 | 578,27 | 4,1 | 1,95 | 0,14 |
| 24012 | | Nettoyage / décapage des niveaux âge du Bronze, au sud-ouest du bassin O | Technique | | | | | |
| 24013 | | Décapage manuel sur le bâtiment X constitué d'un sédiment noir argileux englobant des restes abondants de mobilier archéologique : céramiques, faune, fer, terre cuite architecturale et amphore, le tout très fragmenté. Présence de nombreuses pierres de basalte et plus rarement de pouzzolane, souvent d'un diamètre inférieur à 0,1 m pouvant aller jusqu'à 0,3 m. | Technique | 578,7 | 578,32 | | | 0,35 |
| 24014 | | Creusement du mur ouest du bâtiment X | Négative | 578,5 | | 10,6 | 0,7 | |

| | | | | | | | | |
|-------|---|--|------------|-------|--------|-------|------|------|
| 24014 | 1 | Nettoyage du mur ouest du bâtiment X constitué d'un sédiment noir argileux englobant un matériel archéologique divers : faune, céramique, terre cuite architecturale et amphore tous représentés de façon très fragmentés. | Technique | | | 10,6 | 0,6 | |
| 24014 | 2 | Mur ouest du bâtiment X composé de pierres de basalte et plus rarement, de pouzzolane d'un diamètre moyen de 0,3 m disposées pour former deux parements extérieurs bloqués par des pierres plus petites d'un diamètre compris entre 0,05 m et 0,2 m, le tout est lié par un mortier de chaux. Celui-ci, de couleur blanche, est assez fin et homogène, contenant des éléments dépassant rarement les 3 mm de diamètre. La première assise est conservée sur la plus grande partie de la longueur alors que les deuxième et troisième assises ne sont visibles que sur des portions restreintes. Chainé avec 24150-1. | Construite | 578,7 | 0,33 | 10,6 | 0,6 | |
| 24014 | 3 | Fondations du mur 24014 composées de blocs de basalte et de pouzzolane d'un diamètre variant entre 0,1 m et 0,4 m, le tout lié par un mortier de chaux friable de couleur blanc-crème assez grossier, c'est-à-dire, contenant des inclusions pouvant dépasser les 5 mm. Le dernier niveau de fondation est composé de pierres disposées pour réaliser une assise régulière. | Construite | | | 10,6 | 0,7 | |
| 24015 | | Pierrier au sud de la fouille. Possible connexion avec 24004. Recoupe l'ensemble du bâtiment sud. | Négative | 579,2 | 578,04 | 14,31 | 1,96 | 0,9 |
| 24015 | 1 | Comblement de 24015. Grande quantité de blocs (basalte et pouzzolane), sédiment brun/noir argileux. Le matériel présente un faciès hétérogène. | Positive | 579,2 | 578,04 | 14,31 | 1,96 | 0,9 |
| 24016 | | Décapage manuel | Technique | | | | | |
| 24016 | | Couche de décapage de la voie laténienne d'orientation NE/SO | Mécanique | / | | / | / | / |
| 24017 | | Décapage manuel de surface au sud de la cave 24070 | Technique | 578,2 | 578,13 | | | 0,07 |
| 24017 | | Décapage manuel | Technique | | | | | |
| 24018 | | Décapage manuel de surface sur la cave 24070 | Technique | 578,3 | 578,08 | | | 0,24 |
| 24018 | | Décapage manuel | Technique | | | | | |
| 24019 | | Décapage manuel à l'ouest de 24007 | Technique | | | | | |
| 24020 | | Fosse atelier/cellier de forme ovoïde creusée en cuvette dans les niveaux du bronze et dans le rocher. Fond plat mais irrégulier. Orientation N/S. On note la présence d'une banquette de 0,10 m de hauteur au nord de la structure (emmarchement ?). | Négatif | 576,8 | 576,56 | 2,6 | 2,2 | 0,23 |
| 24020 | 1 | Comblement composé d'un limon argileux noir assez charbonneux, livrant de très nombreux fragments d'amphore (formes, 409 fragments de panse = 44,5 kg) de grand (0,30x0,20m), moyen et petit modules, beaucoup de fragments de faune de module moyen (0,10x0,05m) voire des os entiers, quelques tessons de céramique de petit module (0,03x0,04m), un peu de métal et de rares éléments lithiques dont un outil. A noter quelques fragments de bronze, 2 jetons et 2 timbres sur amphore. | Positif | 576,8 | 576,56 | 2,6 | 2,2 | 0,23 |

| | | | | | | | | |
|-------|---|---|------------|-------|--------|------|------|------|
| 24021 | | Décapage sur le cercle empierré autour du bâtiment sud-ouest. Matrice limono-argileuse brun homogène. | Mécanique | 579,9 | 579,5 | 4,8 | 3,7 | 0,39 |
| 24022 | | Décapage sur démol du bâtiment sud. Sédiment brun/jaune argilo-sableux. Présence de mortier. Blocs de basalte et de pouzzolane (10-15 cm ø). | Mécanique | 579,8 | 579,44 | 6,9 | 4 | 0,1 |
| 24023 | | Décapage des murs nord et centre du bâtiment sud. Sédiment brun-jaune argileux. Présence de mortier. Peu de matériel. | Mécanique | 579,5 | 578,77 | 4,6 | 3,6 | 0,15 |
| 24024 | | Couche de décapage du secteur laténien. Présence de très nombreuses amphores, beaucoup de faune, céramique et métal très fréquent. | Mécanique | / | | / | / | / |
| 24025 | | Décapage manuel au nord du bâtiment X et au sud de la tranchée 2013 | Technique | | 578,51 | | | |
| 24026 | | Décapage manuel à l'intérieur du bâtiment W, présence d'un bidon en plastique sur le mur est de la cave 24067. | Technique | | 578,33 | | | |
| 24027 | | Démontage du niveau de pierres 23845 | Positive | 578,3 | | | | |
| 24028 | | Nettoyage de la structure 24029. | Technique | 578,7 | 578,7 | / | / | / |
| 24029 | | Creusement d'une structure en creux. Structure non fouillée | Négatif | 578,7 | / | / | / | / |
| 24030 | | | Mécanique | 579,9 | 579,75 | 7,42 | 1,32 | 0,15 |
| 24031 | | Décapage à l'est du bâtiment sud-ouest, contre le pierrier 24004. Nettoyage murs. Sédiment brun homogène limono-argileux. | Mécanique | 579,6 | 579,46 | 2,2 | 2,15 | 0,1 |
| 24032 | | Décapage à l'est de 24015, en avant du sol maçonné du bâtiment sud. Sédiment brun-jaune argilo-sableux. Présence de mortier et de blocs de basalte sur un plan incliné, semblant suggérer un affaissement/effondrement du terrazzo. | Mécanique | 579,3 | 578,73 | 3 | 2,1 | 0,61 |
| 24033 | | Décapage manuel au nord du bâtiment W. | Technique | | | | | |
| 24034 | | Creusement de l'embranchement de la cave du bâtiment W | Construite | 577,6 | | | | |
| 24034 | 1 | Comblement supérieur de l'embranchement composé d'un sédiment très sableux beige-clair contenant des restes de terre cuite architecturale très fragmentés, des enduits peints d'un diamètre inférieur à 0,05 m, très peu de restes fauniques et de céramique. La majeure partie est constituée de blocs de basalte et de pouzzolane d'un diamètre compris entre 0,05 m et 0,2 m ainsi que quelques fragments de calcaire. | Positive | 577,6 | 577,34 | | | 0,35 |
| 24034 | 2 | Comblement intermédiaire de l'embranchement constitué d'une couche cendreuse contenant très peu de matériel archéologique, représenté par quelques éclats de terre cuite architecturale, mais plutôt des pierres de basalte d'un diamètre inférieur à 0,05 m et de nombreuses inclusions de charbon. | Positive | 577,7 | 577,32 | | | 0,08 |

| | | | | | | | | |
|-------|---|---|------------|-------|--------|------|------|------|
| 24034 | 3 | Comblement intermédiaire de l'emmarchement constitué d'un sédiment meuble et très sableux beige foncé contenant de nombreux fragments d'enduits peints d'un diamètre souvent inférieur à 0,05 m, parfois inférieur à 0,15 m. Présence de nombreux fragments de terre cuite architecturale souvent très fragmentés, d'un diamètre inférieur à 0,05 m et rarement plus conséquents d'un diamètre inférieur à 0,2 m. Peu de pierres étaient présentes, principalement composées de basalte d'un diamètre inférieur à 0,05 m. | Positive | 577,7 | 577,06 | | | 0,15 |
| 24034 | 4 | Comblement inférieur de l'emmarchement composé de gros blocs de basalte et de plus rarement de pouzzolane d'un diamètre pouvant aller jusqu'à 0,5 m, laissant apparaître des espaces vides et d'autres remplis par une terre très aérée dont la composition est la même que celle de la couche supérieur 24034-3 | Positive | 577,7 | 576,86 | | | 0,78 |
| 24034 | 5 | Bouchage volontaire supérieur dans le seuil de la cave 24067 composé de blocs de basalte de diamètre inférieur à 0,4 m disposés en deux rangées de pierres sèches. | Construite | 577,8 | 577,5 | | | 0,28 |
| 24035 | | Structure de pierres dans le chemin au nord de la fouille, composée principalement de blocs de basalte et plus rarement de blocs de pouzzolane, de diamètres compris entre 0,15 m et 0,4 m | Construite | | | | | |
| 24036 | | Mur non-maçonné d'orientation N/S en partie centrale du bâtiment sud. | Construite | 579,2 | 578,77 | 10,5 | 0,7 | |
| 24037 | | Nettoyage de 24036. Sédiment brun-jaune argilo-sableux. | Mécanique | 579,3 | 578,77 | 10,6 | 0,8 | 0,15 |
| 24038 | | Nettoyage du mur nord (orientation E/O) du bâtiment sud. Sédiment brun-jaune homogène, argilo-sableux. | Mécanique | 579,4 | 578,77 | 3,7 | 0,7 | 0,08 |
| 24039 | | Décapage/nettoyage du mur médian d'orientation E/O dans le bâtiment sud. Sédiment brun-jaune argilo-sableux homogène. | Mécanique | 579,5 | 578,89 | 4,8 | 0,8 | 0,06 |
| 24040 | | Mur non-maçonné d'orientation N/S, situé à l'est de 24036. | Construite | 578,9 | 578,7 | 6,6 | 0,7 | |
| 24041 | | Nettoyage du mur 24040. Sédiment brun-jaune argilo-sableux. | Mécanique | 579 | 578,65 | 6,7 | 0,8 | 0,1 |
| 24042 | | Niveau de démolition au sud du bâtiment W composé principalement de fragments de terre cuite architecturale d'un diamètre pouvant aller jusqu'à 0,2 m, ainsi que des restes céramiques et fauniques assez abondants d'un diamètre compris entre 0,05 m et 0,15 m, le tout dans un sédiment noir argileux pouvant inclure des pierres de basalte de 0,1 m de diamètre moyen. | Positive | 578,7 | 578,33 | | | 0,34 |
| 24043 | | Substrat rocheux | Naturelle | | | | | |
| 24044 | | Nettoyage/décapage à l'intérieur de la partie/extension est du bâtiment sud. Sédiment brun limono-argileux. | Mécanique | 579,1 | 578,66 | 6,7 | 2,2 | 0,1 |
| 24045 | | Décapage de la zone nord nord/est autour de la tête du pierrier 24004, à l'est de 24010. Sédiment brun homogène limono-sableux. | Mécanique | 578,9 | 578,73 | 7,17 | 4,89 | 0,15 |
| 24046 | | Nettoyage du foyer 24049 | Technique | 579 | 578,88 | / | / | / |
| 24047 | | Nettoyage/décapage du mur sud d'orientation E/O du bâtiment sud (24184). Sédiment brun-jaune, argilo-sableux. | Mécanique | 579,4 | 579,34 | 4,46 | 0,58 | 0,05 |
| 24048 | | Nettoyage manuel de la zone centrale | Technique | 578,9 | 578,6 | / | / | / |

| | | | | | | | | |
|-------|---|--|------------|-------|--------|------|------|------|
| 24049 | | Foyer laténien. Structure non fouillée | Négatif | 578,9 | | / | / | / |
| 24050 | | Nettoyage manuel de structure | Technique | 578,7 | 578,59 | / | / | / |
| 24051 | | Nettoyage manuel de structure | Technique | 578,4 | 578,34 | / | / | / |
| 24052 | | Creusement de sablière basse. Creusement en cuvette peu profonde. Tracé longiligne vu en plan. | Négative | 575,9 | 575,72 | 1,38 | 0,33 | 0,22 |
| 24052 | 1 | Comblement de sablière basse, Présence d'amphore, faune, très rare céramique et métal. | Positive | 575,9 | 575,72 | 1,38 | 0,33 | 0,22 |
| 24053 | | Creusement de sablière basse. Creusement en cuvette peu profonde. Tracé longiligne vu en plan. | Négative | 575,8 | 575,67 | 1,4 | 0,36 | 0,11 |
| 24053 | 1 | Comblement de sablière basse, Présence d'amphore, faune, très rare céramique et métal. | Positive | 575,8 | 575,67 | 1,4 | 0,36 | 0,11 |
| 24054 | | Creusement de fosse très arasée, en légère cuvette. Forme ovoïde vu en plan. | Négative | 575,9 | 575,85 | 1,08 | 0,66 | 0,09 |
| 24054 | 1 | Comblement de fosse. Présence majoritaire d'amphore et de beaucoup de faune avec éléments de grande taille. La céramique et le métal restent beaucoup plus rares. | Positive | 575,9 | 575,85 | 1,08 | 0,66 | 0,09 |
| 24055 | | Aménagement empiéré sur le radier 24519. Matérialisé par deux gros blocs de basaltes accompagnées de pierre de même type de taille plus réduite et de tuiles. | Positive | 576,1 | 575,92 | / | / | 0,2 |
| 24056 | | Nettoyage manuel à l'est du bâtiment E. | Technique | 577,7 | 577,64 | / | / | / |
| 24057 | | Niveau de démolition dans le bâtiment X composé d'un sédiment noir argileux et principalement de restes de terre cuite architecturale rarement non fragmentés, ainsi que de rares restes fauniques et céramiques. Présence de nombreux fragments de sol en terrazo d'un diamètre allant de 0,1 m à 0,8 m | Positive | 578,5 | 578,08 | | | 0,38 |
| 24058 | | Niveau d'épierrement au nord du bâtiment X composé d'une terre noire argileuse entourant des pierres principalement de basalte et plus rarement, de pouzzolane, de diamètres compris entre 0,15 m et 0,4 m. Quelques restes fauniques et céramiques présents, très fragmentés, d'un diamètre inférieur à 0,7 m | Technique | 578,6 | 578,33 | | | 0,23 |
| 24059 | | Cave maçonnée. Quatre murs parementés. Entrée dans le mur nord. Mur sud présente une ligne de dalettes calcaires à mi-hauteur de son élévation actuelle. | Construite | 578,9 | 577,24 | 3,89 | 3,31 | 1,74 |
| 24059 | 1 | Comblement sommitale de la cave 24059. Sédiment brun argilo-limoneux. Nombreux blocs de basalte de gros module. Présence de tuiles et de mortier. | Positive | 579,2 | 578,27 | 3,2 | 2,9 | 0,88 |
| 24059 | 2 | Deuxième partie du comblement de la cave. Sédiment brun argilo-limoneux. Comportent des blocs de basalte et de pouzzolane de différents modules et du mortier. | Positive | 578,3 | 577,63 | 2,9 | 2,4 | 0,72 |
| 24059 | 3 | Comblement de la cave perforé en partie centrale par 24059-2. Sédiment brun-jaune argilo-sableux. Contient des blocs de basalte et de pouzzolane de petit module, des fragments de TCA et des blocs d'enduits peints. | Positive | 578,4 | 577,67 | 3 | 2,9 | 0,72 |
| 24059 | 4 | Sédiment jaune argilo-limoneux. Nombreux blocs d'enduits peints et de mortier, fragments de TCA | Positive | 577,7 | 577,59 | 3 | 2,9 | 0,08 |

| | | | | | | | | |
|-------|---|--|------------|-------|--------|------|------|------|
| 24059 | 5 | Sédiment jaune argilo-limoneux. Nombreux blocs d'enduits peints et de mortier, fragments de TCA | Positive | 577,7 | 577,49 | 3 | 2,9 | 0,13 |
| 24059 | 6 | Sédiment jaune argilo-sableux. Présence de petits blocs d'enduits peints et de mortier, de fragments de TCA et de quelques blocs épars de basalte. | Positive | 577,7 | 577,29 | 3 | 2,9 | 0,23 |
| 24059 | 7 | Sédiment brun-rouge argileux mêlé de pouzzolane concassée. Quelques fragments de céramiques et de faunes. | Positive | 577,3 | 577,24 | 3 | 2,9 | 0,07 |
| 24060 | | Décapage de la structure circulaire située au sud-est du secteur. Sédiment brun argilo-sableux. | Mécanique | 578,7 | 578,38 | 2,87 | 1,85 | 0,28 |
| 24061 | | Nettoyage manuel de la zone nord. | Technique | 578,8 | 578,46 | / | / | / |
| 24062 | | Bassin parementé maçonné situé au sud-est du secteur. Utilisation de mortier de tuileaux recouvert de plaques d'enduits peints. Sol du bassin réalisé en terrazzo. Un bloc d'épaisseur, généralement disposé en panneresse. | Construite | 578,3 | 577,99 | 4,1 | 1,95 | 0,28 |
| 24062 | 1 | Comblement homogène de 24062. Sédiment brun limono-argileux. Quelques blocs de basaltes (+/- 10 cm ø). Présence d'enduits peints, de céramiques, de tuiles et d'une faible quantité de faune. A noter la présence d'un fragment de chenet. Le matériel céramique semble indiquer un comblement homogène à la fin du 1er s. ap. (Ménez 57). | Positive | 578,3 | 577,99 | 3,72 | 1,67 | 0,28 |
| 24063 | | Fossé creusé dans le rocher selon une forme longiligne courbe d'axe NNO-SSE. Le fond plat et irrégulier et les bords verticaux dessinent un profil longitudinal en cuvette et un profil transversal en U. | Négatif | 578,1 | 577,82 | 3,6 | 0,8 | 0,54 |
| 24063 | 1 | Remplissage constitué d'un limon noir argileux ponctué de rares nodules de charbon. On note la présence moyenne de fragments d'amphore (seulement 3 formes) de petit et moyen module (0,10x0,10m), nombreux fragments de faune, quelques galets de module moyen (0,05x0,05m), rare métal (0,02 à 0,03m) et quelques tessons de céramique de petit et moyen module (0,05x0,03m). 1 perle en verre bleu. | Positif | 578,1 | 577,82 | 3,6 | 0,8 | 0,54 |
| 24064 | | Décapage de la démolition supérieure de la pièce sud-ouest du bâtiment sud. Gros blocs de basalte et de pouzzolane (jusqu'à 50 cm ø), teg. Sédiment brun-jaune à brun, limono-argileux. | Mécanique | 579,6 | 579,39 | 6,11 | 4,17 | 0,1 |
| 24065 | | Trou de poteau de forme irrégulière, creusé dans le rocher, présentant des bords subverticaux, un fond plat donc un profil en cuvette. | Négatif | 578 | 577,86 | 0,22 | 0,23 | 0,13 |
| 24065 | 1 | Remplissage composé d'un limon argileux noir limono-argileux ponctué de quelques inclusions de charbon, d'un fragment de TCA, d'un tesson de céramique et d'un fragment de fer. | Positif | 578 | 577,86 | 0,22 | 0,23 | 0,13 |
| 24066 | | Trou de poteau ou petite fosse de forme ovoïde et d'orientation E/O creusé(e) dans le cailloutis du bronze. Ses bords sont subverticaux, son fond est plat mais irrégulier. | Négatif | 576,7 | 576,61 | 0,7 | 0,86 | 0,12 |
| 24066 | 1 | Comblement constitué d'un limon argileux limono-argileux noir ponctué de nombreux nodules de charbon. On note quelques tessons de céramique de module moyen (0,03x0,04m), de rares fragments d'amphore de petit module (0,07x0,03m) et un fragment de métal. | Positif | 576,7 | 576,61 | 0,7 | 0,86 | 0,12 |
| 24067 | | Creusement de la cave du bâtiment W | Négative | 578,3 | 576,6 | | | 1,67 |

| | | | | | | | | |
|--------------|----------|--|----------|-------|--------|------|------|------|
| 24067 | 1 | Comblement supérieur de la cave maçonnée 24067 consistant en un sédiment noir argileux incluant un matériel archéologique peu abondant : des restes de céramique, de terre cuite architecturale, de clous et de faune très fragmentés d'un diamètre inférieur à 0,05 m. | Positive | 577,8 | 577,56 | | | 0,24 |
| 24067 | 2 | Comblement intermédiaire de la cave 24067 composé d'un sédiment beige sableux incluant de la céramique, de la faune, des enduits peints, de la terre cuite architecturale en petites quantités et très fragmentés. Présence d'un bouchon en plastique. | Positive | 577,8 | 577,16 | | | 0,54 |
| 24067 | 3 | Comblement intermédiaire de la cave 24067 composé d'un sédiment beige foncé sableux incluant des restes de faune et de céramique rares et très fragmentés, quelques fragments de terre cuite architecturale. Présence prépondérante de fragments d'enduits peints d'un diamètre moyen de 0,1 m et plus rarement en dessous de 0,25 m. Couche composée principalement de blocs de basalte et plus rarement de pouzzolane d'un diamètre inférieur à 0,4 m. | Positive | 577,3 | 576,86 | | | 0,3 |
| 24067 | 4 | Comblement intermédiaire de la cave 24067 composé d'un sédiment marron peu argileux incluant une grande quantité de mortier et de terre cuite architecturale peu fragmentés, des blocs de basalte et plus rarement de pouzzolane d'un diamètre inférieur à 0,3 m, parfois encore liés entre eux par du mortier. La couche vient buter contre le mur sud de la cave 24174. | Positive | 577 | 576,7 | | | 0,36 |
| 24068 | | Fosse (?) très arasée implantée dans le rocher selon un axe N-S. Son fond est irrégulier, en pente vers l'est. Ses bords et son profil ne sont pas caractérisables. | Négatif | 578 | 577,81 | 0,96 | 0,64 | 0,16 |
| 24068 | 1 | Remplissage constitué d'un limon-argileux noir, de rares fragments d'amphore de petit module (0,04x0,02) et 1 fragment de moyen module (0,10x0,10m), d'une vingtaine de tessons de céramique de module moyen (0,04x0,04m), une douzaine de fragments de faune de petit module (0,04x0,01m) et 2 clous. | Positif | 578 | 577,81 | 0,96 | 0,64 | 0,16 |
| 24069 | | Trou de poteau circulaire creusé dans le rocher. Il présente des bords subverticaux et un fond plat dessinant un profil en cuvette. | Négatif | 578,7 | 578,59 | 0,18 | 0,18 | 0,12 |
| 24069 | 1 | Remplissage constitué d'un limon-argileux noir. Pas de matériel. | Positif | 578,7 | 578,59 | 0,18 | 0,18 | 0,12 |
| 24070 | | Creusement de la cave et de l'emmarchement au sud du bâtiment X | Négative | | | | | |
| 24070 | 1 | Comblement supérieur de la cave 24070, composé d'un sédiment noir argileux englobant une forte densité de blocs de basalte et plus rarement de pouzzolane, d'un diamètre inférieur à 0,2 m. De rares tessons de terre cuite architecturale sont également présents. | Positive | 578,3 | 577,89 | | | 0,32 |
| 24070 | 2 | Comblement intermédiaire de la cave 24070 composé d'un sédiment noir argileux incluant de nombreux blocs de basalte et plus rarement de pouzzolane d'un diamètre inférieur à 0,2 m. De rares tessons de terre cuite architecturale sont présents. | Positive | 578,1 | 577,66 | | | 0,32 |
| 24070 | 3 | Comblement intermédiaire de la cave 24070 composé d'un sédiment marron clair comprenant une forte densité de nodules de mortier et de tessons de terre cuite architecturale peu fragmentés. Quelques blocs de basalte et de pouzzolane sont également présents pour un diamètre inférieur à 0,15 m | Positive | 578,2 | 577,57 | | | 0,24 |

| | | | | | | | | | |
|-------|---|---|----------|-------|--------|------|------|--|-------------------|
| 24070 | 4 | Comblement intermédiaire de la cave 24070 composé d'un sédiment marron clair comprenant quelques poches de mortier ainsi qu'une forte densité de fragments de terre cuite architecturale peu fragmentés. Quelques blocs de basalte et plus rarement de pouzzolane sont également présents, d'un diamètre 0,2 m. | Positive | 577,9 | 577,49 | | | | 0,24 |
| 24070 | 5 | Comblement intermédiaire de la cave 24070 composé d'un sédiment marron clair comprenant une forte densité de nodules de mortier. Présence de quelques fragments de terre cuite architecturale très fragmentés et de blocs de basalte et plus rarement de pouzzolane, d'un diamètre pouvant atteindre 0,2 m. | Positive | 577,8 | 577,49 | | | | 0,29 |
| 24070 | 6 | Comblement inférieur de la cave 24070 composé d'un sédiment marron clair comprenant des poches de nodules de mortier ainsi que des blocs de basalte et plus rarement de pouzzolane d'un diamètre pouvant atteindre 0,35 m. Présence également de fragments de terre cuite architecturale parfois peu fragmentés d'un diamètre inférieur à 0,4 m. | Positive | 577,7 | 577,26 | | | | 0,71 |
| 24070 | 7 | Niveau d'occupation de la cave 24070 composé d'un sédiment marron très clair incluant de très rares tessons de céramique ainsi que des blocs de basalte d'un diamètre inférieur à 0,2 m. | Positive | 577,4 | 577,12 | | | | 0,15 |
| 24071 | | Fossé de forme longiligne, d'orientation NNE/SSO, creusé dans le socle basaltique. Ses bords sont subverticaux, son fond est concave et son profil en cuvette. | Négatif | 578,8 | 578,43 | 12,5 | 0,7 | | 0,38 |
| 24071 | 1 | Remplissage composé d'un limon argileux noir très charbonneux. Nombreux tessons de céramique de module moyen (0,05 x 0,05m), de nombreux restes de faune assez bien conservés, de nombreux clous (sur parois ?) et de nombreux jetons. | Positif | 578,8 | 578,2 | 12,5 | 0,7 | | 0,31 (en moyenne) |
| 24071 | 2 | Deuxième niveau de comblement constitué d'un sédiment noir et compact avec de gros nodules de charbon. Quelques tessons de céramique, des restes de faune, du mortier de tuileau et des clous. | Positif | 578,2 | 578,13 | 0,4 | 0,15 | | 0,07 |
| 24072 | | Démolition dans le bâtiment sud, sur niveau de tuiles à plats. Sédiment brun-jaune limono-argileux. Tegs et blocs (+/- 20 cm ø). Apparition différentes couches sédimentaires. | Positive | 579,5 | 579,33 | 6,11 | 4,17 | | 0,1 |
| 24073 | | Couche brune dans le niveau de démolition du bâtiment sud, au nord de la berme E/O | Positive | 579,3 | 579,18 | 2,19 | 0,88 | | |
| 24074 | | Partie est de la démolition du bâtiment sud. | Positive | 579,4 | 579,07 | 3,62 | 1,61 | | 0,12 |
| 24075 | | Démontage de la démolition au sud du mur E/O du bâtiment sud-ouest | Positive | 579,8 | 579,73 | 7,09 | 1,4 | | 0,1 |
| 24076 | | Niveau similaire à 24015-1 situé au sud de la démolition du bâtiment sud. | Positive | 579,6 | 579,4 | 3 | 2,2 | | 0,2 |
| 24078 | | Canalisation creusée dans le rocher. Les bords servent d'appui aux piédroits nord et sud. La forme est quasiment rectiligne avec quelques virages légers peut-être dû à des mouvements naturels du sol. On note cependant un coude à 90° environ à l'extrémité est, en direction du nord. Le fond est irrégulier mais tend vers le plat. Le profil transversal général est en U. Le longitudinal est en cuvette. L'axe général est NE/SO. | Négatif | 578,7 | 578,44 | 6,4 | 0,3 | | 0,29 |

| | | | | | | | | |
|-------|---|---|------------|-------|--------|-----|------|-------|
| 24078 | 1 | Piédroit sud composé de nombreux blocs de basalte et de quelques blocs de pouzzolane de module moyen et petit (0,15 x 0,10 à 0,10 x 0,08 m). Les blocs suivent l'orientation du creusement. Leur face intérieure est équerrie de manière à être plate. La hauteur des blocs n'est pas régulière. Un petit bloc de mortier. | Construite | 578,6 | 578,44 | 6,4 | 0,1 | 0,15 |
| 24078 | 2 | Piédroit nord composé de nombreux blocs de basalte et de quelques blocs de pouzzolane de module moyen et petit (0,15 x 0,10 à 0,10 x 0,08 m). Les blocs suivent l'orientation du creusement. Leur face intérieure est équerrie de manière à être plate. La hauteur des blocs n'est pas régulière. | Construite | 578,6 | 578,44 | 6,4 | 0,1 | 0,15 |
| 24078 | 3 | Système de couverture constitué de blocs de basalte et quelques blocs de pouzzolane équarris, de module moyen (0,15 x 0,10). Des tuiles sont parfois disposées sur les blocs de basalte ou directement en couverture. Un fragment d'amphore joue le même rôle que les tuiles. L'ensemble de cette couverture repose sur les piédroits. Un gros bloc de basalte (0,25 x 0,25 m) se trouve à l'extrémité est et marque la fin de la canalisation. | Construite | 578,7 | 278,63 | 6,4 | 0,25 | 0,14 |
| 24078 | 4 | Remplissage constitué d'un sédiment limono argileux noir, 1 anneau en bronze. | Positif | 578,6 | 578,44 | 6,4 | 0,1 | 0,19 |
| 24079 | | Radier très dense de blocs de basalte de petit et moyen module (0,08x0,04m et 0,02x0,02m). Quelques gros blocs de basalte (0,20x0,10m). | Positif | 578,5 | 578,21 | 4,2 | 1,9 | 0,2 |
| 24080 | | Radier de blocs de basalte de petit et moyen module (0,08x0,04m et 0,02x0,02m). Quelques inclusions de céramique (0,03x0,02m). | Positif | 578,4 | 578,29 | 3 | 3 | 0,11 |
| 24081 | | Radier de nombreux gravillons de basalte et de pouzzolane (0,005x0,005) et de quelques blocs de basalte de moyen module (0,05x0,05m). | Positif | 578,3 | 578,32 | 5,4 | 2,4 | 0,01 |
| 24082 | | Nettoyage de surface de la structure 24093 | Technique | 578,5 | 578,24 | / | / | / |
| 24083 | | Puits taillé dans la pouzzolane selon une forme quadrangulaire d'orientation NNO/SSE. Ses parois sont verticales. En cours de fouille | Négatif | 578,3 | >576,0 | 1,8 | 1,6 | >2,31 |
| 24083 | 1 | Premier niveau de Remplissage composé d'un limon argileux noir, de très nombreux fragments d'amphore de gros et moyen module, de très nombreux restes de faune assez bien conservés, de la céramique, des restes métalliques et de gros blocs de basalte. | Positif | 578,2 | 577,18 | 1,8 | 1,6 | 1 |
| 24083 | 2 | Deuxième couche, composé d'une argile limoneuse verdâtre et d'un limon argileux noir. Une amphore et des fragments d'amphore sont posés à plat au fond de cette couche. | Positif | 577,2 | 576,58 | 1,8 | 1,6 | 0,6 |
| 24083 | 3 | Troisième niveau constitué d'un limon argileux noir, de très nombreux fragments d'amphore de gros et moyen module, de très nombreux restes de faune assez bien conservés, de la céramique et des restes métalliques. Contre les parois, un liseré noir cendreuse démontre la présence d'un cuvelage en bois. | Positif | 576,6 | >576,0 | 1,8 | 1,6 | >0,58 |
| 24084 | | Uf annulée | / | / | / | / | / | / |
| 24085 | | Niveau de démolition au nord du bâtiment Est composé d'un sédiment noir argileux incluant de nombreux blocs de basalte et plus rarement de pouzzolane d'un diamètre inférieur à 0,2 m avec de la céramique, de la faune et des inclusions de mortier très fragmentés | Positive | 578,5 | 578,06 | | | 0,39 |

| | | | | | | | | |
|--------------|----------|---|-----------|-------|-------------|------|------|------|
| 24086 | | Cave implantée dans le socle basaltique. Elle présente une forme rectangulaire, élargie sur la moitié est et suit une orientation NE/SO. Ses parois verticales et son fond plat dessinent un profil en U. | Négatif | 578,8 | 577,84 | 2,68 | 1,68 | 1 |
| 24086 | 1 | Niveau de Remplissage limono argileux grailonneux de couleur brune, contenant des fragments de céramique, de rares restes de faune et de tuile et des blocs de basalte et de pouzzolane. | Positif | 578,8 | 578,62 | 1,44 | 1,68 | 0,22 |
| 24086 | 2 | Couche constituée d'un limon brun clair avec quelques inclusions de charbon, perturbé par le fossé 24071. De nombreux jetons, de très nombreux restes de faune dont mandibules, des tessons de céramique et des blocs de basalte sont dans cette couche. | Positif | 578,6 | 578,1 | 2,68 | 1,68 | 0,52 |
| 24086 | 3 | Niveau limono-argileux gris compact qui contient de nombreux fragments d'amphore, des restes de faune dont mandibules, des tessons de céramique, du fer, des clous et deux potins. | Positif | 578,2 | 577,85 | 2,68 | 1,68 | 0,49 |
| 24087 | | Trou de poteau circulaire à bords subverticaux et fond très irrégulier dessinant un profil en cuvette irrégulière. Cette structure est creusée dans le rocher. | Négatif | 578,6 | 578,44 | 0,42 | 0,32 | 0,11 |
| 24087 | 1 | Comblement composé d'un limon-argileux noir, de 3 petits fragments d'amphore, d'un tesson de céramique (0,03x0,03m) et d'un fragment de plaque en fer. On note la présence de quelques pierres de calage en basalte. | Positif | 578,6 | 578,44 | 0,42 | 0,32 | 0,11 |
| 24088 | | Niveau de démolition dans la pièce ouest du bâtiment X composé d'un sédiment noir argileux incluant des blocs de basalte parfois assez gros, d'un diamètre inférieur à 0,4 m, plus rarement, de pouzzolane d'un diamètre inférieur à 0,2 m, des fragments de terre cuite architecturale en densité assez forte et peu fragmentés ainsi que de la céramique et de la faune abondants mais très fragmentés. | Positive | 578,6 | 578,27 | | | 0,28 |
| 24089 | | Voie de circulation laténienne. Niveau de circulation composé d'un tapis très serré de tessons d'amphore mêlés à de la faune et à de très nombreux petits cailloux (2 à 5 centimètres de diamètres en moyenne). | Positive | 575,6 | Non fouillé | / | / | / |
| 24090 | | Bande de démolition au sud du bâtiment sud-ouest, le long du mur E/O. Gros fragments de teg, mortier. Deux tegulae complètes. Sédiment brun-jaune argilo-sableux. | Positive | 579,9 | 579,73 | 2,18 | 0,96 | |
| 24091 | | Nettoyage de surface de la structure 24086 | Technique | 578,8 | 578,8 | / | / | / |
| 24092 | | Deuxième passe de décapage manuel du secteur nord-ouest | Technique | 578,7 | 578,5 | / | / | / |
| 24093 | | Fosse creusée dans le rocher et les niveaux d'occupation, de forme quasi quadrangulaire d'orientation NNO/SSE. Ses bords sont subverticaux, son fond est plat voire concave et son profil en cuvette. | Négatif | 578,4 | 577,98 | 2,3 | 1,7 | 0,41 |
| 24093 | 1 | Remplissage constitué d'un limon argileux brun foncé très meuble, ponctué de nombreux nodules de charbons. Il contient de très très nombreux fragments d'amphore de gros et moyen module (0,30 x 0,30 et 0,20 x 0,15 m), de très nombreux restes de faune assez bien conservés, de nombreux tessons de céramique de petit et moyen module (0,06 x 0,03 et 0,02 x 0,02 m), une plaque de foyer très mal conservée et quelques clous. | Positif | 578,4 | 577,98 | 2,3 | 1,7 | 0,41 |

| | | | | | | | | |
|-------|---|--|------------|-------|--------|------|------|------|
| 24093 | 2 | Sol (?) brûlé et induré, de couleur orangée, d'aspect granuleux, très mal conservé et brassé en partie. | Positif | 578,3 | 578,22 | 0,7 | 0,5 | 0,05 |
| 24093 | 3 | Bloc empierré situé dans l'angle nord-est de la fosse. De forme quadrangulaire, il est constitué de quelques blocs de basalte de module moyen (0,30 x 0,20 et 0,20 x 0,20 m), disposés en carré (+ ou - 3 blocs de côté). On remarque quelques fragments d'amphores piégés sur la surface (dont le timbre MAHE), quelques rares restes de faune, et quelques petits blocs de pouzzolane (0,10 x 0,10 m). | Positif | 578,5 | 578,22 | 0,9 | 0,78 | 0,2 |
| 24094 | | Fouille des niveaux gallo-romains à l'ouest du bâtiment X et au nord de la cave 24070. Présence d'un sédiment noir argileux incluant un caillouti de basalte ainsi que de nombreux restes fauniques et céramiques très fragmentés, d'un diamètre inférieur à 0,1 m ainsi que des clous en fer. | Positive | 578,4 | 578,23 | | | 0,2 |
| 24096 | | 1er démontage de la démolition au nord du mur E/O du bâtiment sud-ouest. | Positive | 579,9 | 579,55 | 5,46 | 1,33 | 0,3 |
| 24097 | | 1er démontage de la démolition au nord de la berme E/O du bâtiment sud-ouest, au nord de 24096. | Positive | 579,9 | 579,49 | 3,4 | 2,5 | 0,34 |
| 24098 | | Petite pièce accolée à la cave 24059. Maçonnerie, permet l'accès à la cave. Trois dalles d'embranchement en calcaire. Recoupée par le pierrier 24004. | Construite | 578,6 | 577,6 | 2,8 | 1,6 | 1 |
| 24098 | 1 | Premier comblement de 24098. Sédiment brun argilo-limoneux. Nombreux blocs de basalte et mortier en quantité raisonnable. Peu de mobilier. | Positive | 578,6 | 577,92 | 2,4 | 1,1 | 0,65 |
| 24098 | 2 | Deuxième partie du comblement. Sédiment brun-jaune argilo-limoneux. Quelques blocs de basalte, fragments de TCA, enduits peints, mortier et peu de mobilier (céramiques). | Positive | 577,9 | 577,8 | 1,3 | 1,1 | 0,12 |
| 24098 | 3 | Partie inférieure du comblement. Sédiment brun-jaune argilo-sableux. Enduits peints et fragments de mortier. Plusieurs tessons de céramiques et de récipients en verre. | Positive | 577,8 | 577,6 | 1,5 | 1,1 | 0,2 |
| 24100 | | Démontage de la démolition le long du mur N/S du bâtiment sud-ouest, à l'est du pierrier 24004. | Positive | 579,3 | 579,08 | 5,1 | 0,7 | 0,2 |
| 24101 | | Démontage de la démolition sur le mur N/S du bâtiment sud-ouest, le long de 24100 | Positive | 579,4 | 578,92 | 4,86 | 0,9 | 0,15 |
| 24102 | | Nettoyage du mur N/S du bâtiment sud-ouest, au nord de la berme E/O et de 24101. | Positive | 579,2 | 579,15 | 4,86 | 0,9 | 0,05 |
| 24103 | | Nettoyage de la tête du mur N/S du bâtiment sud-ouest, au sud de l'embranchement de la cave 24059. | Positive | 579,2 | 579,06 | 2,99 | 1,9 | |
| 24104 | | Comblement de l'embranchement de la cave 24059 dans sa partie occidentale, à l'ouest de 24098. Dalettes calcaires, gros blocs de basalte (40/60 cm ø). Sédiment brun homogène, argilo-sableux. Beaucoup de tessons d'amphores, nombreux restes fauniques, quelques fragments de céramiques. | Positive | 579,1 | 578,13 | 1,39 | 1,18 | 0,82 |
| 24105 | | Niveau de démolition du bâtiment sud : tuiles, dalles/blocs taillés. Apparition d'une structure rectangulaire en tuiles et blocs au sud-est de la zone. | Positive | 579,3 | 579,11 | 3,27 | 2,89 | 0,15 |
| 24106 | | Niveau cendreux accolé à l'est et le long de 24105. Zone cendreuse avec inclusion de charbons. Présence en quantité raisonnable de fragments de céramiques. | Positive | 579,1 | 579,05 | 1,53 | 0,69 | 0,07 |

| | | | | | | | | |
|-------|---|--|------------|-------|--------|------|------|------|
| 24107 | | Nettoyage du mur N/S avec enduits peints, dans le bâtiment sud-ouest. Sédiment brun homogène limono-argileux. Présence de tessons de céramiques ainsi que de quelques enduits peints rouges. Beaucoup de blocs de mortier. | Positive | 579,2 | 579,13 | 2,87 | 2,56 | 0,1 |
| 24108 | | Décapage le long du mur nord du bâtiment sud. Sédiment brun limono-argileux. Quelques blocs de basalte (+ de 20 cm \varnothing), présence de fragments de céramique (un individu quasi complet). | Mécanique | 579,3 | 578,57 | 3,47 | 1,05 | 0,33 |
| 24109 | | Décapage des niveaux laténiens sous 24094 avec un sédiment noir argileux incluant de nombreux restes fauniques peu fragmentés, d'un diamètre inférieur à 0,2 m, ainsi que des tessons de céramique d'un diamètre inférieur à 0,1 m et des fragments d'amphore très denses, d'un diamètre inférieur à 0,25 m. | Positive | 578,2 | | | | |
| 24110 | | Structure (?) le long du niveau de sol au nord-ouest du pierrier 24004. Sédiment brun limono-argileux. | Positive | 579,8 | 579,08 | 2,49 | 2,4 | |
| 24111 | | Structure d'orientation est / ouest composée principalement de gros blocs de basalte et de pouzzolane d'un diamètre inférieur à 0,4 m, formant deux parements externes bloqués par de petites de basalte et rarement de pouzzolane d'un diamètre inférieur à 0,2 m. | Construite | 578,7 | | | | |
| 24112 | | Niveau d'occupation de la cave 24067 composé d'un sédiment marron à inclusions de pouzzolane contenant quelques tessons de céramique mais pas de faune, le tout très fragmentés et d'un diamètre inférieur à 0,05 m, très peu de petites pierres et quelques éclats de terre cuite architecturale et d'amphore. | Positive | 576,8 | 576,64 | | | 0,1 |
| 24113 | | Niveau de remblais passant sur le sol en terrazzo 24149 constitué d'un sédiment marron foncé incluant de nombreux restes de terre cuite architecturale peu fragmentés, d'un diamètre inférieur à 0,25 m, très rarement de la céramique et de la faune très fragmentés ainsi que des blocs de basalte et plus rarement de pouzzolane d'un diamètre inférieur à 0,25 m. | Positive | 578,3 | 577,91 | | | |
| 24114 | | Fosse de démolition proche de l'angle nord-est du bâtiment sud. Plan circulaire délimité par une couronne de blocs de basalte. Creusement arrondi à fond plat. | Négative | 578,8 | 578,19 | 1,32 | 1,17 | 0,46 |
| 24114 | 1 | Comblement de 24114. Sédiment brun limono-argileux. Présence de plusieurs fragments de céramiques, d'enduits peints (jaunes, blancs et noirs). Un gros bloc de basalte (60 cm \varnothing) en position centrale dans la partie sommitale du comblement. | Positive | 578,8 | 578,19 | 1,32 | 1,17 | 0,46 |
| 24115 | | Structure rectangulaire dans le bâtiment sud au nord de la berme E/O. Un gros bloc taillé quasi à plat, une face polie. Des encoches de tegulae servent à marquer la délimitation de la structure. Des fragments de tegulae se trouvent à plat sur le bloc. Foyer. Pas de trace de rubéfaction sur la structure, mais est environnée par une couche grise cendreuse (24106). | Construite | 579,2 | 579,1 | 0,85 | 0,63 | |
| 24116 | | Niveau riche en céramiques situé à l'ouest du bâtiment sud-ouest et au nord de la berme est-ouest. Niveau d'occupation en relation avec les murs 24194 et 24195 ? | Positive | 579,8 | 579,4 | 4,34 | 2,76 | 0,4 |
| 24117 | | Niveau riche en céramiques situé à l'ouest du bâtiment sud-ouest et au sud de la berme est-ouest. Niveau d'occupation en relation avec les murs 24194 et 24195 ? | Positive | 579,8 | 579,37 | 4,34 | 1,75 | 0,4 |

| | | | | | | | | |
|-------|---|--|------------|-------|--------|------|------|------|
| 24121 | | Décapage manuel dans le bassin O. Présence d'un sédiment marron argileux incluant de petits fragments de calcaire, de nombreux charbons répartis de façon homogène, de nodules de pouzzolane plus rarement et d'un reste faunique d'un diamètre inférieur à 0,11 m. | Technique | 578,5 | 578,47 | | | 0,03 |
| 24122 | | Décapage manuel dans le bassin O. Présence d'un sédiment marron foncé argileux incluant de nombreux fragments de calcaire d'un diamètre inférieur à 0,06 m, répartis de façon homogène, de rares restes fauniques et de tessons de céramique très fragmentés d'un diamètre inférieur à 0,09 m ainsi que quelques fragments de terre cuite architecturale d'un diamètre inférieur à 0,1 m | Technique | 578,5 | 578,46 | | | 0,01 |
| 24123 | | Structure rectangulaire, à l'ouest du bâtiment sud-ouest | Construite | 579,7 | 579,43 | 3 | 1,85 | 0,25 |
| 24124 | | Fosse dans le bâtiment sud, au sud de la berme E/O (en contact). Comblement semble similaire à 24015-1. Moderne? | Négative | 579,3 | 579,12 | 1,27 | 0,86 | 0,22 |
| 24124 | 1 | Comblement de 24124. Sédiment brun limono-argileux. Blocs de basalte (20/30 cm ø). Pas de matériel. | Positive | 579,3 | 579,12 | 1,27 | 0,86 | 0,22 |
| 24125 | | Bande de sédiment autour du radier (rudus) dans la partie sud du bâtiment sud, entre la berme E/O et le mur sud. | Positive | 579,3 | 579,28 | 2,47 | 0,91 | 0,06 |
| 24126 | | Creusement d'un trou de poteau dans le bassin O, de forme circulaire à bords verticaux avec un profil en U et un fond plat taillé dans le rocher. | Négative | 578,4 | 578,2 | | | 0,21 |
| 24126 | 1 | Comblement du trou de poteau 24126 composé d'un sédiment noir argileux incluant de nombreux blocs de basalte et de pouzzolane d'un diamètre inférieur à 0,15 m ainsi qu'un matériel archéologique rare et très fragmenté composé de céramique et de faune de diamètres inférieur à 0,02 m, de terre cuite architecturale d'un diamètre inférieur à 0,07 m et d'un éclat d'amphore. | Positive | 578,4 | 578,2 | | | 0,21 |
| 24127 | | Bloc cuisine située dans le bâtiment sud. | Construite | 579,5 | 579,12 | 1,38 | 0,77 | 0,36 |
| 24130 | | Structure creusée dans le rocher, de forme ovoïde, orientée NNO/SSE. Ses bords sont subverticaux, son fond est concave et son profil est en cuvette. Au nord-est, le rocher est taillé en 2 marches menant à la structure. | Négatif | 578,6 | 577,8 | 1 | 0,7 | 0,76 |
| 24130 | 1 | Remplissage constitué d'un limon argileux noir avec quelques inclusions de calcaire. Nombreux tessons de céramique de petit et moyen module (0,05 x 0,05 et 0,08 x 0,08 m) dont de la sigillée (très ponctuelle). Nombreux restes de faune moyennement conservés, nombreux fragments d'amphore de petit module (0,02 x 0,02 m) et quelques clous. | Positif | 578,6 | 577,95 | 1 | 0,7 | 0,61 |
| 24130 | 2 | Remplissage constitué d'un sédiment limono argileux noir avec de nombreuses inclusions de calcaire et de rares charbons. Nombreux fragments d'amphore, de céramique et restes de faune. | Positif | 578 | 577,8 | 1 | 0,7 | 0,15 |
| 24131 | | Structure creusée dans le rocher selon une forme ovoïde et une orientation NNO/ SSE. Ses bords sont subverticaux, son fond est concave et son profil en cuvette. | Négatif | 578,5 | 577,84 | 1,6 | 1,6 | 0,66 |

| | | | | | | | | |
|--------------|----------|--|------------|-------|--------|------|------|------|
| 24131 | 1 | Comblement constitué d'un sédiment limono argileux noir et de nombreux fragments d'amphore, de céramique et restes de faune. | Positif | 578,5 | 577,84 | 1,6 | 1,6 | 0,66 |
| 24132 | | Décapage manuel du rocher au sud du bâtiment W composé un sédiment noir argileux, parfois sableux incluant de petits fragments de mortier ainsi que de nombreux tessons de céramique d'un diamètre inférieur à 0,1 m et de restes fauniques d'un diamètre inférieur à 0,2 m. | Technique | 578,5 | 577,88 | | | 0,15 |
| 24133 | | Bassin bordé au sud par la structure 24111, à l'ouest et à l'est par un parement fait de gros blocs de basalte et de pouzzolane d'un diamètre inférieur à 0,4 m et au nord par la canalisation 24134 et un parement de blocs de basalte d'un diamètre inférieur à 0,3 m. | Construite | 578,6 | 578,19 | | | |
| 24133 | 1 | Comblement du bassin 24133 composé d'un sédiment noir argileux incluant une grande concentration de clous entiers et très similaires, une grande concentration de fragments de faune et de céramique augustéenne d'un diamètre inférieur à 0,2 m ainsi que quelques blocs de basalte d'un diamètre inférieur à 0,2 m. Posé sur le fond, un petit récipient entier et non fragmenté pour servir les condiments. | Positive | 578,6 | 578,19 | | | 0,24 |
| 24133 | 2 | Parement ouest du bassin 24133 | Construite | | | | | |
| 24133 | 3 | Parement nord ouest du bassin 24133 | Construite | | | | | |
| 24133 | 4 | Parement nord-est du bassin 24133 | Construite | | | | | |
| 24134 | | Canalisation menant au bassin 24133 composée de deux pieds droits de gros blocs de basalte et de pouzzolane, d'un diamètre inférieur à 0,4 m, en partie fouillée en 2013 et vidée avant d'être reconnue comme telle. | Construite | 578,7 | 578,34 | | | 0,26 |
| 24135 | | Drain moderne d'orientation est - ouest passant sur le bâtiment X composé de gros blocs de basalte et de pouzzolane d'un diamètre inférieur à 0,3 m. | Positive | | | 10 | 0,5 | |
| 24136 | | Foyer dans la pièce sud du bâtiment W | Positive | | | | | |
| 24136 | 1 | Couche supérieure du foyer 24136 composée d'un sédiment noir cendrex très fin composé essentiellement de charbon avec de très rares inclusions de faune et de céramique d'un diamètre inférieur à 0,03 m. Couche prélevée entièrement pour une analyse anthracologique et carpologique. | Positive | 578,4 | | | | |
| 24136 | 2 | Couche inférieure du foyer 24136, composée d'un sédiment argileux et rubéfié rouge, très dur, comportant quelques inclusions de sable et de rares restes fauniques et de céramiques très fragmentés, d'un diamètre inférieur à 0,04 m. Couche prélevée entièrement pour une analyse anthracologique et carpologique. | Positive | 578,4 | | | | |
| 24137 | | Mur d'orientation NO-SE, au sud de la cave 24059 et à l'est du bâtiment S-O. Présence de TCA, un fragment de plaque de foyer, rares restes fauniques et céramiques. Deux fragments d'enduit peint rouge. | Construite | 579,3 | 578,93 | 2,54 | 1,22 | 0,21 |
| 24138 | | Structure rectangulaire empierrée laténienne à l'est de la cave 24059. | | 578,7 | | 3,17 | 1,57 | |
| 24138 | 1 | Comblement de 24138 (seulement niveau d'apparition). Céramique laténienne, amphore, peu de faune. Céramique du bronze résiduelle. Un couteau et deux ressorts de fibules. | Positive | 578,7 | | 3,17 | 1,57 | |

| | | | | | | | | |
|--------------|----------|--|-----------|-------|--------|------|------|------|
| 24139 | | Décapage manuel des niveaux laténiens sous 24085 composés d'un sédiment noir argileux incluant de nombreux restes d'amphore, de céramique et de faune, très fragmentés et posés à plat. | Positive | | | | | |
| 24140 | | Couche très remaniée dans la pièce sud du bâtiment W composée d'un sédiment sableux marron clair contenant de rares fragments d'enduits peints d'un diamètre inférieur à 0,05 m, des inclusions de mortier d'un diamètre inférieur à 0,07 cm, de charbon épars ainsi que peu de restes fauniques et de céramique très fragmentés. Quelques pierres présentes d'un diamètre inférieur à 0,2 m, principalement du basalte et plus rarement, de la pouzzolane. Petits fragments de sac plastique présentes à la base. | Positive | 578,4 | 578,09 | | | |
| 24141 | | Pièce sud du bâtiment W, couche de sédiments noirs argileux incluant de rares restes fauniques et de céramiques très fragmentés, d'un diamètre inférieur à 0,05 m, ainsi que des inclusions de charbon épars mais de nombreux blocs de basalte et parfois de pouzzolane, d'un diamètre inférieur à 0,15 m. | Positive | 578,1 | | | | |
| 24142 | | Niveau cendreux au nord du mur E/O du bâtiment S-O et à l'est de 24123. Sédiment gris cendreux à inclusions de charbons. Céramique, tuile et faune en quantité raisonnable. Quelques clous en fer. | Positive | 579,6 | 579,61 | 1,25 | 1,04 | 0,04 |
| 24143 | | TP laténien | Négative | 578,6 | | 0,73 | 0,64 | |
| 24143 | 1 | Comblement de 24143 (non vidé) | Positive | 578,6 | | 0,73 | 0,64 | |
| 24144 | | Niveau d'occupation de la culina 24127. Matrice brun-jaune limono-sableuse. Beaucoup de restes fauniques et céramiques. Grande quantité de fragments de tuiles. Quelques enduits peints. | Positive | 579 | 578,97 | 3 | 2,21 | 0,07 |
| 24145 | | Creusement du puits au sud est du bâtiment W. | Négative | | | | | |
| 24145 | 1 | Décapage de surface du puits 24145 dans un sédiment noir très argileux contenant très peu de matériel archéologique : quelques restes de céramique très fragmentés d'un diamètre inférieur à 0,05 m ainsi que de rares tessons d'amphore d'un diamètre inférieur à 0,1 m. | Technique | 578 | 577,85 | | | 0,04 |
| 24145 | 2 | Comblement supérieur du puits 24145 composé principalement de gros blocs de basalte et plus rarement de pouzzolane d'un diamètre inférieur à 0,6 m, ainsi que de rares fragments de terre cuite architecturale d'un diamètre inférieur à 0,1 m. Présence de très rares clous et restes fauniques et céramiques d'un diamètre inférieur à 0,1 m. Présence d'une meule entière mais fragmentée, dispersée sur toute la hauteur de la couche. | Positive | 578 | 574,92 | | | 3,11 |

| | | | | | | | | |
|--------------|----------|--|------------|-------|--------|------|------|------|
| 24145 | 3 | Comblement inférieur du puits 24145 composé d'un sédiment noir argileux à tendance sableuse dans la partie inférieure, contenant un grand nombre de tessons de céramique semblant pratiquement tous recoller et dans un état de conservation exceptionnel, diamètre inférieur à 0,2 m. Présence d'une grande concentration de restes de terre cuite architecturale parfois non fragmentés. Présence de nombreux blocs de basalte et plus rarement de pouzzolane d'un diamètre moyen de 0,15 m pouvant rarement aller jusqu'à 0,5 m. Aucun matériel archéologique métallique retrouvé mais une fusaiole en céramique et un jeton en tegula présents. Les 340 litres de sédiment ont été prélevés pour des analyses palynologiques et carpologiques. | Positive | 574,9 | 574,38 | | | 0,54 |
| 24145 | 4 | Parements de la citerne 24145 composés de blocs de basalte et plus rarement de pouzzolane d'un diamètre moyen de 0,3 m réalisés en pierres sèche et incluant un fragment de meule. | Construite | 578 | 574,46 | | | 3,57 |
| 24146 | | Sol de circulation au sud de la cave 24070 composé d'un sédiment noir argileux incluant un petit caillouti de pouzzolane ainsi que de nombreux restes de faune d'un diamètre inférieur à 0,2 m, d'amphore d'un diamètre inférieur à 0,3 m et de céramique d'un diamètre inférieur à 0,15 m. | Positive | 578,2 | 578,1 | | | 0,06 |
| 24147 | | Sol de circulation au sud de la cave 24070, au nord du seuil marqué par les deux gros blocs de basalte, composé d'un sédiment noir argileux incluant un radier d'amphores très fragmentés d'un diamètre inférieur à 0,2 m ainsi que de nombreux restes fauniques et de céramiques très fragmentés, d'un diamètre inférieur à 0,15 m | Positive | 578,4 | 578,28 | | | 0,08 |
| 24148 | | Sol en petits grains en pouzzolane au fond de la cave 24067 | Positive | 576,7 | 576,6 | | | 0,1 |
| 24149 | | Sol en terrazzo de la pièce nord du bâtiment X | Construite | 578,4 | 578,04 | | | 0,05 |
| 24150 | | Creusement pour l'implantation du mur sud du bâtiment X | Négative | | | 4,35 | 0,65 | |
| 24150 | 1 | Mur maçonné sud du bâtiment X, chaîné avec 24014-2. | Construite | 578,2 | | 4,35 | 0,65 | |
| 24150 | 2 | Fondations du mur 24150. | Construite | | | 4,35 | 0,65 | |
| 24151 | | Creusement pour l'implantation du mur est - ouest traversant les deux pièces du bâtiment X. | Négative | 578 | | 2,75 | 0,55 | |
| 24151 | 1 | Fondation du mur est - ouest traversant les deux pièces du bâtiment X. | Construite | 578 | | 2,75 | 0,55 | |
| 24152 | | Creusement pour l'implantation du mur est du bâtiment X. | Négative | 577,8 | | 4,25 | 0,55 | 0,1 |
| 24152 | 1 | Fondation du mur est du bâtiment X. | Construite | 577,8 | | 4,25 | 0,55 | 0,1 |
| 24153 | | Creusement pour l'implantation du solin est - ouest dans la partie ouest de la séparation entre les deux pièces du bâtiment X. | Négative | 578 | | 1,75 | 0,6 | |
| 24153 | 1 | Solin est - ouest dans la partie ouest de la séparation entre les deux pièces du bâtiment X. | Construite | 578 | | 1,75 | 0,6 | |
| 24154 | | Creusement pour l'implantation du solin sud de la pièce ouest du bâtiment X. | Négative | 578,5 | | 2,65 | 0,65 | |
| 24154 | 1 | Solin sud de la pièce ouest du bâtiment X. | Construite | 578,5 | | 2,65 | 0,65 | |
| 24155 | | Creusement pour l'implantation du solin ouest de la pièce ouest du bâtiment X. | Négative | 578,6 | | 4,1 | 0,6 | |
| 24155 | 1 | Solin ouest de la pièce ouest du bâtiment X. | Construite | 578,6 | | 4,1 | 0,6 | |

| | | | | | | | | |
|-------|---|--|------------|-------|--------|------|------|------|
| 24156 | | Creusement pour l'implantation du solin est-ouest au nord ouest du bâtiment X. | Négative | | | 2 | 0,6 | |
| 24156 | 1 | Solin en pierres sèches au nord-ouest de la pièce ouest du bâtiment X composé de très gros blocs de basalte et de pouzzolane, d'un diamètre inférieur à 0,6 m. | Construite | 578,6 | | 2 | 0,6 | |
| 24157 | | Creusement pour l'implantation du mur nord du bâtiment X. | Négative | | | 6 | 0,6 | |
| 24157 | 1 | Mur maçonné nord du bâtiment X. | Construite | 578,5 | | 6 | 0,6 | |
| 24157 | 2 | Fondations du mur maçonné 24157-1, chaînage visible avec les fondations 24014-3 | Construite | | | 6 | 0,6 | |
| 24158 | | Sol en terrazzo de la pièce sud du bâtiment X. | Construite | 578,2 | | | | |
| 24159 | | Radier d'implantation du sol en terrazo 24158 | Construite | | | | | |
| 24160 | | Parement nord de la cave 24070 | Construite | 578,3 | 577,12 | 3,95 | 0,55 | 1,13 |
| 24161 | | Parement est de la cave 24070 | Construite | 578,2 | 577,12 | 3,4 | 0,5 | 1,08 |
| 24162 | | Parement sud de la cave 24070 | Construite | 578,3 | 577,12 | 3,6 | 0,6 | 1,19 |
| 24163 | | Parement ouest de l'emmarchement de la cave 24070 | Construite | 578,3 | 577,67 | 3,2 | 0,45 | 0,62 |
| 24164 | | Seuil et solin de séparation entre l'emmarchement et la cave 24070 | Construite | 577,4 | 577,12 | 2,1 | 0,3 | 0,23 |
| 24165 | | Creusement de l'emmarchement de la cave 24070 | Négative | | | | | |
| 24166 | | Creusement pour l'implantation du solin sud du bassin O. | Négative | | | | | |
| 24166 | 1 | Solin sud du bassin O. | Construite | 578,6 | | 4,2 | 0,6 | |
| 24167 | | Creusement pour l'implantation du solin ouest du bassin O. | Négative | | | | | |
| 24167 | 1 | Solin ouest du bassin O. | Construite | 578,6 | | 3,75 | 0,6 | |
| 24168 | | Creusement pour l'implantation du solin est du bassin O. | Négative | | | | | |
| 24168 | 1 | Solin est du bassin O. | Construite | 578,7 | | 3,75 | 0,6 | |
| 24169 | | Creusement pour l'implantation du solin sud du bâtiment W. | Négative | | | | | |
| 24169 | 1 | Solin sud du bâtiment W. | Construite | 578,5 | | 3,5 | 0,7 | |
| 24170 | | Mur maçonné nord de la cave du bâtiment W. | Construite | 577,9 | | 5,7 | 0,7 | 1,27 |
| 24171 | | Solin à l'est de l'emmarchement 24034 | Construite | 577,6 | | | | 1,01 |
| 24172 | | Mur nord du bâtiment Y | Construite | 579,2 | 578,92 | 5,1 | 0,75 | |
| 24172 | | Mur maçonné sud de l'emmarchement 24034 | Construite | 577,8 | | 1 | 0,25 | 1,15 |
| 24173 | | Mur ouest du bâtiment Y | Construite | 580 | 579,15 | 6,1 | 0,55 | |
| 24173 | | Mur maçonné est de la cave du bâtiment W. | Construite | 577,8 | | 1,72 | 0,6 | 1,15 |
| 24174 | | Mur sud du bâtiment Y | Construite | 580 | 579,57 | 11,5 | 0,6 | |
| 24174 | | Parement sud de la cave 24067. | Construite | 576,9 | | 2,5 | 0,3 | 0,28 |

| | | | | | | | | |
|-------|--|--|------------|-------|--------|------|------|------|
| 24175 | | Parement ouest de la cave 24067 | Construite | 577,8 | | 2,78 | 0,58 | 1,18 |
| 24175 | | Mur est du bâtiment Y | Construite | 579,4 | 578,91 | 5,6 | 0,75 | |
| 24176 | | Mur ouest de la cave 24059 | Construite | | | 3,8 | 0,4 | |
| 24176 | | Sol au bas de l'embranchement 24034 de la cave 24067 sous 24112. | Positive | 576,7 | | | | |
| 24177 | | Mur sud de la cave 24059 | Construite | 578,8 | 578,68 | 4,1 | 0,4 | |
| 24177 | | Marches taillées placée dans l'embranchement 24034 du bâtiment W. | Construite | 577,3 | 576,82 | 0,9 | 0,66 | 0,46 |
| 24178 | | Mur est de la cave 24059 et de l'embranchement 24098 | Construite | 578,4 | 578,27 | 5,1 | 0,78 | |
| 24178 | | Mur sud de l'embranchement de la cave 24070 | Construite | 578,3 | 577,67 | 3,2 | 0,3 | 0,62 |
| 24179 | | Mur nord de la cave 24059/sud de l'embranchement 24098 | Construite | 578,9 | 577,89 | 2 | 0,57 | |
| 24179 | | Construction en pierres sèches au sud de la cave 24070 | Construite | 578,5 | 578,12 | | | |
| 24180 | | Mur nord de l'embranchement 24098 | Construite | 578,6 | 578,51 | 1,8 | 0,3 | |
| 24180 | | Massif en pierres sèches au sud-est de la cave 24070. | Construite | 578,2 | | 1,25 | 0,65 | |
| 24181 | | Mur nord du bâtiment X | Construite | 579,4 | 578,77 | 3,6 | 0,63 | |
| 24182 | | Mur au centre du bâtiment X | Construite | 579,4 | 578,89 | 3,5 | 0,6 | |
| 24183 | | UF annulée | | | | | | |
| 24184 | | Mur sud-est du bâtiment X | Construite | 579,8 | 578,85 | 7,8 | 0,65 | |
| 24185 | | Mur isolé au nord du secteur, au nord-ouest de 24004 | Construite | 579,3 | 579,27 | 3,8 | 0,8 | |
| 24186 | | Mur ouest du bâtiment au nord du secteur | Construite | 579,1 | 578,84 | 5 | 0,74 | |
| 24187 | | Mur au centre du bâtiment au nord du secteur | Construite | 579 | 578,62 | 4 | 0,54 | |
| 24188 | | Mur est du bâtiment au nord du secteur | Construite | 578,7 | 578,62 | 5,1 | 0,46 | |
| 24189 | | Mur sud-est du bâtiment au nord du secteur | Construite | 578,7 | | 2 | 0,49 | |
| 24190 | | Mur sud-ouest du bâtiment au nord du secteur | Construite | 578,9 | | 1 | 0,3 | |
| 24191 | | Mur interne du bâtiment Y | Construite | 579,8 | 579,62 | 5,1 | 0,55 | |
| 24192 | | Cercle empierré autour du bâtiment Y | Construite | 579,9 | 579,49 | 9,1 | 0,8 | |
| 24193 | | Structure tabulaire rectangulaire accolée au mur ouest du bâtiment Y | Construite | 580 | 579,69 | 1,4 | 1,1 | 0,26 |
| 24194 | | Mur maçonné nord-sud à l'ouest du bâtiment Y | Construite | 579,7 | 579,58 | 2,7 | 0,7 | |
| 24195 | | Mur maçonné est-ouest à l'ouest du bâtiment Y | Construite | 579,5 | | 0,7 | 0,2 | |
| 24196 | | Solin à l'ouest du bâtiment Y et à l'est de 24195 | Construite | 579,3 | | 1,1 | 0,3 | |
| 24197 | | Parement nord du bassin | Construite | 578,3 | | 2,02 | 0,2 | |
| 24198 | | Parement est du bassin | Construite | 578,3 | 578,24 | 4,22 | 0,2 | |

| | | | | | | | | |
|--------------|----------|---|------------|-------|--------|------|------|------|
| 24199 | | Parement sud du bassin | Construite | 578,4 | 578,34 | 2,03 | 0,24 | |
| 24200 | | Parement ouest du bassin | Construite | 578,4 | 578,25 | 4,25 | 0,16 | |
| 24201 | | Fond du bassin | Construite | 578,1 | 577,89 | 3,5 | 1,5 | |
| 24202 | | Terrazzo au sud bâtiment Y | Construite | 579,7 | 579,61 | 3,3 | 2,7 | 0,03 |
| 24203 | | Terrazzo au nord bâtiment Y | Construite | 579,7 | 579,64 | 2,7 | 0,7 | 0,03 |
| 24204 | | Terrazzo au sud-est bâtiment X | Construite | 579,4 | | 0,95 | 0,85 | 0,03 |
| 24205 | | Terrazzo au nord-est bâtiment X | Construite | 579,5 | | 3,5 | 1 | 0,03 |
| 24206 | | Terrazzo au nord du secteur | Construite | 579,1 | | 1,9 | 0,2 | 0,03 |
| 24207 | | Pierre de seuil à l'ouest du bâtiment Y | Construite | 579,2 | | 1,15 | 0,6 | 0,06 |
| 24400 | | Niveaux laténiens dans bâtiment E (côté est) | Englobante | / | / | / | / | / |
| 24401 | | Nettoyage manuel de la canalisation 24078 (démontage radier sup) | Technique | 578,8 | 578,71 | / | / | / |
| 24402 | | Niveaux laténiens dans bâtiment E (côté ouest) | Englobante | / | / | / | / | / |
| 24403 | | Nettoyage de la surface des latrines 24405 | Technique | 578,7 | 578,58 | / | / | / |
| 24404 | | Trou de poteau creusé dans le rocher selon une forme allongée d'axe E/O/ Les bords subverticaux et le fond plat dessinent un profil en V. | Négatif | 578,7 | 578,44 | 0,5 | 0,4 | 0,23 |
| 24404 | 1 | Remplissage constitué d'un limon argileux noir ponctué par une dizaine de tessons de céramique de petit module (0,02x0,0xm), de 3 fragments d'amphore de petit module (0,03x0,02), 2 petits fragments d'os, 2 clous et 1 galet. Plusieurs pierres de calage encore en place, en basalte et pouzzolane de module moyen (0,20x0,15m). | Positif | 578,7 | 578,44 | 0,5 | 0,4 | 0,23 |
| 24405 | | Latrines creusées dans le rocher selon une forme en quart de cercle orienté E/O. Les bords sont parementés dans leur partie supérieure et sont verticaux puis le rocher est dénudé. Les bords sont alors subverticaux. Le fond est surcreusé à l'est. Il est plat dans ce creux. Le profil général est en U. | Négatif | 578,6 | 577,5 | 1,16 | 1,16 | 1,08 |
| 24405 | 1 | Remplissage constitué d'un limon argileux noir contenant de très nombreux tessons de céramique de moyen et petit module (0,07x0,03m/0,02x0,02m), quelques fragments de faune de module moyen (0,08x0,02m), de nombreux fragments de TCA de moyen module (0,10x0,10m) et de nombreux fragments d'amphore de petit module (0,02x0,02m), une quinzaine de clous en fer et trois restes lithiques. On note la présence d'un reste de tuf de 0,04x0,03m, une monnaie, des fragments de bronze et un fragment de plaque en fer. | Positif | 578,6 | 578 | 1,16 | 1 | 0,58 |

| | | | | | | | | |
|-------|---|---|------------|-------|--------|-----|------|------|
| 24405 | 2 | Remplissage constitué d'un limon argileux noir et d'inclusions de mortier de module moyen (0,04x0,03m). Le Remplissage est également caractérisé par de nombreuses tuiles fragmentées mais de gros module (0,3x0,15m), posées plus ou moins à plat ainsi que par de nombreux fragments de tuiles de module moyen (0,10x0,10m). Il y a quelques restes de faune (0,07x0,03m), deux clous, un galet, quelques tessons de céramique de gros module (0,08x0,08m), deux jetons, une monnaie. Pierre de souffre ? | Positif | 578 | 577,8 | 1 | 0,8 | 0,2 |
| 24405 | 3 | Comblement constitué d'un sédiment limono-argileux, très noir et humide. On retrouve également de nombreux fragments de TCA de moyen module (0,10 x 0,10 m), quelques restes de faune, quelques tessons de céramique, un bloc de mortier et quelques fragments d'amphore de petit module (0,03 x 0,02 m). | Positif | 577,8 | 577,5 | 0,6 | 0,5 | 0,3 |
| 24405 | 4 | Parement nord-ouest composé d'un niveau d'assises constitué de 3 gros blocs : 1 bloc de basalte de grand module (0,55 x 0,14 x 0,32 m), 1 bloc de pouzzolane de grand module (0,38 x 0,20 x 0,20 m) et 1 autre bloc de basalte de module moyen (0,28 x ? X 0,26 m). Ces blocs sont grossièrement équarris. les blocs de basalte reposent sur le rocher et celui de pouzzolane est posé sur la dalle de mortier. | Construite | 578,6 | 578,11 | 1 | 0,2 | 0,47 |
| 24405 | 5 | Parement nord composé de blocs de basalte équarris, sur 2 voire 3 assises. Les blocs sont de module moyen (assises de 0,12 m de haut en moyenne). La dernière assise repose sur le rocher. | Construite | 578,4 | 578,03 | 0,7 | 0,2 | 0,32 |
| 24405 | 6 | Parement est composé de blocs de pouzzolane et de basalte grossièrement équarris, de module moyen (0,20 x 0,20 x 0,15 m). On note 3 voire 4 assises de 0,15 m de haut en moyenne. La dernière assise repose sur le rocher. | Construite | 578,4 | 577,83 | 0,9 | 0,2 | 0,6 |
| 24405 | 7 | Parement sud constitué de nombreux blocs de pouzzolane et de quelques blocs de basalte, de module moyen (0,20 x 0,20 x 0,15 m). Les blocs sont grossièrement équarris et sont disposés sur 2 voire 3 assises. La dernière assise repose sur le rocher. | Construite | 578,5 | 578,17 | 1 | 0,2 | 0,39 |
| 24405 | 8 | Parement ouest composé de deux blocs de basalte de module moyen (0,25 x 0,20 x 0,20 m) reposant sur le rocher. Sur ces deux blocs se trouvent 2 petits blocs de pouzzolane de petit module (0,10 x 0,15 x 0,10 m). Les blocs sont grossièrement équarris et créent deux assises. | Construite | 578,4 | 578,11 | 0,5 | 0,2 | 0,24 |
| 24405 | 9 | Emmarchement constitué d'une dalle de mortier rectangulaire. Elle mesure 60 m de long par 0,22 m de large et 0,20 m de haut. La dalle est posée sur le rocher. Le mortier est composé de graviers de basalte (0,01 de diamètre) et de gravillons de pouzzolane (0,005 de diamètre) ainsi que de sable. | Construite | 578,5 | 578,01 | 1 | 0,50 | 0,5 |
| 24406 | | Nettoyage manuel au nord-est du secteur nord-ouest | Technique | / | / | / | / | / |
| 24407 | | Trou de poteau de forme ovoïde creusé dans le rocher présentant des bords subverticaux, un fond irrégulier et un profil en cuvette. Le rocher taillé sert de calage. | Négatif | 578,6 | 578,54 | 0,4 | 0,35 | 0,1 |
| 24407 | 1 | Comblement constitué d'un limon argileux noir, d'un fragment de panse d'amphore, un fragment de quartz et un bloc de calage en basalte. | Positif | 578,6 | 578,54 | 0,4 | 0,35 | 0,1 |

| | | | | | | | | |
|--------------|----------|--|---------|-------|--------|------|------|------|
| 24408 | | Fossé creusé dans le rocher suivant une forme longiligne et courbe. Ses bords sont subverticaux, son fond irrégulier et ses profils en cuvette. Il est orienté NO/SE au sud puis NNO/SSE au nord. | Négatif | 578,8 | 578,52 | 3,5 | 0,6 | 0,24 |
| 24408 | 1 | Remplissage constitué d'un limon argileux noir, de nombreux fragments d'amphore de module moyen (0,15 x 0,10 m), quelques tessons de céramique de gros et moyen module (0,10x 0,05 et 0,05 x 0,03 m), quelques restes de faune moyennement conservés, quelques clous et 1 poids en pouzzolane. | Positif | 578,8 | 578,52 | 3,5 | 0,6 | 0,24 |
| 24409 | | Trou de poteau circulaire creusé dans la pouzzolane. Le creusement dessine des bords verticaux, un fond plat donc un profil en U. | Négatif | 578,6 | 578,32 | 0,8 | 0,8 | 0,28 |
| 24409 | 1 | Comblement constitué d'un limon argileux noir et de quelques nodules de charbon, rares. On remarque la présence de fragments d'amphore de petit module (0,05x0,05m), de quelques tessons de céramique de petit module (0,02,0,02m), rare morceaux de métal et rares traces de faune en raison de la très mauvaise conservation de celle-ci. On note un demi jeton en surface ainsi que 2 fragments de bronze et de nombreuses pierres de calage en basalte et pouzzolane de moyen module (0,30x0,15m). | Positif | 578,6 | 578,32 | 0,8 | 0,8 | 0,28 |
| 24410 | | UF annulée | | | | | | |
| 24411 | | Structure implantée dans le rocher. Elle prend une forme quadrangulaire irrégulière. Ses bords verticaux et son fond plat dessinent un profil en cuvette. Elle suit un axe NE/SO. | Négatif | 578,2 | 577,9 | 1 | 0,7 | 0,34 |
| 24411 | 1 | Comblement constitué d'un sédiment limono-argileux noir ponctué de rare matériel. | Positif | 578,2 | 577,9 | 1 | 0,7 | 0,34 |
| 24412 | | Niveau de sol constitué de gravillons de pouzzolane (0,01x0,01m). Rares inclusions de céramique. | Positif | 578,3 | 578,24 | 0,5 | 0,38 | 0,01 |
| 24413 | | Fosse creusée dans le rocher selon une forme ovoïde. Ses bords sont subverticaux, son fond est concave et son profil en cuvette. Elle est orientée E/O. | Négatif | 578,8 | 578,57 | 1,2 | 0,9 | 0,23 |
| 24413 | 1 | Remplissage constitué d'un sédiment limono-argileux noir, un clou, un reste de faune, un galet et une quinzaine de tessons de céramique. | Positif | 578,8 | 578,57 | 1,2 | 0,9 | 0,23 |
| 24414 | | Trou de poteau circulaire creusé dans le rocher. Il présente des bords subverticaux, un fond incurvé irrégulier et un profil en cuvette. | Négatif | 578,7 | 578,46 | 0,7 | 0,52 | 0,26 |
| 24414 | 1 | Le comblement est constitué d'un limon argileux noir, de quelques fragments d'amphore de petit module (0,08x0,06m), peu de restes de faune de petit module (0,02x0,01m) et quelques tessons de céramique de moyen module (0,04x0,03m). | Positif | 578,7 | 578,46 | 0,7 | 0,52 | 0,26 |
| 24415 | | Trou de poteau circulaire creusé dans le cailloutis du bronze et dans le rocher. Ses bords sont subverticaux, son fond plat et son profil en cuvette. | Négatif | 578,4 | 578,24 | 0,42 | 0,42 | 0,15 |
| 24415 | 1 | Remplissage constitué d'un sédiment limono-argileux noir, de nombreux fragments d'amphore de module moyen (0,15x0,10m), trois restes de faune (0,08x0,01m), trois tessons de céramique (0,02x0,015) et un reste lithique. | Positif | 578,4 | 578,24 | 0,42 | 0,42 | 0,15 |

| | | | | | | | | |
|--------------|----------|--|-----------|-------|--------|------|------|------|
| 24416 | | Fond de fosse de forme irrégulière implantée dans le rocher selon un axe E-O. Ses bords verticaux très arasés et son fond est convexe dessinent un profil particulier. | Négatif | 578,6 | 578,41 | 0,8 | 0,6 | 0,18 |
| 24416 | 1 | Comblement constitué d'un limon argileux noir, d'une quarantaine de tessons de céramique (dont sigillée) de petit module (0,02x0,01m), de deux galets, de rares fragments d'amphore de petit module (0,04x0,02m), de rares restes de faune de très petit module (0,02x0,01m) et de deux petits blocs de mortier. | Positif | 578,6 | 578,41 | 0,8 | 0,6 | 0,18 |
| 24417 | | Creusement dans le rocher d'orientation NNE-SSO, de forme longiligne dont l'extrémité ouest est arrondie et l'extrémité est ouverte sur 24405. Les bords sont subverticaux, le fond est plat et pentu vers l'est. | Négatif | 578,7 | 578,51 | 1,78 | 0,4 | 0,14 |
| 24417 | 1 | Remplissage composé d'un sédiment limono-argileux noir, contenant quatre restes de faune, de nombreux clous, quelques tessons de céramique de petit et moyen module (0,03x0,02m/0,05x0,04m), quelques fragments d'amphore de petite taille (0,03x0,02m) dont deux fragments de forme (un grand fragment d'épaule avec départ d'anse et une anse). | Positif | 578,7 | 578,51 | 1,78 | 0,4 | 0,14 |
| 24418 | | Démontage de l'ensemble de pierres situé au sud de la canalisation. | Technique | / | / | / | / | / |
| 24419 | | Structure creusée dans le rocher, coupée par la berme ouest. La forme apparente est ovoïde. Bords subverticaux, fond concave, profil en cuvette. | Négatif | 578,6 | 578,31 | 0,8 | / | 0,3 |
| 24419 | 1 | Comblement constitué d'un limon argileux noir contenant une dizaine de fragments d'amphores de petit module (0,03x0,03m, maximum 0,10x0,06m), deux fragments de forme, deux restes de faune, deux galets, six tessons de céramique de petit module (0,02x0,02m). | Positif | 578,6 | 578,31 | 0,8 | / | 2,3 |
| 24420 | | Structure très arasée, creusée dans le rocher et coupée par la berme. Les bords visibles sont subverticaux, le fond est irrégulier, le profil semble en cuvette; | Négatif | 578,8 | 578,62 | / | / | 0,2 |
| 24420 | 1 | Remplissage composé d'un limon argileux noir, de rares tessons de céramique de petit module (0,02 x 0,03 m), 5 galets, 1 fragment de fer, 3 clous, 2 jetons et de rares restes de faune. | Positif | 578,8 | 578,62 | / | / | 1,2 |
| 24421 | | Trou de poteau de forme ovoïde creusé dans le rocher. Il présente des bords verticaux au sud et au nord et des bords subverticaux à l'est et à l'ouest. Le fond est irrégulier. Profil en cuvette. | Négatif | 578,5 | 578,36 | 0,6 | 0,4 | 0,14 |
| 24421 | 1 | Comblement constitué d'un limon argileux noir. Ont été retrouvés deux fragments d'amphore de petit module (0,02x0,0xm), un fragment de moyen module (0,10x0,10), un fragment de lèvre d'amphore, trois restes de faune (0,02x0,01m), une quinzaine de tessons de céramique de petit module (0,02x0,02m). | Positif | 578,5 | 578,36 | 0,6 | 0,4 | 0,14 |
| 24422 | | Structure de forme quadrangulaire creusée dans le rocher selon un axe NE-S. Les bords sont verticaux l'exception du bord NE subvertical. Le fond est plat le profil E-O est en U et le profil N-S est particulier. | Négatif | 578,4 | 578,26 | 0,6 | 0,22 | 0,18 |
| 24422 | 1 | Comblement composé d'un limon argileux noir, une vingtaine de fragments d'amphore de petit et moyen module (0,03 x0,03/ 0,15x0,10 m), quelques fragments de forme, une vingtaine de restes de faune moyennement conservés, une vingtaine de tessons de céramique de petit module (0,03 x 0,02 m), deux tiges de clou, 1 fragment de plaque de métal, 2 jetons et 2 galets. | Positif | 578,4 | 578,26 | 0,6 | 0,22 | 0,18 |

| | | | | | | | | |
|--------------|----------|--|---------|-------|--------|-------|------|------|
| 24423 | | Solin d'orientation NO/SE, constitué de nombreux blocs de basalte de grand et moyen module (0,15x0,10m/0,40x0,20m), de rares blocs de pouzzolane de module moyen (0,15x0,10m) On note la présence de quelques tuiles, de rares restes de faune et de quelques tessons de céramique. | Positif | 578,5 | 578,35 | 1,8 | 0,8 | 0,16 |
| 24424 | | Trou de poteau creusé dans le rocher selon une forme ovoïde et une orientation NO/SE. Le fond est irrégulier, les bords sont subverticaux et le profil en cuvette. | Négatif | 578,9 | 578,67 | 0,8 | 0,74 | 0,22 |
| 24424 | 1 | Remplissage constitué d'un limon argileux noir contenant quatre restes de faune, une dizaine de fragments d'amphore de petit module (0,05x0,03m), deux fragments d'anse d'amphore ainsi que quatre tessons de céramique de petit module (0,02x0,02m). | Positif | 578,9 | 578,67 | 0,8 | 0,74 | 0,22 |
| 24425 | | Trou de poteau de forme circulaire implanté dans le rocher. Il présente des bords subverticaux, un fond concave donc un profil en cuvette. | Négatif | 578,6 | 578,48 | 0,4 | 0,42 | 0,12 |
| 24425 | 1 | Comblement composé d'un limon argileux noir ponctué d'un fragment de lèvre d'amphore et de quatre restes de faune. | Positif | 578,6 | 578,48 | 0,4 | 0,42 | 0,12 |
| 24426 | | Trou de poteau circulaire taillé dans le rocher. Son fond est presque plat, ses bords sont subverticaux et son profil est en cuvette. | Négatif | 578,7 | 578,48 | 0,4 | 0,42 | 0,19 |
| 24426 | 1 | Comblement composé d'un limon noir argileux et d'un tesson de céramique (0,05x0,03m). | Positif | 578,7 | 578,48 | 0,4 | 0,42 | 0,19 |
| 24427 | | Tranchée de palissade longiligne creusée dans le rocher selon un axe NNO/SSE. Son extrémité sud est arrondie, l'autre est recoupée par un fossé. Ses bords subverticaux et son fond plat en pente vers le nord dessinent un profil longitudinal en cuvette et transversal en V. | Négatif | 578,8 | 578,38 | 2 | 0,4 | 0,42 |
| 24427 | 1 | Remplissage composé d'un limon argileux noir ainsi que de neuf restes de faune, 18 tessons de céramique de petit module (0,02x0,02m), deux clous et 15 fragments d'amphore de petit module (0,03x0,02m). | Positif | 578,8 | 578,38 | 2 | 0,4 | 0,42 |
| 24428 | | Structure creusée dans le rocher selon une forme carré aux angles arrondis. Elle présente des bords subverticaux, un fond presque plat et un profil en cuvette. | Négatif | 578,7 | 578,51 | 1,55 | 1,4 | 0,23 |
| 24428 | 1 | Comblement constitué d'un limon argileux noir, d'une dizaine de fragments de forme d'amphore (0,10x0,08m), de quelques fragments de panse d'amphore, une dizaine de clous, une vingtaine de tessons de céramique (0,05x0,03), une trentaine de restes de faune, quelques galets et plusieurs plaques en fer sur les côtés. | Positif | 578,7 | 578,51 | 1,55 | 1,4 | 0,23 |
| 24429 | | Tranchée creusée dans le rocher. Elle est de forme allongée d'orientation NNO/SSE, ses extrémités sont recoupées. Ses bords subverticaux et son fond plat irrégulier forment un profil en cuvette. | Négatif | 578,7 | 578,4 | >1,00 | 0,4 | 0,3 |
| 24429 | 1 | Comblement constitué d'un limon argileux noir, de nombreux fragments d'amphore de petit module (0,04x0,04m) ainsi que 2 formes d'amphore, de quelques restes de faune de module moyen (0,08x0,04m), de quelques tessons de céramique de module moyen (0,05x0,03m), de trois clous et deux galets. | Positif | 578,7 | 578,4 | >1,01 | 0,4 | 0,3 |

| | | | | | | | | |
|--------------|----------|--|-----------|-------|--------|-------|-------|------|
| 24430 | | Trou de poteau circulaire taillé dans le rocher en cuvette. Les bords sont subverticaux et le fond concave. | Négatif | 578,9 | 578,68 | 0,4 | 0,4 | 0,21 |
| 24430 | 1 | Remplissage composé d'un limon argileux noir, douze tessons de céramique de petit module (0,03x0,03m), cinq fragments de faune, un galet, cinq fragments d'amphore de très petit module (0,02x0,01m) et trois fragments de petit module (0,07x0,03m). | Positif | 578,9 | 578,68 | 0,4 | 0,4 | 0,21 |
| 24431 | | Trou de poteau ovoïde creusé dans le rocher. Ses bords subverticaux et son fond presque plat dessinent un profil en cuvette. | Négatif | 578,7 | 578,58 | 0,6 | 0,5 | 0,16 |
| 24431 | 1 | Comblement composé d'un limon noir argileux, un fragment de forme d'amphore (0,08x0,06m), quatre tessons de céramique (0,03x0,02m), un fragment de panse d'amphore (0,10x0,08m), un clou et un galet. | Positif | 578,7 | 578,58 | 0,6 | 0,5 | 0,16 |
| 24432 | | Fosse ovoïde creusée dans le rocher selon une orientation N/S avec emmarchement à fond plat probable au sud. Les bords sont subverticaux, le fond est irrégulier et le profil général est en cuvette. On note un surcreusement au nord, profond de 0,20m et large de 0,60x0,60m dont le fond est plat, les bords subverticaux et le profil en cuvette. | Négatif | 578,7 | 578,23 | >1,50 | >1,10 | 0,46 |
| 24432 | 1 | Comblement composé d'un limon argileux noir, une quarantaine de restes de faune de module moyen (0,05x0,02m), environ cinq clous, au moins une centaine de tessons de céramique de petit module (0,03x0,02m, de nombreux fragments d'amphore de petit module (0,04x0,04m), une monnaie gauloise et un jeton. | Positif | 578,7 | 578,23 | >1,50 | >1,10 | 1,46 |
| 24433 | | Fosse longiligne aux extrémités arrondies, d'axe NNO/SSE, implantée dans le rocher. Le bord est vertical et le bord ouest subvertical. Le fond est plat et le profil en cuvette. On remarquera la présence de quelques blocs de basalte alignés sur le bord est. | Négatif | 578,7 | 578,33 | >1,50 | 0,7 | 0,34 |
| 24433 | 1 | Remplissage constitué d'un limon argileux noir, une dizaine de tessons de céramique de petit module (0,03x0,02m), rares restes de faune (0,05x0,01m), une dizaine de fragments d'amphore (0,10x0,08m), deux fragments d'anse et un clou. | Positif | 578,7 | 578,33 | >1,50 | 0,7 | 0,34 |
| 24434 | | Trou de poteau taillé dans le rocher selon une forme ovoïde et un profil en cuvette. Ses bords sont subverticaux et son fond plat. | Négatif | 578,6 | 578,29 | 0,6 | 0,5 | 0,27 |
| 24434 | 1 | Comblement composé d'un limon noir argileux, de cinq fragments d'amphore de petit et moyen module (0,08x0,04) et d'un tesson de céramique de petit module (0,02x0,02). | Positif | 578,6 | 578,29 | 0,6 | 0,5 | 0,27 |
| 24435 | | Tranchée creusée dans le basalte selon une forme longiligne aux extrémités arrondies et suivant une orientation NE/SO. Ses bords sont subverticaux son fond est en cuvette. Le profil dessiné est en cuvette. | Négatif | 578,6 | 578,41 | 1,5 | 0,4 | 0,18 |
| 24435 | 1 | Comblement composé d'un limon argileux noir. Matériel très rare. | Positif | 578,6 | 578,41 | 1,5 | 0,4 | 0,18 |
| 24436 | | Démontage de la berme entre 24130 et 24131 | Technique | 578,5 | 578,09 | 1,1 | 0,3 | 0,39 |
| 24437 | | Fosse creusée dans le rocher selon une forme quadrangulaire et un axe Non/SSE; Ses bords sont subverticaux, son fond plat et son profil en cuvette. | Négatif | 578,2 | 577,88 | 1,5 | 1,4 | 0,3 |

| | | | | | | | | |
|-------|---|---|---------|-------|--------|------|------|------|
| 24437 | 1 | Remplissage constitué d'un limon argileux brun foncé assez meuble, de très nombreux fragments d'amphore de moyen et gros module (0,15 à 0,30m), de nombreux tessons de céramique de petit et moyen module (0,03 à 0,10m), de très nombreux fragments de faune d'état de conservation correct, quelques clous et quelques jetons en céramique. | Positif | 578,2 | 577,88 | 1,5 | 1,4 | 0,3 |
| 24438 | | Trou de poteau creusé dans le rocher, de forme ovoïde avec des bords subverticaux, un fond concave et un profil en cuvette. | Négatif | 578,8 | 578,46 | 0,52 | 0,42 | 0,3 |
| 24438 | 1 | Comblement composé d'un limon argileux noir, de 2 fragments d'anse d'amphore, un départ d'anse, un fragment d'embouchure, 4 fragments moyens d'amphore (0,08x0,06 m), 3 tessons de céramique moyens (0,03 x 0,04 m) et 4 fragments de faune (0,04 x 0,02 m). | Positif | 578,8 | 578,46 | 0,52 | 0,42 | 0,3 |
| 24439 | | Structure (fosse) de forme ovoïde, implantée dans le roche selon un axe NE/SO. Ses bords sont verticaux, son fond est plat et son profil est en U. | Négatif | 578,4 | 578,14 | 2 | 1,2 | 0,3 |
| 24439 | 1 | Comblement limono-argileux noir, charbonneux. On retrouve des fragments d'amphore, de nombreux tessons de céramique, de nombreux restes de faune et quelques clous. | Positif | 578,4 | 578,14 | 2 | 1,2 | 0,3 |
| 24440 | | Trou de poteau taillé dans le rocher, de forme ovoïde mais irrégulière. Ses bords sont subverticaux, son fond est plat et son profil en cuvette. | Négatif | 578,7 | 578,55 | 0,5 | 0,5 | 0,13 |
| 24440 | 1 | Remplissage constitué d'un sédiment limono-argileux, 4 fragments de faune, 1 tesson de céramique (0,02x0,01 m) et 2 fragments d'amphore (0,03 x 0,03 m) | Positif | 578,7 | 578,55 | 0,5 | 0,5 | 0,13 |
| 24441 | | Trou de poteau creusé dans le niveau d'occupation et le rocher. Sa forme est ovoïde et s'oriente du nord au sud. Ses bords sont subverticaux, son fond est plat et son profil en cuvette. | Négatif | 578,4 | 578,31 | 0,7 | 0,55 | 0,11 |
| 24441 | 1 | Comblement composé d'un limon argileux noir, 5 fragments d'amphore de module moyen (0,10 x 0,08m), 4 fragments de forme d'amphore (2 lèvres, 1 anse et 1 départ d'anse), 7 restes de faune de moyen module (0,04 x 0,04 m), 2 clous et 7 tessons de céramique. | Positif | 578,4 | 578,31 | 0,7 | 0,55 | 0,11 |
| 24442 | | Trou de poteau creusé dans le rocher selon une forme circulaire, des bords subverticaux , un fond plat et un profil en cuvette. | Négatif | 578,4 | 578,3 | 0,4 | 0,38 | 0,09 |
| 24442 | 1 | Comblement constitué d'un limon argileux noir, 1 fragment d'anse d'amphore, 1 fragment de pied et 3 restes de faune. | Positif | 578,4 | 578,3 | 0,4 | 0,38 | 0,09 |
| 24443 | | UF annulée | | | | | | |
| 24444 | | Trou de poteau de forme circulaire creusé dans le rocher. Il présente des bords subverticaux, un fond concave et un profil en cuvette. | Négatif | 578,3 | 578,21 | 0,25 | 0,2 | 0,05 |
| 24444 | 1 | Remplissage composé d'un limon argileux noir et d'un fragment d'anse d'amphore (0,18 x 0,05 m). | Positif | 578,3 | 578,21 | 0,25 | 0,2 | 0,05 |
| 24445 | | trou de poteau de forme ovoïde implanté dans le rocher. Ses bords sont subverticaux, son fond est plat et son profil en cuvette. Il est orienté N/S. | Négatif | 578,7 | 578,54 | 0,26 | 0,36 | 0,14 |
| 24445 | 1 | Comblement constitué d'un limon argileux noir, de 2 fragments d'amphore de très petit module (0,02 x 0,02m) et un fragment de tuile de même module. | Positif | 578,7 | 578,54 | 0,26 | 0,36 | 0,14 |

| | | | | | | | | |
|--------------|----------|--|-----------|-------|--------|------|------|------|
| 24446 | | Trou de poteau creusé dans le rocher et le niveau d'occupation. Il dessine un trou circulaire à bords subverticaux et verticaux, un fond plat et un profil en U/V. | Négatif | 578,6 | 578,23 | 0,4 | 0,4 | 0,32 |
| 24446 | 1 | Comblement composé d'un limon argileux noir, 6 fragments de céramique (0,06 x 0,02m), 4 fragments d'amphore (0,08 x 0,05 m), 3 restes de faune et des pierres de calage en basalte et pouzzolane. | Positif | 578,6 | 578,23 | 0,4 | 0,4 | 0,32 |
| 24447 | | Décapage dans le bâtiment N | Technique | / | / | / | / | / |
| 24448 | | UF annulée | | | | | | |
| 24449 | | Trou de poteau (?) taillé dans le rocher. Il dessine une forme carrée, ses bords sont subverticaux, son fond est irrégulier et son profil en V. | Négatif | 578,5 | 578,44 | 0,2 | 0,2 | 0,08 |
| 24449 | 1 | Remplissage constitué d'un limon argileux noir, 2 fragments d'amphore de petit module (0,04 x 0,04 m) dont 1 anse. | Positif | 578,5 | 578,44 | 0,2 | 0,2 | 0,08 |
| 24450 | | Fosse creusée dans le rocher, de forme ovoïde allongée d'axe Non/SSE. Ses bords sont subverticaux, son fond est plat et son profil en cuvette. | Négatif | 578,6 | 578,5 | 1,54 | 0,52 | 0,13 |
| 24450 | 1 | Comblement composé d'un limon argileux noir, 1 tesson de céramique (0,02 x 0,02 m), 3 restes de faune de même module et 1 fragment d'amphore (0,12 x 0,12m) de module moyen. | Positif | 578,6 | 578,5 | 1,54 | 0,52 | 0,13 |
| 24451 | | Structure creusée dans le rocher de forme non lisible car coupée par la berme nord. Les bords visibles sont subverticaux, son fond est concave donc son profil est probablement en cuvette (son orientation semble NO/SE). | Négatif | 578,4 | 578,08 | / | / | 0,3 |
| 24451 | 1 | Comblement constitué d'un sédiment limono-argileux noir et de 3 fragments d'amphore de petit module (0,04 x 0,04 m). | Positif | 578,4 | 578,08 | / | / | 0,3 |
| 24452 | | Creusement de sole de foyer, non observable. | Négatif | 578,2 | 578,15 | 0,55 | 0,4 | 0,02 |
| 24452 | 1 | Sole de foyer composée d'une couche d'argile chauffée de couleur orangée. | Positif | 578,2 | 578,15 | 0,55 | 0,4 | 0,02 |
| 24453 | | Fosse implantée dans le rocher, de forme quadrangulaire aux angles arrondis, orientée NO/SE. Elle présente des bords subverticaux, un fond plat avec surcreusement central et un profil en cuvette. | Négatif | 578 | 577,67 | 1,9 | 2,8 | 0,36 |
| 24453 | 1 | Remplissage composé d'un limon argileux noir et de quelques fragments de calcaire (dallettes ?). Mélangé avec 24455 et 24456. Fragments d'amphore, tessons de céramique, faune et clous... | Positif | 578 | 577,67 | 1,9 | 2,8 | 0,36 |
| 24454 | | Fosse taillée dans le rocher selon une forme générale quadrangulaire; Son fond est irrégulier, ses bords subverticaux. Elle présente un profil en cuvette. | Négatif | 578,7 | 578,38 | 1,7 | 1,7 | 0,27 |
| 24454 | 1 | Comblement constitué d'un sédiment limono-argileux noir, nombreux restes de faune de tous les modules, de rares restes de tuile (0,10 x 0,04 m), de nombreux tessons de céramique de tous les modules, de nombreux clous (0,07 x 0,01m) et de nombreux fragments d'amphore de moyen et petit module (0,15 x 0,10 et 0,04 x 0,03m). | Positif | 578,7 | 578,38 | 1,7 | 1,7 | 0,27 |
| 24455 | | Fosse creusée dans le rocher, de forme quadrangulaire, aux bords subverticaux et au fond concave et plat. Son profil général est en cuvette. | Négatif | 578,3 | 577,72 | 2,5 | 1 | 0,54 |

| | | | | | | | | |
|-------|---|--|----------|-------|--------|------|------|------|
| 24455 | 1 | Comblement constitué d'un limon argileux noir. Mélangé avec 24453 et 24455. Fragments d'amphore, tessons de céramique, faune et clous, quelques fragments de calcaire (dallettes ?).... | Positif | 578,3 | 577,72 | 2,5 | 1 | 0,54 |
| 24456 | | Fosse quadrangulaire, creusée dans le rocher. | Négatif | 578,4 | 578,07 | 0,8 | 0,5 | 0,28 |
| 24456 | 1 | Remplissage composé d'un limon argileux noir. Mélangé avec 24453 et 24455. Fragments d'amphore, tessons de céramique, faune et clous, quelques fragments de calcaire (dallettes ?).... | Positif | 578,4 | 578,07 | 0,8 | 0,5 | 0,28 |
| 24457 | | Structure creusée dans le rocher. Elle présente des bords subverticaux. Coupée par la berme nord. En cours de fouille. | Négatif | / | / | / | 4 | / |
| 24457 | 1 | Comblement composé d'un sédiment limono-argileux noir, quelques fragments d'amphore, de nombreux fragments d'amphore, de nombreux tessons de céramique, de très nombreux fragments de faune et quelques restes métalliques. | Positif | / | / | / | 4 | / |
| 24458 | | Sablère creusée dans le rocher. Sa forme est allongée, ses bords sont subverticaux, son fond concave et son profil en cuvette. Elle suit un axe NNO/SSE. | Négatif | 578,2 | 577,92 | 2,2 | 0,3 | 0,24 |
| 24458 | 1 | Comblement constitué d'un limon argileux noir, de fragments d'amphore, de tessons de céramique et des restes de faune. | Positif | 578,2 | 577,92 | 2,2 | 0,3 | 0,24 |
| 24459 | | Trou de poteau creusé dans le rocher. Il présente une forme ovoïde, des bords subverticaux, un fond plat et un profil en cuvette. Elle est orientée NO/SE | Négatif | 578,8 | 578,65 | 0,5 | 0,3 | 0,12 |
| 24459 | 1 | Remplissage constitué d'un sédiment limono-argileux noir, 3 petits fragments d'amphore (0,02 x 0,02 m) et 2 tessons de céramique (0,04 x 0,04). | Positif | 578,8 | 578,65 | 0,5 | 0,3 | 0,12 |
| 24500 | | Recharge du niveau de sol UF 24500 composé d'un tissu irrégulier de mobilier de type amphore, faune et céramique peu dense. | Positive | 576,1 | 575,92 | 2,6 | 1,5 | 0,16 |
| 24501 | | Niveau de sol composé d'un maillage très serré de tessons d'amphore, de faune et de céramiques posées à plat. | Positive | 576,1 | 575,99 | 1 | 7 | 0,09 |
| 24502 | | Creusement de trou de poteau au profil en "U", creusé dans le substrat rocheux. | Négative | 575,9 | 575,72 | 0,36 | 0,34 | 0,21 |
| 24502 | 1 | Comblement du trou de poteau 24502 par un sédiment brun foncé. Présence de très peu de mobilier ormis quelques fragments d'amphore de petite taille et de quelques restes faunique. | Positive | 575,9 | 575,72 | 0,36 | 0,34 | 0,21 |
| 24503 | | Creusement d'une fosse au profil en cuvette qui possède un méger surcreusement circulaire en partie nord. Les parois très arasées sont à peine visibles. | Négative | 575,9 | 575,81 | 1,5 | 0,38 | 0,1 |
| 24503 | 1 | Comblement de la fosse 24503 par un sédiment brun foncé riche en mobilier amphorique et faune (de grande taille), présence notable de céramique. | Positive | 575,9 | 575,81 | 1,5 | 0,38 | 0,1 |
| 24504 | | Creusement d'un très gros trou de poteau monumental (type galerie du sanctuaire ou esplanade fouillée en 2012). Large ouverture circulaire et creusement en légère cuvette. Les parois restent relativement verticales et viennent se resserrer en partie inférieur du comblement. | Négative | 575,9 | 574,99 | 1 | 1 | 0,94 |

| | | | | | | | | |
|-------|---|--|----------|-------|--------|------|------|------|
| 24504 | 1 | Comblement de trou de poteau composé d'une couche limono-argileuse brune, compacte. Présence de restes amphoriques, de faune, céramique et rare métal. A noter également la présence de restes humains dont une mâchoire inférieure, plusieurs vertèbres en connexion ainsi qu'un fragment de calotte crânienne. | Positive | 575,9 | 574,99 | 1 | 1 | 0,94 |
| 24505 | | Annulé | | | | | | |
| 24506 | | Creusement en cuvette d'une petite sablière (?) au profil très arrasé. | Négative | 575,9 | 575,8 | 1,04 | 0,42 | 0,1 |
| 24506 | 1 | Comblement de la sablière 24506 par un sédiment brun très foncé. Peu de mobilier laténien, quelques restes amphoriques de petite taille et céramique de l'âge du bronze dans le fond. | Positive | 575,9 | 575,8 | 1,04 | 0,42 | 0,1 |
| 24507 | | Creusement de trou de poteau, Profil en cuvette, creusé dans le basalte. Le fond est irrégulier tandis que la vue en plan est circulaire. | Négative | 576 | 575,89 | / | / | 0,1 |
| 24507 | 1 | Comblement limono-argileux brun à tendance grisâtre du trou de poteau 24507. Présence rare de tessons d'amphore, faune ou autre mobilier céramique. Aucun métal. | Positive | 576 | 575,89 | / | / | 0,1 |
| 24508 | | Niveau de sol composé d'un tissu irrégulier de mobilier de type amphore, faune et céramique peu dense. Couche primaire d'un niveau de sol dont la recherche est l'UF 24500. | Positive | 576 | 575,88 | 2,6 | 1,5 | 0,1 |
| 24509 | | Creusement de trou de poteau. Profil en cuvette taillé dans le substrat basaltique. Circulaire vu en plan. Fonctionne avec les trous de poteaux UF 24510 et 24502. | Négative | 575,9 | 575,79 | 0,38 | 0,34 | 0,14 |
| 24509 | 1 | Comblement du trou de poteau UF 24509. Sédiment brun compact. Présence d'un rare matériel amphorique ou de tout autre type. Présence toutefois d'un gros calage de basalte piégé dans ce comblement. | Positive | 575,9 | 575,79 | 0,38 | 0,34 | 0,14 |
| 24510 | | Creusement de trou de poteau. Profil en cuvette taillé dans le socle basaltique, circulaire vu en plan. | Négative | 576,1 | 575,87 | 0,42 | 0,4 | 0,19 |
| 24510 | 1 | Comblement limono-argileux brun compact du trou de poteau UF 24510. Présence rare de matériel amphorique, faune ou céramique. | Positive | 576,1 | 575,87 | 0,42 | 0,4 | 0,19 |
| 24511 | | Creusement de trou de poteau. Profil en "U" et circulaire vu en plan. | Négative | 575,9 | 575,73 | 0,22 | 0,2 | 0,16 |
| 24511 | 1 | Comblement limono-argileux brun compact et homogène. Absence totale de mobilier qui rattache cette structure à l'état 1 du site. | Positive | 575,9 | 575,73 | 0,22 | 0,2 | 0,16 |
| 24512 | | Très vaste épandage de mobilier avant tout amphorique ou faunique assimilé à un niveau de sol qui s'articule autour de toutes les structures de types fosses ateliers présentes en parties ouest du secteur. Le maillage de ce niveau de sol est très peu serré mais la superficie couverte reste importante. | Positive | 576,2 | 576,01 | 12 | 10 | 0,15 |
| 24513 | | Annulé | Positive | | | | | |
| 24514 | | Annulé | Négative | | | | | |
| 24514 | 1 | Annulé | Positive | | | | | |
| 24515 | | Creusement de trou de poteau au profil en cuvette, circulaire vu en plan. | Négative | 575,8 | 575,7 | 0,24 | 0,22 | 0,07 |

| | | | | | | | | |
|--------------|----------|---|------------|-------|--------|------|------|------|
| 24515 | 1 | Comblement du trou de poteau 24515 par un sédiment brun foncé dans lequel ne se présente aucun mobilier. Etat 1. | Positive | 575,8 | 575,7 | 0,24 | 0,22 | 0,07 |
| 24516 | | Annulé | | | | | | |
| 24517 | | Annulé | | | | | | |
| 24517 | 1 | Annulé | | | | | | |
| 24518 | | Creusement d'une fosse en cuvette implantée dans le substrat basaltique. Forme ovoïde vu en plan. | Négative | 575,9 | / | / | / | |
| 24518 | 1 | Comblement limono-argileux de couleur brune foncée à tendance grisâtre. Présence de restes amphoriques de taille diverse (5 à 10 centimètres + formes), faune de petite taille et tessons de céramique fréquents. | Positive | 575,9 | / | / | / | |
| 24519 | | Radier de sol? Couche composé d'un tapis localisé de cailloux (2 à 5 centimètres) très serrés associés à des restes amphoriques et à de la TCA (présence notable de tuiles). Rares tessons de céramique ou restes métalliques. UF qui sert d'appui à l'UF 24055. | Positive | 576,1 | 576,01 | / | / | 0,11 |
| 24520 | | Creusement de fosse. Profil en cuvette profonde, circulaire vu en plan. | Négative | 577 | 576,66 | / | / | 0,29 |
| 24520 | 1 | Comblement limono-argileux brun-marron de la fosse UF 24520. Présence dans ce comblement de restes amphoriques fréquents qui matérialisent la fosse en surface. Associé à ce mobilier apparaissent plusieurs restes fauniques. La céramique et le métal sont rares. La structure de la fosse est bouleversée par l'aménagement romain UF 24521. | Positive | 576 | 576,66 | / | / | 0,29 |
| 24521 | | Aménagement maçonné composé d'un socle de mortier associé à du tuileau. | Construite | / | / | / | / | / |
| 24522 | | Creusement de fosse. Profil en cuvette profonde, circulaire vu en plan. | Négative | 577 | 576,59 | / | / | 0,36 |
| 24522 | 1 | Comblement limono-argileux brun-marron de la fosse UF 24522. Présence dans ce comblement de restes amphoriques fréquents qui matérialisent la fosse en surface. Associé à ce mobilier apparaissent plusieurs restes fauniques. La céramique et le métal sont rares. | Positive | 577 | 576,59 | / | / | 0,36 |
| 24523 | | Creusement très arasé d'une fosse atelier. Profil en cuvette? Forme ovoïde vu en plan. | Négative | 576 | 575,89 | 2,8 | 1,98 | 0,23 |
| 24523 | 1 | Comblement limono-argileux brun foncé. Présence fréquente d'amphore et de faune (dont gros module de plusieurs dizaines de centimètres), céramique et métal en marge. | Positive | 576 | 576,89 | 2,8 | 1,98 | 0,23 |
| 24524 | | Creusement de cellier avec un premier aménagement fossyé au profil en cuvette. Ce creusement s'accroît pour former un emmarchement avant de plonger pour former un nouveau creusement circulaire au profil en "U". Cet aménagement est directement implanté dans le substrat rocheux. | Négative | 575,9 | 575,41 | 3,16 | 1,98 | 0,52 |

| | | | | | | | | |
|--------------|----------|---|----------|-------|--------|-------------|------|------|
| 24524 | 1 | Comblement du cellier 24524 par un sédiment de couleur brune à tendance rosée en raison de la présence de pouzzolane. Beaucoup de fragments d'amphore et de faune (dont un grand nombre de mâchoire et dent), céramique fréquente. Le métal est cependant très peu représenté. | Positive | 575,9 | 575,41 | 3,16 | 1,98 | 0,52 |
| 24525 | | Creusement de fosse atelier avec présence de margelles pouvant soutenir des poteaux porteurs. Le creusement est en cuvette, avec un large fond légèrement concave. Vu en plan cette fosse est de forme oblongue et ovoïde. Ses abords extérieurs sont perturbés par de multiples recouplement avec d'autres structures. | Négative | 576 | 575,77 | Coupe 24548 | 2,3 | 0,22 |
| 24525 | 1 | Comblement de la fosse 24525. Sédiment brun foncé. Présence majoritaire de tessons d'amphore et de faune. Quelques restes de céramique. Le métal est ici d'avantage représenté sous formes de scories et autres coulures de fer. | Positive | 576 | 575,77 | Coupe 24548 | 2,3 | 0,22 |
| 24526 | | Creusement de fosse atelier au profil arasé certainement en cuvette. Taillé dans le substrat rocheux le fond de la fosse est très irrégulier avec un léger surcreusement un partie sud. Vu en plan la fosse se présente sous une forme ovoïde irrégulière. | Négative | 576 | 575,88 | 2,1 | 1,8 | 0,22 |
| 24526 | 1 | Comblement de la fosse 24526. Sédiment brun à tendance rosée en raison de la présence de pouzzolane. Présence fréquente de tessons d'amphore d'assez gros modules (anses notamment), beaucoup de faune. La céramique est rare et le métal quasi absent. | Positive | 576 | 575,88 | 2,1 | 1,8 | 0,22 |
| 24527 | | Niveau de sol composé d'un tissu homogène et très compact de tessons d'amphore et de faune posés à plat. Présence également de céramique. Le métal est beaucoup moins fréquent. Présence notable toutefois de nombreuses couleurs en alliage cuivreux. | Positive | 576,1 | 576,05 | 4 | 2 | 0,07 |
| 24528 | | Creusement de fosse de forme sub-quadrangulaire au profil en légère cuvette bien que très arasé | Négative | 576 | 575,94 | 1 | 0,94 | 0,1 |
| 24528 | 1 | Comblement de la fosse 24528. Sédiment brun à tendance grisâtre. Présence majoritaire de tessons d'amphore d'assez grande taille et de faune. Rare céramique et aucun métal. | Positive | 576 | 575,94 | 1 | 0,94 | 0,1 |
| 24529 | | Creusement de trou de poteau. Profil en cuvette taillé dans le substrat basaltique. Forme circulaire vue en plan. | Négative | 576 | 575,85 | 0,34 | 0,22 | 0,16 |
| 24529 | 1 | Comblement du trou de poteau 24529 par un sédiment brun à tendance grisâtre. Présence peu importante de mobilier. Quelques tessons d'amphore, un peu de faune et de rares fragments de céramique seulement. | Positive | 576 | 575,85 | 0,34 | 0,22 | 0,16 |
| 24530 | | Creusement de trou de poteau au profil en cuvette. Sa forme observée en plan est circulaire. Fond rocaillieux car creusé dans le socle basaltique. | Négative | 576 | 575,86 | 0,36 | 0,26 | 0,12 |
| 24530 | 1 | Comblement du trou de poteau 24530. Présence d'un sédiment brun à tendance grisâtre. Peu de mobilier avec toutefois quelques tessons d'amphores et fragments de faune. La céramique est plus rare et le métal absent. | Positive | 576 | 575,86 | 0,36 | 0,26 | 0,12 |
| 24531 | | Trou de poteau au profil en cuvette, circulaire vu en plan. | Négative | / | | / | / | / |

| | | | | | | | | |
|-------|---|--|----------|-------|--------|------|------|------|
| 24531 | 1 | Comblement du trou de poteau 24531. Peu de mobilier notable. Quelques rares tessons d'amphore et restes de faune sont à noter. | Positive | / | | / | / | / |
| 24532 | | Creusement très arasé d'un trou de poteau/piquet au profil non identifié. Sa forme en plan est circulaire. | Négative | / | / | 0,3 | 0,38 | 0,08 |
| 24532 | 1 | Comblement du trou de poteau/piquet 24532 par un sédiment brun à tendance grisâtre. Aucun mobilier conserve (Etat 1?). Seul une pierre de calage en basalte est présente dans ce remplissage. | Positive | / | / | 0,3 | 0,38 | 0,08 |
| 24533 | | Creusement en cuvette d'un trou de poteau implanté dans le substrat basaltique. Forme circulaire vu en plan. | Négative | 576,1 | 576,03 | 0,22 | 0,2 | 0,06 |
| 24533 | 1 | Comblement du trou de poteau 24533 par un sédiment brun à tendance grisâtre. Présence unique de rares tessons d'amphore de petite taille. | Positive | 576,1 | 576,03 | 0,22 | 0,2 | 0,06 |
| 24534 | | Creusement de trou de poteau en basse cuvette car très arasé. Implanté dans le substrat basaltique et de forme circulaire vu en plan. | Négative | 576 | 575,97 | 0,36 | 0,36 | 0,07 |
| 24534 | 1 | Comblement par un sédiment brun à tendance grisâtre du trou de poteau 24534. Très peu de mobilier récolté avec seulement quelques petits tessons d'amphore et de rares fragments de faune. | Positive | 576 | 575,97 | 0,36 | 0,36 | 0,07 |
| 24535 | | Annulé | Négative | | | | | |
| 24535 | 1 | Annulé | Positive | | | | | |
| 24536 | | Annulé | Annulé | | | | | |
| 24536 | 1 | Annulé | Annulé | | | | | |
| 24537 | | Creusement d'une petite fosse qui recoupe la fosse atelier 24525. Son creusement est en cuvette tandis que sa forme en plan est circulaire. | Négative | 575,9 | 575,78 | 1 | / | 0,08 |
| 24537 | 1 | Comblement de la fosse 24537 par un sédiment brun foncé relativement compact. Présence dans ce comblement d'une majorité de tessons d'amphore et de faune. On observe toutefois quelques fragments de céramique et de plus rares éléments métalliques. | Positive | 575,9 | 575,78 | 1 | / | 0,08 |
| 24538 | | Creusement d'une fosse au profil en cuvette qui recoupe également la fosse atelier 24525. Sa vue en plan est circulaire. | Négative | 575,9 | 575,74 | 1 | / | 0,13 |
| 24538 | 1 | Comblement de la fosse 24538 par un sédiment brun foncé et compact. Présence de tessons d'amphore et de faune. La céramique et le métal restent moins représentés. | Positive | 575,9 | 575,74 | 1 | / | 0,13 |
| 24539 | | Creusement de trou de poteau au profil en cuvette. Sa forme vraisemblablement circulaire vue en plan est toutefois coupée par la berme sud qui délimite le secteur. | Négative | 576 | 575,85 | 0,56 | / | 0,16 |
| 24539 | 1 | Comblement du trou de poteau 24539 par un sédiment brun foncé compact. Peu de mobilier à l'exception de rares fragments d'amphore ou de faune. | Positive | 576 | 575,85 | 0,56 | / | 0,16 |
| 24540 | | Creusement de trou de poteau à la configuration identique à celle de son voisin 24539. Creusement en cuvette perturbé par la berme sud qui ne permet pas d'observer intégralement sa forme en plan. | Négative | 576 | 575,91 | 0,42 | / | 0,1 |

| | | | | | | | | |
|--------------|----------|--|----------|-------|--------|------|------|------|
| 24540 | 1 | Comblement du trou de poteau 24540 par un sédiment brun foncé compact. Aucun de mobilier notable à observer. Rares sont les tessons d'amphore ou les fragments de faune. | Positive | 576 | 575,91 | 0,42 | / | 0,1 |
| 24541 | | Creusement de trou de poteau très effacé et à mettre en pointillé. Le profil d'une structure en cuvette se distingue très légèrement. | Négative | 576 | 576,91 | 0,52 | / | 0,1 |
| 24541 | 1 | Comblement du trou de poteau 24541 par un sédiment brun foncé compact. Aucun mobilier pertinent n'a été récolté. | Positive | 576 | 576,91 | 0,52 | / | 0,1 |
| 24542 | | Creusement en cuvette dans le substrat rocheux d'une vaste fosse dépotoire au profil circulaire vu en plan. | Négative | 576,1 | 575,68 | 1,96 | 1,86 | 0,44 |
| 24542 | 1 | Comblement de la fosse dépotoir 24542 par un sédiment brun à tendance rosée en raison de la présence de pouzzolane. Présence très majoritaire de fragments d'amphore de très grande taille (plusieurs anses, panses presque complètes, cols et lèvres entiers), beaucoup de faune dont des mâchoires et beaucoup de dents, la céramique de type vaisselle fine (assiettes, fond de plat,,,) est très fréquente et bien conservée. Le métal est également présent mais plus rare. | Positive | 576,1 | 575,68 | 1,96 | 1,86 | 0,44 |
| 24543 | | Creusement d'une fosse au profil en cuvette, circulaire vue en plan. | Négative | 575,9 | 575,79 | / | / | 0,07 |
| 24543 | 1 | Comblement de la fosse 24543 par un sédiment brun foncé compact riche en éléments amphoriques, faune et quelques plus rares céramiques. Aucun métal. | Positive | 575,9 | 575,79 | / | / | 0,07 |
| 24544 | | Creusement d'une fosse au profil en cuvette marqué par un profond surcreusement circulaire. La forme de cette fosse vue en plan est ovoïde. | Négative | 576 | 575,69 | 2,6 | 0,78 | 0,26 |
| 24544 | 1 | Comblement de la fosse 24544 par un sédiment brun relativement clair par rapport aux remplissages d'autres structures. Présence majoritaire de tessons d'amphore et de faune, la céramique est également bien représentée. | Positive | 576 | 575,69 | 2,6 | 0,78 | 0,26 |
| 24545 | | Annulé | Annulé | | | | | |
| 24545 | 1 | Annulé | Annulé | | | | | |
| 24546 | | Creusement d'une fosse atelier de forme oblongue et ovoïde. Son profil en cuvette est cependant fort arasé. | Négative | 575,9 | 575,82 | | | 0,1 |
| 24546 | 1 | Comblement de la fosse atelier 24546 par un sédiment brun foncé compact. Présence majoritaire de tessons d'amphore de taille moyenne (5 à 10 centimètres) et de faune. Ce remplissage au départ confondu avec celui de la fosse 24547 en a finalement été séparé du fait de la discordance du mobilier. | Positive | 575,9 | 575,82 | 3 | 1,08 | 0,1 |
| 24547 | 1 | Comblement de la fosse 24547 par un sédiment brun foncé compact. Son mobilier au départ confondu avec celui de la fosse 24546 en a été séparé. En effet, ici, les tessons d'amphore sont moins fréquents mais de plus grande taille (avec quelques formes). Présence également de faune. | Positive | 575,9 | 575,82 | | | 0,1 |
| 24548 | | Creusement d'une vaste fosse atelier au profil arasé mais en légère cuvette. Le fond est plat est rocailleux. La forme en plan est sub-quadrangulaire. | Négative | 576 | 575,76 | / | 2,18 | 0,23 |

| | | | | | | | | |
|-------|---|--|----------|-------|--------|------|------|------|
| 24548 | 1 | Comblement de la fosse 24548 par un sédiment brun foncé riche en matériel amphorique, faune et céramique. Le métal est en retrait. Présence également dans ce comblement de nombreux petits cailloux. | Positive | 576 | 575,76 | / | 2,18 | 0,23 |
| 24549 | | Creusement en cuvette d'une fosse atelier aux parois très arasées. Sa forme en plan est ovoïde et irrégulière. Le fond reste plat et marqué par les remontées du socle basaltique. | Négative | 576 | 575,74 | 3,04 | 2,42 | 0,21 |
| 24549 | 1 | Comblement de la fosse atelier 24549 par un sédiment brun foncé mêlé à de nombreux fragments d'amphore, de faune ou de céramique. Peu de métal et de nombreux petits cailloux. | Positive | 576 | 575,74 | 3,04 | 2,42 | 0,21 |
| 24550 | | Creusement d'un petit trou de poteau au profil en cuvette qui vient recouper les niveaux de l'âge du bronze. Sa forme vu en plan est circulaire. | Négative | 575,9 | 575,74 | 0,24 | 0,24 | 0,14 |
| 24550 | 1 | Comblement du trou de poteau 24550 par un sédiment brun foncé et compact bouleversé par la présence de fragment de sole de foyer de l'âge du bronze. | Positive | 575,9 | 575,74 | 0,24 | 0,24 | 0,14 |
| 24551 | | Creusement d'un large trou de poteau au profil en cuvette implanté dans le substrat rocheux. Sa forme vue en plan est grossièrement ovoïde ou du moins irrégulière. La berme qui recoupe la structure nous empêche d'observer le trou de poteau dans son intégralité. | Négative | 576 | 575,88 | 0,58 | 0,52 | 0,13 |
| 24551 | 1 | Comblement du trou de poteau 24551 par un sédiment brun à tendance rosée en raison de la présence de pouzzolane. Ce comblement est également riche en tessons d'amphore, faune et céramique. | Positive | 576 | 575,88 | 0,58 | 0,52 | 0,13 |
| 24552 | | Creusement en cuvette d'un trou de poteau, circulaire vu en plan. | Négative | 575,1 | 575,04 | / | / | 0,06 |
| 24552 | 1 | Comblement du trou de poteau 24552 par un sédiment brun foncé. Présence rare de mobilier à l'exception de quelques tessons d'amphore de petite taille, de faune et très peu d'éléments céramique. | Positive | 575,1 | 575,04 | / | / | 0,06 |
| 24553 | | Petit creusement pouvant correspondre à un trou de piquet, circulaire vu en plan. | Négative | 576,1 | 575,98 | 0,18 | 0,16 | 0,09 |
| 24553 | 1 | Comblement du trou de piquet 24553 par un sédiment brun foncé. | Positive | 576,1 | 575,98 | 0,18 | 0,16 | 0,09 |
| 24554 | | Creusement en cuvette d'un petit trou de poteau au profil circulaire vu en plan. | Négative | | | 0,26 | 0,24 | |
| 24554 | 1 | Comblement du trou de poteau 24554 par un sédiment brun foncé accompagné de rares tessons d'amphores ou fragments de faune. | Positive | | | 0,26 | 0,24 | |
| 24555 | | Annulé = 24551 | Annulé | | | | | |
| 24555 | 1 | Annulé = 24551-1 | Annulé | | | | | |
| 24556 | | Creusement d'une fosse atelier aux parois très arasées, sans doute en cuvette. Le fond est plat et creusé dans le substrat rocheux. La forme de la fosse vue en plan est grossièrement circulaire. | Négative | 576 | 575,88 | 2,72 | 2,4 | 0,15 |
| 24556 | 1 | Comblement de la fosse atelier 24556 par un sédiment brun foncé à tendance rosée en raison de la présence de pouzzolane. Ce remplissage est également riche en tessons d'amphore (parfois de grande taille), de faune et de nombreuses céramiques. Le métal est présent mais reste en marge. | Positive | 576 | 575,88 | 2,72 | 2,4 | 0,15 |

| | | | | | | | | |
|-------|---|---|--------------|-------|--------|-------|-------------|------|
| 24557 | | Creusement d'une fosse atelier au profil en cuvette dont les parois sont conservées irrégulièrement de sorte que la partie basse de la fosse se confond avec le substrat rocheux dans lequel elle est creusée. Sa forme en plan est circulaire. | Négative | 576 | 575,86 | 4,08 | 3,92 | 0,14 |
| 24557 | 1 | Comblement de la fosse atelier 24557 par un sédiment brun légèrement rosé en raison de la présence de pouzzolane dans le substrat. Ce remplissage est riche en tessons d'amphore de tailles diverses, de faune et de nombreux fragments de céramique. Le métal reste plus rare. | Positive | 576 | 575,86 | 4,08 | 3,92 | 0,14 |
| 24558 | | Creusement partiel d'une fosse recoupée par la berme sud. Son profil est en cuvette. | Négative | 575,8 | 575,68 | 1,1 | / | 0,15 |
| 24558 | 1 | Comblement de la fosse 24558 par un sédiment brun foncé compact où l'amphore est peu représentée. Peu de faune ou de céramique. | Positive | 575,8 | 575,68 | 1,1 | / | 0,15 |
| 24559 | | Creusement presque totalement arasé d'une sablière basse dont on devine seulement l'empreinte. | Négative | 576 | 575,94 | 1,64 | 0,24 | 0,06 |
| 24559 | 1 | Comblement de la sablière basse 24559 par un sédiment brun foncé accompagné de tessons d'amphore et de faune bien visibles en surface. Peu de céramique. | Positive | 576 | 575,94 | 1,64 | 0,24 | 0,06 |
| 24560 | | Creusement d'une petite fosse circulaire au profil en cuvette très arasé. | Négative | 576 | 575,96 | 0,4 | 0,36 | 0,04 |
| 24560 | 1 | Comblement de la fosse 24560 par un sédiment brun foncé très riche en tessons d'amphore et de formes, avec quelques restes de faune et de céramique. | Positive | 576 | 575,96 | 0,4 | 0,36 | 0,4 |
| 24561 | | Creusement d'un petit trou de poteau au profil en cuvette et de forme circulaire vu en plan. Ce trou de poteau est sans doute à rattacher au cellier 24524 qui lui est tout proche. | Négative | 576,1 | 575,92 | 0,6 | 0,2 | 0,14 |
| 24561 | 1 | Comblement du trou de poteau 24561 par un sédiment brun à tendance rosé. Présence majoritaire de fragments d'amphore ou de faune. | Positive | 576,1 | 575,92 | 0,6 | 0,2 | 0,14 |
| 24562 | | Creusement d'une fosse au profil en cuvette, de forme ovoïde vue en plan. | Négative | 575,9 | 575,82 | 0,95 | 0,9 | 0,1 |
| 24562 | 1 | Comblement de la fosse 24562 par un sédiment brun foncé riche en restes amphoriques et en faune, avec présence de quelques tessons de céramique. | Positive | 575,9 | 575,82 | 0,95 | 0,9 | 0,1 |
| 24700 | | Mur de terrasse ? | Positive | 575,9 | | 12,1 | 1,05 | |
| 24701 | | Niveau d'occupation laténien sous démolition romaine UF 24703 | Positive | 575,5 | | | | |
| 24702 | | Mur ouest (arrière) du sanctuaire | Positive | 575,9 | 575,49 | 10,45 | 0,28 à 0,45 | 0,4 |
| 24703 | | Démolition du portique du sanctuaire | Positive | 575,8 | | | | |
| 24704 | | Nettoyage de la voie romaine UF 24705 | Artificielle | 575,7 | 575,58 | | | |
| 24705 | | Voie romaine aménagée de dalles calcaires | Positive | 575,6 | | | | |
| 24706 | | Niveau d'occupation laténien à l'intérieur du sanctuaire (caisson derrière UF 24702) | Positive | 575,6 | | | | |
| 24707 | | Tache de tuileau: bassin ou sol? | Positive | | | | | |
| 24708 | | Couche d'occupation, sol? | Positive | | | | | |
| 24709 | | Remblai d'implantation du sol UF 24708 | Positive | | | | | |

| | | | | | | | | | |
|----------------|--|---|----------|-------|--------|-----|------|------|-----|
| 27547 | | Creusement d'une fosse au profil en cuvette et de forme ovoïde vu en plan. | Négative | 575,9 | 575,82 | | | | 0,1 |
| 25000 | | Décapage, nettoyage primaire de début de fouille. Sédiment limono-argileux gris à tendance marron, très homogène et poussierieux. Ramassage de surface du mobilier disposé en "vrac". Grand nombre d'amphores, de restes fauniques. Tessons de céramiques assez fréquents, mais rare présence de métal. Identique à 25002. | Positive | / | / | / | / | / | / |
| 25001 | | Démontage tuileau de la pièce est du bâtiment X. Sédiment limono-argileux de couleur marron clair, compact et homogène. Morceaux de tuileaux répandus en fragments épars éclatés. Très nombreux fragments d'amphore, de petit module. Présence assez fréquente de tessons de céramique et de restes fauniques, plus rare présence de métal. Présence de quelques morceaux de tuiles, ainsi que de nombreux cailloux de module moyen (5-10cm) répartis uniformément. | Positive | / | / | / | / | / | / |
| 25002 | | Décapage du secteur autour de la cave augustéenne. Nettoyage primaire de début de fouille. Mise en évidence de structures laténiennes accolées à la cave. Sédiment limono-argileux marron clair à tendance plus grisâtre, comact. Présence majoritaire de fragments d'amphore répartis en surface, nombreux tessons de céramique, grande quantité de faune, métal plus rare. Gros cailloux et nombreuses pierres non en place. | Positive | / | / | / | / | / | / |
| 25003 | | Nettoyage du niveau d'appartition de la structure 25018, à l'est du bâtiment Y et de la cave 24059. Sédiment limono-argileux de couleur grisâtre à tendance marron, compact. Peu de mobilier : quelques fragments d'amphore et tessons de céramique mais peu de restes de faune et de métal. Nombreux cailloux de module moyen, répartis uniformément. Rares charbons et présence à proximité de tessons de céramique de l'âge du Bronze. | Positive | / | / | / | / | / | / |
| 25004 | | Nettoyage primaire de début de fouille. Balayage de la pièce ouest du bâtiment X. Sédiment limono-argileux de couleur grise. Présence de rares fragments d'amphore, de céramique et de faune. | Positive | / | / | / | / | / | / |
| 25005 | | Puits laténien sur le secteur Nord | Positive | / | / | / | / | / | / |
| 25006 | | Creusement de fosse-atelier laténienne, en forme de haricot, d'un profil en cuvette. Le fond et les parois sont très irréguliers. | Négative | 578,7 | 578,54 | 4 | 1,18 | 0,13 | |
| 25006-1 | | Comblement de fosse-atelier laténienne, d'un sédiment limon-argileux brun à tendance grisâtre homogène. De nombreuses inclusions caillouteuses sont présentes, ainsi que des traces de rubéfaction sur les parois. Présence très régulière de clous et de fragments de fer. Grande quantité de faune carbonisée, et de tessons de céramique, mais faible présence de fragments d'amphore. | Positive | 578,7 | 578,54 | 4 | 1,18 | 0,13 | |
| 25007 | | Creusement de trou de poteau laténien en "U" dans le substrat basaltique, de forme circulaire vu en plan, dont les parois sont irrégulières et dont la surface présente une "couronne" de blocs de basalte. Le fond est plat. | Négative | 578,7 | 578,54 | 0,4 | 0,4 | 0,12 | |
| 25007-1 | | Comblement de trou de poteau laténien, d'un sédiment limono-argileux brun à tendance grisâtre, homogène et compact. Rare présence de matériel. Structure matérialisée en surface par le piégeage de blocs de basalte uniquement. | Positive | 578,7 | 578,54 | 0,4 | 0,4 | 0,12 | |
| 25008 | | Décapage à la pelle M au nord du bâtiment X. Sédiment limono-argileux brun-marron clair, homogène et irrégulièrement compact. Très fort pendage, plus rocailleux et présentant un socle basaltique en parité fautive avec un possible trou de poteau. La zone basse correspond à l'âge du | Positive | / | / | / | / | / | / |

| | | | | | | | | |
|----------------|--|---|----------|-------|--------|------|-----|------|
| | | Bronze. Présence de nombreux fragments d'amphore, et de rares tessons de céramique. S'appuie contre 25015 | | | | | | |
| 25009 | | Décapage à la pelle M, élargissement de la fouille à l'Est. Sédiment limono-argileux brun-marron, homogène et compact. Présence majoritaire de tessons d'amphore. Les restes de céramique et de faune sont également bien représentés. | Positive | / | / | / | / | / |
| 25010 | | Décapage sous terrazzo 23838 du bâtiment X. Présence de beaucoup de fragments d'amphore, beaucoup de faune, et peu de tessons de céramique. Quantité notable de gravillons. | Positive | 578,8 | 577,79 | / | / | / |
| 25011 | | Creusement de fosse laténienne, en légère cuvette peu profonde dans le substrat rocaillieux (pouzzolane ?). La forme et le fond de la structures sont très irréguliers. Recoupée par 25371. | Négative | / | 577,79 | / | / | / |
| 25011-1 | | Comblement de fosse laténienne, d'un sédiment limono-argileux brun-marron foncé, homogène et très compact. Présence de très nombreux fragments d'amphore de taille importante, présentant des formes (lèvres, anses, panses). Plus rare présence de restes de céramiques et de faune. Amphore présente depuis la surface jusqu'au fond de la structure. | Positive | / | 577,79 | / | / | / |
| 25012 | | Creusement de fosse laténienne, de forme irrégulière vu en plan, profil en cuvette peu profonde creusée dans le substrat rocheux. Le creusement recoupe les niveaux de l'âge du Bronze, ce qui donne des limites incertaines. | Négative | / | 577,79 | / | / | / |
| 25012-1 | | Comblement de fosse laténienne, d'un sédiment limono-argileux brun à tendance grisâtre, homogène et compact. Présence de nombreuses inclusions de petits cailloux (2-3cm diam.) Fragments d'amphore et tessons de céramique en grandes quantité, mais plus faire représentation de la faune. Présence d'une applique de char. | Positive | / | 577,79 | / | / | / |
| 25013 | | Creusement de fosse laténienne, équivalent de 25416. VOIR 25416 | Négative | 578,9 | 578,59 | 1,34 | 1 | 0,27 |
| 25013-1 | | Comblement de fosse laténienne, équivalent de 25416-1. VOIR 25416-1 | Positive | 578,9 | 578,59 | 1,34 | 1 | 0,27 |
| 25014 | | Matérialisé par un large épandage de mobilier amphorique et de faune. Recoupe les niveaux de l'âge du Bronze au Sud et à l'Ouest. | Positive | 578,6 | 578,43 | 4 | 4 | 0,15 |
| 25015 | | Niveau matérialisé par une large bande Est-Ouest de mobilier amphorique de moyenne dimension et de petits blocs de basalte. Niveau qui suit et passe sous le mur Nord du bâtiment X. | Positive | / | / | / | / | / |
| 25016 | | UF SUPPRIMÉE | / | / | / | / | / | / |
| 25017 | | Creusement de fosse laténienne à l'est de la cave du bâtiment Y, de forme ovoïde, en cuvette peu profonde. Reccoupée par 25049. | Négative | 578,3 | 578,1 | 2,6 | 1,8 | 0,2 |

| | | | | | | | |
|----------------|---|----------|-------|--------|------|------|------|
| 25017-1 | Comblement de structure laténienne, sédiment limono-argileux gris-noir, meuble. Fragments d'amphore mieux représentés que les tessons de céramique, les restes de faune et de fer sont tout de même présents. Présence d'incrustations charbonneuses. | Positive | 578,3 | 578,1 | 2,6 | 1,8 | 0,2 |
| 25018 | Creusement de massif empierré à l'est de la cave 24059, en forme de demi-couronne et matérialisé par des blocs de basalte et de pouzzolane. | Négative | 578,6 | 578,4 | 3,5 | 1,8 | 0,22 |
| 25018-1 | Comblement de massif empierré. Grande quantité de blocs de basalte et de pouzzolane. Présence de fragments d'amphore, peu de tessons de céramique et de faune. | Positive | 578,6 | 578,4 | 3,5 | 1,8 | 0,22 |
| 25019 | Creusement de fosse "moderne" bâtiment X. quadrangulaire, argile, verdâtre. Non fouillée. | Négative | 578,3 | / | / | / | / |
| 25020 | Nettoyage manuel au Sud-Ouest de 25006, sans apparition de structure. Abondance de mobilier laténien, notamment des fragments d'amphore. Cailloutis d'âge du Bronze ? | Positive | 578,7 | / | 5 | 4 | / |
| 25021 | Décapage de surface de la fosse 25027. Nombreux fragments d'amphore, beaucoup de faune, résiduels de l'âge du Bronze dans lequel la structure est creusée. | Négative | 578,6 | / | / | / | / |
| 25022 | Creusement de fosse laténienne, en cuvette profonde, de forme circulaire vu en plan, dont le fond est irrégulier avec une remontée basaltique. | Négative | 577,8 | 577,36 | 2,8 | 2,6 | 0,46 |
| 25022-1 | Comblement de fosse laténienne, par un sédiment limono-argileux brun-marron, compact et homogène. Grande quantité de fragments d'amphore et de tessons de céramique, faune fréquente et métal plus rare. Répartition homogène du comblement. | Positive | 577,8 | 577,36 | 2,8 | 2,6 | 0,46 |
| 25023 | Décapage de la bande ouest de l'aire de fouille. Sédiment limono-argileux brun-marron foncé, compact. Présence majoritaire de faune, présence fréquente de tessons d'amphore de petite taille, et restes de céramiques et de métal plus rares. | Positive | / | / | / | / | / |
| 25024 | Creusement de fosse laténienne, en "U", de forme grossièrement circulaire vu en plan, et dont le fond est plat et caillouteux. | Négative | 578,4 | 577,98 | 1,2 | 1,2 | 0,42 |
| 25024-1 | Comblement de fosse laténienne, d'un sédiment argileux brun-noir très compact. Présence importante de fragments d'amphore de grande taille en surface et dans le comblement supérieur. Le comblement inférieur se compose de terre et de blocs de basalte. Les tessons de céramique sont concentrés sur les parois et sur le fond de la structure. Très rares restes fauniques et absence de restes de métal. | Positive | 578,4 | 577,98 | 1,2 | 1,2 | 0,42 |
| 25025 | Creusement de fosse atelier en cuvette avec surcreusement au Nord. Au sud se trouve une banquette avec un espace de travail charbonneux. | Négative | 578,5 | 578,39 | 2,04 | 1,52 | 0,1 |
| 25025-1 | Comblement de fosse atelier, d'un sédiment limono-argileux marron-noir, et zone très charbonneuses. Présence de peu de mobilier. | Positive | 578,5 | 578,39 | 2,04 | 1,52 | 0,1 |
| 25026 | Creusement d'une cave laténienne. Vue en plan et surface d'apparition : Creusement extérieur légèrement évasé. Gros tessons d'amphores posés à plat pour former un ensemble grossièrement circulaire. Au centre, alignement de gros blocs de basalte et de pouzzolane. Rare faune et céramique en surface. Présence d'une banquette, entourant le creusement de forme ovoïde/rectangulaire à bords arrondis. Substrat constitué de pouzzolane et basalte. | Négative | 578,2 | 577,24 | 4,5 | 3,5 | 0,92 |
| 25026-1 | Comblement supérieur de la cave : Limon argileux brun marron foncé. Présence majoritaire de fragments d'amphores de taille importante. Blocs de basalte et de pouzzolane, rare faune et | Positive | 578,1 | 578,07 | 4,52 | 4,12 | 0,06 |

| | | | | | | | | |
|----------------|--|--|----------|-------|--------|------|------|------|
| | | céramique. | | | | | | |
| 25026-2 | | Comblement inférieur, limono-argileux brun marron foncé. Très nombreux fragments d'amphores de gros module. Blocs de basalte et de pouzzolane [20-60 cm]. Faune présente et rares tessons de céramique. | Positive | 578,1 | 577,15 | 4,4 | 4,1 | 0,92 |
| 25027 | | Creusement fosse de forme oblongue, irrégulier. Profil en cuvette. Parois évasées, fond concave. | Négative | 578,6 | 578,26 | 2,85 | 0,96 | 0,35 |
| 25027-1 | | Comblement de la fosse : Terre limono-argileuse brun noire. Présence de mobilier : Amphore et faune. Quelques blocs de pouzzolane de petit calibre [5-10 cm]. | Positive | 578,6 | 578,26 | 2,85 | 0,96 | 0,35 |
| 25028 | | Creusement d'un cellier, en très légère cuvette. Fond irrégulier avec forte pente utilisant les niveaux du bronze et surcreusement en partie basse. Vue en plan : forme de "haricot". | Négative | 578,1 | 577,75 | 1,76 | 1,5 | 0,3 |
| 25028-1 | | Comblement de la fosse, limono-argileux brun marron, compact et hétérogène. Mobilier concentré en partie haute de la fosse avec présence de tessons de l'âge du Bronze, quantité d'amphore importante, faune (++) et céramique fréquente. Métal rare (sauf objets particuliers). Attention : présence d'une tuile. | Positive | 578,2 | 577,91 | 1,82 | 1,6 | 0,24 |
| 25029 | | Sablrière. Creusement longiligne avec profil en cuvette. Parois légèrement évasées, fond plat. La partie est de la structure est légèrement plus basse formant un dénivelé d'une quinzaine de cm. | Négative | 578,2 | 577,79 | 2,9 | 0,44 | 0,35 |
| 25029-1 | | Sablrière. Comblement limono-argileux brun marron foncé. Niveau d'apparition matérialisé par un alignement de mobilier. Présence majoritaire de fragments d'amphore. Rare faune et céramique. Quelques blocs de basalte en surface (calibre moyen) et petits blocs de pouzzolane épars. | Positive | 57,16 | 577,79 | 2,9 | 0,44 | 0,35 |
| 25030 | | Cave laténienne. Creusement irrégulier dans la roche basaltique. Parois presque verticales, fond irrégulier. | Négative | 577 | 576,3 | 4,02 | / | 0,71 |
| 25030-1 | | Cave laténienne. Comblement constitué de nombreux blocs de basalte de différents calibres [5/30 cm]. Quelques blocs de pouzzolane assez peu nombreux. Présence de tessons d'amphores, de faune et de céramiques en grande quantité jusqu'au socle basaltique. Fragments de mortier découverts à plusieurs reprises dans le comblement. | Positive | 577 | 576,5 | 4,02 | / | 0,71 |
| 25031 | | Plaque foyère ou torchis. | Positive | / | / | / | / | / |
| 25032 | | Voir 25392. | / | / | / | / | / | / |
| 25032-1 | | Voir 25392-1. | / | / | / | / | / | / |
| 25033 | | UF annulée = 25026 | / | / | / | / | / | / |
| 25033-1 | | UF annulée = 25026 | / | / | / | / | / | / |
| 25034 | | UF annulée = 25026 | / | / | / | / | / | / |
| 25035 | | Voir 25064 (doublon). | / | / | / | / | / | / |

| | | | | | | | | |
|----------------|--|---|----------|-------|--------|------|------|--------|
| 25035-1 | | Voir 25064-1 (doublon). | / | / | / | / | / | / |
| 25036 | | UF annulée | Négative | / | / | / | / | / |
| 25036-1 | | UF annulé | Positive | / | / | / | / | / |
| 25037 | | Creusement TP. Forme subcirculaire. Profil en "U". Parois évasées, fond plat. | Négative | 578,3 | 578,08 | 0,52 | 0,49 | 0,17 |
| 25037-1 | | Comblement TP constitué de terre limono-argileuse brune marron foncé avec présence de mobilier archéologique dont majoritairement des amphores. | Positive | 578,3 | 578,08 | 0,52 | 0,49 | 0,17 |
| 25038 | | Fosse. Creusement en cuvette, forme ovoïde vue en plan. Niveau d'apparition matérialisé par une plaque de pouzzolane isolée et qui constitue la couche supérieure de la structure. | Négative | 578,6 | 578,2 | 2 | 1,64 | 0,34 |
| 25038-1 | | Fosse. Comblement limono-argileux, brun à tendance grisâtre et violette (pouzzolane). Correspond à la couche supérieure de la structure constituée majoritairement de pouzzolane (en petits blocs). Quelques blocs de basalte. Quelques rares fragments d'amphores associés aux blocs. | Positive | 578,6 | 578,28 | 2 | 1,64 | 0,34 |
| 25038-2 | | Fosse. Comblement limono-argileux brun grisâtre. Constitué de mobilier amphorique fréquent et de faune. Plus rare céramique et métal. | Positive | / | / | / | / | / |
| 25039 | | Creusement en cuvette. Parois évasées et fond concave. Fosse ou gros TP ? | Négative | 578,6 | 578,1 | 0,72 | 0,7 | 0,47 |
| 25039-1 | | Comblement de la structure contenant un limon-argileux brun-marron très foncé, compact et hétérogène. Présence de mobilier comprenant majoritairement des fragments d'amphore de taille moyenne [5-10 cm]. Faune en quantité dont os de bœuf en connexion. Céramique et rare métal. | Positive | 578,6 | 578,1 | 0,72 | 0,72 | 577,94 |
| 25040 | | Structure creusée dans couche âge du Bronze. Profil en cuvette. Parois obliques, fond concave. Vu en plan ovoïde. Fosse ? TP ? | Négative | 578,3 | 578,05 | 1,06 | 0,7 | 0,28 |
| 25040-1 | | Fosse ? TP ? Comblement limono-argileux brun marron foncé, compact et hétérogène. Présence majoritaire d'amphore avec fragments de dimensions moyennes, faune fréquente. Attention : Recoupement avec les niveaux âge du Bronze + pointe de flèche Néolithique. Pierres de calage de - de 20 cm au centre. | Positive | 578,3 | 578,05 | 1,06 | 0,7 | 0,2 |
| 25041 | | Secteur ouest, bande centrale : UF de nettoyage et ramassage de surface. Amphore et faune majoritaires. Céramique et métal fréquents. | Positive | / | / | / | / | / |
| 25042 | | Fosse. Creusement de forme ovoïde, irrégulière. Profil en cuvette, fond irrégulier, parois évasées voire obliques. | Négative | 578,2 | 577,62 | 3,62 | 2,74 | 0,5 |
| 25042-1 | | Niveau d'apparition constitué de blocs de pouzzolane et basalte, de fragments d'amphore de faune ainsi que quelques tessons de céramique + calcaire (1 fragment). Comblement limono-argileux brun marron foncé, homogène et compact, composé d'un mobilier abondant : blocs de pouzzolane et basalte [de moins de 10 cm en moyenne], faune fréquente, quelques fragments d'amphore et de céramique mais rares dans l'ensemble, ainsi que quelques blocs de calcaire [- de 10cm]. | Positive | 578,2 | 577,62 | 3,62 | 2,74 | 0,5 |

| | | | | | | | |
|----------------|---|----------|-------|--------|------|------|------|
| 25043 | Massif empierré, petit radier de pouzzolane et basalte concentré au centre de la cave laténienne 25026. Bien délimité. | Positive | 578,2 | 578,02 | 1,72 | 1,8 | 0,18 |
| 25044 | Secteur nord : Nettoyage de surface et ramassage de mobilier. Amphore et faune majoritaires. Céramique et métal plus rares. | Positive | / | / | / | / | / |
| 25045 | Abord ouest du bâtiment X : Nettoyage et ramassage de surface. Amphore et faune majoritaires. Céramique et métal plus rares. | Positive | / | / | / | / | / |
| 25046 | Alignement de blocs de pouzzolane et basalte sur la cave 25026. Gros calibre [30-60 cm]. Interrompu par 25043. | Positive | 578,3 | / | 4,2 | 1 | / |
| 25047 | Nettoyage du solin : peu de mobilier. Amphore et faune majoritaires. Céramique et métal rares. | Positive | / | / | / | / | / |
| 25048 | Fosse. Creusement en légère cuvette. Fond plat, parois évasées. Ovoïde vu en plan. Peu large et peu profond. | Négative | 578,4 | 578,33 | 0,86 | 0,84 | 0,1 |
| 25048-1 | Comblement de la fosse limono-argileux brun marron foncé, homogène et compact. Amphore et faune fréquentes. Amphores fréquentes [- 15 cm] + faune et céramique en petite quantité. Niveau ADB. | Positive | 578,4 | 578,33 | 0,86 | 0,84 | 0,1 |
| 25049 | Creusement de forme longiligne. Profil en cuvette. Fond irrégulier, parois évasées. Bord sud-est incertain (structure recoupée, ...). Fossé ? | Négative | 578,4 | 578,23 | 4,02 | 0,94 | 0,15 |
| 25049-1 | Comblement du fossé. Niveau d'apparition matérialisé par des blocs de pouzzolane, de basalte et plaques calcaires. Terre limono-argileuse brun noir avec présence de TCA, faune en petite quantité, peu d'amphore (quasiment que des petits nodules de panse). Céramique fréquente (dont patinae, décors molette en chevrons, campagnienne, ...). Objets en fer et en bronze. | Positive | 578,4 | 578,23 | 4,02 | 0,94 | 0,15 |
| 25049-2 | Partie nord du comblement de la structure 25049. Différencié au départ car niveau d'apparition matérialisé par des blocs de pouzzolane et de basalte plus épars que pour 25049-1. Terre limono-argileuse brun noir avec présence d'un mobilier plus ou moins similaire à 25049-1. Semblerait que cela appartienne à la même structure ? | Négative | / | / | / | / | / |
| 25050 | Décapage et nettoyage de surface au nord du solin 25047 sur un périmètre restreint. Présence de mobilier disséminé sur la zone comprenant quelques tessons d'amphore, de céramique et de faune. | Positive | / | / | / | / | / |
| 25051 | Zone au nord-ouest du bâtiment X : Démontage des niveaux de sol matérialisés par une concentration de tessons à plat. Présence de faune, céramique et amphore en grande quantité. Clous en fer + scories. Objets dont des plaques de fer, 2 fibules et 1 monnaie. | Positive | / | / | / | / | / |
| 25053 | Creusement de fosse, profil en "U", fond plat. Forme ovoïde de la fosse vue en plan. | Négative | 578,3 | 578,1 | 1,14 | / | 0,2 |
| 25053-1 | Comblement fosse. Sédiment limono-argileux brun-noir, meuble et homogène. Amphore et faune majoritaires. Céramique plus rare. Présence de clous en fer et de petits charbons | Positive | 578,3 | 578,1 | 1,14 | / | 0,2 |
| 25054 | Creusement de fosse. Profil en "u" et fond très irrégulier. Forme circulaire vu en plan. | Négative | 578,6 | 578,15 | 1,4 | 1,15 | 0,47 |

| | | | | | | | | |
|----------------|--|---|-------------------|-------|--------|------|------|------|
| 25054-1 | | Comblement fosse. Sédiment limono-argileux, brun-noir, homogène et compact. Nombreux blocs de basalte et pouzzolane en surface de la structure. Dans le comblement, amphore et faune majoritaires, quelques tessons de céramique. Concentration de petits charbons en partie basse de la fosse. | Positive | 578,6 | 578,15 | 1,4 | 1,15 | 0,47 |
| 25055 | | Décapage et ramassage de mobilier en surface. Présence majoritaire d'amphore et de faune, céramique en quantité. | Positive | / | / | / | / | / |
| 25056 | | Creusement de fosse. Profil en cuvette très irrégulière avec bande étroite surcreusée en partie centrale de la structure. Forme ovoïde vu en plan. | Négative | 578,3 | 577,4 | 3,28 | 2,52 | 0,85 |
| 25056-1 | | Comblement de fosse. Sédiment limono-argileux brun-rosé (présence de pouzzolane), compact et homogène. Présence de fragments d'amphore de modules variés et faune en quantité (éléments de crâne de chèvre et de boeuf presque entiers.), céramique fréquente et métal rare. Nombreuses inclusions charbonneuses. | Positive | 578,3 | 577,4 | 3,28 | 2,52 | 0,85 |
| 25057 | | Creusement de sablière orientée N/S. Profil en cuvette peu profonde. Creusement formant un angle droit avec la sablière 25058 | Négative | 578,4 | 578,21 | 1,2 | 0,4 | 0,16 |
| 25057-1 | | Comblement de sablière. Sédiment limono-argileux, brun-marron, compact et homogène. Présence majoritaire de fragments d'amphore de modules divers (0,05 à 0,2 m). Faune et céramique plus rares. | Positive | 578,4 | 578,21 | 1,2 | 0,4 | 0,16 |
| 25058 | | Creusement de sablière orientée E/O. Profil en cuvette peu profonde. Creusement formant un angle droit avec la sablière 25057. La paroi est de la structure est tronquée par le creusement de la fosse 25085. | Négative | 578,4 | 578,24 | 1,2 | 0,48 | 0,18 |
| 25058-1 | | Comblement de la sablière. Sédiment limono-argileux brun-marron, compact et homogène. Présence majoritaire de fragments d'amphore de modules divers (0,05 à 0,2 m). Faune et céramiques moins fréquentes. | Positive | 578,4 | 578,32 | 1,2 | 0,48 | 0,18 |
| 25059 | | Creusement de fosse. Structure aux parois évasées et au fond plat. Subquadrangulaire vu en plan. | Négative | 578 | 577,68 | 1,68 | 1,64 | 0,36 |
| 25059-1 | | Comblement de fosse. Sédiment limono-argileux brun-noir, compact et homogène. Présence de blocs de basalte (0,2 m en moyenne), amphore, faune et céramique peu fréquentes. Métal rare. | Positive | 578 | 577,68 | 1,68 | 1,64 | 0,36 |
| 25060 | | Sablière orientée N/S et entrecoupée de plusieurs creusements circulaires marquants l'emplacement de poteaux. | Négative | 578,6 | 578,35 | 2,3 | 0,5 | 0,32 |
| 25060-1 | | Voir 25098-1 | Négative/Positive | 578,6 | 578,33 | 0,8 | | 0,24 |
| 25060-2 | | Corps principal de la sablière, équivalent à 25060-4. Creusement en cuvette peu profonde. Comblement limono-argileux brun-marron, meuble et homogène. Présence de fragments d'amphore, faune et céramique. Nombreux objets en fer. Quelques inclusions charbonneuses. | Négative/Positive | 578,6 | 578,35 | 1,2 | 0,46 | 0,22 |

| | | | | | | | |
|----------------|--|-------------------|-------|--------|------|------|------|
| 25060-3 | Creusement de fosse dans la sablière. Profil en cuvette peu profonde. Comblement limono-argileux, brun-marron, très meuble et homogène. Pauvre en mobilier. Présence toutefois de petits cailloux de pouzzolane et de cailloutis au fond de la structure (Age du Bronze?), rares fragments d'amphore, faune et céramique. | Négative/Positive | 578,3 | 578,11 | 1,12 | 0,5 | 0,44 |
| 25060-4 | Corps principal de la sablière, équivalent de 25060-2. Comblement limono-argileux, brun-marron, meuble et homogène. Présence de fragments d'amphore, faune et céramique. | Négative/Positive | 578,6 | 578,25 | 0,9 | 0,46 | 0,32 |
| 25061 | Creusement de fosse. Profil en cuvette très irrégulière avec bande étroite surcreusée en partie centrale de la structure. Forme subcirculaire vue en plan. Structure qui recoupe la fosse 25079. | Négative | 578,3 | 577,84 | 2 | / | 0,42 |
| 25061-1 | Comblement de fosse. Sédiment limono-argileux brun-noir, compact et homogène. Présence notable de fragments d'amphore en surface et dans les couches supérieures de la fosse. Nombreux tessons de céramique également en partie haute. Très peu de faune, rares TCA, métal et objets lithiques. | Positive | 578,3 | 577,84 | 2 | / | 0,42 |
| 25062 | Creusement de fosse laténienne venant perforer les niveaux âge du Bronze. de forme ovoïde vue en plan son profil est en légère cuvette (arasée). La structure est recoupée au nord par la fosse 25066. Peut être égale à 25024. | Négative | 578,4 | 578,3 | 0,37 | 0,26 | 0,1 |
| 25062-1 | Comblement de la fosse par un sédiment brun foncé, homogène et compact. Présence dans le comblement de fragment d'amphore de petite taille, de faune et de céramique de l'âge du Bronze. | Positive | 578,4 | 578,3 | 0,37 | 0,26 | 0,1 |
| 25063 | Creusement de fosse laténienne venant perforer les niveaux âge du Bronze, de forme subquadrangulaire vue en plan son profil est en légère cuvette (arasée). Peut être égale à 25066. | Négative | 578,4 | 578,3 | 1,87 | 0,79 | 0,1 |
| 25063-1 | Comblement de la fosse par un sédiment brun foncé, homogène et compact. Présence dans le comblement de fragments d'amphore de petite taille, de faune et de céramique de l'âge du Bronze. | Positive | 578,4 | 578,3 | 1,87 | 0,79 | 0,1 |
| 25064 | Creusement de fosse. Parois évasées et fond irrégulier avec surcreusement. Forme ovoïde de la structure vue en plan. | Négative | 578,8 | 578,33 | 3,5 | 3,1 | 0,44 |
| 25064-1 | Comblement de la fosse avec un sédiment limono-argileux brun-noir, compact et homogène. Présence de tessons de céramique Néolithique et de l'âge du Bronze. Mobilier amphorique, faune et céramique laténienne beaucoup plus rares et dispersés dans tout le comblement. Présence également de fragments de plaques de foyer. | Positive | 579,1 | 578,76 | 3,5 | 3,1 | 0,44 |
| 25065 | Creusement de trou de poteau laténien dans les niveaux âge du Bronze. Les parois sont verticales et le fond plat. Forme circulaire du trou de poteau vu en plan. | Négative | 578,1 | 577,97 | 0,22 | 0,2 | 0,14 |
| 25065-1 | Comblement limono-argileux brun-marron, compact et homogène. Présence de petits cailloux qui matérialisent le cailloutis âge du Bronze dans lequel il est implanté. Amphore majoritaire avec fragments d'assez gros module (0,15 à 0,20 m), faune fréquente. La céramique est rare à l'exception de tesson de l'âge du Bronze. | Positive | 578,1 | 577,97 | 0,22 | 0,2 | 0,14 |

| | | | | | | | | |
|----------------|--|--|----------|-------|--------|---------|------|------|
| 25066 | | Creusement de fosse laténienne venant perforer les niveaux âge du Bronze. de forme ovoïde vue en plan son profil est en légère cuvette (arasée). La structure recoupe au sud par la fosse 25062. Peut être égale à 25063. | Négative | 578,4 | 578,3 | 2,14 | 1,16 | 0,1 |
| 25066-1 | | Comblement de la fosse par un sédiment brun foncé, homogène et compact. Présence dans le comblement de fragment d'amphore de petite taille, de faune et de céramique de l'âge du Bronze. | Positive | 578,4 | 578,3 | 2,14 | 1,16 | 0,1 |
| 25067 | | Décapage et ramassage de surface sur la bande ouest de l'aire de fouille. Présence de faune en quantité et de fragments d'amphore. La céramique et le fer restent beaucoup plus rares. | Positive | / | / | / | / | / |
| 25068 | | Fosse avec creusement en profonde cuvette. Structure de forme subcirculaire vu en plan. | Négative | 578,3 | 577,81 | 1,1 | 1,04 | 0,49 |
| 25068-1 | | Comblement de la fosse par un sédiment limono-argileux brun-noir, compact et homogène. Présence majoritaire de fragments d'amphore de tailles diverses (0,1 à 0,25 m), faune bien représentée. La céramique et le métal restent beaucoup plus rares. | Positive | 578,3 | 577,81 | 1,1 | 1,04 | 0,49 |
| 25069 | | Creusement de fosse au profil en cuvette. Structure circulaire vu en plan. | Négative | 577,9 | 577,57 | 0,88 | 0,84 | 0,30 |
| 25069-1 | | Comblement de la fosse par un sédiment limono-argileux brun-marron, compact et homogène. Présence de nombreux fragments d'amphore et de céramique. La faune est également représentée. | Positive | 577,9 | 577,57 | 0,88 | 0,84 | 0,30 |
| 25070 | | Structure laténienne au Nord de 25029; Niveau d'apparition : fragments d'amphore. | Négative | / | / | / | / | / |
| 25070-1 | | Comblement | Positive | / | / | / | / | / |
| 25071 | | Creusement de fosse laténienne partiellement recoupée par le mur 24151 du bâtiment X. Profil en cuvette de la structure et forme ovoïde vu en plan. | Négative | 577,8 | 577,51 | 0,9 min | 1,12 | 0,3 |
| 25071-1 | | Comblement de la fosse par un sédiment limono-argileux brun marron, compact et homogène. Présence majoritaire de fragments d'amphore (0,05 à 0,15 m) et de faune. Peu de céramique. | Positive | 577,8 | 577,51 | 0,9 min | 1,12 | 0,3 |
| 25072 | | Creusement d'une sablière orientée E/O à l'intérieur du bâtiment X. Profil en cuvette. | Négative | 577,9 | 577,66 | 7,4 | 0,6 | 0,2 |
| 25072-1 | | Comblement de la sablière par un sédiment brun-marron, compact et homogène. Présence en surface de nombreux tessons d'amphore de taille régulière (0,05 à 0,1 m) posés à plat et accompagnés de beaucoup de faune. Comblement avec de nouveau du mobilier amphorique présent en quantité avec de la faune. La céramique est plus rare. | Positive | 577,9 | 577,66 | 7,4 | 0,6 | 0,2 |
| 25073 | | Creusement de sablière au profil en cuvette très irrégulière délimité par plusieurs petits blocs de basalte. Forme longitudinale de la structure vu en plan. Cette fosse est, au sud, recoupée par la fosse romaine 25018. | Positive | 577,8 | 577,76 | 2,2 | 0,8 | 0,06 |
| 25073-1 | | Comblement de la fosse par un sédiment limono-argileux brun-noir, compact et homogène. Présence de petits blocs de basalte (0,15 à 0,20 m) et tessons d'amphore fréquents. Quelques éléments de faune notables dont un crâne de boeuf presque intégralement conservé. Céramique rare. | Négative | 577,8 | 577,76 | 2,2 | 0,8 | 0,06 |
| 25074 | | Creusement de fosse dépotoir au profil en cuvette peu profonde. Circulaire vu en plan. Structure qui vient perforer les niveaux âge du Bronze directement. | Négative | 578,7 | 578,56 | 2 | 2 | 0,22 |

| | | | | | | | | |
|----------------|--|--|----------|-------|--------|--------------------|------|------|
| 25074-1 | | Comblement de la fosse par un sédiment très sableux de couleur beige clair en raison de la présence de mortier partiellement concassé ou en fragments très friables. Présence d'amphore en faible quantité. Beaucoup de TCA et plusieurs fragments d'enduits peints, mortier. Les restes fauniques sont également rares. | Positive | 578,7 | 578,56 | 2 | 2 | 0,22 |
| 25075 | | Creusement de sablière orientée N/S. Profil en cuvette peu profonde. | Positive | 578 | 577,82 | 6,74 | 0,56 | 0,16 |
| 25075-1 | | Comblement de la sablière par un sédiment brun-marron, compact et homogène. Présence en surface de nombreux tessons d'amphore de taille régulière (0,05 à 0,1 m) posés à plat et accompagnés de beaucoup de faune. Comblement avec de nouveau du mobilier amphorique présent en quantité avec de la faune. La céramique est plus rare. | Négative | 578 | 577,82 | 6,74 | 0,56 | 0,16 |
| 25076 | | Creusement de sablière orientée N/S. Profil en cuvette peu profonde. | Positive | 578 | 577,84 | 3,18 | 0,6 | 0,16 |
| 25076-1 | | Comblement de la sablière par un sédiment brun-marron, compact et homogène. Présence en surface de nombreux tessons d'amphore de taille régulière (0,05 à 0,1 m) posés à plat et accompagnés de beaucoup de faune. Comblement avec de nouveau du mobilier amphorique présent en quantité avec de la faune. La céramique est plus rare. | Négative | 578 | 577,84 | 3,18 | 0,6 | 0,16 |
| 25077 | | Creusement de fosse au profil en cuvette et dont les parois sont irrégulièrement évasées. | Négative | 580 | 579,34 | 1,18 | / | 0,72 |
| 25077-1 | | Comblement de la fosse par une majorité de fragments d'amphore et restes fauniques. Les tessons de céramique y sont moins bien représentés. Cinq jetons en céramique y ont été trouvés, ainsi qu'un fragment de plaque foyère en terre cuite (angle de plaque foyère quadrangulaire à bord en boudin) et une lampe à huile (en pâte claire à corps circulaire et bec). | Positive | 580 | 579,34 | 1,18 | / | 0,72 |
| 25078 | | Trou de poteau laténien de forme circulaire. Profil en cuvette. Structure arasée. | Négative | 577,9 | 577,73 | 0,36 | 0,31 | 0,15 |
| 25078-1 | | Comblement limono-argileux brun marron foncé, homogène, compact. Mobilier présent : Amphore, faune, céramique, en très petite quantité. | Positive | 577,8 | 577,73 | 0,36 | 0,31 | 0,15 |
| 25079 | | Creusement de fosse laténienne au profil en cuvette en partie recoupée par la fosse 25061. Forme ovoïde vu en plan. | Positive | 578,4 | 578,22 | 0,90 Construite | / | 0,2 |
| 25079-1 | | Comblement de la fosse par un sédiment limono-argileux brun-noir, compact et homogène. Présence majoritaire de fragments d'amphore de modules divers (0,1 à 0,2 m), éléments fauniques fréquents. La céramique est moins bien représentée. | Négative | 578,4 | 578,22 | 0,90 Construite | / | 0,2 |
| 25080 | | Creusement de fosse laténienne dans les niveaux de l'âge du Bronze. Structure recoupée par la cave laténienne 25026. Cette fosse possède des parois verticales très arrasées et un fond plat. | Positive | 578,1 | 577,97 | / | / | 0,16 |
| 25080-1 | | Comblement de la fosse par un sédiment brun-marron, compact et homogène. Présence de tessons et d'un petit cailloutis âge du Bronze. L'amphore est majoritaire avec plusieurs fragments de tailles diverses (0,05 à 0,15 m). Faune également fréquente. Très peu de céramique et pas de fer. | Négative | 578,1 | 577,97 | / | / | 0,16 |

| | | | | | | | | |
|----------------|--|--|----------|-------|--------|------|------|------|
| 25081 | | Couche limono-argileuse brune-marron, meuble et homogène implantée sous le radier du terrazzo (23838) du bâtiment X. Présence très majoritaire de tessons de céramique. L'amphore et la faune restent plus rares. | Positive | / | / | / | / | / |
| 25082 | | Structure linéaire orientée E/O matérialisée en surface par de nombreux gros tessons de céramique ainsi que par de plus rares fragments d'amphore. Structure non vidée. | Positive | 577,9 | / | / | / | / |
| 25083 | | Creusement de trou de poteau au profil en "U". Circulaire vu en plan. | Positive | 578,3 | 578,23 | 0,3 | 0,3 | 0,08 |
| 25083-1 | | Comblement de trou de poteau par un sédiment limono-argileux brun-noir, homogène et compact. Présence de fragments d'amphore de taille modeste et d'un clou. | Négative | 578,3 | 578,23 | 0,3 | 0,3 | 0,08 |
| 25084 | | Creusement d'une fosse laténienne dans les niveaux âge du Bronze. Les parois sont légèrement évasées et le fond plat. Ovoïde vu en plan. | Négative | 578,1 | 577,94 | 0,9 | 0,56 | 0,12 |
| 25084-1 | | Comblement par un sédiment brun-marron, compact et homogène avec présence de cailloutis et tessons de céramique de l'âge du Bronze. Plusieurs fragments d'amphore et quelques restes fauniques. | Positive | 578,1 | 577,94 | 0,9 | 0,56 | 0,12 |
| 25085 | | Creusement de fosse au profil en cuvette. Ovoïde vu en plan. Cette fosse recoupe les sablières 25057 et 25058 ainsi que la fosse 25147. | Négative | 578,4 | 577,89 | 2,7 | 1,88 | 0,48 |
| 25085-1 | | Comblement de la fosse par un sédiment limono-argileux brun-noir, compact et homogène. Présence de fragments d'amphore en quantité avec également de nombreux restes fauniques. La céramique est bien représentée. | Positive | 578,4 | 577,89 | 2,7 | 1,88 | 0,48 |
| 25085-2 | | Interface floue entre sablière 25058 et la fosse 25085. Recoupement et relation incertaine entre les deux structures. | Positive | / | / | / | / | / |
| 25086 | | Creusement de trou de poteau, en cuvette peu profonde, présentant des bords évasés | Négative | 578,4 | 578,32 | 0,32 | 0,32 | 0,1 |
| 25086-1 | | Comblement de trou de poteau d'un sédiment limono-argileux brun foncé-noir. Présence de mobilier. | Positive | 578,4 | 578,32 | 0,32 | 0,32 | 0,1 |
| 25087 | | Creusement de sablière Est-Ouest, de forme longiligne présentant un profil en cuvette. Le fond est en pente vers l'Ouest. | Négative | 578,2 | 577,93 | 1,9 | 0,7 | 0,22 |
| 25087-1 | | Comblement de sablière par un sédiment limono-argileux avec paillettes charbonneuses. Fragments d'amphores et matériel faunique bien représentés, avec un peu moins de céramiques, peu de fer et quelques fragments de plaques de foyer. | Positive | 578,2 | 577,93 | 1,9 | 0,7 | 0,22 |
| 25088 | | Creusement de fosse augustéenne, de forme irrégulière du au recoupement par un sondage de 2013. Le profile est en cuvette, les parois concaves et le fond plat (caillouti basalte et pouzzolane). | Négative | 577,8 | 577,32 | 2,8 | / | 0,47 |

| | | | | | | | |
|----------------|--|----------|-------|--------|------|-------|------|
| 25088-1 | Comblement de fosse augustéenne par un sédiment limono-argileux brun-noir. Le niveau d'apparition présente de la pouzzolane concassée et du basalte (petit calibre), avec quelques tessons de céramique qui plongent. Le mobilier est abondant et présente majoritairement des tessons de céramique (avec un faciès de l'état 3 = époque augustéenne (Atelier de Coirent assiettes/plats assez épais -> plus précoces ? (-20BC). Grande quantité de matériel faunique (dont de l'oiseau), ainsi que des restes humains (fragments de mâchoire). Les fragments d'amphore sont rares (environ cinq formes). Peu de clous en fer. Présence de plusieurs objets : service 1B avec graffiti "RIX", jetons et silex. | Positive | 577,8 | 577,32 | 2,8 | / | 0,47 |
| 25089 | Creusement de trou de poteau (fosse ?) irrégulier présentant un profil en "U", dont les parois sont verticales et le fond presque plat. Le creusement est matérialisé par un cailloutis et des blocs de basalte et pouzzolane. Banquette à l'Ouest ? | Négative | 577,8 | 577,34 | 1,25 | 1,1 | 0,41 |
| 25089-1 | Comblement de trou de poteau (ou fosse ?) d'un sédiment limono-argileux brun-noir. Le niveau d'apparition montre des pierres de calage en basalte, sur une terre charbonneuse (prélèvement effectué). Grande quantité de fragments d'amphore (dont une lèvre 1A). Céramique avec décor à molette en fougère (précédent ceux de la fosse 25088). Contempo pichet de gergovie. Présence de faune. | Positive | 577,8 | 577,34 | 1,25 | 1,1 | 0,41 |
| 25090 | Creusement de fosse forme irrégulière et bilobée, présentant un profil en cuvette et un fond plat. Les parois sont évasées à concaves. Bords matérialisés par un cailloutis et par des blocs de basalte et pouzzolane sur le fond et les parois. Recoupe la sablière 25092 à l'Ouest. | Négative | 577,8 | 577,56 | 1,8 | 1,72 | 0,24 |
| 25090-1 | Comblement de la partie est de la coupe de la fosse. Pas de perturbation avec le recoupement. Mobilier ? | Positive | 577,8 | 577,56 | 1 | 0,172 | 0,24 |
| 25090-2 | Comblement de la partie ouest de la coupe de la fosse, par une terre limoneuse-sableuse, très meuble, avec inclusions charbonneuses. Perturbation possible avec 25092. Présence de tessons de céramique de l'âge du Bronze de taille importante, ainsi que de galets (percuteurs ?). Présence également de quelques tessons de céramique laténienne très fragmentés. Fragments d'amphore très rares et présence de très peu de faune. | Positive | 578 | 577,82 | / | 0,55 | 0,14 |
| 25091 | Creusement de fosse laténienne, très peu profond, en légère cuvette, présentant un fond plat, avec du mobilier de l'âge du Bronze. Recoupée par la cave 25026. | Négative | 578,1 | 577,97 | / | / | 0,16 |
| 25091-1 | Comblement de fosse laténienne, par un sédiment limono-argileux brun-foncé - marron, compact et homogène. Présence majoritaire de fragments d'amphore et de faune. Présence rare de tessons de céramique. | Positive | 578,1 | 577,97 | / | / | 0,16 |
| 25092 | Creusement de sablière orientée Nord-Sud, recoupé par 25090. Les parois sont verticales, voir légèrement évasée et le fond est plat. Un gros bloc de basalte se trouve sur le fond, ainsi que des gravillons. | Négative | 578 | 577,82 | 1,34 | 0,4 | 0,14 |
| 25092-1 | Comblement de sablière orientée Nord-Sud. Présence de mobilier. | Positive | 578 | 577,82 | 1,34 | 0,4 | 0,14 |
| 25093 | Creusement de trou de poteau, de forme subcirculaire, présentant un profil en "U", parois verticales et fond plat. | Négative | 578 | 577,86 | 0,45 | 0,4 | 0,11 |

| | | | | | | | | |
|----------------|--|---|----------|-------|--------|------|------|------|
| 25093-1 | | Comblement de trou de poteau. | Positive | 578 | 577,86 | 0,45 | 0,4 | 0,11 |
| 25094 | | Creusement de fosse laténienne (recoupe 25072 et recoupée par sondage 2013), équivalent au creusement 25095. Matérialisé par un cailloutis d'âge du Bronze. | Négative | 577,8 | 577,59 | 1,7 | / | 0,21 |
| 25094-1 | | Comblement de fosse laténienne, d'un sédiment limono-argileux brun-foncé assez meuble présentant quelques amphores, quelques tessons de céramique, ainsi qu'un peu de faune. Equivalent au comblement 25095-1. | Positive | 577,8 | 577,59 | 1,7 | / | 0,21 |
| 25095 | | Creusement de fosse laténienne (recoupe la sablière 25072 et recoupé par sondage 2013), équivalent au creusement 25094. Bords matérialisés par un cailloutis d'âge du Bronze. | Négative | 577,8 | 577,59 | 1,7 | / | 0,21 |
| 25095-1 | | Comblement de fosse laténienne, d'un sédiment limono-argileux brun-foncé assez meuble présentant quelques amphores, quelques tessons de céramique, ainsi qu'un peu de faune. Equivalent au comblement 25094-1. | Positive | 577,8 | 577,59 | 1,7 | / | 0,21 |
| 25096 | | Creusement de sablière orientée Est-Ouest ? Equivalent de 25123 ? Recoupé par 25113 ? | Négative | / | / | / | 0.90 | / |
| 25096-1 | | Comblement de sablière. | Positive | / | / | / | 0.90 | / |
| 25097 | | Creusement de structure peu profonde de forme plus ou moins rectangulaire, présentant des bords évasés et un fond non plat. | Négative | 578,4 | 578,2 | 2 | / | 0,16 |
| 25097-1 | | Comblement de structure peu profonde par un sédiment limono-argileux brun-marron, homogène et compact. | Positive | 578,4 | 578,2 | 2 | / | 0,16 |
| 25097-2 | | Zone entre 25097 et 25049. Transition incertaine. | Positive | / | / | / | / | / |
| 25098 | | Creusement de fosse laténienne de forme ovoïde présentant des bords évasés matérialisés par un cailloutis de l'âge du Bronze, et un fond composé de petits blocs de basalte. Creusement recoupant la sablière 25060 (tronçon 25060-1 appartenant à la fosse 25098), Recoupé par la fosse 25038 à l'Ouest et par le solin au nord. | Négative | 578,6 | 578,18 | 2,7 | 0,9 | 0,45 |
| 25098-1 | | Comblement de la fosse laténienne composé d'un sédiment limono-argileux marron, avec certaines zones très charbonneuses. Présence de miettes de bronze, ainsi que de trois objets en fer. Présence équitable d'amphore, de tessons de céramique et de matériel faunique. | Positive | 578,6 | 578,18 | 2,7 | 0,9 | 0,45 |
| 25099 | | Creusement de trou de poteau circulaire, peu profond. | Négative | 579,1 | 578,88 | 0,3 | 0,3 | 0,2 |
| 25099-1 | | Comblement de trou de poteau, par un sédiment limono-argileux brun-noir. Présence de mobilier. | Positive | 579,1 | 578,88 | 0,3 | 0,3 | 0,2 |
| 25100 | | Creusement de fosse laténienne, de forme ovoïde vu en plan, en cuvette et dont le fond est plat. | Négative | 578,3 | 578,22 | 0,66 | 0,6 | 0,12 |
| 25100-1 | | Comblement de fosse laténienne, par un sédiment limono-argileux brun foncé-marron, compact et homogène. Présence majoritaire de faune, ainsi que de tessons de céramique grossière. Les fragments d'amphores sont rares. Présence d'une tige en métal. | Positive | 578,3 | 578,22 | 0,66 | 0,6 | 0,12 |
| 25101 | | Creusement de trou de poteau circulaire, en cuvette. | Négative | 578,2 | 577,76 | 1,28 | 1,18 | 0,42 |
| 25101-1 | | Comblement de trou de poteau laténien, d'un sédiment limono-argileux brun foncé - noir. Présence de mobilier. | Positive | 578,2 | 577,76 | 1,28 | 1,18 | 0,42 |

| | | | | | | | | |
|----------------|--|--|----------|-------|--------|------|------|------|
| 25102 | | Creusement de fosse laténienne, de forme ovoïde vu en plan, en cuvette, avec un fond plat. Limites matérialisées dans le niveau de l'âge du Bronze | Négative | 578,3 | 578,15 | 0,56 | 0,5 | 0,14 |
| 25102-1 | | Comblement de fosse laténienne, d'un sédiment limono-argileux brun-marron foncé, compact et homogène. Présence majoritaire de fragments d'amphotes, faune assez rare, et absence de tessons de céramiques et de métal. | Positive | 578,3 | 578,15 | 0,56 | 0,5 | 0,14 |
| 25103 | | UF annulée | Négative | / | / | / | / | / |
| 25103-1 | | UF annulée | Positive | / | / | / | / | / |
| 25104 | | Zone localisée de fragments d'amphore posés à plat de manière très serrée. Niveau de sol? | Positive | / | / | / | / | / |
| 25105 | | Creusement de trou de poteau circulaire, au profil irrégulier, peu profond. | Négative | 578,5 | 578,37 | 0,22 | 0,22 | 0,08 |
| 25105-1 | | Comblement de trou de poteau, sédiment limono-argileux brun foncé - noir. Présence de mobilier. | Positive | 578,5 | 578,37 | 0,22 | 0,22 | 0,08 |
| 25106 | | Creusement de trou de poteau circulaire, profil en cuvette peu profonde. | Négative | / | / | / | / | / |
| 25106-1 | | Comblement de trou de poteau, sédiment limono-argileux brun foncé - noir. Présence de mobilier. | Positive | / | / | / | / | / |
| 25107 | | Creusement de fosse laténienne peu profonde, à fond plat et bords droits. | Négative | / | / | 1,15 | 0,9 | / |
| 25107-1 | | Comblement de fosse laténienne, sédiment limono-argileux brun foncé - noir. Présence de mobilier. | Positive | / | / | 1,15 | 0,9 | / |
| 25108 | | Creusement de la cave romaine 25345 (ég.). Comprend : 25155-1 / 25155-2 / 25156-1 / 25156-2 / 25138 / 25138-1 / 25138 / 25139-1 / 25150 | Négative | 578,2 | 577,11 | 5,4 | 3,9 | 1,1 |
| 25108-1 | | Comblement de la cave romaine 25108 (eq. 25345) | Positive | / | / | / | / | / |
| 25108-2 | | Couche sablo-limoneuse meuble et hétérogène, gravillonneuse par endroits, contenant de gros blocs de mortier, ainsi que de plus petits, ainsi que du basalte, de l'amphore et des tegulae.. De couleur brun orangé, elle présente des inclusions de pouzzolane et de mortier -> comblement définitif ? Remblai ? | Positive | / | / | / | / | / |
| 25108-3 | | Couche sablo-limoneuse brun noir, homogène et meuble, avec de nombreuses inclusions de basalte -> abandon ? | Positive | / | / | / | / | / |
| 25108-4 | | Couche très sableuse, légèrement limoneuse de couleur brun jaune un peu verdâtre, homogène et meuble. Contient de nombreux blocs de basalte et quelques blocs de mortier -> deuxième destruction (mur) et comblement anthropique ? | Positive | / | / | / | / | / |
| 25108-5 | | Couche sablo-limoneuse, dense et homogène de couleur brun-gris à noir. Très cendreuse et charbonneuse avec des inclusions de mortier et de fragments d'amphore disparates -> niveau de destruction ? Incendie ? Présence d'une lentille charbonneuse. | Positive | / | / | / | / | / |
| 25108-6 | | Niveau limono-sableux, compact et homogène de couleur brun-crème avec de nombreuses inclusions charbonneuses. Inclusions d'amphores et de céramiques. Quelques inclusions de mortier -> niveau de sol. | Positive | / | / | / | / | / |

| | | | | | | | |
|----------------|---|----------|-------|--------|------|------|------|
| 25108-7 | Structure liée à l'installation du mur ? Couche sablo-limoneuse brune homogène et meuble. Contient des blocs de basalte, quelques fragments de mortier et de faune. Concentration de tegulae concassées. | Positive | / | / | / | / | / |
| 25108-8 | Structure liée à l'installation du mur ? Couche sablo-limoneuse brune homogène et meuble. Contient des blocs de basalte, quelques fragments de mortier et de faune. | Positive | / | / | / | / | / |
| 25108-9 | Couche brun foncé, homogène et meuble, sablo-limoneuse. Contient quelques pierres. Effondrement naturel de la paroi ? | Positive | / | / | / | / | / |
| 25109 | Creusement de trou de poteau circulaire, présentant un fond assez plat et des bords droits. | Négative | 578 | 577,77 | 0,4 | 0,38 | 0,24 |
| 25109-1 | Comblement de trou de poteau, d'un sédiment limono-argileux brun foncé - noir. Présence de mobilier. | Positive | 578 | 577,77 | 0,4 | 0,38 | 0,24 |
| 25110 | Creusement de fosse gallo-romaine, de forme ovoïde. | Négative | / | / | / | / | / |
| 25110-1 | Comblement de fosse gallo-romaine par un sédiment limono-argileux brun foncé noir. Présence de mobilier. | Positive | / | / | / | / | / |
| 25111 | Creusement de trou de poteau peu profond, présentant un fond assez plat et des bords droits. | Négative | 578,5 | 578,37 | 0,3 | 0,3 | 0,16 |
| 25111-1 | Comblement de trou de poteau, sédiment limono-argileux brun foncé - noir. Présence de mobilier. | Positive | 578,5 | 578,37 | 0,3 | 0,3 | 0,16 |
| 25112 | Plaque foyère. | | 578 | 577,95 | 0,5 | 0,45 | 0,05 |
| 25113 | Creusement de structure de forme ovoïde, le long du mur nord de la cave augustéenne, dans la continuité de la sablière 25096. Equivalence ? | Négative | 578,2 | 577,93 | 1,7 | 1,5 | 0,22 |
| 25113-1 | Comblement de structure, d'un sédiment limono-argileux brun foncé-noir. | Positive | 578,2 | 577,93 | 1,7 | 1,5 | 0,22 |
| 25114 | Décapage de la bande nord de la cave laténienne 25026. | Positive | / | / | / | / | / |
| 25115 | Creusement de trou de poteau de forme circulaire, présentant un profil en « U », un fond plat et des parois verticales. Niveau d'apparition : Amphore seulement. | Négative | 578,5 | 578,33 | 0,45 | 0,44 | 0,18 |
| 25115-1 | Comblement de trou de poteau par un sédiment brun-marron, homogène et compact. Rare présence de mobilier. | Positive | 578,5 | 578,33 | 0,45 | 0,44 | 0,18 |
| 25116 | Niveau de sol. Poches de tessons d'amphore à plat, ainsi que présence de faune, et tessons de céramique très rares. S'apparente à l'état 1 (vu en coupe). Niveau situé sous un remblai et sur les niveaux de l'âge du Bronze. | Positive | 578,1 | / | / | / | / |
| 25117 | Creusement de trou de poteau arasé avec pierres de calage en basalte (x3). Encaissant niveaux de sols 25116 et remblai. | Négative | 578,1 | / | 0,3 | / | / |
| 25117-1 | Comblement de trou de poteau arasé avec pierres de calage en basalte (x3), d'un sédiment limono-argileux brun foncé - noir. Présente des fragments d'amphores (dont des panses surtout), un peu de faune, 2 tessons de céramique + clou en fer. | Positive | 578,1 | / | 0,3 | / | / |
| 25118 | Creusement de trou de poteau de forme subcirculaire, présentant un profil en "U", avec parois verticale et fond plat. | Négative | 578,5 | 578,35 | 0,3 | 0,3 | 0,18 |

| | | | | | | | |
|----------------|--|----------|--------|--------|------|------|------|
| 25118-1 | Comblement de trou de poteau, sédiment limono-argileux brun-noir. Niveau d'apparition présentant des pierres (blocs posés) ainsi que des amphores. Mobilier majoritairement représenté par des fragments d'amphore, par quelques restes de faune et de tessons de céramique. Présence possible d'un fragment de plaque de foyer. | Positive | 578,5 | 578,35 | 0,3 | 0,3 | 0,18 |
| 25119 | Creusement de fosse, très arasée. Forme subcirculaire avec parois irrégulières et fond plat. Recoupé par le TP 25121, sous le mur sud de la cave augustéenne. | Négative | 578,3 | / | / | / | / |
| 25119-1 | Comblement de la fosse : Terre limoneuse brune et compacte. Beaucoup d'amphores, restes fauniques rares et absence de céramique. Présence d'une applique en bronze. | Positive | 578,3 | / | / | / | / |
| 25120 | Niveau de sol déjà mis au jour en 2014, constitué de tessons (majoritairement des amphores) posés à plat. Quelques restes fauniques mais pas de céramiques. La zone de conservation du niveau est très réduite. | Positive | 578,3 | 578,25 | / | / | / |
| 25121 | Structure arasée, probablement en raison des constructions annexes. Léger surcreusement par rapport à la fosse 25119 qui met en évidence ce qui est sûrement un fond de TP. Profil en cuvette, parois restantes évasées. Peu profond et peu large. | Négative | 578,3 | 578,25 | / | / | 0,06 |
| 25121-1 | Comblement limono-argileux brun marron foncé, homogène, compact. Mobilier présent : Amphore majoritairement ainsi que très peu de faune. | Positive | 578,3 | 578,25 | / | / | 0,06 |
| 25122-1 | Solin ouest de la cave augustéenne. Constitué de blocs de basalte de gros calibre. | Positive | 577,5 | 577,16 | 3,2 | 0,45 | 0,3 |
| 25122-2 | Solin centre ouest de la cave augustéenne. Constitué de blocs de basalte de gros calibre. | Positive | 577,4 | 577,15 | 3 | 0,45 | 0,25 |
| 25122-3 | Solin centre est de la cave augustéenne. Constitué de blocs de basalte de gros calibre. | Positive | 577,4 | 577,05 | 1,3 | 0,4 | 0,35 |
| 25122-4 | Solin est de la cave augustéenne. Constitué de blocs de basalte de gros calibre. | Positive | 577,3 | 577,03 | 2,55 | 0,5 | 0,25 |
| 25123 | Sablière ? Creusement de forme longiligne, orienté Est-Ouest. Profil en cuvette, parois évasées. Peu profond. | Négative | 578,01 | / | / | / | 0,2 |
| 25123-1 | Niveau d'apparition constitué uniquement d'amphores plantées. Comblement sablière : Terre limono-argileuse, brune noire, homogène, compact. Présence de fragments d'amphore en grande quantité (dont 1A). Egalement beaucoup de céramique (faciès laténien), de la faune. Objets majoritairement en fer + plaques de foyer. | Positive | 578 | / | / | / | 0,2 |
| 25124 | Décapage et nettoyage de surface aux abords ouest du bâtiment X, jusqu'à la cave augustéenne. Présence de mobilier épars : amphore, céramique, faune, métal. | Positive | / | / | / | / | / |
| 25125 | Fosse ? Creusement de forme irrégulière, subquadrangulaire ? Profil en "U". Fond plat et parois verticales. Peu profond. | Négative | 577,7 | 577,59 | 0,95 | 0,6 | 0,9 |
| 25125-1 | Comblement de la fosse. Niveau d'apparition constitué de mobilier planté. Terre limono-argileuse, brun noir, homogène, compact. Présence de TCA (surtout), mortier, faune + restes céramique, lithique, amphore et métal. Ensemble très fragmenté hormis la TCA. | Positive | 577,7 | 577,59 | 0,95 | 0,6 | 0,9 |
| 25126 | TP. Creusement de forme subcirculaire. Profil en "U". Parois verticales et fond plat. | Négative | 577,7 | 577,54 | 0,28 | 0,31 | 0,13 |
| 25126-1 | Niveau d'apparition matérialisé par mobilier en surface. Limon argileux brun noir, homogène et compact. Présence de 3 fragments de TCA et 1 tesson de céramique. | Positive | 577,7 | 577,54 | 0,28 | 0,31 | 0,13 |

| | | | | | | | | |
|----------------|--|--|----------|-------|--------|------|------|------|
| 25127 | | Fosse ? Creusement de forme ovoïde irrégulière. Parois évasées, fond plat. | Négative | 577,6 | 577,31 | 1,34 | 0,78 | 0,32 |
| 25127-1 | | Niveau d'apparition matérialisé par de rares blocs de pouzzolane et de basalte (petit calibre) + TCA plantée. Limon particulièrement argileux, brun grisâtre, homogène et compact avec inclusions de pierre délitée et calcaire. Présence de mobilier dans le comblement : Beaucoup de TCA, du calcaire. Faune : 3 fgts; Céramique : 5 tessons (dont un vernissé); Amphore : 2 fgts; 1 clou en fer et 1 fgt de lithique. | Positive | 577,6 | 577,31 | 1,34 | 0,78 | 0,32 |
| 25128 | | Décapage et nettoyage/ramassage de surface. Mobilier : Majoritairement TCA, un peu d'amphore et de faune. | Positive | / | / | / | / | / |
| 25129 | | TP. Creusement de forme subcirculaire avec profil en cuvette. Fond concave et parois évasées. Peu profond. | Négative | 577,7 | 577,53 | 0,68 | 0,54 | 0,14 |
| 25129-1 | | Comblement TP. Terre limono-argileuse de couleur brun noir avec inclusions de charbons. Fragments d'amphore de petit module (dont 1A), très altérés. Quelques rares fragments de céramique et de faune. | Positive | 577,7 | 577,53 | 0,68 | 0,54 | 0,14 |
| 25130 | | Creusement de forme subcirculaire. Parois évasées, fond plat. TP. | Négative | 577,7 | 577,55 | 0,45 | 0,38 | 0,11 |
| 25130-1 | | Comblement TP. Niveau d'apparition matérialisé par mobilier en surface. Limon argileux brun marron foncé, homogène, très compact. Mobilier présent dans le comblement. | Positive | 577,7 | 577,55 | 0,45 | 0,38 | 0,11 |
| 25131 | | Fosse. Creusement de type ovoïde. Parois évasées, fond plutôt plat. | Négative | 577,7 | 577,47 | 0,95 | 0,73 | 0,18 |
| 25131-1 | | Comblement de terre limono-argileuse de couleur brun marron foncé, homogène et très compact. Présence de mobilier dans le comblement. | Positive | 577,7 | 577,47 | 0,95 | 0,73 | 0,18 |
| 25132 | | Creusement de trou de poteau de forme subcirculaire. Profil en cuvette. Parois évasées, fond concave. | Négative | 578,1 | 577,9 | 0,58 | 0,57 | 0,23 |
| 25132 | | Comblement limono-argileux brun marron foncé, homogène et compact. Mobilier composé de TCA (1/2 tegulae d'env. 10cm), tessons de céramique assez altérés entre 3 et 5 cm, 1 ou 2 fragments d'amphore et très peu de faune. | Positive | 578,1 | 577,9 | 0,58 | 0,57 | 0,23 |
| 25133 | | Creusement de trou de poteau de forme circulaire. Profil en cuvette : parois évasées et fond concave. | Négative | 578,1 | 577,92 | 0,51 | 0,49 | 0,2 |
| 25133-1 | | Comblement constitué de limon argileux brun marron foncé, homogène et compact. Présence de tegulae (1 ou 2 fragments d'env. 10 cm), de fragments de mortier, de calcaire, ainsi que de céramique. | Positive | 578,1 | 577,92 | 0,51 | 0,49 | 0,2 |
| 25134 | | Fosse. Creusement de forme ovoïde. Parois évasées et fond plat avec léger surcreusement subcirculaire dans la partie ouest de la structure. | Négative | 578,4 | 577,83 | 2,31 | 1,8 | 0,6 |

| | | | | | | | |
|----------------|---|----------|-------|--------|------|------|------|
| 25134-1 | Comblement constitué de terre limono-argileuse de couleur brune, marron foncé. Mobilier peu visible en surface mais abondant dans le comblement. Très grande proportion d'amphore (dont 1A), céramique (- 7cm), faune peu fragmentée, outils lithique (3 ou 4) et très rarement des clous en fer. | Positive | 578,4 | 577,83 | 2,31 | 1,8 | 0,6 |
| 25135 | Fond de structure arasée ? Trou de poteau ? Creusement peu profond de forme subcirculaire. Profil en cuvette. Parois évasées, fond concave. | Négative | 578,2 | 578,08 | 0,55 | 0,54 | 0,1 |
| 25135-1 | Comblement du trou de poteau. Limon argileux brun marron foncé. Présence de mobilier. | Positive | 578,2 | 578,08 | 0,55 | 0,54 | 0,1 |
| 25136 | Fosse? Structure en creux fouillée à moitié : plan non exhaustif, formé par symétrie. La forme semble être subquadrangulaire. Parois évasées et fond irrégulier. Profil en cuvette, creusé dans substrat avec résidus calcaire. | Négative | 578,1 | 577,39 | 2,7 | / | 0,7 |
| 25136-1 | Comblement de la cave. Niveau d'apparition matérialisé par du mobilier très fragmenté : calcaire, tegulae, amphore, blocs de basalte et de pouzzolane (petit module). Comblement constitué de limon argileux brun marron à tendance grisâtre avec inclusions charbonneuses. Mobilier présent : fragments d'amphore (petit module) majoritairement, quelques tessons de céramique et faune, mortier (en surface surtout), basalte et pouzzolane. | Positive | 578,1 | 577,39 | 2,7 | / | 0,7 |
| 25137 | Fosse. Creusement longiligne irrégulier. Profil en "U". Parois légèrement évasées, fond plat. Fouillé à moitié. | Négative | 578,1 | 577,9 | 1,62 | 0,68 | 0,18 |
| 25137-1 | Niveau d'apparition matérialisé par mobilier (amphore, métal) et blocs de pierre (basalte et pouzzolane de petit module). Comblement : Limon argileux, brun marron foncé, homogène et compact. Présence de fragments d'amphore, métal, ... | Positive | 578,1 | 577,9 | 1,62 | 0,68 | 0,18 |
| 25138-1 | Mur Est-Ouest de la cave 25108. Composé de 3 à 4 blocs de basalte (- 40cm). Mur sans fondation ? Ne rejoint pas le mur nord/sud, possible espace pour l'embranchement. Écart visible entre le parement et la pouzzolane. | Positive | / | / | / | / | / |
| 25138-2 | Enduit peint blanc avec bordure rouge sur le bas, du côté interne de la cave. Sur le bas du muret, très peu conservé. | Positive | / | / | / | / | / |
| 25139 | TP. Creusement à l'intérieur de la cave 25108, dans la couche de pouzzolane. | Négative | / | / | / | / | / |
| 25139-1 | Comblement du TP. Présence de mobilier dans le comblement composé d'un limon argileux brun. | Positive | / | / | / | / | / |
| 25140 | Sablrière ? Creusement longiligne orienté nord-sud, perpendiculaire à la sablière 25029. Parois légèrement évasées, fond plat. | Négative | 578,1 | 577,9 | 1,6 | 0,68 | 0,18 |
| 25140-1 | Comblement : Limon argileux, brun, compact. Mobilier : amphores surtout. | Positive | 578,1 | 577,9 | 1,6 | 0,68 | 0,18 |
| 25141 | Creusement d'un TP de forme subcirculaire, peu profond. Parois évasées, fond plat. | Négative | 578 | 577,87 | 0,38 | 0,36 | 0,14 |
| 25141-1 | Comblement TP. Terre limono-argileuse, brune, homogène et compact. Mobilier planté en surface et dans le comblement. | Positive | 578 | 577,87 | 0,38 | 0,36 | 0,14 |
| 25142 | Fosse ? Creusement de forme ovoïde. Profil en "V". Parois obliques, fond concave. | Négative | 577,9 | 577,63 | 1,04 | 0,72 | 0,28 |

| | | | | | | | | |
|----------------|--|---|----------|-------|--------|------|------|------|
| 25142-1 | | Comblement fosse : Limon argileux brun, homogène, compact. Contient du mobilier. | Positive | 577,9 | 577,93 | 1,04 | 0,72 | 0,28 |
| 25143 | | Fosse. Creusement de forme subquadrangulaire. Parois évasées, fond plat. | Négative | 578,3 | 578,18 | 2,32 | 1,38 | 0,16 |
| 25143-1 | | Comblement fosse : Limon argileux brun, compact et homogène. Mobilier, dont datant gallo-romain. | Positive | 578,3 | 578,18 | 2,32 | 1,38 | 0,16 |
| 25144 | | Creusement de fosse dont la forme, qui semble ovoïde/subcirculaire, est recoupée par la cave augustéenne. Parois évasées voire obliques, fond plat. | Négative | 578,3 | 578,13 | 0,65 | 0,2 | 0,18 |
| 25144-1 | | Niveau d'apparition caractérisé par des blocs de basalte et du mobilier planté (notamment des amphores). Comblement de la fosse : limon argileux brun, compact et homogène. Mobilier présent (dont datant). | Positive | 578,3 | 578,13 | 0,65 | 0,2 | 0,18 |
| 25145 | | TP. Creusement de forme subcirculaire. Profil en cuvette. Parois irrégulières, fond concave. Peu profond. | Négative | 577,8 | 577,73 | 0,25 | 0,24 | 0,11 |
| 25145-1 | | TP. Comblement limono-argileux, brun, homogène et compact. Mobilier présent + pierres de calage (x2). | Positive | 577,8 | 577,73 | 0,25 | 0,24 | 0,11 |
| 25146 | | Fosse de forme oblongue, irrégulière. Profil en "U". Parois verticales, fond plat. Peu profond. | Négative | 578,1 | 577,95 | 0,94 | 0,39 | 0,12 |
| 25146-1 | | Niveau d'apparition matérialisé par petit blocs de basalte et mobilier planté (amphore). Comblement de la fosse : Limon argileux, brun et homogène, compact. Présence de mobilier dans le comblement. | Positive | 578,1 | 577,95 | 0,94 | 0,39 | 0,12 |
| 25147 | | Sablrière. Creusement de forme longiligne. Profil en cuvette. Parois évasées et fond concave. | Négative | 578,3 | 577,95 | / | 0,74 | 0,3 |
| 25147-1 | | Comblement de la sablière constitué de limon argileux brun marron foncé, homogène et compact. Mobilier fréquent en surface et dans le comblement. | Positive | 578,3 | 577,95 | / | 0,74 | 0,3 |
| 25148 | | Fosse. Creusement de forme ovoïde, irrégulière. Profil en "U". Parois verticales et fond plat. | Négative | 578,4 | 578,24 | 1,18 | 1,3 | 0,18 |
| 25148-1 | | Niveau d'apparition : Quelques blocs de basalte (10 cm) et mobilier en surface. Comblement de la fosse : Limon argileux, brun noir, homogène et compact. Présence de mobilier dans le comblement de la structure : Amphore surtout, faune, quelques tessons de céramique. | Positive | 578,4 | 578,24 | 1,18 | 1,3 | 0,18 |
| 25149 | | Creusement de trou de poteau de forme subcirculaire. Profil en cuvette. | Négative | 578,3 | 578,19 | 0,4 | 0,4 | 0,14 |
| 25149-1 | | Basalte et amphore en surface. Comblement du TP : Limon argileux brun marron foncé. Compact et homogène. Mobilier fréquent : amphore et faune majoritairement. | Positive | 578,3 | 578,19 | 0,4 | 0,4 | 0,14 |
| 25150 | | Foyer au centre de la cave 25108. Composé d'une zone charbonneuse ovoïde ainsi que d'une zone rubéfiée en son centre. | Positive | / | / | / | / | / |
| 25151 | | Plaque de foyer dans la pièce ouest du bâtiment X. Incomplète et fragmentée. | Positive | 578,2 | 578,13 | 0,45 | 0,15 | 0,04 |
| 25152 | | Creusement vu en coupe. Profil en cuvette. Parois évasées, fond concave. Fosse ? TP ? | Négative | 577,9 | 577,47 | / | 0,92 | 0,44 |
| 25152-1 | | Comblement : Limon argileux brun, compact. Mobilier constitué de blocs de basalte (petit module : - de 6 cm), pouzzolane (de petit module également), mortier et TCA fréquents, amphore et céramique en petite quantité. | Positive | 577,9 | 577,47 | / | 0,92 | 0,44 |
| 25153 | | Annulé : Voir 25149. | | / | / | / | / | / |

| | | | | | | | | |
|----------------|--|---|------------|-------|--------|------|------|------|
| 25154 | | Creusement TP, circulaire vu en plan. Profil en cuvette, peu profond. | Négative | 578 | 577,93 | 0,3 | 0,29 | 0,11 |
| 25154-1 | | Comblement TP. Limon peu argileux, brun marron, peu compact et homogène. Mobilier présent. | Positive | 578 | 577,93 | 0,3 | 0,29 | 0,11 |
| 25155-1 | | Mur sud de la cave 25108, composé principalement de blocs de basalte d'un diamètre inférieur à 30 cm, plus rarement pouzzolane. Réalisé en opus Incertum. | Positive | / | / | / | / | / |
| 25155-2 | | Enduit peint blanc qui recouvre le mur sud de la cave 25108. | Positive | / | / | / | / | / |
| 25156-1 | | Mur ouest de la cave 25108 composé principalement de blocs de basalte d'un diamètre inférieur à 30 cm, plus rarement pouzzolane. Réalisé en opus Incertum. | Positive | / | / | / | / | / |
| 25156-2 | | Enduit peint blanc qui recouvre le mur ouest de la cave 25108. | Positive | / | / | / | / | / |
| 24427 | | Tranchée de palissade longiligne creusée dans le rocher selon un axe NNO/SSE. Son extrémité sud est arrondie, l'autre est recoupée par un fossé. Ses bords subverticaux et son fond plat en pente vers le nord dessinent un profil longitudinal en cuvette et transversal en V. (Complément de fouille) | Négative | 578,7 | 578,49 | 3,2 | 0,65 | 0,23 |
| 24427-1 | | Remplissage composé d'un limon argileux noir ainsi que de neuf restes de faune, 18 tessons de céramique de petit module (0,02x0,02 m), deux clous et 15 fragments d'amphore de petit module (0,03x0,02 m). (Complément de fouille) | Positive | 578,7 | 578,49 | 3,2 | 0,65 | 0,23 |
| 25300 | | UF de décapage manuel dans l'extension sud de la fouille, sédiment brun foncé limo-argileux, mobilier conservé. | | / | / | / | / | / |
| 25301 | | Uf de décapage manuel à l'Ouest de la cave 25334, sédiment brun foncé limono-argileux, mobilier conservé. | Positive | / | / | / | / | / |
| 25302 | | Décapage manuel, Au nord du mur Est-Ouest du bâtiment Z. Sédiment homogène brun foncé limono- argileux. Présence de TCA, Faune, Basalte, Pouzzolane et inclusion de mortier. | Positive | / | / | / | / | / |
| 25303 | | Décapage manuel de la démol. Au sud du Mur Est-Ouest du Bati. Z, comprend le mur Est_Ouest 25324. Sédiment homogène brun foncé argilo-limoneux | Positive | / | / | / | / | / |
| 25304 | | Décapage manuel à L'Ouest du Bati. Y, sédiment brun foncé, noir, argilo-limoneux | Positive | / | 579,1 | / | / | / |
| 25305 | | Décapage manuel, au Sud du Bati Z à l'Ouest du Mur Nord-Sud (25317), sédiment brun foncé, noir argilo-limoneux, homogène. | Positive | / | 579,61 | / | / | / |
| 25306 | | Décapage manuel près du Mur 25326 à l'Est, sédiment brun foncé noir, argilo-limoneux, peu de pierre, principalement du basalte < 15cm, cloue, faune, céramique. | Positive | / | 578,31 | / | / | / |
| 25307 | | Fosse post-antique dans le Bati_Y, traversant le sol en terrazzo 24202 et le mur 24191, présence de gros blocs de terrazzo diam <30 cm, quelque blocs de basalte et de pouzzolane diam<30cm, quelque tessons de céramique <10 cm | Négative | 579,3 | 578,85 | 1,81 | 1,21 | 0,48 |
| 25307-1 | | Comblement fosse 25307, sédiment brun foncé noir limoneux-argileux, présence d'inclusion de mortier, de TCA, céramique. | Positive | 579,3 | 578,85 | 1,81 | 1,21 | 0,48 |
| 25308 | | Mur Est de la pièce Sud du Bati. X, très arasé, pierre diam <40cm, pouzzolane et basalte. | Construite | 577,8 | 577,25 | 7,77 | 0,57 | / |

| | | | | | | | |
|---------|---|------------|-------|--------|-------|------|------|
| 25309 | Décapage manuel de la pièce au Sud_Est du Bati Z, sédiment brun foncé, noir, limono_argileux. | Positive | / | 579,11 | / | / | / |
| 25310 | Décapage manuel de la pièce au Sud_Ouest du Bati. Z, sédiment brun foncé, noir, limono_argileux. | Positive | 579,6 | 579,31 | / | / | / |
| 25311 | Fosse à Pierre post-antique à l'intérieur du Bati. Y, au Sud de 25307, sédiment brun foncé, noir, limono_argileux. Partie Nord plus profonde. Forme irrégulière | Négative | 579,3 | 578,81 | / | / | / |
| 25311_1 | Comblement de la fosse 25311, pierres non organisée de toutes tailles, module de pierre plus important dans la partie Nord de la fosse, terre meuble, peu de céramique, TCA, Amphore | Positive | 579,3 | 578,81 | / | / | / |
| 25312 | Décapage dans le Bati.Y au Nord de la fosse à pierre 25311, sédiment brun foncé, noir, limono_argileux. | Positive | 579,3 | / | / | / | / |
| 25313 | Décapage de la pièce Nord du Bati Y, sédiment brun foncé, noir, limono_sableux.Présence faune et céramique et peu d'amphore | Positive | 579,1 | 578,18 | / | / | / |
| 25314 | Décapage à l'Est du Bati. Z au Sud de 25309, sédiment brun foncé, noir, limono_argileux. Inclusion de gros tessons d'amphores | Positive | / | 578,86 | / | / | / |
| 25315 | Décapage au Sud 25309 à l'Ouest de 25314, sédiment brun foncé, noir, limono_argileux. Eclat d'amphore (0,2cm), faune et peu de céramique. Présence de pierres de basalte (<20 cm) et de pouzzolane (<20 cm). | Positive | / | 579,13 | / | / | / |
| 25316 | Mur Est_Ouest au Sud du Bati.Z = 24153-1/24154-1. Mortier encore visible. Pierre de module <15 cm, en basalte et pouzzolane. | Construite | 578,5 | / | 4,4 | 0,65 | / |
| 25317 | Mur Nord_Sud au Sud/Ouest du Bati.Z. Tegulae présentes à plat sur le parement. Pierres majoritairement en basalte (peu de pouzzolane). Présence de deux pierres taillées >20cm aux extrémités, l'une en basalte et la seconde en gneiss | Construite | 579,7 | 579,61 | 2,06 | 0,24 | 0,07 |
| 25318 | Mur Nord_Sud de la continuité du Bati.Z (mur central). Pierre <30 cm en basalte sans liant visible. Quelques tessons d'amphores et de céramiques sont également à noter. | Construite | 579,3 | 579,16 | 2,59 | 0,66 | 0,17 |
| 25319 | Mur ? Nord_Sud continuité du Bati. Z à l'extrémité Est, très arasé, pierres diam < 6cm. Cloture les pièces des murs 25317, 25318, 25319. | Positive | 579 | 578,96 | 2,49 | / | / |
| 25320 | Mur Est_Ouest continuité du Bati. Z (le plus au Sud), très peu conservé sur le partie la plus à l'Ouest,bloc de basaltes diam <40cm, quelque bloc de pouzzolane diam <40cm, pas de liant visible. | Construite | 579,4 | 579,1 | 3,3 | 0,6 | 0,13 |
| 25321 | Sud_Est de l'emprise de la fouille, possible radier, solin ou démol : aggloméra de pierres (basalte (nombreux) et pouzzolane (peu)) diam <10cm, de faune, de TCA, céramique, amphore (peu), ainsi que des inclusions de mortier (gros blocs). Présence de nombreux clous. | Positive | 578,8 | 578,43 | 12,46 | 1,1 | 0,18 |
| 25322 | Partie Nord_Sud du Solin/radier (25321), mobilier simiilaire à 25321 et constituion similaire à 25321 | Positive | 578,8 | 578,68 | 3,07 | 0,72 | 0,12 |
| 25323 | Partie le plus au Nord Solin/Radier (25321) au Nord de 25324, similaire au niveau du mobilier à 25321, et similaire dans sa constitution à 25321. Présence d'un col de dolium. | Positive | 578,6 | 578,49 | / | / | / |

| | | | | | | | |
|----------|--|------------|-------|--------|------|------|------|
| 25324 | Mur traversant le radier/solin (25321), mur composé de bloc de basalte majoritaire, diam<70cm, très peu de faune, de céramique et d'amphore. | Construite | 578,8 | 578,45 | 8,49 | 0,58 | 0,26 |
| 25325 | Mur orientation Nord_Est/Sud_Ouest (chainé 25326) au Sud_Est du radier/solin (25321), pierres basalte et pouzzolane diam <60cm. | Construite | 578,3 | 578,23 | 3,31 | 1,01 | / |
| 25326 | Mur orientation Nord_Ouest/Sud_Est (chainé 25325) Au Sud_Est du radier/solin (25321), parement extérieur fait de blocs basaltes de 20 à 30 cm, comblement fait de petits moellons de basalte set de pouzzolanes | Construite | 578,5 | 578,4 | 7,91 | 0,72 | / |
| 25327 | Fosse au Sud_Est du Bassin : chablis. | Négative | 578,5 | 578,19 | / | / | / |
| 25327-1 | Comblement de 25327, présence de gros blocs de basalte diam <50cm, bouteille de "Kronembourg". Sédiment brun foncé, noir, limono-argileux. | Positive | 578,5 | 578,19 | / | / | / |
| 25328 | Sol en mortier de tuileau, au Sud du Bati. Y. Sédiment brun foncé, noir, limono-argileux. | Positive | 579,3 | / | / | / | / |
| 25329 | Mur Nord_Sud du Bati Z (Radier/Solin25321) au Sud_Est du Bati.Z, blocs de basalte diam<40 cm, présence de blocs de pouzzolane très peu nombreux diam <40 cm, quelque inclusions de mortier, quelque reste d'amphore, céramique, faune. | Positive | 578,8 | 578,71 | 2,7 | 0,69 | 0,12 |
| 25330 | Décapage manuel à l'Est du Mur 25308 dans le Bati X, sédiment brun verdâtre limono-sableux, présence de céramique (-), faune (-), TCA (++), Amphore (++), inclusion de mortier. | Positive | 577,7 | 577,63 | / | / | / |
| 25331 | Décapage manuel "Mur" ? "Démol" ? en limite Sud-ouest de la Fouille, Orientation Est-Ouest, au Sud-Ouest de 25320, sédiment brun foncé, noir argilo-limoneux, basalte (++) pouzzolane (--) diam<60 cm. | Positive | 579,8 | 579,69 | 4,58 | 0,76 | 0,22 |
| 25332 | Fosse moderne ? Pierrier, non fouillé, présence de bloc de basalte diam <20 cm en surface. | Positive | 578,4 | / | 3,26 | 0,92 | / |
| 25333 | Citerne creusée dans le substrat pouzzolanique, de forme circulaire. | Négative | 578,8 | 574,95 | 3,9 | 2,73 | 3,82 |
| 25333-1 | Dernier comblement de 25333 subdivisé en 2 : -1A et -1B | Positive | 578,8 | 577,81 | / | / | / |
| 25333-1A | Subdivisement du comblement de 25333-1, sediment limono-sableux avec beaucoup de matériel archéologique : TCA (+++), Céramique (++), Faune (+), Amphore (-), Fer (6), Lithique (-). Postérieur à 25333-1B | Positive | 578,8 | 578,39 | / | / | / |
| 25333-1B | Second subdivisement du comblement 25333-1, couche comportant des pierres diam. 30 cm max en "vrac", TCA (+++), Céramique (-), Faune (-), Amphore (-). | Positive | 578,6 | 577,81 | / | / | / |
| 25333-2 | Comblement de 25333, sédiment noir cendreuse, sablo-caillouteux, TCA (+++), Céramique (++), Enduit Peint (+), Faune (-). Couche traversant les uf 25333-4, 25333-5 | Positive | 578,3 | 577,67 | / | / | / |
| 25333-3 | Comblement de 25333, blocs de pierre de basaltes et plus rarement de pouzzolane diam 10/30 cm, quasi-absence de sédiment, TCA (+++) diam 22cm, Céramique (+) (peu fragmenté), Faune (-) | Positive | 578 | 575,26 | / | / | / |
| 25333-4 | Comblement de 25333, couche de pouzzolane foncé (brun foncé) sous 25333-1, avec très peu de mobilier, TCA(++), Céramique (+), Faune (+) | Positive | 578,6 | 577,87 | / | / | / |
| 25333-5 | comblement de 25333, couche de pouzzolane (rouge brique) sous 25333-2, quasi absence de mobilier. | Positive | 578,4 | 577,36 | / | / | / |

| | | | | | | | |
|----------|---|------------|-------|--------|------|------|---|
| 25333-6 | Parement de la structure 25333, basalte diam <20cm. | Positive | 578,5 | 577,63 | / | / | / |
| 25333-7 | comblement inférieur sédiment très sableux pouzzolanique, et de quelque blocs de basaltes, TCA (Imbrex 3: entières mais fragmentés), 3 céramiques entières. | Positive | 575,4 | 574,98 | / | / | / |
| 25333-8 | Comblement inférieur reposant sur le substrat, sédiment brun foncé limono-argileux, composé de nodule de mortier (en grand nombre). Céramique (-) très fragmenté diam <5cm. | Positive | 575 | 574,93 | / | / | / |
| 25334 | Cave Collective creusé dans le substrat basaltique, de forme quadrangulaire, de grande dimension a l'Est enmarchement central, taillée dans les coins pour possiblement accueillir des poteaux porteurs | Négative | / | / | 7,89 | 5,97 | / |
| 25334-1 | Comblement 25334, agloméra de pierre : "ébouli". | Positive | / | / | / | / | / |
| 25334-2 | Comblement 25334, sédiment brun clair | Positive | / | / | / | / | / |
| 25334-3 | Comblement de 25334, ébouli du solin au Sud | Positive | / | / | / | / | / |
| 25334-4 | Comblement de 25334, couche charboneuse. | Positive | / | / | / | / | / |
| 25334-5 | Comblement de 25334, couche gravioneuse brun claire | Positive | / | / | / | / | / |
| 25334-6 | Comblement de 25334, couche marron claire "chocolat", très argileuse, pierre en grand nombre diam.<60cm | Positive | / | / | / | / | / |
| 25334-7 | Comblement de l'enmarchement de la cave 25334 | Positive | / | / | 1,3 | / | / |
| 25334-8 | Comblement de 25334, au dessus 25334-6, sous 25334-2, couche grisâtre. | Positive | / | / | / | / | / |
| 25334-9 | Comblement de 25334, sous 25334-6,couche marron foncée | Positive | / | / | 6,59 | 5,97 | / |
| 25334-10 | Couche de calcaire, possible sol de la cave 25334, sous 25334-9 | Positive | / | / | 6,59 | 5,97 | / |
| 25334-11 | Comblement de 25334, sous 25334-10, couche de pouzzolane | Positive | / | / | 6,59 | 5,97 | / |
| 25334-12 | Enmarchement de la cave | Positive | / | / | 1,3 | / | / |
| 25334-13 | Démolition possible des marches comprises dans l'enmarchement de 25334. Au centre du creusement, au dessus de 25334-10. | Positive | / | / | / | / | / |
| 25335 | Décapage à l'Est de la Cave Collective 25334, sédiment brun noir limo-argileux | Positive | / | / | / | / | / |
| 25336 | Décapage de la pièce Est du Bati Z, sédiment brun noir, limono-argileux céramique (++), amphore (+), Faune (-), Fer (-) | Positive | / | 578,94 | / | / | / |
| 25337 | Décapage au Sud de la culinae dans le Bati. Z, sédiment brun noir limono-argileux, inclusions de charbon, amphore (++), céramique (++), faune (+), TCA(-), 1 jeton. | Positive | 579,8 | 579,05 | 4,4 | 2,46 | / |
| 25338 | Décapage à L'Ouest du Bati. Y, sédiment brun noir, limono-argileux | Positive | 579,3 | / | / | / | / |
| 25339 | Propable trou de poteau sous 25337 dans Bati. Z, non fouillé, présence de Faune et d'Amphore en surface | Négative ? | 579,2 | / | / | / | / |

| | | | | | | | |
|---------|---|------------|-------|--------|------|------|------|
| 25340 | Structure empierrée à l'Ouest de 25339 dans Bati. Z, non fouillée, présence en surface de pouzzolane et de basalte. | Négative ? | 579,3 | / | / | / | / |
| 25341 | Sondage à l'Ouest du mur 25174 dans Bati. Y, non concluant. | / | 580,5 | 579,94 | / | / | / |
| 25342 | Sondage à l'Ouest perpendiculaire à 25174 dans Bati. Y, non concluant | / | 580,2 | 579,79 | / | / | / |
| 25343 | Radier dans Bati. Y. Pierre de module <10cm de diam (forte présence de pouzzolane); très peu de mobilier. | Positive | 579,3 | / | / | / | / |
| 25344 | Trou de Poteau ? sous 25337 dans Bati. Z. Non fouillé, similaire à 25339. | Négative ? | 579,3 | / | / | / | / |
| 25345 | UF supprimée, équivalent à 25108. | / | / | / | / | / | / |
| 25346 | Décapage au Sud_Est de 25334. Sédiment brun noir limono-argileux | Positive | 579,1 | 578,94 | / | / | / |
| 25347 | Fosse au Sud de 25334. Non fouillé. | Négative ? | 579 | / | / | / | / |
| 25348 | Fosse à l'Est de 25349, "accolé" à la berme. Forme ovoïde, très peu profond (très arasée). | Négative | 578,9 | 578,78 | 1,17 | 0,75 | 0,12 |
| 25348-1 | Comblement de 25348. Sédiment brun noir limono-argileux, présence d'amphores (++) , céramique (+) et de pierre de diam <10cm | Positive | 578,9 | 578,78 | 1,17 | 0,75 | 0,12 |
| 25349 | Fosse à l'Est de 25347. Non fouillée. | Négative ? | / | / | / | / | / |
| 25350 | Fosse à l'Est de la tranchée du Nord_Ouest, au Nord_Est de 25349. Non fouillée | Négative ? | 578,9 | / | / | / | / |
| 25351 | Trou de poteau au Nord_Ouest du Bâti. X, à l'Ouest de 25352, de forme circulaire, en cuvette. | Négative | 578,7 | 578,25 | 0,78 | 0,63 | 0,44 |
| 25351-1 | Comblement 25351, sédiment brun noir limono-argileux, amphore (++) , faune (+), céramique (+), présence de pierre de calage en basalte diam.<30cm, arduillon de fibule et 2 jetons. | Positive | 578,7 | 578,25 | 0,78 | 0,63 | 0,44 |
| 25352 | Trou de Poteau au Nord_Ouest du Bâti. X, à l'Est de 25351, de forme circulaire, en cuvette | Négative | 578,6 | 578,12 | 0,84 | 0,65 | 0,43 |
| 25352-1 | Comblement 25352, sédiment brun noir, limono-argileux, présence de pierres de calages en basalte et en pouzzolane, Amphore (+), faune (+), céramique (+) | Positive | 578,6 | 578,12 | 0,84 | 0,65 | 0,43 |
| 25353 | Décapage du secteur Nord, au Nord_Ouest du Bâti. X, sédiment brun noir limono-argileux, passe effectué en grande partie jusqu'au substrat rocheux basaltique | Positive | 578,7 | 578,47 | / | / | / |
| 25354 | Mur Augustéen limite Sud du Secteur Nord à l'Ouest du Bâti. X, comportant des blocs de basalte de diam.<60cm, ainsi que quelque blocs de pouzzolane diam. ?, orientation Est-Ouest. | Construite | 578,6 | 578,42 | 5,43 | 0,49 | 0,10 |
| 25355 | Fosse Gallo-romaine, creusé dans le substrat basaltique | Négative | 578,6 | 578,24 | 1,16 | 0,85 | 0,33 |
| 25355-1 | Comblement fosse Gallo-romaine 25355, sédiment brun noir sableux-argileux, TCA (+), amphore (-), faune (+), céramique (+), Fer (-), lithique (-) | Positive | 578,6 | 578,24 | 1,16 | 0,85 | 0,33 |
| 25356 | Trou de Poteau au Nord-Ouest du Bati.X, au Sud de 25351, creusé dans le substrat basaltique | Négative | 578,5 | 578,3 | 0,7 | 0,5 | 0,18 |
| 25356-1 | Comblement Trou de Poteau 25356, sédiment limoneux-argileux, brun noir | Positive | 578,5 | 578,3 | 0,7 | 0,5 | 0,18 |
| 25357 | Trou de Poteau zone 25051, creusé dans le substrat basaltique, à l'Ouest de 25358 | Négative | 578,4 | 578,15 | 0,64 | 0,24 | 0,23 |
| 25357-1 | Comblement trou de poteau 25357, sédiment brun limoneux-argileux | Positive | 578,4 | 578,15 | 0,64 | 0,24 | 0,23 |

| | | | | | | | | |
|----------------|--|--|----------|-------|--------|------|------|------|
| 25358 | | Fosse/Trou de Poteau, à l'Ouest de 25382 non fouillé dans son intégralité. Creusé dans le substrat basaltique, de forme circulaire | Négative | 578,3 | 578,01 | / | / | / |
| 25358-1 | | Comblement Fosse/Trou de Poteau 25358, limono-argileux, brun foncé. | Positive | 578,3 | 578,01 | / | / | / |
| 25359 | | Uf Supprimée | / | / | / | / | / | / |
| 25360 | | Trou de Poteau à l'Est de la sablière 25396, creusé dans le substrat basaltique | Négative | 578,7 | 578,58 | 0,5 | 0,41 | 0,17 |
| 25360-1 | | Comblement trou de poteau 25360, sédiment brun foncé, limono-argileux | Positive | 578,7 | 578,58 | 0,5 | 0,41 | 0,17 |
| 25361 | | Trou de Poteau à l'Ouest de 25396, creusé dans le substrat basaltique | Négative | 578,6 | 578,5 | 0,34 | 0,33 | 0,11 |
| 25361-1 | | Comblement trou de poteau 25361, sédiment brun foncé limono-argileux | Positive | 578,6 | 578,5 | 0,34 | 0,33 | 0,11 |
| 25362 | | Palissade au Sud du fossé 25371 et à l'Ouest de 24427, creusée dans le substrat basaltique, de forme longitudinale | Négative | 578,8 | 578,47 | 5,84 | 0,61 | 0,16 |
| 25362-1 | | Comblement Palissade 25362, sédiment brun foncé, limono-argileux | Positive | 578,8 | 578,47 | 5,84 | 0,61 | 0,16 |
| 25363 | | Trou de poteau entre 25362 et 24427, le plus à l'Ouest, creusé dans le basalte. | Négative | 578,7 | 578,52 | 0,44 | 0,4 | 0,24 |
| 25363-1 | | Comblement trou de poteau 25363, sédiment brun foncé limono-argileux. | Positive | 578,7 | 578,52 | 0,44 | 0,4 | 0,24 |
| 25364 | | Trou de piquet, entre 25362 et 24427, le plus à l'Est, creusé dans le basalte | Négative | 578,7 | 578,58 | 0,2 | 0,2 | 0,13 |
| 25364-1 | | Comblement trou de poteau 25364, sédiment limono-argileux brun foncé | Positive | 578,7 | 578,58 | 0,2 | 0,2 | 0,13 |
| 25365 | | Décapage à l'Ouest du Bati.X au Nord de 24135, sédiment brun foncé limono-argileux, amphore (++), Faune (+), céramique (+) (céramiques assez fragmentées) | Positive | 578,5 | / | / | / | / |
| 25366 | | Trou de poteau à l'Ouest de 25384, au Sud de 25395, creusé dans le basalte | Négative | 578,7 | 578,5 | 0,55 | 0,33 | 0,19 |
| 25366-1 | | Comblement trou de poteau 25366, sédiment limono-argileux brun foncé | Positive | 578,7 | 578,5 | 0,55 | 0,33 | 0,19 |
| 25367 | | Structure en creux, à l'Est de 25355, creusée dans le basalte de forme irrégulière : arrondie et plus profond au Sud et conique au Nord, il est à noter que deux structures, 25438 et 25379, semblent liés à la structure ci-nommée. | Négative | 578,7 | 578,15 | 3,31 | 1,36 | 0,53 |
| 25367-1 | | Comblement 25367, sédiment brun noir limono-argileux, Amphore (+), Faune (+), Céramique (++), (TCA -): possible que surface et appartenant à 25355). 4 jetons. | Positive | 578,7 | 578,15 | 3,31 | 1,36 | 0,53 |
| 25368 | | Trou de Poteau dans la Palissade 25362, de forme circulaire, creusé dans le basalte. | Négative | 578,8 | 578,6 | 0,67 | 0,64 | 0,21 |
| 25368-1 | | Comblement Trou de Poteau 25368, sédiment brun foncé limono-argileux | Positive | 578,8 | 578,6 | 0,67 | 0,64 | 0,21 |
| 25369 | | Fosse ou cellier à l'extrémité Sud-Est de la Palissade 25362 (non connectés), de forme irrégulière, creusé(e) dans le basalte. | Négative | 578,7 | 578,43 | 1,83 | 0,89 | 0,28 |
| 25369-1 | | Comblement Fosse 25369, sédiment brun foncé limono-argileux, Amphore (+++), Faune (++), Céramique (+), ensemble assez fragmenté. Tige en Bronze. | Positive | 578,7 | 578,43 | 1,83 | 0,89 | 0,28 |
| 25370 | | Surcreusement dans le basalte, à l'Ouest du Bati.X , entre 25377 et 25356, ne correspond à aucune structure archéologique | Négative | 578,5 | / | / | / | / |

| | | | | | | | | |
|----------------|--|---|----------|-------|--------|------|------|------|
| 25371 | | Fossé en limite du secteur Nord, continuité du fossé 24071, structure linéaire, creusée dans le substrat (basalte et pouzzolane), s'approfondie vers l'Est. Structure subdivisée en 3 tronçons. | Négative | 578,8 | 578,23 | 9,37 | 0,92 | 0,47 |
| 25371-1 | | Comblement 25371, sédiment brun foncé limono-argileux, amphore (+++), faune (+++), céramique (++), TCA (+), Fer (++), présence de beaucoup de cloue en bord de structure. | Positive | 578,8 | 578,23 | 9,37 | 0,92 | 0,47 |
| 25372 | | Trou de Poteau au Nord-Ouest du Fossé 25371, de forme circulaire en cuvette. | Négative | 578,7 | / | / | / | / |
| 25372-1 | | Comblement Trou de Poteau 25372, sédiment brun foncé, homogène, limono-argileux, amphore (++), faune (++), TCA (+), céramique (+). | Positive | 578,7 | / | / | / | / |
| 25373 | | Structure empierré (fosse ?) recoupé par le fossé 25371 T-3, creusé dans la pouzzolane | Négative | 579,3 | 578,87 | 3,43 | 1,48 | 0,44 |
| 25373-1 | | Comblement de 25373, sédiment argilo-limoneux, brun foncé, avec beaucoup de blocs de basalte diam. <5cm, quelques pierre de module plus grand diam. 10 à 15 cm. Amphores, céramiques, TCA (possible contamination de 25371) | Positive | 579,3 | 578,87 | 3,43 | 1,48 | 0,44 |
| 25374 | | Trou de Poteau, à l'Est de 25375, creusé dans le basalte. | Négative | 578,6 | 578,29 | 0,59 | 0,46 | 0,26 |
| 25374-1 | | Comblement Trou de Poteau 25374, sédiment brun noir homogène limono-argileux | Positive | 578,6 | 578,29 | 0,59 | 0,46 | 0,26 |
| 25375 | | Trou de poteau, creusé dans le basalte, au Sud_Ouest de 25374. | Négative | 578,7 | 578,38 | 0,9 | 0,55 | 0,31 |
| 25375-1 | | Comblement trou de poteau 25375, sédiment brun noir limono-argileux | Positive | 578,7 | 578,38 | 0,9 | 0,55 | 0,31 |
| 25376 | | Sablière/Fossé ?, au Nord de 25408, axé OSO/ENE, englobe 25415 | Négative | 579,1 | 578,31 | 7,31 | 0,7 | 0,26 |
| 25376-1 | | Comblement de 25376, sédiment brun foncé limono-argileux, amphore (+++), faune (++), céramique (+), fer (+), lithique (-). | Positive | 579,1 | 578,31 | 7,31 | 0,7 | 0,26 |
| 25377 | | Trou de Poteau à l'Ouest de 25357, creusé dans le basalte, de forme ovoïde | Négative | 578,5 | 578,21 | 1,29 | 0,61 | 0,29 |
| 25377-1 | | Comblement 25377, sédiment limono-argileux brun foncé, amphore (+++), faune (++), céramique (++), TCA (+). | Positive | 578,5 | 578,21 | 1,29 | 0,61 | 0,29 |
| 25378 | | Sablière ? à l'Est de 25399. Structure creusé dans le basalte, profil en U (peu profonde). Structure recoupée par la berme à l'Ouest du Bâti. X. | Négative | 578,6 | 578,46 | 1,4 | 0,56 | 0,11 |
| 25378-1 | | Comblement de 25378, très peu de matériel, sédiment brun noir limono-argileux. | Positive | 578,6 | 578,46 | 1,4 | 0,56 | 0,11 |
| 25379 | | Trou de poteau lié à 25367, à l'Est de 25367, creusé dans le basalte. | Négative | 578,6 | 578,37 | 0,87 | 0,49 | 0,20 |
| 25379-1 | | Voir 25367 | Positive | 578,6 | 578,37 | 0,87 | 0,49 | 0,20 |
| 25380 | | Trou de poteau, au Nord de 25358, creusé dans le basalte, de forme circulaire avec un profil en cuvette. | Négative | 578,4 | 578,17 | 0,51 | 0,5 | 0,21 |
| 25380-1 | | Comblement de 25380, sédiment brun foncé, limono-argileux, amphore (+++), faune (+), céramique (+), TCA(-) | Positive | 578,4 | 578,17 | 0,51 | 0,5 | 0,21 |
| 25381 | | Piégeage dans le substrat basaltique, entre 25366 et 25375. Amphore (+), faune (-). | Négative | / | / | / | / | / |
| 25382 | | Sablière ? Fossé ?, au Nord du Bâti. X, parallèle(e) à la berme, profil en cuvette, de forme longitudinale, recoupé par le mur Nord (d'orient Est-Ouest)du Bâti. X. | Négative | 578,3 | 577,84 | 3,13 | 1,04 | 0,43 |

| | | | | | | | |
|----------------|--|----------|-------|--------|------|------|------|
| 25382-1 | Comblement de 25382, couche de pouzzolane en niveau d'apparition, puis composé d'un sédiment brun noir limono-argileux, Amphore (++++), faune (++) , céramique (++) , TCA (-). | Positive | 578,3 | 577,84 | 3,13 | 1,04 | 0,43 |
| 25383 | Décapage manuel dans l'extension du Bati.Z, sous 25310, sédiment brun noir, limono-argileux, présence de pierres de diam <20cm (radier ?) dans la partie inférieure, TCA (++) , céramique (++) , faune (+), fer (-), amphore (-) | Positive | 579,6 | 579,48 | / | / | / |
| 25384 | Trou de Poteau, au Nord de 25381, creusé dans le basalte, profil en cuvette, de forme circulaire, présence de pierres de calages en basalte. | Négative | 578,7 | 578,26 | 0,27 | 0,26 | 0,40 |
| 25384-1 | Comblement de 25384, sédiment brun noir limono-argileux, très peu de matériel, céramique (-), faune (-). | Positive | 578,7 | 578,26 | 0,27 | 0,26 | 0,40 |
| 25385 | Fosse ? Creusée dans le basalte, à l'Ouest de 25362, profil en cuvette, de forme circulaire. | Négative | 578,8 | 578,68 | 0,98 | 0,92 | 0,08 |
| 25385-1 | Comblement de 25385, sédiment brun noir limono-argileux, céramique (+), ? | Positive | 578,8 | 578,68 | 0,98 | 0,92 | 0,08 |
| 25386 | Structure en creux, au Sud de 25354, possible cave ou citerne augustéenne, creusé dans le basalte. Fouille non achevée. | Négative | 578,4 | 577,18 | / | / | 1,22 |
| 25386-1 | Premier comblement de 25386, sédiment brun noir limono-argileux, TCA (+++), amphore (+), faune (++) , céramique (++) , fer (-), lithique (-). | Positive | 578,4 | / | / | / | / |
| 25386-2 | Deuxième comblement de 25386, sédiment brun noir limono-sableux. Niveau de démolition du mur 24188; forte présence de mortier et TCA, bloc de basalte (+) et pouzzolane (-) < 30cm de diamètre. | Positive | / | / | / | / | / |
| 25386-3 | Comblement situé sous 25386-2 correspondant à une poche compoché d'un sédiment brun noir limono-argileux associé à de nombreux blocs de basalte <60cm et de quelques blocs de pouzzolane. | Positive | / | / | / | / | / |
| 25386-4 | Dernier comblement de 25386, il est composé d'un sédiment brun-noir argilo-limoneux, ponctué de tessons d'amphore (-), de TCA (+), de faune (+), de tessons de céramique (+) et d'ensemble céramique quasi-complet (+). | Positive | / | 577,18 | / | / | / |
| 25386-5 | Tranchée de fondation du solin 24188, sédiment brun noir limono-argileux. | Positive | / | / | / | / | / |
| 25387 | Trou de Poteau au Sud-Est de 25374, creusé dans le basalte, de forme circulaire, surcreusé en son centre. | Négative | 578,5 | 578,28 | 0,77 | 0,73 | 0,26 |
| 25387-1 | Comblement de 25387-1, sédiment brun noir limono-argileux, Amphore (++) , faune (+), céramique (+) | Positive | 578,5 | 578,28 | 0,77 | 0,73 | 0,26 |
| 25388 | Structure creusée dans le rocher (basalte), non achevée. Au Nord-Ouest de 25366. | Négative | / | / | / | / | / |
| 25388-1 | Comblement de 25388, sédiment brun noir limono-argileux, Amphore (++) , Faune (+), céramique (+) ??? | Positive | / | / | / | / | / |
| 25389 | Piégeage dans le substrat basaltique, amphore, faune, céramique. A l'Ouest de 25387. Sédiment brun noir limono-argileux. | Négative | / | / | / | / | / |
| 25390 | Sablière d'orientation Est/Ouest, creusé dans le basalte, situé au Sud de 25435, recoupée par la berme à l'Est du Bati.X. Surcreusement important à l'extrémité Est de la sablière (T.P ?). | Négative | 578,6 | 578,31 | 2,17 | 0,44 | 0,24 |

| | | | | | | | | |
|----------------|--|---|----------|-------|--------|------|------|------|
| 25390-1 | | Comblement de 25390, sédiment brun noir limono-argileux, très peu de matériel, faune (-), amphore (-), céramique (-) | Positive | 578,6 | 578,31 | 2,17 | 0,44 | 0,24 |
| 25391 | | Cellier qui recoupe 25392, se trouvant au Sud de 25376, et à l'Ouest de 25408, de forme quadrangulaire. | Négative | 579 | 578,5 | 2,64 | 1,66 | 0,49 |
| 25391-1 | | Comblement de 25391, sédiment brun noir limono-argileux, Amphore (+++), Faune (++), Céramique (+). | Positive | 579 | 578,55 | 2,64 | 1,66 | 0,49 |
| 25392 | | Sablière d'axe Nord/Ouest-Sud/Est, recoupé par 25391, profil en cuvette, de forme longitudinale. | Négative | 579 | 578,82 | 4,5 | 0,5 | 0,17 |
| 25392-1 | | Comblement de l'extrémité Sud de 25392, sédiment brun noir limono-argileux, amphore (++), faune (++), céramique (+). | Positive | 579 | 578,82 | 0,77 | 0,69 | 0,17 |
| 25392-2 | | Comblement de l'extrémité Nord de 25392, recoupé par 25421, similaire à 25392-1. | Positive | 579 | 578,88 | 0,48 | 0,5 | 0,2 |
| 25393 | | Trou de poteau creusé dans le substrat basaltique, dans la continuité de 25390, à l'Ouest. De forme circulaire ,profil en cuvette. Permet de faire le lien entre les sablières 25394 et 25390. | Négative | 578,6 | 578,42 | 0,61 | 0,48 | 0,21 |
| 25393-1 | | Comblement de 25393, sédiment brun noir limono-argileux, très peu de matériel, amphore (+), faune (+), céramique (+). | Positive | 578,6 | 578,42 | 0,61 | 0,48 | 0,21 |
| 25394 | | Sablière d'orientation Nord/Ouest-Sud/Est, dans la continuité de 25393, creusé dans le substrat basaltique, de forme longitudinale avec un profil en cuvette. Recoupé perpendiculairement par 25396. | Négative | 578,7 | 578,52 | 0,84 | 0,26 | 0,13 |
| 25394-1 | | Comblement de 25394, similaire à 25390. | Positive | 578,7 | 578,52 | 0,84 | 0,26 | 0,13 |
| 25395 | | Fosse/cellier ? Au Sud de 25355. Structure creusé dans le substrat basaltique, de forme irrégulière. | Négative | 578,8 | 578,49 | 1,69 | 1,3 | 0,29 |
| 25395-1 | | Comblement de 25396, sédiment brun noir limono-argileux, amphore (+), faune (+), céramique (+), 1 fibule | Positive | 578,8 | 578,49 | 1,69 | 1,3 | 0,29 |
| 25396 | | Sablière d'orientation Nord/Sud, perpendiculaire à 25394. Structure creusé dans le substrat basaltique, de forme longiligne et en cuvette. | Négative | 578,7 | 578,53 | 1,66 | 0,43 | 0,10 |
| 25396-1 | | Comblement 25396, sédiment brun noir limono-argileux, quasi pas de matériel archéologique. | Positive | 578,7 | 578,53 | 1,66 | 0,43 | 0,10 |
| 25397 | | Cellier/fosse ? Au Nord de 25390, de forme quadrangulaire, creusé dans le substrat basaltique. | Négative | 578,5 | 578,29 | 0,84 | 0,66 | 0,25 |
| 25397-1 | | Comblement de 25397, sédiment brun noir limono-argileux, amphore, céramique, faune... | Positive | 578,5 | 578,29 | 0,84 | 0,66 | 0,25 |
| 25398 | | Sablière d'orientation Nord/Sud, dans la continuité de 25378, et perpendiculaire à 25390. Recoupé par la berme à l'Ouest du Bâti. X. Structure creusé dans le substrat basaltique, de forme longitudinale, très peu profonde. | Négative | 578,6 | 578,47 | 1,2 | 0,44 | 0,12 |
| 25398-1 | | Comblement de 25398, similaire à 25378. | Positive | 578,6 | 578,47 | 1,2 | 0,44 | 0,12 |
| 25399 | | Trou de poteau à l'Ouest de 25398 et 25378. Structure creusé dans la substrat basaltique, de forme irrégulière, en cuvette. | Négative | 578,6 | 578,36 | 0,66 | 0,5 | 0,24 |
| 25399-1 | | Comblement de 25399, sédiment brun noir limono-argileux, comportant très peu de matériel. | Positive | 578,6 | 578,36 | 0,66 | 0,5 | 0,24 |

| | | | | | | | | |
|----------------|--|---|----------|-------|--------|------|------|------|
| 25400 | | Structure accolée au parement Nord 25354. Possible fosse à pierre Romaine. Profondeur entre 60 cm et 1m de profondeur. Le comblement était fait essentiellement de pierre, non fouillé entièrement. | Négative | 578,5 | 578,06 | / | / | / |
| 25401 | | Trou de poteau ? A l'Ouest de la cave 25334. Pierre de calage (basalte) possible sur le pourtour. | Négative | / | / | / | / | / |
| 25401-1 | | Comblement de 25401, sédiment brun noir limono-argileux, très peu de mobilier. 2 ou 3 tessons d'amphores présent. 1 ou 2 faunes | Positive | / | / | / | / | / |
| 25402 | | Trou de poteau de l'âge du Bronze, au Sud/Ouest de la cave 25334, de forme circulaire, profil en cuvette. Structure en creux fortement arasée. | Négative | / | / | / | / | / |
| 25402-1 | | Comblement de 25402, sédiment brun noir limono-argileux, très peu d'Amphore, principalement constitué de tesson de l'âge du bronze (céramique). | Positive | / | / | / | / | / |
| 25403 | | Trou de Poteau, au Sud de la cave 25334, entre 25402 et 25404, de forme circulaire, profil en cuvette. | Négative | 579 | 578,85 | 0,63 | 0,57 | 0,24 |
| 25403-1 | | Comblement de 25403, sédiment brun noir limono-argileux, Amphore (++), céramique (+), Faune (-). | Positive | 579 | 578,85 | 0,63 | 0,57 | 0,24 |
| 25404 | | Trou de Poteau, au Sud de la cave 25334, entre 25403 et 25405, de forme circulaire, profil en cuvette. | Négative | 579,2 | 578,91 | 0,57 | 0,51 | 0,22 |
| 25404-1 | | Comblement de 25404, sédiment brun noir limono-argileux, très peu de mobilier composé majoritairement d'amphore. | Positive | 579,2 | 578,91 | 0,57 | 0,51 | 0,22 |
| 25405 | | Trou de poteau, au Sud/Est de la cave 25334, à l'Est de 25404. Structure de forme circulaire, profil en cuvette, très arasée. | Négative | 578,9 | 578,75 | 0,4 | 0,35 | 0,10 |
| 25405-1 | | Comblement de 25405, sédiment brun noir limono-argileux, très peu de mobilier. | Positive | 578,9 | 578,75 | 0,4 | 0,35 | 0,10 |
| 25406 | | Fosse, possible continuité de 25371. Creusé dans le substrat pouzzolanique, de forme ovoïde, profil en cuvette à fond plat. | Négative | 578,8 | 578,27 | 1,62 | 1,06 | / |
| 25406-1 | | Comblement de 25406, sédiment brun noir limono-argileux (très peu présent), mélangé sur les bords à la pouzzolane, présence de dalles et de blocs de calcaires (provenant possiblement de l'embranchement de la cave 25334), 1 blocs de pouzzolane, Amphore (-), Céramique (+), Faune (-), Fer (-) | Positive | 578,8 | 578,27 | 1,62 | 1,06 | / |
| 25407 | | Trou de poteau, entre 25356 et 25380, creusé dans le substrat basaltique, de forme circulaire, profil en cuvette. | Négative | 578,5 | 578,22 | 0,59 | 0,41 | 0,27 |
| 25407-1 | | Comblement de 25407, sédiment brun noir limono-argileux, très peu de matériel, amphore (-), faune (-), céramique(-). | Positive | 578,5 | 578,22 | 0,59 | 0,41 | 0,27 |
| 25408 | | Fosse à l'Est de 25391, creusement de forme rectangulaire, profil en cuvette, banquettes au Nord. L'encaissant (le fond) est constitué du terrain naturel et du cailloutis correspondant au niveau de l'âge Bronze. Bord Est illisible car perturbé par une tranchée de fondation gallo-romaine et son solin (UF 25329). Interpréter comme un possible fond de cuisine. | Négative | 578,8 | 578,27 | 5,04 | 3,23 | 0,60 |

| | | | | | | | |
|----------------|---|----------|-------|--------|------|------|------|
| 25408-1 | Comblement de 25408, sédiment brun noir limono-argileux, parfois associé à du cailloutis de l'âge du Bronze remanié. Amas d'Amphore (+++) plantées : module s'agrandissant du Nord au Sud, Faune (++) , Céramique (+). Présence de quelques objets métalliques. | Positive | 578,8 | / | 2,93 | 3,23 | / |
| 25408-2 | UF de nettoyage recouvrant 25408-5, permettant la mise à jour de cette dernière. Sédiment argilo-sableux (cailloutis) composé de particules de charbon. Quelques blocs de calcaires présent. Amphore (++) , céramique (++) , faune (+). Couteaux complets trouvés. | Positive | / | / | 2,93 | 3,23 | / |
| 25408-3 | Niveau à l'Est de la structure, perturbé par la tranchée de fondation de 25329. Bord effacé dû au recoupement du solin : le mobilier plonge sous celui-ci. Amphore, faune, céramique (laténienne), quelques tessons de céramiques gallo-romaine. Quelques nodules de mortiers. | Positive | 578,7 | 578,33 | / | / | / |
| 25408-4 | Comblement le plus au Nord de la fosse correspondant à la banquette se trouvant dans la dite fosse (emmarchement ?). Sédiment brun noir limono-argileux, comportant des inclusions charbonneuses. Mobilier associer : marmite sur pied. Fragments de plaque de foyer présent ainsi que de fragment d'amphore et de céramique. | Positive | 578,8 | 578,38 | 2,11 | 3,04 | 0,6 |
| 25408-5 | Niveau du dépôt de la fosse. Sous 25408-2, au Sud de la banquette Nord. Présence d'Amphores quasi complètes (4), tessons d'amphores de gros modules (+++) (majoritairement 1A), faunes (+++), céramique (+). Fer (+) (objet métallique), Bronze (+). Possible corrélation avec 25408-2. | Positive | / | 578,27 | 2,93 | 3,23 | / |
| 25408-6 | UF isolée au sein du dépôt 25408-5, composé d'un crâne de cheval complet et d'une grosse concentration de faune. Présence éparse d'amphores et de céramiques. | Positive | / | 578,48 | / | / | / |
| 25409 | Trou de poteau au bord de la berme Sud, à l'Ouest de 25410. de forme circulaire, profil en cuvette, très arasé. | Négative | 579,3 | 579,2 | 0,36 | 0,36 | 0,08 |
| 25409-1 | Comblement de 25409, sédiment brun noir limono-argileux, amphore (+), faune (+), céramique (-). | Positive | 579,3 | 579,2 | 0,36 | 0,36 | 0,08 |
| 25410 | Trou de Poteau, au Sud/Ouest de 25420, de forme circulaire, très arasée. | Négative | 579,2 | 579,13 | 0,38 | 0,34 | 0,06 |
| 25410-1 | Comblement de 25410, sédiment brun noir limono-argileux, très peu de matériel (similaire à 25409). | Positive | 579,2 | 579,13 | 0,38 | 0,34 | 0,06 |
| 25411 | Trou de poteau au Sud/Ouest de 25413, non fouillé dans son intégralité. | Négative | 579 | / | / | / | / |
| 25411-1 | Comblement de 25411, sédiment brun noir limono-argileux, présence d'une pierre (basalte) de calage longitudinale diam <40cm. | Positive | 579 | / | / | / | / |
| 25412 | Trou de Poteau à l'Est de 25418, de forme circulaire, profil en cuvette à fond plat. | Négative | 579 | 578,87 | 0,42 | 0,38 | 0,15 |
| 25412-1 | Comblement de 25412, sédiment brun noir limono-argileux, amphores... | Positive | 579 | 578,87 | 0,42 | 0,38 | 0,15 |
| 25413 | Trou de poteau au Nord/Est de 25411, de forme circulaire, profil en cuvette, fond plat. | Négative | 579 | 578,77 | 0,46 | 0,44 | 0,21 |
| 25413-1 | Comblement de 254123, sédiment brun noir limono-argileux. | Positive | 579 | 578,77 | 0,46 | 0,44 | 0,21 |
| 25414 | Trou de poteau au Sud de 25408, de forme circulaire, profil en cuvette. | Négative | 578,9 | 578,63 | 0,42 | 0,4 | 0,19 |
| 25414-1 | Comblement de 25414, sédiment brun noir limono-argileux . | Positive | 578,9 | 578,63 | 0,42 | 0,4 | 0,19 |

| | | | | | | | | |
|----------------|--|--|----------|-------|--------|------|------|------|
| 25415 | | UF annulé car équivalente à 25376. | Négative | / | / | / | / | / |
| 25416 | | Fosse au Nord/Ouest de 25376, forme ovoïde, profil en cuvette. | Négative | 578,9 | 578,62 | 1,4 | 0,95 | 0,27 |
| 25416-1 | | Comblement de 25416, sédiment bun noir limono-argileux, amphore (++), faune (++), objets en fer (++), céramique (+). | Positive | 578,9 | 578,62 | 1,4 | 0,95 | 0,27 |
| 25417 | | UF de décapage du secteur Sud, sédiment bun noir limono-argileux. | Positive | 578,4 | 578,3 | / | / | / |
| 25418 | | Trou de poteau à l'Ouest de 25412, de forme circulaire, très arasé, profile en cuvette. | Négative | 579 | 578,94 | 0,3 | 0,23 | 0,07 |
| 25418-1 | | Comblement de 25418, sédiment bun noir limono-argileux. | Positive | 579 | 578,94 | 0,3 | 0,23 | 0,07 |
| 25419 | | Trou de poteau ? Perturbation gallo-romaine, dans 25408. Impossibilité d'avoir plus d'information au vue de la perturbation. Présence de mortier et de sigillées (graffito). | Négative | / | / | / | / | / |
| 25420 | | Trou de Poteau, au Nord/Est de 25410, de forme circulaire, profil en cuvette à fond plat. | Négative | 579 | 578,81 | 0,4 | 0,33 | 0,23 |
| 25420-1 | | Comblement de 25420, sédiment bun noir limono-argileux. | Positive | 579 | 578,81 | 0,4 | 0,33 | 0,23 |
| 25421 | | Trou de poteau au Sud de 25376, à l'Est de 25391, recoupe 25392. De forme circulaire, profil en cuvette. | Négative | 579 | 578,8 | 0,65 | 0,58 | 0,19 |
| 25421-1 | | Comblement de 25421, sédiment bun noir limono-argileux, présence d'amphores | Positive | 579 | 578,8 | 0,65 | 0,58 | 0,19 |
| 25422 | | Fosse à l'Ouest de 25391, au Sud de 25421, de forme ovoïde (avec une légère excroissance au Nord/Est). | Négative | 579,1 | 578,89 | 1,34 | 0,93 | 0,2 |
| 25422-1 | | Comblement de 25322, sédiment bun noir limono-argileux. | Positive | 579,1 | 578,89 | 1,34 | 0,93 | 0,2 |
| 25423 | | Trou de Poteau recoupé à l'Est par 25422, de forme circulaire. | Négative | 579,1 | 579,02 | 0,3 | 0,26 | 0,08 |
| 25423-1 | | Comblement de 25423, sédiment bun noir limono-argileux. | Positive | 579,1 | 579,02 | 0,3 | 0,26 | 0,08 |
| 25424 | | Trou de Poteau au Sud de 25423, de forme circulaire, profil en cuvette très arasée. | Négative | 579,1 | 579,04 | 0,4 | 0,31 | 0,09 |
| 25424-1 | | Comblement de 25324, sédiment bun noir limono-argileux. | Positive | 579,1 | 579,04 | 0,4 | 0,31 | 0,09 |
| 25425 | | Trou de Poteau au Sud/Est de 25426, de forme circulaire, profil en cuvette à fond plat, arasé. | Négative | 579,2 | 579,08 | 0,59 | 0,58 | 0,11 |
| 25425-1 | | Comblement de 25425, sédiment bun noir limono-argileux. | Positive | 579,2 | 579,08 | 0,59 | 0,58 | 0,11 |
| 25426 | | Trou de poteau au Nord/Ouest de 25425, de forme circulaire, profil en cuvette. | Négative | 579,2 | 579,07 | 0,32 | 0,24 | 0,08 |
| 25426-1 | | Comblement de 25426, sédiment bun noir limono-argileux. | Positive | 579,2 | 579,07 | 0,32 | 0,24 | 0,08 |
| 25427 | | Fosse ? Au Sud de 25320, très arasée de forme circulaire. Possiblement aucun réalité archéologique. | Négative | 579,2 | 579,03 | 2,06 | 1,45 | 0,07 |
| 25427-1 | | Possible un niveau d'occupation. | Positive | 579,2 | 579,03 | 2,06 | 1,45 | 0,07 |
| 25428 | | Trou de poteau au Sud de 25318, circulaire, profil en cuvette (possible Trou de piquet). | Négative | 579,3 | 579,15 | 0,23 | 0,2 | 0,1 |
| 25428-1 | | Comblement de 25428, sédiment bun noir limono-argileux, 1 tessons d'amphore et une phalange de bœuf. | Positive | 579,3 | 579,15 | 0,23 | 0,2 | 0,1 |
| 25429 | | Foyer composé de calcaire et d'amphore (possible mortier de tuileau?), situé entre 25408 et 25391. | Positive | 579 | 578,89 | / | / | / |

| | | | | | | | | |
|----------------|--|--|----------|-------|--------|------|------|------|
| 25430 | | Trou de poteau (fosse?), sous 25336 dans le Bâti. Z, de forme circulaire, | Négative | 579 | 578,92 | 1,5 | 0,85 | 0,14 |
| 25430-1 | | Comblement, sédiment brun foncé limono-argileux, amphore (-), céramique laténienne (++) et céramique bronze (+) | Positive | 579 | 578,92 | 1,5 | 0,85 | 0,14 |
| 25431 | | Trou de Poteau au Sud/Est de 25422, de forme circulaire, profil en cuvette, très arasé. | Négative | 579 | 578,96 | 0,34 | 0,27 | 0,06 |
| 25431-1 | | Comblement de 25431, sédiment brun foncé limono-argileux. | Positive | 579 | 578,96 | 0,34 | 0,27 | 0,06 |
| 25432 | | Structure longiligne (canalisation?), sous 25310 et 25309. Constitué principalement de blocs de basaltes et de quelques blocs de pouzzolanes diam. < 30cm, un bloc de calcaire. | Négative | 579,3 | 579,08 | 4,27 | 0,46 | 0,13 |
| 25432-1 | | Comblement de 25432, présence d'amphore (+), céramique (-), TCA (+). | Positive | 579,3 | 579,08 | 4,27 | 0,46 | 0,13 |
| 25433 | | Trou de Poteau au Sud/Est de 25329, de forme circulaire, profil en cuvette. | Négative | 578,7 | 578,48 | 0,4 | 0,38 | 0,21 |
| 25433-1 | | Comblement de 25433, sédiment brun foncé limono-argileux. | Positive | 578,7 | 578,48 | 0,4 | 0,38 | 0,21 |
| 25434 | | Structure à l'Ouest de 25334 (Tranchée de fondation du solin?). Fouille non terminée. | Négative | / | / | / | / | / |
| 25434-1 | | Comblement de 25434, sédiment brun foncé limono-argileux, présence d'amphore, de faune, de céramique, de TCA et de fer. | Positive | / | / | / | / | / |
| 25435 | | Sablrière? d'axe Est/Ouest au Nord de 25390 et à l'est de 25397. Creusée dans le substrat basaltique. Forme longitudinale, et profil en cuvette de plus en plus profond vers l'est. | Négative | 578,5 | 578,18 | 5,5 | 0,42 | 0,36 |
| 25435-1 | | Comblement de 25435, sédiment brun foncé limono-argileux, mobilier très hétéroclite : Amphore (++) , Faune(++), Céramique laténienne et romaine (++) , fer (-), lithique (-), TCA(+). | Positive | 578,5 | 578,18 | 5,5 | 0,42 | 0,36 |
| 25436 | | Sablrière d'axe Nord/Sud, creusée dans le substrat basaltique, perpendiculaire à 25435 et 25390, probable continuité avec 25398. Structure en partie sous la berme à l'est du Bat. X. Forme longitudinale, profil en U, très peu profonde. | Négative | 578,7 | 578,51 | 2,76 | 0,42 | 0,15 |
| 25436-1 | | Comblement de 25436, sédiment brun foncé limono-argileux, très peu de matériel archéologique: Amphore (-), faune (-). | Positive | 578,7 | 578,51 | 2,76 | 0,42 | 0,15 |
| 25437 | | Trou de Poteau à l'est de 25375 creusé dans le substrat basaltique, de forme ovoïde, en cuvette. | Négative | 578,6 | 578,39 | 0,58 | 0,32 | 0,21 |
| 25437-1 | | Comblement de 25437, sédiment brun foncé limono-argileux. Comblement similaire à 25375. | Positive | 578,6 | 578,39 | 0,58 | 0,32 | 0,21 |
| 25438 | | Trou de poteau à l'ouest de 25367, face à 25379. Creusé dans le substrat basaltique, de forme ovoïde en cuvette. Probable corrélation avec 25367 et 25379. | Négative | 578,6 | 578,37 | 0,5 | 0,29 | 0,17 |
| 25438-1 | | Comblement de 25438, sédiment brun foncé limono-argileux. | Positive | 578,6 | 578,37 | 0,5 | 0,29 | 0,17 |
| 25439 | | Trou de poteau au Sud/Est de 25363, creusé dans le substrat basaltique, de forme circulaire et profil en cuvette | Négative | 578,8 | 578,55 | 0,37 | 0,33 | 0,20 |
| 25439-1 | | Comblement de 25439, sédiment brun foncé limono-argileux, très peu de mobilier archéologique. | Positive | 578,8 | 578,55 | 0,37 | 0,33 | 0,20 |
| 25440 | | Trou de piquet creusé dans le substrat basaltique, à l'est de 25362 et au nord de 25441. Forme circulaire en cuvette. Très étroit et de très petite taille. Possible connection avec 25362. | Négative | 578,8 | 578,66 | 0,18 | 0,14 | 0,08 |

| | | | | | | | | |
|---------|--|---|----------|-------|--------|------|------|------|
| 25440-1 | | Comblement de 25440, sédiment brun-noir limono-argileux, absence de mobilier archéologique. | Positive | 578,8 | 578,66 | 0,18 | 0,14 | 0,08 |
| 25441 | | Trou de piquet creusé dans le substrat basaltique, à l'est de 25362 et au nord de 25442. Forme circulaire en cuvette. Très étroit et de très petite taille. Possible connection avec 25362. | Négative | 578,8 | 578,66 | 0,35 | 0,23 | 0,14 |
| 25441-1 | | Comblement de 25441, sédiment brun-noir limono-argileux, absence de mobilier archéologique. | Positive | 578,8 | 578,66 | 0,35 | 0,23 | 0,14 |
| 25442 | | Trou de piquet creusé dans le substrat basaltique, à l'est de 25362 et au nord de 25443. Forme circulaire en cuvette. Très étroit et de très petite taille. Possible connection avec 25362. | Négative | 578,8 | 578,66 | 0,34 | 0,18 | 0,11 |
| 25442-1 | | Comblement de 25442, sédiment brun-noir limono-argileux, absence de mobilier archéologique. | Positive | 578,8 | 578,66 | 0,34 | 0,18 | 0,11 |
| 25443 | | Trou de piquet creusé dans le substrat basaltique, à l'est de 25362 et au nord/ouest de 25369. Forme circulaire en cuvette. Très étroit et de très petite taille. Possible connection avec 25362. | Négative | 578,7 | 578,57 | 0,24 | 0,22 | 0,11 |
| 25443-1 | | Comblement de 25443, sédiment brun-noir limono-argileux, absence de mobilier archéologique. | Positive | 578,7 | 578,57 | 0,24 | 0,22 | 0,11 |
| 25444 | | Trou de poteau creusé dans le substrat basaltique, de forme circulaire, évasé à fond plat. | Négative | 578,8 | 578,64 | 0,41 | 0,4 | 0,14 |
| 25444-1 | | Comblement de 25444, sédiment brun-noir limono-argileux. | Positive | 578,8 | 578,64 | 0,41 | 0,4 | 0,14 |
| 25445 | | Sondage dans le Bâti. Z, à la base du mur 25316, au nord-est de celui-ci. Présence de multiple tessons de l'âge du Bronze. Quelques amphores et TCA en surface. | Positive | / | / | / | / | / |
| 25446 | | Sablrière ?, au sud/est de 25433, axe nord-sud. Forme longitudinale, et profil en cuvette. | Négative | 578,7 | 578,49 | 1,31 | 0,51 | 0,2 |
| 25446-1 | | Comblement de 25446, sédiment brun-noir limono-argileux, avec amphore, faune et céramique. | Positive | 578,7 | 578,49 | 1,31 | 0,51 | 0,2 |
| 25447 | | Trou de poteau au sud de 25432, de forme circulaire en cuvette. | Négative | 579,3 | 579,13 | 0,44 | 0,42 | 0,2 |
| 25447-1 | | Comblement de 25447, sédiment brun-noir limono-argileux, présence d'amphore (+), de faune (+), de céramique (-), et de fer (--). | Positive | 579,3 | 579,13 | 0,44 | 0,42 | 0,2 |
| 25448 | | Trou de poteau à l'est de 25430, de forme circulaire en cuvette. | Négative | 579 | 578,76 | 0,54 | 0,5 | 0,22 |
| 25448-1 | | Comblement de 25448, sédiment brun-noir limono-argileux, très peu de mobilier (Amphore (+), Faune (-), et Céramique (-)). | Positive | 579 | 578,76 | 0,54 | 0,5 | 0,22 |
| 25449 | | Trou de poteau (Fosse?) à l'est du Bâti. Z, au nord de 25416. Forme circulaire à fond plat. | Négative | 578,7 | 578,39 | 1,44 | 1,29 | 0,29 |
| 25449-1 | | Comblement de 25449, sédiment brun-noir limono-argileux, mobilier archéologique abondant et très remué (présence d'un tesson de céramique médiévale) | Positive | 578,7 | 578,39 | 1,44 | 1,29 | 0,29 |
| 25450 | | Trou de poteau au sud de 25416 et au nord de 25376. Forme circulaire en cuvette. | Négative | 578,9 | 578,79 | 0,68 | 0,53 | 0,12 |
| 25450-1 | | Comblement de 25450, sédiment brun-noir limono-argileux. | Positive | 578,9 | 578,79 | 0,68 | 0,53 | 0,12 |
| 25451 | | Trou de poteau au sud de 25355, et dans la continuité, au nord/ouest de 25394. Creusé dans le substrat basaltique, de forme circulaire en cuvette. | Négative | 578,7 | 578,49 | 0,45 | 0,38 | 0,23 |
| 25451-1 | | Comblement de 25451, similaire au comblement de 25394. | Positive | 578,7 | 578,49 | 0,45 | 0,38 | 0,23 |

| | | | | | | | | |
|--------------|--------------|---|------------|-------|--------|------|------|------|
| 25452 | | Continuité du mur sud du Bâtiment Y (UF 24174); Extension à l'Ouest. | Construite | 580 | 579,94 | 7,84 | 0,82 | 0,06 |
| 25453 | | Fosse à pierre située en limite sud-est de l'aire de fouille. | Négative | / | / | / | / | / |
| 25454 | | Solin en pierre situé en limite sud-est de l'aire de fouille, au nord de 25453. | Construite | / | / | / | / | / |
| 26003 | U3 | mur axé Nord/Sud lié au mortier avec enduit blanc, pierre de 16 cm de diam, basalte majoritaire, pouzzolane présente, 2 assises en élévation, fondation visible. | positive | 576,3 | | 4,75 | 0,5 | 0,67 |
| 26007 | V1 | Mur axé est\ouest lié au mortier, perpendiculaire au pierrier 26020, gros blocs de basalte (+++) et de pouzzolane (+), diam = 20 à 15 cm, 4 assises de conservé, mortier blanc ocre avec inclusion de gravier et de tca. | positive | 576,4 | | 3,26 | 0,62 | 0,71 |
| 26007 | V1 | Mur axé est\ouest lié au mortier, perpendiculaire au pierrier 26020, gros blocs de basalte (+++) et de pouzzolane (+), diam = 20 à 15 cm, 4 assises de conservé, mortier blanc ocre avec inclusion de gravier et de tca. | positive | 576,4 | | 3,26 | 0,62 | 0,71 |
| 26009 | V2-V6 | Mur axé est\ouest lié au mortier au nord de la meule en place (cuisine), composé de gros blocs de pierre très peu équarris, d'un mortier grossièrement posé, quelque fragment d'amphore compris dans le mur, construit en basalte 80% et en pouzzolane 20% (diam = 20cm). | positive | 576,4 | | 2,6 | 0,48 | 0,57 |
| 26011 | V2-V6 | Mur en pierre sans mortier axé nord\sud au nord de la fosse UF 26013, chaîné avec le mur [26123], composé de 80 % de basalte et de 20% de pouzzolane, blocs d'un diamètre de 20 cm jusqu'à plus de 50 cm, quelque trace de mortier blanc jaune très sableux. | positive | 576,6 | | 4,27 | 0,45 | 0,60 |
| 26017 | Sud | fosse à pierre avec croute de pouzzolane | négative | | | | | |
| 26020 | | fosse à pierre axée Nord/Sud | négative | | | | | |
| 26020 | | fosse à pierre axée Nord/Sud | négative | | | | | |
| 26022 | Sud | mur en pierre sèche (de 2015) | positive | | | | | |
| 26026 | Sud | sablière basse chez les bronziers | négative | | | | | |
| 26027 | | mur lié au mortier avec enduit peint axé E/O avec une meule contre | positive | 576,5 | | | | |
| 26031 | Sud | mur en pierre sèche axé nord-ouest/sud-est | positive | | | | | |

| | | | | | | | | |
|-------|---------|--|------------|-------|--|------|------|------|
| 26033 | Sud | TP entre 26032 et le mur 26022 | négative | | | | | |
| 26034 | Sud | TP au sud-est du mur 26022 | négative | | | | | |
| 26036 | | décapage manuel du "mur" d'effondrement | positive | | | | | |
| 26038 | Sud | mur en pierres sèches axé est/ouest coupé par la fosse 26017 | positive | | | | | |
| 26040 | | pièce est au nord du secteur | englobante | | | | | |
| 26041 | U2 | mur d'orientation Est/Ouest au nord du secteur (Est de 26020), axé est/ouest, sans mortier visible, chaîné avec mr 26043 composé de blocs de basalte de plus de 50 cm de large et de plus petit blocs de 20 cm de diam, quelque blocs de pouzzolane de 40 cm, 1 assise conservé. | positive | 575,7 | | 2,33 | 0,77 | 0,26 |
| 26043 | | mur Nord/Sud (Est) pièce 26040, chaîné avec 26041, blocs de 10 à 20 cm pouzzolane et basalte. Mortier blanc jaune/rosé. 1 seule assise de conservé. | positive | 575,7 | | 5,27 | 0,65 | 0,06 |
| 26044 | U3 ? | mur Nord/Sud (Ouest) , très arasé, composé de gros blocs de basalte de 50 cm de diamètre et de quelque blocs de 20 cm de diam. Aucune trace de mortier. A l'ouest du mr 25043 (parralèle) | positive | 575,8 | | 7,39 | 0,77 | 0,24 |
| 26048 | U | décapage manuellu niveau laténien au nord du corps de bâtiments U | positive | | | | | |
| 26049 | | démontage du niveau de sol romain à l'ouest du mur 26003 | positive | | | | | |
| 26051 | U3 | décapage "fondation" 26052-1 (et/ou 26053-1) Est/Ouest limite Nord, sédiment brun noir, limono-argileux, compact, homogène comprenant de l'amphore, de la céramique, de la TCA et de la faune. | positive | | | | | |
| 26052 | U3/U2 ? | mur orientation Est/Ouest limite Nord à l'Est de 26003, sans mortier visible, 80% basalte, 20% pouzzolane 20 à 50 cm de diam. | positive | / | | 6 | 0,66 | 0,15 |
| 26052 | U3/U2 ? | mur orientation Est/Ouest limite Nord à l'Est de 26003, sans mortier visible, 80% basalte, 20% pouzzolane 20 à 50 cm de diam. | positive | / | | 6 | 0,66 | 0,15 |
| 26053 | | mur moderne d'orientation Est/Ouest limite Nord à l'Ouest de 26003 (Démonté) mur moderne | positive | / | | / | / | / |

| | | | | | | | | |
|--------------|-----------|--|------------|-------|--|------|------|------|
| 26056 | U1 | mur d'orientation Nord/Sud (pièce 26058), sans mortier s'appui contre 26057, composé majoritairement de basalte, comportant de la pouzzolane, diamètre des blocs entre 20 et 50 cm. | positive | 576,2 | | 5,38 | 0,62 | 0,17 |
| 26057 | U1 | mur d'orientation Est/Ouest (pièce 26058), perpendiculaire à 26056, sans mortier visible, diam des pierres 20 à 50 cm, composé de pouzzolane et de basalte. | positive | 576,3 | | 3,1 | 0,6 | 0,90 |
| 26059 | | nettoyage du 1er niveau dans la pièce 26058 | positive | | | | | |
| 26060 | | (équivalence 26103) décapage de l'espace compris entre 26061 et 2056 | positive | | | | | |
| 26061 | | mur Sud/Nord fondé à l'ouest du mur 26003 | positive | | | | | |
| 26066 | | décapage manuel entre la berme Est et 26040, 26042 et la dalle 2 | positive | | | | | |
| 26067 | V1 | décapage manuel du 1er niveau latenien 1er passe | positive | | | | | |
| 26071 | V5 | décapage de 26070 | positive | | | | | |
| 26072 | V5 | mur d'orientation Est Ouest perpendiculaire au pierrier 26020 et au mur 26073, mortier fortement dégradé (blanc gris très salbeux et homogène), 70% de basalte, 30% de pouzzolane, gros blocs entre 20 cm et 50 cm de long. 1 assise | positive | 576,4 | | 6,09 | 0,73 | 0,24 |
| 26073 | V5 | mur d'orientation Nord/Sud à l'ouest parallèle au pierrier 26020 et perpendiculaire au mur 26072, identique au mur 26072. | positive | 576,7 | | 16,3 | 0,61 | 0,32 |
| 26076 | | décapage manuel à l'Est du mur 26043 | positive | | | | | |
| 26079 | | decapage Ouest du mur 26073 couche marron-noire limoneux – argileux meuble et hétérogène avec de la TCA et céramique | positive | | | | | |
| 26082 | V6 | Cave 26170 mur axé Est/Ouest perpendiculaire au mur 26084, très arasé, chaînage avec 26207, mortier très dégradé mélangé à la terre, blocs de 20 cm de diam (Pouzzolane et Basalte), très peu équarris, opus incertum | positive | 575 | | 1,6 | 0,33 | 1,13 |
| 26083 | V6 | mur axé Est/Ouest de la cave 26163 à l'Est du mur 26030, composé de mortier blanc, opus incertum, blocs de basalte recouvert de mortier lissé ou d'enduit de proprés, chaîné avec 26084 | positive | 575,5 | | 2 | 0,5 | 2,75 |
| 26084 | V6 | mur ouest de la cave, lié au mortier, axé Nord/Sud, construction identique à 26083, chaîné avec ce dernier. | positive | 575,5 | | 4,5 | 0,47 | 2,90 |
| 26085 | | TP latenien avec couronne de pierre à l'Ouest de 26029 et centre berme Sud | négative | | | | | |
| 26086 | V5 | démolition romaine à l'Est de V5 (témoin strati axé N/S) | positive | | | | | |
| 26086 | V5 | démolition romaine à l'Est de V5 (témoin strati axé N/S) | positive | | | | | |
| 26087 | | niveau de sol romain à l'angle de 26003 | positive | | | | | |
| 26096 | V1 | UF englobante l'espace V1 | englobante | | | | | |

| | | | | | | | | |
|--------------|-----------|---|----------|-------|--|-----|------|------|
| 26097 | V6 | emmarchement de la cave 26170 | positive | 574,9 | | | | |
| 26103 | | (équivalence 26069 et 26063) niveau latenien entre berme Ouest et et bâti Romain | positive | | | | | |
| 26105 | | décapage manuel de la bande entre la piece V4 la berme Est | positive | | | | | |
| 26106 | | décapage manuel du pierrier au Nord/Est du secteur | positive | | | | | |
| 26107 | | décapage général de la zone nord du corps de batiment U couche marron noir linoneux-argileux, hétérogène et meuble contient quelque pierres (diamètre 5 ou 10 cm.) quelques éléments lithiques de la céramique de l'amphore de la TCA et de la faune (égalité 26002, 26004, 26008, 26010, 26012, 26014, 26018, 26019, 26107, 26112, 26113, 26116, 26117, 26124, 26126, 26153, 26167, 26264) | positive | | | | | |
| 26108 | | décapage manuel sur une bande axée Nord/Sud entre les murs 26011 et 26078 et la berme Sud | positive | | | | | |
| 26109 | | décapage manuel entre les Ufs 26108/26105 et 26110 et la berme Ouest | positive | | | | | |
| 26110 | | décapage manuel sur une bande axée Est/Ouest entre 26109 et la beme Sud | positive | | | | | |
| 26112 | | décapage général de la zone nord du corps de batiment U couche marron noir linoneux-argileux, hétérogène et meuble contient quelque pierres (diamètre 5 ou 10 cm.) quelques éléments lithiques de la céramique de l'amphore de la TCA et de la faune (égalité 26002, 26004, 26008, 26010, 26012, 26014, 26018, 26019, 26107, 26112, 26113, 26116, 26117, 26124, 26126, 26153, 26167, 26264) | positive | | | | | |
| 26113 | | décapage général de la zone nord du corps de batiment U couche marron noir linoneux-argileux, hétérogène et meuble contient quelque pierres (diamètre 5 ou 10 cm.) quelques éléments lithiques de la céramique de l'amphore de la TCA et de la faune (égalité 26002, 26004, 26008, 26010, 26012, 26014, 26018, 26019, 26107, 26112, 26113, 26116, 26117, 26124, 26126, 26153, 26167, 26264) | positive | | | | | |
| 26114 | | foyer âge du bronze | positive | | | | | |
| 26116 | | décapage général de la zone nord du corps de batiment U couche marron noir linoneux-argileux, hétérogène et meuble contient quelque pierres (diamètre 5 ou 10 cm.) quelques éléments lithiques de la céramique de l'amphore de la TCA et de la faune (égalité 26002, 26004, 26008, 26010, 26012, 26014, 26018, 26019, 26107, 26112, 26113, 26116, 26117, 26124, 26126, 26153, 26167, 26264) | positive | | | | | |
| 26121 | U | appartenant au bassin 26165 mur axé nord/sud, compose de bloc d'arkose, de basalte et de pouzzolane, blocs très peu équarris, d'un diamètre moyen de 25 cm, sans mortier visible, lié avec 26245. | positive | 575,4 | | 1,5 | 0,45 | 0,11 |
| 26122 | V1 | décapage manuel en dessous de 26046 niveau latenien 3ième passe | positive | | | | | |

| | | | | | | | | |
|--------------|--------------|---|------------|-------|--|-----|------|------|
| 26124 | | décapage général de la zone nord du corps de bâtiment U couche marron noir linoneux-argileux, hétérogène et meuble contient quelque pierres (diamètre 5 ou 10 cm.) quelques éléments lithiques de la céramique de l'amphore de la TCA et de la faune (égalité 26002, 26004, 26008, 26010, 26012, 26014, 26018, 26019, 26107, 26112, 26113, 26116, 26117, 26124, 26126, 26153, 26167, 26264) | positive | | | | | |
| 26127 | U | mur axé Nord/Sud à l'est de 26106 et 26165, tracé de mortier blanc jaune sableux homogène, alternance de basalte et de pouzzolane, mur constitué de 6 blocs équarris grossièrement, 1 seule assise conservée. | positive | 575,7 | | 1,3 | 0,24 | 0,20 |
| 26128 | U | mur axé Est/Ouest bordant la limite Sud du bassin 26165, à l'est 1 assise de conservé, à l'ouest 5 assises. Trace de mortier dégradé, 70% Basalte, 30 % pouzzolane, 20 cm diam. | positive | 575,5 | | 2 | 0,22 | 0,64 |
| 26131 | V2-V6 | piece Nord limitée au Nord par 26027 e tau sud par 26123 | positive | | | | | |
| 26132 | V2-V6 | piece Sud limitée au Nord 26123 et à l'Ouest par 26011 | positive | | | | | |
| 26133 | V2-V6 | niveau de sol en béton piece Nord | positive | | | | | |
| 26134 | V2-V6 | niveau de sol en béton piece Sud | positive | | | | | |
| 26142 | | cave au nord de 26007 UF englobante la cave 26219 | englobante | | | | | |
| 26154 | V5 | sépukture d'immature en coffrage de tegulae situé le long du parement est du mur d'enclos 26073 | négative | | | | | |
| 26155 | | (équivalence 26164) pierrier moderne au nord du secteur au sud de la cave 26106 et au nord de U2 (le groupe irlandais) | positive | | | | | |
| 26156 | | structure romaine au nord ouest du secteur LE PUIT | englobante | | | | | |
| 26157 | | niveau intermediaire entre le radier 26145 et le niveau latenien (?) | positive | | | | | |
| 26158 | | foyer avec deux tuiles le long du parement ouest du mur 26011 | négative | | | | | |
| 26160 | | T.P en zone Nord du secteur Nord (est) avant la zone Age du bronze | négative | | | | | |

| | | | | | | | | |
|-------|-------|---|------------|-------|--|--|--|--|
| 26163 | V6 | UF englobante la cave avec les murs enduit de blanc au sud de 26170 et à l'est du corps de bâtiments V2 | englobante | | | | | |
| 26165 | | structure maçonné au nord-est du secteur situé au nord du pierrier 26106 emmarchement avec tuile 26115, niveau argileux jaune 26242, niveau brun noir 26243, mur 26128, 26121, 26244, 26245 | positive | | | | | |
| 26169 | | structure en creux laténienne ? Avec blocs de basaltes en calage | négative | | | | | |
| 26170 | V6 | cave situé à l'est du corps de bâtiments V2 contruite avec des murs en petits appareil grossièrement équarris avec assises de tuiles. Cave recoupant la cave 26163 | englobante | | | | | |
| 26174 | | mur est-ouest en V6 coté nord | positive | 575,7 | | | | |
| 26177 | | niveau latenien à l'est de la bande ouest (26103) au nord de 26072 | positive | | | | | |
| 26178 | | fosse latenienne ? Secteur Nord au nord Ouest sous 26117 | négative | | | | | |
| 26179 | V2-V6 | céramique complète le long du parement ouest du mur 26011, dépôt de fondation. | positive | | | | | |
| 26184 | | niveau de sol latenien entre la limite ouest du chantier et le pierrier 26020 | positive | | | | | |
| 26186 | | structure en creux laténienne fosse bande ouest à l'ouest de 26185 | négative | | | | | |
| 26187 | | structure en creux latenienne (T.P) (tiré 1 annulé) | négative | | | | | |
| 26188 | | structure en creux laténienne au Sud-est de la bande Ouest au nord de 26187 | négative | | | | | |
| 26189 | | T.P compris entre le pierrier 26080 et le mur 26072 | négative | | | | | |
| 26190 | | Puits côté Nord (dans le secteur Nord) | négative | | | | | |
| 26191 | | mur puit perforé par un un autre puit 26190 (inseption de puits en somme) | positive | | | | | |
| 26192 | | possible bassin constitué à l'ouest par le mur 26056 et à l'est par le mur 26061 | négative | | | | | |
| 26194 | | mur d'orientation est-ouest au nord-ouest du secreur, coupé par le mur 26052, mur de retour de 26193 | positive | 575,8 | | | | |
| 26196 | | structure en creux dans la bande ouest axée est-ouest | négative | | | | | |
| 26197 | | structure en creux bande ouest | négative | | | | | |
| 26199 | | structure en creux bande ouest (plan 26185) | négative | | | | | |
| 26201 | | structure en creux au nord-est de 26106 et à 1 mètre de la berme nord | négative | | | | | |
| 26202 | | structure en creux entre 26201 et la berme nord-ouest | négative | | | | | |
| 26203 | | structure en creux (sablière) bande ouest (26185) | négative | | | | | |
| 26204 | | sablière entre 26201 et berme nord | négative | | | | | |

| | | | | | | | | |
|--------------|--------------|---|----------|-------|--|-----|------|------|
| 26205 | | Enmarchement de la cave 26163 sur secteur nord en bande Est (en limite du pierrier) | négative | | | | | |
| 26207 | V6 | (fait partie de la cave 26170) mur axé nord-sud chaîné avec le mur 26082, mortier très dégradé, arase ou niche de tuile, Blocs de Basalte d'environ 20 cm de long. Chainé avec 26082. | positive | 575 | | 1,7 | 0,33 | 1,10 |
| 26208 | | T.P au nord-est du secteur | négative | | | | | |
| 26209 | V6 | (fait partie de la cave 26170) mur axé est-ouest perpendiculaire au mur 26207 et parallèle au mur 26082, Basalte 90%, Pouzzolane 10%. Diam des pierres 15 à 20 cm, mortier très dégradé. | positive | 575,3 | | 1,8 | 0,54 | 1,40 |
| 26211 | | T.P dans la bande est (voir plan fiche UF 26201) | négative | | | | | |
| 26212 | U3 | mur au sud de 26005 (compris avant comme 26003) | positive | 576,5 | | 3,5 | 0,47 | 0,60 |
| 26213 | | niveau de circulation latenien sur la zone est | positive | | | | | |
| 26214 | | sablière bande ouest | négative | | | | | |
| 26215 | | T.P bande ouest | négative | | | | | |
| 26216 | | T.P bande ouest | négative | | | | | |
| 26217 | | structure en creux sur la bande ouest (plan sur fiche 26185) | négative | | | | | |
| 26218 | | fosse latenienne (plan sur fiche 26185) | négative | | | | | |
| 26221 | V2-V6 | mur au sud du pierrier 26020 (axé nord-sud) parallèle au pierrier et à l'est du radier 26222, composé de bloc de basalte et quelque blocs de pouzzolane diamètre entre 15 et 30 cm sans liant visible. | positive | / | | / | / | / |
| 26222 | V2-V6 | radier au sud du pierrier 26020 (parallèle) à l'ouest du mur 26221 | positive | | | | | |
| 26223 | V6 | mur axé nord-sud compris dans la structure 26205 côté EST, pied droit de l'embranchement 26205 appartenant à la cave 26163, composé de gros bloc de basalte équarris, faisant entre 30 et 50 cm de diam, lier à l'argile, comporte quelque blocs de pouzzolane. | positive | 575 | | 2 | 0,5 | 1,49 |
| 26224 | V6 | mur axé nord-sud compris dans la structure 26205 côté OUEST, pied droit de l'embranchement 26205 appartenant à la cave 26163, construction similaire à 26223. | positive | 575,1 | | 1,9 | 0,43 | 1,58 |
| 26228 | V6 | mur axé nord-sud, compris dans la cave 26163, mur fortement dégradé compris dans la démolition 26163-4. | positive | / | | / | / | / |
| 26229 | | structure en creux comprenant les Ufs 26183 & 26182 | négative | | | | | |
| 26231 | | structure en creux dans la bande Ouest | négative | | | | | |
| 26232 | | structure en creux dans l'espace englobant 26096 dans le niveau latenien 26067 | négative | | | | | |
| 26235 | | fosse se trouvant à l'extrémité sud du radier 26222 | négative | | | | | |

| | | | | | | | | |
|-------|----|--|------------|-------|--|------|------|------|
| 26240 | | (fosse ?) structure en creux le long du mur 26007 au sud | négative | | | | | |
| 26244 | U | (bassin 26165) mur nord-sud limitant le bassin à l'est, non découvert dans sa totalité (continue sous la berme nord), 80% Basalte, 20% Pouzzo, mortier très dégradé, blocs très peu équarris, diam 20 cm. 2 assises de conservées. | positive | 575,3 | | 0,72 | 0,48 | 0,20 |
| 26245 | U | (bassin 26165) mur est-ouest au nord limitant du bassin 26165, 1 seule assise de conservé avec 90% de basalte, 10 % de pouzzolane très peu équarris, 20 cm de diamètre, pas de trace de mortier | positive | 575,4 | | 1 | 0,4 | 0,19 |
| 26247 | | T.P à l'ouest du mur 26212 | négative | | | | | |
| 26248 | | T.P dans la bande ouest à l'est du mur 26072 et au nord du mur 26073 | négative | | | | | |
| 26254 | V6 | nur orienté ouest-est au nord de la cave 26219 (parallèle à 26253), pied droit nord de la cave. Mortier visible mais dégradé, blocs de basalte 60% et de pouzzolane 30% équarris grossièrement de 20 à 25 cm de long chaîné avec 26161. | positive | 575,6 | | 1,4 | 0,3 | 0,60 |
| 26255 | | T.P dans la bande ouest dans la coupe du godet | négative | | | | | |
| 26256 | | bande ouest T.P non probant près de 26195 | négative | | | | | |
| 26258 | | petite fosse avec des pierres qui comprene les T.P 26249 et 26250 | négative | | | | | |
| 26259 | V6 | Est-ce qu'on l'ANNULE ? mur de la cave 26219 le long de la partie nord du mur 26007 dans son extrémité ouest, composé de 60% de basalte et 40 % de pouzzolane, 35 cm de diamètre, parralère au mur 26254, mortier blanc jaune avec gravillons de pouzzolane comme le reste de la cave 26219. | positive | / | | 2,04 | 0,3 | 0,2 |
| 26261 | V6 | mur de la cave 26219 reliant le pied droit nord 26254 et le mur 26174 avec les quels il est chaîné, axé nord/sud, composé uniquement de blocs de basalte très peu équarris, avec quelque gros blocs au sommet du parement, 10 à 50 cm de long. Mortier non visible. | positive | 575,5 | | 1,2 | 0,33 | 1,12 |
| 26263 | V5 | structure empiérée sur la bande le long du mur 26011 | positive | | | | | |
| 26265 | | T.P à l'ouest du mur 26044 près du mur 26052 | négative | | | | | |
| 26266 | | T.P à l'ouest du mur 26044 près de la cave 26219 (au nord) | négative | | | | | |
| 26269 | | structure en creux au nord_ouest de 26152 orienté ouest-est | négative | | | | | |
| 26270 | | structure en creux situé au nord et recoupé par le mur 26194 | négative | | | | | |
| 26272 | U1 | cave latenienne (ou augustéenne) au sud de la piece | englobante | | | | | |
| 26273 | | structure en creux au sud-ouest des Ufs 26192 et 26269 | négative | | | | | |
| 26275 | | T.P au nord-est du secteur au sud de 26204 | négative | | | | | |
| 26277 | | palissade laténienne avec T.P dans l'angle nord-ouest de la fouille | négative | | | | | |
| 26277 | | palissade laténienne avec T.P dans l'angle nord-ouest de la fouille | négative | | | | | |

| | | | | | | | | |
|--------------|-----------|---|----------|-------|--|-----|-----|------|
| 26279 | | zone nettoyée le 05/09/16 au sud du chantier | positive | | | | | |
| 26281 | | fosse au sud au nord-est de 26282 | négative | | | | | |
| 26282 | | fossé quadrangulaire orienté est-ouest au sud de 26280 | négative | | | | | |
| 26283 | | fosse orienté nord-sud au sud du secteur dans l'UF 26279 | négative | | | | | |
| 26284 | | sablière au sud du secteur dans la prolongement de 26283 | négative | | | | | |
| 26285 | V1 | niveau bronze | positive | | | | | |
| 26287 | V1 | T.P dans 26286 | négative | | | | | |
| 26288 | V1 | T.P dans 26286 | négative | | | | | |
| 26289 | V1 | T.P dans 26286 | négative | | | | | |
| 26290 | V1 | T.P dans 26067 | négative | | | | | |
| 26301 | V5 | cellier laténien au bout de la sablière 26297 | négative | | | | | |
| 26303 | | T.P bande nord près de la berme ouest | négative | | | | | |
| 26304 | | T.P entre les palissades 26068 26277 | négative | | | | | |
| 26308 | | cave 26163 structure en mortier dans l'angle sud-ouest | positive | | | | | |
| 26309 | V5 | T.P avec dolium au sud de 26301 | négative | | | | | |
| 26313 | | au sud du secteur, T.P au sud de 26282 et 26281 et à l'ouest de 26317 et 26283 | négative | | | | | |
| 26314 | | au sud du secteur, T.P au sud de 26282 et à l'ouest de 26315 | négative | | | | | |
| 26315 | | au sud du secteur, T.P au sud de 26313 au sud-ouest de 26316 et à l'est de 26314 | négative | | | | | |
| 26316 | | au sud du secteur, T.P au sud de 26317 au nord-est de 26315 | négative | | | | | |
| 26319 | V6 | Mur nord 26163 composé d'une seule assise de fondation (?), orienté est/ouest, | positive | 573,9 | | | | |
| 26320 | V6 | Pied-droit ouest de l'emmarchement 26097, lié avec 26082, pied-droit conservé sur 5 assises, composé majoritairement de basalte et plus rarement de pouzzolane, diam allant de 20 à 30 cm, mortier très dégradé et mêlé à la terre. La deuxième marche de l'emmarchement 26097 est prise dans cette maçonnerie. | positive | / | | 0,2 | 0,2 | 0,85 |
| 26322 | V6 | Mur composé de deux blocs de pouzzolane de 30 cm de diam, orienté est/ouest, conservé sur une assise, cloturant la dernière partie de l'emmarchement 26097 (composé de 3 marches) et | positive | / | | 0,6 | 0,3 | 0,15 |

| | | | | | | | | |
|-------|-----|--|--|--|--|--|--|--|
| | | s'appuyant contre la première marche de l'embranchement. | | | | | | |
| 26329 | V6 | mur ouest de la cave 26219 | | | | | | |
| 26330 | V6 | embranchement de la cave 26219 | | | | | | |
| 26339 | | | | | | | | |
| 26391 | | | | | | | | |
| 26512 | Sud | fossé de palissade à l'ouest de 26026 | | | | | | |
| 26513 | Sud | T.P au sud de la fosse 26017 (non probant) | | | | | | |
| 26514 | Sud | fossé de palissade axé Sud-Est/Nord-Ouest à l'est de 26512 | | | | | | |
| 26515 | Sud | fossé de palissade axé Sud-Est/Nord-Ouest au Nord de 26514 | | | | | | |
| 26517 | Sud | T.P de gros volume près du pierrier 26501 | | | | | | |
| 26519 | Sud | fosse laténienne de forme ovoïde | | | | | | |
| 26522 | Sud | niveau de sol laténien près du pierrier 26501 au Sud de la palissade 26026 | | | | | | |
| 26523 | Sud | T.P au centre du secteur près de la sablière 26521 | | | | | | |
| 26525 | Sud | cellier laténien à l'Est de 26524 | | | | | | |
| 26526 | Sud | sablière basse au nord de 26524 et 26525 axée Est-Ouest | | | | | | |
| 26526 | Sud | sablière basse au nord de 26524 et 26525 axée Est-Ouest | | | | | | |
| 26526 | Sud | sablière basse au nord de 26524 et 26525 axée Est-Ouest | | | | | | |
| 26527 | Sud | petite palissade en forme de "T" (paroi interne ?) avec trous de piquets | | | | | | |
| 26528 | Sud | équivalence 26032 | | | | | | |
| 26529 | Sud | petite fosse (ou deux T.P collés) à l'Est de 26525 et Ouest de 26530 | | | | | | |
| 26529 | Sud | petite fosse (ou deux T.P collés) à l'Est de 26525 et Ouest de 26530 | | | | | | |
| 26530 | Sud | T.P circulaire près de 26529 (Est) | | | | | | |
| 26530 | Sud | T.P circulaire près de 26529 (Est) | | | | | | |
| 26531 | Sud | T.P près de la palissade 26527 | | | | | | |
| 26533 | Sud | T.P circulaire pres de l'angle des murs 26022 et 26038 | | | | | | |
| 26538 | Sud | fossé de palissade avec trous de poteau au Nord-Est du secteur | | | | | | |
| 26541 | Sud | T.P dans l'angle N-O de la cave 26524 | | | | | | |
| 26542 | Sud | T.P dans l'angle S-O de la cave 26524 | | | | | | |
| 26543 | Sud | T.P dans l'angle N-O de la cave 26524 (juste au Sud de 26541) | | | | | | |
| 26544 | Sud | T.P au Nord du cellier 26525 fouillé en 2015 | | | | | | |
| 26545 | Sud | sablière basse qui par de l'extrémité N de 26525 pour rejoindre 26526 | | | | | | |
| 26546 | Sud | T.P près de la sablière 26526 (Ouest de 26547) | | | | | | |
| 26546 | Sud | T.P près de la sablière 26526 (Ouest de 26547) | | | | | | |
| 26547 | Sud | T.P près de la palissade 26538 (Est de 26546) | | | | | | |
| 26548 | Sud | T.P qui maque la limite Est de la palissade 26538 | | | | | | |
| 26551 | Sud | T.P dans l'angle S-E de la cave 26524 | | | | | | |
| 26559 | Sud | possible trace d'aménagement d'un meuble | | | | | | |

| | | | | | | | | | | | | | | |
|-------|----|------|-----|-------|-----|------|---|-----|-----|--------|-----|-------|---|--|
| 24056 | 16 | 2267 | 96 | 4500 | 28 | 253 | | | | | | | | |
| 24057 | 32 | 7498 | 63 | 16858 | 30 | 308 | | | 116 | 140883 | 572 | 97456 | | |
| 24058 | 1 | 100 | 1 | 25 | 7 | 20 | | | 5 | 4500 | 36 | 4724 | | |
| 24059 | | | | | | | | | 17 | 6038 | | | | |
| 24060 | 3 | 157 | 8 | 700 | 2 | 115 | | | 3 | 92 | | | | |
| 24061 | 1 | 159 | | | 180 | 1196 | 1 | | | | | | 5 | |
| 24062 | | | 56 | 3200 | | | | | | | | | | |
| 24064 | | | | | | | | | 3 | 1052 | 27 | 2400 | | |
| 24065 | 1 | 12 | | | | | | | | | | | | |
| 24067 | | | | | 38 | 733 | | | 2 | 350 | | | | |
| 24068 | | | | | 29 | 235 | | | | | | | | |
| 24070 | 4 | 63 | 17 | 650 | 10 | 80 | | | 3 | 1006 | 189 | 29680 | | |
| 24071 | 2 | 44 | 22 | 390 | 27 | 266 | | | 83 | 2700 | | | | |
| 24072 | 6 | 92 | | | 25 | 147 | | | | | 3 | 129 | | |
| 24073 | 5 | 210 | | | 60 | 1171 | | | | | | | | |
| 24074 | | | | | 2 | 10 | | | | | 9 | 280 | | |
| 24075 | | | | | 23 | 148 | | | 5 | 6500 | 64 | 11726 | 1 | |
| 24076 | 2 | 1706 | 3 | 1799 | 6 | 11 | | | 8 | 6500 | 113 | 18926 | 1 | |
| 24077 | | | | | 995 | 2314 | | | 13 | 7500 | 93 | 13520 | | |
| 24082 | 11 | 1196 | 63 | 985 | 76 | 1033 | | | | | | | | |
| 24085 | 16 | 113 | 87 | 1925 | 79 | 547 | | | | | | | | |
| 24085 | | | | | | | | | | | 14 | 700 | | |
| 24088 | 18 | 1765 | 151 | 8840 | 7 | 542 | 1 | 11 | 12 | 5095 | 120 | 16471 | | |
| 24091 | 15 | 3500 | 8 | 91 | 76 | 1035 | | | | | | | | |
| 24092 | 3 | 250 | 343 | 13278 | 163 | 850 | | | | | 124 | 26700 | 8 | |
| 24094 | 7 | 858 | 30 | 2100 | 289 | 3604 | | | 4 | 1790 | 24 | 2830 | | |
| 24095 | | | | | | | | | | | 15 | 1200 | | |
| 24096 | 1 | 239 | 17 | 456 | 34 | 242 | 1 | 952 | 8 | 8535 | 52 | 9245 | | |
| 24097 | 9 | 456 | 22 | 456 | 72 | 911 | | | 32 | 6269 | 133 | 3413 | 1 | |
| 24100 | 1 | 115 | 8 | 229 | 26 | 468 | | | 13 | 5410 | 48 | 13200 | | |
| 24101 | | | | | 2 | 26 | | | 3 | 1065 | 5 | 847 | | |
| 24102 | 1 | 13 | 11 | 210 | 11 | 376 | | | | | 2 | 602 | | |
| 24103 | | | | | 48 | 557 | | | | | 27 | 2720 | | |
| 24104 | 11 | 598 | 13 | 1760 | 21 | 485 | | | 12 | 4509 | 48 | 10800 | | |
| 24106 | | | | | 57 | 548 | | | 7 | 3620 | 157 | 43500 | | |
| 24108 | 21 | 2129 | 61 | 1050 | 128 | 1432 | | | 4 | 375 | 131 | 5457 | | |
| 24110 | | | | | 20 | 278 | | | | | | | | |
| 24112 | | | | | 86 | 1230 | | | 4 | 574 | 79 | 6430 | | |
| 24113 | 10 | 1437 | 82 | 5080 | | | | | 4 | 4315 | 48 | 5990 | | |
| 24115 | | | | | 19 | 95 | | | | | | | | |
| 24116 | 68 | 2795 | 70 | 1439 | 188 | 1663 | | | 135 | 27500 | 119 | 13083 | | |
| 24117 | 1 | 11 | 13 | 25 | 390 | 3763 | | | 3 | 794 | 107 | 5936 | | |
| 24118 | | | | | 9 | 28 | | | | | | | | |
| 24121 | | | | | 208 | 1766 | | | 6 | 936 | 14 | 1698 | | |
| 24122 | | | | | 64 | 1255 | | | | | | | | |
| 24125 | | | | | | | | | | | 18 | 2860 | | |
| 24127 | | | | | 28 | 103 | | | | | | | | |
| 24181 | | | | | 6 | 35 | | | | | | | | |
| 24208 | 5 | 961 | | | | | | | | | | | | |
| 24250 | 6 | 962 | 27 | 1805 | | | | | | | 1 | 78 | | |
| 24313 | | | | | | | | | 1 | 478 | 3 | 130 | | |
| 24400 | 16 | 1400 | 10 | 591 | | | | | 1 | 340 | | | | |
| 24401 | 2 | 395 | 17 | 456 | 121 | 823 | | | | | 8 | 500 | | |
| 24403 | | | 15 | 205 | | | | | | | 5 | 4200 | | |

| | | | | | | | | | | | | | | |
|---------|-----|-------|------|-------|------|-------|---|-----|------|--------|-------|--------|----|--|
| 24406 | | | 152 | 15000 | | | | | | | | | | |
| 24410 | | | 14 | 238 | 11 | 93 | | | | | | | | |
| 24411 | 3 | 50 | 18 | 242 | 128 | 612 | | | | | | | | |
| 24500 | | | | | 12 | 170 | | | | | | | | |
| 24504 | | | | | 76 | 513 | | | | | | | | |
| 24508 | 17 | 3129 | 100 | 10000 | 43 | 435 | | | | | | | 1 | |
| 24512 | 351 | 71890 | 1727 | 79335 | 1192 | 16479 | 1 | | | | | | 29 | |
| 24519 | 15 | 3172 | 434 | 22290 | | | | | | | | | | |
| 24520 | | | 40 | 2940 | | | | | | | | | | |
| 24521 | | | 6 | 440 | | | | | | | | | | |
| 24522 | | | 30 | 1900 | | | | | | | | | | |
| 24523 | 17 | 1750 | 30 | 7120 | 135 | 1600 | | | | | | | | |
| 24524 | | | 200 | 16000 | | | | | | | | | | |
| 24528 | | | 150 | 8000 | | | | | | | | | | |
| 24591 | | | | | | | | 6 | 1090 | | | | | |
| 24701 | | | 16 | 1200 | | | | | | | | | | |
| 24703 | | | 9 | 1069 | | | | | | | | | | |
| 24703 | | | | | | | | | | 250 | 21000 | | | |
| 24704 | | | | | | | | | | | | | 2 | |
| 24911 | | | | | | | | | | 8 | 1601 | | | |
| 24913 | | | | | 6 | 376 | | | | | | | | |
| 24913 | 8 | 263 | | | | | | | | | | | | |
| 240044 | | | | | 18 | 285 | | | | | | | | |
| 240105 | | | | | | | | | | 40 | 7000 | | | |
| 24004-1 | 14 | 3398 | 53 | 7720 | | | 2 | 139 | 13 | 4018 | | | | |
| 24004-4 | | | | | 47 | 583 | | | | | | | | |
| 24005-3 | | | | | | | | | | 16 | 2300 | | | |
| 24015-1 | 19 | 3745 | 46 | 6930 | 116 | 2901 | | | 57 | 7756 | 174 | 27435 | | |
| 24015-2 | | | | | | | | | 1 | 1010 | | | | |
| 24020-1 | 83 | 21152 | 34 | 4889 | 146 | 1557 | | | | | | | 4 | |
| 24034-1 | | | | | 19 | 182 | | | 9 | 2000 | 106 | 11600 | | |
| 24034-3 | | | | | 2 | 4 | | | 3 | 2684 | 26 | 3900 | | |
| 24034-4 | | | 2 | 90 | | | | | 3 | 340 | 17 | 2295 | | |
| 24037-4 | | | | | 7 | 76 | | | | | | | | |
| 24039-6 | | | | | | | | | 1 | 5000 | | | | |
| 24051-1 | | | | | 23 | 206 | | | | | | | | |
| 24054-1 | 3 | 568 | 7 | 456 | | | | | | | | | | |
| 24056-1 | 16 | 3007 | 70 | 5000 | 35 | 414 | | | | | | | | |
| 24056-3 | | | | | | | | | 26 | 5800 | 81 | 22900 | | |
| 24056-6 | | | | | | | | | 13 | 4531 | | | | |
| 24059-1 | 25 | 1906 | 37 | 4982 | 106 | 1289 | 3 | 46 | 242 | 85950 | 1004 | 48697 | | |
| 24059-2 | 1 | 162 | | | 57 | 2559 | | | 86 | 43746 | 756 | 130806 | | |
| 24059-3 | | | | | 4 | 151 | | | 34 | 15009 | 162 | 29853 | | |
| 24059-5 | | | | | | | | | 26 | 5211 | | | | |
| 24059-6 | | | | | | | | | 170 | 110390 | 570 | 87198 | | |
| 24062-1 | 12 | 999 | 57 | 8600 | 285 | 3311 | | | 22 | 4296 | 197 | 16000 | | |
| 24062-4 | | | | | | | | | 8 | 1622 | | | | |
| 24063-1 | | | 5 | 868 | 234 | 1548 | | | | | | | | |
| 24065-1 | | | | | 3 | 10 | | | | | | | | |
| 24066-1 | | | 18 | 800 | 23 | 296 | | | | | | | | |
| 24067-1 | 9 | 1400 | 10 | 250 | 90 | 902 | | | 3 | 750 | 14 | 2450 | | |
| 24067-2 | 4 | 7079 | 13 | 1076 | 155 | 1879 | | | 12 | 4832 | 143 | 15832 | | |
| 24067-3 | | | | | 51 | 396 | | | 5 | 1832 | 24 | 7890 | | |
| 24067-4 | | | 10 | 3340 | 51 | 1863 | | | 57 | 18252 | 125 | 29734 | | |

| | | | | | | | | | | | | | |
|---------|-----|-------|-----|-------|-----|------|----|-----|-----|--------|-----|-------|---|
| 24068-1 | | | | | | | | | | 3 | 400 | | |
| 24070-2 | | | | | 11 | 445 | | | 191 | 123854 | 637 | 91115 | |
| 24071-1 | 213 | 23181 | 71 | 2764 | 258 | 2788 | 1 | | 4 | 577 | 51 | 16500 | 4 |
| 24083-1 | 23 | 12300 | 755 | 32500 | | | | | | | | | 1 |
| 24086-1 | 11 | 1074 | 57 | 915 | 35 | 652 | 8 | 123 | 1 | 149 | | | 2 |
| 24086-2 | 18 | 1587 | 27 | 638 | 369 | 5660 | | | 2 | 2899 | | | 4 |
| 24086-3 | 17 | 5368 | 55 | 3670 | 2 | 368 | | | | | | | 3 |
| 27093-1 | | | | | | | | | | | | | 4 |
| 24098-1 | | | | | | | | | 6 | 2618 | 14 | 3444 | |
| 24098-2 | | | | | | | | | 9 | 8509 | | | |
| 24098-3 | | | | | | | | | | | 35 | 3000 | |
| 24114-1 | | | | | 147 | 1650 | 2 | 443 | 4 | 3364 | | | |
| 24126-1 | | | 6 | 41 | 18 | 137 | | | | | 6 | 548 | 1 |
| 24405-1 | | | 51 | 569 | 305 | 1531 | | | | | | | |
| 24405-1 | | | | | | | | | | | 10 | 1600 | |
| 24405-2 | | | 26 | 119 | 54 | 1414 | | | | | | | 1 |
| 24414-1 | | | | | 26 | 165 | | | | | | | |
| 24415-1 | | | | | 3 | 14 | | | | | | | |
| 24417-1 | 4 | 1198 | 59 | 2663 | 25 | 185 | | | | | | | |
| 24420-1 | | | | | | | | | | | | | 2 |
| 24432-1 | | | 58 | 1800 | | | | | | | | | |
| 24433-1 | 6 | 600 | | | | | | | | | | | |
| 24434-1 | 5 | 100 | | | | | | | | | | | |
| 24438-1 | 4 | 700 | | | | | | | | | | | |
| 24439-1 | | | 60 | 3100 | | | | | | | | | |
| 24441-1 | 6 | 400 | | | | | | | | | | | |
| 24446-1 | 6 | 400 | | | | | | | | | | | |
| 24450-1 | 1 | 400 | | | | | | | | | | | |
| 24454-1 | | | 270 | 15000 | | | | | | | | | |
| 24456-1 | | | 140 | 9000 | | | | | | | | | |
| 24457-1 | | | 700 | 21000 | | | | | | | 7 | 800 | |
| 24503-1 | 29 | 5630 | 219 | 12000 | 99 | 1100 | 1 | | | | | | |
| 24504-1 | 12 | 2356 | 223 | 9085 | 107 | 2250 | | | | | | | 1 |
| 24507-1 | | | | | | | 5 | 93 | | | | | |
| 24514-1 | 5 | 630 | 750 | 75000 | | | | | | | | | |
| 24515-1 | | | | | 1 | 12 | | | | | | | |
| 24524-1 | | | | | | | | | | | | | 1 |
| 24526-1 | 4 | 260 | 650 | 32000 | | | | | | | | | 1 |
| 24542-1 | 6 | 250 | 300 | 16000 | | | | | | | | | |
| 24545-1 | | | | | | | 24 | 357 | | | | | |
| 24549-1 | 33 | 6600 | | | | | | | | | | | |
| 24549-1 | 5 | 1010 | | | | | | | | | | | |
| Hors UF | | | | | 31 | 292 | | | 2 | 400 | 665 | 14236 | 2 |

| UF | Base cuivre objets | | Objets en Fer | | Clous en Fer | | Autres métaux | |
|-------|--------------------|-----------|---------------|-----------|--------------|-----------|---------------|-----------|
| | Nb | Poids (g) | Nb | Poids (g) | Nb | Poids (g) | Nb | Poids (g) |
| 24001 | | | 12 | 54 | 12 | 55 | | |
| 24002 | | | 1 | 6 | | | | |
| 24003 | | | 3 | 8 | 3 | 9 | | |
| 24004 | | | | | | | | |
| 24005 | | | | | 3 | 3 | | |
| 24006 | | | 4 | 187 | 3 | 11 | | |
| 24006 | | | | | | | | |
| 24007 | | | 42 | 251,5 | 12 | 156 | | |
| 24008 | | | 15 | 52,9 | 13 | 30 | | |
| 24009 | | | 1 | 2,1 | | | | |
| 24010 | | | | | | | | |
| 24011 | | | 3 | 20 | 4 | 24 | | |
| 24013 | | | 31 | 168,8 | 23 | 166 | 1 | 3,2 |
| 24014 | | | 1 | 3,6 | | | | |
| 24015 | | | | | 3 | 19 | | |
| 24016 | 1 | 0,4 | 243 | 977,9 | 261 | 1095 | | |
| 24017 | | | 25 | 144,2 | 15 | 67 | | |
| 24018 | | | 101 | 652 | 46 | 274 | | |
| 24019 | | | 2 | 17,2 | | | | |
| 24023 | 1 | 1,8 | 5 | 23 | 4 | 19 | | |
| 24024 | 7 | 9,4 | 445 | 3626,1 | 360 | 3600 | | |
| 24025 | | | 64 | 343,5 | 51 | 265 | | |
| 24026 | | | 19 | 103 | 9 | 59 | | |
| 24027 | | | 32 | 151,8 | 33 | 159 | 1 | 57,9 |
| 24033 | | | 1 | 13 | 1 | 11 | | |
| 24034 | | | 5 | 46 | 5 | 45 | | |
| 24035 | | | 3 | 62,4 | 1 | 8 | | |
| 24036 | | | 5 | 24 | | | | |
| 24037 | | | 3 | 15 | | | | |
| 24041 | | | 4 | 27 | 4 | 29 | | |
| 24042 | 1 | 3,9 | 22 | 186,6 | 20 | 136 | | |
| 24044 | | | 1 | 34 | 2 | 8 | | |
| 24045 | 1 | 4,4 | 23 | 175,5 | 8 | 39 | | |
| 24046 | | | 3 | 41,6 | 2 | 21 | | |
| 24048 | | | 3 | 23,4 | 18 | 59 | | |
| 24050 | | | 2 | 15 | 2 | 15 | | |
| 24051 | | | 4 | 19,3 | | | | |
| 24052 | | | | | 3 | 5 | | |
| 24056 | | | 5 | 49 | 5 | 42 | | |
| 24057 | | | 18 | 171,9 | 16 | 124 | | |
| 24058 | | | 23 | 131 | 25 | 96 | | |
| 24061 | | | 30 | 191,7 | 13 | 62 | 1 | 36,5 |
| 24062 | | | | | 37 | 280 | | |
| 24064 | | | 11 | 54,9 | 8 | 52 | | |
| 24067 | | | | | 5 | 62 | | |
| 24068 | | | 2 | 8 | 2 | 6 | | |
| 24070 | | | 1 | 29,2 | | | | |
| 24071 | | | 2 | 3,4 | 6 | 48 | 1 | 13,2 |

| | | | | | | | | |
|-------|----|------|----|-------|----|-----|---|-----|
| 24072 | | | 6 | 84,4 | 6 | 55 | | |
| 24073 | | | 7 | 157,8 | 3 | 11 | 1 | 2,1 |
| 24075 | | | 2 | 187,7 | 1 | 5 | | |
| 24076 | | | 14 | 110 | 14 | 117 | | |
| 24077 | | | 9 | 39 | 7 | 31 | | |
| 24081 | | | 1 | 10 | | | | |
| 24082 | 3 | 1 | 22 | 216,6 | 15 | 124 | | |
| 24083 | 4 | 1,7 | 3 | 32,8 | | | | |
| 24088 | 1 | | 40 | 208,3 | 5 | 22 | | |
| 24091 | 1 | 1,1 | 10 | 35,8 | | | | |
| 24092 | 17 | 54,5 | 40 | 299,1 | | | | |
| 24093 | | | 2 | 28 | | | | |
| 24094 | | | 45 | 345,5 | 11 | 91 | | |
| 24096 | | | 2 | 8 | 7 | 28 | | |
| 24097 | | | 2 | 67,8 | 15 | 171 | | |
| 24100 | | | 1 | 10 | 1 | 12 | | |
| 24101 | | | 3 | 10 | 3 | 6 | | |
| 24102 | | | 1 | 3 | 1 | 7 | | |
| 24103 | | | 6 | 14 | | | | |
| 24104 | 1 | 5,5 | | | | | | |
| 24105 | | | 5 | 18 | | | | |
| 24106 | | | 15 | 107,2 | | | | |
| 24109 | | | 1 | 28,5 | | | | |
| 24108 | | | | | 10 | 62 | | |
| 24112 | 1 | 0,1 | | | | | | |
| 24113 | | | 2 | 35,2 | | | | |
| 24115 | | | 3 | 53,6 | | | | |
| 24116 | 1 | 3 | 22 | 102,1 | 17 | 80 | | |
| 24117 | | | 29 | 172 | 29 | 170 | | |
| 24118 | | | 3 | 31 | | | | |
| 24121 | | | 19 | 112,6 | 19 | 115 | | |
| 24122 | 1 | 0,6 | 14 | 92 | 10 | 94 | | |
| 24127 | | | 3 | 20 | | | | |
| 24129 | | | 2 | 10,5 | | | | |
| 24131 | | | 10 | 111 | | | | |
| 24132 | 1 | 6,2 | 27 | 173,9 | | | | |
| 24138 | | | 6 | 112,8 | | | | |
| 24139 | | | | | | | 1 | 31 |
| 24151 | | | 1 | 7,5 | | | | |
| 24245 | | | 2 | 22 | 4 | 49 | | |
| 24400 | 3 | 1,5 | | | | | | |
| 24401 | | | 2 | 6,6 | 16 | 82 | | |
| 24403 | | | 5 | 24 | 7 | 22 | | |
| 24405 | 6 | 1,3 | | | | | | |
| 24406 | 1 | 0,1 | | | | | | |
| 24410 | | | 12 | 60,8 | 11 | 57 | | |
| 24411 | | | 18 | 71 | 10 | 36 | | |
| 24428 | | | 2 | 31,1 | | | | |
| 24431 | 2 | 1,7 | | | | | | |
| 24447 | | | 1 | 55,7 | | | | |
| 24500 | | | 15 | 71 | | | | |
| 24501 | 2 | 1,6 | 31 | 224,9 | | | | |
| 24504 | | | | | | | | |
| 24508 | | | 23 | 88,6 | | | | |

| | | | | | | | | |
|---------|----|------|-----|--------|-----|-----|---|-------|
| 24512 | 10 | 45,6 | 607 | 2903,7 | 639 | 670 | 1 | 110,4 |
| 24519 | | | 36 | 308,3 | 33 | 542 | | |
| 24523 | | | 28 | 205,3 | | | | |
| 24524 | | | 2 | 34,9 | | | | |
| 24527 | 2 | 1,6 | 1 | 16,1 | | | | |
| 24542 | | | 1 | 21,8 | | | | |
| 24548 | 5 | 3,1 | | | | | | |
| 24672 | | | | | 2 | 28 | | |
| 24703 | | | | | 4 | 27 | | |
| 24703 | | | 4 | 23 | | | | |
| 24704 | 1 | 2,7 | 108 | 395,5 | | | | |
| 24900 | 1 | 1,7 | | | | | | |
| 24903 | 3 | 11,4 | | | | | | |
| 24913 | | | | | 4 | 12 | | |
| 24913 | | | 41 | 127,8 | | | | |
| 24938 | 2 | 0,5 | | | | | | |
| 24004-1 | | | 5 | 29,5 | 5 | 40 | | |
| 24015-1 | | | 33 | 88 | | | | |
| 24020-1 | | | 33 | 311,8 | 38 | 255 | | |
| 24044-1 | | | 1 | 0,7 | | | | |
| 24056-1 | | | 12 | 127,3 | | | | |
| 24057-1 | | | 4 | 157,2 | | | | |
| 24059-1 | | | 5 | 23,9 | 4 | 22 | | |
| 24059-2 | | | 8 | 42 | 2 | 10 | | |
| 24059-7 | | | 8 | 47,4 | 8 | 46 | | |
| 24062-1 | | | 38 | 276,6 | | | | |
| 24063-1 | | | 8 | 48 | 12 | 45 | | |
| 24065-1 | | | 2 | 1,8 | | | | |
| 24066-1 | | | 1 | 8 | | | | |
| 24067-1 | | | 4 | 29 | 4 | 40 | | |
| 24067-2 | | | | | 7 | 40 | | |
| 24067-4 | 1 | 5,7 | 20 | 154,3 | | | | |
| 24071-1 | 1 | 2 | 73 | 633,9 | 28 | 320 | | |
| 24071-3 | | | 3 | 23 | | | | |
| 24079-6 | 1 | 1,1 | | | | | | |
| 24086-1 | | | 35 | 225,1 | 10 | 86 | | |
| 24086-2 | | | 8 | 80,6 | 24 | 175 | | |
| 24086-3 | | | 47 | 287 | 7 | 58 | | |
| 24089-3 | | | 2 | 8,7 | | | | |
| 24087-1 | | | 1 | 7,1 | | | | |
| 27093-1 | | | 33 | 359,2 | | | | |
| 24098-1 | | | 3 | 29 | 3 | 29 | | |
| 24098-3 | | | 7 | 37 | 7 | 41 | | |
| 24114-1 | | | 4 | 27 | 4 | 44 | | |
| 24124-1 | | | 1 | 10 | | | | |
| 24130-1 | 1 | 1,1 | 1 | 7 | | | | |
| 24130-2 | | | 1 | 6 | | | | |
| 21138-1 | 2 | 1,1 | 6 | 93,2 | | | | |
| 24250-2 | | | | | 1 | 15 | | |
| 24401-1 | | | 2 | 9 | | | | |
| 24405-1 | | | 15 | 85,2 | 14 | 64 | | |
| 24405-2 | | | 2 | 7 | | | | |
| 24408-1 | 1 | 0,5 | | | | | | |
| 24409-1 | | | 1 | 3 | | | | |

| | | | | | | | | |
|---------|----|-------|----|-------|----|-----|----|-------|
| 24411-1 | | | 1 | 0,8 | | | | |
| 24417-1 | | | 12 | 70 | 12 | 68 | | |
| 24422-1 | | | 3 | 19,6 | | | | |
| 24428-1 | | | 2 | 36,4 | | | | |
| 24439-1 | | | 2 | 7,7 | | | | |
| 24549-1 | | | 59 | 111,4 | | | | |
| 24457-1 | 1 | 2,8 | 1 | 52 | | | | |
| 24503-1 | | | 14 | 72,2 | 15 | 37 | | |
| 24504-1 | | | 65 | 378,6 | 60 | 325 | | |
| 24506-1 | 1 | 0,1 | 10 | 29,8 | 7 | 24 | | |
| 24524-1 | | | 22 | 365,2 | 20 | 157 | | |
| 24525-1 | | | 14 | 90,9 | | | | |
| 24526-1 | 2 | 19,3 | | | | | | |
| 24528-1 | | | | | 7 | 59 | | |
| 24529-1 | | | 1 | 6,8 | | | | |
| 24542-1 | 4 | 4,6 | 5 | 57,6 | 4 | 36 | | |
| 24542-1 | | | | | | | | |
| 24545-1 | | | 5 | 50 | 5 | 52 | | |
| 24546-1 | | | 12 | 59 | | | | |
| 24547-1 | | | 6 | 24 | | | | |
| 24549-1 | | | 3 | 23 | | | | |
| 24556-1 | | | 1 | 25,6 | | | | |
| 24900 | 1 | 1,7 | | | | | | |
| 24903 | 2 | 2,7 | | | | | | |
| 24913 | | | 43 | 127,8 | | | | |
| 24937 | 1 | | | | | | | |
| 24938 | 2 | 0,5 | | | | | | |
| Hors UF | 43 | 119,8 | 42 | 720,1 | 3 | 33 | 15 | 178,2 |

| UF | Matériaux organiques | | Parure verre | | Récipients verre | | Enduits peints | | Pierre architecturale | | Pierre artisanale | | Mortier de chaux | |
|-------|----------------------|-----------|--------------|-----------|------------------|-----------|----------------|-----------|-----------------------|-----------|-------------------|-----------|------------------|-----------|
| | Nb | Poids (g) | Nb | Poids (g) | Nb | Poids (g) | Nb | Poids (g) | Nb | Poids (g) | Nb | Poids (g) | Nb | Poids (g) |
| 24000 | 23 | 86 | | | | | | | | | | | | |
| 24001 | 28 | 65 | | | | | | | | | 1 | 156 | 17 | 1520 |
| 24003 | 14 | 41 | | 1 | | | | | | | | | 10 | 2667 |
| 24004 | 44 | 342 | | | | | | | | | | | | |
| 24005 | 5 | 61 | | | | | | | | | | | | |
| 24006 | 36 | 91 | | | | | | | | | | | | |
| 24007 | 105 | 755 | | | | | | | | | 9 | 1923 | 31 | 1320 |
| 24008 | 43 | 201 | | | | | | | | | | | | |
| 24009 | 7 | 56 | | | | | | | | | | | | |
| 24010 | | | | | | | | | | | | | | |
| 24011 | 2 | 44 | | | | | | | | | 1 | | | |
| 24012 | | | | | 1 | | | | | | | | | |
| 24013 | 355 | 3750 | | | 1 | | | | 1 | 10 | 9 | 780 | | |
| 24016 | 76 | 450 | | | 1 | | | | | | 1 | | | |
| 24017 | 280 | 1156 | | | 1 | 1,7 | | | 2 | 44 | 3 | 323,5 | | |
| 24018 | 302 | 1858 | | | | | | | | | 7 | 520 | 1 | 84 |
| 24019 | 6 | 106 | | | | | | | | | | | | |
| 24022 | | | | | 1 | 10 | | | | | | | | |
| 24023 | 11 | 49 | | | 1 | 1,4 | | | | | 1 | 115 | | |
| 24024 | 2625 | 18484 | | | 8 | | | | 2 | 20 | 16 | 1190,1 | | |
| 24025 | 326 | 1999 | | | 1 | | | | | | | | 14 | 679 |
| 24026 | 184 | 1182 | | | 1 | | | | | | | | | |
| 24027 | 279 | 1243 | | | 2 | | | | 2 | 395 | | | 3 | 250 |
| 24028 | 6 | 35 | | | | | | | | | | | | |
| 24031 | 4 | 27 | | | | | | | | | | | | |
| 24032 | 12 | 70 | | | | | | | | | | | 1 | 3 |
| 24033 | 11 | 182 | | | | | | | | | | | | |
| 24034 | 32 | 8 | | | | | | | 1 | 485 | 2 | 1183 | 3 | 315 |
| 24035 | 7 | 20 | | | | | | | | | 3 | 13 | | |
| 24037 | 35 | 256 | | | 2 | 2,4 | | | | | 1 | | 8 | 320 |
| 24038 | 3 | 42 | | | | | | | | | | | | |
| 24039 | 8 | 63 | | | | | | | | | | | | |
| 24041 | 26 | 159 | | | | | | | | | 3 | | | |
| 24042 | 150 | 1055 | | | 1 | 2 | | | | | | | 15 | 1256 |
| 24044 | 22 | 252 | | | | | | | | | | | | |
| 24045 | 254 | 3056 | | | 1 | | | | | | | | 2 | 12 |
| 24046 | 18 | 52 | | | | | | | | | | | | |
| 24048 | 54 | 437 | | | | | | | | | 1 | 26 | 4 | 838 |
| 24050 | 40 | 446 | | | | | | | | | | | | |
| 24051 | 25 | 183 | | | | | | | | | | | | |
| 24056 | 76 | 517 | | | | | | | | | | | | |
| 24057 | 85 | 1404 | | | | | | | | | 4 | 418 | 41 | 12000 |
| 24058 | 65 | 363 | | | | | | | | | | | | |
| 24059 | | | | | | | | | | | 16 | 650 | 24 | 8694 |
| 24060 | 94 | 809 | | | | | | | | | | | | |
| 24061 | 142 | 1140 | | | 2 | | | | 1 | 10 | 1 | 38 | | |
| 24064 | 2 | 2 | | | | | | | | | | | | |
| 24067 | 155 | 505 | | | | | | | | | | | 385 | 10200 |
| 24068 | 13 | 97 | | | | | | | | | | | | |

| | | | | | | | | | | | | | |
|-------|------|-------|---|-----|---|------|--|----|-----|-------|------|-----|-------|
| 24070 | 8 | 65 | | | | | | | | | | | |
| 24071 | | | | | | | | | | | | 11 | 520 |
| 24072 | 17 | 60 | | | | | | | 1 | | | 1 | 130 |
| 24073 | 18 | 309 | | | 1 | | | | 1 | 138,9 | | | |
| 24074 | | | | | 1 | | | | 1 | 142 | 25 | | 2449 |
| 24075 | 4 | 9 | | | | | | | 1 | | | | |
| 24076 | 24 | 135 | | | 1 | | | | | | | | |
| 24077 | 105 | 327 | | | 1 | | | | 2 | 10 | | | |
| 24081 | | | | | | | | | | | | | |
| 24082 | 136 | 1187 | | | | | | | 3 | 198 | | | |
| 24085 | | | | | | | | | 1 | 3905 | | | |
| 24088 | 208 | 2115 | | | | | | | | | | | |
| 24091 | 49 | 388 | | | | | | | | | | | |
| 24092 | 1 | 2 | | | 1 | 1 | | | 2 | 151 | | | |
| 24094 | 257 | 1676 | | | 4 | 22,4 | | 2 | 365 | | | 6 | 2248 |
| 24096 | 89 | 105 | | | 2 | 20,9 | | | | | | | |
| 24097 | 50 | 243 | | | | | | 1 | 30 | | | 1 | 229 |
| 24100 | 5 | 13 | | | | | | | | | | 102 | 15230 |
| 24101 | 145 | 1039 | | | | | | | | | | | |
| 24102 | 2 | 11 | | | | | | | | | | | |
| 24103 | 19 | 98 | | | | | | | 3 | 196 | | | |
| 24104 | 13 | 362 | | | | | | | | | | | |
| 24105 | | | | | 1 | | | | | 1 | 8,7 | | |
| 24106 | 38 | 72 | | | | | | | | | | 4 | 1103 |
| 24108 | 33 | 186 | | | | | | 3 | 26 | | | 1 | 82 |
| 24110 | 33 | 677 | | | | | | | | | | | |
| 24112 | 217 | 1325 | | | 1 | 2,2 | | | | | | | |
| 24115 | 13 | 35 | | | | | | | | | | | |
| 24116 | 471 | 4296 | | | | | | 19 | 458 | 1 | 23 | 4 | 681 |
| 24117 | 254 | 2697 | | | 1 | 1,6 | | | | | | | |
| 24121 | 4 | 14 | | | | | | | | | | | |
| 24122 | 10 | 47 | | | | | | | | | | | |
| 24127 | 6 | 14 | | | | | | | | | | | |
| 24137 | | | | | 1 | 4 | | | | | | | |
| 24151 | | | | | | | | | | 2 | 395 | | |
| 24252 | 47 | 861 | | | | | | | | | | | |
| 24400 | 5 | 214 | | | | | | | | | | | |
| 24401 | 52 | 2993 | | | 1 | 2,6 | | | | 2 | 6 | | |
| 24403 | 135 | 1013 | | | | | | | | | | | |
| 24405 | 73 | 552 | | | | | | | | 1 | 20 | | |
| 24406 | | | | | | | | | | 1 | 69,4 | | |
| 24410 | 20 | 199 | | | | | | | | | | | |
| 24411 | 133 | 413 | | | 1 | | | | | 1 | 8 | | |
| 24500 | | | | | | | | | | 3 | 683 | | |
| 24501 | | | 1 | 4,9 | | | | | | | | | |
| 24508 | 185 | 845 | | | | | | | | | | | |
| 24510 | 30 | 200 | | | | | | | | | | | |
| 24512 | 3160 | 28176 | | | 2 | 0,2 | | 4 | 100 | 18 | 365 | | |
| 24519 | 109 | 1009 | | | | | | | | 1 | | | |
| 24520 | 81 | 864 | | | | | | | | | | | |
| 24521 | 57 | 545 | | | | | | | | | | | |
| 24522 | 39 | 564 | | | | | | | | | | | |
| 24523 | 165 | 3900 | | | | | | | | | | | |
| 24701 | 16 | 213 | | | | | | | | | | | |

| | | | | | | | | | | | | | |
|---------|-------|-------|---|-----|----|------|-----|-------|---|-----|----|--------|----------|
| 24703 | 6 | 46 | | | | | | | | | | 8 | 1015 |
| 24704 | 12400 | 79513 | | | 31 | 32,7 | | | | | 2 | | |
| 24906 | | | | | | | | | | | 7 | 740 | |
| 24913 | 8 | 35 | | | | | | | | | 2 | 72 | |
| 24004-1 | 1 | 6 | | | | | | | | | 3 | 5241 | |
| 24013-1 | 6 | 128 | | | | | | | | | | | |
| 24015-1 | 31 | 868 | | | | | | | | | 5 | 4500 | 6 3950 |
| 24020-1 | 239 | 9049 | | | | | | | | | 3 | 453 | |
| 24034-1 | 9 | 20 | | | | | | | | | | | |
| 24034-3 | 6 | 12 | | | | | | | | | | | |
| 24034-4 | 5 | 24 | | | | | | | | | | | |
| 24052-2 | | | | | | | 52 | 4066 | | | | | |
| 24054-1 | 15 | 152 | | | | | | | | | | | |
| 24056-1 | 156 | 1704 | | | | | | | | | 2 | 95,9 | |
| 24059-1 | 39 | 344 | | | | | | | | | | 25 | 9800 |
| 24059-2 | 30 | 248 | | | | | 100 | 7898 | | | 2 | 109 | 33 12350 |
| 24059-3 | | | | | | | 211 | 17719 | | | | | 65 13600 |
| 24059-4 | 19 | 1 | | | | | 128 | 1789 | | | | | |
| 24059-5 | 10 | 32 | | | | | 185 | 20914 | | | | | |
| 24059-6 | | | | | | | 406 | 75669 | 1 | 739 | | | 7 3250 |
| 24059-7 | 59 | 1021 | | | | | | | | | | | |
| N159 | | | | | | | 416 | 32486 | | | | | |
| 24062-1 | 131 | 1065 | | | | | | | | | 18 | 2073,6 | |
| 24063-1 | | | 1 | 15 | | | | | | | | | |
| 24066-1 | 162 | 777 | | | | | | | | | | | |
| 24067-1 | 35 | 276 | | | 1 | 9,1 | | | | | | 16 | 911 |
| 24067-2 | 13 | 51 | | | | | | | 2 | 110 | 2 | 679 | 5 184 |
| 24067-3 | 29 | 227 | | | | | | | | | | | |
| 24067-4 | 27 | 94 | 1 | 1,5 | | | | | | | | | 85 6500 |
| 24070-2 | 1 | 4 | | | | | | | | | | | |
| 24071-1 | 1468 | 20092 | | | | | | | | | 1 | 379 | |
| 24071-3 | | | | | | | | | | | | | |
| 24086-1 | 618 | 6876 | | | | | | | | | 1 | 264 | 2 37 |
| 24086-2 | 496 | 4747 | | | 2 | 6,1 | | | | | 4 | 522 | |
| 24086-3 | 393 | 7538 | | | | | | | | | | | |
| 24086-5 | 64 | 950 | | | | | | | | | | | |
| 27093-1 | | | | | | | | | | | 1 | 73 | |
| 24098-1 | 5 | 19 | | | | | | | | | | | 5 887 |
| 24098-2 | 20 | 26 | | | 12 | 2,5 | 48 | 3832 | | | | | |
| 24098-3 | 85 | 366 | | | 6 | 11,9 | | | | | | | 2 272 |
| 24114-1 | 121 | 1242 | | | | | | | | | 3 | 45 | 98 885 |
| 24404-3 | 3 | 80 | | | | | | | | | 1 | 22 | |
| 24405-1 | 195 | 2495 | | | | | | | | | | | |
| 24407-1 | | | | | | | | | | | 1 | 18 | |
| 24408-1 | | | | | 1 | 0,5 | | | | | | | |
| 24414-1 | 76 | 62 | | | | | | | | | 1 | 16 | |
| 24415-1 | 3 | 22 | | | | | | | | | 1 | 31 | |
| 24457-1 | | | | | | | | | | | | | |
| 24503-1 | 252 | 672 | | | | | | | | | | | |
| 24504-1 | 680 | 5406 | | | | | | | | | | | |
| 24506-1 | 9 | 121 | | | | | | | | | | | |
| 24514-1 | 16 | 43 | | | | | | | | | | | |
| 24524-1 | | | | | | | | | | | 1 | 15 | |
| 24525-1 | | | | | | | | | | | 1 | 0,1 | |

| | | | | | | | | | | | | | |
|----------------|-----|------|--|---|-----|--|--|--|--|---|-------|--|--|
| 24545-1 | | | | | | | | | | 2 | 142 | | |
| 24717-1 | 4 | 13 | | | | | | | | 2 | 210 | | |
| Hors UF | 166 | 1638 | | 6 | 1,7 | | | | | 6 | 127,9 | | |

ANNEXE 3 - Inventaire sommaire du mobilier (2015)

| | Amphores conservées | | Amphores jetées | | Céramiques | | Terre cuite autres | | TCA conservée | | TCA jetée | |
|---------|---------------------|-----------|-----------------|-----------|------------|-----------|--------------------|-----------|---------------|-----------|-----------|-----------|
| | Nombre | Poids (g) | Nombre | Poids (g) | Nombre | Poids (g) | Nombre | Poids (g) | Nombre | Poids (g) | Nombre | Poids (g) |
| 25000 | 684 | 73127 | 2341 | 94910 | 980 | 3899 | 6 | 46,18 | 450 | 7400 | 380 | 8300 |
| 25001 | 26 | 4300 | 604 | 27678 | 50 | 68 | 2 | 5,8 | 78 | 7665 | 9 | 700 |
| 25002 | 54 | 3055 | 2329 | 59643 | 1556 | 10013 | 14 | 126,22 | 14 | 5645 | 77 | 7940 |
| 25003 | 10 | 1200 | 357 | 44244 | | | | | | | | |
| 25004 | 4 | 457 | 167 | 2705 | 106 | 560 | | | | | | |
| 25005 | 26 | 2868 | | | | | 5 | 600,73 | | | | |
| 25006 | | | 37 | 800 | | | | | | | | |
| 25008 | 8 | 1277 | 123 | 7600 | 110 | 1300 | | | 1 | 68 | 40 | 2750 |
| 25009 | | | 19 | 66 | | | | | | | | |
| 25009 | 7 | 561 | 246 | 5540 | 528 | 6070 | 1 | 10,51 | 82 | 5897 | 1 | 500 |
| 25010 | 8 | 11143 | 89 | 3859 | | | | | | | | |
| 25011 | 12 | 2889 | 27 | 5100 | | | | | | | | |
| 25012 | | | | | | | 2 | 8,91 | | | | |
| 25013 | 2 | 293 | 46 | 2850 | 27 | 363 | | | | | | |
| 25014 | 23 | 6599 | 23 | 1800 | 50 | 600 | 2 | 40,34 | | | | |
| 25015 | 24 | 6704 | 158 | 9650 | 12 | 94 | | | 9 | 318 | 1 | 110 |
| 25017 | 5 | 4089 | 147 | 14600 | 34 | 450 | 1 | 6,36 | | | | |
| 25018 | 2 | 416 | 67 | 678 | 37 | 586 | | | | | | |
| 25020 | 5 | 992 | 30 | 6000 | | | | | | | 7 | 650 |
| 25022 | 5 | 325 | 16 | 450 | | | | | | | 1 | 258 |
| 25022-1 | 9 | 1905 | 11 | 230 | | | | | | | | |
| 25023 | 6 | 406 | 270 | 58099 | 238 | 1668 | 2 | 202,99 | 1 | 85 | 116 | 1700 |
| 25025 | 8 | 849 | 20 | 3400 | | | | | | | | |
| 25026 | 15 | 570 | 1 | 28 | | | | | 1 | 141 | | |
| 25027 | | | | | 18 | 242 | | | | | | |
| 25029 | 16 | 5227 | 5 | 10 | | | 1 | 1,89 | | | | |
| 25030 | | | | | | | 1 | 413 | | | | |
| 25032 | | | | | | | | | | | 5 | 900 |
| 25033 | | | 4 | 50 | | | | | | | | |
| 25036 | 2 | 415 | 11 | 640 | | | | | | | 5 | 527 |
| 25037 | | | | | | | 2 | 6,12 | | | | |
| 25038 | | | | | 18 | 770 | | | | | | |
| 25038-1 | 1 | 675 | 7 | 100 | | | | | | | | |
| 25039 | | | | | 18 | 289 | | | | | | |
| 25040 | 8 | 2599 | 27 | 5600 | 450 | 890 | | | | | | |
| 25041 | 146 | 3923 | 133 | 3049 | 253 | 1847 | 4 | 45,52 | | | 1 | 62 |
| 25042 | 22 | 2316 | 140 | 16850 | 242 | 2816 | 1 | 416 | | | 1 | 63 |
| 25044 | 3 | 90 | 12 | 233 | 140 | 806 | | | | | | |
| 25045 | 27 | 1548 | 76 | 3050 | 58 | 800 | | | | | 3 | 253 |
| 25047 | | | 23 | 360 | 1 | 145 | 1 | 4,22 | | | | |
| 25048 | 3 | 579 | | | 5 | 62 | | | | | | |
| 25049 | | | | | 206 | 10005 | 2 | 8,89 | | | | |
| 25050 | | | | | 13 | 139 | 1 | 11,07 | | | | |
| 25051 | 143 | 4584 | 864 | 23132 | 771 | 8211 | 2 | 5,29 | 1 | 71 | 9 | 940 |
| 25053 | | | 34 | 4990 | | | | | | | | |
| 25054 | | | | | 66 | 1692 | 23,35 | | | | | |
| 25055 | | | 21 | 1200 | | | | | 2 | 68 | 9 | 780 |
| 25056 | 16 | 405 | 113 | 7800 | 91 | 1032 | 1 | 2,74 | | | | |
| 25057 | 1 | 194 | 9 | 204 | 31 | 321 | | | | | | |
| 25059 | | | 12 | 720 | 65 | 621 | 1 | 6,7 | | | | |
| 25061 | | | | | | | 1 | 4,21 | | | | |
| 25063 | | | | | | | | | 3 | 262 | | |

| | | | | | | | | | | | | |
|---------|-----|-------|-----|-------|------|-------|-------|-------|----|--------|-----|------|
| 25064 | | | | | | | 4 | 5,54 | | | | |
| 25066 | | | | | | | | | | | | |
| 25067 | | | | | 28 | 383 | | | | | | |
| 25081 | 2 | 119 | | | | | | | | | | |
| 25082 | | | 22 | 2900 | | | | | | | | |
| 25085 | 5 | 2456 | | | | | | | | | | |
| 25088 | 77 | 8016 | 299 | 19692 | 234 | 1300 | 4 | 27,72 | 22 | 1773 | 7 | 680 |
| 25089 | | | | | | | | | | | | |
| 25092 | | | | | | | 2 | 20,3 | | | | |
| 25094 | 4 | 189 | | | 59 | 1371 | 1 | 8,48 | 4 | 303 | 200 | 1200 |
| 25097 | | | | | | | 1 | 11,47 | | | | |
| 25112 | | | | | 21 | 638 | | | | | | |
| 25114 | 2 | 432 | 31 | 1599 | 37 | 914 | 2 | 10,4 | | | 1 | 275 |
| 25116 | | | | | | | | | | | | |
| 25124 | | | | | 148 | 3250 | | | | | | |
| 25240 | | | | | 37 | 247 | | | | | | |
| 25253 | | | | | 20 | 111 | | | | | | |
| 25300 | 160 | 12697 | 578 | 15266 | 1467 | 5064 | | | 23 | 2151 | 76 | 5270 |
| 25301 | 39 | 1528 | 107 | 1090 | 270 | 5928 | | | | | 10 | 588 |
| 25302 | 1 | 326 | 285 | 7882 | 1146 | 11200 | 1 | 10,83 | 31 | 3405 | 14 | 1250 |
| 25303 | | | 208 | 6790 | 342 | 2531 | | | 4 | 280 | 108 | 7169 |
| 25303-1 | 255 | 20009 | 513 | 36789 | 1228 | 5597 | 1 | 8,9 | | | | |
| 25304 | 11 | 778 | 30 | 401 | 82 | 732 | | | 4 | 540 | | |
| 25305 | | | 4 | 180 | 38 | 812 | 1 | 4 | 1 | 10 | 18 | 1240 |
| 25306 | | | 112 | 1000 | 146 | 776 | | | 1 | 204 | | |
| 25307 | | | | | 142 | 725 | | | 3 | 13 | | |
| 25309 | 3 | 66 | 8 | 347 | 37 | 305 | | | | | | |
| 25310 | 35 | 99 | 82 | 2315 | 487 | 4860 | 3 | 18,52 | 73 | 13543 | 30 | 6380 |
| 25311 | | | | | | | 10,53 | 10 | 4 | 82 | | |
| 25312 | 4 | 10 | 58 | 789 | 118 | 866 | 2 | 47,01 | | | 9 | 900 |
| 25313 | 4 | 120 | | | 169 | 3297 | 1 | 11,95 | | | | |
| 25314 | 69 | 15421 | 393 | 20068 | 579 | 3854 | | | 1 | 42 | 4 | 100 |
| 25315 | 13 | 1910 | 90 | 5900 | 21 | 47 | | | 2 | 583 | | |
| 25317 | 6 | 389 | | | 4 | 55 | | | 1 | 151 | | |
| 25321 | | | | | | | | | | | 7 | 690 |
| 25323 | 2 | 10 | | | | | | | | | | |
| 25325 | | | | | | | | | 2 | 295 | | |
| 25327 | 6 | 126 | 29 | 800 | 15 | 85 | | | 1 | 530 | | |
| 25328 | 1 | 126 | 22 | 478 | 115 | 2606 | | | 18 | 679 | | |
| 25329 | | | 7 | 400 | 10 | 62 | | | 1 | 154 | | |
| 25330 | 7 | 646 | 69 | 1767 | 47 | 386 | 1 | 9,96 | | | 65 | 4600 |
| 25331 | | | 4 | 10 | | | | | | | 2 | 50 |
| 25332 | | | 57 | 3350 | 47 | 318 | | | | | | |
| 25333 | 9 | 1444 | | | | | 1 | 52,13 | | | | |
| 25334 | 62 | 7863 | 193 | 15730 | 185 | 4302 | 9 | 67,61 | 34 | 271,44 | 2 | 44 |
| 25335 | 38 | 3204 | 109 | 5076 | 315 | 3762 | | | 1 | 125 | | |
| 25336 | | | 16 | 615 | 39 | 271 | | | | | | |
| 25337 | 4 | 100 | 25 | 1776 | 58 | 974 | 1 | 11,02 | | | 4 | 50 |
| 25338 | 9 | 567 | 46 | 1207 | 19 | 160 | | | | | 1 | 257 |
| 25339 | | | | | 57 | 540 | | | | | | |
| 25341 | | | 15 | 84 | 24 | 261 | | | | | | |
| 25342 | | | 1 | 10 | | | | | | | | |
| 25343 | 1 | 69 | 26 | 139 | 49 | 478 | | | | | | |
| 25345 | 1 | 302 | 25 | 550 | 93 | 697 | | | | | | |
| 25346 | | | | | 19 | 154 | | | | | | |
| 25347 | | | | | 58 | 514 | | | | | | |
| 25348 | 1 | 22 | 16 | 300 | 150 | 890 | 1 | 15,88 | | | | |
| 25351 | | | | | 8 | 129 | | | | | 4 | 534 |
| 25352 | | | | | 32 | 238 | | | 1 | 129 | | |
| 25353 | 22 | 2101 | 186 | 23638 | 722 | 3714 | | | 12 | 768 | 13 | 968 |
| 25354 | | | | | | | | | 1 | 261 | 1 | 69 |

| | | | | | | | | | | | | | |
|---------|-----|--------|------|--------|-----|-------|----|--------|---|------|-----|-------|--|
| 25357 | 2 | 239 | | | | | | | | | | | |
| 25358 | | | | | | | | | | | 6 | 310 | |
| 25359 | 27 | 1880 | 34 | 1200 | 12 | 186 | | | | | | | |
| 25360 | 6 | 120 | | | | | | | | | | | |
| 25363 | 2 | 103 | 14 | 221 | 53 | 577 | | | | | 3 | 238 | |
| 25365 | | | 4 | 103 | | | | | | | | | |
| 25366 | 17 | 970 | | | | | | | | | | | |
| 25369 | 4 | 455 | 75 | 1285 | 132 | 1831 | | | 1 | 74 | 2 | 109 | |
| 25371 | | | | | | | | | | | | | |
| 25373 | | | | | | | | | | | 1 | 68 | |
| 25374 | 5 | 326 | | | 2 | 10 | | | | | | | |
| 25375 | 25 | 2827 | | | 41 | 539 | | | | | | | |
| 25382 | 63 | 3950 | 845 | 128471 | 71 | 794 | 3 | 20,42 | | | 7 | 528 | |
| 25383 | | | 142 | 5099 | 195 | 2073 | | | 8 | 4469 | 31 | 5160 | |
| 25386 | 3 | 88 | 45 | 630 | 47 | 383 | | | | | 30 | 1908 | |
| 25504 | 7 | 79 | | | | | | | | | | | |
| 25537 | | | 8 | 650 | | | | | | | | | |
| 25626 | | | | | | | 1 | 11,04 | | | | | |
| 25633 | | | | | | | 1 | 11,81 | | | | | |
| 25641 | | | | | | | 3 | 15,9 | | | | | |
| 25657 | | | | | | | 2 | 12,48 | | | | | |
| 25658 | | | | | | | 1 | 5,57 | | | | | |
| 25701 | | | | | | | 1 | 4,26 | | | | | |
| 25703 | | | | | | | 1 | 2,52 | | | | | |
| 25707 | | | | | | | 5 | 200,68 | | | | | |
| 25711 | | | | | | | 1 | 54,44 | | | | | |
| 26720 | | | | | | | 1 | 8,88 | | | | | |
| 25721 | | | | | | | 1 | 24,85 | | | | | |
| 25804 | 12 | 659 | | | 69 | 317 | | | 2 | 191 | | | |
| 25807 | 8 | 235075 | 54 | 2800 | 450 | 3400 | | | | | 10 | 280 | |
| 25824 | 3 | 244 | | | | | | | | | | | |
| 25827 | 11 | 525 | 27 | 119 | 201 | 3002 | | | 3 | 157 | | | |
| 25832 | | | | | 148 | 1189 | | | | | | | |
| 25838 | | | | | 15 | 195 | | | | | | | |
| 25006-1 | 3 | 633 | 43 | 1700 | | | | | | | | | |
| 25011-1 | 20 | 2650 | | | | | | | | | | | |
| 25012-1 | | | 117 | 1400 | | | | | | | 4 | 840 | |
| 25014-1 | 18 | 7084 | 271 | 36825 | 221 | 4235 | | | | | | | |
| 25017-1 | 56 | 39535 | 97 | 5775 | | | | | | | | | |
| 25021-1 | 2 | 453 | | | | | | | 1 | 7 | | | |
| 25022-1 | | | | | | | 10 | 238,44 | | | | | |
| 25022-1 | 65 | 11420 | 493 | 17895 | 596 | 5299 | | | | | 25 | 450 | |
| 25024-1 | 16 | 3500 | 77 | 7400 | 89 | 900 | | | | | | | |
| 25025-1 | | | | | | | 1 | 17,49 | | | | | |
| 25025-1 | 1 | 142 | 72 | 5990 | 145 | 658 | | | | | | | |
| 25026-1 | 280 | 122684 | 2125 | 418670 | 226 | 12523 | | | | | | | |
| 25027-1 | 33 | 4492 | 171 | 13575 | 22 | 246 | | | | | 307 | 27100 | |
| 25028-1 | 21 | 3383 | 107 | 6107 | 342 | 2304 | | | | | | | |
| 25030-1 | 625 | 33652 | 790 | 53997 | 777 | 8287 | | | | | 59 | 40544 | |
| 25033-1 | 24 | 3890 | 184 | 16275 | 101 | 957 | | | 2 | 274 | | | |
| 25034-1 | 8 | 1710 | 72 | 5100 | 122 | 1771 | | | | | | | |
| 25036-1 | | | 36 | 1975 | | | | | | | | | |
| 25038-1 | 14 | 2846 | | | 96 | 1384 | | | | | | | |
| 25039-1 | 6 | 670 | 245 | 15666 | | | | | | | | | |
| 25040-1 | 26 | 3953 | | | 56 | 597 | | | | | | | |
| 25042-1 | | | | | | | 8 | 73,92 | | | | | |
| 25042-1 | 15 | 2915 | 58 | 2879 | 433 | 4640 | | | 4 | 925 | 14 | 1728 | |

| | | | | | | | | | | | | |
|---------|-----|-------|-----|-------|-----|------|---|--------|---|-----|-----|-----|
| 25042-2 | | | | | 42 | 450 | | | | | | |
| 25049-1 | 4 | 124 | | | | | | | | | | |
| 25049-2 | | | | | 25 | 367 | | | | | | |
| 25053-1 | | | 74 | 7200 | | | | | | | | |
| 25053-1 | 16 | 4708 | | | 34 | 651 | | | | | | |
| 25054-1 | 28 | 15884 | 203 | 32758 | 237 | 3408 | | | | | | |
| 25056-1 | | | | | | | 6 | 245,79 | | | | |
| 25056-1 | 239 | 22897 | 396 | 42170 | 172 | 1995 | 2 | 238 | | | | |
| 25058-1 | 4 | 610 | | | 41 | 596 | | | | | | |
| 25059-1 | 5 | 596 | 26 | 1000 | 49 | 756 | | | | | | |
| 25061-1 | 5 | 866 | 62 | 2160 | 75 | 574 | | | | 14 | 700 | |
| 25062-1 | 9 | 1317 | 175 | 13400 | 340 | 1678 | | | | | | |
| 25063-1 | 12 | 1340 | | | 51 | 549 | | | | | | |
| 25065-1 | | | | | 56 | 596 | | | | | | |
| 25066-1 | | | 50 | 10620 | 58 | 665 | | | | 7 | 141 | |
| 25068-1 | 9 | 3400 | | | 8 | 93 | | | | | | |
| 25069-1 | | | | | | | 1 | 5,34 | | | | |
| 25069-1 | 3 | 245 | 24 | 1460 | | | | | | 2 | 47 | |
| 25071-1 | 18 | 3571 | 47 | 60400 | 70 | 743 | | | 1 | 167 | | |
| 25072-1 | 1 | 1270 | 346 | 17400 | | | | | | | | |
| 25073-1 | | | | | 55 | 613 | | | | | | |
| 25075-1 | 48 | 13306 | 411 | 27899 | 66 | 676 | | | 1 | 101 | 1 | 112 |
| 25077-1 | | | | | | | 4 | 124,49 | | | | |
| 25077-1 | | | 141 | 12400 | | | | | | | | |
| 25079-1 | | | | | 21 | 505 | | | | | | |
| 25080-1 | | | | | | | 1 | 4,2 | | | | |
| 25084-1 | 4 | 418 | | | 4 | 30 | | | | | | |
| 25085-1 | | | 10 | 1404 | 2 | 11 | | | | | | |
| 25085-1 | 1 | 41 | | | | | | | | | | |
| 25085-2 | | | | | 14 | 180 | | | | | | |
| 25087-1 | | | | | 39 | 644 | | | | | | |
| 25088-1 | | | | | | | 9 | 44,8 | | | | |
| 25088-1 | | | | | 455 | 5255 | | | | | | |
| 25089-1 | | | | | | | 1 | 74 | | | | |
| 25089-1 | 21 | 4656 | 3 | 468 | 26 | 768 | | | | | | |
| 25090-1 | 22 | 5684 | 10 | 5793 | 66 | 1272 | | | | | | |
| 25090-2 | 57 | 1760 | 12 | 1460 | 49 | 588 | | | | | | |
| 25091-1 | | | | | 11 | 247 | | | | | | |
| 25095-1 | | | | | 26 | 568 | | | | 2 | 29 | |
| 25096-1 | | | | | 119 | 2196 | | | | | | |
| 25097-2 | | | | | 10 | 62 | | | | | | |
| 25106-1 | | | | | 2 | 32 | | | | | | |
| 25108-2 | | | | | | | 1 | 89,4 | | | | |
| 25108-6 | | | | | | | 4 | 9,7 | | | | |
| 25108-6 | | | | | 48 | 502 | | | | | | |
| 25109-1 | 6 | 3589 | | | 10 | 126 | | | | | | |
| 25113-1 | | | | | 138 | 2138 | | | | | | |
| 25117-1 | | | | | | | 1 | 39 | | | | |
| 25118-1 | | | | | | | 1 | 97,95 | | | | |
| 25118-1 | | | | | 9 | 92 | | | | | | |
| 25121-1 | 2 | 757 | | | | | | | | | | |
| 25123-1 | | | | | | | 1 | 26,6 | | | | |
| 25134-1 | | | | | | | 4 | 118,78 | | | | |

| | | | | | | | | | | | | |
|---------|-----|-------|-----|-------|------|-------|---|-------|-----|-------|-----|-------|
| 25136-1 | | | | | 69 | 2222 | | | | | | |
| 25137-1 | | | | | 85 | 1088 | | | | | | |
| 25301-1 | 17 | 3204 | | | | | | | | | | |
| 25311-1 | | | 8 | 640 | | | | | | | 7 | 1000 |
| 25313-1 | | | | | 1 | 3 | | | | | | |
| 25324-6 | | | | | | | | | 7 | 1123 | | |
| 25331-7 | 19 | 3800 | | | | | | | | | | |
| 25333-1 | 77 | 1620 | 16 | 1450 | 918 | 16663 | | | 349 | 44786 | 573 | 48853 |
| 25333-2 | 3 | 30 | | | 21 | 690 | | | 4 | 835 | | |
| 25333-3 | 5 | 9173 | 17 | 1207 | 122 | 705 | | | | | 120 | 19891 |
| 25333-4 | | | | | 19 | 687 | | | | | 13 | 2100 |
| 25333-5 | 1 | 110 | 25 | 974 | 135 | 885 | | | 28 | 3137 | 7 | 1050 |
| 25333-6 | | | | | 16 | 627 | | | | | | |
| 25333-7 | | | | | 105 | 1271 | | | | | | |
| 25333-8 | | | | | 3 | 61 | | | | | | |
| 25334-1 | | | 53 | 265 | 570 | 7579 | | | 234 | 15666 | 198 | 12070 |
| 25334-2 | | | | | | | 2 | 16,44 | | | | |
| 25334-2 | 267 | 23906 | 587 | 26667 | 1114 | 13921 | | | 22 | 1367 | 78 | 10143 |
| 25334-3 | 32 | 1300 | | | 300 | 4500 | | | | | 30 | 3223 |
| 25334-4 | | | | | | | | | 12 | 2164 | 25 | 760 |
| 25334-5 | 9 | 659 | 30 | 1308 | | | | | 10 | 2747 | | |
| 25334-6 | | | | | | | 3 | 15,05 | | | | |
| 25334-6 | 35 | 5453 | 186 | 52310 | 517 | 8764 | | | 4 | 935 | | |
| 25334-7 | | | | | | | 1 | 5,24 | | | | |
| 25334-7 | 23 | 8769 | 111 | 37249 | 164 | 2655 | | | 1 | 88 | 3 | 218 |
| 25334-8 | | | 140 | 10850 | 62 | 947 | | | | | | |
| 25334-9 | | | | | | | 2 | 137,9 | | | | |
| 25334-9 | | | | | 450 | 1289 | | | | | | |
| 25339-1 | | | | | 105 | 1159 | | | | | | |
| 25343-7 | 9 | 2156 | | | | | | | | | | |
| 25345-1 | 19 | 732 | | | | | | | | | | |
| 25348-1 | | | | | 26 | 251 | | | | | | |
| 25349-1 | 1 | 32 | | | | | | | 1 | 522 | | |
| 25355-1 | 2 | 209 | | | 190 | 1370 | | | 33 | 2399 | | |
| 25367-1 | | | | | | | 3 | 19,22 | | | | |
| 25367-1 | | | | | 290 | 2560 | | | 85 | 1205 | | |
| 25371-1 | 62 | 30199 | 217 | 5824 | 288 | 3028 | | | | | | |
| 25372-1 | 2 | 100 | 2 | 16 | 11 | 64 | | | | | 2 | 241 |
| 25376-1 | | | | | | | 2 | 6,65 | | | | |
| 25376-1 | 30 | 300 | | | 94 | 939 | | | | | 3 | 151 |
| 25377-1 | 5 | 1279 | 35 | 1608 | 13 | 139 | | | | | 8 | 385 |
| 25379-1 | 17 | 724 | | | 91 | 1020 | | | | | | |
| 25380-1 | | | | | 30 | 160 | | | | | | |
| 25381-1 | | | | | 6 | 38 | | | | | | |
| 25382-1 | 63 | 35198 | | | 99 | 2694 | | | | | | |
| 25387-1 | 43 | 2800 | | | 9 | 181 | | | | | | |
| 25391-1 | | | | | 378 | 7800 | | | | | | |
| 25396-1 | | | | | 26 | 237 | | | | | | |
| 25397-1 | | | | | | | 1 | 323 | | | | |
| 25408-1 | | | | | 283 | 7949 | | | | | | |
| 25408-2 | | | | | 230 | 5685 | 3 | 31,66 | | | | |
| 25408-3 | | | | | 50 | 670 | | | | | | |
| 25408-4 | | | | | 68 | 2199 | | | | | | |

| | | | | | | | | | | | | |
|----------------|---|------|-----|-------|-----|------|---|-------|--|--|----|------|
| 25408-5 | | | | | 91 | 1821 | 1 | 6,9 | | | | |
| 25408-6 | | | | | 9 | 417 | | | | | | |
| 25416-1 | | | | | 75 | 1235 | 1 | 7,3 | | | | |
| 25435-1 | | | | | 163 | 2075 | | | | | | |
| 25633-6 | | | 150 | 80800 | | | | | | | | |
| 25664-2 | | | | | 6 | 113 | | | | | | |
| 55123-1 | | | | | 549 | 5673 | | | | | | |
| SS UF | 8 | 1567 | 48 | 1000 | 67 | 700 | 1 | 29,74 | | | 14 | 1010 |

| | Base cuivre déchets | | Base cuivre objets | | Objets en Fer | | Clous en Fer | | Déchets Fer | | Autres métaux | |
|---------|---------------------|-----------|--------------------|-----------|---------------|-----------|--------------|-----------|-------------|-----------|---------------|-----------|
| | Nombre | Poids (g) | Nombre | Poids (g) | Nombre | Poids (g) | Nombre | Poids (g) | Nombre | Poids (g) | Nombre | Poids (g) |
| 25000 | 50 | 74,51 | | | 345 | 2104 | 224 | 1001 | | | | |
| 25001 | 2 | 9,03 | | | | | 97 | 569,31 | | | | |
| 25002 | | | 9 | 35,1 | 299 | 1552,8 | 119 | 745 | | | 1 | 23,34 |
| 25003 | | | 6 | 0,84 | 11 | 63,78 | 8 | 30 | | | | |
| 25004 | | | | | 17 | 139,86 | 10 | 98 | | | | |
| 25005 | | | 3 | 1,7 | 17 | 119 | | | | | | |
| 25006 | | | | | 14 | 433,6 | | | | | | |
| 25008 | | | 3 | 4,28 | 20 | 256,9 | 17 | 40 | | | | |
| 25009 | | | 1 | 2,7 | 86 | 566,48 | 55 | 389 | | | | |
| 25010 | | | | | | | 10 | 53 | | | | |
| 25011 | | | | | | | 4 | 23 | | | | |
| 25012 | | | 5 | 30,03 | 97 | 931,64 | | | | | | |
| 25013 | | | | | 19 | 96 | 20 | 114 | | | | |
| 25014 | | | 6 | 2,2 | 13 | 119,81 | | | | | | |
| 25015 | | | | | 4 | 63,79 | 1 | 1° | | | | |
| 25017 | | | 2 | 1 | 13 | 80,91 | | | | | | |
| 25018 | | | | | 2 | 12 | | | | | | |
| 25019 | | | | | 1 | 33,03 | | | | | | |
| 25022 | | | | | 1 | 7 | | | | | | |
| 25023 | 66 | 15,45 | 6 | 9,5 | 46 | 345,2 | | | | | | |
| 25027 | | | 1 | 0,28 | 34 | 394,36 | | | | | | |
| 25028 | | | | | 13 | 163,64 | | | | | | |
| 25029 | | | 1 | 0,35 | 16 | 188 | | | | | | |
| 25030 | | | | | 1 | 10,45 | | | | | | |
| 25033 | | | | | 25 | 261,69 | | | | | | |
| 25036 | | | | | 7 | 54 | | | | | | |
| 25037 | | | 1 | 1,3 | | | | | | | | |
| 25038-1 | | | | | 12 | 85,9 | | | | | | |
| 25041 | | | 2 | 7,17 | 44 | 377,36 | 19 | 117 | | | | |
| 25042 | | | 8 | 73,92 | 4 | 36,82 | | | | | | |
| 25044 | | | 1 | 1,21 | 4 | 5 | | | | | | |
| 25045 | | | | | 7 | 39 | | | | | | |
| 25048 | | | 1 | 1,38 | 1 | 21,05 | | | | | | |
| 25049 | | | 1 | 0,33 | 2 | 16,63 | 7 | 40 | | | | |
| 25050 | | | | | 5 | 40 | | | | | | |
| 25051 | | | 7 | 15,49 | 4 | 125,24 | 56 | 47 | | | | |
| 25053 | | | 2 | 1,07 | 5 | 119,85 | | | | | | |
| 25054 | | | 3 | 18,52 | 16 | 154,89 | | | | | | |
| 25057 | | | | | 56 | 445 | | | | | | |
| 25059 | | | | | 4 | 20,5 | | | | | | |
| 25061 | | | 1 | 0,18 | 4 | 39,44 | | | | | | |
| 25063 | | | 1 | 0,53 | 3 | 12 | 5 | 42 | | | | |
| 25064 | | | 4 | 2,1 | | | | | | | | |
| 25066 | | | | | 1 | 18,22 | | | | | | |
| 25067 | | | 9 | 65,34 | 13 | 80,51 | | | | | | |
| 25068 | | | | | 17 | 193,8 | | | | | | |
| 25071 | | | | | 10 | 96,67 | | | | | | |
| 25082 | | | | | 2 | 36 | | | | | | |
| 25085 | | | 9 | 4,79 | 6 | 76,6 | | | | | | |
| 25088 | | | 5 | 3,82 | 88 | 633,78 | 1 | 10 | | | | |
| 25089 | | | | | 5 | 73,94 | | | | | | |
| 25092 | | | | | 13 | 133 | | | | | | |
| 25094 | | | 6 | 112,8 | 141 | 872,46 | | | | | | |
| 25097 | | | | | 18 | 120,77 | | | | | | |

| | | | | | | | | | | | |
|---------|--|--|----|--------|-----|--------|-----|------|--|---|------|
| 25099 | | | | | | 8 | 49 | | | | |
| 25104 | | | | | 3 | 9,8 | | | | | |
| 25108 | | | 2 | 6,1 | 1 | 67,1 | | | | | |
| 25112 | | | | | 18 | 360,06 | | | | | |
| 25114 | | | 1 | 0,33 | 22 | 215,99 | | | | | |
| 25116 | | | 1 | 0,59 | 4 | 35 | | | | | |
| 25124 | | | 3 | 1,5 | 1 | 10 | | | | | |
| 25133 | | | | | 51 | 284 | | | | | |
| 25154 | | | | | | | | | | | |
| 25154 | | | 1 | 0,12 | 7 | 37 | | | | | |
| 25155 | | | | | 10 | 60,04 | | | | | |
| 25300 | | | 25 | 310,14 | 182 | 456,56 | 105 | 596 | | 2 | 1,1 |
| 25301 | | | 4 | 12,02 | 35 | 28 | 33 | 230 | | | |
| 25302 | | | 12 | 8,09 | 44 | 101,92 | 13 | 6 | | | |
| 25303 | | | | | 81 | 609 | 87 | 566 | | | |
| 25303-1 | | | 6 | 8,4 | 169 | 284,96 | | | | | |
| 25304 | | | 6 | 284,96 | 23 | 34,8 | 16 | 98 | | | |
| 25305 | | | | | 3 | 4 | 3 | 2 | | | |
| 25306 | | | 4 | 24,41 | 26 | 117,73 | | | | | |
| 25309 | | | | | 7 | 1,7 | 6 | 51 | | | |
| 25310 | | | 1 | 2,88 | 85 | 2998,2 | 3 | 23 | | 1 | 6,29 |
| 25312 | | | | | 11 | 98,46 | 10 | 48 | | | |
| 25313 | | | | | 5 | 7 | | | | | |
| 25314 | | | 5 | 114,12 | 55 | 89,93 | 59 | 390 | | | |
| 25315 | | | | | 10 | 40,25 | 8 | 68 | | | |
| 25321 | | | 1 | 16,86 | | | | | | | |
| 25323 | | | | | 10 | 3,8 | | | | | |
| 25324 | | | | | | | 5 | 15 | | | |
| 25325 | | | 2 | 31,2 | 1 | 0,4 | 1 | 4 | | | |
| 25327 | | | | | 1 | 54,34 | | | | | |
| 25328 | | | | | 1 | 0,4 | 2 | 10 | | | |
| 25330 | | | | | | | 12 | 37,4 | | | |
| 25332 | | | 1 | 1,7 | 1 | 0,2 | 1 | 86 | | | |
| 25333 | | | | | 2 | 6,6 | 16 | 112 | | | |
| 25334 | | | 12 | 40,16 | 78 | 633,4 | | | | 1 | 20,4 |
| 25335 | | | | | 30 | 74,53 | | | | | |
| 25336 | | | | | 5 | 28,1 | 4 | 33 | | | |
| 25337 | | | 3 | 3,34 | 10 | 76,51 | 4 | 17 | | | |
| 25338 | | | 2 | 1 | 18 | 107,56 | 4 | 5 | | | |
| 25341 | | | | | 2 | 3,1 | 2 | 8 | | | |
| 25342 | | | | | 1 | 0,3 | 1 | 8 | | | |
| 25343 | | | | | 5 | 12,5 | 4 | 15 | | | |
| 25345 | | | | | 6 | 36 | | | | | |
| 25346 | | | | | 5 | 1,1 | | | | | |
| 25348 | | | 3 | 6,71 | | | | | | | |
| 25351 | | | | | 2 | 0,6 | | | | | |
| 25352 | | | | | 5 | 53,8 | | | | | |
| 25353 | | | | | 24 | 25,45 | 17 | 120 | | | |
| 25363 | | | | | 3 | 25 | | | | | |
| 25365 | | | | | 1 | 6 | | | | | |
| 25369 | | | 1 | 0,76 | 10 | 4,6 | 10 | 76 | | | |
| 25371 | | | 3 | 12,55 | 2 | 15,35 | | | | | |
| 25373 | | | | | 15 | 62,49 | 11 | 85 | | | |
| 25375 | | | | | 7 | 109,45 | | | | | |
| 25380 | | | 1 | 0,75 | | | | | | | |
| 25382 | | | 1 | 1,33 | 2 | 2,1 | | | | | |
| 25383 | | | | | 10 | 40,9 | | | | | |
| 25386 | | | | | 7 | 40,74 | | | | | |
| 25417 | | | 1 | 1,35 | | | | | | | |
| 25422 | | | | | 1 | 0,7 | | | | | |
| 25456 | | | | | 10 | 62 | | | | | |

| | | | | | | | | | | | | | |
|---------|---|-----|----|-------|----|--------|----|-----|--|--|--|---|------|
| 25527 | | | | | 1 | 0,9 | | | | | | | |
| 25600 | | | | | 3 | 20 | | | | | | | |
| 25615 | | | 1 | 0,59 | | | | | | | | | |
| 25628 | | | 1 | 0,91 | | | | | | | | | |
| 25632 | | | | | 1 | 70,22 | | | | | | | |
| 26634 | | | | | | | | | | | | | |
| 25639 | | | | | | | | | | | | 1 | 2,83 |
| 25654 | | | 1 | 0,51 | | | | | | | | | |
| 25656 | 3 | 1,1 | | | | | | | | | | | |
| 25690 | | | | | 1 | 28,34 | | | | | | | |
| 25703 | | | 1 | 3,28 | | | | | | | | | |
| 25708 | | | | | 1 | 2,6 | | | | | | 1 | 2,92 |
| 26720 | | | | | 6 | 55,2 | | | | | | | |
| 25801 | | | | | 18 | 224 | | | | | | | |
| 25803 | | | | | 1 | 8 | | | | | | | |
| 25804 | | | | | 6 | 26 | 6 | 29 | | | | | |
| 25806 | | | | | 6 | 74,95 | 3 | 11 | | | | | |
| 25807 | | | | | 6 | 62 | | | | | | | |
| 25824 | | | | | 1 | 5 | 1 | 7 | | | | | |
| 25826 | | | | | 2 | 23 | 2 | 28 | | | | | |
| 25827 | | | 7 | 6,73 | 30 | 448,53 | 26 | 52 | | | | 1 | 3,93 |
| 25834 | | | 24 | 58,92 | 22 | 142 | 23 | 140 | | | | | |
| 25859 | | | 6 | 60,76 | | | | | | | | | |
| 25858 | | | 1 | 0,21 | 1 | 25,99 | | | | | | | |
| 25002-1 | | | | | | | 12 | 112 | | | | | |
| 25006-1 | | | | | | | 71 | 738 | | | | | |
| 25014-1 | | | | | | | 17 | 118 | | | | | |
| 25017-1 | | | | | | | 8 | 63 | | | | | |
| 25021-1 | | | | | 6 | 48 | | | | | | | |
| 25022-1 | | | 3 | 3 | 12 | 100,54 | | | | | | 1 | 82,9 |
| 25022-1 | | | | | 6 | 47 | 38 | 408 | | | | | |
| 25025-1 | | | | | 57 | 638,3 | | | | | | | |
| 25025-1 | | | | | 2 | 3 | 11 | 264 | | | | | |
| 25026-1 | | | | | 6 | 107 | 12 | 97 | | | | | |
| 25026-3 | | | | | 1 | 2,5 | | | | | | | |
| 25026-5 | | | | | 1 | 34,9 | | | | | | | |
| 25026-6 | | | 1 | 0,7 | | | | | | | | | |
| 25027-1 | | | | | 2 | 9 | 10 | 93 | | | | | |
| 25028-1 | | | | | 18 | 207 | 18 | 200 | | | | | |
| 25030-1 | | | | | 4 | 60,18 | | | | | | | |
| 25030-1 | | | | | 22 | 213 | | | | | | | |
| 25033-1 | | | | | | | 11 | 345 | | | | | |
| 25034-1 | | | | | 11 | 88 | | | | | | | |
| 25034-1 | | | | | | | 9 | 59 | | | | | |
| 25034-2 | | | | | | | 57 | 464 | | | | | |
| 25036-1 | | | | | 4 | 30 | | | | | | | |
| 25037-1 | | | | | 2 | 7 | | | | | | | |
| 25038-1 | | | | | 11 | 120 | | | | | | | |
| 25042-1 | | | | | 11 | 127,47 | | | | | | | |
| 25042-1 | | | | | 14 | 10 | | | | | | | |
| 25042-2 | | | | | 3 | 3 | | | | | | | |
| 25049-2 | | | 2 | 0,96 | 13 | 155,9 | | | | | | | |
| 25049-2 | | | | | 3 | 44 | | | | | | | |
| 25053-1 | | | | | 11 | 136 | | | | | | | |
| 25054-1 | | | | | 6 | 33 | | | | | | | |

| | | | | | | | | | | | | |
|---------|--|--|---|--------|----|--------|----|-----|--|--|--|--|
| 25056-1 | | | 1 | 0,67 | 3 | 18,16 | | | | | | |
| 25056-1 | | | | | 3 | 19 | 10 | 108 | | | | |
| 25058-1 | | | 2 | 1,99 | 28 | 45,64 | | | | | | |
| 25059-1 | | | | | 2 | 40 | | | | | | |
| 25060-2 | | | | | 5 | 134,57 | | | | | | |
| 25060-4 | | | | | 1 | 11,02 | | | | | | |
| 25062-1 | | | | | 2 | 46,53 | | | | | | |
| 25066-1 | | | 2 | 0,48 | 13 | 90,83 | | | | | | |
| 25066-1 | | | | | 2 | 13 | | | | | | |
| 25068-1 | | | | | 3 | 35 | | | | | | |
| 25069-1 | | | 2 | 237,59 | 6 | 153,4 | | | | | | |
| 25072-1 | | | 1 | 2,34 | 17 | 118,75 | | | | | | |
| 25072-1 | | | | | 16 | 101 | | | | | | |
| 25075-1 | | | 3 | 5,7 | 25 | 364,51 | | | | | | |
| 25075-1 | | | | | 19 | 207 | | | | | | |
| 25076-1 | | | | | 1 | 93,47 | | | | | | |
| 25077-1 | | | | | 1 | 5,11 | | | | | | |
| 25079-1 | | | | | 4 | 40 | | | | | | |
| 25079-1 | | | | | 10 | 3,95 | | | | | | |
| 25080-1 | | | | | 1 | 18,03 | | | | | | |
| 25085-2 | | | | | 1 | 22 | | | | | | |
| 25087-1 | | | | | 3 | 74,58 | | | | | | |
| 25087-1 | | | | | 1 | 2 | | | | | | |
| 25088-1 | | | | | 15 | 100,5 | | | | | | |
| 25089-1 | | | | | 1 | 15 | | | | | | |
| 25089-1 | | | | | 1 | 5 | | | | | | |
| 25090-1 | | | | | 7 | 301,7 | | | | | | |
| 25095-1 | | | | | 8 | 75 | | | | | | |
| 25096-1 | | | 1 | 0,4 | 5 | 103,1 | | | | | | |
| 25097-1 | | | | | 1 | 3 | | | | | | |
| 25097-1 | | | | | 1 | 12 | | | | | | |
| 25097-2 | | | | | 1 | 14 | | | | | | |
| 25101-1 | | | | | 1 | 19,01 | | | | | | |
| 25101-2 | | | | | 6 | 1 | | | | | | |
| 25104-1 | | | | | 3 | 24,3 | | | | | | |
| 25106-1 | | | 1 | 1 | | | | | | | | |
| 25108-1 | | | 3 | 3,74 | 4 | 86,94 | | | | | | |
| 25108-9 | | | 1 | 1 | | | | | | | | |
| 25109-1 | | | | | 1 | 90 | | | | | | |
| 25109-1 | | | | | 1 | 8 | | | | | | |
| 25110-1 | | | | | 2 | 106,28 | | | | | | |
| 25113-1 | | | | | 19 | 167,38 | | | | | | |
| 25113-1 | | | | | | | | | | | | |
| 25117-1 | | | | | 1 | 23,06 | | | | | | |
| 25119-1 | | | 1 | 0,9 | | | | | | | | |
| 25123-1 | | | | | 17 | 488,64 | | | | | | |
| 25127-1 | | | | | 2 | 10,6 | | | | | | |
| 25133-1 | | | | | 16 | 42 | | | | | | |
| 25134-1 | | | | | 12 | 332,8 | | | | | | |
| 25145-1 | | | | | 3 | 16 | | | | | | |
| 25314-1 | | | | | 3 | 27 | | | | | | |
| 25322-1 | | | | | | | 4 | 50 | | | | |
| 25333-2 | | | | | 1 | 0,2 | | | | | | |

| | | | | | | | | | | | | |
|-------------|--|--|----|--------|-----|--------|----|-----|--|--|----|-----|
| 25333-2 | | | | | 1 | 6 | | | | | | |
| 25333-3 | | | | | 3 | 12 | | | | | | |
| 25333-3 | | | | | 3 | 41 | | | | | | |
| 25333-4 | | | 1 | 0,01 | 5 | 1,4 | | | | | | |
| 25334-1 | | | | | 33 | 23,66 | | | | | | |
| 25334-1 | | | | | 50 | 451 | 31 | 230 | | | | |
| 25334-2 | | | 3 | 18,55 | 24 | 178,57 | | | | | | |
| 25334-2 | | | | | 11 | 82 | | | | | | |
| 25334-3 | | | 3 | 17,14 | 5 | 1,5 | | | | | | |
| 25334-3 | | | | | 5 | 30 | | | | | | |
| 25334-4 | | | | | 5 | 43,1 | | | | | | |
| 25334-4 | | | | | 1 | 35 | | | | | | |
| 25334-5 | | | | | 13 | 54,14 | | | | | | |
| 25334-5 | | | | | 14 | 63 | 8 | 53 | | | | |
| 25334-6 | | | | | 39 | 38,8 | | | | | | |
| 25334-6 | | | | | 8 | 63 | 31 | 560 | | | | |
| 25334-7 | | | 2 | 3,7 | 21 | 55,91 | | | | | | |
| 25334-7 | | | | | 11 | 104 | 5 | 65 | | | | |
| 25334-8 | | | | | | | 5 | 18 | | | | |
| 25334-9 | | | | | 7 | 248 | | | | | | |
| 25349-1 | | | | | 1 | 0,2 | | | | | | |
| 25349-1 | | | | | 1 | 8 | | | | | | |
| 25355-1 | | | | | 12 | 116 | 1 | 20 | | | | |
| 25367-1 | | | | | 15 | 63,21 | | | | | | |
| 25367-1 | | | | | 12 | 105 | | | | | | |
| 25371-1 | | | 1 | 2,48 | 34 | 439,11 | | | | | | |
| 25371-1 | | | | | 18 | 155 | | | | | | |
| 25371-1 TR1 | | | | | 14 | 3,7 | | | | | | |
| 25376-1 | | | | | 8 | 23,48 | | | | | | |
| 25376-1 | | | | | | | 5 | 37 | | | | |
| 25377-1 | | | | | 2 | 0,4 | | | | | | |
| 25377-1 | | | | | 2 | 12 | | | | | | |
| 25379-1 | | | | | 7 | 63 | | | | | | |
| 25381-1 | | | | | 2 | 16,338 | | | | | | |
| 25381-1 | | | | | 1 | 5 | | | | | | |
| 25382-1 | | | 1 | 1,33 | 2 | 4,4 | | | | | | |
| 25382-1 | | | | | 3 | 70 | | | | | | |
| 25387-1 | | | | | 3 | 32 | | | | | | |
| 25391-1 | | | | | 16 | 83,36 | | | | | | |
| 25408-2 | | | 11 | 24,23 | 66 | 707,13 | | | | | | |
| 25408-3 | | | | | 1 | 9,8 | | | | | | |
| 25408-5 | | | 17 | 12,6 | 28 | 3414,6 | | | | | | |
| 25408-6 | | | | | 1 | 15 | | | | | | |
| 25416-1 | | | | | 18 | 592,6 | | | | | | |
| 25435-1 | | | | | 8 | 41,9 | | | | | | |
| SS UF | | | 67 | 520,33 | 103 | 910 | | | | | 13 | 287 |

| | Matériaux organiques | | Organique objet | | Enduits peints | | Pierre artisanale | | Mortier de chaux | | Pierres autres | |
|-------|----------------------|-----------|-----------------|-----------|----------------|-----------|-------------------|-----------|------------------|-----------|----------------|-----------|
| | Nombre | Poids (g) | Nombres | Poids (g) | Nombre | Poids (g) | Nombre | Poids (g) | Nombre | Poids (g) | Nombre | Poids (g) |
| 25000 | 1623 | 7259 | | | | | 16 | 114,32 | | | 97 | 2302 |
| 25001 | 945 | 5600 | | | | | | | | | | |
| 25002 | 2262 | 9140 | 1 | 57,15 | | | 7 | 682,77 | | | 29 | 515 |
| 25003 | 670 | 2378 | | | | | 1 | 0,4 | | | | |
| 25004 | 59 | 300 | | | | | | | | | 4 | 73 |
| 25006 | | | | | | | | | | | 7 | 21 |
| 25007 | | | 1 | 0,8 | | | | | | | | |
| 25008 | 196 | 1910 | | | | | 2 | 5,09 | | | 2 | 53 |
| 25009 | 338 | 2103 | | | | | | | | | 28 | 612 |
| 25010 | 79 | 430 | | | | | | | | | | |
| 25011 | | | | | | | | | | | 2 | 1086 |
| 25014 | 29 | 156 | | | | | | | | | | |
| 25015 | 80 | 826 | 1 | 25,23 | | | 1 | 1,36 | | | | |
| 25017 | 135 | 2080 | | | | | | | | | | |
| 25018 | 17 | 148 | | | | | | | | | 3 | 230 |
| 25020 | 16 | 531 | | | | | | | | | | |
| 25023 | 385 | 1530 | | | | | | | 1 | 44 | 15 | 898 |
| 25026 | | | | | | | | | | | 7 | 567 |
| 25027 | 14 | 272 | | | | | | | | | | |
| 25028 | | | | | | | 1 | 154 | | | | |
| 25030 | | | 2 | 5,35 | | | | | | | | |
| 25033 | | | | | | | 1 | 1364 | | | | |
| 25038 | 47 | 78 | | | | | | | | | | |
| 25039 | 13 | 26 | | | | | | | | | | |
| 25040 | 26 | 177 | | | | | | | | | 4 | 568 |
| 25041 | 112 | 829 | | | | | 1 | 16,17 | | | 6 | 80 |
| 25042 | 313 | 2959 | | | | | | | | | 8 | 390 |
| 25044 | 149 | 3197 | | | | | | | | | | |
| 25045 | 350 | 890 | | | | | | | | | | |
| 25047 | 28 | 72 | | | | | | | | | 3 | 33 |
| 25049 | 51 | 264 | | | | | 1 | 784 | | | 6 | 673 |
| 25050 | 13 | 51 | | | | | | | | | 1 | 30 |
| 25051 | 576 | 4087 | | | | | | | 2 | 198 | 13 | 1033 |
| 25053 | | | | | | | 1 | 12,57 | | | | |
| 25054 | | | 1 | 315 | | | | | | | | |
| 25055 | 38 | 218 | | | | | | | | | | |
| 25056 | | | 1 | 3,37 | | | 1 | 9,79 | | | | |
| 25057 | 21 | 259 | | | | | | | | | | |
| 25073 | 73 | 41 | | | | | | | | | | |
| 25088 | 651 | 3678 | | | | | | | | | 1 | 140 |
| 25094 | | | | | | | | | | | 2 | 4,59 |
| 25112 | 7 | 56 | | | | | | | | | | |
| 25114 | 27 | 413 | | | | | | | | | | |
| 25154 | | | | | | | | | | | 3 | 125 |
| 25253 | | | | | | | 1 | 2,5 | | | | |
| 25300 | 914 | 3257 | | | | | 5 | 40,55 | 2 | 160 | 27 | 2370 |
| 25301 | 313 | 2095 | | | | | 5 | 8,25 | 2 | 12 | 20 | 796 |
| 25302 | 249 | 1346 | | | | | | | | | 11 | 894 |
| 25303 | 560 | 3178 | | | | | | | | | 30 | 1088 |
| 25304 | 37 | 294 | | | | | | | | | 2 | 45 |
| 25305 | 22 | 126 | | | | | | | | | 1 | 6 |
| 25306 | 36 | 233 | | | | | | | | | 8 | 218 |
| 25309 | 28 | 1039 | | | | | | | | | | |
| 25310 | 84 | 396 | | | | | | | 8 | 532 | 3 | 82 |

| | | | | | | | | | | | | |
|---------|------|-------|---|------|---|-----|---|--------|----|-----|----|------|
| 25312 | 80 | 567 | | | | | 1 | 2;7 | 2 | 10 | | |
| 25313 | 70 | 438 | | | | | | | | | 3 | 273 |
| 25314 | 491 | 2325 | | | | | 3 | 53,39 | 65 | 278 | 5 | 257 |
| 25315 | 82 | 674 | | | | | | | | | | |
| 25327 | | | | | | | | | | | 4 | 131 |
| 25328 | 74 | 345 | | | | | | | 1 | 20 | 8 | 31 |
| 25330 | 39 | 270 | | | | | | | | | 4 | 131 |
| 25332 | 10 | 539 | | | | | | | | | | |
| 25334 | 314 | 3530 | 1 | 9,27 | 2 | 171 | 2 | 468,82 | | | 6 | 1024 |
| 25335 | 453 | 3617 | | | 1 | 50 | 1 | 3,97 | | | 2 | 87 |
| 25336 | 24 | 167 | | | | | | | | | | |
| 25337 | 39 | 333 | | | | | | | | | 1 | 4 |
| 25338 | 112 | 604 | | | | | | | | | 5 | 344 |
| 25341 | 11 | 37 | | | | | | | | | | |
| 25343 | 37 | 70 | | | | | | | | | 1 | 1 |
| 25345 | 56 | 431 | 1 | 2,07 | 1 | 8 | | | 16 | 684 | | |
| 25346 | 19 | 66 | | | | | | | | | | |
| 25347 | 12 | 54 | | | | | | | | | | |
| 25351 | 6 | 69 | | | | | | | | | | |
| 25353 | 313 | 1780 | | | | | | | | | 20 | 1519 |
| 25357 | 3 | 8 | | | | | | | | | | |
| 25358 | | | | | | | | | 1 | 15 | | |
| 25359 | 15 | 183 | | | | | | | | | | |
| 25369 | 91 | 597 | | | | | | | | | | |
| 25374 | 1 | 1 | | | 1 | 37 | | | | | | |
| 25375 | 39 | 380 | | | | | | | | | | |
| 25378 | 8 | 29 | | | | | | | | | | |
| 25382 | 129 | 955 | | | | | 1 | 673 | | | | |
| 25383 | 32 | 120 | | | | | 2 | 41 | | | | |
| 25386 | | | | | | | | | | | 5 | 365 |
| 25566 | 7 | 51 | | | | | | | | | | |
| 25620 | | | | | | | 1 | 19,73 | | | | |
| 26634 | | | | | | | 1 | 3,19 | | | | |
| 25636 | | | | | | | 1 | 2;25 | | | | |
| 25688 | | | | | | | 4 | 4,38 | | | | |
| 25689 | | | | | | | 2 | 2,25 | | | | |
| 25690 | | | | | | | 2 | 1,26 | | | | |
| 25707 | | | | | | | 4 | 198,63 | | | | |
| 25710 | | | | | | | 1 | 3,96 | | | | |
| 25802 | 50 | 333 | | | | | | | | | | |
| 25804 | 70 | 256 | | | | | | | | | 3 | 47 |
| 25807 | | | | | | | | | | | 10 | 577 |
| 25827 | 348 | 1284 | | | | | | | | | | |
| 25859 | 9 | 24 | | | | | | | | | | |
| 25006-1 | 63 | 366 | | | | | | | | | | |
| 25014-1 | 814 | 8592 | | | | | | | | | 3 | 244 |
| 25017-1 | | | | | | | | | | | 5 | 427 |
| 25021-1 | | | | | | | | | | | 2 | 163 |
| 25024-1 | 13 | 343 | | | | | | | | | 5 | 430 |
| 25025-1 | 43 | 221 | | | | | | | | | 7 | 740 |
| 25026-1 | 647 | 7737 | | | | | 1 | 147 | | | 1 | 7 |
| 25026-4 | | | 1 | 1,6 | | | | | | | | |
| 25027-1 | 98 | 1121 | | | | | | | | | 3 | 113 |
| 25028-1 | 181 | 1270 | | | | | | | | | 2 | 97 |
| 25030-1 | 3267 | 10455 | | | | | | | 1 | 92 | 3 | 166 |
| 25031-1 | 82 | 593 | | | | | | | | | | |
| 25033-1 | 56 | 568 | | | | | | | | | | |
| 25034-1 | 52 | 260 | | | | | | | | | 5 | 233 |

| | | | | | | | | | | | | | |
|---------|------|-------|---|------|--|---|----|------|-----|------|----|------|--|
| 25036-1 | 214 | 1067 | | | | | | | | | | | |
| 25040-1 | 2 | 8 | | | | | | | | | | | |
| 25042-1 | 43 | 532 | | | | | | | | | | | |
| 25049-2 | 32 | 503 | | | | | | | | | | | |
| 25053-1 | 340 | 3400 | | | | | 7 | 2444 | 93 | 145 | | | |
| 25056-1 | | | 1 | 1,53 | | | | | | | | | |
| 25056-1 | 314 | 2850 | | | | | | | 91 | 9888 | | | |
| 25058-1 | 15 | 126 | | | | | | | | | | | |
| 25059-1 | 42 | 292 | | | | | | | | | | | |
| 25060-2 | | | | | | | 1 | 510 | | | | | |
| 25061-1 | 62 | 279 | | | | | | | | | 4 | 168 | |
| 25062-1 | 422 | 5733 | | | | | | | | | 55 | 3 | |
| 25063-1 | 83 | 323 | | | | | | | | | | | |
| 25066-1 | 53 | 867 | | | | | 1 | 105 | | | | | |
| 25068-1 | 57 | 696 | | | | | 1 | 102 | 1 | 143 | | | |
| 25075-1 | 373 | 2879 | | | | | 1 | 85 | | | | | |
| 25079-1 | | | | | | | 1 | 209 | | | | | |
| 25085-2 | 13 | 226 | | | | | | | | | | | |
| 25087-1 | 29 | 164 | | | | | | | | | | | |
| 25089-1 | 98 | 585 | | | | | | | | | | | |
| 25090-1 | 10 | 83 | | | | | | | | | | | |
| 25090-2 | 12 | 95 | | | | | | | | | | | |
| 25095-1 | 7 | 83 | | | | | | | | | | | |
| 25097-2 | 22 | 218 | | | | | | | | | | | |
| 25106-1 | 2 | 65 | | | | | | | | | | | |
| 25108-2 | | | 1 | 9,9 | | | | | | | | | |
| 25109-1 | 8 | 96 | | | | | | | | | | | |
| 25113-1 | 194 | 2421 | | | | | 2 | 736 | | | | | |
| 25118-1 | 11 | 41 | | | | | | | | | | | |
| 25311-1 | 7 | 65 | | | | | | | | | | | |
| 25331-1 | 52 | 1014 | | | | | | | | | | | |
| 25333-1 | 213 | 1580 | | | | | | | | | 7 | 1978 | |
| 25333-2 | 15 | 175 | | | | | 2 | 1040 | | | | | |
| 25333-3 | | | | | | | 3 | 1182 | | | 2 | 1405 | |
| 25333-4 | 23 | 147 | | | | | | | | | | | |
| 25333-5 | 76 | 846 | | | | | | | | | 3 | 334 | |
| 25334-1 | 394 | 3226 | | | | | | | | | 4 | 850 | |
| 25334-2 | | | 2 | 6,97 | | | | | | | | | |
| 25334-2 | 1153 | 17749 | | | | | | | | | 19 | 1387 | |
| 25334-3 | | | | | | | 1 | 2,03 | | | | | |
| 25334-3 | 139 | 2871 | | | | | | | 1 | 37 | | | |
| 25334-4 | 25 | 267 | | | | | | | | | | | |
| 25334-5 | 278 | 2573 | | | | | | | | | | | |
| 25334-6 | 678 | 8027 | | | | 1 | 35 | | 106 | 439 | 7 | 564 | |
| 25334-7 | 185 | 2242 | | | | 1 | 10 | | 1 | 1 | | | |
| 25335-3 | | | | | | | | | | | 5 | 402 | |
| 25337-1 | 12 | 430 | | | | | | | | | | | |
| 25339-6 | 151 | 1320 | | | | 1 | 1 | | | | | | |
| 25339-7 | 2 | 3 | | | | | | | | | | | |
| 25349-1 | 15 | 89 | | | | | 1 | 13 | | | | | |
| 25361-1 | 117 | 72 | | | | | | | | | | | |
| 25371-1 | 245 | 5768 | | | | 1 | 8 | | 122 | 6000 | 3 | 285 | |
| 25372-1 | 13 | 73 | | | | | | | | | | | |

| | | | | | | | | | | | | |
|---------|-----|-----|---|----|--|--|---|--------|--|--|---|-----|
| 25376-1 | 39 | 363 | | | | | | | | | | |
| 25377-1 | 44 | 390 | | | | | | | | | | |
| 25379-1 | 39 | 242 | | | | | | | | | 3 | 150 |
| 25380-1 | | | | | | | 1 | 4 | | | | |
| 25381-1 | 4 | 36 | | | | | 3 | 94 | | | | |
| 25382-1 | | | | | | | 2 | 442,46 | | | | |
| 25382-1 | 93 | 802 | | | | | 8 | 1742 | | | | |
| 25383-1 | 40 | 353 | | | | | | | | | | |
| 25387-1 | 12 | 146 | | | | | 1 | 9 | | | | |
| 25388-1 | 110 | 791 | | | | | | | | | | |
| 25416-1 | | | | | | | 2 | 27,3 | | | | |
| 25604-2 | | | | | | | 1 | 22,12 | | | | |
| 25605-1 | | | | | | | 1 | 167 | | | | |
| 25617-2 | | | | | | | 1 | 2,44 | | | | |
| SS UF | 41 | 260 | 1 | 10 | | | 7 | 1406 | | | | |

ANNEXE 4 - Inventaire sommaire du mobilier (2016)

| Année | UF | Amphores conservées (nb) | Amphores conservées (pd) | Amphores jetées (nb) | Amphores jetées (pd) | Céramiques (nb) | Céramiques (pd) | Terre cuite autres (nb) | Terre cuite autres (pd) | TCA conservée (nb) | TCA conservée (pd) | TCA jetée (nb) | TCA jetée (pd) | Matériaux organiques (nb) | Matériaux organiques (pd) | Enduits peints (nb) | Enduits peints (pd) |
|-------|-------|--------------------------|--------------------------|----------------------|----------------------|-----------------|-----------------|-------------------------|-------------------------|--------------------|--------------------|----------------|----------------|---------------------------|---------------------------|---------------------|---------------------|
| 2014 | 24004 | | | | | | | | | | | | | 44 | 342 | | |
| 2014 | 24007 | 42 | 3236 | | | 147 | 2109 | | | 14 | 2869 | 7 | 1380 | 105 | 755 | | |
| 2014 | 24018 | 10 | 1328 | 86 | 5430 | 240 | 2208 | | | 3 | 483 | 35 | 2890 | 302 | 1858 | | |
| 2014 | 24023 | 3 | 42 | 25 | 2560 | 155 | 1477 | | | 1 | 279 | 50 | 4560 | 11 | 49 | | |
| 2014 | 24036 | | | | | 37 | 125 | | | | | | | | | | |
| 2014 | 24045 | 31 | 5584 | 285 | 26000 | 137 | 2220 | | | 21 | 1589 | | | 254 | 3056 | | |
| 2014 | 24053 | | | | | | | | | 15 | 6500 | 8 | 4359 | | | | |
| 2014 | 24059 | | | | | | | | | 17 | 6038 | | | | | | |
| 2014 | 24061 | 1 | 159 | | | 180 | 1196 | 1 | | | | | | 142 | 1140 | | |
| 2014 | 24062 | | | 56 | 3200 | | | | | | | | | | | | |
| 2014 | 24065 | 1 | 12 | | | | | | | | | | | | | | |
| 2014 | 24065 | 1 | 12 | | | | | | | | | | | | | | |
| 2014 | 24071 | 2 | 44 | 22 | 390 | 27 | 266 | | | 83 | 2700 | | | | | | |
| 2014 | 24094 | 7 | 858 | 30 | 2100 | 289 | 3604 | | | 4 | 1790 | 24 | 2830 | 257 | 1676 | | |
| 2014 | 24104 | 11 | 598 | 13 | 1760 | 21 | 485 | | | 12 | 4509 | 48 | 10800 | 13 | 362 | | |
| 2014 | 24106 | | | | | 57 | 548 | | | 7 | 3620 | 157 | 43500 | 38 | 72 | | |
| 2014 | 24115 | | | | | 19 | 95 | | | | | | | 13 | 35 | | |
| 2014 | 24181 | | | | | 6 | 35 | | | | | | | | | | |
| 2014 | 24405 | | | | | | | | | | | | | 73 | 552 | | |
| 2014 | 24411 | 3 | 50 | 18 | 242 | 128 | 612 | | | | | | | 133 | 413 | | |
| 2014 | 24504 | | | | | 76 | 513 | | | | | | | | | | |
| 2014 | 24504 | | | | | 76 | 513 | | | | | | | | | | |
| 2014 | 24510 | | | | | | | | | | | | | 30 | 200 | | |
| 2014 | 24510 | | | | | | | | | | | | | 30 | 200 | | |
| 2014 | 24523 | 17 | 1750 | 30 | 7120 | 135 | 1600 | | | | | | | 165 | 3900 | | |
| 2014 | 24524 | | | 200 | 16000 | | | | | | | | | | | | |
| 2014 | 24528 | | | 150 | 8000 | | | | | | | | | | | | |
| 2014 | 24703 | | | 9 | 1069 | | | | | | | 250 | 21000 | 6 | 46 | | |
| 2015 | 25002 | 54 | 3055 | 2329 | 59643 | 1556 | 10013 | 14 | 126,22 | 14 | 5645 | 77 | 7940 | 2262 | 9140 | | |
| 2015 | 25003 | 10 | 1200 | 357 | 44244 | | | | | | | | | 670 | 2378 | | |
| 2015 | 25006 | | | 37 | 800 | | | | | | | | | | | | |
| 2015 | 25008 | 8 | 1277 | 123 | 7600 | 110 | 1300 | | | 1 | 68 | 40 | 2750 | 196 | 1910 | | |
| 2015 | 25009 | 7 | 561 | 265 | 5606 | 528 | 6070 | 1 | 10,51 | 82 | 5897 | 1 | 500 | 338 | 2103 | | |
| 2015 | 25017 | 5 | 4089 | 147 | 14600 | 34 | 450 | 1 | 6,36 | | | | | 135 | 2080 | | |

| | | | | | | | | | | | | | | | | | |
|------|-------|----|------|-----|-------|-----|-------|-------|--------|----|-------|-----|------|-----|------|------|--|
| 2015 | 25018 | 2 | 416 | 67 | 678 | 37 | 586 | | | | | | | 17 | 148 | | |
| 2015 | 25022 | 5 | 325 | 16 | 450 | | | | | | | 1 | 258 | | | | |
| 2015 | 25023 | 6 | 406 | 270 | 58099 | 238 | 1668 | 2 | 202,99 | 1 | 85 | 116 | 1700 | 385 | 1530 | | |
| 2015 | 25025 | 8 | 849 | 20 | 3400 | | | | | | | | | | | | |
| 2015 | 25026 | 15 | 570 | 1 | 28 | | | | | 1 | 141 | | | | | | |
| 2015 | 25027 | | | | | 18 | 242 | | | | | | | | 14 | 272 | |
| 2015 | 25029 | 16 | 5227 | 5 | 10 | | | 1 | 1,89 | | | | | | | | |
| 2015 | 25037 | | | | | | | 2 | 6,12 | | | | | | | | |
| 2015 | 25038 | | | | | 18 | 770 | | | | | | | | 47 | 78 | |
| 2015 | 25039 | | | | | 18 | 289 | | | | | | | | 13 | 26 | |
| 2015 | 25040 | 8 | 2599 | 27 | 5600 | 450 | 890 | | | | | | | | 26 | 177 | |
| 2015 | 25042 | 22 | 2316 | 140 | 16850 | 242 | 2816 | 1 | 416 | | | 1 | 63 | 313 | 2959 | | |
| 2015 | 25047 | | | 23 | 360 | 1 | 145 | 1 | 4,22 | | | | | | 28 | 72 | |
| 2015 | 25048 | 3 | 579 | | | 5 | 62 | | | | | | | | | | |
| 2015 | 25049 | | | | | 206 | 10005 | 2 | 8;89 | | | | | | 51 | 264 | |
| 2015 | 25050 | | | | | 13 | 139 | 1 | 11,07 | | | | | | 13 | 51 | |
| 2015 | 25053 | | | 34 | 4990 | | | | | | | | | | | | |
| 2015 | 25054 | | | | | 66 | 1692 | 23,35 | | | | | | | | | |
| 2015 | 25055 | | | 21 | 1200 | | | | | 2 | 68 | 9 | 780 | 38 | 218 | | |
| 2015 | 25056 | 16 | 405 | 113 | 7800 | 91 | 1032 | 1 | 2,74 | | | | | | | | |
| 2015 | 25057 | 1 | 194 | 9 | 204 | 31 | 321 | | | | | | | | 21 | 259 | |
| 2015 | 25059 | | | 12 | 720 | 65 | 621 | 1 | 6,7 | | | | | | | | |
| 2015 | 25061 | | | | | | | 1 | 4,21 | | | | | | | | |
| 2015 | 25063 | | | | | | | | | 3 | 262 | | | | | | |
| 2015 | 25073 | | | | | | | | | | | | | | 73 | 41 | |
| 2015 | 25082 | | | 22 | 2900 | | | | | | | | | | | | |
| 2015 | 25085 | 5 | 2456 | | | | | | | | | | | | | | |
| 2015 | 25088 | 77 | 8016 | 299 | 19692 | 234 | 1300 | 4 | 27,72 | 22 | 1773 | 7 | 680 | 651 | 3678 | | |
| 2015 | 25094 | 4 | 189 | | | 59 | 1371 | 1 | 8,48 | 4 | 303 | 200 | 1200 | | | | |
| 2015 | 25097 | | | | | | | 1 | 11,47 | | | | | | | | |
| 2015 | 25112 | | | | | 21 | 638 | | | | | | | | 7 | 56 | |
| 2015 | 25305 | | | 4 | 180 | 38 | 812 | 1 | 4 | 1 | 10 | 18 | 1240 | 22 | 126 | | |
| 2015 | 25306 | | | 112 | 1000 | 146 | 776 | | | 1 | 204 | | | | 36 | 233 | |
| 2015 | 25309 | 3 | 66 | 8 | 347 | 37 | 305 | | | | | | | | 28 | 1039 | |
| 2015 | 25310 | 35 | 99 | 82 | 2315 | 487 | 4860 | 3 | 18,52 | 73 | 13543 | 30 | 6380 | 84 | 396 | | |
| 2015 | 25323 | 2 | 10 | | | | | | | | | | | | | | |
| 2015 | 25327 | 6 | 126 | 29 | 800 | 15 | 85 | | | 1 | 530 | | | | | | |
| 2015 | 25327 | 6 | 126 | 29 | 800 | 15 | 85 | | | 1 | 530 | | | | | | |
| 2015 | 25329 | | | 7 | 400 | 10 | 62 | | | 1 | 154 | | | | | | |
| 2015 | 25331 | | | 4 | 10 | | | | | | | 2 | 50 | | | | |
| 2015 | 25333 | 9 | 1444 | | | | | 1 | 52,13 | | | | | | | | |
| 2015 | 25334 | | | | | | | | | | | | | | | | |
| 2015 | 25336 | | | 16 | 615 | 39 | 271 | | | | | | | | 24 | 167 | |
| 2015 | 25348 | 1 | 22 | 16 | 300 | 150 | 890 | 1 | 15,88 | | | | | | | | |
| 2015 | 25351 | | | | | 8 | 129 | | | | | 4 | 534 | 6 | 69 | | |
| 2015 | 25352 | | | | | 32 | 238 | | | 1 | 129 | | | | | | |
| 2015 | 25357 | 2 | 239 | | | | | | | | | | | | 3 | 8 | |

| | | | | | | | | | | | | | | | | | |
|------|-------|----|------|------|--------|-----|------|---|-------|----|------|-----|-------|------|------|---|----|
| 2015 | 25358 | | | | | | | | | | | 6 | 310 | | | | |
| 2015 | 25363 | 2 | 103 | 14 | 221 | 53 | 577 | | | | | 3 | 238 | | | | |
| 2015 | 25366 | 17 | 970 | | | | | | | | | | | | | | |
| 2015 | 25369 | 4 | 455 | 75 | 1285 | 132 | 1831 | | | 1 | 74 | 2 | 109 | 91 | 597 | | |
| 2015 | 25373 | | | | | | | | | | | 1 | 68 | | | | |
| 2015 | 25374 | 5 | 326 | | | 2 | 10 | | | | | | | 1 | 1 | 1 | 37 |
| 2015 | 25375 | 25 | 2827 | | | 41 | 539 | | | | | | | 39 | 380 | | |
| 2015 | 25382 | 63 | 3950 | 845 | 128471 | 71 | 794 | 3 | 20,42 | | | 7 | 528 | 129 | 955 | | |
| 2015 | 25386 | 3 | 88 | 45 | 630 | 47 | 383 | | | | | 30 | 1908 | | | | |
| 2016 | 26003 | | 1 | 123 | 21 | 340 | | | | | | 14 | 1900 | 11 | 35 | | |
| 2016 | 26007 | 2 | 405 | 12 | 1500 | 17 | 180 | 3 | 302,4 | 1 | 394 | 14 | 1129 | 13 | 163 | 1 | 15 |
| 2016 | 26007 | 2 | 405 | 12 | 1500 | 17 | 180 | 3 | 302,4 | 1 | 394 | 14 | 1129 | 13 | 163 | 1 | 15 |
| 2016 | 26009 | | | | | 9 | 47 | | | | | | | 9 | 9 | 1 | 6 |
| 2016 | 26011 | 1 | 1005 | 30 | 1080 | 15 | 74 | | | 1 | 173 | 3 | 80 | 17 | 92 | | |
| 2016 | 26017 | 2 | 163 | | | 12 | 91 | | | 1 | 211 | | | 14 | 154 | | |
| 2016 | 26020 | 28 | 8846 | 655 | 68530 | 56 | 1121 | 2 | 228,6 | 25 | 7515 | 89 | 9810 | 26 | 380 | | |
| 2016 | 26020 | 28 | 8846 | 655 | 68530 | 56 | 1121 | 2 | 228,6 | 25 | 7515 | 89 | 9810 | 26 | 380 | | |
| 2016 | 26022 | | | | | 22 | 140 | | | | | | | 3 | 23 | | |
| 2016 | 26026 | 53 | 6809 | 1204 | 85340 | 491 | 4422 | 4 | 41,2 | | | 36 | 4200 | 1055 | 7491 | | |
| 2016 | 26027 | 3 | 574 | | | 127 | 543 | | | 4 | 1114 | 4 | 359 | 23 | 249 | | |
| 2016 | 26031 | | | 36 | 1500 | 17 | 132 | | | | | | | 6 | 43 | | |
| 2016 | 26033 | 2 | 287 | 7 | 324 | 11 | 94 | | | | | | | 13 | 24 | | |
| 2016 | 26034 | 1 | 340 | | | 2 | 160 | | | | | | | | | | |
| 2016 | 26036 | | | 1 | 50 | 1 | 11 | | | | | 2 | 100 | 4 | 10 | | |
| 2016 | 26040 | | | | | 27 | 262 | | | | | | | | | | |
| 2016 | 26043 | 3 | 579 | 15 | 322 | 66 | 693 | | | | | 31 | 2760 | 44 | 136 | 1 | 16 |
| 2016 | 26044 | | | | | 13 | 173 | | | 1 | 320 | | | 11 | 70 | | |
| 2016 | 26048 | 1 | 80 | 18 | 940 | 100 | 1237 | 1 | 16,7 | | | 2 | 340 | 42 | 271 | | |
| 2016 | 26049 | 1 | 141 | 8 | 3491 | 144 | 3401 | | | 36 | 3617 | 4 | 180 | 66 | 492 | | |
| 2016 | 26051 | 1 | 110 | 69 | 5200 | 142 | 555 | | | 8 | 2081 | 4 | 550 | 107 | 720 | | |
| 2016 | 26052 | | | | | 12 | 168 | | | | | | | 3 | 12 | | |
| 2016 | 26052 | | | | | 12 | 168 | | | | | | | 3 | 12 | | |
| 2016 | 26056 | 2 | 167 | 8 | 20 | 62 | 392 | | | 1 | 142 | 5 | 349 | 50 | 130 | | |
| 2016 | 26059 | 1 | 171 | 70 | 12760 | 202 | 1632 | | | 2 | 1320 | 9 | 480 | 58 | 221 | | |
| 2016 | 26060 | 4 | 465 | 9 | 400 | 114 | 1227 | | | | | 18 | 3400 | 40 | 125 | | |
| 2016 | 26061 | | | 1 | 54 | 14 | 233 | 2 | 148,7 | | | | | 9 | 79 | | |
| 2016 | 26066 | | | 6 | 750 | 8 | 54 | | | 2 | 142 | 8 | 880 | | | | |
| 2016 | 26067 | 13 | 1341 | 325 | 11846 | 674 | 4712 | 2 | 44,2 | | | 3 | 320 | 612 | 4006 | | |
| 2016 | 26071 | 9 | 1754 | 72 | 4523 | 285 | 2848 | 3 | 130,6 | 2 | 891 | 143 | 10630 | 158 | 1378 | | |
| 2016 | 26072 | 4 | 483 | | | | | | | | | | | 246 | 1596 | | |
| 2016 | 26076 | 13 | 1184 | 49 | 4055 | 53 | 430 | 1 | 4,7 | 7 | 1680 | 52 | 4820 | 34 | 151 | | |
| 2016 | 26079 | | | | | 68 | 386 | | | | | 20 | 700 | 43 | 485 | | |
| 2016 | 26086 | 5 | 1013 | 6 | 980 | 73 | 1204 | | | | | 15 | 2040 | 25 | 202 | | |
| 2016 | 26086 | 5 | 1013 | 6 | 980 | 73 | 1204 | | | | | 15 | 2040 | 25 | 202 | | |
| 2016 | 26087 | | | | | 5 | 42 | | | 7 | 98 | | | 9 | 39 | | |
| 2016 | 26096 | | | 3 | 80 | 26 | 150 | | | 1 | 217 | 6 | 580 | 30 | 120 | | |

| | | | | | | | | | | | | | | | | | | |
|------|-------|-----|-------|-----|-------|------|-------|---|------|----|------|-----|-------|------|------|-----|--|--|
| 2016 | 26097 | | | | | 22 | 152 | | | | | 20 | 1080 | 16 | 97 | | | |
| 2016 | 26103 | 81 | 10070 | 8 | 823 | 739 | 10875 | 4 | 34,8 | 11 | 1157 | 90 | 4720 | 360 | 3688 | | | |
| 2016 | 26105 | | | 6 | 200 | 24 | 215 | | | | | 32 | 12460 | 26 | 157 | | | |
| 2016 | 26106 | 45 | 8766 | 265 | 17850 | 58 | 879 | | | 7 | 2599 | 81 | 13520 | 10 | 26 | | | |
| 2016 | 26107 | 8 | 960 | 1 | 82 | 418 | 5128 | 4 | 15,1 | | | | | 297 | 2073 | | | |
| 2016 | 26108 | | | 17 | 480 | 25 | 217 | | | | | 46 | 4300 | | | | | |
| 2016 | 26109 | 1 | 31 | 6 | 160 | 28 | 236 | | | | | 2 | 200 | 27 | 204 | | | |
| 2016 | 26110 | | | 46 | 2300 | 132 | 1869 | | | | | 2 | 240 | 77 | 518 | | | |
| 2016 | 26112 | | | | | 170 | 1171 | | | 4 | 2755 | 16 | 1260 | 33 | 86 | | | |
| 2016 | 26113 | | | 19 | 815 | 41 | 379 | 1 | 2,7 | 38 | 1700 | 112 | 6624 | 14 | 92 | | | |
| 2016 | 26122 | | | 29 | 1360 | 78 | 675 | 1 | 3 | | | 1 | 60 | 52 | 294 | | | |
| 2016 | 26124 | | | 2 | 40 | | | | | | | | | 14 | 29 | | | |
| 2016 | 26133 | | | | | 53 | 2060 | | | | | 18 | 3100 | 1 | 109 | | | |
| 2016 | 26142 | | | | | 11 | 100 | | | 4 | 3315 | 74 | 17520 | 5 | 18 | | | |
| 2016 | 26155 | 23 | 4375 | 175 | 9890 | 24 | 215 | | | 10 | 1704 | 190 | 25630 | 30 | 207 | | | |
| 2016 | 26156 | 25 | 3627 | 9 | 510 | 151 | 2095 | 1 | 6 | 17 | 5673 | | | 102 | 1154 | | | |
| 2016 | 26157 | 8 | 909 | 77 | 3650 | 1525 | 5567 | 3 | 59,6 | 8 | 1384 | 15 | 990 | 431 | 2370 | | | |
| 2016 | 26163 | 282 | 6683 | 108 | 7434 | 2014 | 183 | | | | | | | 2157 | 309 | | | |
| 2016 | 26169 | | | | | 17 | 111 | | | | | | | 1 | 25 | | | |
| 2016 | 26177 | 36 | 159 | 127 | 1326 | 151 | 800 | | | | | 13 | 160 | 182 | 936 | | | |
| 2016 | 26178 | | | | | 2 | 183 | | | | | | | 16 | 384 | | | |
| 2016 | 26184 | 4 | 627 | | | 29 | 252 | | | | | | | 17 | 132 | | | |
| 2016 | 26190 | | | 3 | 320 | 2 | 33 | | | | | | | | | | | |
| 2016 | 26191 | 1 | 85 | 12 | 611 | 306 | 4212 | 1 | 20,2 | | | 33 | 5630 | 99 | 975 | | | |
| 2016 | 26192 | 6 | 1095 | 21 | 2523 | 89 | 1613 | 2 | 12,3 | 3 | 2327 | 6 | 540 | 56 | 365 | | | |
| 2016 | 26205 | | | 8 | 900 | | | | | | | | | | | | | |
| 2016 | 26208 | | | | | | | | | | | | | | 7 | 160 | | |
| 2016 | 26211 | | | | | 11 | 91 | | | | | | | 55 | 185 | | | |
| 2016 | 26214 | 3 | 351 | 11 | 610 | 13 | 115 | | | | | | | 20 | 217 | | | |
| 2016 | 26215 | | | | | 2 | 7 | | | | | | | 2 | 16 | | | |
| 2016 | 26216 | 1 | 85 | 5 | 310 | 1 | 41 | | | | | | | | | | | |
| 2016 | 26217 | | | 2 | 230 | | | | | | | | | | | | | |
| 2016 | 26218 | | | 5 | 180 | | | | | | | | | | | | | |
| 2016 | 26229 | 18 | 12516 | 55 | 2900 | 229 | 1524 | | | | | 106 | 3800 | 257 | 2967 | | | |
| 2016 | 26232 | | | | | 8 | 197 | | | | | | | | | | | |
| 2016 | 26240 | 1 | 41 | 1 | 23 | | | | | | | | | | | | | |
| 2016 | 26255 | 4 | 214 | 13 | 197 | 14 | 307 | | | | | | | 16 | 151 | | | |
| 2016 | 26256 | | | | | | | | | | | | | 3 | 135 | | | |
| 2016 | 26270 | | | 9 | 1420 | 17 | 192 | | | | | | | 26 | 227 | | | |
| 2016 | 26272 | 4 | 419 | 120 | 1720 | 170 | 1695 | 2 | 36,6 | 17 | 4788 | 12 | 2807 | 89 | 625 | | | |
| 2016 | 26273 | | | | | | | | | | | | | | | | | |
| 2016 | 26275 | | | 6 | 327 | 33 | 253 | | | | | | | 5 | 16 | | | |
| 2016 | 26277 | 11 | 3136 | 47 | 4230 | 108 | 1323 | | | | | | | 123 | 1088 | | | |
| 2016 | 26277 | 11 | 3136 | 47 | 4230 | 108 | 1323 | | | | | | | 123 | 1088 | | | |
| 2016 | 26279 | 5 | 620 | 64 | 1916 | 195 | 1559 | 1 | 8,4 | | | | | 174 | 941 | | | |
| 2016 | 26287 | 8 | 2884 | 3 | 40 | 1 | 1 | | | | | | | | | | | |

ANNEXE 5 - Inventaire des petits mobiliers (2014-2016)

| Année | UF | N° | | Matière | Est | Nord | Poids | Alt |
|-------|---------|------|---------------------|-------------|-------------|-------------|-------|--------|
| 2014 | 24024 | 1158 | Fibule | Fer | | | 3,5 | |
| 2014 | 24024 | 1160 | Rivet | Fer | | | 7 | |
| 2014 | 24024 | | Clou | Fer | | | 2240 | |
| 2014 | 24024 | 1162 | Indéterminé tôle | Fer | | | 54,3 | |
| 2014 | 24024 | 1159 | Clous de chaussure | Fer | | | 25,4 | |
| 2014 | 24024 | 1163 | Ferrure | Fer | | | 8,3 | |
| 2014 | 24024 | 1164 | Indéterminé plat | Fer | | | 19 | |
| 2014 | 24024 | 1165 | Chute | Fer | | | 10,7 | |
| 2014 | 24024 | 1166 | Rondelle | Fer | | | 4 | |
| 2014 | 24024 | 1167 | Indéterminé | Fer | | | 19 | |
| 2014 | 24024 | 1161 | Scorie | Fer | | | 167 | |
| 2014 | 24061 | | Clou | Fer | | | 100 | |
| 2014 | 24056-1 | | Clou | Fer | | | 18 | |
| 2014 | 24056-1 | 1168 | Indéterminé tige | Fer | | | 2,8 | |
| 2014 | 24056-1 | 1169 | Ferrure | Fer | | | 2,9 | |
| 2014 | 24056-1 | | Indéterminé | Fer | | | 6 | |
| 2014 | 24512 | | Clou | Fer | | | 1782 | |
| 2014 | 24512 | 1170 | Clous de chaussure | Fer | | | 1,4 | |
| 2014 | 24045 | | Clou | Fer | | | 68 | |
| 2014 | 24405-2 | | Clou | Fer | | | 7 | |
| 2014 | 24092 | | Clou | Fer | | | 48 | |
| 2014 | 24092 | 1171 | Clous de chaussure | Fer | | | 1,3 | |
| 2014 | 24500 | | Clou | Fer | | | 71 | |
| 2014 | 24094 | | Clou | Fer | | | 289 | |
| 2014 | 24094 | 1172 | Crochet | Fer | | | 2,2 | |
| 2014 | 24094 | 1173 | Indéterminé plat | Fer | | | 9,8 | |
| 2014 | 24071-1 | | Clou | Fer | | | 450 | |
| 2014 | 24013 | | Clou | Fer | | | 276 | |
| 2014 | 24113 | | Clou | Fer | | | 118 | |
| 2014 | 24091 | | Clou | Fer | | | 27 | |
| 2014 | 24088 | | Clou | Fer | | | 203 | |
| 2014 | 24106 | | Clou | Fer | | | 103 | |
| 2014 | 24086-1 | | Clou | Fer | | | 212 | |
| 2014 | 24086-1 | 1174 | Scorie | Fer | | | 12 | |
| 2014 | 24086-1 | 1175 | Fibule | Fer | | | 1,1 | |
| 2014 | 24067-4 | | Clou | Fer | | | 84 | |
| 2014 | 24001-1 | 1 | | Ceramique | | | | |
| 2014 | | 2 | Jeton | Ceramique | | | | |
| 2014 | 24006 | 3 | Monnaie | Base-cuivre | | | | |
| 2014 | 24004-1 | 4 | Clous de chaussures | Fer | | | 1,5 | |
| 2014 | 24008 | 5 | Fibule | Base cuivre | | | 0,8 | |
| 2014 | 24010 | 6 | | Ceramique | | | | |
| 2014 | 24012 | 7 | | Verre | | | | |
| 2014 | 24003 | 8 | | verre | | | | |
| 2014 | 24011 | 9 | | lithique | | | | |
| 2014 | Berme | 10 | | Base cuivre | | | 0,6 | |
| 2014 | HC | 11 | Fibule | Base cuivre | | | 1,8 | 578,59 |
| 2014 | 24013 | 12 | Bague | Base cuivre | 1714596,401 | 5162682,34 | 2 | 578,49 |
| 2014 | 24014 | 13 | Ferrure | Fer | 1714604,405 | 5162677,687 | 3,6 | 578,17 |
| 2014 | 24014 | 14 | Fibule | Base cuivre | 1714602,566 | 5162680,367 | 3 | 578,39 |
| 2014 | 24013 | 15 | | Verre | 1714600,567 | 5162683,608 | | 578,45 |

| | | | | | | | | |
|------|-----------|-----|---------------------|-------------|-------------|-------------|------|--------|
| 2014 | 24016 | 16 | Rivet | Base cuivre | 1714642,86 | 5162739,326 | 0,5 | |
| 2014 | 24016 | 17 | Clou | Fer | 1714636,534 | 5162738,05 | 17,2 | |
| 2014 | 24016 | 18 | Chute | Base cuivre | | | 1,3 | |
| 2014 | 24017 | 19 | Monnaie | Base-cuivre | 1714607,661 | 5162667,735 | | 578,17 |
| 2014 | 24017 | 20 | Fibule | Base cuivre | 1714608,846 | 5162671,09 | 7,7 | 578,16 |
| 2014 | 24001 | 21 | Polissoir | Lithique | | | 156 | |
| 2014 | 24001 ? | 22 | | Ceramique | 1714594,158 | 5162653,19 | | 579,65 |
| 2014 | 24017 | 23 | Clous de chaussures | Fer | | | 2,2 | |
| 2014 | 24017 | 24 | Indéterminé tôle | Base cuivre | | | 0,2 | |
| 2014 | HC | 25 | | Verre | | | | |
| 2014 | HC | 26 | Canal de coulee | Base cuivre | | | 9,2 | |
| 2014 | 24016 | 27 | Scorie | Base cuivre | | | 2,8 | |
| 2014 | 24016 | 28 | Jeton | Ceramique | | | | |
| 2014 | 24016 | 29 | Indéterminé plat | Fer | 1714600,557 | 5162714,014 | 5,9 | 576,72 |
| 2014 | 24016 | 30 | Indéterminé tige | Base-cuivre | 1714601,459 | 5162713,371 | 0,4 | 576,73 |
| 2014 | 24016 | 31 | | Verre | | | | |
| 2014 | 24016 | 32 | Rivet | Base cuivre | | | 7,9 | |
| 2014 | 24014 | 33 | Indéterminé tôle | Base cuivre | | | 1,2 | 578,41 |
| 2014 | 24000 | 34 | Fibule | Base cuivre | | | 0,1 | |
| 2014 | 24000 | 35 | Goutte | Base cuivre | | | 5,8 | |
| 2014 | 24007 | 36 | Indéterminé tôle | Base cuivre | | | 8,7 | |
| 2014 | 24007 | 37 | Indéterminé objet | Fer | 1714586,651 | 5162698,48 | 24,6 | 578,38 |
| 2014 | 24006 | 38 | Fusaïole | Ceramique | 1714586,597 | 5162700,89 | 20,1 | 578,26 |
| 2014 | 24009 | 39 | Ceinture | Base cuivre | | | | |
| 2014 | 24019 | 40 | Clou | Fer | | | 3,2 | |
| 2014 | 24019 | 41 | Jeton | Ceramique | 1714585,388 | 5162699,032 | | 578,39 |
| 2014 | 24000 | 42 | Ceinture | Base cuivre | 1714606,34 | 5162650,779 | 9,8 | 578,86 |
| 2014 | 24006 | 43 | | Verre | | | | |
| 2014 | 24009 | 44 | Fibule | Fer | | | 2,1 | |
| 2014 | 24017 | 45 | | Fer | | | | |
| 2014 | 24024 | 46 | Chaudron | Fer | | | 22,1 | |
| 2014 | HC | 47 | Fibule | Base cuivre | | | 0,7 | |
| 2014 | 24013? | 48 | Indéterminé tôle | Plomb | 1714586,721 | 5162700,66 | 3,2 | 578,28 |
| 2014 | HC | 49 | Ferrure | Fer | | | 3,4 | |
| 2014 | 24025 | 50 | | Verre | | | | |
| 2014 | 24025 | 51 | | Base cuivre | | | | |
| 2014 | 24026 | 52 | | Fer | 1714591,91 | 5162699,3 | | 577,84 |
| 2014 | 24026 | 53 | | Plastique | 1714588,603 | 5162701,15 | | 578,03 |
| 2014 | 24025 | 54 | Fibule | Base cuivre | | | 0,9 | |
| 2014 | 24025 | 55 | Perle | Base cuivre | | | 3,7 | |
| 2014 | 24024 | 56 | Jeton | Ceramique | | | | 575,71 |
| 2014 | 24016 | 57 | Ferrure | Fer | | | 53,1 | |
| 2014 | 24024 | 58 | Fibule | Base cuivre | | | 0,6 | |
| 2014 | ? | 59 | Intaille | Cornaline | 1714610,361 | 5162648,105 | 0,5 | 578,98 |
| 2014 | 24018 | 60 | Crampon | Fer | 1714577,151 | 5162700,806 | 46,5 | 578,36 |
| 2014 | 24016 | 61 | | Base cuivre | | | | |
| 2014 | 24024 | 62 | Perle | Base-cuivre | | | 0,5 | |
| 2014 | 24016 | 63 | Indéterminé tige | Base cuivre | | | 2,9 | |
| 2014 | 24026 | 64 | Pigment | Autre | 1714587,805 | 5162701,263 | 1,7 | 577,89 |
| 2014 | 24025 | 65 | Pique-bœuf | Fer | | | 4,6 | |
| 2014 | 24025 | 66 | | ? | | | | |
| 2014 | 24024 | 67 | Jeton | Ceramique | | | | 575,7 |
| 2014 | 24018 | 68 | Indéterminé tôle | Base cuivre | 1714606,32 | 5162671,733 | 6,4 | 578,12 |
| 2014 | 24024 | 69 | Indéterminé tôle | Base cuivre | | | 0,9 | 575,88 |
| 2014 | 24027 | 70 | Monnaie | Base cuivre | 1714594,287 | 5162691,776 | | 578,29 |
| 2014 | 24025 | 71 | Jeton | Ceramique | | | | |
| 2014 | HC | 72 | Indéterminé tôle | Base cuivre | 1714597,734 | 5162710,072 | 0,3 | 576,88 |
| 2014 | 24018 | 73 | Scorie | Fer | 1714603,924 | 5162675,731 | 25,1 | 578,23 |
| 2014 | HC | 74 | Monnaie | | | | | |
| 2014 | 24027 | 74? | | Verre | 1714594,535 | 5162692,1 | | 578,19 |
| 2014 | 24023 | 75 | Recipient | Verre | | | 1,4 | 578,78 |
| 2014 | Bronziers | 76 | Indéterminé | Fer | | | | |

| | | | | | | | | | |
|------|---------|-----|---------------------------|-------------|-------------|-------------|--|------|--------|
| 2014 | 24024 | 77 | Indéterminé tôle | Fer | | | | 5,4 | 575,8 |
| 2014 | 24024 | 78 | Indéterminé tôle | Fer | | | | 2,3 | 575,71 |
| 2014 | 24020-1 | 79 | Jeton | Ceramique | | | | | |
| 2014 | 24020-1 | 80 | Cabochoon | Base cuivre | | | | 0,2 | |
| 2014 | 24020-1 | 81 | Aiguille | Base cuivre | | | | 0,3 | |
| 2014 | 24020-1 | 82 | Rivet | Base cuivre | | | | 0,4 | 575,68 |
| 2014 | 24020-1 | 83 | Fibule | Base cuivre | | | | 0,4 | |
| 2014 | 24020-1 | 84 | Fibule | Base cuivre | | | | 1,2 | |
| 2014 | 24027 | 85 | Jeton | Ceramique | 1714595,007 | 5162692,643 | | | 578,13 |
| 2014 | 24024 | 86 | Ferrure | Fer | | | | 1,5 | 575,68 |
| 2014 | 24025 | 87 | Indéterminé tige | Base cuivre | | | | 0,1 | |
| 2014 | 24013 | 88 | Crampon | Fer | | | | 20,6 | |
| 2014 | 24024 | 89 | Jeton | Ceramique | | | | | 575,69 |
| 2014 | 24024 | 90 | Perle | Base cuivre | | | | 1,1 | 575,89 |
| 2014 | 24024 | 91 | Indéterminé tôle | Base cuivre | | | | 0,7 | |
| 2014 | 24024 | 92 | Clou | Fer | | | | 5,6 | |
| 2014 | 24024 | 93 | Perle | Base cuivre | | | | 1,9 | 575,76 |
| 2014 | 24024 | 94 | Jeton | Ceramique | | | | | 575,52 |
| 2014 | 24024 | 95 | Ferrures decoratives | Base cuivre | | | | 0,7 | 575,92 |
| 2014 | 24024 | 96 | | Base cuivre | | | | | 575,94 |
| 2014 | 24024 | 97 | | Base cuivre | | | | | 575,91 |
| 2014 | HC | 98 | Applique | Base cuivre | | | | 0,4 | |
| 2014 | 24018 | 99 | Jeton | Ceramique | 1714575,971 | 5162705,696 | | | 578,22 |
| 2014 | 24041 | 100 | Silex | Lithique | 1714607,177 | 5162650,864 | | | 578,78 |
| 2014 | 24024 | 101 | | Base cuivre | 1714617,345 | 5162718,479 | | | 576,08 |
| 2014 | 24018 | 104 | Clou | Fer | 1714604,047 | 5162667,892 | | 2 | 578,34 |
| 2014 | 24018 | 105 | Hameçon | Fer | 1714607,978 | 5162671,811 | | 0,2 | 578,14 |
| 2014 | 24041 | 106 | | Fer | | | | | |
| 2014 | 24018 | 107 | Indéterminé tige | Fer | 1714608,015 | 5162671,772 | | 0,3 | 578,11 |
| 2014 | 24035 | 108 | Tas | Fer | | | | 55,4 | 578,48 |
| 2014 | 24024 | 109 | Indéterminé plat | Fer | | | | 12,7 | 575,93 |
| 2014 | 24025 | 110 | Cabochoon | Base cuivre | | | | 0,3 | |
| 2014 | 24024 | 111 | Coulure | Base cuivre | | | | 2,7 | 575,91 |
| 2014 | 24018 | 112 | Indéterminé tige | Fer | 1714605,126 | 5162668,428 | | 1,7 | 578,28 |
| 2014 | 24041 | 113 | Silex | Lithique | 1714609,539 | 5162649,199 | | | 578,88 |
| 2014 | 24018 | 114 | Clous de chaussures | Fer | 1714607,498 | 5162672,341 | | 2,1 | 578,12 |
| 2014 | 24018 | 115 | Clous de chaussures | Fer | 1714606,97 | 5162672,045 | | 1,9 | 578,13 |
| 2014 | 24020-1 | 116 | Cabochoon | Base cuivre | 1714607,242 | 5162650,782 | | 0,6 | 578,78 |
| 2014 | 24020-1 | 117 | Coulure | Base cuivre | | | | 12,1 | |
| 2014 | 24020-1 | 118 | Indéterminé tige | Base cuivre | | | | 0,7 | |
| 2014 | 24020-1 | 119 | Indéterminé plat | Fer | | | | 26,8 | |
| 2014 | 24020-1 | 120 | Indéterminé plat | Fer | | | | 33,4 | |
| 2014 | 24020-1 | 121 | | Ceramique | | | | | |
| 2014 | 24020-1 | 122 | Jeton | Ceramique | | | | | |
| 2014 | 24020-1 | 123 | Tas/enclume (lithique) | Lithique | | | | 101 | |
| 2014 | 24024 | 124 | Ferrure | Fer | 1714617,743 | 5162718,724 | | 4,7 | 576 |
| 2014 | 24024 | 125 | Indéterminé tige | Base cuivre | | | | 1,2 | 575,91 |
| 2014 | 24024 | 126 | Fusaïole | Terre cuite | | | | 10,1 | 575,81 |
| 2014 | 24024 | 127 | | Verre | | | | | 575,85 |
| 2014 | 24024 | 128 | Cabochoon | Base cuivre | 1714616,649 | 5162715,491 | | 0,9 | 576,19 |
| 2014 | 24017 | 129 | Clou | Fer | 1714604,705 | 5162666,184 | | 6,4 | 578,3 |
| 2014 | 24017 | 130 | Clou | Fer | 1714603,838 | 5162667,12 | | 12,1 | 578,32 |
| 2014 | 24017 | 131 | Clou | Fer | 1714604,974 | 5162666,345 | | 3,2 | 578,29 |
| 2014 | 24024 | 132 | Ferrure | Fer | | | | 3,6 | 575,8 |
| 2014 | 24020-1 | 133 | Jeton | Ceramique | | | | | |
| 2014 | 24024 | 134 | Indéterminé plat | Fer | | | | 24,6 | 575,8 |
| 2014 | 24025 | 135 | Anneau | Base cuivre | 1714600,805 | 5162687,641 | | 1,4 | 578,22 |
| 2014 | 24024 | 136 | Pique-bœuf | Fer | 1714617,996 | 5162719,061 | | 1,2 | 576 |
| 2014 | 24041 | 137 | Clou | Base cuivre | 1714608,139 | 5162648,363 | | 27,2 | 578,99 |

| | | | | | | | | |
|------|---------|------|------------------------------|-------------|-------------|-------------|-------|--------|
| 2014 | 24018 | 138 | Cabocheon | Base cuivre | 1714577,047 | 5162705,209 | 0,1 | 578,35 |
| 2014 | 24037 | 139 | Silex | Lithique | | | | |
| 2014 | 24051 | 140 | Rivet | Base cuivre | 1714603,335 | 5162665,543 | 0,2 | 578,34 |
| 2014 | 24024 | 141 | Indéterminé tôle | Base cuivre | | | 0,4 | 575,88 |
| 2014 | 24024 | 142 | Indéterminé tôle | Base cuivre | 1714616,801 | 5162716,057 | 0,4 | 576,18 |
| 2014 | 24024 | 143 | Scorie | Fer | | | 19,8 | |
| 2014 | 24024 | 144 | Indéterminé tige | Base cuivre | 1714615,717 | 5162718,704 | 0,2 | 576,12 |
| 2014 | 24024 | 145 | Monnaie | Base cuivre | 1714617,679 | 5162719,182 | | 576,12 |
| 2014 | 24024 | 146 | Ferrure | Fer | | | 13 | |
| 2014 | 24037 | 147 | | Verre | | | | |
| 2014 | 24018 | 148 | Clou | Fer | 1714577,281 | 5162704,269 | 6,2 | 578,35 |
| 2014 | 24017 | 149 | Polissoir | Lithique | 1714603,585 | 5162664,749 | 242,5 | 578,31 |
| 2014 | 24017 | 150 | Indéterminé plat | Fer | 1714603,228 | 5162665,027 | 54,6 | 578,32 |
| 2014 | 24024 | 151 | Indéterminé tôle | Base cuivre | 1714617,09 | 5162715,709 | 0,3 | 576,17 |
| 2014 | 24045 | 152 | Canal de coulee | Base cuivre | 1714590,223 | 5162670,512 | 5,3 | 578,76 |
| 2014 | 24045 | 153 | Scorie | Base cuivre | 1714601,819 | 5162676,099 | 7,5 | 578,92 |
| 2014 | 24024 | 154 | Indéterminé plat | Fer | | | 0,9 | |
| 2014 | 24037 | 155 | Pion | Verre | 1714605,782 | 5162648,255 | 2,4 | 579,19 |
| 2014 | 24024 | 156 | | Verre | | | | 575,88 |
| 2014 | 24024 | 157 | Perle | Base cuivre | | | 1,6 | |
| 2014 | 24024 | 158 | Indéterminé tige | Fer | 1714616,476 | 5162719,07 | 1 | 576,04 |
| 2014 | 24024 | 159 | | Verre | | | | 575,85 |
| 2014 | 24024 | 160 | Scorie | Fer | | | 26,5 | |
| 2014 | 24024 | 161 | Bracelet | Base cuivre | | | 1,8 | 575,88 |
| 2014 | 24024 | 162 | | Verre | | | | 575,84 |
| 2014 | 24020 | 163 | Jeton | Ceramique | | | | |
| 2014 | 24020-1 | 164 | | Verre | | | | |
| 2014 | 24024 | 165 | Anneau | Base cuivre | 1714613,991 | 5162723,237 | 8,3 | 576,05 |
| 2014 | 24045 | 166 | Ferrures decoratives | Base cuivre | 1714590,441 | 5162704,269 | 0,4 | 24045 |
| 2014 | 24013 | 167 | Indéterminé tôle | Base cuivre | | | 0,1 | |
| 2014 | 24024 | 168 | Ferrure | Fer | | | 6,3 | 575,86 |
| 2014 | 24024 | 169 | Outils trop fragmentaires | Fer | | | 36,4 | |
| 2014 | 24024 | 170 | Indéterminé plat | Fer | | | 2,3 | |
| 2014 | 24045 | 171 | | Ceramique | 1714601,55 | 5162677,262 | | 578,82 |
| 2014 | H.C | 172 | Scorie | Fer | 1714595,237 | 5162670,159 | 36,7 | 578,57 |
| 2014 | 24020-1 | 173 | | Ceramique | | | | |
| 2014 | 24042 | 174 | Clou | Fer | 1714590,152 | 5162695,276 | 36,6 | 578,39 |
| 2014 | 24024 | 175 | Clous de chaussures | Fer | 1714615,367 | 5162719,964 | 0,7 | 576,11 |
| 2014 | 24046 | 176 | Anneau | Fer | 1714610,643 | 5162648,777 | 20,6 | 578,87 |
| 2014 | 24024 | 477 | Indéterminé objet | Base cuivre | 1714621,04 | 5162722,638 | 1,4 | 575,56 |
| 2014 | 24024 | 178 | Ferrure | Fer | | | 18,6 | 575,85 |
| 2014 | HC | 179 | Rivet | Base cuivre | | | 0,3 | |
| 2014 | 24024 | 180 | Coffre | Base-cuivre | | | 2 | 575,92 |
| 2014 | 24024 | 181 | Stylets | Fer | 1714618,449 | 5162716,217 | 9,3 | 576,09 |
| 2014 | 24024 | 182 | Rivet | Base cuivre | | | 2,1 | 575,99 |
| 2014 | 24024 | 183 | Jeton | Ceramique | 1714619,514 | 5162715,812 | | 576,1 |
| 2014 | 24024 | 184 | Indéterminé plat | Fer | 1714619,413 | 5162716,471 | 4,4 | 576,04 |
| 2014 | 24024 | 185 | Rivet | Base cuivre | 1714617,664 | 5162715,754 | 11 | 576,12 |
| 2014 | 24024 | 186 | Ferrures decoratives | Base cuivre | 1714618,857 | 5162716,788 | 2,6 | 576,03 |
| 2014 | 24024 | 187 | Indéterminé plat | Fer | | | 8,3 | 575,98 |
| 2014 | 24024 | 188 | Rivet | Base cuivre | | | 0,9 | 575,95 |
| 2014 | 24024 | 189 | Indéterminé tôle | Base cuivre | 1714614,126 | 5162722,817 | 1,1 | 576,02 |
| 2014 | 24024 | 190 | Indéterminé tôle | Base cuivre | 1714616,63 | 5162721,552 | 1,4 | 576,08 |
| 2014 | 24024 | 191 | Indéterminé tige | Base cuivre | | | 0,3 | 575,88 |
| 2014 | HC | 193 | Monnaie | | | | | |
| 2014 | 24024 | 192 | Agrafe | Fer | 1714617,717 | 5162717,842 | 6,6 | 576,04 |
| 2014 | 24024 | 193? | Indéterminé tôle | Base cuivre | 1714615,456 | 5162720,01 | 0,3 | 576,07 |
| 2014 | 24024 | 194 | Projectile | Fer | 1714616,517 | 5162721,917 | 12,6 | 576 |
| 2014 | 24024 | 195 | Agrafe | Fer | 1714615,23 | 5162719,931 | 19,2 | 576,11 |

| | | | | | | | | |
|------|---------|-----|--------------------------|-----------------|-------------|-------------|-------|--------|
| 2014 | 24056 | 196 | | Fer/base cuivre | | | | |
| 2014 | 24024 | 197 | Indéterminé tôle | Base cuivre | 1714617,067 | 5162721,995 | 0,1 | 576,01 |
| 2014 | 24059-1 | 198 | Indéterminé tige | Fer | | | 0,7 | |
| 2014 | 24024 | 199 | Fibule | Base cuivre | 1714616,928 | 5162717,797 | 1,1 | 576,07 |
| 2014 | 24024 | 200 | Simpulum | Base cuivre | | | 1,4 | 575,95 |
| 2014 | 24024 | 201 | Indéterminé plat | Fer | 1714614,104 | 5162722,41 | 7,8 | 576,07 |
| 2014 | 24024 | 202 | Indéterminé plat | Fer | 1714615,098 | 5162719,964 | 1,8 | 576,11 |
| 2014 | 24024 | 203 | | Fer | 1714615,651 | 5162720,55 | | 576,09 |
| 2014 | HC | 204 | Rondelle | Base cuivre | | | 0,1 | |
| 2014 | HC | 205 | Indéterminé tige | Base cuivre | | | 0,4 | |
| 2014 | 24024 | 206 | Indéterminé tôle | Base-cuivre | 1714618,487 | 5162715,769 | 1,7 | 576,1 |
| 2014 | 24024 | 207 | Passoire | Base cuivre | | | 3,4 | 575,87 |
| 2014 | 24024 | 208 | Fibule | Base-cuivre | 1714618,051 | 5162715,919 | 1,3 | 576,1 |
| 2014 | 24061 | 209 | Indéterminé tige | Base cuivre | 1714575,775 | 5162700,259 | 0,1 | 578,42 |
| 2014 | 24061 | 210 | Coulure | Base cuivre | 1714576,393 | 5162695,103 | 0,5 | 575,66 |
| 2014 | 24062-1 | 211 | Indéterminé tôle | Fer | | | 2,5 | |
| 2014 | 24024 | 212 | | Fer | 1714618,203 | 5162715,129 | 20 | 576,1 |
| 2014 | 24024 | 213 | Clou | Fer | 1714616,355 | 5162719,861 | 5,9 | 576 |
| 2014 | 24024 | 214 | Calotte | Base cuivre | | | 43,3 | |
| 2014 | 24061 | 215 | Fibule | Fer | 1714582,621 | 5162696,329 | 5,5 | 578,66 |
| 2014 | 24062-1 | 216 | Pigment | Autre | | | 9,4 | |
| 2014 | 24024 | 217 | Indéterminé tige | Base cuivre | 1714618,54 | 5162715,446 | 1,4 | 576,1 |
| 2014 | 24061 | 218 | Clous de chaussures | Fer | 1714674,654 | 5162732,161 | 2,7 | |
| 2014 | 24059-1 | 219 | Dechets de tabletterie | Os | | | 8,1 | 578,67 |
| 2014 | 24061 | 220 | Chute | Fer | 1714583,7 | 5162697,404 | 1,5 | 578,57 |
| 2014 | 24024 | 221 | Rivet | Base cuivre | 1714618,397 | 5162714,668 | 2,6 | 576,1 |
| 2014 | 24024 | 222 | Calotte | Fer | 1714616,216 | 5162719,914 | 41,2 | 576,06 |
| 2014 | 24061 | 223 | Pique-bœuf | Fer | 1714584,188 | 5162697,232 | 14,1 | 578,56 |
| 2014 | 24024 | 224 | Charnière | Fer | | | 10,3 | 575,84 |
| 2014 | 24059-1 | 225 | Cuiller a cosmetique | Base cuivre | 1714577,421 | 5162694,467 | 6 | 578,51 |
| 2014 | 24061 | 226 | Indéterminé tôle | Fer | 1714584,446 | 5162696,474 | 2,6 | 578,55 |
| 2014 | 24024 | 227 | Monnaie | Base-cuivre | | | | 575,84 |
| 2014 | 24061 | 228 | Flan monetaire | Base cuivre | 1714575,513 | 5162695,151 | | 578,66 |
| 2014 | 24061 | 229 | Fibule | Base cuivre | 1714580,551 | 5162694,388 | 104 | 578,66 |
| 2014 | 24063-1 | 230 | Perle | Verre | 1714576,577 | 5162698,242 | 15 | 578,31 |
| 2014 | 24064 | 231 | Clous de chaussures | Fer | | | 1,7 | |
| 2014 | 24064 | 233 | Clous de chaussures | Fer | | | 2,6 | |
| 2014 | 24024 | 234 | Charnière | Fer | | | 14,2 | |
| 2014 | 24024 | 235 | Fourreau | Base cuivre | | | 1,3 | 575,84 |
| 2014 | 24024 | 236 | Applique | Base cuivre | | | 1,8 | 575,83 |
| 2014 | 24061 | 237 | Monnaie | Base cuivre | 1714573,136 | 5162699,834 | | 578,52 |
| 2014 | 24061 | 238 | | Verre | 1714579,88 | 5162688,902 | | 578,76 |
| 2014 | 24024 | 239 | Pion | Lithique | | | 1,5 | 575,84 |
| 2014 | 24024 | 240 | Ferrure | Fer | | | 1,8 | 575,83 |
| 2014 | 24024 | 241 | | Verre | | | | |
| 2014 | 24024 | 242 | Indéterminé plat | Fer | | | 2 | 575,9 |
| 2014 | 24024 | 243 | Rivet | Base cuivre | | | 0,4 | 575,83 |
| 2014 | 24024 | 244 | Scorie | Fer | | | 13,1 | |
| 2014 | 24024 | 245 | Indéterminé tôle | Fer | | | 0,9 | |
| 2014 | 24024 | 246 | Aiguiseur | Lithique | | | 111,6 | 575,94 |
| 2014 | 24024 | 247 | Couteau multifonctionnel | Fer | | | 3,9 | 575,93 |
| 2014 | 24017 | 248 | Jeton | Ceramique | | | | |
| 2014 | 24017 | 249 | Jeton | Ceramique | | | | |
| 2014 | 24017 | 250 | Jeton | Ceramique | | | | |
| 2014 | 24017 | 251 | Jeton | Ceramique | | | | |
| 2014 | 24017 | 252 | Jeton | Ceramique | | | | |
| 2014 | 24024 | 253 | Indéterminé tôle | Fer | | | 6 | |

| | | | | | | | | |
|------|---------|-----|-------------------------|-------------|-------------|-------------|-------|--------|
| 2014 | 24018 | 254 | Indéterminé tôle | Fer | | | 24,5 | |
| 2014 | 24061 | 255 | Jeton | Ceramique | | | | 578,64 |
| 2014 | 24061 | 256 | Clou | Fer | 1714578,376 | 5162695,826 | 21,9 | 578,68 |
| 2014 | 24061 | 257 | Agrafe de reparation | Plomb | 1714671,42 | 5162732,608 | 36,5 | 578,67 |
| 2014 | 24024 | 258 | Jeton | Ceramiaque | | | | 575,93 |
| 2014 | 24020-1 | 260 | Ferrures decoratives | Base cuivre | | | 1,1 | |
| 2014 | 24020-1 | 261 | Cabochon | Base cuivre | | | 0,3 | |
| 2014 | 24020-1 | 262 | Indéterminé tôle | Base cuivre | | | 6,9 | |
| 2014 | 24020-1 | 263 | Indéterminé tôle | Base cuivre | | | 0,4 | |
| 2014 | 24020-1 | 264 | Goutte | Base cuivre | | | 2,3 | |
| 2014 | 24024 | 265 | Monnaie | Base cuivre | | | | |
| 2014 | 24024 | 266 | Indéterminé plat | Fer | | | 4,9 | 575,81 |
| 2014 | 24067-2 | 267 | Indéterminé objet | Fer | 1714587,39 | 5162701,819 | 43,3 | 577,61 |
| 2014 | 24064 | 268 | Perle | Base cuivre | | | 4,5 | 575,88 |
| 2014 | 24059-1 | 269 | Ferrures decoratives | Base cuivre | | | 0,4 | 578,52 |
| 2014 | 24024 | 270 | Indéterminé tige | Fer | | | 4,8 | 575,82 |
| 2014 | 24057 | 271 | | Ceramique | 1714599,394 | 5162685,369 | | 578,27 |
| 2014 | 24073 | 272 | Clous de chaussures | Fer | | | 1,1 | |
| 2014 | 24073 | 273 | Coffre | Os | | | 17,6 | |
| 2014 | 24006 | 274 | | Fer | | | 173 | |
| 2014 | 24059-1 | 275 | | Lithique | 1714595,691 | 5162659,675 | | 578,38 |
| 2014 | 24024 | 276 | Cabochon | Base cuivre | | | 0,3 | 575,81 |
| 2014 | 24051 | 277 | Indéterminé tige | Fer | | | 4,3 | |
| 2014 | 24024 | 278 | Indéterminé tôle | Fer | | | 13 | 575,8 |
| 2014 | 24024 | 279 | Ferrure | Fer | | | 12,8 | |
| 2014 | 24024 | 280 | Indéterminé tige | Base cuivre | | | 0,3 | 575,94 |
| 2014 | 24024 | 281 | | Verre | | | | 575,81 |
| 2014 | 24073 | 283 | Aiguiseur | Lithique | | | 138,9 | |
| 2014 | 24024 | 284 | Scorie | Fer | | | 17,3 | |
| 2014 | 24024 | 285 | Indéterminé plat | Fer | | | 20,3 | 575,83 |
| 2014 | 24071-1 | 286 | Agrafe de reparation | Plomb | | | 13,2 | |
| 2014 | HC | 288 | Jeton | Ceramique | | | | |
| 2014 | 24024 | 289 | Calotte | Fer | | | 55,7 | 575,95 |
| 2014 | 24061 | 290 | Cabochon | Base cuivre | 1714585,128 | 5162689,965 | 0,3 | 578,71 |
| 2014 | 24024 | 291 | Monnaie | base cuivre | | | | 575,93 |
| 2014 | 24024 | 292 | Indéterminé tôle | Base cuivre | | | 0,5 | 575,95 |
| 2014 | 24024 | 293 | Calotte | Fer | | | 50,9 | 575,88 |
| 2014 | 24024 | 294 | Perle | Base cuivre | | | 5,1 | 575,89 |
| 2014 | 24024 | 295 | Scorie | Base cuivre | | | 8,4 | 575,9 |
| 2014 | 24024 | 296 | Jeton | Ceramique | | | | 575,85 |
| 2014 | 24074 | 297 | Aiguiseur | Lithique | | | 142 | |
| 2014 | 24064 | 298 | Clous de chaussures | Fer | | | 0,6 | |
| 2014 | 24041 | 299 | Jeton | Ceramique | | | | |
| 2014 | 24073 | 300 | Spatules | Fer | | | 48,2 | |
| 2014 | 24074 | 301 | | Verre | | | | |
| 2014 | 24024 | 302 | Indéterminé plat | Fer | 1714591,102 | 5162694,89 | 23 | 578,96 |
| 2014 | 24061 | 303 | Clous de chaussures | Fer | 1714580,093 | 5162697,165 | 0,9 | 578,65 |
| 2014 | 24024 | 304 | | Fer | 1714622,318 | 5162722,457 | | 575,96 |
| 2014 | 24048 | 305 | Indéterminé tôle | Base cuivre | 1714587,466 | 5162685,138 | 3,1 | 578,67 |
| 2014 | 24057 | 306 | Monnaie | Base cuivre | 1714600,982 | 5162684,461 | | 578,19 |
| 2014 | 24024 | 307 | Indéterminé plat | Fer | | | 5,4 | 575,12 |
| 2014 | 24024 | 308 | Indéterminé plat | Fer | | | 5,9 | 576,09 |
| 2014 | 24024 | 309 | Cabochon | Base cuivre | | | 0,6 | 575,85 |
| 2014 | 24073 | 310 | | Verre | 1714603,355 | 5162644,858 | | 578,48 |
| 2014 | 24075 | 311 | Meule | Lithique | 1714590,887 | 5162649,696 | | 579,88 |
| 2014 | 24042 | 312 | Indéterminé tôle | Fer | | | 6 | |

| | | | | | | | | |
|------|---------|-----|-----------------------|--------------------|-------------|-------------|-------|--------|
| 2014 | 24076 | 313 | | Verre | 1714602,936 | 5162648,35 | | 579,42 |
| 2014 | 24075 | 314 | Jeton | Ceramique | 1714592,884 | 5162649,951 | | 579,92 |
| 2014 | 24076 | 315 | Jeton | Ceramique | 1711279,217 | 5171011,919 | 5,5 | 549,39 |
| 2014 | 24077 | 316 | Applique | Base cuivre | 1714588,909 | 5162692,716 | 2,8 | 577,86 |
| 2014 | 24077 | 317 | Indéterminé tige | Base cuivre | 1714661,694 | 5162720,501 | 2,4 | 577,87 |
| 2014 | 24034-1 | 318 | | Ceramique | | | | 577,57 |
| 2014 | 24061 | 319 | Jeton | Ceramique | 1722986,599 | 5166041,434 | | 578,6 |
| 2014 | 24045 | 320 | Fibule | Base cuivre | 1714592,55 | 5162670,963 | 1,1 | 578,74 |
| 2014 | H.C | 321 | Meule | Lithique | 1714594,254 | 5162689,665 | | 578,45 |
| 2014 | 24067-4 | 322 | Coffre | Os | 1714588,135 | 5162701,975 | 11,8 | 576,82 |
| 2014 | 24061 | 323 | Agrafe | Fer | 1714578,492 | 5162698,81 | 4,1 | 578,65 |
| 2014 | 24077 | 324 | | Lithique | 1714588,148 | 5162692,683 | | 578,6 |
| 2014 | 24070 | 325 | Ferrure | Fer | 1714602,468 | 5162674,711 | 29,2 | 577,6 |
| 2014 | 24075 | 326 | Outil Indéterminé | Fer | 1714604,976 | 5162647,009 | 182,7 | 579,3 |
| 2014 | 24061 | 327 | Coin monetaire | Fer | 1714583,406 | 5162693,187 | 36,9 | 578,75 |
| 2014 | 24061 | 328 | | Base cuivre | 1714585,33 | 5162693,952 | 2,7 | 578,61 |
| 2014 | 24061 | 329 | Jeton | Ceramique | 1714613,372 | 5162629,211 | | 578,55 |
| 2014 | 24024 | 330 | Goutte | Base cuivre | | | 0,4 | |
| 2014 | 24045 | 331 | Chute | Base cuivre | 1714605,856 | 5162677,015 | 1,7 | 579,26 |
| 2014 | 24045 | 332 | Anneau | Fer | 1714605,311 | 5162676,68 | 7,3 | 579,19 |
| 2014 | 24045 | 333 | | Verre | 1714596,178 | 5162673,75 | | 578,93 |
| 2014 | 24045 | 334 | Coulure | Base cuivre | 1714581,762 | 5162701,874 | 0,3 | 578,44 |
| 2014 | 24024 | 335 | Jeton | Ceramique | 1714617,095 | 5162715,507 | | 576,11 |
| 2014 | 24045 | 336 | Piton | Fer | 1714579,535 | 5162704,013 | 22 | 578,42 |
| 2014 | 24045 | 337 | Indéterminé tôle | Base cuivre | 1714578,55 | 5162703,105 | 2,6 | 578,36 |
| 2014 | 24045 | 338 | Coulure | Base cuivre | 1714578,041 | 5162703,71 | 0,5 | 578,36 |
| 2014 | 24045 | 339 | Indéterminé tôle | Base cuivre | 1714577,62 | 5162703,198 | 0,1 | 578,33 |
| 2014 | 24045 | 340 | | Autre | 1714577,932 | 5162703,01 | | 578,34 |
| 2014 | 24045 | 341 | Indéterminé plat | Fer | 1714578,887 | 5162702,69 | 11 | 578,36 |
| 2014 | 24045 | 342 | Ferrure | Fer | 1714577,69 | 5162701,859 | 22,3 | 578,29 |
| 2014 | 24045 | 343 | Indéterminé tige | Fer | 1714581,346 | 5162701,73 | 2,8 | 578,46 |
| 2014 | 2486-2 | 344 | Concasseur | Lithique | | | | 578,18 |
| 2014 | 24024 | 345 | Indéterminé tôle | Fer | 1714616,792 | 5162716 | 3,1 | 576,14 |
| 2014 | 24086-2 | 346 | Jeton | Ceramique | | | | 577,95 |
| 2014 | 24024 | 347 | Indéterminé tôle | Fer | 1714617,505 | 5162714,206 | 2,1 | 576,13 |
| 2014 | 24024 | 348 | Ferrure | Fer | 1714617,064 | 5162714,989 | 3,4 | 576,14 |
| 2014 | 24077 | 349 | Monnaie | Base cuivre | 1714586,877 | 5162692,415 | | 578,61 |
| 2014 | 24024 | 350 | Jeton | Ceramique | 1714616,872 | 5162715,364 | | 576,13 |
| 2014 | 24077 | 351 | | Verre | 1714615,232 | 5162627,454 | | 578,51 |
| 2014 | 24061 | 352 | Indéterminé tôle | Base cuivre | 1714580,135 | 5162699,442 | 0,4 | 578,51 |
| 2014 | 24048 | 353 | Monnaie | Base cuivre | 1714584,104 | 5162686,341 | | 578,76 |
| 2014 | 24086-2 | 354 | Scorie | Fer | | | 10,5 | 577,86 |
| 2014 | 24086-2 | 355 | Scorie | Fer | | | 14,3 | 577,97 |
| 2014 | 24024 | 356 | Jeton | Ceramique | 1714616,548 | 5162715,042 | | 576,18 |
| 2014 | 24024 | 357 | Scorie | Fer | 1714616,85 | 5162714,581 | 6,6 | 576,14 |
| 2014 | 24059-2 | 358 | | Lithique | 1714596,199 | 5162658,532 | | 577,62 |
| 2014 | 23059-1 | 359 | Aiguille | fer | 1714593,988 | 5162658,546 | 3,2 | 579 |
| 2014 | 24024 | 360 | Indéterminé tôle | Fer | 1714616,771 | 5162714,808 | 4,2 | 575,23 |
| 2014 | 24024 | 361 | Indéterminé tôle | Fer | 1714616,827 | 5162714,475 | 3,4 | 575,25 |
| 2014 | 24024 | 362 | Scorie | Base cuivre | 1714616,923 | 5162714,126 | 1,3 | 575,23 |
| 2014 | 24024 | 363 | Scorie | Fer | 1714649,102 | 5162744,658 | 19,9 | 575,55 |
| 2014 | 24067-4 | 364 | Intaille | Verre | 1714587,74 | 5162702,022 | 1,5 | 576,71 |
| 2014 | 24085 | 365 | | Verre | 1714583,068 | 5162678,849 | | 578,3 |
| 2014 | 24024 | 366 | Cabochon | Base cuivre | 1714616,665 | 5162717,456 | 0,1 | 576,12 |
| 2014 | 24024 | 367 | Indéterminé objet | Base cuivre | 1714616,339 | 5162716,842 | 2,6 | 576,11 |
| 2014 | 24024 | 368 | | Base cuivre et Fer | 1714616,625 | 5162715,987 | | 576,13 |
| 2014 | 24024 | 369 | Chute | Base cuivre | 1714616,598 | 5162715,783 | 1,7 | 576,13 |
| 2014 | 24024 | 370 | Clous de construction | Fer | 1714616,329 | 5162714,836 | 19 | 576,16 |
| 2014 | 24024 | 371 | Scorie | Fer | 1714616,76 | 5162714,104 | 3,4 | 576,14 |
| 2014 | 24091 | 372 | Scorie | Fer | 1714580,891 | 5162688,658 | 8,8 | 578,65 |
| 2014 | 24061 | 373 | Agrafe | Fer | 1714580,234 | 5162698,76 | 1,2 | 578,54 |

| | | | | | | | | |
|------|---------|-----|-----------------------|-------------|-------------|-------------|------|--------|
| 2014 | 24024 | 374 | Gouge | Fer | 1714616,061 | 5162716,323 | 21,4 | 576,11 |
| 2014 | 24024 | 375 | Jeton | Ceramique | 1714616,647 | 5162714,199 | | 576,17 |
| 2014 | 24024 | 376 | Monnaie | Base cuivre | 1714616,916 | 5162713,466 | | 576,19 |
| 2014 | 24024 | 377 | Scorie | Fer | 1714617 | 5162713,5 | 3,7 | 546,16 |
| 2014 | 24001 | 378 | Rivet | Base cuivre | 1714656,035 | 5162688,843 | 5,6 | 578,72 |
| 2014 | 24071-1 | 379 | Indéterminé tige | Fer | 1714580,813 | 5162688,477 | 0,5 | 578,75 |
| 2014 | 24061 | 380 | | Verre | 1714582,425 | 5162696,983 | | 578,61 |
| 2014 | 24097 | 381 | Scorie | Base cuivre | 1714588,686 | 5162653,34 | 65,4 | 579,65 |
| 2014 | 24094 | 382 | Indéterminé plat | Fer | 1714601,649 | 5162678,205 | 4,6 | 578,47 |
| 2014 | 24094 | 383 | | Os | 1714603,91 | 5162676,93 | | 578,4 |
| 2014 | 24094 | 384 | | Verre | 1714602,353 | 5162677,678 | | 578,35 |
| 2014 | H.C | 385 | | Base cuivre | 1714598,283 | 5162675,275 | | 578,86 |
| 2014 | 24082 | 386 | Clou | Fer | 1714584,674 | 5162698,77 | 4,3 | 578,41 |
| 2014 | 24020-1 | 387 | Indéterminé tôle | Base cuivre | | | 2,1 | |
| 2014 | 24082 | 388 | Anneau | Base cuivre | 1714584,281 | 5162701,519 | 3,3 | 578,3 |
| 2014 | 24082 | 389 | Bracelet | Lignite | 1714584,318 | 5162701,427 | 2,9 | 578,24 |
| 2014 | 24082 | 390 | Cabochoon | Base cuivre | 1714584,289 | 5162696,896 | 0,1 | 578,23 |
| 2014 | 24082 | 391 | Indéterminé tôle | Fer | 1714584,549 | 5162696,784 | 1,5 | 578,25 |
| 2014 | 24082 | 392 | Clous de construction | Fer | 1714584,151 | 5162701,575 | 43,6 | 578,24 |
| 2014 | 24059 | 393 | | Lithique | | | | |
| 2014 | 24097 | 395 | Jeton | Ceramique | 1714589,866 | 5162653,971 | | 579,65 |
| 2014 | 24086-2 | 396 | Clou | Fer | 1714580,943 | 5162688,528 | 5,9 | 578,43 |
| 2014 | 24061 | 397 | | Ceramique | 1714583,74 | 5162698,603 | | 578,64 |
| 2014 | 24061 | 398 | Jeton | Ceramique | 1714583,755 | 5162698,566 | | 578,64 |
| 2014 | 24024 | 399 | Ferrure | Fer | 1714616,147 | 5162717,325 | 14,2 | 576,15 |
| 2014 | 24024 | 400 | Jeton | Ceramique | 1714615,849 | 5162714,689 | | 576,16 |
| 2014 | 24024 | 401 | Cabochoon | Base cuivre | 1714616,592 | 5162713,768 | 0,1 | 576,78 |
| 2014 | 24024 | 402 | Jeton | Ceramique | 1714616,084 | 5162713,394 | | 576,2 |
| 2014 | 24024 | 403 | Ferrure | Fer | 1714615,74 | 5162713,257 | 1,7 | 576,21 |
| 2014 | 24024 | 404 | Jeton | Ceramique | 1714615,463 | 5162713,277 | | 576,22 |
| 2014 | 24024 | 405 | Jeton | Ceramique | 1714615,389 | 5162713,139 | | 576,22 |
| 2014 | 24061 | 406 | | Base cuivre | 1714617,295 | 5162604,202 | | 578,61 |
| 2014 | HC | 407 | Monnaie | Base cuivre | | | | |
| 2014 | HC | 408 | Monnaie | Base cuivre | | | | |
| 2014 | HC | 409 | Monnaie | Base cuivre | | | | |
| 2014 | HC | 410 | Monnaie | Base cuivre | | | | |
| 2014 | HC | 411 | Monnaie | Base cuivre | | | | |
| 2014 | 24071-1 | 414 | Jeton | Ceramique | 1714581,202 | 5162687,932 | | 578,44 |
| 2014 | 24071-1 | 415 | Clou | Fer | 1714581,209 | 5162687,967 | 7,8 | 578,45 |
| 2014 | 24026 | 416 | Balance | Base cuivre | 1714582,094 | 5162698,358 | 4,8 | 578,3 |
| 2014 | 24026 | 417 | Monnaie | Base cuivre | 1714582,058 | 5162699,56 | | 578,36 |
| 2014 | 24109 | 418 | Monnaie | Base cuivre | 1714601,033 | 5162674,937 | | 578,26 |
| 2014 | 24086-2 | 419 | | Lithique | 1714581,019 | 5162687,848 | | 578,38 |
| 2014 | 24086-2 | 420 | Croc | Fer | 1714581,792 | 5162688,693 | 47,3 | 578,41 |
| 2014 | 24016 | 421 | | Base cuivre | | | | |
| 2014 | 24016 | 422 | Silex | Lithique | 1714643,174 | 5162735,071 | | 575,33 |
| 2014 | 24087-1 | 423 | Indéterminé plat | Fer | 1714579,209 | 5162700,472 | 7,1 | 578,44 |
| 2014 | 24103 | 424 | Polissoir | Lithique | 1714597,863 | 5162638,371 | 68 | 579,39 |
| 2014 | 24103 | 425 | Polissoir | Lithique | 1714591,146 | 5162657,438 | 35 | 579,21 |
| 2014 | 24103 | 426 | Polissoir | Lithique | 1714592,018 | 5162657,139 | 93 | 579,18 |
| 2014 | H.C | 427 | | Fer | 1714610,155 | 5162665,412 | | 578,09 |
| 2014 | 24086-2 | 428 | Jeton | Ceramique | 1714580,414 | 5162687,64 | | 584,46 |
| 2014 | 24024 | 429 | | Verre | 1714615,416 | 5162715,507 | | 576,2 |
| 2014 | 24024 | 430 | Agrafe de ceinturon | Base cuivre | 1714615,38 | 5162715,6 | 13,7 | 576,2 |
| 2014 | 24024 | 431 | Rivet | Base cuivre | 1714614,807 | 5162716,825 | 2,2 | 576,16 |
| 2014 | 24024 | 432 | Indéterminé tige | Fer | 1714614,371 | 5162717,244 | 0,2 | 576,17 |
| 2014 | 24024 | 433 | | Verre | 1714611,487 | 5162726,966 | | 576,16 |
| 2014 | 24024 | 434 | Fibule | Fer | 1714707,331 | 5162754,724 | 1,1 | 576,11 |
| 2014 | 24024 | 435 | Ferrure | Fer | 1714614,847 | 5162718,455 | 5 | 576,12 |
| 2014 | 24024 | 436 | Jeton | Ceramique | 1714614,904 | 5162718,854 | | 576,11 |
| 2014 | 24024 | 437 | Anneau | Base cuivre | 1714615,443 | 5162719,23 | 1,9 | 576,07 |

| | | | | | | | | |
|------|---------|-----|------------------|-------------|-------------|-------------|------|--------|
| 2014 | 24024 | 438 | Monnaie | Base cuivre | 1714614,083 | 5162721,38 | | 576,09 |
| 2014 | 24024 | 439 | Silex | Lithique | 1714613,65 | 5162722,66 | | 576,09 |
| 2014 | 24086-2 | 440 | Agrafe | Fer | 1714582,164 | 5162689,11 | 2,3 | 577,44 |
| 2014 | 24086-2 | 441 | Indéterminé tige | Fer | 1714581,7 | 5162688,926 | 3,4 | 577,44 |
| 2014 | 24056-1 | 442 | Indéterminé plat | Fer | 1714623,865 | 5162727,581 | 97,6 | 575,84 |
| 2014 | 24503-1 | 443 | Fusaïole | Ceramique | 1714630,975 | 5162730,621 | 4,1 | 575,62 |
| 2014 | 24057 | 444 | Rivet | Fer | 1714601,2 | 5162684,86 | 13,9 | 578 |
| 2014 | 24056-1 | 445 | Polissoir | Lithique | 1714623,693 | 5162727,824 | 93,7 | 575,85 |
| 2014 | HC | 446 | Monnaie | Base cuivre | | | | |
| 2014 | H.C | 448 | Jeton | Ceramique | 1714606,063 | 5162671,674 | | 578,12 |
| 2014 | H.C | 449 | Indéterminé tôle | Base cuivre | 1714599,319 | 5162676,623 | 1,1 | 578,38 |
| 2014 | H.C | 450 | Fibule | Base cuivre | 1714601,926 | 5162676,561 | 0,9 | 578,29 |
| 2014 | 24057? | 451 | Boîtes a sceau | Os | 1714600,973 | 5162685,512 | 2 | 577,99 |
| 2014 | 24086-1 | 452 | Jeton | Ceramique | 1714583,154 | 5162689,084 | 9 | 577,56 |
| 2014 | 24086-1 | 453 | Jeton | Ceramique | 1714583,181 | 5162688,557 | | 577,59 |
| 2014 | 24059-2 | 454 | Statuaire | Terre cuite | 1714593,702 | 5162664,33 | 5,4 | 576,83 |
| 2014 | 24024 | 455 | Indéterminé tôle | Base-cuivre | 1714631,086 | 5162726,576 | 1,9 | |
| 2014 | 24024 | 456 | Perle | Base cuivre | 1714631,24 | 5162725,648 | 2,8 | |
| 2014 | 24058 | 457 | Perle | Base cuivre | 1714594,87 | 5162689,931 | 8,6 | 578,38 |
| 2014 | H.C | 458 | Indéterminé tôle | Base cuivre | 1714602,418 | 5162680,007 | 0,4 | 578,16 |
| 2014 | 24053-1 | 459 | Jeton | Ceramique | 1714625,756 | 5162726,449 | | 575,84 |
| 2014 | 24109 | 460 | Tesselle | Autre | 1714598,867 | 5162654,771 | 2,7 | 579,17 |
| 2014 | 24088 | 461 | Objets refondus | Base cuivre | 1714597,873 | 5162684,377 | 22,4 | 578,31 |
| 2014 | 24088 | 462 | Indéterminé plat | Base cuivre | 1714598,163 | 5162683,89 | 10,1 | 578,33 |
| 2014 | H.C | 463 | Applique | Base cuivre | 1714597,633 | 5162681,161 | 0,9 | 578,56 |
| 2014 | H.C | 464 | Anneau | Fer | 1714600,685 | 5162673,809 | 15,9 | 578,31 |
| 2014 | 24045 | 465 | Indéterminé tôle | Base cuivre | 1714587,181 | 5162671,154 | 2,1 | 578,78 |
| 2014 | 24045 | 466 | Flèche | Fer | 1714585,431 | 5162671,061 | 11,5 | 578,98 |
| 2014 | H.C | 467 | Perle | Base cuivre | 1714585,152 | 5162668,486 | 9,5 | 579,18 |
| 2014 | H.C | 468 | Indéterminé tige | Base cuivre | 1714595,253 | 5162682,712 | 0,8 | 578,48 |
| 2014 | 24016 | 469 | | Os | | | | |
| 2014 | 24097 | 470 | Monnaie | Base cuivre | 1714589,445 | 5162656,44 | | 579,43 |
| 2014 | 24105 | 471 | | Verre | 1714601,212 | 5162649,71 | | 579,21 |
| 2014 | 24096 | 473 | Perle | Base cuivre | 1714590,279 | 5162651,714 | 5,3 | 579,6 |
| 2014 | HC | 474 | | Verre | | | | |
| 2014 | 24024 | 475 | Silex | Lithique | 1714620,194 | 5162726,014 | | 575,57 |
| 2014 | 24024 | 476 | Clou | Fer | 1714625,489 | 5162719,133 | 6,3 | 575,51 |
| 2014 | 24500 | 478 | Coulure | Base cuivre | 1714622,487 | 5162721,814 | 5,7 | 575,58 |
| 2014 | 24504-1 | 479 | Bracelet | Base cuivre | | | 0,9 | |
| 2014 | 24105 | 481 | Fibule | Base cuivre | 1714600,6 | 5162650,166 | 3,3 | 579,22 |
| 2014 | 24086-2 | 482 | Monnaie | Base cuivre | | | | |
| 2014 | 24097 | 486 | Indéterminé tôle | Base cuivre | 1714587,802 | 5162652,505 | 1,6 | 579,64 |
| 2014 | 24061 | 487 | Jeton | Ceramique | 1714579,344 | 5162697,481 | | 578,59 |
| 2014 | 24086-2 | 488 | Jeton | Ceramique | 1714582,165 | 5162689,38 | | 578,26 |
| 2014 | 24037 | 494 | Jeton | Ceramique | 1714587,698 | 5162651,925 | | 579,64 |
| 2014 | 24105 | 495 | | Lithique | 1714602,354 | 5162645,482 | | 579,4 |
| 2014 | 24401 | 498 | Indéterminé tôle | Base cuivre | 1714579,6 | 5162697,593 | 0,5 | 578,68 |
| 2014 | 24401 | 499 | Clou | Fer | 1714579,806 | 5162698,321 | 4,2 | 578,58 |
| 2014 | 24109 | 500 | | Calcaire? | 1714599,192 | 5162654,739 | | 579,35 |
| 2014 | 24086-2 | 502 | Pique-bœuf | Fer | 1714581,01 | 5162687,952 | 6,2 | 578,27 |
| 2014 | 24086-3 | 503 | Monnaie | Base cuivre | 1714580,998 | 5162686,764 | | 578,04 |
| 2014 | 24027 | 504 | Specillum | Base cuivre | 1714588,113 | 5162692,013 | 1,2 | 578,42 |
| 2014 | 24071-1 | 505 | Jeton | Ceramique | 1714584,403 | 5162689,624 | | 578,62 |
| 2014 | 24024 | 506 | Silex | Lithique | 1714997,108 | 5161796,34 | | 575,83 |
| 2014 | 24024 | 507 | Polissoir | Lithique | 1714996,299 | 5161795,803 | 57 | 575,82 |
| 2014 | 24109 | 508 | Bracelet | Base cuivre | 1714599,757 | 5162655,265 | 1,7 | 578,9 |
| 2014 | 24071-1 | 509 | Clou | Fer | 1714584,589 | 5162689,913 | 6 | 578,59 |
| 2014 | 24027 | 510 | Jeton | Ceramique | 1714592,814 | 5162692,557 | | 578,39 |
| 2014 | 24086-2 | 511 | Fibule | Fer | 1714580,76 | 5162688,8 | 1,2 | 578,22 |
| 2014 | 24024 | 512 | | Base cuivre | 1714619,5 | 5162718,636 | | 575,96 |
| 2014 | 24024 | 513 | | Base cuivre | 1714624,449 | 5162718,881 | | 575,87 |
| 2014 | 24504-1 | 514 | | Fer | | | | |
| 2014 | 24024 | 515 | | Base cuivre | 1714620,218 | 5162723,463 | | 575,9 |

| | | | | | | | | |
|------|---------|-----|-------------------------|-------------|-------------|-------------|-------|--------|
| 2014 | 24504-1 | 516 | Jeton | Ceramique | 1714632,037 | 5162732,496 | | 575,13 |
| 2014 | 24504-1 | 517 | Anneau | Base cuivre | 1714632,074 | 5162732,403 | 2,7 | 575,13 |
| 2014 | 24504-1 | 518 | Goutte | Base cuivre | 1714632,074 | 5162732,403 | 1,8 | 575,13 |
| 2014 | 24504-1 | 519 | Indéterminé tôle | Fer | 1714632,634 | 5162733,702 | 55,8 | 576,13 |
| 2014 | 24027 | 520 | | Verre | 1714592,595 | 5162690,888 | 1 | 578,46 |
| 2014 | 24042 | 521 | Eperon | Base cuivre | 1714591,613 | 5162693,36 | 3,4 | 578,39 |
| 2014 | 24073 | 522 | | Base cuivre | 1714695,197 | 5162684,8 | | 578,93 |
| 2014 | 24073 | 523 | Indéterminé tôle | Plomb | 1714602,266 | 5162647,869 | 2,1 | 578,92 |
| 2014 | 24071-1 | 524 | Concasseur | Lithique | 1714584,418 | 5162689,533 | 379 | 578,49 |
| 2014 | 24071-1 | 525 | Indéterminé tige | Fer | 1714583,905 | 5162689,361 | 1,7 | 570,53 |
| 2014 | 24112 | 526 | Recipient | Verre | 1714587,477 | 5162701,681 | 2,2 | 576,71 |
| 2014 | 24024 | 527 | Clous de chaussures | Fer | 1714620,968 | 5162722,685 | 1,2 | 575,96 |
| 2014 | HC | 528 | Clou | Fer | | | 21,5 | 575,48 |
| 2014 | 24073 | 529 | Tas | Fer | 1714601,523 | 5162647,573 | 101,5 | 579 |
| 2014 | 24072 | 530 | Indéterminé plat | Fer | 1714575,119 | 5162696,738 | 28,6 | 578,44 |
| 2014 | 24027 | 531 | Jeton | Ceramique | 1714591,201 | 5162692,175 | | |
| 2014 | 24512 | 532 | Autre mobilier lithique | Lithique | 1714982,512 | 5161795,565 | 78,6 | 576,12 |
| 2014 | HC | 533 | Jeton | Amphore | | | | |
| 2014 | 24508 | 534 | Clous de chaussures | Fer | 1714621,508 | 5162723,33 | 1,4 | 575,98 |
| 2014 | 24508 | 535 | Jeton | Ceramique | 1714621,736 | 5162722,893 | | 575,99 |
| 2014 | 24508 | 536 | Anneau | Fer | 1714621,259 | 5162724,092 | 2,7 | 575,98 |
| 2014 | 24508 | 537 | | Amphore | 1714621,399 | 5162724,147 | | 575,99 |
| 2014 | 24508 | 538 | Indéterminé tôle | Base cuivre | 1714621,091 | 5162724,38 | 1 | 575,99 |
| 2014 | 24027 | 539 | Jeton | Ceramique | | | | |
| 2014 | 24048 | 545 | Rate de production | Base cuivre | 1714946,38 | 5161773,437 | 0,8 | 578,75 |
| 2014 | 24106 | 546 | Indéterminé tôle | Fer | 1714447,166 | 5163042,486 | 4,2 | 578,34 |
| 2014 | 24512 | 547 | Clous de chaussures | Fer | 1714615,598 | 5162713,427 | 1 | 576,15 |
| 2014 | 24512 | 548 | Silex | Lithique | 1714613,012 | 5162724,806 | | 576,1 |
| 2014 | 24086-3 | 549 | Jeton | Ceramique | 1714579,687 | 5162692,42 | | 578 |
| 2014 | 24086-3 | 550 | | Base cuivre | 1714580,43 | 5162687,733 | | 578 |
| 2014 | 24512 | 551 | Fibule | Base cuivre | 1714614,818 | 5162713,763 | 0,5 | 576,16 |
| 2014 | 24512 | 552 | Clous de chaussures | Fer | 1714616,155 | 5162713,379 | 2 | 576,16 |
| 2014 | 24512 | 553 | Monnaie | Base cuivre | 1714616,136 | 5162713,426 | | 576,17 |
| 2014 | 24086-3 | 555 | Jeton | Ceramique | 1714581,439 | 5162687,768 | | 578 |
| 2014 | 24512 | 556 | Recipient | Verre | | | 0,1 | |
| 2014 | 24086-2 | 557 | Indéterminé tôle | Base cuivre | | | 0,8 | 577,5 |
| 2014 | 24071-1 | 558 | Jeton | Ceramique | 1714586,618 | 5162690,224 | | 578,54 |
| 2014 | 24071-1 | 559 | Ferrure | Fer | 1714586,252 | 5162691,144 | 9,8 | 578,58 |
| 2014 | 24071-1 | 560 | Jeton | Ceramique | 1714584,979 | 5162690,476 | | 578,6 |
| 2014 | 24086-2 | 561 | | Lithique | 1714581,019 | 5162687,848 | | 578,38 |
| 2014 | 24071-1 | 562 | Scorie | Fer | 1714586,116 | 5162691,488 | 49,9 | 578,57 |
| 2014 | 24512 | 563 | Monnaie | Argent | 1714615,152 | 5162713,465 | | 576,17 |
| 2014 | 24086-2 | 564 | Jeton | Ceramique | 1714581,584 | 5162688,051 | | 578,12 |
| 2014 | 24512 | 565 | Recipient | Verre | 1714618,116 | 5162723,607 | 0,1 | 576 |
| 2014 | 24086-2 | 566 | Jeton | Ceramique | 1714581,596 | 5162688,077 | | 578,1 |
| 2014 | 24512 | 567 | Monnaie | Base cuivre | 1714618,682 | 5162722,723 | | 576,06 |
| 2014 | 24071-1 | 568 | Recipient | Base cuivre | | | 8,8 | 578,28 |
| 2014 | 24092 | 569 | Indéterminé tôle | Base cuivre | 1714582,512 | 5162699,202 | 1,1 | 578,66 |
| 2014 | 24092 | 570 | Indéterminé tôle | Base cuivre | 1714581,847 | 5162700,875 | 1,3 | 578,6 |
| 2014 | 24404-1 | 571 | Aiguiseur | Lithique | 1714576,497 | 5162695,897 | 22 | 578,48 |
| 2014 | 24048 | 572 | Clou | Fer | 1714596,111 | 5162677,167 | 7,4 | 578,47 |
| 2014 | 24106 | 574 | Fusaïole | Lithique | 1714683,492 | 5162719,317 | 8,7 | 578,32 |
| 2014 | 24512 | 575 | Coulure | Base cuivre | 1714618,614 | 5162721,405 | 0,3 | 576,09 |
| 2014 | 24512 | 576 | Jeton | Ceramique | 1714619,408 | 5162714,941 | | 576,16 |
| 2014 | 24512 | 577 | Indéterminé tôle | Base cuivre | 1714620,373 | 5162712,215 | 0,3 | 576,16 |
| 2014 | 24512 | 578 | Jeton | Ceramique | 1714619,316 | 5162715,442 | | 576,13 |
| 2014 | 24512 | 579 | Jeton | Ceramique | 1714619,567 | 5162715,811 | | 576,12 |

| | | | | | | | | |
|------|---------|-----|----------------------|---------------|-------------|-------------|------|--------|
| 2014 | 24512 | 580 | Monnaie | Base cuivre | 1714619,605 | 5162715,988 | | 576,13 |
| 2014 | 24512 | 581 | Cles | Fer | 1714619,457 | 5162716,144 | 16,8 | 576,11 |
| 2014 | 24512 | 582 | Indéterminé tige | Fer | 1714619,429 | 5162716,241 | 1,2 | 576,11 |
| 2014 | 24512 | 583 | Jeton | Ceramique | 1714619,376 | 5162716,349 | | 576,11 |
| 2014 | 24512 | 584 | Jeton | Ceramique | 1714619,038 | 5162716,333 | | 576,09 |
| 2014 | 24512 | 585 | Pique-bœuf | Fer | 1714618,706 | 5162716,653 | 3,5 | 576,08 |
| 2014 | 24512 | 586 | Jeton | Amphore/ceram | 1714618,613 | 5162716,67 | | 576,09 |
| 2014 | 24512 | 587 | | Base cuivre? | 1714618,985 | 5162717,087 | | 576,07 |
| 2014 | 24512 | 588 | Fibule | Fer | 1714617,841 | 5162716,04 | 4,8 | 576,14 |
| 2014 | 24512 | 589 | Jeton | Ceramique | 1714618,464 | 5162715,771 | | 576,12 |
| 2014 | 24512 | 590 | Ferrure | Fer | 1714618,416 | 5162715,677 | 3,7 | 576,12 |
| 2014 | 24512 | 591 | Indéterminé objet | Fer | 1714618,937 | 5162716,045 | 4,6 | 576,11 |
| 2014 | 24512 | 593 | | Base cuivre | 1714617,699 | 5162714,692 | | 576,19 |
| 2014 | 24519 | 594 | Clous de chaussures | Fer | | | 3,3 | |
| 2014 | 24519 | 596 | Silex | Lithique | | | | |
| 2014 | 24704 | 597 | | Base cuivre | 1714646,379 | 5162738,594 | | 575,38 |
| 2014 | 24704 | 598 | Boucle d'oreille | Or | 1714646,356 | 5162735,862 | 0,1 | 575,32 |
| 2014 | 24512 | 599 | | Base cuivre | 1714616,368 | 5162722,32 | | 576,08 |
| 2014 | 24512 | 600 | | Lithique | 1714619,938 | 5162715,367 | | 576,03 |
| 2014 | H.C | 601 | Fibule | Base cuivre | 1714598,496 | 5162689,037 | 2,3 | 578,37 |
| 2014 | HC | 602 | Aiguiseur | Lithique | | | 1201 | |
| 2014 | 24512 | 603 | Spatules a cire | Base cuivre | 1714617,75 | 5162717,489 | 6,5 | 576,05 |
| 2014 | 24118 | 604 | Indéterminé tôle | Base cuivre | 1714624,551 | 5162608,689 | 0,8 | 576,6 |
| 2014 | 24091? | 606 | Jeton | Ceramique | 1714581,394 | 5162697,682 | | 578,55 |
| 2014 | 24410 | 607 | Clou | Fer | 1714583,449 | 5162690,697 | 4,8 | 578,62 |
| 2014 | 24071-1 | 608 | Clou | Fer | 1714585,26 | 5162691,04 | 9,4 | 578,46 |
| 2014 | 24409-1 | 609 | Indéterminé tôle | Base cuivre | 1714581,394 | 5162697,628 | 0,1 | 578,5 |
| 2014 | 24409-1 | 610 | Coulure | Base cuivre | 1714581,45 | 5162697,597 | 6 | 578,55 |
| 2014 | 24082 | 611 | Clou | Fer | 1714584,37 | 5162699,941 | 11,4 | 578,34 |
| 2014 | 24082 | 612 | Indéterminé lithique | Lithique | 1714584,37 | 5162699,941 | 178 | 578,28 |
| 2014 | 24125 | 613 | Recipient | Base cuivre | 1714698,072 | 5162683,306 | 6,1 | 579,29 |
| 2014 | 24125 | 614 | Cabochon | Base cuivre | 1714605,227 | 5162646,377 | 0,4 | 579,29 |
| 2014 | 24098-2 | 615 | Recipient | Verre | 1714594,93 | 5162661,374 | 2,5 | 577,82 |
| 2014 | 24092 | 616 | Clou | Fer | 1714573,27 | 5162698,629 | 5,1 | 578,5 |
| 2014 | 24092 | 617 | Rivet | Fer | 1714582,783 | 5162694,403 | 6,3 | 578,74 |
| 2014 | 24092 | 618 | Jeton | Ceramique | 1714581,16 | 5162694,102 | | 578,7 |
| 2014 | 24092 | 619 | Jeton | Ceramique | 1714580,401 | 5162693,683 | | 578,05 |
| 2014 | 24512 | 620 | Indéterminé tôle | Base cuivre | 1714617,511 | 5162717,06 | 0,5 | 576,03 |
| 2014 | 24512 | 621 | Fibule | Fer | 1714617,617 | 5162717,823 | 3,3 | 576 |
| 2014 | 24512 | 622 | Perle | Os | 1714616,835 | 5162717,082 | 0,7 | 576,05 |
| 2014 | 24512 | 623 | Bague | Fer | 1714616,947 | 5162715,717 | 6,3 | 576,09 |
| 2014 | 24512 | 624 | Jeton | Ceramique | 1714616,234 | 5162716,402 | | 576,11 |
| 2014 | 24512 | 625 | Indéterminé objet | Autre | 1714616,75 | 5162715,671 | 9,1 | 576,08 |
| 2014 | 24512 | 626 | Jeton | Ceramique | 1714617,617 | 5162714,681 | | 576,08 |
| 2014 | 24512 | 627 | Jeton | Ceramique | 1714617,225 | 5162714,665 | | 576,09 |
| 2014 | 24512 | 628 | Jeton | Ceramique | 1714618,419 | 5162713,558 | | 576,08 |
| 2014 | 24512 | 629 | Jeton | Ceramique | 1714617,229 | 5162715,603 | | 576,1 |
| 2014 | 24512 | 630 | Jeton | Ceramique | 1714617,151 | 5162714,12 | | 576,1 |
| 2014 | 24512 | 631 | | Fer | 1714618,264 | 5162717,413 | | 576,01 |
| 2014 | 24512 | 632 | | Fer | 1714618,507 | 5162717,424 | | 576,01 |
| 2014 | 24512 | 633 | | Base cuivre | 1714614,055 | 5162721,099 | | 576,04 |
| 2014 | 24512 | 634 | | Fer | 1714611,58 | 5162718,932 | | 576,01 |
| 2014 | 24512 | 635 | Rivet | Base cuivre | 1714615,018 | 5162720,03 | 0,1 | 576,01 |
| 2014 | 24512 | 636 | | Fer | 1714615,095 | 5162720,189 | | 576,02 |
| 2014 | 24512 | 637 | Manche (frgt) | Base cuivre | 1714616,504 | 5162721,029 | 5 | 575,91 |
| 2014 | 24512 | 638 | Ferrures decoratives | Base cuivre | 1714609,082 | 5162717,638 | 0,6 | 575,92 |
| 2014 | 24512 | 639 | | Base cuivre | 1714608,968 | 5162717,356 | | 575,95 |
| 2014 | 24512 | 640 | Fibule | Base cuivre | 1714616,387 | 5162720,348 | 0,3 | 575,93 |
| 2014 | 24512 | 641 | | Fer | 1714607,673 | 5162717,121 | | 575,99 |
| 2014 | 24512 | 642 | Jeton | Ceramique | 1714608,084 | 5162716,413 | | 576 |

| | | | | | | | | |
|------|---------|-----|------------------------|-------------|-------------|-------------|-------|----------|
| 2014 | 24512 | 643 | Ferrure | Fer | 1714617,322 | 5162718,89 | 22,3 | 576 |
| 2014 | 24512 | 644 | Fibule | Base cuivre | 1714608,138 | 5162723,967 | 1,9 | 575,99 |
| 2014 | 24512 | 645 | Jeton | Ceramique | 1714615,969 | 5162717,825 | | 576 |
| 2014 | 24512 | 646 | Jeton | Ceramique | 1714616,034 | 5162717,743 | | 576,01 |
| 2014 | 24512 | 647 | | Lithique | 1714616,487 | 5162717,417 | | 575,99 |
| 2014 | 24512 | 648 | Agrafe de reparation | Plomb | 1714621,647 | 5162717,348 | 110,4 | 575,82 |
| 2014 | 24512 | 649 | | Os | 1714613,762 | 5162714,526 | | 576,16 |
| 2014 | 24512 | 650 | | Base cuivre | 1714613,481 | 5162715,233 | | 576,21 |
| 2014 | 24512 | 651 | | Amphore | 1714620,723 | 5162721,759 | | 575,92 |
| 2014 | 24126-1 | 652 | Jeton | Ceramique | 1714670,415 | 5162709,386 | | 578,2 |
| 2014 | 24411-1 | 653 | Indéterminé tôle | Fer | 1714574,848 | 5162694,252 | 0,8 | 578,52 |
| 2014 | 24092 | 654 | Jeton | Amphore | 1714583,701 | 5162696,21 | | 578,64 |
| 2014 | 24092 | 655 | Crochet | Fer | 1714583,936 | 5162694,237 | 1,1 | 578,64 |
| 2014 | 24092 | 656 | Jeton | Ceramique | 1714584,337 | 5162693,364 | | 578,65 |
| 2014 | 24092 | 657 | | Fer | 1714583,381 | 5162692,467 | | 578,77 |
| 2014 | 24092 | 658 | | Base cuivre | 1714584,498 | 5162692,416 | | 578,68 |
| 2014 | 24092 | 659 | Perle | Ambre | 1714581,388 | 5162689,846 | 0,7 | 578,69 |
| 2014 | 24092 | 660 | Indéterminé tige | Fer | 1714581,696 | 5162689,774 | 3 | 578,69 |
| 2014 | 24704 | 661 | Silex | Lithique | 1714646,56 | 5162737,138 | | 575,34 |
| 2014 | 24704 | 662 | Recipient | Verre | 1714645,93 | 5162737,07 | 1 | 575,32 |
| 2014 | 24704 | 663 | Indéterminé tôle | Base cuivre | 1714648,824 | 5162735,692 | 0,5 | 575,31 |
| 2014 | 24704 | 664 | Recipient | Verre | 1714646,017 | 5162736,255 | 0,1 | 575,32 |
| 2014 | 24704 | 665 | Jeton | Ceramique | 1714646,064 | 5162738,06 | | 575,33 |
| 2014 | 24704 | 666 | Bague | Fer | 1714647,87 | 5162735,033 | 0,1 | 575,33 |
| 2014 | 24704 | 667 | Silex | Lithique | 1714646,723 | 5162738,677 | | 575,35 |
| 2014 | 24704 | 668 | Recipient | Verre | 1714646,826 | 5162737,685 | 0,5 | 575,33 |
| 2014 | 24704 | 669 | Indéterminé plat | Fer | 1714647,637 | 5162738,19 | 6,6 | 575,32 |
| 2014 | 24704 | 670 | Recipient | Verre | 1714646,171 | 5162737,005 | 2,2 | 575,33 |
| 2014 | 24704 | 671 | Recipient | Verre | 1714646,936 | 5162738,654 | 0,7 | 575,34 |
| 2014 | 24704 | 672 | Clous de chaussures | Fer | 1714645,782 | 5162737,442 | 3,2 | 575,35 |
| 2014 | 24704 | 673 | Clous de chaussures | Fer | 1714646,486 | 5162738,894 | 2,9 | 575,36 |
| 2014 | 24411 | 674 | | Verre | 1714574,797 | 5162694,382 | | 578,51 |
| 2014 | 24113 | 675 | Scorie | Fer | 1714690,428 | 5162653,205 | 21,9 | 577,91 |
| 2014 | 24094 | 676 | Indéterminé objet | Fer | 1714614,821 | 5162611,214 | 36,3 | 579,73 |
| 2014 | 24094 | 677 | Agrafe | Fer | 1714577,62 | 5162703,93 | 3,6 | 579,76 |
| 2014 | 24094? | 678 | Indéterminé tôle | Base cuivre | 1714617,475 | 5162603,101 | 0,6 | 579,73 |
| 2014 | 24094? | 679 | Rivet | Fer | 1714601,455 | 5162650,398 | 3,1 | 579,01 |
| 2014 | 24094? | 680 | Recipient | Verre | 1714602,835 | 5162648,74 | 0,3 | 578,92 |
| 2014 | 24071-1 | 681 | Ferrure | Fer | 1714585,519 | 5162690,336 | 9,3 | 577,85 |
| 2014 | 24013 | 682 | Indéterminé objet | Fer | 1714599,52 | 5162682,127 | 11,8 | 575,85 |
| 2014 | HC | 684 | Clous de chaussures | Fer | | | 0,5 | |
| 2014 | 24071-1 | 687 | Clou | Fer | 1714584,793 | 5162689,671 | 2,9 | 578,52 |
| 2014 | 24512 | 688 | Dechets de tabletterie | Os | | | 2,9 | 576,04 |
| 2014 | 24512 | 689 | Jeton | Ceramique | | | | |
| 2014 | 24512 | 690 | Jeton | Ceramique | | | | |
| 2014 | 24512 | 691 | Jeton | Ceramique | | | | |
| 2014 | 24512 | 692 | Ferrure | Fer | | | 5,1 | |
| 2014 | 24512 | 693 | Jeton | Ceramique | 1714618,389 | 5162716,204 | | 575,45 ? |
| 2014 | 24512 | 694 | Jeton | Ceramique | 1714618,995 | 5162714,842 | | 576? |
| 2014 | 24512 | 695 | Indéterminé tôle | Fer | 1714617,861 | 5162716,801 | 5,4 | 575,98 |
| 2014 | 24512 | 696 | | Ceramique | 1714618,252 | 5162714,869 | | 576,01 |
| 2014 | 24512 | 697 | Jeton | Ceramique | 1714619,024 | 5162715,068 | | 575,36 |
| 2014 | 24512 | 698 | Chute | Base cuivre | 1714618,473 | 5162714,505 | 2 | 576,01 |
| 2014 | 24512 | 699 | Jeton | Ceramique | 1714618,42 | 5162713,58 | | 575,99 |
| 2014 | 24512 | 700 | Ferrure | Fer | 1714617,915 | 5162715,123 | 82 | 576,06 |
| 2014 | 24512 | 701 | Jeton | Ceramique | 1714618,101 | 5162715,143 | | 575,98 |
| 2014 | 24512 | 702 | Ferrure | Fer | 1714618,557 | 5162714,646 | 9,8 | 575,02 |

| | | | | | | | | |
|------|---------|------|--------------------------|-------------|-------------|-------------|------|--------|
| 2014 | 24512 | 703 | Dechets de tableterie | Os | 1714619,184 | 5162716,939 | 4,6 | 575,9 |
| 2014 | 24512 | 704 | Monnaie | Base cuivre | 1714618,295 | 5162714,574 | | 575,98 |
| 2014 | HC | 705 | Indéterminé tôle | Fer | | | 20,6 | |
| 2014 | 24512 | 707 | Jeton | Ceramique | 1714615,649 | 5162714,652 | | |
| 2014 | 24704 | 708 | Fibule | Base-cuivre | 1714647,874 | 5162739,435 | 2,7 | 575,4 |
| 2014 | 24704 | 709 | Monnaie | Base cuivre | 1714647,875 | 5162739,705 | | 575,47 |
| 2014 | 24704 | 710 | Indéterminé tige | Base cuivre | 1714647,022 | 5162740,227 | 1,6 | 575,54 |
| 2014 | 24704 | 718 | Recipient | Verre | 1714645,088 | 5162739,405 | 0,9 | 575,59 |
| 2014 | HC | | | | | | | |
| 2014 | HC | | | | | | | |
| 2014 | HC | 606 | | Base cuivre | | | | |
| 2014 | HC | 683 | Monnaie | Base cuivre | | | | |
| 2014 | HC | 685 | Indéterminé tôle | Base cuivre | | | 0,6 | |
| 2014 | HC | 686 | | Or | | | | |
| 2014 | 24913 | 1150 | Pendant de harnais | Base-cuivre | | | 8,7 | |
| 2014 | 24508 | 909 | Monnaie | Base-cuivre | | | | |
| 2014 | HC | 1098 | Fibule | Base-cuivre | | | 0,5 | |
| 2014 | 24071-1 | 1224 | Indéterminé objet | Base-cuivre | 1714581,961 | 5162685,425 | 2 | 577,93 |
| 2014 | HC | 1109 | Goutte | Base-cuivre | | | 2,6 | |
| 2014 | 24092 | 781 | Monnaie | Base-cuivre | 1714580,45 | 5162690,851 | | 578,7 |
| 2014 | HC | 1118 | Coulure | Base-cuivre | | | 4,2 | |
| 2014 | 24092 | 1038 | Monnaie | Base-cuivre | 1714581,767 | 5162698,368 | | 578,5 |
| 2014 | HC | 1115 | Perle | Base-cuivre | | | 4,5 | |
| 2014 | 24092 | 879 | Cabochon | Base-cuivre | | | 1,1 | |
| 2014 | HC | 1114 | Perle | Base-cuivre | | | 7,8 | |
| 2014 | 24104 | 940 | Perle | Base-cuivre | | | 5,5 | |
| 2014 | 24092 | 880 | Indéterminé tige | Base-cuivre | 1714586,851 | 5162696,407 | 2,3 | 578,42 |
| 2014 | 24130-1 | 887 | Indéterminé tige | Base-cuivre | | | 1,1 | |
| 2014 | HC | 1105 | Coulure | Base-cuivre | | | 1,7 | |
| 2014 | HC | 1096 | Perle | Base-cuivre | | | 2,3 | |
| 2014 | HC | 1097 | Indéterminé tôle | Base-cuivre | | | 0,4 | |
| 2014 | HC | 1095 | Canal de coulee | Base-cuivre | | | 2,5 | |
| 2014 | 24132 | 1055 | Perle | Base-cuivre | 1714591,973 | 5162695,161 | 6,2 | 578,24 |
| 2014 | 24501 | 765 | Cabochon | Base-cuivre | 1714626,418 | 5162719,126 | 0,6 | 575,72 |
| 2014 | 24526-1 | 773 | Monnaie | Base-cuivre | 1714617,765 | 5162716,096 | | 576,17 |
| 2014 | 24092 | 1026 | Pince a epiler | Base-cuivre | 1714578,418 | 5162695,423 | 2,6 | 578,56 |
| 2014 | 24092 | | Indéterminé tôle | Base-cuivre | 1714583,441 | 5162699,572 | 1,9 | 578,33 |
| 2014 | 24406 | 1025 | Indéterminé tôle | Base-cuivre | 1714577,711 | 5162711,283 | 0,1 | 578,35 |
| 2014 | 24082 | 751 | Indéterminé tôle | Base-cuivre | 1714584,649 | 5162700,052 | 1 | 578,28 |
| 2014 | 24092 | 1034 | Aiguille | Base-cuivre | 1714583,403 | 5162699,126 | 1,1 | 578,4 |
| 2014 | HC | 1117 | Indéterminé objet | Base-cuivre | | | 7,8 | |
| 2014 | 24938 | 1153 | Cabochon | Base-cuivre | | | 0,3 | |
| 2014 | 24548 | 1129 | Coulure | Base-cuivre | 1714996,578 | 5161796,399 | 0,6 | 575,67 |
| 2014 | 24938 | 1152 | Cabochon | Base-cuivre | | | 0,2 | |
| 2014 | 24431 | 865 | Fibule | Base-cuivre | 1714600,215 | 5162663,862 | 0,5 | 578,59 |
| 2014 | 24900 | 1155 | Indéterminé tôle | Base-cuivre | | | 1,7 | |
| 2014 | 24431 | 1156 | Fibule | Base-cuivre | 1714600,215 | 5162663,862 | 1,2 | 578,59 |
| 2014 | HC | 1145 | Objets refondus | Base-cuivre | | | 1,7 | |
| 2014 | 24704 | 711 | Fibule | Base cuivre | 1714646,744 | 5162740,654 | 1,2 | 575,57 |
| 2014 | 24704 | 712 | Fibule | Fer | 1714645,778 | 5162740,378 | 6,7 | 575,61 |
| 2014 | 24704 | 713 | Recipient | Verre | 1714646,565 | 5162739,615 | 2,8 | 575,52 |
| 2014 | 24704 | 714 | Clou | Fer | 1714646,705 | 5162739,67 | 2,4 | 575,52 |
| 2014 | 24704 | 715 | Fibule | Base cuivre | 1714645,749 | 5162739,774 | 2,2 | 575,56 |
| 2014 | 24704 | 716 | Recipient | Verre | 1714645,841 | 5162739,542 | 0,6 | 575,55 |
| 2014 | 24704 | 717 | Clous de chaussures | Fer | 1714645,293 | 5162739,701 | 6 | 575,58 |
| 2014 | 24704 | 719 | Clous de chaussures | Fer | 1714645,868 | 5162739,338 | 6,5 | 575,58 |
| 2014 | 24704 | 720 | Jeton | Ceramique | 1714644,554 | 5162737,879 | | 575,55 |
| 2014 | 24704 | 721 | Recipient | Verre | 1714646,189 | 5162737,582 | 0,9 | 575,51 |
| 2014 | 24704 | 722 | Indéterminé tige | Base cuivre | 1714645,51 | 5162736,774 | 0,1 | 575,55 |

| | | | | | | | | |
|------|---------|------|----------------------|-------------|-------------|-------------|------|--------|
| 2014 | 24704 | 723 | Clous de chaussures | Fer | 1714644,772 | 5162736,599 | 3,5 | 575,56 |
| 2014 | 24704 | 724 | | Ocre | 1714644,676 | 5162736,787 | | 575,56 |
| 2014 | 24704 | 725 | Recipient | Verre | 1714646,103 | 5162734,739 | 0,1 | 575,45 |
| 2014 | 24704 | 726 | Jeton | Amphore | 1714646,109 | 5162734,806 | | 575,45 |
| 2014 | 24704 | 727 | Recipient | Verre | 1714646,12 | 5162734,832 | 0,6 | 575,45 |
| 2014 | 24704 | 728 | Recipient | Verre | 1714646,114 | 5162734,712 | 0,1 | 575,45 |
| 2014 | 24704 | 729 | Recipient | Verre | 1714646,081 | 5162734,741 | 0,7 | 575,45 |
| 2014 | 24704 | 730 | Recipient | Verre | 1714646,162 | 5162734,698 | 4,7 | 575,45 |
| 2014 | 24016 | 731 | Monnaie | Base cuivre | 1714643,131 | 5162731,794 | | 575,44 |
| 2014 | 24016 | 732 | Monnaie | Base cuivre | 1714642,264 | 5162731,729 | | 575,48 |
| 2014 | 24512 | 733 | Polissoir | Lithique | 1714621,647 | 5162717,348 | 193 | 575,82 |
| 2014 | 24512 | 734 | Jeton | Ceramique | 1714621,647 | 5162717,348 | | 575,82 |
| 2014 | 24512 | 735 | Jeton | Ceramique | 1714621,647 | 5162717,348 | | 575,82 |
| 2014 | 24512 | 736 | Jeton | Ceramique | 1714621,647 | 5162717,348 | | 575,82 |
| 2014 | 24512 | 737 | Jeton | Ceramique | 1714621,647 | 5162717,348 | | 575,82 |
| 2014 | 24512 | 738 | Pique-bœuf | Fer | 1714621,647 | 5162717,348 | 62,7 | 575,82 |
| 2014 | 24512 | 739 | Indéterminé plat | Fer | 1714621,647 | 5162717,348 | 23,6 | 575,82 |
| 2014 | 24512 | 740 | Indéterminé lithique | Lithique | 1714621,647 | 5162717,348 | 63 | 575,82 |
| 2014 | 24114-1 | 743 | Silex | Lithique | 1714600,552 | 5162657,464 | | 578,38 |
| 2014 | 24114-2 | 744 | Fusaïole | Terre cuite | 1714600,282 | 5162657,195 | 51,3 | 575,65 |
| 2014 | 24092 | 745 | Indéterminé tôle | Fer | 1714582,704 | 5162695,469 | 1,2 | 578,65 |
| 2014 | 24092 | 746 | Clou | Fer | 1714583,89 | 5162694,434 | 2,6 | 578,63 |
| 2014 | HC | 1008 | Monnaie | | | | | |
| 2014 | 24082 | 747 | Rivet | Fer | 1714585,779 | 5162698,779 | 27,6 | 578,4 |
| 2014 | 24903 | 1151 | Indéterminé tôle | Base-cuivre | | | 1,4 | |
| 2014 | 24512 | 995 | Scorie | Base-cuivre | 1714620,038 | 5162716,332 | 4,8 | 575,93 |
| 2014 | HC | 1089 | Bouton | Base-cuivre | | | | |
| 2014 | 24042 | 1134 | Scorie | Base-cuivre | 1714591,613 | 5162693,36 | 3,9 | 578,39 |
| 2014 | HC | 1139 | Scorie | Base-cuivre | | | 38,3 | |
| 2014 | 24506-1 | 489 | Rivet | Base-cuivre | | | 0,1 | |
| 2014 | 24501 | 762 | Indéterminé tôle | Base-cuivre | 1714626,619 | 5162719,378 | 1 | 575,74 |
| 2014 | HC | 1082 | Monnaie en chapelet | Base-cuivre | | | 1 | |
| 2014 | 24512 | 998 | Fibule | Base-cuivre | 1714615,397 | 5162715,284 | 1,3 | 576,02 |
| 2014 | 24138-1 | 859 | Miroir | Base-cuivre | 1714597,334 | 5162663,395 | 0,9 | 578,65 |
| 2014 | 24526-1 | 777 | Fourreau | Base-cuivre | 1714618,634 | 5162714,504 | 4,5 | 576,16 |
| 2014 | 24548 | 927 | Cabochon | Base-cuivre | 1714627,268 | 5162725,705 | 0,7 | 575,67 |
| 2014 | 24548 | 1128 | Indéterminé tige | Base-cuivre | 1714627,268 | 5162725,705 | 0,1 | 575,67 |
| 2014 | 24548 | 1127 | Applique | Base-cuivre | 1714627,268 | 5162725,705 | 0,2 | 575,67 |
| 2014 | HC | 1147 | Perle | Base-cuivre | | | 0,7 | |
| 2014 | HC | 1136 | Anneau | Base-cuivre | | | 1,6 | |
| 2014 | 24112 | 1054 | Cabochon | Base-cuivre | 1714588,891 | 5162703,459 | 0,1 | 576,68 |
| 2014 | 24083 | 952 | Indéterminé tôle | Base-cuivre | 1714582,984 | 5162702,564 | 1,6 | 578,24 |
| 2014 | 24067-4 | 483 | Applique | Base-cuivre | 1714629,216 | 5162600,363 | 5,7 | 576,75 |
| 2014 | 24093-1 | | Clou | Fer | | | 283 | |
| 2014 | 24093-1 | 1179 | Scorie | Fer | | | 2 | |
| 2014 | 24046 | | Clou | Fer | | | 21 | |
| 2014 | 24116 | | Clou | Fer | | | 97 | |
| 2014 | 24059-2 | | Clou | Fer | | | 42 | |
| 2014 | 24116 | 1180 | Clous de chaussure | Fer | | | 1,1 | |
| 2014 | 24077 | | Clou | Fer | | | 39 | |
| 2014 | 24001 | | Clou | Fer | | | 54 | |
| 2014 | 24008 | | Clou | Fer | | | 47 | |
| 2014 | 24008 | 1181 | Indéterminé tige | Fer | | | 5,9 | |
| 2014 | 24051 | | Clou | Fer | | | 15 | |
| 2014 | 24093 | | Clou | Fer | | | 28 | |
| 2014 | 24102 | | Clou | Fer | | | 3 | |
| 2014 | 24089-3 | | Clou | Fer | | | 4 | |
| 2014 | 24089-3 | 1033 | Indéterminé tige | Fer | | | 4,7 | |
| 2014 | 24044 | | Clou | Fer | | | 34 | |

| | | | | | | | | |
|------|---------|------|---------------------------|-------------|-------------|-------------|------|-------|
| 2014 | 24457-1 | 1058 | Clou | Fer | | | 52 | |
| 2014 | 24401 | | Clou | Fer | | | 64 | |
| 2014 | 24401 | 1182 | Ferrure | Fer | | | 2,4 | |
| 2014 | 24121 | | Clou | Fer | | | 101 | |
| 2014 | 24121 | 1183 | Piton | Fer | | | 11,6 | |
| 2014 | 24092 | 1017 | Stylets | Fer | 1714580,393 | 5162698,576 | 12,4 | 578,4 |
| 2014 | 24082 | | Clou | Fer | | | 122 | |
| 2014 | 24512 | 1184 | Scorie | Fer | | | 87 | |
| 2014 | 24512 | 1185 | Indéterminé plat | Fer | | | 25 | |
| 2014 | 24512 | 1187 | Scorie | Fer | | | 57,2 | |
| 2014 | 24024 | 1186 | Ferrure | Fer | | | 3 | |
| 2014 | 24024 | 1188 | Indéterminé tôle | Fer | | | 4,2 | |
| 2014 | 24122 | | Clou | Fer | | | 92 | |
| 2014 | 24117 | | Clou | Fer | | | 172 | |
| 2014 | 24023 | | Clou | Fer | | | 23 | |
| 2014 | | 891 | Recipient | Base-cuivre | | | 14,9 | |
| 2014 | 24067-1 | | Clou | Fer | | | 29 | |
| 2014 | 24422-1 | | Clou | Fer | | | 13 | |
| 2014 | 24547-1 | | Clou | Fer | | | 59 | |
| 2014 | 24547-1 | | Ferrure | Fer | | | 11,8 | |
| 2014 | 24549-1 | 1190 | Ferrure | Fer | | | 11,9 | |
| 2014 | 24409-1 | | Clou | Fer | | | 3 | |
| 2014 | 24542-1 | | Clou | Fer | | | 37 | |
| 2014 | 24057 | | Clou | Fer | | | 141 | |
| 2014 | 24501 | | Clou | Fer | | | 104 | |
| 2014 | 24501 | | Clou | Fer | | | 23 | |
| 2014 | 24501 | | Clou | Fer | | | 4,1 | |
| 2014 | 24549-1 | 1192 | Ferrure | Fer | | | 50,9 | |
| 2014 | 24549-1 | | Clou | Fer | | | 269 | |
| 2014 | 24549-1 | 1193 | Ferrure | Fer | | | 34,5 | |
| 2014 | 24508 | | Clou | Fer | | | 71 | |
| 2014 | 24508 | 1194 | Fibule | Fer | | | 1 | |
| 2014 | 24508 | 1195 | Indéterminé plat | Fer | | | 8,1 | |
| 2014 | 24132 | | Clou | Fer | | | 167 | |
| 2014 | 24132 | 1196 | Anneau | Fer | | | 2,6 | |
| 2014 | 24132 | 1197 | Outils trop fragmentaires | Fer | | | 3,4 | |
| 2014 | 24132 | 1198 | Indéterminé tige | Fer | | | 0,9 | |
| 2014 | 24027 | | Clou | Fer | | | 149 | |
| 2014 | 24027 | 1199 | Indéterminé tige | Fer | | | 2,8 | |
| 2014 | 24503-1 | | Clou | Fer | | | 71 | |
| 2014 | 24503-1 | 1200 | Indéterminé plat | Fer | | | 1,2 | |
| 2014 | 24130-1 | | Clou | Fer | | | 7 | |
| 2014 | 24504-1 | | Clou | Fer | | | 286 | |
| 2014 | 24504-1 | 1201 | Clou | Fer | | | 10,6 | |
| 2014 | 24504-1 | 1202 | Scorie | Fer | | | 2,3 | |
| 2014 | 24017 | | Clou | Fer | | | 66 | |
| 2014 | 24097 | | Clou | Fer | | | 73 | |
| 2014 | 24097 | 1204 | Scorie | Fer | | | 34,8 | |
| 2014 | 24020-1 | 1206 | Indéterminé tôle | Fer | | | 6,1 | |
| 2014 | 24020-1 | 1205 | Scorie | Fer | | | 8,4 | |
| 2014 | 24016 | 1207 | Clous de chaussures | Fer | | | 10,6 | |
| 2014 | 24016 | 1208 | Indéterminé plat | Fer | | | 23,5 | |
| 2014 | 24016 | 1209 | Scorie | Fer | | | 8,3 | |
| 2014 | 24016 | 1210 | Ferrure | Fer | | | 15 | |
| 2014 | 24020-1 | | Clou | Fer | | | 270 | |
| 2014 | 24062-1 | | Clou | Fer | | | 274 | |
| 2014 | 24016 | | Clou | Fer | | | 791 | |
| 2014 | 24025 | 1211 | Indéterminé tige | Fer | | | 1,9 | |
| 2014 | 24025 | | Clou | Fer | | | 337 | |
| 2014 | 24041 | | Clou | Fer | | | 27 | |
| 2014 | 24034 | | Clou | Fer | | | 46 | |

| | | | | | | | | |
|------|-----------------------|------|-------------------------|-------------|-------------|-------------|------|--------|
| 2014 | H.C | 1212 | Intaille | Lithique | 1714594,631 | 5162683,573 | 1,1 | 578,52 |
| 2014 | 24083-1 | 1060 | Jeton | Ceramique | 1714584,376 | 5162702,633 | 20,1 | 577,7 |
| 2014 | 24405-1 | 1073 | Bague | Base-cuivre | 1714579,818 | 5162698,67 | 0,1 | 578,27 |
| 2014 | HC | 1067 | Silex | Lithique | | | 6,9 | |
| 2014 | H.C | 1053 | Fibule | Base-cuivre | 1714594,547 | 5162666,807 | 0,4 | 578,63 |
| 2014 | 24405-2 | 1078 | Jeton | Ceramique | 1714579,911 | 5162698,707 | 4,5 | 577,94 |
| 2014 | 24092 | 1040 | Jeton | Ceramique | 1714585,49 | 5162702,538 | 7 | 578,38 |
| 2014 | HC | | Pigment | Autre | | | 9,3 | |
| 2014 | 24457-1 | 1176 | Indéterminé objet | Fer | 1714584,94 | 5162705,548 | 76,2 | |
| 2014 | 24457-1 | 1177 | Crampon | Fer | | | 45,3 | |
| 2014 | 24457-1 | 1178 | Indéterminé plat | Fer | | | 35,7 | |
| 2014 | 24405-1 | 1063 | Monnaie | Base-cuivre | 1714579,818 | 5162698,67 | | 578,1 |
| 2014 | 24092 | 831 | Monnaie | | | | | |
| 2014 | 24422-1 | 867 | Indéterminé plat | Fer | 1714572,333 | 5162697,793 | 6,6 | 578,45 |
| 2014 | 24092 | 833 | Ferrure | Fer | 1714873,197 | 5162797,182 | 8,6 | 571,08 |
| 2014 | 24456-1 | 1071 | Silex | Lithique | 1714589,67 | 5162694,73 | 2,2 | 578,12 |
| 2014 | 24109 | 1046 | Anneau | Fer | 1714614,043 | 5162674,286 | 28,5 | 578,45 |
| 2014 | 24453-1 ou 24455-1 | 1064 | Recipient | Verre | 1714588,233 | 5162699,969 | 0,8 | 578,07 |
| 2014 | 24405-2 | 1076 | Monnaie | Base-cuivre | 1714579,781 | 5162698,763 | | 577,88 |
| 2014 | 24406 | 1070 | | Lithique | 1714583,078 | 5162703,193 | 69,4 | 578,15 |
| 2014 | 24007 | 1213 | Indéterminé tige | Fer | | | 1,5 | |
| 2014 | 24457-1 | 1214 | Fourreau | Base-cuivre | 1714659,285 | 5162735,092 | 2,8 | |
| 2014 | 24092 | 881 | Recipient | Verre | | | 1 | |
| 2014 | 24117 | 1215 | Recipient | Verre | | | 1,6 | |
| 2014 | 24428-1 | 877 | Indéterminé tôle | Fer | 1714600,845 | 5162634,929 | 11,7 | 578,62 |
| 2014 | 24092 | 757 | Indéterminé plat | Fer | 1714583,882 | 5162694,291 | 28,6 | 578,64 |
| 2014 | 24428-1 | 875 | Indéterminé plat | Fer | 1714579,298 | 5162690,5 | 24,7 | 578,56 |
| 2014 | 24420-1 | 1216 | Jeton | Ceramique | | | 3,4 | |
| 2014 | 24092 | 1014 | Ferrures decoratives | Base-cuivre | 1714607,923 | 5162636,343 | 2,9 | 578,54 |
| 2014 | 24092 | 1011 | Silex | Autre | 1714575,804 | 5162689,004 | 8,8 | 578,75 |
| 2014 | 24420-1 | 870 | Jeton | Ceramique | 1714575,392 | 5162687,334 | 2,6 | 578,6 |
| 2014 | 24092 | 1016 | Monnaie | Base-cuivre | 1714587,146 | 5162695,664 | | 578,43 |
| 2014 | 24092 | 872 | Ferrure | Fer | 1714578,77 | 5162686,955 | 8,5 | 578,7 |
| 2014 | 24092 | 1015 | Perle | Base-cuivre | 1714573,969 | 5162699,036 | 8 | 578,48 |
| 2014 | 24092 | 878 | Indéterminé tige | Base-cuivre | 1714578,783 | 5162692,34 | 0,8 | 758,65 |
| 2014 | 24092 | 884 | Anneau | Base-cuivre | 1714578,413 | 5162693,269 | 0,1 | 578,65 |
| 2014 | 24092 | 1012 | Clous de chaussure | Fer | 1714584,02 | 5162692,7 | 1,1 | 578,7 |
| 2014 | 24913 | 1217 | Objets refondus | Fer | | | 6,4 | |
| 2014 | 24913 | 1218 | Rivet | Fer | | | 7,2 | |
| 2014 | 24913 | 1219 | Indéterminé objet | Fer | | | 13,1 | |
| 2014 | 24092 | 748 | Jeton | Ceramique | 1714582,578 | 5162695,408 | | 578,64 |
| 2014 | 24092 | 749 | Jeton | Ceramique | 1714583,939 | 5162696,261 | | 578,58 |
| 2014 | 24093-1 | 750 | | Base cuivre | 1714586,875 | 5162698,784 | | 575,93 |
| 2014 | 24092 | 752 | Chaîne | Fer | 1714584,63 | 5162694,685 | 5,6 | 578,6 |
| 2014 | 24093-1 | 753 | Jeton | Ceramique | 1714585,662 | 5162699,399 | | 578,15 |
| 2014 | 24092 | 754 | Jeton | Ceramique | 1714583,977 | 5162694,921 | | 578,64 |
| 2014 | 24093-1 | 755 | Jeton | Ceramique | 1714586,782 | 5162698,747 | | 577,93 |
| 2014 | 24071-1 | 756 | Fusaiole | Ceramique | 1714579,089 | 5162684,176 | 33,4 | 578,29 |
| 2014 | 24122 | 758 | Fibule | Base cuivre | 1714586,739 | 5162691,951 | 5,9 | 578,43 |
| 2014 | 24501 | 759 | Scorie | Fer | 1714627,25 | 5162719,306 | 46,8 | 575,76 |
| 2014 | 24501 | 760 | Indéterminé plat | Fer | 1714626,831 | 5162719,764 | 10,5 | 575,88 |
| 2014 | 24501 | 761 | Indéterminé plat | Fer | 1714626,544 | 5162720,08 | 4,7 | 575,73 |
| 2014 | 24501 | 763 | Scorie | Fer | 1714626,274 | 5162719,596 | 9,8 | 575,75 |
| 2014 | 24501 | 764 | Perle | Verre | 1714626,418 | 5162719,126 | 4,9 | 575,72 |
| 2014 | 24501 | 766 | Clou | Fer | 1714627,431 | 5162719,797 | 16,2 | 575,78 |
| 2014 | 24501 | 767 | Chute | Fer | 1714627,627 | 5162719,305 | 1,7 | 575,77 |
| 2014 | 24501 | 768 | Jeton | Ceramique | 1714627,734 | 5162719,875 | | 575,76 |
| 2014 | 24501 | 769 | Jeton | Ceramique | 1714628,879 | 5162718,726 | | 575,79 |
| 2014 | 24501 | 770 | Jeton | Ceramique | 1714630,104 | 5162719,192 | | 575,77 |
| 2014 | 24092 | 771 | | Base cuivre | 1714581,167 | 5162689,155 | | 578,69 |

| | | | | | | | | |
|------|------------|------|---------------------------------|-------------|-------------|-------------|-------|--------|
| 2014 | 24526-1 | 772 | Jeton | Ceramique | | | | |
| 2014 | 24129 | 774 | Clou | Fer | 1714588,077 | 5162690,911 | 4,5 | 578,37 |
| 2014 | 24116 | 775 | | Base cuivre | 1714589,371 | 5162652,698 | | 579,53 |
| 2014 | 24098-3 | 776 | Recipient | Verre | 1714597,818 | 5162654,946 | 5,9 | 577,75 |
| 2014 | sous 23838 | 778 | Monnaie | Base cuivre | 1714602,722 | 5162681,247 | | 578,19 |
| 2014 | 24086-3 | 779 | Jeton | Ceramique | 1714581,428 | 5162687,742 | | 578 |
| 2014 | 24086-4 | 780 | | Lithique | 1714581,428 | 5162687,742 | | 578 |
| 2014 | | 782 | Bracelet | Base cuivre | | | 2,3 | |
| 2014 | ? | 783 | Rondelle | Fer | | | 2,8 | |
| 2014 | | 784 | Indéterminé tôle | Base cuivre | | | 4,7 | |
| 2014 | | 786 | Indéterminé tôle | Base cuivre | | | 0,1 | |
| 2014 | | 787 | Cuiller a cosmetique | Fer | | | 1,4 | |
| 2014 | | 788 | Monnaie | Base cuivre | | | | |
| 2014 | | 789 | Monnaie | Base-cuivre | | | | |
| 2014 | | 790 | Indéterminé objet | Fer | | | 26,3 | |
| 2014 | ? | 791 | Indéterminé tôle | Base cuivre | | | 1,2 | |
| 2014 | | 792 | Lingot (bc) | Base cuivre | | | 6 | |
| 2014 | | 793 | Rivet | Base-cuivre | | | 21,4 | |
| 2014 | 24525-1 | 794 | Indéterminé tôle | Fer | 1714627,273 | 5162719,412 | 2,2 | 575,26 |
| 2014 | 24525-1 | 795 | Indéterminé | Lithique | 1714627,298 | 5162719,347 | 0,1 | 575,86 |
| 2014 | 24525-1 | 796 | Indéterminé plat | Fer | 1714627,114 | 5162719,187 | 2,1 | 575,8 |
| 2014 | 24525-1 | 797 | Indéterminé tige | Base cuivre | 1714627,04 | 5162719,373 | 1,1 | 575,85 |
| 2014 | 24525-1 | 798 | Indéterminé tôle | Fer | 1714627,013 | 5162719,577 | 4,1 | 575,8 |
| 2014 | 24525-1 | 799 | Indéterminé tige | Base cuivre | 1714626,893 | 5162720,068 | 0,4 | 575,75 |
| 2014 | 24525-1 | 800 | Ferrure | Fer | 1714626,683 | 5162719,812 | 30,4 | 575,78 |
| 2014 | 24525-1 | 801 | Indéterminé plat | Fer | 1714626,772 | 5162719,697 | 2,9 | 575,79 |
| 2014 | 24525-1 | 802 | Chute | Base cuivre | 1714626,938 | 5162719,44 | 0,3 | 575,81 |
| 2014 | 24525-1 | 803 | Chute | Fer | 1714626,758 | 5162719,164 | 4 | 575,85 |
| 2014 | 24525-1 | 804 | Balance | Base cuivre | 1714626,513 | 5162719,131 | 0,4 | 575,89 |
| 2014 | 24525-1 | 805 | Scorie | Base cuivre | 1714626,291 | 5162719,065 | 8,2 | 575,91 |
| 2014 | 24525-1 | 806 | Rondelle | Fer | 1714622,293 | 5162718,24 | 7,3 | 575,91 |
| 2014 | 24525-1 | 807 | Ferrure | Fer | 1714622,293 | 5162718,24 | 13 | 575,91 |
| 2014 | 24525-1 | 808 | Chute | Fer | 1714622,293 | 5162718,24 | 4,5 | 575,91 |
| 2014 | 24525-1 | 809 | Indéterminé plat | Fer | 1714622,293 | 5162718,24 | 20,4 | 575,91 |
| 2014 | 24512 | 810 | Hache | Fer | 1714624,155 | 5162720,379 | 136 | 576,05 |
| 2014 | 24512 | 811 | Indéterminé tôle | Base cuivre | 1714624,074 | 5162717,549 | 0,4 | 575,6 |
| 2014 | 24512 | 812 | Scorie | Fer | 1714622,352 | 5162719,339 | 13,1 | 576,08 |
| 2014 | 24512 | 813 | Dechets de tableterie | Os | 1714622,067 | 5162718,484 | 1,8 | 575,05 |
| 2014 | 24512 | 814 | Chaînette | Base cuivre | 1714628,062 | 5162723,761 | 0,1 | 576,02 |
| 2014 | 24524-1 | 815 | Ferrure | Fer | 1714627,458 | 5162722,574 | 6,8 | 575,48 |
| 2014 | 24524-1 | 816 | Jeton | Ceramique | 1714627,164 | 5162722,5 | | 575,53 |
| 2014 | 24524-1 | 817 | Ciseau | Fer | 1714626,937 | 5162722,991 | 165,7 | 575,9 |
| 2014 | 24524-1 | 818 | Hachette | Fer | 1714625,998 | 5162723,188 | 23,9 | 576 |
| 2014 | 24524-1 | 819 | Chaînette | Base cuivre | 1714625,752 | 5162723,833 | 0,3 | 575,8 |
| 2014 | 24524-1 | 820 | Goutte | Base cuivre | 1714626,372 | 5162724,359 | 4,4 | 575,88 |
| 2014 | HC | 821 | Fibule | Base cuivre | | | 5,5 | |
| 2014 | 24137 | 822 | Recipient | Verre | 1714598,327 | 5162657,322 | 4 | 578,9 |
| 2014 | 24137 | 823 | Plaque-foyère | Terre cuite | 1714597,279 | 5162656,303 | 260,7 | 579,11 |
| 2014 | 24098-2 | 824 | Plaque-foyère | Terre cuite | 1714594,638 | 5162661,161 | 988 | 577,96 |
| 2014 | 24072 | 825 | | Lithique | 1714601,79 | 5162648,906 | | 579,28 |
| 2014 | 24092 | 826 | Indéterminé plat | Fer | 1714580,869 | 5162695,483 | 22,8 | 578,63 |
| 2014 | 24092 | 827 | Rondelle | Base cuivre | 1714580,5 | 5162695,627 | 0,4 | 578,65 |
| 2014 | 24092 | 828 | Indéterminé plat | Fer | 1714580,401 | 5162695,307 | 50,9 | 578,65 |
| 2014 | 24092 | 829 | Fibule | Base-cuivre | 1714580,457 | 5162695,276 | 3,8 | 578,52 |
| 2014 | 24138-1 | 830 | Indéterminé plat | Fer | 1714597,807 | 5162663,422 | 53,2 | 578,63 |
| 2014 | 24092 | 1030 | Indéterminé objet | Base-cuivre | 1714577,315 | 5162700,365 | 11,5 | 578,35 |
| 2014 | 24428-1 | 876 | Indéterminé plat | Fer | 1714578,113 | 5162692,074 | 6,9 | 578,65 |
| 2014 | 24428-1 | 873 | Demi-produit (autres metaux) | Fer | 1714579,073 | 5162689,442 | 3,4 | 578,57 |
| 2014 | 24092 | 1031 | Monnaie | Base-cuivre | 1714578,783 | 5162692,34 | | 578,7 |
| 2014 | 24092 | 1013 | Goutte | Base-cuivre | 1714584,949 | 5162693,069 | 0,5 | 578,68 |

| | | | | | | | | |
|------|---------|------|-----------------------|-------------|-------------|-------------|-------|--------|
| 2014 | 24093-1 | 1028 | Ferrure | Fer | 1714586,708 | 5162698,933 | 50,6 | 577,9 |
| 2014 | 24913 | 1220 | Clous de chaussures | Fer | | | 3,8 | |
| 2014 | 24913 | 1221 | Indéterminé | Fer | | | 5,1 | |
| 2014 | HC | 1041 | Monnaie | Orichalque | | | | |
| 2014 | 24913 | 1222 | Indéterminé plat | Fer | | | 8,4 | |
| 2014 | 24913 | 1223 | Chute | Fer | | | 0,8 | |
| 2014 | 23151 | 846 | Mors | Fer | 1714597,861 | 5162679,261 | 7,5 | 578,46 |
| 2014 | 24045 | 1225 | Rate de coulee | Base-cuivre | | | 4,4 | |
| 2014 | 24045 | 1226 | Indéterminé tige | Fer | | | 0,4 | |
| 2014 | 24045 | 1227 | Agrafe | Fer | | | 3,2 | |
| 2014 | 24081 | | Clou | Fer | | | 10 | |
| 2014 | 24045 | | Clous de construction | Fer | | | 27 | |
| 2014 | 24066-1 | | Clou | Fer | | | 8 | |
| 2014 | 24018 | | Clou | Fer | | | 271 | |
| 2014 | 24065-1 | 1228 | Indéterminé tige | Fer | | | 0,9 | |
| 2014 | 24105 | | Clou | Fer | | | 18 | |
| 2014 | 24097 | | Clous de construction | Fer | | | 33 | |
| 2014 | 24024 | 1229 | Rivet | Fer | | | 24,3 | |
| 2014 | 24026 | | Clou | Fer | | | 103 | |
| 2014 | 24073 | | Clou | Fer | | | 7 | |
| 2014 | 24058 | | Clou | Fer | | | 131 | |
| 2014 | 24050 | | Clou | Fer | | | 15 | |
| 2014 | 24064 | | Clou | Fer | | | 51 | |
| 2014 | 24035 | | Clou | Fer | | | 7 | |
| 2014 | 24115 | 1230 | Indéterminé objet | Fer | | | 23,6 | |
| 2014 | 24067-2 | | Clou | Fer | | | 47 | |
| 2014 | 24036 | | Clou | Fer | | | 24 | |
| 2014 | 24076 | | Clou | Fer | | | 110 | |
| 2014 | 24061 | 232 | Indéterminé tige | Fer | | | 0,1 | |
| 2014 | 24094 | 1231 | Bouteille | Verre | | | 12,1 | |
| 2014 | 24086-2 | 1232 | Recipient | Verre | | | 3,1 | |
| 2014 | 24098-3 | 1233 | Recipient | Verre | | | 1 | |
| 2014 | 24403 | | Clou | Fer | | | 24 | |
| 2014 | 24404-1 | | Clou | Fer | | | 9 | |
| 2014 | 24068 | | Clou | Fer | | | 8 | |
| 2014 | 24075 | | Clou | Fer | | | 5 | |
| 2014 | 24067-1 | 1234 | Recipient | Verre | | | 9,1 | |
| 2014 | 24013 | 1235 | Ferrure | Fer | | | 18,6 | |
| 2014 | 24013 | 1236 | Indéterminé tôle | Fer | | | 8,8 | |
| 2014 | 24013 | 1237 | Clou | Fer | | | 1 | |
| 2014 | 24061 | | Indéterminé tôle | Fer | | | 1,8 | |
| 2014 | 24056 | | Clou | Fer | | | 49 | |
| 2014 | 24072 | | Clou | Fer | | | 44 | |
| 2014 | 24072 | 1238 | Scorie | Fer | | | 11,8 | |
| 2014 | 24096 | | Clou | Fer | | | 8 | |
| 2014 | 24101 | | Clou | Fer | | | 10 | |
| 2014 | 24100 | | Clou | Fer | | | 10 | |
| 2014 | 24096 | 1239 | Recipient | Verre | | | 9,9 | |
| 2014 | 24512 | 1240 | Calotte | Fer | | | 308,4 | |
| 2014 | 24512 | 1241 | Indéterminé plat | Fer | | | 6,9 | |
| 2014 | 24549-1 | 1242 | Indéterminé plat | Fer | | | 10,1 | |
| 2014 | 24131 | | Clou | Fer | | | 111 | |
| 2014 | 24042 | | Clou | Fer | | | 144 | |
| 2014 | 24546-1 | | Clou | Fer | | | 59 | |
| 2014 | 24127 | | Clou | Fer | | | 20 | |
| 2014 | 24524-1 | | Clou | Fer | | | 158 | |
| 2014 | 24524-1 | 1243 | Indéterminé plat | Fer | | | 10,8 | |
| 2014 | 24124-1 | | Clou | Fer | | | 10 | |
| 2014 | 24130-2 | | Clou | Fer | | | 6 | |
| 2014 | 24115 | | Clou | Fer | | | 6 | |

| | | | | | | | | | |
|------|---------|------|---------------------------|-------------|-------------|-------------|--|------|--------|
| 2014 | 24519 | | Clou | Fer | | | | 186 | |
| 2014 | 24523 | | Clou | Fer | | | | 161 | |
| 2014 | 24523 | 1244 | Scorie | Fer | | | | 44,3 | |
| 2014 | 24103 | | Clou | Fer | | | | 14 | |
| 2014 | 24086-2 | | Clou | Fer | | | | 230 | |
| 2014 | 24129 | | Clou | Fer | | | | 6 | |
| 2014 | 24512 | 1245 | Rivet | Fer | | | | 21 | |
| 2014 | 24512 | 1246 | Scorie | Fer | | | | 25,3 | |
| 2014 | 24512 | 1247 | Ferrure | Fer | | | | 25,4 | |
| 2014 | 24071-3 | | Clou | Fer | | | | 23 | |
| 2014 | 24506-1 | 1248 | Indéterminé plat | Fer | | | | 3,8 | |
| 2014 | 24118 | | Clou | Fer | | | | 31 | |
| 2014 | 24410 | | Clou | Fer | | | | 56 | |
| 2014 | 24016 | 1249 | Calotte | Fer | | | | 53,7 | |
| 2014 | 24016 | 1250 | Ferrure | Fer | | | | 3 | |
| 2014 | 24016 | 1251 | Bouclier | Fer | | | | 4,9 | |
| 2014 | 24016 | | Clou | Fer | | | | 2,3 | |
| 2014 | 24542-1 | 959 | Anneau | Base-cuivre | 1714614,93 | 5162718,219 | | 0,8 | 575,96 |
| 2014 | 24542-1 | 1252 | Gâche de serrure | Base-cuivre | 1714614,93 | 5162718,219 | | 2,3 | 575,96 |
| 2014 | 24542-1 | 1253 | Indéterminé tôle | Base-cuivre | 1714614,93 | 5162718,219 | | 1,5 | 575,96 |
| 2014 | 24512 | 1254 | Rivet | Fer | | | | 16,7 | |
| 2014 | 24512 | 1255 | Ferrure | Fer | | | | 18,7 | |
| 2014 | 24512 | 1256 | Chute | Fer | | | | 5,9 | |
| 2014 | 24704 | | Clou | Fer | | | | 338 | |
| 2014 | | 1257 | Ferrure | Base-cuivre | | | | 0,7 | |
| 2014 | 24512 | 1258 | Indéterminé plat | Fer | | | | 27 | |
| 2014 | 24704 | 1259 | Indéterminé tôle | Fer | | | | 10,7 | |
| 2014 | 24704 | 1260 | Clous de chaussures | Fer | | | | 3 | |
| 2014 | 24704 | 1261 | Agrafe | Fer | | | | 5,9 | |
| 2014 | 24512 | 997 | Indéterminé tige | Base-cuivre | 1714617,639 | 5162716,412 | | 0,8 | 575,88 |
| 2014 | 24088 | 845 | Indéterminé tige | Fer | 1714600,152 | 5162682,432 | | 4,1 | 578,28 |
| 2014 | HC | 1203 | Passe-guide | Base-cuivre | | | | 9 | |
| 2014 | 24447 | 956 | Cremaillère | Fer | 1714587,854 | 5162700,109 | | 55,7 | 578,05 |
| 2014 | 24526-1 | 973 | Cruche | Base-cuivre | 1714620,324 | 5162717,78 | | 14,8 | 576,14 |
| 2014 | 24092 | 1024 | Fibule | Base-cuivre | 1714673,567 | 5162736,249 | | 11,7 | 578,4 |
| 2014 | 24114-1 | | Clou | Fer | | | | 27 | |
| 2014 | 24245 | | Clou | Fer | | | | 22 | |
| 2014 | 24411 | | Clou | Fer | | | | 71 | |
| 2014 | 24098-1 | | Clou | Fer | | | | 29 | |
| 2014 | 24512 | 1262 | Outils trop fragmentaires | Fer | | | | 7,1 | |
| 2014 | 24512 | 1263 | Clous de construction | Fer | | | | 30,5 | |
| 2014 | 24512 | 1264 | Cuiller a cosmetique | Fer | | | | 3,2 | |
| 2014 | 24512 | 1265 | Chute | Fer | | | | 4,7 | |
| 2014 | 24098-3 | | Clou | Fer | | | | 37 | |
| 2014 | 24059-7 | | Clou | Fer | | | | 46 | |
| 2014 | 24059-7 | 1266 | Indéterminé tige | Fer | | | | 1,4 | |
| 2014 | 24086-3 | | Clou | Fer | | | | 57 | |
| 2014 | 24417-1 | | Clou | Fer | | | | 70 | |
| 2014 | 24519 | | Clous de construction | Fer | | | | 119 | |
| 2014 | 24088 | 1267 | Indéterminé tige | Fer | | | | 1,2 | |
| 2014 | HC | 1268 | Fibule | Base-cuivre | | | | 2 | |
| 2014 | HC | 1269 | Fibule | Base-cuivre | | | | 3,4 | |
| 2014 | 24447 | 955 | Spatules a cire | Base cuivre | 1714587,88 | 5162700,098 | | 3,4 | 578,05 |
| 2014 | 24061 | 2377 | Monnaie | Base-cuivre | 1714617,295 | 5162604,202 | | | 578,61 |
| 2014 | 24937 | 1154 | Monnaie | Base cuivre | 1714614,083 | 5162721,38 | | | 576,09 |
| 2014 | HC | 1103 | Monnaie | Base-cuivre | | | | | |
| 2014 | HC | 1108 | Monnaie | Base-cuivre | | | | | |
| 2014 | HC | 1270 | Monnaie | Base-cuivre | | | | | |

| | | | | | | | | |
|------|---------|------|-------------------------|-------------|-------------|-------------|------|--------|
| 2014 | HC | 1146 | Monnaie | Base-cuivre | | | | |
| 2014 | HC | 1090 | Monnaie | Base-cuivre | | | | |
| 2014 | HC | 1093 | Monnaie | Base-cuivre | | | | |
| 2014 | HC | 1111 | Monnaie | Base-cuivre | | | | |
| 2014 | HC | 1094 | Monnaie | Base-cuivre | | | | |
| 2014 | 24088 | 844 | Monnaie | Base-cuivre | 1714600,024 | 5162683,026 | | 578,24 |
| 2014 | HC | 1104 | Monnaie | Base-cuivre | | | | |
| 2014 | 24086-2 | 1271 | Monnaie | Base cuivre | | | | |
| 2014 | HC | 1272 | Monnaie | Base-cuivre | | | | |
| 2014 | HC | 1273 | Monnaie | Base-cuivre | | | | |
| 2014 | HC | 1274 | Monnaie | Base-cuivre | | | | |
| 2014 | HC | 1275 | Monnaie | Base-cuivre | | | | |
| 2014 | HC | 1276 | Monnaie | Base-cuivre | | | | |
| 2014 | 24059-1 | | Clou | Fer | | | | 20 |
| 2014 | 24063-1 | | Clou | Fer | | | | 48 |
| 2014 | 24007 | | Clou | Fer | | | | 225 |
| 2014 | 24011 | | Clou | Fer | | | | 20 |
| 2014 | 24006 | | Clou | Fer | | | | 17 |
| 2014 | 24913 | | Clou | Fer | | | | 83 |
| 2014 | 24033 | | Clou | Fer | | | | 13 |
| 2014 | 24015-1 | | Clou | Fer | | | | 88 |
| 2014 | 24048 | | Clou | Fer | | | | 16 |
| 2014 | 24004-1 | | Clou | Fer | | | | 28 |
| 2014 | 24037 | | Clou | Fer | | | | 15 |
| 2014 | 24019 | | Clou | Fer | | | | 14 |
| 2014 | HC | 1043 | Monnaie | Base-cuivre | | | | |
| 2014 | HC | 1277 | Monnaie | Base-cuivre | | | | |
| 2014 | HC | 1278 | Monnaie | Base-cuivre | | | | |
| 2014 | HC | 1042 | Monnaie | Base-cuivre | | | | |
| 2014 | HC | 1045 | Monnaie | Base-cuivre | | | | |
| 2014 | HC | 1044 | Monnaie | Base-cuivre | | | | |
| 2014 | 24556-1 | 901 | Serpette | Fer | 1714623,646 | 5162717,002 | 25,6 | 576,03 |
| 2014 | 24122 | 605 | Indéterminé tôle | Base-cuivre | 1714588,207 | 5162692,373 | 0,6 | 578,35 |
| 2014 | HC | 1279 | Rivet | Fer | | | 0,1 | |
| 2014 | 24512 | 895 | Scorie | Base-cuivre | 1714625,545 | 5162718,994 | 20,7 | 576,01 |
| 2014 | 24083 | 954 | Indéterminé tôle | Base-cuivre | 1714577,711 | 5162711,283 | 0,1 | 578,35 |
| 2014 | 24542-1 | 962 | Rivet | Base cuivre | 1714614,883 | 5162718,609 | 0,5 | 575,93 |
| 2014 | 24501 | 978 | Ferrures decoratives | Base cuivre | 1714630,61 | 5162723,955 | 0,3 | 575,96 |
| 2014 | 24400 | 843 | Indéterminé tôle | Base-cuivre | 1714601,532 | 5162684,648 | 1,5 | 577,92 |
| 2014 | 24512 | 902 | Chute | Base-cuivre | 1714622,721 | 5162718,517 | 2,6 | 575,93 |
| 2014 | H.C | 1143 | Indéterminé tôle | Base cuivre | 1714584,289 | 5162696,896 | 2,7 | 578,23 |
| 2014 | 24524 | 1005 | Aiguille | Base cuivre | 1714618,376 | 5162720,245 | 0,5 | 575,71 |
| 2014 | 24512 | 1000 | Chaîne | Fer | 1714618,764 | 5162717,644 | 20,9 | 575,86 |
| 2014 | 24542 | 832 | Croc | Fer | 1714626,775 | 5162725,918 | 21,8 | 575,79 |
| 2014 | 24408-1 | 890 | Recipient | Verre | 1714583,133 | 5162691,142 | 0,5 | 578,55 |
| 2014 | H.C | 976 | Indéterminé tôle | Fer | 1714628,616 | 5162722,367 | 11,1 | 576 |
| 2014 | H.C | 894 | Indéterminé plat | Fer | 1714624,404 | 5162718,885 | 29,6 | 575,99 |
| 2014 | 24062-1 | 1280 | Chenet | Lithique | | | 40,6 | |
| 2014 | 24023 | 1281 | Ferrures decoratives | Base-cuivre | | | 1,8 | |
| 2014 | ? | 1282 | Fibule | Fer | | | 2,1 | |
| 2014 | 24050 | 864 | Monnaie | Base-cuivre | 1714597,375 | 5162666,241 | | |
| 2014 | HC | 1283 | Pigment | Autre | | | 9,4 | |
| 2014 | 24024 | 926 | Indéterminé tôle | Base-cuivre | 1714630,651 | 5162725,424 | 2 | 575,69 |
| 2014 | 24512 | 897 | Fusaïole | Terre cuite | 1714624,366 | 5162718,439 | 11,4 | 575,02 |
| 2014 | 24083 | 984 | Clous | Fer | 1714582,686 | 5162702,554 | 13,9 | 578,01 |
| 2014 | 24092 | 883 | Ferrure | Fer | | | 8,4 | |
| 2014 | 24405-1 | 1075 | Indéterminé tôle | Base-cuivre | 1714579,911 | 5162698,707 | 1,1 | 578,37 |
| 2014 | H.C | 1052 | Fibule | Base-cuivre | 1714586,906 | 5162667,16 | 12 | 579,39 |
| 2014 | 24512 | 975 | Balle de fronde | Lithique | 1714629,195 | 5162723,619 | 30,4 | 575,91 |
| 2014 | 24527 | 842 | Fibule | Base-cuivre | 1714623,517 | 5162725,451 | 1,6 | 575,8 |
| 2014 | 24512 | 991 | Indéterminé tôle | Fer | 1714601,949 | 5162708,509 | 2,3 | 575,89 |

| | | | | | | | | |
|------|---------|------|-----------------------|-------------|-------------|-------------|-------|--------|
| 2014 | 24092 | 1037 | Fibule | Base-cuivre | 1714581,767 | 5162698,368 | 6,2 | 578,55 |
| 2014 | 24024 | 177 | Indéterminé tige | Base cuivre | | | 1,5 | 575,88 |
| 2014 | 24524 | 1002 | Indéterminé tôle | Base-cuivre | 1714618,376 | 5162720,245 | 0,7 | 575,71 |
| 2014 | 24091 | 922 | Applique | Base-cuivre | | | 1,1 | 579,64 |
| 2014 | 24083 | 925 | Indéterminé tige | Base-cuivre | 1714583,68 | 5162703,304 | 0,1 | 578,29 |
| 2014 | 24512 | 992 | Epingle gallo-romaine | Base-cuivre | 1714578,413 | 5162693,269 | 1,9 | 578,65 |
| 2014 | 24079-4 | 866 | Perle | Base-cuivre | 1714580,005 | 5162699,067 | 1,1 | 578,51 |
| 2014 | 24138-1 | 861 | Fibule | Base-cuivre | 1714597,152 | 5162664,474 | 0,2 | |
| 2014 | 24524 | 1003 | Scorie | Base-cuivre | 1714618,376 | 5162720,245 | 1,2 | 575,71 |
| 2014 | H.C | 900 | Indéterminé tôle | Base-cuivre | 1714623,367 | 5162718,516 | 2,5 | 576,03 |
| 2014 | 24512 | 993 | Scorie | Base-cuivre | 1714620,535 | 5162715,895 | 11,6 | 575,89 |
| 2014 | H.C | 910 | Perle | Base-cuivre | 1714621,902 | 5162724,369 | 6,8 | 576,02 |
| 2014 | 24002 | | Clou | Fer | | | 6 | |
| 2014 | 24116 | | Coulure | Base-cuivre | | | 3 | |
| 2014 | 24405-1 | | Clou | Fer | | | 80 | |
| 2014 | 24506-1 | | Clou | Fer | | | 22 | |
| 2014 | 24703 | | Clou | Fer | | | 23 | |
| 2014 | 24545-1 | | Clou | Fer | | | 50 | |
| 2014 | 24003 | | Clou | Fer | | | 8 | |
| 2014 | 24542-1 | 972 | Indéterminé plat | Fer | 1714632,658 | 5162669,685 | 20,6 | 576,12 |
| 2014 | | 977 | Indéterminé plat | Fer | | | 1,5 | |
| 2014 | 24092 | 947 | Indéterminé plat | Fer | 1714582,557 | 5162702,879 | 22,7 | 578,23 |
| 2014 | H.C | 916 | Indéterminé plat | Fer | 1714616,055 | 5162718,774 | 14,7 | 576,13 |
| 2014 | H.C | 904 | Indéterminé plat | Fer | 1714621,991 | 5162720,896 | 6,6 | 575,9 |
| 2014 | 24408-1 | 889 | Clous de chaussures | Base-cuivre | 1714699,605 | 5162641,378 | 0,5 | 578,72 |
| 2014 | 24083 | 985 | Indéterminé plat | Fer | 1714584,558 | 5162700,823 | 18,9 | 578,06 |
| 2014 | 24044-1 | 982 | Ferrure | Fer | 1714630,433 | 5162721,044 | 0,7 | 575,12 |
| 2014 | 24501 | 1191 | Indéterminé plat | Fer | | | 4,1 | |
| 2014 | H.C | 898 | Cabochon | Base-cuivre | 1714623,955 | 5162717,308 | 0,6 | 575,94 |
| 2014 | H.C | 915 | Indéterminé plat | Fer | 1714619,18 | 5162721,038 | 18,3 | 575,98 |
| 2014 | H.C | 957 | Lance | Fer | 1714624,039 | 5162718,449 | 21,2 | 575,93 |
| 2014 | H.C | | Ferrure | Fer | 1714624,039 | 5162718,449 | 40 | 575,93 |
| 2014 | 24524 | 1006 | Indéterminé plat | Fer | 1714618,376 | 5162720,245 | 2,6 | 575,71 |
| 2014 | H.C | 899 | Scorie | Base-cuivre | 1714624,393 | 5162718,644 | 29,6 | 576 |
| 2014 | 24092 | 946 | Indéterminé plat | Fer | 1714582,421 | 5162704,224 | 12,4 | 578,22 |
| 2014 | H.C | 983 | Indéterminé plat | Fer | 1714629,692 | 5162721,826 | 10,8 | 575,91 |
| 2014 | 24138 | 862 | Calotte | Fer | 1714596,838 | 5162665,102 | 112,8 | |
| 2014 | 24092 | 1112 | Clous de chaussures | Fer | | | 1,2 | |
| 2014 | 24138-1 | 860 | Clou | Fer | 1714597,883 | 5162664,043 | 8,9 | |
| 2014 | HC | 1007 | Monnaie | Base-cuivre | | | | |
| 2014 | 24524 | 1001 | Indéterminé objet | Fer | 1714618,376 | 5162720,245 | 32,3 | 575,71 |
| 2014 | 24547-1 | 1189 | Indéterminé tôle | Fer | | | 11,7 | |
| 2014 | 24092 | 948 | Scorie | Fer | 1714583,17 | 5162703,747 | 42,1 | 578,1 |
| 2014 | H.C | 950 | Indéterminé tôle | Fer | 1714583,57 | 5162702,55 | 3,6 | |
| 2014 | | 1066 | Fibule | Fer | | | 5,7 | |
| 2014 | 24504-1 | 490 | Piton | Fer | 1714632,074 | 5162732,403 | 13,7 | 575,31 |
| 2014 | HC | 1110 | Clous de chaussures | Fer | | | 1,5 | |
| 2014 | 24024 | 501 | Indéterminé objet | Fer | 1714627,246 | 5162724,136 | 1,3 | 575,77 |
| 2014 | H.C | 1079 | Indéterminé tige | Fer | 1714578,825 | 5162698,028 | 0,4 | 578,57 |
| 2014 | HC | 1092 | Chaudron | Base-cuivre | | | 27,8 | |
| 2014 | 24504-1 | 491 | Clou | Fer | 1714632,074 | 5162732,403 | 1,6 | 575,31 |
| 2014 | HC | 1131 | Clou | Fer | | | 8,7 | |
| 2014 | HC | 1140 | Chaudron | Fer | | | 19,3 | |
| 2014 | 24082 | 1144 | Clou | Fer | 1714584,37 | 5162699,941 | 9,2 | 578,34 |
| 2014 | HC | 1132 | Rondelle | Plomb | | | 1,6 | |
| 2014 | HC | 1142 | Clous de chaussures | Fer | | | 0,5 | |
| 2014 | | 1086 | Chaudron | Fer | | | 11,3 | |
| 2014 | 24024 | 928 | Ferrure | Fer | 1714593,715 | 5162817,772 | 31,1 | 575,74 |

| | | | | | | | | |
|------|---------|-------|------------------------------|-------------|-------------|-------------|------|--------|
| 2014 | 24092 | 882 | Indéterminé tôle | Fer | 1714582,69 | 5162696,045 | 1,4 | 578,4 |
| 2014 | 24113 | 485 | Piton | Fer | 1714601,512 | 5162684,155 | 13,3 | 577,88 |
| 2014 | 245088 | 1120 | Clou | Fer | | | 4,4 | |
| 2014 | 24512 | 592 | Fibule | Fer | 1714590,508 | 5162705,049 | 8 | 576,11 |
| 2014 | 24557-1 | 920 | Bouclier | Terre cuite | 1714616,125 | 5162716,703 | 35,2 | 576,08 |
| 2014 | | 1130 | Ferrure | Fer | | | 15,1 | |
| 2014 | 24504-1 | 492 | Indéterminé plat | Fer | 1714632,074 | 5162732,403 | 8,6 | 575,31 |
| 2014 | 24092 | 1035 | Indéterminé tige | Fer | 1714581,767 | 5162698,368 | 3,9 | 578,5 |
| 2014 | 24093-1 | 929 | Ferrure | Fer | 1714584,557 | 5162700,553 | 25,6 | 578,01 |
| 2014 | 24527 | 839 | Indéterminé tôle | Fer | 1714625,356 | 5162725,967 | 16,1 | 575,85 |
| 2014 | | 1135 | | Fer | | | | |
| 2014 | | 1102 | Indéterminé tôle | Fer | | | 1,2 | |
| 2014 | 24405-1 | 1284 | Bague | Base-cuivre | | | 0,1 | |
| 2014 | HC | 1285 | Monnaie | Fer | | | 63,8 | |
| 2014 | 24528-1 | 918 | Outils trop fragmentaires | Fer | 1714653,598 | 5162733,155 | 6,8 | 576,13 |
| 2014 | HC | 1286 | Monnaie | | | | | |
| 2014 | HC | 1286? | Agrafe de réparation | Plomb | | | 8,6 | |
| 2014 | 24903 | 1287 | Indéterminé tôle | Base-cuivre | | | 1,3 | |
| 2014 | 24104 | 1288 | Fusaïole | Terre cuite | | | 9,4 | |
| 2014 | 24439-1 | 1019 | Indéterminé plat | Fer | 1714586,876 | 5162690,929 | 7,7 | 578,2 |
| 2014 | H.C | 967 | Indéterminé tôle | Fer | 1714614,192 | 5162716,15 | 5,4 | 576,12 |
| 2014 | H.C | 969 | Indéterminé plat | Fer | 1714614,192 | 5162716,15 | 8,4 | 576,12 |
| 2014 | HC | 1121 | Indéterminé tôle | Fer | | | 6,5 | |
| 2014 | 24512 | 905 | Fibule | Fer | 1714621,595 | 5162721,621 | 1,8 | 576,02 |
| 2014 | 24HC | 1149 | Indéterminé tôle | Plomb | | | 5,6 | |
| 2014 | HC | 1101 | Agrafe de réparation | Plomb | | | 9,5 | |
| 2014 | HC | 1113 | Fusaïole | Plomb | | | 24,8 | |
| 2014 | HC | 1083 | Agrafe de réparation | Plomb | | | 4,6 | |
| 2014 | 24027 | 939 | Indéterminé tôle | Plomb | 1714595,116 | 5162692,912 | 57,9 | 578,1 |
| 2014 | HC | 1133 | Agrafe de réparation | Plomb | | | 9,6 | |
| 2014 | HC | 1091 | Indéterminé tôle | Plomb | | | 21,1 | |
| 2014 | HC | 1081 | Indéterminé tôle | Plomb | | | 57,5 | |
| 2014 | HC | 1087 | Goutte | Plomb | | | 1,7 | |
| 2014 | HC | 1106 | Indéterminé tôle | Plomb | | | 4,2 | |
| 2014 | HC | 1088 | Indéterminé tôle | Plomb | | | 3,3 | |
| 2014 | HC | 1080 | Goutte | Plomb | | | 1,2 | |
| 2014 | HC | 1137 | Perle | Os | | | 0,6 | |
| 2014 | 24041 | 1124 | Silex | Lithique | | | | |
| 2014 | H.C | 971 | Silex | Lithique | 1714614,192 | 5162716,15 | | 576,12 |
| 2014 | 24093-3 | 933 | Aiguiseur | Lithique | 1714583,853 | 5162701,242 | 73 | 578,4 |
| 2014 | 24408-1 | 893 | Monnaie | Lithique | 1714856,971 | 5162800,913 | 2693 | 571,07 |
| 2014 | 24439-1 | 1018 | Silex | Lithique | | | | |
| 2014 | 24086-2 | 1157 | Concasseur | Lithique | 1714581,019 | 5162687,848 | 522 | 578,38 |
| 2014 | 24092 | 924 | Concasseur | Lithique | | | 151 | |
| 2014 | 24092 | 923 | Silex | Lithique | | | | |
| 2014 | 24457-1 | 1010 | Demi-produit (autres métaux) | Os | 1714583,174 | 5162704,846 | 6,2 | 577,7 |
| 2014 | HC | 1138 | Indéterminé tôle | Plomb | | | 12,6 | |
| 2014 | HC | 1148 | Dechet de production | Plomb | | | 9,1 | |
| 2014 | 24401 | 493 | Bracelet | Verre | 1714577,32 | 5162696,752 | 2,6 | 578,61 |
| 2014 | 24071-1 | 1084 | Outils trop fragmentaires | Os | 1714583,819 | 5162689,822 | 1,1 | 578,48 |
| 2014 | H.C | 964 | Recipient | Verre | 1714614,192 | 5162716,15 | 0,8 | 576,12 |
| 2014 | HC | 1107 | Pigment | Autre | | | 1,1 | |
| 2014 | 24109 | 497 | Tesselle | Terre cuite | 1714599,831 | 5162654,864 | 2,4 | 579,13 |
| 2014 | HC | 888 | Recipient | Verre | | | 1,4 | |
| 2014 | HC | 1126 | Recipient | Verre | | | 0,3 | |

| | | | | | | | | | |
|------|---------|------|---------------------------|-------------|-------------|-------------|-------|--------|--------|
| 2014 | 24017 | 1100 | Recipient | Verre | | | | 1,7 | |
| 2014 | HC | 1141 | Indéterminé tôle | Plomb | | | | 8,8 | |
| 2014 | HC | | | Autre | | | | 4,8 | |
| 2014 | 24092 | 885 | Fusaïole | Terre cuite | 1714583,896 | 5162703,842 | | 19,3 | 578,38 |
| 2014 | 24422-1 | 868 | Fusaïole | Terre cuite | 1714572,325 | 5162697,866 | | 3,7 | 578,47 |
| 2014 | 24089 | 1119 | Fusaïole | Terre cuite | 1714636,033 | 5162734,03 | | 57,1 | 575,57 |
| 2014 | HC | 1085 | Clous de chaussures | Fer | | | | 1,3 | |
| 2014 | 24138-1 | 863 | Piton | Fer | 1714596,625 | 5162664,501 | 18,8, | | 578,65 |
| 2014 | HC | 1122 | Ferrure | Fer | | | | 27,1 | |
| 2014 | H.C | 1047 | Ferrure | Fer | 1714605,738 | 5162688,794 | | 22,8 | 578,51 |
| 2014 | HC | 472 | Ferrure | Fer | | | | 48,9 | |
| 2014 | 24139 | 1049 | Rate de production | Plomb | 1714600,371 | 5162688,975 | | 31 | 578,32 |
| 2014 | 24092 | 886 | Pique-bœuf | Fer | 1714584,826 | 5162704,211 | | 11,9 | 578,38 |
| 2014 | HC | 1123 | Lance | Fer | | | | 63,8 | |
| 2014 | 24428 | 874 | Indéterminé tôle | Fer | 1714578,888 | 5162689,907 | | 31,1 | 578,58 |
| 2014 | 24527 | 838 | Fusaïole | Terre cuite | 1714625,417 | 5162725,948 | | 7,4 | 575,85 |
| 2014 | 24405-1 | 1073 | Fibule | Fer | 1714579,818 | 5162698,67 | | 5,2 | 578,27 |
| 2014 | 24512 | 979 | Chaudron | Fer | 1714630,61 | 5162723,955 | | 17,3 | 575,96 |
| 2014 | HC | 1099 | Outils trop fragmentaires | Fer | | | | 116,4 | |
| 2014 | 24093-1 | 934 | Perle | Autre | 1714584,409 | 5162700,386 | | 0,2 | 578 |
| 2015 | 24088 | 28 | Flèche | Fer | 1714599,003 | 5162683,158 | | 7,32 | 578,12 |
| 2015 | 24088 | 30 | Fusaïole | Ceramique | 1714599,234 | 5162682,712 | | 17,69 | 578,12 |
| 2015 | 24088 | 63 | Indéterminé tige | Base-cuivre | 1714599,781 | 5162682,284 | | 0,32 | 578,1 |
| 2015 | 25008 | 77 | Fibule | Base-cuivre | 1714596,567 | 5162685,957 | | 2,08 | 578,34 |
| 2015 | 25012-1 | 101 | Passe-guide | Base-cuivre | 1714601,075 | 5162616,017 | | 28,47 | 579,07 |
| 2015 | 25012-1 | 102 | Jeton | Ceramique | 1714600,8 | 5162616,059 | | 2,63 | 579,07 |
| 2015 | 25012-1 | 103 | Indéterminé tôle | Base-cuivre | 1714600,207 | 5162615,629 | | 0,15 | 579,12 |
| 2015 | 25012-1 | 104 | Jeton | Ceramique | 1714599,802 | 5162615,619 | | 6,28 | 579,16 |
| 2015 | 25012-1 | 105 | Indéterminé tôle | Fer | 1714598,392 | 5162615,188 | | 10,35 | 579,28 |
| 2015 | 25012-1 | 108 | Indéterminé tôle | Fer | 1714600,57 | 5162616,613 | | 83,58 | 579,09 |
| 2015 | 25008 | 116 | Bouclier | Fer | 1714599,571 | 5162687,957 | | 112,78 | 578,06 |
| 2015 | 25008 | 117 | Crampon | Fer | 1714600,238 | 5162687,631 | | 8,12 | 577,97 |
| 2015 | 25008 | 118 | Indéterminé objet | Base-cuivre | 1714601,492 | 5162687,591 | | 1,55 | 577,9 |
| 2015 | 25008 | 119 | Indéterminé verre | Verre | 1714601,724 | 5162687,683 | | 2,02 | 577,87 |
| 2015 | 25008 | 120 | Silex | Lithique | 1714599,771 | 5162690,243 | | 3,97 | 577,88 |
| 2015 | 25304 | 123 | Bracelet | Base-cuivre | | | | 0,47 | 579,79 |
| 2015 | 25012-1 | 125 | Monnaie | Base-cuivre | 1714576,513 | 5162675,523 | | 1,68 | 578,82 |
| 2015 | 24092 | 144 | Jeton | Ceramique | | | | 11,65 | |
| 2015 | 24092 | 145 | Jeton | Ceramique | | | | 8,38 | |
| 2015 | 25304 | 165 | Indéterminé tôle | Base-cuivre | 1714584,956 | 5162644,745 | | 1,82 | 579,94 |
| 2015 | 25005 | 196 | Estampille amphore | Terre cuite | | | | 587 | |
| 2015 | 24088 | 203 | Lance | Fer | 1714597,823 | 5162682,797 | | 55,33 | 578,08 |
| 2015 | 24155 | 205 | Indéterminé tôle | Fer | 1714598,485 | 5162681,618 | | 4,34 | 578,19 |
| 2015 | 25313 | 216 | Fusaïole | Ceramique | 1714591,008 | 5162657,19 | | 11,95 | 578,83 |
| 2015 | 24088 | 217 | Indéterminé tige | Base-cuivre | 1714598,718 | 5162681,087 | | 0,78 | 578,14 |
| 2015 | 24088 | 218 | Anneau | Fer | 1714597,028 | 5162682,901 | | 4,01 | 578,14 |
| 2015 | 25304 | 219 | | Ceramique | | | | | |
| 2015 | 25311-1 | 222 | Jeton | Ceramique | 1714593,968 | 5162653,18 | | 10,53 | 579,15 |
| 2015 | 24088 | 233 | Fibule | Base-cuivre | 1714597,819 | 5162681,235 | | 1,7 | 578,14 |
| 2015 | 24088 | 234 | Indéterminé plat | Fer | 1714597,441 | 5162681,483 | | 19,37 | 578,12 |
| 2015 | 24153 | 235 | Tesselle | Lithique | 1714600,71 | 5162681,136 | | 2,5 | 578,07 |
| 2015 | 25304 | 237 | Fibule | Base-cuivre | 1714579,431 | 5162644,54 | | 8 | 579,96 |
| 2015 | 24088 | 239 | Indéterminé tôle | Fer | 1714598,387 | 5162681,73 | | 8,05 | 578,2 |
| 2015 | 25330 | 256 | Jeton | Ceramique | 1714608,195 | 5162683,314 | | 9,96 | 577,69 |
| 2015 | 25312 | 291 | Indéterminé ceram | Ceramique | | | | 3,07 | |
| 2015 | 24088 | 314 | Indéterminé plat | Fer | | | | 12,05 | |
| 2015 | 25005 | 315 | Monnaie | Base-cuivre | | | | 1,1 | |
| 2015 | 24088 | 319 | Indéterminé tige | Fer | | | | 0,95 | |

| | | | | | | | | |
|------|---------|-----|-------------------------|-------------|-------------|-------------|-------|--------|
| 2015 | 24088 | 328 | Jeton | Ceramique | | | 5,23 | |
| 2015 | 25008 | 331 | Silex | Lithique | | | 1,12 | |
| 2015 | 24088 | 333 | Indéterminé tige | Base-cuivre | | | 1,02 | |
| 2015 | 25312 | 346 | Recipient | Ceramique | | | 43,94 | |
| 2015 | 25337 | 347 | Indéterminé verre | Verre | 1714603,898 | 5162642,814 | 2,91 | 579,29 |
| 2015 | 25337 | 350 | Indéterminé tôle | Base-cuivre | 1714607,053 | 5162644,218 | 0,95 | 578,22 |
| 2015 | 25312 | 351 | Demi-produit (fe) | Fer | 1714592,784 | 5162655,076 | 64,56 | 578,84 |
| 2015 | 25030 | 353 | Dechet de fabrication | Os | | | 5,35 | 577,63 |
| 2015 | 25337 | 355 | Perle | Base-cuivre | 1714607,449 | 5162643,763 | 1,86 | 579,17 |
| 2015 | 25337 | 357 | Ferrure | Fer | | | 22,05 | |
| 2015 | 24088 | 358 | Jeton | Ceramique | | | 4,8 | |
| 2015 | 25312 | 360 | Tesselle | Lithique | 1714592,553 | 5162655,523 | 2,7 | 578,85 |
| 2015 | 25338 | 361 | Indéterminé objet | Base-cuivre | 1714588,848 | 5162651,36 | 2,1 | 579,23 |
| 2015 | 25337 | 369 | Armille | Base-cuivre | 1714605,706 | 5162643,113 | 0,28 | 579,24 |
| 2015 | 25338 | 370 | Gond | Fer | 1714588,832 | 5162651,591 | 21,97 | 579,23 |
| 2015 | 25337 | 379 | Indéterminé tige | Base-cuivre | 1714604,791 | 5162643,438 | 0,53 | 579,27 |
| 2015 | 25338 | 382 | Rivet | Fer | 1714587,318 | 5162653,614 | 25,94 | 579,29 |
| 2015 | 25338 | 407 | Perle | Base-cuivre | 1714588,554 | 5162654,891 | 2,27 | 578,23 |
| 2015 | 25336 | 418 | Clef | Fer | 1714607,167 | 5162647,126 | 26,7 | 578,79 |
| 2015 | 25337 | 430 | | Ceramique | 1714603,504 | 5162645,025 | | 578,98 |
| 2015 | 25345 | 436 | Peigne | Os | 1714606,9 | 5162661,256 | 2,07 | 578,1 |
| 2015 | 25044 | 443 | Virole | Base-cuivre | | | 1,21 | |
| 2015 | 25044 | 444 | Fibule | Base-cuivre | | | 1,5 | |
| 2015 | 25338 | 447 | Stylets | Fer | 1714578,719 | 5162674,71 | 10,88 | 583,07 |
| 2015 | 25008 | 480 | Indéterminé tôle | Base-cuivre | | | 0,65 | |
| 2015 | 25353 | 485 | Silex | Lithique | | | 12,98 | |
| 2015 | 25051 | 512 | Indéterminé objet | Fer | 1714593,221 | 5162684,304 | 93,08 | 578,48 |
| 2015 | 25051 | 513 | Fibule | Base-cuivre | 1714594,457 | 5162681,33 | 6,74 | 578,35 |
| 2015 | 25352 | 514 | Outil trop fragmentaire | Fer | 1714638,98 | 5162704,168 | 53 | |
| 2015 | 25051 | 517 | Fibule | Base-cuivre | 1714593,035 | 5162685,64 | 4,6 | 578,41 |
| 2015 | 25051 | 518 | Perle | Base-cuivre | 1714595,792 | 5162682,302 | 3,26 | 578,29 |
| 2015 | 25051 | 519 | Indéterminé tige | Base-cuivre | 1714593,002 | 5162681,742 | 0,49 | 578,52 |
| 2015 | 25051 | 520 | Ferrure | Fer | 1714595,591 | 5162682,158 | 15,26 | 578,27 |
| 2015 | 25051 | 521 | Indéterminé tôle | Base-cuivre | 1714592,233 | 5162685,924 | 0,21 | 578,5 |
| 2015 | 25051 | 522 | Jeton | Ceramique | 1714591,242 | 5162686,089 | 2,29 | 578,54 |
| 2015 | 25051 | 523 | Monnaie | Base-cuivre | 1714593,919 | 5162685,12 | 4,8 | |
| 2015 | 25355-1 | 525 | Jeton | Ceramique | 1714586,165 | 5162684,728 | 53,19 | |
| 2015 | 25369 | 526 | Indéterminé tige | Base-cuivre | 1714584,684 | 5162682,364 | 0,76 | |
| 2015 | 25355-1 | 527 | Epingle vestimentaire | Base-cuivre | 1714587,063 | 5162683,525 | 3,93 | |
| 2015 | 25051 | 528 | Rivet | Base-cuivre | | | 0,06 | 578,41 |
| 2015 | 25051 | 529 | Silex | Lithique | | | 5,22 | 578,46 |
| 2015 | 25353 | 536 | Outil trop fragmentaire | Fer | 1714590,813 | 5162680,237 | 20,45 | 578,62 |
| 2015 | 25367-1 | 537 | Jeton | Ceramique | | | 7,89 | 578,49 |
| 2015 | 25367-1 | 539 | Jeton | Ceramique | 1714586,933 | 5162685,152 | 57,46 | |
| 2015 | 25051 | 540 | Jeton | Ceramique | | | 3 | |
| 2015 | 25367-1 | 542 | Jeton | Ceramique | 1714586,847 | 5162684,773 | 4,8 | |
| 2015 | 25356 | 545 | Silex | Lithique | 1714592,761 | 5162683,917 | 0,52 | 590,2 |
| 2015 | 25367-1 | 547 | Indéterminé tige | Fer | 1714586,286 | 5162684,561 | 1,15 | |
| 2015 | 25356 | 549 | Indéterminé tôle | Base-cuivre | 1714592,152 | 5162683,556 | 0,04 | 590,39 |
| 2015 | 25356 | 550 | Outil trop fragmentaire | Fer | 1714592,152 | 5162683,933 | 14,27 | 590,37 |
| 2015 | 25371 | 554 | Pendentif | Base-cuivre | | | 1,93 | |
| 2015 | 25371 | 555 | Piton | Fer | | | 11,79 | |
| 2015 | 25367-1 | 558 | Indéterminé ceram | Ceramique | | | 6,53 | |
| 2015 | 25375 | 560 | Indéterminé tôle | Fer | 1714592,922 | 5162676,663 | 18,55 | 578,53 |
| 2015 | 25379-1 | 574 | Clou de chaussures | Fer | | | 1,45 | |
| 2015 | 25380 | 578 | Rivet | Base-cuivre | 1714596,129 | 5162683,297 | 0,75 | 578,33 |

| | | | | | | | | |
|--------------|-------------|-------------|------------------------------|----------------|-------------|-------------|--------------|------------|
| 2015 | 25381-1 | 592 | Indéterminé plat | Fer | 1714590,398 | 5162677,436 | 16,28 | 578,66 |
| 2015 | 25030 | 607 | Clou | Fer | | | 10,45 | 577,42 |
| 2015 | 25030 | 608 | Plaque-foyère | Terre cuite | | | 413 | 577,52 |
| 2015 | 25382 | 650 | Estampille amphore | Ceramique | 1714597,797 | 5162685,488 | 78,71 | 578,22 |
| 2015 | 25382 | 651 | Mortier | Lithique | 1714598,84 | 5162685,708 | 673 | 578,14 |
| 2015 | 25382-1 | 690 | Indéterminé lithique | Lithique | 1714588,696 | 5162683,829 | 50,46 | 578,13 |
| 2015 | 25371-1 | 719 | Estampille amphore | Ceramique | 1714573,52 | 5162680,941 | 200 | 578,34 |
| 2015 | 25012-1 | 723 | Indéterminé tige | Fer | | | 3,81 | |
| 2015 | 24154 | 731 | Indéterminé tôle | Base-cuivre | | | 0,12 | |
| 2015 | 25371 | 750 | Fibule | Base-cuivre | | | 7,52 | |
| 2015 | 25051 | 756 | Indéterminé tôle | Base-cuivre | | | 0,19 | |
| 2015 | 25371 | 757 | Indéterminé objet | Fer | | | 3,56 | |
| 2015 | 25371 | 760 | Monnaie | Base-cuivre | | | 1,77 | |
| 2015 | 25015 | 768 | Silex | Lithique | | | 1,36 | |
| 2015 | 25371-1 | 782 | Indéterminé plat | Fer | 1714574,562 | 5162681,57 | 121,11 | 578,24 |
| 2015 | 25371-1 | 809 | Indéterminé tige | Base-cuivre | 1714699,108 | 5162627,547 | 2,48 | 578,19 |
| Année | UF | N° | | Matière | Est | Nord | Poids | Alt |
| 2014,291238 | 24036,33333 | 272,0062012 | Fibule | Fer | | | 32,38785319 | |
| 2014,291538 | 24037,75641 | 282,7995148 | Rivet | Fer | | | 32,38876221 | |
| 2014,291838 | 24039,17949 | 293,5928283 | Clou | Fer | | | 32,38967123 | |
| 2015 | 25435-1 | 968 | Fibule | Base-cuivre | | | 5,46 | 578,36 |
| 2015 | 25005 | 1031 | Jeton | Ceramique | | | 18,73 | |
| 2015 | 25015 | 1032 | Restes humains | Os | | | 25,23 | |
| 2015 | 25386 | 1035 | Chute | Fer | | | 5,74 | |
| 2015 | 25337 | 1064 | Scorie | Fer | | | 47,86 | |
| 2015 | 25349 | 1067 | Indéterminé tôle | Base-cuivre | | | 0,24 | |
| 2015 | 25337 | 1071 | Jeton | Ceramique | | | 11,02 | |
| 2015 | 25300 | 96 | Clou decoratif | Fer | 1714629,888 | 5162647,816 | 0,41 | 578,41 |
| 2015 | 25300 | 112 | Coulure | Base-cuivre | 1714628,148 | 5162649,083 | 2,47 | 578,45 |
| 2015 | 25300 | 114 | | | | | | |
| 2015 | 25300 | 121 | Perle | Base-cuivre | 1714627,781 | 5162647,786 | 7,97 | 578,52 |
| 2015 | 25300 | 122 | Monnaie | Base-cuivre | 1714626,574 | 5162648,113 | 2,44 | 578,52 |
| 2015 | 25303 | 124 | Perle | Base-cuivre | 1714617,193 | 5162650,465 | 0,49 | 578,66 |
| 2015 | 25303 | 140 | Indéterminé tôle | Fer | 1714618,566 | 5162650,774 | 52,4 | 578,67 |
| 2015 | 25300 | 155 | Indéterminé tôle | Fer | 1714609,475 | 5162645,569 | 18,25 | 579,12 |
| 2015 | 25300 | 156 | Indéterminé plat | Fer | 1714608,822 | 5162644,018 | 11,83 | 579,28 |
| 2015 | 25300 | 161 | Clef | Fer | | | 10,17 | |
| 2015 | 25300 | 164 | Indéterminé objet | Base-cuivre | 1714609,421 | 5162644,352 | 8,05 | 579,19 |
| 2015 | 25302 | 174 | Miroir | Base-cuivre | 1714629,547 | 5162624,577 | 1,35 | 578,53 |
| 2015 | 25302 | 175 | Indéterminé tôle | Base-cuivre | 1714618,312 | 5162652,577 | 0,83 | 578,55 |
| 2015 | 25302 | 177 | Monnaie | Base-cuivre | 1714619,067 | 5162653,9 | 1,81 | 578,4 |
| 2015 | 25302 | 178 | Fibule | Base-cuivre | 1714621,282 | 5162653,091 | 3,97 | 578,53 |
| 2015 | 25302 | 179 | Indéterminé tige | Base-cuivre | 1714621,293 | 5162653,063 | 0,13 | 578,52 |
| 2015 | 25302 | 180 | Indéterminé verre | Verre | 1714621,394 | 5162653,135 | 0,56 | 578,51 |
| 2015 | HC | 187? | Monnaie | | | | | |
| 2015 | 25303 | 187 | Indéterminé plat | Fer | 1714620,305 | 5162651,487 | 5,94 | 578,59 |
| 2015 | 25310 | 188 | Indéterminé verre | Verre | 1714603,901 | 5162644,161 | 5,84 | 579,51 |
| 2015 | 25310 | 190 | Indéterminé verre | Verre | 1714603,791 | 5162644,439 | 9,6 | 579,52 |
| 2015 | 25303 | 191 | Demi-produit (fe) | Fer | 1714620,008 | 5162651,422 | 59,24 | 578,63 |
| 2015 | 25302 | 194 | Jeton | Ceramique | | | 10,83 | |
| 2015 | 25310 | 195 | Indéterminé verre | Verre | | | 3,26 | |
| 2015 | 25302 | 197 | Ciseau | Fer | 1714619,407 | 5162652,529 | 13,12 | 578,53 |
| 2015 | 25300 | 199? | Monnaie | Base-cuivre | | | | |
| 2015 | 25310 | 199 | Demi-produit (autres metaux) | Plomb | | | 6,29 | |
| 2015 | 25300 | 206 | | Ceramique | | | | |
| 2015 | 25310 | 207 | Jeton | Ceramique | | | 3,15 | |

| | | | | | | | | |
|------|-------|-----|-----------------------|-------------|-------------|-------------|-------|--------|
| 2015 | 25310 | 210 | Fourreau | Fer | | | 27,03 | |
| 2015 | 25303 | 213 | Indéterminé plat | Fer | 1714672,492 | 5162778,596 | 8,41 | 578,73 |
| 2015 | 25300 | 214 | Fibule | Base-cuivre | 1714615,762 | 5162646,808 | 0,76 | 578,83 |
| 2015 | 25310 | 220 | Indéterminé verre | Verre | 1714605,609 | 5162643,193 | 1,85 | 579,44 |
| 2015 | 25310 | 223 | Clou de chaussures | Fer | 1714604,211 | 5162641,54 | 2,2 | 579,59 |
| 2015 | 25310 | 224 | Fusaïole | Ceramique | | | 10,13 | |
| 2015 | 25303 | 225 | Jeton | Ceramique | 1714621,825 | 5162650,993 | 8,9 | 578,64 |
| 2015 | 25310 | 227 | Bracelet | Base-cuivre | 1714605,856 | 5162643,764 | 2,88 | 579,34 |
| 2015 | 25303 | 232 | Applique | Base-cuivre | 1714617,602 | 5162647,324 | 6,33 | 578,72 |
| 2015 | 25310 | 236 | Perle | Ceramique | 1714605,413 | 5162643,201 | 5,24 | 579,47 |
| 2015 | 25327 | 241 | Indéterminé objet | Fer | | | 81,23 | |
| 2015 | 25310 | 244 | Indéterminé verre | Verre | | | 0,13 | |
| 2015 | 25303 | 247 | Applique | Base-cuivre | 1714627,091 | 5162650,74 | 0,97 | 578,79 |
| 2015 | 25303 | 248 | Crampon | Fer | 1714627,342 | 5162650,84 | 1,62 | 578,82 |
| 2015 | 25303 | 249 | Indéterminé tôle | Base-cuivre | 1714628,914 | 5162648,129 | 0,21 | 578,92 |
| 2015 | 25314 | 251 | Eperon | Base-cuivre | 1714597,75 | 5162666,896 | 10,9 | 578,58 |
| 2015 | 25314 | 252 | Indéterminé ceram | Ceramique | 1714612,344 | 5162643,631 | 48,19 | 579,01 |
| 2015 | 25300 | 253 | Virole | Fer | 1714625,526 | 5162648,504 | 7,56 | 578,54 |
| 2015 | 25303 | 254 | Fibule | Base-cuivre | 1714629,831 | 5162651,075 | 0,18 | 578,92 |
| 2015 | 25310 | 257 | Indéterminé verre | Verre | 1714604,667 | 5162642,098 | 0,24 | 579,55 |
| 2015 | 25306 | 259 | Indéterminé verre | Verre | 1714631,431 | 5162646,643 | 2,19 | 578,62 |
| 2015 | 24029 | 261 | Rivet | Base-cuivre | 1714616,031 | 5162648,948 | 0,35 | 578,72 |
| 2015 | 25305 | 263 | Jeton | Ceramique | 1714603,136 | 5162642,242 | 4 | 579,66 |
| 2015 | 25325 | 264 | Scorie | Base-cuivre | 1714628,173 | 5162651,944 | 9,09 | 578,28 |
| 2015 | 25306 | 265 | Scorie | Base-cuivre | 1714628,557 | 5162651,925 | 22 | 578,33 |
| 2015 | 25303 | 266 | Crampon | Fer | 1714630,401 | 5162648,827 | 22,35 | 578,97 |
| 2015 | 25315 | 267 | Indéterminé tôle | Fer | 1714630,047 | 5162651,667 | 37,25 | 578,98 |
| 2015 | 25303 | 270 | Indéterminé tige | Base-cuivre | 1714618,389 | 5162645,829 | 0,22 | 578,77 |
| 2015 | 25333 | 271 | Indéterminé ceram | Ceramique | 1714609,42 | 5162663,173 | 52,13 | 578,89 |
| 2015 | 25306 | 272 | Perle | Base-cuivre | 1714629,094 | 5162649,545 | 0,43 | 578,41 |
| 2015 | 25332 | 273 | Clou decoratif | Base-cuivre | 1714625,833 | 5162652,93 | 1,7 | 578,29 |
| 2015 | 25306 | 274 | Applique | Base-cuivre | 1714628,918 | 5162649,744 | 0,92 | 578,4 |
| 2015 | 25306 | 275 | Ferrure | Fer | 1714626,842 | 5162651,286 | 31,67 | 578,3 |
| 2015 | 25314 | 276 | Indéterminé plat | Fer | 1714616,451 | 5162641,852 | 14,95 | 579,02 |
| 2015 | 25314 | 278 | Ustensile Indéterminé | Fer | 1714613,193 | 5162642,171 | 16,03 | 579,12 |
| 2015 | 25314 | 279 | Indéterminé verre | Verre | 1714613,271 | 5162641,191 | 0,8 | 579,17 |
| 2015 | 25314 | 283 | Silex | Lithique | 1714614,08 | 5162641,319 | 35,26 | 579,09 |
| 2015 | 25314 | 288 | Silex | Lithique | | | 6,95 | |
| 2015 | 25302 | 292 | Indéterminé tôle | Fer | 1714619,973 | 5162652,269 | 5 | 578,56 |
| 2015 | 25300 | 293 | Indéterminé verre | Verre | 1714604,476 | 5162643,689 | 0,35 | 579,51 |
| 2015 | 25314 | 354 | Jeton | Ceramique | | | 37,27 | |
| 2015 | 25300 | 356 | Ferrure | Fer | | | 4,96 | |
| 2015 | 25314 | 374 | Indéterminé tige | Base-cuivre | 1714617,297 | 5162647,278 | 1,06 | 578,86 |
| 2015 | 25309 | 378 | Indéterminé verre | Verre | 1714604,58 | 5162644,484 | 0,94 | |
| 2015 | 25300 | 380 | Jeton | Ceramique | 1714606,302 | 5162633,923 | 54,64 | 579,57 |
| 2015 | 25321 | 384 | Scorie | Base-cuivre | | | 16,86 | |
| 2015 | 25300 | 385 | Monnaie | Base-cuivre | | | 0,4 | |
| 2015 | 25300 | 386 | | | 1714617,099 | 5162646,123 | | 578,82 |
| 2015 | 25300 | 392 | Indéterminé objet | Fer | 1714606,718 | 5162634,229 | 2,94 | 579,53 |
| 2015 | 25300 | 394 | Scorie | Base-cuivre | 1714624,909 | 5162647,268 | 6,32 | 578,52 |
| 2015 | 25327 | 395 | Ecrou | Fer | | | 54,34 | |
| 2015 | 25300 | 399 | Fibule | Fer | 1714608,1 | 5162634,326 | 2,069 | 579,45 |
| 2015 | 25300 | 400 | Scorie | Base-cuivre | 1714624,303 | 5162647,114 | 11,61 | 578,41 |
| 2015 | 25300 | 403 | Jeton | Ceramique | 1714588,285 | 5162680,965 | 14,92 | 579,54 |
| 2015 | 25300 | 417 | Perle | Base-cuivre | 1714611,107 | 5162648,369 | 4,29 | 578,92 |
| 2015 | 25300 | 419 | Indéterminé tôle | Fer | 1714617,91 | 5162647,199 | 4,74 | 578,74 |
| 2015 | 25306 | 420 | Perle | Base-cuivre | 1714637,435 | 5162650,353 | 1,1 | 578,14 |
| 2015 | 25306 | 421 | Clou de chaussures | Fer | 1714639,028 | 5162645,939 | 0,86 | 578,25 |

| | | | | | | | | |
|------|---------|-------|------------------------------|-------------|-------------|-------------|-------|--------|
| 2015 | 25300 | 422 | Cabochon | Base-cuivre | 1714627,197 | 5162652,558 | 1,87 | 577,97 |
| 2015 | 25300 | 423 | Bracelet | Base-cuivre | 1714627,085 | 5162653,191 | 1,62 | 577,95 |
| 2015 | 25300 | 425 | Indéterminé tôle | Or | 1714625,522 | 5162654,335 | 0,07 | 577,92 |
| 2015 | 25300 | 426 | Perle | Base-cuivre | 1714606,332 | 5162652,261 | 1,55 | 578,45 |
| 2015 | 25300 | 427 | Silex | Lithique | 1714607,646 | 5162652,202 | 25,67 | 578,4 |
| 2015 | 25300 | 428 | Indéterminé plat | Fer | 1714610,05 | 5162648,347 | 6,55 | 578,6 |
| 2015 | 25300 | 467 | Scorie | Base-cuivre | | | 56,73 | |
| 2015 | 25300 | 479 | Silex | Lithique | | | 5,87 | |
| 2015 | 25314 | 482 | Jeton | Ceramique | | | 16,7 | |
| 2015 | 25300 | 490 | Scorie | Base-cuivre | | | 14,79 | |
| 2015 | 25325 | 492 | Scorie | Base-cuivre | | | 22,11 | |
| 2015 | 25376-1 | 562 | Jeton | Ceramique | 1714586,931 | 5162682,665 | 2,46 | |
| 2015 | 25376-1 | 564 | Jeton | Ceramique | | | 4,19 | |
| 2015 | 25376-1 | 566 | Ferrure | Fer | 1714586,562 | 5162682,54 | 21,66 | |
| 2015 | 25383 | 634 | Rivet | Fer | 1714627,942 | 5162587,052 | 6,7 | 579,57 |
| 2015 | 25383 | 661 | Rivet | Fer | 1714605,759 | 5162644,307 | 2,02 | 579,43 |
| 2015 | 25383 | 671 | Silex | Lithique | 1714606,604 | 5162630,32 | 1,41 | 579,52 |
| 2015 | 25414 | 716 | Timon | Base-cuivre | 1714618,323 | 5162645,103 | 19,43 | |
| 2015 | 25300 | 725 | Indéterminé lithique | Lithique | | | 7,31 | |
| 2015 | 25300 | 736 | Coulure | Base-cuivre | | | 0,55 | |
| 2015 | 25314 | 738 | Silex | Lithique | | | 11,18 | |
| 2015 | 25300 | 753 | Scorie | Fer | | | 4,38 | |
| 2015 | 25300 | 769 | Indéterminé tôle | Plomb | | | 1,03 | |
| 2015 | 25300 | 772 | Scorie | Base-cuivre | | | 1,31 | |
| 2015 | 25314 | 774 | Indéterminé tôle | Fer | | | 10,65 | |
| 2015 | 25304 | 775 | Applique | Base-cuivre | | | 1,66 | |
| 2015 | 25300 | 777 | Scorie | Base-cuivre | | | 74,17 | |
| 2015 | 25417 | 928 | Monnaie | Base-cuivre | 1714623,913 | 5162648,907 | | 578,44 |
| 2015 | 25417 | 930 | Clou decoratif | Base-cuivre | 1714626,871 | 5162649,587 | 1,35 | 578,39 |
| 2015 | 25391-1 | 945 | Cremaillère | Fer | 1714613,376 | 5162645,365 | 48,12 | 578,69 |
| 2015 | 25408-1 | 946 | Indéterminé tige | Base-cuivre | 1714616,54 | 5162645,987 | 6 | 578,69 |
| 2015 | 25408-1 | 947 | Indéterminé tôle | Fer | 1714616,587 | 5162646,275 | 12,1 | 578,7 |
| 2015 | 25408-1 | 948 | Indéterminé tôle | Base-cuivre | 1714616,75 | 5162646,082 | 1 | 578,72 |
| 2015 | 25408-1 | 949 | Perle | Verre | 1714616,096 | 5162647,457 | 12,18 | 578,57 |
| 2015 | 25408-2 | 950 | Indéterminé tige | Fer | 1714617,088 | 5162646,098 | 14 | 578,38 |
| 2015 | 25408-2 | 951 | Indéterminé tôle | Fer | 1714616,708 | 5162646,108 | 26,45 | 578,34 |
| 2015 | 25408-2 | 952 | Couteau multifonctionnel | Fer | 1714616,064 | 5162646,454 | 26,5 | 578,34 |
| 2015 | 25408-2 | 953 | Chaîne | Fer | 1714616,386 | 5162645,969 | 11,79 | 578,35 |
| 2015 | 25408-2 | 954 | Indéterminé tige | Fer | 1714615,653 | 5162646,948 | 16,2 | 578,34 |
| 2015 | 25408-2 | 955 | Couteau multifonctionnel | Fer | 1714616,662 | 5162646,574 | 30,89 | 578,34 |
| 2015 | 25408-2 | 956 | Indéterminé verre | Verre | 1714617,472 | 5162646,433 | 4,7 | 578,34 |
| 2015 | 25408-2 | 957 | Ferrure | Fer | 1714643,557 | 5162635,138 | 53,2 | 578,4 |
| 2015 | 25408-2 | 958 | Demi-produit (autres métaux) | Base-cuivre | 1714617,682 | 5162646,011 | 2,2 | 578,39 |
| 2015 | 25408-2 | 959 | Indéterminé tige | Base-cuivre | 1714617,117 | 5162645,539 | 0,43 | 578,44 |
| 2015 | 25408-2 | 960 | Ferrure | Fer | 1714616,587 | 5162647,114 | 29,4 | 578,41 |
| 2015 | 25408-2 | 961 | Indéterminé plat | Fer | 1714617,045 | 5162645,908 | 17,6 | 578,44 |
| 2015 | 25408-2 | 962 | Indéterminé plat | Fer | 1714617,509 | 5162646,394 | 3,2 | 578,52 |
| 2015 | 25408-2 | 963 | Indéterminé tôle | Base-cuivre | 1714616,405 | 5162646,03 | 2,6 | 578,47 |
| 2015 | 25408-2 | 964 | Jeton | Ceramique | 1714615,979 | 5162645,667 | 31,66 | 578,34 |
| 2015 | 25408-2 | 965 | Indéterminé plat | Fer | 1714616,801 | 5162647,092 | 12,5 | 578,34 |
| 2015 | 25408-2 | 966 | Ferrure | Fer | 1714616,669 | 5162646,91 | 25,2 | 578,48 |
| 2015 | 25391-1 | 972 | Jeton | Ceramique | | | 9,97 | |
| 2015 | 25391-1 | 973 | Fibule | Fer | | | 2,47 | |
| 2015 | 25391-1 | 974 | Indéterminé tige | Fer | | | 0,5 | |
| 2015 | 25449-1 | 998 | Silex | Lithique | 1714608,717 | 5162650,863 | 3,5 | 578,4 |
| 2015 | 25449-1 | 999 | Piton | Fer | 1714608,568 | 5162650,696 | 7,9 | 578,49 |
| 2015 | 25416-1 | 1000a | Herminette/hache | Fer | 1714610,975 | 5162647,886 | 226 | 578,66 |
| 2015 | 25416-1 | 1001 | Fusaïole | Ceramique | 1714610,846 | 5162647,942 | 7,3 | 578,66 |
| 2015 | 25416-1 | 1002 | Monnaie | Base-cuivre | 1714611,065 | 5162647,933 | | 578,6 |

| | | | | | | | | |
|------|---------|------|-------------------------|-------------|-------------|-------------|-------|--------|
| 2015 | 25416-1 | 1003 | Silex | Lithique | 1714610,896 | 5162647,898 | 27,3 | 578,63 |
| 2015 | 25408-5 | 1004 | Perle | Base-cuivre | 1714617,492 | 5162646,409 | 2,5 | 578,29 |
| 2015 | 25416-1 | 1005 | Indéterminé tôle | Fer | 1714610,788 | 5162647,952 | 49,4 | 577,79 |
| 2015 | 25416-1 | 1006 | Coulure | Base-cuivre | 1714610,872 | 5162647,931 | 4,6 | 577,78 |
| 2015 | 25416-1 | 1007 | Forces | Ceramique | 1714610,758 | 5162647,919 | 18,8 | 577,8 |
| 2015 | 25376-1 | 1008 | Enclume | Lithique | 1714611,771 | 5162646,696 | | 577,85 |
| 2015 | 25303 | 1019 | Scorie | Fer | | | 11,33 | |
| 2015 | 25303 | 1020 | Indéterminé tôle | Fer | | | 3,67 | |
| 2015 | 25300 | 1036 | Scorie | Base-cuivre | | | 3,08 | |
| 2015 | 25419 | 1049 | Indéterminé ceram | Ceramique | | | 6,21 | |
| 2015 | 25333-1 | 1072 | Estampille amphore | Ceramique | | | 537 | |
| 2015 | 25002 | 1 | Silex | Lithique | 1714606,045 | 5162676,595 | 2,97 | 578,06 |
| 2015 | 25002 | 3 | Rivet | Fer | 1714606,724 | 5162667,223 | 0,9 | 578,23 |
| 2015 | 25001 | 4 | Indéterminé verre | Verre | | | 0,44 | 578,8 |
| 2015 | 24094 | 5 | Ferrure | Fer | 1714601,382 | 5162678,39 | 22,45 | 578,29 |
| 2015 | 24094 | 6 | Forces | Fer | 1714600,244 | 5162675,161 | 25,7 | 578,3 |
| 2015 | 24094 | 7 | Ferrure | Fer | 1714602,549 | 5162677,81 | 17,5 | 578,26 |
| 2015 | 24094 | 8 | Indéterminé plat | Fer | 1714602,272 | 5162675,203 | 4,78 | 578,34 |
| 2015 | 24094 | 9 | Indéterminé tôle | Fer | 1714601,723 | 5162678,127 | 52,67 | 578,27 |
| 2015 | 25002 | 11 | Fibule | Base-cuivre | 1714606,866 | 5162676,964 | 3,82 | 578,09 |
| 2015 | 25002 | 21 | Silex | Lithique | 1714607,786 | 5162671,616 | 3,75 | 578,15 |
| 2015 | 24094 | 22 | Indéterminé verre | Verre | 1714600,387 | 5162679,189 | 8,61 | 578,33 |
| 2015 | 25001 | 26 | Specillum | Base-cuivre | 1714601,068 | 5162685,055 | 3,49 | 577,85 |
| 2015 | 24094 | 29 | Indéterminé plat | Fer | 1714599,696 | 5162677,623 | 12,22 | 578,4 |
| 2015 | 25001 | 41 | Specillum | Base-cuivre | 1714603,058 | 5162684,598 | 5,58 | 577,79 |
| 2015 | 24094 | 46 | Indéterminé tôle | Base-cuivre | 1714598,988 | 5162679,892 | 2,54 | 578,37 |
| 2015 | 25002 | 49 | Indéterminé plat | Fer | 1714603,734 | 5162668,166 | 19,93 | 578,27 |
| 2015 | 25002 | 50 | Anneau | Fer | 1714605,045 | 5162666,384 | 3,41 | 578,32 |
| 2015 | 25002 | 51 | Jeton | Ceramique | 1714610,605 | 5162667,367 | 9,77 | 578,11 |
| 2015 | 25002 | 52 | Silex | Lithique | 1714611,235 | 5162666,595 | 1 | 578,08 |
| 2015 | 25002 | 53 | Mortier | Lithique | 1714608,513 | 5162672,088 | 667 | 578,07 |
| 2015 | 25002 | 54 | | | 1714608,36 | 5162673,017 | | 578,08 |
| 2015 | 24094 | 55 | Clef | Fer | 1714599,878 | 5162682,527 | 10,44 | 578,07 |
| 2015 | 25001 | 56 | Indéterminé plat | Fer | 1714602,571 | 5162684,576 | 19,96 | 577,85 |
| 2015 | 24094 | 59 | | Ceramique | 1714600,078 | 5162674,224 | 7,09 | 578,3 |
| 2015 | 24094 | 64 | Perle | Base-cuivre | 1714603,553 | 5162674,959 | 0,43 | 578,22 |
| 2015 | 25001 | 65 | Ferrure | Fer | 1714602,571 | 5162684,576 | 29,25 | 577,85 |
| 2015 | 24094 | 66 | Militaria fourniment | Base-cuivre | 1714603,716 | 5162676,713 | 1,57 | 578,17 |
| 2015 | 24094 | 74 | Fibule | Fer | 1714604,205 | 5162669,472 | 3,52 | 578,3 |
| 2015 | 24094 | 76 | Indéterminé tôle | Fer | 1714598,901 | 5162675,887 | 17,77 | 578,34 |
| 2015 | 24094 | 78 | Applique | Base-cuivre | 1714601,474 | 5162677,888 | 3,08 | 578,32 |
| 2015 | 25002 | 80 | Jeton | Ceramique | 1714608,089 | 5162677,407 | 5,31 | 577,06 |
| 2015 | 25002 | 81 | Indéterminé ceram | Ceramique | 1714608,02 | 5162677,122 | 7,66 | 577,05 |
| 2015 | 25002 | 82 | Jeton | Ceramique | 1714609,143 | 5162677,762 | 3,04 | 576,98 |
| 2015 | 25002 | 83 | Indéterminé tige | Base-cuivre | 1714618,493 | 5162681,284 | 0,72 | 576,96 |
| 2015 | 25002 | 84 | Jeton | Ceramique | 1714608,383 | 5162676,803 | 7,46 | 577,03 |
| 2015 | 25002 | 85 | Jeton | Ceramique | 1714607,259 | 5162676,464 | 16,92 | 576,96 |
| 2015 | 25002 | 86 | Jeton | Ceramique | 1714608,422 | 5162677,68 | 4,34 | 577,01 |
| 2015 | 25002 | 87 | Jeton | Ceramique | 1714606,644 | 5162675,466 | 4,94 | 577,13 |
| 2015 | 25002 | 88 | Gond | Fer | 1714607,102 | 5162674,691 | 34,69 | 577,12 |
| 2015 | 25009 | 92 | Ferrure | Fer | 1714612,818 | 5162666,482 | 55,54 | 577,18 |
| 2015 | 25009 | 93 | Monnaie | Base-cuivre | 1714614,353 | 5162666,682 | 1,86 | 577,2 |
| 2015 | 24094 | 97 | Indéterminé tige | Fer | 1714602,399 | 5162678,945 | 34,72 | 578,17 |
| 2015 | 24094 | 98 | Clou decoratif | Base-cuivre | 1714603,13 | 5162678,46 | 0,38 | 578,16 |
| 2015 | 24094 | 100 | Perle | Verre | 1714602,736 | 5162679,315 | 0,54 | 578,13 |
| 2015 | 25009 | 115 | Fibule | Base-cuivre | 1714613,077 | 5162669,92 | 1,24 | 578,04 |
| 2015 | 25001 | 143 | Jeton | Ceramique | | | 5,8 | 579,15 |
| 2015 | 25002 | 151 | Cabochoon | Base-cuivre | 1714611,372 | 5162677,378 | 0,8 | 578,83 |
| 2015 | 25002 | 176 | Recipient | Base-cuivre | 1714610,225 | 5162675,986 | 17,73 | 578,79 |

| | | | | | | | | |
|------|-------------------|-----|------------------------|-------------|-------------|-------------|-------|--------|
| 2015 | 25002 | 183 | Jeton | Ceramique | 1714609,538 | 5162676,143 | 2,36 | 578,8 |
| 2015 | 25002 | 184 | Perle | Base-cuivre | 1714610,043 | 5162675,903 | 3,06 | 578,77 |
| 2015 | 25009 | 186 | Jeton | Ceramique | 1714615,345 | 5162663,536 | 10,51 | 578,08 |
| 2015 | 25002 | 189 | Monnaie | Base-cuivre | 1714611,464 | 5162675,413 | 1,99 | 577,81 |
| 2015 | 25002 | 192 | Bracelet | Base-cuivre | 1714609,652 | 5162675,424 | 3,87 | 577,78 |
| 2015 | 25002 | 198 | Couteau demi-lune | Fer | 1714609,163 | 5162675,327 | 39,47 | 578,02 |
| 2015 | 25002 | 200 | Jeton | Ceramique | 1714609,163 | 5162675,327 | 5,4 | 577,83 |
| 2015 | 25002 | 201 | Jeton | Ceramique | 1714609,24 | 5162675,379 | 3,95 | 578,79 |
| 2015 | 25002 | 202 | Indéterminé tige | Base-cuivre | 1714606,124 | 5162683,029 | 3,14 | 577,93 |
| 2015 | 25002 | 204 | Indéterminé objet | Fer | 1714608,115 | 5162673,415 | 17,66 | 577,91 |
| 2015 | 25002 | 208 | Anneau | Fer | 1714611,504 | 5162674,718 | 1,8 | 577,9 |
| 2015 | 25002 | 209 | Indéterminé plat | Fer | 1714609,39 | 5162674,567 | 21,27 | 577,83 |
| 2015 | 25002 | 211 | Indéterminé verre | Verre | 1714609,056 | 5162672,971 | 0,21 | 577,9 |
| 2015 | 25002 | 212 | Dechets de tabletterie | Os | 1714609,535 | 5162674,851 | 57,15 | 577,78 |
| 2015 | 25002 | 215 | Jeton | Ceramique | 1714609,464 | 5162674,543 | 17,43 | 577,82 |
| 2015 | 24094 | 226 | Canal de coulee | Base-cuivre | 1714598,389 | 5162678,556 | 3,28 | 578,38 |
| 2015 | 25002 | 228 | Silex | Lithique | 1714613,049 | 5162674,213 | 4,91 | 577,92 |
| 2015 | 25002 | 229 | Agitateur | Verre | 1714610,883 | 5162673,084 | 1,81 | 577,83 |
| 2015 | 25002 | 230 | Fibule | Fer | 1714608,572 | 5162672,456 | 1,04 | 577,98 |
| 2015 | 25002 | 238 | Coulure | Base-cuivre | 1714611,979 | 5162673,25 | 0,13 | 577,94 |
| 2015 | 24094 | 246 | Indéterminé plat | Fer | 1714598,405 | 5162677,217 | 13,89 | 578,4 |
| 2015 | 25022-1 | 284 | Piton | Fer | 1714609,589 | 5162675,475 | 34,62 | 577,68 |
| 2015 | 25022-1 | 285 | Jeton | Ceramique | 1714606,672 | 5162674,692 | 23,71 | 577,63 |
| 2015 | 24089 | 307 | Flèche | Fer | 1714638,288 | 5162729,439 | 2,74 | |
| 2015 | 24094 | 311 | Silex | Lithique | | | 4,59 | |
| 2015 | 24094 | 322 | Jeton | Ceramique | | | 8,48 | |
| 2015 | 25002 | 335 | | Ceramique | | | | |
| 2015 | 25022-1 | 341 | Jeton | Ceramique | | | 7,43 | |
| 2015 | 25028-1 | 345 | Indéterminé plat | Fer | 1714615,688 | 5162663,242 | 12,63 | 577,94 |
| 2015 | 25028-1 | 349 | Ferrure | Fer | 1714616,221 | 5162662,82 | 4,81 | 578,03 |
| 2015 | 25033 = 25026 | 363 | Mortier | Lithique | | | 1364 | |
| 2015 | 25022-1 | 364 | Jeton | Ceramique | 1714609,909 | 5162676,022 | 2,64 | 577,65 |
| 2015 | 25022-1 | 365 | Jeton | Ceramique | 1714609,911 | 5162675,775 | 6,27 | 577,78 |
| 2015 | 25022-1 | 366 | Jeton | Ceramique | 1714610,053 | 5162673,765 | 10,42 | 577,61 |
| 2015 | 25022-1 | 367 | Jeton | Ceramique | 1714608,755 | 5162676,058 | 147 | 577,72 |
| 2015 | 25022-1 | 368 | Jeton | Ceramique | 1714608,783 | 5162676,23 | 14,87 | 577,71 |
| 2015 | 25022-1 | 372 | Jeton | Ceramique | 1714608,551 | 5162676,192 | 8,71 | 577,74 |
| 2015 | 25028-1 | 383 | Pelle a feu | Fer | 1714614,697 | 5162663,785 | 68,9 | 578,05 |
| 2015 | 25026-1 | 388 | Indéterminé tige | Base-cuivre | | | 0,45 | |
| 2015 | 25002 | 389 | Indéterminé tôle | Fer | 1714604,27 | 5162667,927 | 4,6 | 578,25 |
| 2015 | 25028-1 | 390 | Fourreau | Base-cuivre | | | 0,28 | |
| 2015 | 25022-1 | 393 | Jeton | Ceramique | 1714624,6 | 5162637,268 | 9,36 | 577,66 |
| 2015 | 25002 | 401 | Agrafe de reparation | Plomb | 1714606,686 | 5162667,155 | 23,34 | 578,19 |
| 2015 | 25002 | 404 | Perle | Base-cuivre | 1714606,43 | 5162667,827 | 1,83 | 578,17 |
| 2015 | 25002 | 406 | Monnaie | Base-cuivre | | | 2,74 | 578,29 |
| 2015 | 25022-1 | 411 | Jeton | Ceramique | 1714608,027 | 5162677,103 | 8,03 | 577,54 |
| 2015 | 25033-1 = 25026-1 | 412 | Monnaie | Base-cuivre | 1714616,653 | 5162659,214 | 1,66 | 577,74 |
| 2015 | 25033-1 = 25026-1 | 437 | Ferrure | Fer | 1714614,407 | 5162659,559 | 31,69 | |
| 2015 | 25026-1 | 442 | Ferrure | Fer | 1714615,594 | 5162661,881 | 6,54 | 578,06 |
| 2015 | 25333-1 | 448 | Indéterminé objet | Fer | 1714608,644 | 5162662,283 | 2,6 | 577,9 |
| 2015 | 25019-1 | 195 | | | | | | |
| 2015 | 25019-1 | 489 | Indéterminé plat | Fer | | | 33,03 | |
| 2015 | 25026-1 | 524 | Estampille amphore | Ceramique | | | 490 | |
| 2015 | 25042 | 530 | Ferrure | Fer | 1714606,248 | 5162667,744 | 15,25 | 578,08 |
| 2015 | 25053-1 | 538 | Ferrure | Fer | 1714603,396 | 5162674,811 | 68,77 | 578,24 |
| 2015 | 25053-1 | 541 | Silex | Lithique | 1714604,926 | 5162674,752 | 12,57 | 578,15 |

| | | | | | | | | |
|------|---------|-----|-----------------------|-------------|-------------|-------------|-------|--------|
| 2015 | 25053-1 | 543 | Indéterminé tôle | Base-cuivre | | | 0,67 | 578,16 |
| 2015 | 25053-1 | 544 | Indéterminé tôle | Fer | 1714598,691 | 5162672,381 | 9,08 | 578,26 |
| 2015 | 25053-1 | 546 | Indéterminé tôle | Base-cuivre | 1714672,885 | 5162702,114 | 0,5 | 578,27 |
| 2015 | 25056 | 563 | Jeton | Ceramique | | | 2,74 | |
| 2015 | 25042 | 565 | Indéterminé plat | Fer | 1714607,203 | 5162667,371 | 5,4 | 577,88 |
| 2015 | 25042 | 567 | Fibule | Fer | 1714605,861 | 5162667,526 | 1,17 | 577,77 |
| 2015 | 25042-1 | 570 | Fibule | Fer | 1714607,418 | 5162667,209 | 4,43 | 577,79 |
| 2015 | 25062-1 | 571 | Indéterminé plat | Fer | | | 45,42 | |
| 2015 | 25062-1 | 572 | Jeton | Ceramique | | | 3,54 | |
| 2015 | 25042-1 | 573 | Clou | Fer | 1714607,592 | 5162667,095 | 2,46 | 577,77 |
| 2015 | 25026-1 | 575 | Indéterminé plat | Fer | | | 3,93 | |
| 2015 | 25042-1 | 576 | | | 1714607,293 | 5162666,955 | | 577,76 |
| 2015 | 25042-1 | 577 | Ferrure | Fer | 1714607,623 | 5162667,29 | 55,27 | |
| 2015 | 25042-1 | 580 | Indéterminé tige | Fer | 1714607,391 | 5162666,681 | 2,31 | 577,73 |
| 2015 | 25042-1 | 581 | Indéterminé objet | Base-cuivre | | | 1,81 | 577,84 |
| 2015 | 25042-1 | 582 | Jeton | Ceramique | | | 9,09 | |
| 2015 | 25042-1 | 584 | Indéterminé tôle | Fer | 1714606,573 | 5162666,926 | 15,45 | 577,82 |
| 2015 | 25066-1 | 585 | Indéterminé tôle | Fer | 1714598,49 | 5162677,058 | 10,38 | 578,16 |
| 2015 | 25066-1 | 586 | Chute | Base-cuivre | 1714598,818 | 5162677,855 | 0,26 | 578,27 |
| 2015 | 25066-1 | 587 | Indéterminé tôle | Fer | 1714598,811 | 5162677,874 | 52,3 | 578,26 |
| 2015 | 25042-1 | 588 | Jeton | Ceramique | 1714606,906 | 5162666,736 | 3,19 | 577,92 |
| 2015 | 25066-1 | 589 | Douille | Fer | 1714599,137 | 5162677,595 | 10,15 | 578,24 |
| 2015 | 25042-1 | 590 | Jeton | Ceramique | 1714604,985 | 5162671,923 | 6,95 | 577,88 |
| 2015 | 25333-3 | 591 | Indéterminé verre | Verre | 1714609,272 | 5162662,49 | 5,86 | 576,7 |
| 2015 | 25056 | 594 | Aiguille | Os | | | 3,37 | 578,33 |
| 2015 | 25056 | 595 | Silex | Lithique | | | 9,79 | 578,16 |
| 2015 | 25056-1 | 596 | Enclume | Lithique | | | | 578,36 |
| 2015 | 25042-1 | 597 | Stylets | Fer | 1714607,664 | 5162666,101 | 8,98 | 578,17 |
| 2015 | 25066-1 | 599 | Indéterminé tige | Base-cuivre | 1714598,053 | 5162677,885 | 0,22 | 578,41 |
| 2015 | 25042-1 | 600 | Clou de chaussures | Fer | 1714608,089 | 5162665,603 | 2,47 | 578,13 |
| 2015 | 24089 | 604 | Indéterminé plat | Fer | | | 21,74 | |
| 2015 | 24089 | 605 | Indéterminé plat | Fer | | | 18,79 | |
| 2015 | 24089 | 606 | Indéterminé plat | Fer | | | 17,67 | |
| 2015 | 25026-2 | 609 | Indéterminé ceram | Ceramique | | | 1,23 | |
| 2015 | 25056-1 | 610 | Dechet de fabrication | Base-cuivre | | | 0,67 | 577,84 |
| 2015 | 25056-1 | 611 | Indéterminé tige | Fer | | | 3,16 | 577,91 |
| 2015 | 25026-2 | 612 | Estampille amphore | Ceramique | | | 1041 | |
| 2015 | 25026-2 | 617 | Jeton | Ceramique | | | 18,6 | |
| 2015 | 25042-1 | 623 | Seau | Fer | 1714607,996 | 5162665,566 | 33,67 | 578,13 |
| 2015 | 25056-1 | 632 | Jeton | Ceramique | | | 123,2 | 577,74 |
| 2015 | 25056-1 | 635 | Jeton | Ceramique | | | 75,98 | 578,01 |
| 2015 | 25026-2 | 637 | Monnaie | Base-cuivre | | | 2,32 | |
| 2015 | 25066-1 | 647 | | | | | | 578,19 |
| 2015 | 25042-1 | 649 | Jeton | Ceramique | 1714607,902 | 5162665,26 | 8,49 | 578,11 |
| 2015 | 25042-1 | 653 | Indéterminé verre | Verre | 1714607,603 | 5162666,12 | 7,79 | 578,15 |
| 2015 | 25026-2 | 654 | Fibule | Fer | | | 6,41 | |
| 2015 | 25069-1 | 655 | Jeton | Ceramique | 1714602,477 | 5162684,001 | 5,34 | 577,82 |
| 2015 | 25069-1 | 656 | Indéterminé tôle | Fer | 1714602,065 | 5162684,117 | 42,81 | 577,76 |
| 2015 | 25069-1 | 657 | Bracelet | Base-cuivre | 1714602,065 | 5162684,117 | 2,59 | 577,76 |
| 2015 | 25069-1 | 658 | Indéterminé objet | Fer | 1714602,571 | 5162684,307 | 9,75 | 577,65 |
| 2015 | 25069-1 | 660 | Coin monetaire | Base-cuivre | 1714602,255 | 5162684,182 | 235 | 577,71 |
| 2015 | 25069-1 | 662 | Indéterminé tôle | Fer | 1714601,01 | 5162687,991 | 65,84 | 577,76 |
| 2015 | 25056-1 | 663 | Fusaïole | Terre cuite | | | 27,6 | 577,5 |
| 2015 | 25056-1 | 664 | Jeton | Ceramique | | | 9,19 | 578,02 |
| 2015 | 25056-1 | 665 | Jeton | Ceramique | | | 6,58 | 577,85 |
| 2015 | 25056-1 | 666 | Jeton | Ceramique | | | 5,5 | 577,79 |
| 2015 | 25056-1 | 667 | Jeton | Ceramique | | | 25,34 | 577,93 |
| 2015 | 25056-1 | 668 | Perle | Os | | | 1,53 | 577,88 |
| 2015 | 25071-1 | 670 | Indéterminé plat | Fer | 1714603,164 | 5162684,898 | 7,64 | 577,73 |

| | | | | | | | | |
|------|---------|------|-----------------------|-------------|-------------|-------------|-------|--------|
| 2015 | 25072-1 | 672 | Crampon | Fer | 1714600,252 | 5162684,483 | 10,45 | 577,95 |
| 2015 | 25072-1 | 681 | Indéterminé tôle | Base-cuivre | 1714601,08 | 5162686,136 | 2,34 | 577,86 |
| 2015 | 25072-1 | 682 | Indéterminé plat | Fer | 1714600,382 | 5162685,374 | 13,3 | 577,69 |
| 2015 | 25026-2 | 688 | | | | | | |
| 2015 | 25026-2 | 689 | | | | | | |
| 2015 | 25026-2 | 691 | | Ceramique | | | | |
| 2015 | 25026-2 | 694 | Monnaie | Argent | | | 1,43 | |
| 2015 | 25080-1 | 695 | Indéterminé tôle | Fer | 1714618,198 | 5162658,849 | 18,03 | 577,99 |
| 2015 | 25080-1 | 696 | Jeton | Ceramique | 1714618,456 | 5162659,091 | 4,2 | 578,01 |
| 2015 | 25042-1 | 698 | | Os | 1714607,346 | 5162669,666 | | 577,82 |
| 2015 | 25076-1 | 702 | Burin | Fer | 1714600,801 | 5162678,633 | 93,47 | 578,17 |
| 2015 | 25075-1 | 703 | Aiguille | Base-cuivre | 1714596,503 | 5162681,164 | 0,55 | 577,79 |
| 2015 | 25075-1 | 704 | Gril | Fer | | | 80,18 | 577,79 |
| 2015 | 25075-1 | 705 | Perle | Verre | | | 11,13 | 577,79 |
| 2015 | 25075-1 | 706 | Ferrure | Fer | | | 42,94 | 577,8 |
| 2015 | 25075-1 | 707 | Indéterminé tôle | Base-cuivre | | | 1,64 | |
| 2015 | 25075-1 | 708 | | Fer | | | 14,8 | 577,8 |
| 2015 | 25075-1 | 709 | Indéterminé objet | Fer | | | 12,64 | 577,79 |
| 2015 | 25075-1 | 710 | Indéterminé tôle | Fer | | | 37,45 | 577,79 |
| 2015 | 25075-1 | 711 | Epingle vestimentaire | Base-cuivre | | | 3,51 | |
| 2015 | 25082 | 721 | | | | | | 577,98 |
| 2015 | 25042-1 | 722 | Jeton | Ceramique | 1714607,32 | 5162665,911 | 7,63 | 578,86 |
| 2015 | 25022-1 | 724 | Agrafe de réparation | Plomb | | | 82,9 | |
| 2015 | 25002 | 727 | Indéterminé lithique | Lithique | 1714609,538 | 5162676,143 | 0,84 | 578,8 |
| 2015 | 25002 | 741 | Jeton | Ceramique | | | 13,04 | |
| 2015 | 25042-1 | 781 | Jeton | Ceramique | 1714607,548 | 5162666,313 | 27,25 | 577,29 |
| 2015 | 25082 | 783 | Indéterminé tige | | 1714599,963 | 5162687,241 | | 577,99 |
| 2015 | 25042-1 | 785 | Jeton | Ceramique | 1714611,648 | 5162668,018 | 7,87 | 577,68 |
| 2015 | 25042-1 | 786 | Jeton | Ceramique | 1714611,648 | 5162668,018 | 3,45 | 577,68 |
| 2015 | 25082 | 787 | Clou | Fer | 1714600,133 | 5162687,191 | 2,76 | 577,94 |
| 2015 | 25382-1 | 788 | Jeton | Ceramique | 1714597,907 | 5162685,456 | 5,3 | 578,24 |
| 2015 | 25382-1 | 789 | Jeton | Ceramique | 1714597,887 | 5162685,696 | 5,1 | 578,22 |
| 2015 | 25382-1 | 790 | Jeton | Ceramique | 1714598,685 | 5162685,636 | 10,02 | 578,16 |
| 2015 | 25382-1 | 791 | Estampille amphore | Ceramique | 1714598,712 | 5162686,056 | 730 | 578,13 |
| 2015 | 25382-1 | 792 | Polissoir | Lithique | 1714598,683 | 5162686,13 | 392 | 578,07 |
| 2015 | 25026-2 | 802 | Indéterminé lithique | Lithique | | | 305 | 577,32 |
| 2015 | 25026-2 | 803 | Outil polyvalent | Os | | | 31,56 | 577,14 |
| 2015 | 25090-1 | 814a | Serpette | Fer | | | 47,1 | 577,66 |
| 2015 | 25095-1 | 815 | Ciseau | Fer | 1714603,596 | 5162685,952 | 75,8 | 577,74 |
| 2015 | 25087-1 | 816 | Anneau | Fer | | | 5,18 | 578,02 |
| 2015 | 25087-1 | 817 | Indéterminé plat | Fer | | | 66,9 | 578,02 |
| 2015 | 25042-1 | 827 | Chute | Fer | 1714607,828 | 5162667,124 | 1,8 | 577,82 |
| 2015 | 25082 | 830 | Jeton | Ceramique | | | 126,3 | 577,91 |
| 2015 | 25089-1 | 831 | Jeton | Ceramique | | | 74 | |
| 2015 | 25101-1 | 832 | Ferrure | Fer | | | 19,01 | |
| 2015 | 25112 | 833 | Fourreau | Fer | 1714600,171 | 5162678,458 | 51 | 578 |
| 2015 | 25112 | 834 | Clou | Fer | 1714603,233 | 5162677,522 | 15,16 | 578,04 |
| 2015 | 25112 | 835 | Indéterminé plat | Fer | 1714603,207 | 5162677,587 | 34,22 | 578,08 |
| 2015 | 25112 | 836 | Piton | Fer | 1714603,187 | 5162677,665 | 52,38 | 578,04 |
| 2015 | 25110-1 | 838 | Piton | Fer | 1714607,464 | 5162675,136 | 34,88 | 577,83 |
| 2015 | 25110-1 | 839 | Epee | Fer | 1714607,802 | 5162675,313 | 71,4 | 577,73 |
| 2015 | 25114 | 840 | Indéterminé tige | Base-cuivre | | | 0,33 | 578,07 |
| 2015 | 25088-1 | 841 | Jeton | Ceramique | | | 4,3 | 577,66 |
| 2015 | 25088-1 | 842 | Recipient | Ceramique | | | 11,8 | 577,51 |
| 2015 | 25088-1 | 843 | Recipient | Ceramique | | | 5 | 577,71 |
| 2015 | 25088-1 | 844 | Jeton | Ceramique | | | 4,3 | 577,54 |
| 2015 | 25088-1 | 845 | Jeton | Ceramique | | | 11,8 | 577,63 |
| 2015 | 25088-1 | 846 | Jeton | Ceramique | | | 7,6 | 577,54 |

| | | | | | | | | |
|------|---------|------|---------------------------------|-------------|-------------|-------------|-------|--------|
| 2015 | 25088-1 | 847 | Jeton | Ceramique | | | 4,5 | 577,64 |
| 2015 | 25088-1 | 848 | | | | | | 577,55 |
| 2015 | 25062-1 | 849 | Indéterminé tige | Fer | 1714599,738 | 5162675,487 | 1,11 | 578,16 |
| 2015 | 25114 | 851 | Jeton | Ceramique | 1714612,591 | 5162668,436 | 5,35 | 577,99 |
| 2015 | 25114 | 852 | Jeton | Ceramique | 1714612,6 | 5162668,439 | 5,6 | 577,99 |
| 2015 | 25119-1 | 854 | Applique | Base-cuivre | 1714602,634 | 5162671,312 | 0,9 | 578,17 |
| 2015 | 25114 | 855 | Indéterminé tige | Fer | 1714611,534 | 5162668,629 | 1,21 | 578,01 |
| 2015 | 25114 | 856 | Piton | Fer | 1714612,176 | 5162671,671 | 17,29 | 577,99 |
| 2015 | 25116 | 857 | Indéterminé tige | Base-cuivre | | | 0,59 | 578,16 |
| 2015 | 25117-1 | 858 | Jeton | Ceramique | | | 23,06 | 578,16 |
| 2015 | 25114 | 859 | Indéterminé tige | Fer | 1714611,657 | 5162667,021 | 5,8 | 578,01 |
| 2015 | 25114 | 860 | Demi-produit (autres métaux) | Base-cuivre | 1714611,657 | 5162667,021 | 16,57 | 578,01 |
| 2015 | 25065-1 | 861 | Piton | Fer | 1714595,429 | 5162672,656 | 55,08 | 577,94 |
| 2015 | 25382-1 | 864 | Fibule | Base-cuivre | | | 1,33 | 577,92 |
| 2015 | 25114 | 865 | Crampon | Fer | 1714611,131 | 5162665,908 | 33,12 | 578,06 |
| 2015 | 25114 | 866 | | | | | | 578,01 |
| 2015 | 25113-1 | 874 | Estampille amphore | Ceramique | 1714602,115 | 5162676,357 | 311 | 577,26 |
| 2015 | 25113-1 | 875 | Ciseau | Fer | 1714602,853 | 5162674,498 | 29,58 | 577,05 |
| 2015 | 25123-1 | 885 | Indéterminé plat | Fer | | | 46,9 | |
| 2015 | 25123-1 | 886 | Ferrure | Fer | | | 65,83 | |
| 2015 | 25123-1 | 887 | Plaque-foyère | Terre cuite | | | 917 | |
| 2015 | 25123-1 | 888 | Ferrure | Fer | | | 43,27 | |
| 2015 | 25123-1 | 889 | Ferrure | Fer | | | 61,3 | |
| 2015 | 25123-1 | 890 | | | | | | |
| 2015 | 25123-1 | 891 | Fusaïole | Terre cuite | | | 15,9 | |
| 2015 | 25104 | 892 | Crampon | Fer | 1714602,484 | 5162674,588 | 9,8 | 577,08 |
| 2015 | 25096-1 | 893 | Indéterminé tige | Base-cuivre | 1714603,999 | 5162675,19 | 0,4 | 577,03 |
| 2015 | 25123-1 | 894 | Indéterminé objet | Fer | | | 29,33 | |
| 2015 | 25123-1 | 895 | Outil trop fragmentaire | Fer | | | 25,3 | |
| 2015 | 25123-1 | 896 | Ferrure | Fer | | | 66,8 | |
| 2015 | 25123-1 | 897 | Indéterminé plat | Fer | | | 17,2 | |
| 2015 | 25123-1 | 898 | Jeton | Ceramique | | | 26,6 | |
| 2015 | 25123-1 | 899 | Ferrure | Fer | | | 52,6 | |
| 2015 | 25123-1 | 900 | Indéterminé tôle | Fer | | | 14,1 | |
| 2015 | 25124 | 902 | | Ceramique | | | | |
| 2015 | 25124 | 903 | Applique | Base-cuivre | | | 0,5 | |
| 2015 | 25124 | 904 | Cabochon | Base-cuivre | | | 0,2 | |
| 2015 | 25124 | 905 | | | | | | |
| 2015 | 25123-1 | 906 | Indéterminé plat | Fer | | | 14,57 | |
| 2015 | 25123-1 | 907 | Anneau | | | | | |
| 2015 | 25096-1 | 908 | Indéterminé tôle | Fer | | | 25,4 | |
| 2015 | 25096-1 | 909 | Jeton | Ceramique | | | 5,1 | |
| 2015 | 25096-1 | 910 | | Ceramique | | | | |
| 2015 | 25123-1 | 911 | Ferrure | Fer | | | 51,44 | |
| 2015 | 25124 | 912 | Fibule | Base-cuivre | | | 0,8 | |
| 2015 | 25026-2 | 937 | Estampille amphore | Ceramique | | | 334 | |
| 2015 | 25026-3 | 938 | Fibule | Fer | | | 2,5 | |
| 2015 | 25026-4 | 939 | Perle | Os | | | 1,6 | |
| 2015 | 25026-5 | 940 | Couteau multifonctionnel | Fer | | | 34,9 | |
| 2015 | 25026-6 | 941 | Indéterminé tige | Base-cuivre | | | 0,7 | |
| 2015 | 25134-1 | 944 | Indéterminé plat | Fer | | | 27,8 | |
| 2015 | 25022-1 | 969 | Fibule | Base-cuivre | | | 2,8 | |
| 2015 | 25090-1 | 975 | Ciseau | Fer | | | 11,4 | |
| 2015 | 25075-1 | 1014 | Estampille amphore | Ceramique | | | | 577,05 |
| 2015 | 25064-1 | 1017 | Indéterminé ceram | Ceramique | | | 18,18 | |
| 2015 | 25002 | 1021 | Jeton | Ceramique | | | 24,63 | |

| | | | | | | | | |
|------|---------|------|------------------------------|-------------|-------------|-------------|-------|--------|
| 2015 | 25066 | 1023 | Clef | Fer | | | 18,22 | |
| 2015 | 25026-2 | 1024 | Jeton | Ceramique | | | 937 | |
| 2015 | 25022-1 | 1030 | Indéterminé plat | Fer | | | 2,02 | |
| 2015 | 25026-1 | 1045 | Indéterminé tôle | Base-cuivre | | | 0,79 | |
| 2015 | 25042-1 | 1066 | Fibule | Fer | | | 0,63 | |
| 2015 | 25000 | 2 | Silex | Lithique | 1714594,351 | 5162675,585 | 0,88 | 578,57 |
| 2015 | 25000 | 10 | | | | | | |
| 2015 | 25000 | 12 | Silex | Lithique | 1714600,1 | 5162660,523 | 18,08 | 578,54 |
| 2015 | 25000 | 13 | Silex | Lithique | 1714599,686 | 5162661,672 | 1,09 | 578,57 |
| 2015 | 25000 | 14 | Silex | Lithique | 1714599,301 | 5162661,26 | 11,02 | 578,57 |
| 2015 | 25000 | 15 | Silex | Lithique | 1714595,101 | 5162664,843 | 0,47 | 578,65 |
| 2015 | 25000 | 16 | Jeton | Ceramique | 1714591,301 | 5162672,673 | 7,96 | 578,64 |
| 2015 | 25000 | 17 | Indéterminé verre | Verre | 1714595,188 | 5162680,222 | 0,28 | 578,53 |
| 2015 | 25000 | 18 | Ferrure | Fer | 1714592,779 | 5162681,815 | 15,08 | 578,62 |
| 2015 | 25000 | 19 | Indéterminé verre | Verre | | | | 578,51 |
| 2015 | 25000 | 20 | Ferrure | Fer | 1714589,066 | 5162686,989 | 10,46 | 578,6 |
| 2015 | 25000 | 23 | Silex | Lithique | 1714596,169 | 5162668,409 | 0,5 | 578,61 |
| 2015 | 25000 | 24 | Silex | Lithique | 1714596,101 | 5162666,144 | 0,56 | 578,6 |
| 2015 | 25000 | 25 | Indéterminé plat | Fer | 1714595,888 | 5162667,953 | 11,62 | 578,63 |
| 2015 | 25000 | 27 | Indéterminé lithique | Lithique | 1714595,228 | 5162668,423 | 19,67 | 578,62 |
| 2015 | HC | 38 | Scorie | Plomb | | | 60,72 | |
| 2015 | HC | 39 | Scorie | Base-cuivre | | | 5,92 | |
| 2015 | HC | 40 | Indéterminé tôle | Plomb | | | 9,32 | |
| 2015 | 25000 | 42 | Indéterminé tige | Base-cuivre | 1714597,124 | 5162678,409 | 1,29 | 578,47 |
| 2015 | 25000 | 43 | Bracelet | Base-cuivre | 1714591,05 | 5162685,895 | 0,81 | 578,65 |
| 2015 | 25004 | 44 | Ferrure | Fer | 1714602,094 | 5162664,415 | 9,86 | 578,4 |
| 2015 | 25000 | 45 | Jeton | Ceramique | 1714595,718 | 5162682,488 | 9,03 | 578,74 |
| 2015 | 25000 | 47 | Indéterminé plat | Fer | 1714599,663 | 5162669,582 | 17,67 | 578,42 |
| 2015 | 25000 | 48 | Ferrure | Fer | 1714598,392 | 5162672,241 | 13,18 | 578,4 |
| 2015 | 25003 | 57 | Ferrure | Fer | 1714599,141 | 5162665,157 | 12,66 | 578,51 |
| 2015 | 25000 | 58 | Indéterminé objet | Fer | 1714597,619 | 5162663,056 | 81,88 | 578,55 |
| 2015 | 25000 | 61 | Indéterminé tôle | Fer | 1714598,12 | 5162667,915 | 3,51 | 578,55 |
| 2015 | 25000 | 62 | Rivet | Base-cuivre | 1714600,481 | 5162666,819 | 0,35 | 578,46 |
| 2015 | 25003 | 67 | Indéterminé tôle | Fer | 1714596,187 | 5162663,951 | 7,15 | 578,6 |
| 2015 | 25006-1 | 68 | Grille de fenêtre | Fer | 1714587,307 | 5162674,41 | 277 | 578,46 |
| 2015 | 25003 | 70 | Fibule | Fer | 1714596,266 | 5162663,616 | 3,83 | 578,6 |
| 2015 | 25000 | 71 | Silex | Lithique | 1714599,216 | 5162666,295 | 3,4 | 578,56 |
| 2015 | 25000 | 72 | Indéterminé verre | Verre | 1714590,571 | 5162688,535 | 0,13 | 578,6 |
| 2015 | 25000 | 73 | Silex | Lithique | 1714598,643 | 5162669,984 | 0,64 | 578,45 |
| 2015 | 25000 | 75 | Indéterminé plat | Fer | 1714595,836 | 5162670,332 | 29,36 | 578,59 |
| 2015 | 25000 | 79 | | | | | | |
| 2015 | 25000 | 89 | | | | | | |
| 2015 | 25000 | 90 | Demi-produit (autres métaux) | Base-cuivre | 1714595,733 | 5162675,004 | 38,27 | 578,44 |
| 2015 | 25000 | 91 | Silex | Lithique | 1714598,747 | 5162673,512 | 2,5 | 578,37 |
| 2015 | 25000 | 94 | Clou de chaussures | Fer | 1714595,667 | 5162675,333 | 1,73 | 578,41 |
| 2015 | 25000 | 95 | Indéterminé plat | Fer | 1714599,929 | 5162673,626 | 9,19 | 578,32 |
| 2015 | 25301 | 99 | Indéterminé objet | Base-cuivre | | | 1,77 | |
| 2015 | 25301 | 111 | Clou decoratif | Base-cuivre | | | 2,45 | 579,14 |
| 2015 | 25301 | 113 | Indéterminé plat | Fer | | | 3,6 | 579,15 |
| 2015 | 25007-1 | 141 | Restes humains | Os | 1714590,066 | 5162672,612 | 0,8 | |
| 2015 | 25003 | 142 | Silex | Lithique | | | 0,4 | |
| 2015 | 25003 | 146 | Chute | Base-cuivre | | | 0,84 | |
| 2015 | 25000 | 147 | Silex | Lithique | 1714597,786 | 5162676,444 | 7,55 | 579,41 |
| 2015 | 25000 | 149 | Jeton | Ceramique | 1714597,779 | 5162671,481 | 7,25 | 578,44 |
| 2015 | 25000 | 150 | Indéterminé tige | Base-cuivre | 1714598,733 | 5162672,355 | 2,22 | 578,38 |
| 2015 | 25000 | 152 | Indéterminé tôle | Fer | 1714594,394 | 5162675,15 | 27,5 | 579,45 |
| 2015 | 25000 | 153 | Ferrure | Fer | 1714595,778 | 5162676,109 | 2,6 | 579,4 |
| 2015 | 25000 | 154 | Indéterminé tôle | Base-cuivre | 1714595,647 | 5162677,144 | 0,91 | 579,41 |
| 2015 | 25301 | 157 | Monnaie | Base-cuivre | | | 7,2 | 579,04 |
| 2015 | 25000 | 158 | Clou de | Fer | 1714597,368 | 5162676,848 | 2,79 | 579,41 |

| | | | | | | | | | |
|------|---------|-----|--------------------|-------------|-------------|-------------|-------|--------|--|
| | | | chaussures | | | | | | |
| 2015 | 25000 | 159 | Indéterminé objet | Base-cuivre | 1714596,322 | 5162671,87 | 0,73 | 578,52 | |
| 2015 | 25000 | 160 | Indéterminé tôle | Base-cuivre | 1714596,601 | 5162672,143 | 0,28 | 578,5 | |
| 2015 | 25000 | 162 | Monnaie | Argent | 1714597,086 | 5162672,249 | 0,23 | 578,46 | |
| 2015 | 25000 | 163 | Crampon | Fer | | | 6,06 | | |
| 2015 | 25000 | 166 | Aiguille | Base-cuivre | 1714592,362 | 5162675,526 | 2,06 | 579,48 | |
| 2015 | 25000 | 167 | Anneau de cerclage | Fer | 1714592,16 | 5162681,558 | 33,2 | 579,58 | |
| 2015 | 25000 | 168 | Monnaie | Base-cuivre | 1714592,762 | 5162678,989 | 0,54 | 579,55 | |
| 2015 | 25000 | 169 | Jeton | Ceramique | 1714591,899 | 5162679,614 | 14,16 | 579,63 | |
| 2015 | 25000 | 170 | Indéterminé tôle | Fer | 1714592,377 | 5162675,489 | 47,95 | 579,48 | |
| 2015 | 25301 | 171 | Ferrure | Fer | | | 5,91 | 579,03 | |
| 2015 | 25000 | 172 | Monnaie | Base-cuivre | 1714592,575 | 5162679,485 | 3,5 | 579,49 | |
| 2015 | 25000 | 181 | Monnaie | Base-cuivre | 1714590,076 | 5162687,208 | 2,93 | 578,6 | |
| 2015 | 25000 | 182 | Chenet | Terre cuite | 1714592,16 | 5162681,558 | 141 | 579,58 | |
| 2015 | 25000 | 185 | Jeton | Ceramique | 1714593,663 | 5162684,383 | 4,33 | 579,51 | |
| 2015 | 25000 | 193 | Ferrure | Fer | 1714596,659 | 5162673,08 | 22,76 | 578,46 | |
| 2015 | 25000 | 231 | Monnaie | Base-cuivre | 1714611,832 | 5162644,783 | | 579,02 | |
| 2015 | 25003 | 240 | Piton | Fer | 1714611,031 | 5162672,658 | 7,14 | 577,92 | |
| 2015 | 25000 | 242 | Indéterminé tôle | Base-cuivre | | | 0,86 | | |
| 2015 | 25000 | 243 | Indéterminé tôle | Base-cuivre | 1714597,066 | 5162669,078 | 1,9 | 578,54 | |
| 2015 | 25000 | 245 | Perle | Base-cuivre | 1714609,801 | 5162666,358 | 7,27 | 578,13 | |
| 2015 | 25301 | 255 | | Ceramique | | | | 579,06 | |
| 2015 | 25023 | 258 | Ferrure | Fer | 1714586,477 | 5162667,075 | 40,9 | 579,12 | |
| 2015 | 25023 | 260 | Perle | Base-cuivre | 1714585,853 | 5162665,612 | 3,3 | 579,09 | |
| 2015 | 25023 | 262 | Jeton | Ceramique | 1714586,253 | 5162665,147 | 7,99 | 579,1 | |
| 2015 | 25023 | 268 | Indéterminé tige | Base-cuivre | 1714586,001 | 5162664,971 | 1,22 | 579,12 | |
| 2015 | 25000 | 277 | Perle | Base-cuivre | 1714596,713 | 5162676,222 | 1,65 | 578,4 | |
| 2015 | 25000 | 280 | Marteau | Fer | 1714599,204 | 5162664,999 | 38,7 | 578,51 | |
| 2015 | 25000 | 281 | Indéterminé verre | Verre | 1714601,622 | 5162662,215 | 0,19 | 578,39 | |
| 2015 | 25000 | 282 | Silex | Lithique | 1714602,641 | 5162661,738 | 1,9 | 578,33 | |
| 2015 | 25000 | 286 | Indéterminé tôle | Fer | 1714611,596 | 5162672,183 | 3,11 | 577,95 | |
| 2015 | 25000 | 287 | Jeton | Ceramique | 1714613,16 | 5162673,935 | 3,45 | 577,99 | |
| 2015 | 25000 | 289 | Ferrure | Fer | 1714617,582 | 5162654,494 | 48,1 | 578,26 | |
| 2015 | 25000 | 290 | Indéterminé plat | Fer | 1714617,779 | 5162654,324 | 19,57 | 578,29 | |
| 2015 | 25334 | 300 | Monnaie | Base-cuivre | | | 1,78 | 577,74 | |
| 2015 | 25334 | 301 | Fibule | Fer | | | 9,61 | 577,94 | |
| 2015 | 25006-1 | 308 | Indéterminé tôle | Fer | | | 55,46 | | |
| 2015 | 25006-1 | 313 | Bouclier | Fer | | | 26,1 | | |
| 2015 | 25000 | 329 | Indéterminé tôle | Fer | | | 3,96 | | |
| 2015 | 25023 | 339 | Jeton | Ceramique | | | 195 | | |
| 2015 | 25023 | 343 | Bracelet | Base-cuivre | 1714590,882 | 5162660,648 | 0,58 | 579,09 | |
| 2015 | 25025-1 | 344 | Pendant de harnais | Base-cuivre | | | 0,78 | | |
| 2015 | 25027-1 | 348 | Ferrure | Fer | | | 9,16 | 578,42 | |
| 2015 | 25025-1 | 352 | Indéterminé verre | Verre | | | 3,6 | | |
| 2015 | 25025-1 | 359 | Indéterminé tôle | Base-cuivre | | | 0,51 | | |
| 2015 | 25025-1 | 362 | Indéterminé tôle | Base-cuivre | | | 0,6 | | |
| 2015 | 25025-1 | 371 | Indéterminé tôle | Base-cuivre | | | 0,85 | | |
| 2015 | 25025-1 | 373 | Indéterminé tôle | Base-cuivre | 1714595,345 | 5162666,909 | 0,3 | | |
| 2015 | 25000 | 375 | Aiguiseur | Lithique | 1714602,211 | 5162664,418 | 23,88 | 578,4 | |
| 2015 | 25000 | 376 | Lance | Fer | 1714599,444 | 5162672,68 | 29,32 | 578,36 | |
| 2015 | 25334 | 377 | Poinçon | Fer | | | 13,23 | | |
| 2015 | 25334 | 381 | Jeton | Ceramique | | | 8,31 | | |
| 2015 | 25025-1 | 387 | Cabochon | Base-cuivre | | | 0,74 | | |
| 2015 | 25334 | 391 | Ferrure | Fer | | | 84,94 | | |
| 2015 | 25025-1 | 396 | Indéterminé tôle | Fer | 1714596,216 | 5162672,678 | 53,97 | 578,39 | |
| 2015 | 25014-1 | 397 | Estampille amphore | Ceramique | | | 102 | | |
| 2015 | 25014-1 | 398 | Indéterminé tôle | Fer | | | 13,81 | | |
| 2015 | 25014-1 | 402 | Jeton | Ceramique | 1714597,296 | 5162667,415 | 15,43 | 578,47 | |
| 2015 | 25025-1 | 405 | Indéterminé tôle | Fer | 1714596,6 | 5162672,551 | 4,33 | 578,11 | |
| 2015 | 25014-1 | 408 | Indéterminé tôle | Base-cuivre | 1714596,48 | 5162666,897 | 0,3 | 578,54 | |

| | | | | | | | | |
|------|---------|-----|-----------------------------|-------------|-------------|-------------|-------|--------|
| 2015 | 25017-1 | 409 | Indéterminé plat | Fer | 1714602,367 | 5162664,674 | 6,51 | |
| 2015 | 25014-1 | 410 | Coulure | Base-cuivre | 1714597,949 | 5162666,179 | 0,81 | 578,17 |
| 2015 | 25014-1 | 413 | Jeton | Ceramique | 1714597,279 | 5162666,375 | 24,91 | 578,22 |
| 2015 | 25017-1 | 414 | Jeton | Ceramique | 1714602,269 | 5162665,733 | 6,36 | 578,33 |
| 2015 | 25025-1 | 415 | Indéterminé ceram | Terre cuite | 1714596,65 | 5162672,56 | 17,49 | 578,5 |
| 2015 | 25014-1 | 416 | Chenet | Terre cuite | 1714598,21 | 5162665,604 | 208 | 578,18 |
| 2015 | 25037-1 | 424 | Jeton | Ceramique | 1714605,443 | 5162663,163 | 2,78 | 577,84 |
| 2015 | 25334 | 429 | Applique | Base-cuivre | | | 5,98 | |
| 2015 | 25037-1 | 431 | Jeton | Ceramique | 1714605,52 | 5162662,968 | 3,34 | 577,84 |
| 2015 | 25000 | 432 | Silex | Lithique | 1714602,754 | 5162663,16 | 22,2 | 578,14 |
| 2015 | 25014-1 | 433 | Coulure | Base-cuivre | 1714597,575 | 5162665,901 | 0,62 | 578,15 |
| 2015 | 25038-1 | 434 | Seau | Fer | | | 24,49 | |
| 2015 | 25038-1 | 435 | Indéterminé tôle | Fer | | | 6,75 | |
| 2015 | 25041 | 438 | Pique-bœuf | Fer | 1714613,402 | 5162670,211 | 9,35 | 578,17 |
| 2015 | 25041 | 439 | Pion | Verre | 1714612,686 | 5162672,014 | 1,54 | 578,15 |
| 2015 | 25014 | 440 | Indéterminé tige | Base-cuivre | | | 0,2 | |
| 2015 | 25041 | 441 | Fusaiöle | Terre cuite | 1714606,417 | 5162672,299 | 23,1 | 578,17 |
| 2015 | 25041 | 445 | Jeton | Ceramique | | | 6,33 | |
| 2015 | 25041 | 446 | Silex | Lithique | | | 16,17 | |
| 2015 | 25348 | 449 | Indéterminé objet | Base-cuivre | 1714578,386 | 5162675,223 | 4,38 | 583,09 |
| 2015 | 25349 | 450 | Jeton | Ceramique | 1714579,521 | 5162674,695 | 15,88 | 583,07 |
| 2015 | 25348 | 451 | Monnaie | Base-cuivre | 1714579,318 | 5162675,206 | 2,12 | 583,12 |
| 2015 | 25348 | 452 | Indéterminé tôle | Base-cuivre | 1714578,099 | 5162673,861 | 0,21 | 583,07 |
| 2015 | 25041 | 453 | Jeton | Ceramique | 1714605,301 | 5162667,852 | 10,94 | 578,31 |
| 2015 | 25048 | 454 | Applique | Base-cuivre | 1714596,655 | 5162673,767 | 1,39 | 578,33 |
| 2015 | 25041 | 455 | Jeton | Ceramique | 1714593,895 | 5162669,582 | 6,15 | 578,4 |
| 2015 | 25041 | 456 | Jeton | Ceramique | 1714595,111 | 5162669,151 | 22,1 | 578,45 |
| 2015 | 25049 | 457 | Cabochon | Base-cuivre | | | 0,33 | |
| 2015 | 25349-1 | 458 | | | 1714579,312 | 5162675,086 | | 577,83 |
| 2015 | 25047 | 459 | Jeton | Ceramique | 1714594,916 | 5162662,682 | 4,22 | 578,61 |
| 2015 | 25049 | 460 | Clou de chaussures | Fer | | | 2,63 | |
| 2015 | 25050 | 461 | Jeton | Ceramique | 1714594,424 | 5162663,271 | 11,07 | 578,65 |
| 2015 | 25349-1 | 462 | Indéterminé tige | Base-cuivre | 1714579,432 | 5162674,757 | 1,21 | 578,77 |
| 2015 | 25049 | 463 | Mortier | Lithique | 1714592,733 | 5162668,528 | 784 | 578,39 |
| 2015 | 25014-2 | 465 | Fourreau | Base-cuivre | | | 8,52 | |
| 2015 | 25334-6 | 468 | Jeton | Ceramique | | | 10,75 | |
| 2015 | 25334 | 472 | Jeton | Ceramique | | | 17,6 | |
| 2015 | 25334-1 | 475 | Clou de chaussures | Fer | | | 1,18 | |
| 2015 | 25334-5 | 476 | Indéterminé tige | Fer | | | 1,41 | |
| 2015 | 25074-1 | 477 | Indéterminé verre | Verre | 1714589,168 | 5162669,888 | 2,31 | 578,71 |
| 2015 | 25371 | 478 | Chute | Base-cuivre | | | 3,1 | |
| 2015 | 25334 | 487 | Indéterminé plat | Fer | | | 14,79 | |
| 2015 | 25301 | 494 | Indéterminé verre | Verre | | | 1,84 | |
| 2015 | 25000 | 495 | Rondelle | Fer | | | 3,15 | |
| 2015 | 25023 | 496 | Indéterminé tôle | Fer | | | 33,9 | |
| 2015 | 25334 | 497 | Agrafe de ceinturon | Base-cuivre | | | 10,27 | |
| 2015 | 25371 | 498 | Monnaie | Base-cuivre | | | 3,96 | |
| 2015 | 25017 | 508 | Couteau multifonctionnel | Fer | | | 32,79 | |
| 2015 | 25014-1 | 511 | | | | | | |
| 2015 | 25334 | 515 | Bouclier | Fer | | | 25,52 | |
| 2015 | 25334 | 516 | Indéterminé verre | Verre | | | | |
| 2015 | 25355-1 | 525 | | Ceramique | 1714586,165 | 5162684,728 | | |
| 2015 | 25334-2 | 531 | Jeton | Ceramique | | | 9,5 | |
| 2015 | 25334-2 | 532 | Dechets de tableterie | Os | | | 6,69 | 578,43 |
| 2015 | 25334-3 | 533 | Fibule | Base-cuivre | | | 4,01 | |
| 2015 | 25334-2 | 534 | Fibule | Base-cuivre | | | 1,79 | |
| 2015 | 25334-2 | 535 | Fibule | Base-cuivre | | | 1,01 | |

| | | | | | | | | | |
|------|---------|-----|-------------------|-------------|-------------|-------------|------|-------|--------|
| 2015 | 25334-3 | 551 | Fibule | Base-cuivre | | | | 3 | |
| 2015 | 25334-3 | 552 | Bracelet | Base-cuivre | | | | 10,13 | |
| 2015 | 25334-3 | 553 | Silex | Lithique | | | | 2,03 | |
| 2015 | 25335 | 556 | Silex | Lithique | | | | 3,97 | |
| 2015 | 25049 | 557 | Jeton | Ceramique | | | | 2,65 | |
| 2015 | 25335 | 559 | Indéterminé tôle | Fer | | | | 18,21 | |
| 2015 | 25049 | 561 | Jeton | Ceramique | | | | 6,24 | 578,47 |
| 2015 | 25061 | 568 | Fibule | Fer | 1714598,167 | 5162671,667 | 8,44 | | 578,41 |
| 2015 | 25061 | 569 | Coulure | Base-cuivre | 1714597,612 | 5162671,737 | | 0,18 | 578,35 |
| 2015 | 25063 | 579 | Perle | Base-cuivre | 1714597,873 | 5162676,253 | | 0,53 | 578,38 |
| 2015 | 25064 | 583 | Indéterminé tôle | Base-cuivre | 1714589,405 | 5162662,902 | | 0,89 | 579,08 |
| 2015 | 25334 | 593 | | | | | | | |
| 2015 | 25061-1 | 598 | Jeton | Ceramique | 1714598,582 | 5162671,897 | | 4,21 | 578,25 |
| 2015 | 25061-1 | 601 | | Lithique | 1714598,098 | 5162672,167 | | 1,9 | 578,31 |
| 2015 | 25334-7 | 602 | Indéterminé tige | Base-cuivre | | | | 0,5 | |
| 2015 | 25334-7 | 603 | Indéterminé tige | Base-cuivre | | | | 3,2 | |
| 2015 | 25054-1 | 613 | Jeton | Ceramique | 1714596,709 | 5162666,321 | | 7,05 | 578,39 |
| 2015 | 25067 | 614 | Scorie | Base-cuivre | 1714587,238 | 5162667,109 | | 5,04 | 578,94 |
| 2015 | 25067 | 615 | Indéterminé plat | Fer | 1714587,206 | 5162666,73 | | 3,72 | 578,95 |
| 2015 | 25067 | 616 | Coulure | Base-cuivre | 1714587,052 | 5162666,82 | | 1,31 | 578,95 |
| 2015 | 25067 | 618 | Coulure | Base-cuivre | 1714586,483 | 5162666,357 | | 0,35 | 578,98 |
| 2015 | 25064 | 619 | | Terre cuite | 1714589,449 | 5162662,36 | | 7,05 | 579,? |
| 2015 | 25068 | 620 | Foncet | Fer | 1714605,097 | 5162680,415 | | 35,17 | 577,92 |
| 2015 | 25064 | 621 | Applique | Base-cuivre | 1714589,401 | 5162662,534 | | 1,21 | 579,23 |
| 2015 | 25068 | 624 | Indéterminé plat | Fer | 1714604,689 | 5162681,469 | | 5,82 | 578,05 |
| 2015 | 25068 | 625 | Fibule | Fer | 1714604,645 | 5162681,796 | | 3,42 | 578,1 |
| 2015 | 25054-1 | 626 | Perle | Base-cuivre | 1714596,93 | 5162666,441 | | 1,88 | 578,35 |
| 2015 | 25054-1 | 627 | Fourreau | Fer | 1714596,726 | 5162666,575 | | 9,83 | 578,26 |
| 2015 | 25068 | 628 | Bouclier | Fer | 1714604,758 | 5162678,613 | | 6,79 | 578,09 |
| 2015 | 25068 | 629 | Indéterminé plat | Fer | 1714604,78 | 5162681,537 | | 3,64 | 578,04 |
| 2015 | 25054-1 | 630 | Jeton | Ceramique | 1714596,986 | 5162666,679 | | 12,15 | 578,42 |
| 2015 | 25068 | 631 | Chute | Fer | 1714604,406 | 5162679,742 | | 8,65 | 578,08 |
| 2015 | 25054-1 | 633 | Scorie | Base-cuivre | 1714596,113 | 5162667,279 | | 11,81 | 578,53 |
| 2015 | 25068 | 636 | Crampon | Fer | 1714604,827 | 5162679,199 | | 17,41 | 578,11 |
| 2015 | 25054-1 | 638 | Scorie | Base-cuivre | 1714596,162 | 5162666,857 | | 4,86 | 578,25 |
| 2015 | 25064 | 639 | Jeton | Ceramique | | | | 4,33 | |
| 2015 | 25067 | 640 | Jeton | Ceramique | 1714586,897 | 5162667,479 | | 2,77 | 578,93 |
| 2015 | 25067 | 641 | Lime | Fer | 1714586,756 | 5162667,348 | | 12,35 | 578,95 |
| 2015 | 25067 | 642 | Anneau | Fer | 1714586,316 | 5162667,291 | | 1,85 | 578,98 |
| 2015 | 25067 | 643 | | | | | | | |
| 2015 | 25067 | 644 | Indéterminé tôle | Base-cuivre | 1714585,213 | 5162666,412 | | 0,07 | 578,01 |
| 2015 | 25067 | 645 | Indéterminé plat | Fer | 1714585,815 | 5162666,629 | | 12,59 | 578,99 |
| 2015 | 25054-1 | 646 | Jeton | Ceramique | 1714595,833 | 5162666,575 | | 4,15 | 578,42 |
| 2015 | 25054-1 | 648 | Indéterminé plat | Fer | 1714596,428 | 5162666,08 | | 8,06 | 578,2 |
| 2015 | 25067 | 652 | Jeton | Ceramique | 1714589,329 | 5162657,868 | | 6,03 | 579,14 |
| 2015 | 25068-1 | 659 | | | 1714601,569 | 5162670,039 | | | 577,96 |
| 2015 | 25067 | 669 | Jeton | Ceramique | 1714590,152 | 5162658,26 | | 1,55 | 579,09 |
| 2015 | 25067 | 673 | Jeton | Ceramique | 1714589,749 | 5162658,949 | | 45,93 | |
| 2015 | 25067 | 674 | Applique | Base-cuivre | 1714589,97 | 5162658,123 | | 2,29 | |
| 2015 | 25074-1 | 675 | Indéterminé verre | Verre | 1714589,168 | 5162669,888 | | | 578,71 |
| 2015 | 25334-7 | 676 | Clef | Fer | | | | 42,81 | |
| 2015 | 25334-7 | 677 | Jeton | Ceramique | | | | 5,24 | |
| 2015 | 25334-7 | 678 | Indéterminé verre | Verre | | | | 0,75 | |
| 2015 | 25335 | 679 | Demi-produit (fe) | Fer | 1714572,315 | 5162680,182 | | 2,31 | 578,75 |
| 2015 | 25077-1 | 680 | Plaque-foyère | Terre cuite | | | | 824 | 578,52 |
| 2015 | 25064-1 | 683 | Pique-bœuf | Fer | | | | 25,05 | |
| 2015 | 25373 | 685 | Indéterminé plat | Fer | 1714574,913 | 5162679,062 | | 53,89 | 578,42 |
| 2015 | 25077-1 | 686 | | Ceramique | | | | | 579,03 |
| 2015 | 25077-1 | 692 | Jeton | Ceramique | | | | 14,11 | 578,77 |
| 2015 | 25333-4 | 693 | Indéterminé tige | Base-cuivre | | | | 0,01 | |
| 2015 | 25077-1 | 697 | Indéterminé plat | Fer | | | | 5,11 | 578,9 |
| 2015 | 25077-1 | 699 | Jeton | Ceramique | | | | 6,52 | 579,01 |
| 2015 | 25333-3 | 700 | Indéterminé verre | Verre | | | | 0,96 | |

| | | | | | | | | |
|------|---------|-----|-----------------------|-------------|-------------|-------------|-------|--------|
| 2015 | 25077-1 | 701 | Lampe a huile | Ceramique | | | 90,46 | |
| 2015 | 25060-1 | 712 | Jeton | Ceramique | 1714596,352 | 5162670,171 | 6,7 | 578,42 |
| 2015 | 25334-2 | 713 | Indéterminé objet | Base-cuivre | | | 15,75 | |
| 2015 | 25060-2 | 714 | Piton | Fer | 1714597,247 | 5162668,838 | 32,2 | 578,5 |
| 2015 | 25060-4 | 715 | Indéterminé plat | Fer | 1714597,82 | 5162668,129 | 11,02 | 578,42 |
| 2015 | 25058-1 | 717 | Charnière | Fer | 1714599,402 | 5162667,531 | 8,82 | 578,29 |
| 2015 | 25060-1 | 718 | Burin | Fer | 1714597,142 | 5162669,129 | 45,88 | 578,36 |
| 2015 | 25058-1 | 720 | Indéterminé tôle | Base-cuivre | 1714598,847 | 5162668,44 | 1,28 | 578,22 |
| 2015 | 25000 | 726 | Indéterminé verre | Verre | | | 0,35 | |
| 2015 | 25000 | 730 | Chute | Base-cuivre | | | 9,81 | |
| 2015 | 25000 | 733 | Indéterminé tige | Base-cuivre | | | 1,68 | |
| 2015 | 25301 | 734 | Silex | Lithique | | | 1,33 | |
| 2015 | 25301 | 737 | Silex | Lithique | | | 6,92 | |
| 2015 | 25334 | 739 | Indéterminé verre | Verre | | | 3,8 | |
| 2015 | 25000 | 740 | Indéterminé tôle | Fer | | | 18,91 | |
| 2015 | 25000 | 743 | Rivet | Fer | | | 13,73 | |
| 2015 | 25000 | 755 | Indéterminé objet | Fer | | | 10,79 | |
| 2015 | 25334-5 | 761 | Scorie | Fer | | | 46,03 | |
| 2015 | 25014 | 762 | Applique | Base-cuivre | | | 0,27 | |
| 2015 | 25025-1 | 766 | Chute | Base-cuivre | | | 10,99 | |
| 2015 | 25023 | 770 | Agrafe | Base-cuivre | | | 0,3 | |
| 2015 | 25025-1 | 771 | Indéterminé tôle | Base-cuivre | | | 0,68 | |
| 2015 | 25058-1 | 784 | Anneau | Fer | 1714600,249 | 5162668,298 | 4,01 | 578,2 |
| 2015 | 25058-1 | 793 | | | 1714599,6 | 5162668,847 | | 578,25 |
| 2015 | 25058-1 | 794 | Indéterminé tige | Fer | 1714600,144 | 5162668,644 | 12,39 | 578,39 |
| 2015 | 25049-2 | 800 | Indéterminé tige | Base-cuivre | 1714601,105 | 5162664,764 | 0,47 | 578,41 |
| 2015 | 25085-1 | 801 | Indéterminé tige | Base-cuivre | 1714600,443 | 5162671,141 | 1,19 | 578,26 |
| 2015 | 25058-1 | 804 | Indéterminé tôle | Fer | 1714600,449 | 5162669,013 | 16,9 | 578,26 |
| 2015 | 25049-2 | 805 | Indéterminé tôle | Base-cuivre | 1714599,524 | 5162667,224 | 0,49 | 578,33 |
| 2015 | 25060-2 | 806 | Mortier | Lithique | 1714596,879 | 5162669,412 | 510 | 578,35 |
| 2015 | 25060-1 | 807 | Rivet | Fer | 1714596,554 | 5162669,907 | 15,79 | 578,35 |
| 2015 | 25029-1 | 808 | Jeton | Ceramique | 1714586,906 | 5162663,803 | 1,89 | 579,08 |
| 2015 | 25049-2 | 810 | Indéterminé plat | Fer | | | 21,91 | 578,37 |
| 2015 | 25049-2 | 811 | Ferrure | Fer | | | 23,99 | 578,41 |
| 2015 | 25085-1 | 812 | Indéterminé tige | Base-cuivre | 1714600,235 | 5162669,552 | 0,7 | 578,16 |
| 2015 | 25058-1 | 813 | Scorie | Fer | 1714600,353 | 5162668,985 | 3,52 | 578,1 |
| 2015 | 25058-1 | 818 | Estampille amphore | Ceramique | 1714599,824 | 5162669,097 | 645 | 578,32 |
| 2015 | 25334-6 | 819 | Jeton | Ceramique | | | 4,7 | |
| 2015 | 25334-6 | 820 | Jeton | Ceramique | | | 23,44 | |
| 2015 | 25085-1 | 822 | Monnaie | Argent | 1714600,699 | 5162669,521 | 0,24 | 578,06 |
| 2015 | 25097 | 823 | Indéterminé tôle | Fer | 1714603,504 | 5162666,579 | 17,77 | 578,23 |
| 2015 | 25058-1 | 824 | Indéterminé tôle | Base-cuivre | 1714600,051 | 5162669,5 | 0,71 | 578,17 |
| 2015 | 25085-1 | 825 | Chute | Base-cuivre | 1714600,681 | 5162669,729 | 0,77 | 578,04 |
| 2015 | 25085-1 | 826 | Indéterminé tôle | Base-cuivre | 1714600,811 | 5162669,673 | 0,73 | 578,02 |
| 2015 | 25097 | 829 | Jeton | Ceramique | 1714602,249 | 5162666,866 | 11,47 | 578,27 |
| 2015 | 25038-1 | 850 | Indéterminé tôle | Fer | 1714595,065 | 5162665,99 | 24,66 | 578,54 |
| 2015 | 25118-1 | 853 | Plaque-foyère | Terre cuite | | | 97,95 | 578,28 |
| 2015 | 25085-1 | 862 | Applique | Base-cuivre | 1714597,745 | 5162670,348 | 1,4 | 578,05 |
| 2015 | 25085-1 | 863 | Indéterminé tôle | Fer | 1714597,86 | 5162670,329 | 4,6 | 578,15 |
| 2015 | 25108-1 | 867 | Specillum | Base-cuivre | | | 3,74 | 577,91 |
| 2015 | 25108-1 | 868 | Indéterminé plat | Fer | | | 11,56 | 577,91 |
| 2015 | 25108-1 | 869 | | | | | | 578 |
| 2015 | 25108-1 | 870 | Clef | Fer | | | 27,83 | 577,96 |
| 2015 | 25108-1 | 871 | | | | | | 577,99 |
| 2015 | 25038-1 | 872 | | | | | | |
| 2015 | 25038-1 | 873 | | | | | | |
| 2015 | 25054-1 | 877 | Dechets de tableterie | Os | | | 315 | |
| 2015 | 25334-1 | 878 | Fibule | Fer | | | 14,38 | |
| 2015 | 25334-2 | 879 | Scorie | Fer | | | 20,3 | |
| 2015 | 25334-2 | 880 | Ferrure | Fer | | | 8,25 | |
| 2015 | 25334-2 | 881 | Scorie | Fer | | | 37,03 | |

| | | | | | | | | | |
|------|---------|------|-------------------------------|-------------|-------------|-------------|--|--------|--------|
| 2015 | 25334-2 | 882 | Scorie | Fer | | | | 18,14 | |
| 2015 | 25334-2 | 883 | Scorie | Fer | | | | 23,24 | |
| 2015 | 25334-2 | 884 | Scorie | Fer | | | | 12,68 | |
| 2015 | 25334 | 901 | Monnaie | Base-cuivre | 1714592,25 | 5162611,606 | | 9,11 | |
| 2015 | 25108 | 914 | Perle | Base-cuivre | | | | 2,9 | |
| 2015 | 25108 | 915 | Demi-produit (fe) | Fer | | | | 67,1 | |
| 2015 | 25334 | 917 | Coffre | Base-cuivre | | | | 5,43 | |
| 2015 | 25134-1 | 942 | Estampille amphore | Ceramique | | | | 199 | |
| 2015 | 25134-1 | 943 | Jeton | Ceramique | | | | 118,78 | |
| 2015 | 25037-1 | 967 | Fibule | Base-cuivre | | | | 1,3 | |
| 2015 | 25108-2 | 970 | Jeton | Ceramique | | | | 89,4 | |
| 2015 | 25108-2 | 971 | Aiguille | Os | | | | 9,9 | |
| 2015 | 25334-9 | 976 | Jeton | Ceramique | | | | 137,9 | |
| 2015 | 25334 | 977 | Jeton | Ceramique | | | | 41,7 | |
| 2015 | 25334 | 978 | Ferrure | Fer | | | | 33,45 | |
| 2015 | 25334 | 979 | Indéterminé tôle | Fer | | | | 47,8 | |
| 2015 | 25334 | 980 | Agrafe de reparation | Plomb | | | | 20,4 | |
| 2015 | 25334 | 981 | Fibule | Base-cuivre | | | | 2 | |
| 2015 | 25334 | 982 | Piton | Fer | | | | 11,6 | |
| 2015 | 25334 | 983 | Dechets de tabletterie | Os | | | | 9,27 | |
| 2015 | 25334 | 984 | Silex | Lithique | | | | 2,82 | |
| 2015 | 25334 | 985 | Indéterminé tige | Fer | | | | 18 | |
| 2015 | 25343 | 986 | Monnaie | Base-cuivre | | | | 10,21 | |
| 2015 | 25333-1 | 987 | Indéterminé ceram | Ceramique | | | | 14,22 | |
| 2015 | 25408-5 | 988 | Cotte de mailles | Fer | 1714616,466 | 5162645,172 | | 3219 | 578,36 |
| 2015 | 25408-5 | 989 | Indéterminé plat | Fer | 1714617,657 | 5162646,237 | | 53,2 | 578,32 |
| 2015 | 25408-5 | 990 | Chaudron | Fer | 1714617,471 | 5162646,164 | | 88 | 578,32 |
| 2015 | 25408-5 | 991 | Clou | Fer | 1714615,652 | 5162646,409 | | 13,7 | 578,25 |
| 2015 | 25408-5 | 992 | Indéterminé plat | Fer | 1714616,388 | 5162646,045 | | 18,7 | 578,32 |
| 2015 | 25408-5 | 993 | Objet refondu | Base-cuivre | 1714615,243 | 5162646,354 | | 5 | 578,38 |
| 2015 | 25408-5 | 994 | Silex | Lithique | 1714617,081 | 5162644,707 | | 4,3 | 578,45 |
| 2015 | 25408-5 | 995 | Chute | Base-cuivre | 1714616,087 | 5162645,99 | | 5,1 | 578,33 |
| 2015 | 25408-5 | 996 | Fusaiöle | Ceramique | 1714617,44 | 5162644,752 | | 6,9 | 578,46 |
| 2015 | 25137-1 | 997 | Indéterminé tôle | Fer | 1714614,876 | 5162664,878 | | 64,8 | 578,2 |
| 2015 | 25041 | 1009 | Demi-produit (fe) | Fer | 1714601,899 | 5162670,32 | | 70,8 | 577,29 |
| 2015 | 25108-9 | 1010 | Indéterminé tôle | Base-cuivre | | | | 1 | 577,72 |
| 2015 | 25108-6 | 1011 | Indéterminé ceram | Ceramique | | | | 9,7 | 577,17 |
| 2015 | 25063-1 | 1015 | Indéterminé verre | Verre | | | | 0,2 | 577,38 |
| 2015 | 25041 | 1016 | Applique | Base-cuivre | | | | 0,3 | 577,36 |
| 2015 | 25334-7 | 1022 | Estampille amphore | Ceramique | | | | 109 | |
| 2015 | 25334 | 1026 | Fibule | Base-cuivre | | | | 7,75 | |
| 2015 | 25334-2 | 1027 | Indéterminé tôle | Fer | | | | 13,17 | |
| 2015 | 25108-1 | 1029 | Indéterminé plat | Fer | | | | 15,13 | |
| 2015 | 25334 | 1039 | Ceinture | Base-cuivre | | | | 1,02 | |
| 2015 | 25334 | 1040 | Objet en cours de fabrication | Base-cuivre | | | | 3,1 | |
| 2015 | 25048-1 | 1042 | Scorie | Fer | | | | 21,05 | |
| 2015 | 25334 | 1043 | Indéterminé tôle | Base-cuivre | | | | 3,29 | |
| 2015 | 25333-7 | 1046 | Indéterminé verre | Verre | | | | 1,81 | |
| 2015 | 25334 | 1047 | Bracelet | Base-cuivre | | | | 0,19 | |
| 2015 | 25334 | 1048 | Indéterminé tige | Base-cuivre | | | | 1,13 | |
| 2015 | 25041 | 1060 | Perle | Base-cuivre | | | | 6,87 | |
| 2015 | 25108-1 | 1061 | Piton | Fer | | | | 32,42 | |
| 2015 | 25334-2 | 1062 | Jeton | Ceramique | | | | 6,94 | |
| 2015 | 25106-1 | 1063 | Cabochon | Base-cuivre | | | | 1 | |
| 2015 | 25077-1 | 1065 | Jeton | Ceramique | | | | 13,4 | 578,7 |
| 2015 | 25334-2 | 1068 | Indéterminé tôle | Fer | | | | 28,66 | |

| | | | | | | | | |
|------|---------|------|------------------------------|-------------|-------------|-------------|-------|--------|
| 2015 | 25077-1 | 1069 | | Ceramique | | | 4,55 | 579,03 |
| 2015 | 25088-1 | 1070 | Monnaie | Base-cuivre | | | 0,69 | |
| 2015 | 25334 | 1073 | Mortier | Lithique | | | 467 | |
| 2015 | 25064 | 1074 | Plaque-foyère | Terre cuite | 1714589,449 | 5162662,36 | 273 | |
| 2015 | 25108 | 1076 | Indéterminé verre | Verre | | | 2,08 | |
| 2015 | 25108 | 1077 | Indéterminé verre | Verre | | | 0,5 | |
| 2015 | 25108 | 1078 | Indéterminé verre | Verre | | | 10,63 | |
| 2015 | 25334-2 | ? | | Ceramique | | | 0,28 | |
| 2015 | HC | 31 | Monnaie | Base-cuivre | | | 1,58 | |
| 2015 | HC | 32 | Monnaie | Argent | | | 1,65 | |
| 2015 | HC | 33 | Anneau | Base-cuivre | | | 13,85 | |
| 2015 | HC | 34 | Perle | Base-cuivre | | | 3,15 | |
| 2015 | HC | 35 | Indéterminé tôle | Plomb | | | 4,62 | |
| 2015 | HC | 36 | Coulure | Base-cuivre | | | 4,66 | |
| 2015 | HC | 37 | Scorie | Base-cuivre | | | 23,77 | |
| 2015 | H.C | 60 | Monnaie | Base-cuivre | 1714623,413 | 5162720,837 | 3,56 | 578,22 |
| 2015 | HC | 69 | Ciseau | Fer | | | 20,51 | |
| 2015 | HC | 138 | Aiguille | Base-cuivre | | | 3,26 | |
| 2015 | HC | 139 | Monnaie | Base-cuivre | | | 3,23 | |
| 2015 | HC | 148 | Indéterminé plat | Fer | | | 17,95 | |
| 2015 | HC | 173 | Indéterminé tôle | Base-cuivre | | | 0,88 | |
| 2015 | HC | 269 | Ferrure | Fer | | | 17,39 | |
| 2015 | HC | 294 | Meule | Lithique | | | / | |
| 2015 | HC | 295 | Indéterminé verre | Verre | | | | |
| 2015 | HC | 296 | Indéterminé tôle | Base-cuivre | | | 2,15 | |
| 2015 | HC | 297 | Applique | Base-cuivre | | | 0,88 | |
| 2015 | HC | 298 | Indéterminé tôle | Base-cuivre | | | 1 | |
| 2015 | HC | 299 | Monnaie | Base-cuivre | | | 3,91 | |
| 2015 | HC | 302 | Monnaie | Base-cuivre | | | 1,58 | |
| 2015 | HC | 305 | Monnaie | Base-cuivre | | | 2,03 | |
| 2015 | HC | 306 | Demi-produit (autres métaux) | Base-cuivre | | | 17,07 | |
| 2015 | HC | 309 | Monnaie | Base-cuivre | | | 1,81 | |
| 2015 | HC | 310 | Scorie | Base-cuivre | | | 29,9 | |
| 2015 | HC | 312 | Monnaie | Base-cuivre | | | 0,76 | |
| 2015 | HC | 316 | Monnaie | Base-cuivre | | | 2,67 | |
| 2015 | HC | 317 | Monnaie | Base-cuivre | | | 0,73 | |
| 2015 | HC | 318 | Applique | Base-cuivre | | | 4,87 | |
| 2015 | HC | 320 | Monnaie | Base-cuivre | | | 1,96 | |
| 2015 | HC | 321 | Monnaie | Base-cuivre | | | 3,4 | |
| 2015 | HC | 323 | Indéterminé tôle | Plomb | | | 1,94 | |
| 2015 | HC | 324 | Indéterminé tôle | Plomb | | | 1,48 | |
| 2015 | HC | 325 | Perle | Base-cuivre | | | 3,67 | |
| 2015 | HC | 326 | Monnaie | Base-cuivre | | | 1,43 | |
| 2015 | HC | 327 | | | | | | |
| 2015 | HC | 330 | Monnaie | Base-cuivre | | | 2,42 | |
| 2015 | HC | 332 | Pique-bœuf | Fer | | | 24,17 | |
| 2015 | HC | 334 | Monnaie | Base-cuivre | | | 1,38 | |
| 2015 | HC | 336 | Indéterminé tôle | Plomb | | | 3,08 | |
| 2015 | HC | 337 | Monnaie | Base-cuivre | | | 2,14 | |
| 2015 | HC | 338 | Bouton | Base-cuivre | | | 2,23 | |
| 2015 | HC | 340 | Monnaie | Base-cuivre | | | 1,93 | |
| 2015 | HC | 342 | | | | | | |
| 2015 | HC | 464 | Binette | Fer | | | 314 | |
| 2015 | HC | 466 | Scorie | Base-cuivre | | | 13,56 | |
| 2015 | HC | 469 | Coulure | Base-cuivre | | | 6,31 | |
| 2015 | HC | 470 | Perle | Base-cuivre | | | 1,31 | |
| 2015 | HC | 473 | Perle | Base-cuivre | | | 5,059 | |
| 2015 | HC | 474 | Indéterminé verre | Verre | | | 4,88 | |
| 2015 | HC | 481 | Fusaïole | Terre cuite | | | 29,74 | |
| 2015 | HC | 483 | Silex | Lithique | | | 17,55 | |
| 2015 | HC | 484 | Monnaie | Base-cuivre | | | 1,99 | |
| 2015 | HC | 486 | Monnaie | Base-cuivre | | | 4,3 | |

| | | | | | | | | |
|------|-------|------|------------------------------|-------------|-------------|-------------|-------|--------|
| 2015 | HC | 488 | Tesselle | Lithique | | | 2,59 | |
| 2015 | HC | 491 | Monnaie | Base-cuivre | | | 1,9 | |
| 2015 | HC | 499 | Flèche | Base-cuivre | | | 3,07 | |
| 2015 | 24703 | 500 | Coulure | Base-cuivre | | | 3,28 | |
| 2015 | HC | 501 | Rondelle | Base-cuivre | | | 0,56 | |
| 2015 | HC | 502 | Scorie | Base-cuivre | | | 80,06 | |
| 2015 | HC | 503 | Coulure | Base-cuivre | | | 1,87 | |
| 2015 | HC | 504 | Monnaie | Base-cuivre | | | 1,08 | |
| 2015 | HC | 505 | Indéterminé tôle | Plomb | | | 3,09 | |
| 2015 | HC | 506 | Perle | Base-cuivre | | | 4,33 | |
| 2015 | HC | 507 | Perle | Base-cuivre | | | 4,4 | |
| 2015 | HC | 548 | Applique | Base-cuivre | | | 0,38 | |
| 2015 | HC | 687 | Mortier | Lithique | | | 1106 | |
| 2015 | HC | 729 | Indéterminé verre | Verre | | | 0,09 | |
| 2015 | HC | 735 | Indéterminé tige | Base-cuivre | | | 0,24 | |
| 2015 | HC | 742 | Chute | Base-cuivre | | | 1,41 | |
| 2015 | HC | 744 | Indéterminé verre | Verre | | | 2,56 | |
| 2015 | HC | 745 | Silex | Lithique | | | 2,15 | |
| 2015 | HC | 747 | Calotte | Fer | | | 74,52 | |
| 2015 | HC | 748 | Rivet | Base-cuivre | | | | |
| 2015 | HC | 752 | Demi-produit (autres métaux) | Base-cuivre | | | 60,34 | |
| 2015 | HC | 754 | Indéterminé tige | Fer | | | 14,34 | |
| 2015 | HC | 758 | Monnaie | Base-cuivre | | | 1,29 | |
| 2015 | HC | 759 | Monnaie | Base-cuivre | | | 2,18 | |
| 2015 | HC | 767 | Clou de chaussures | Fer | | | 2,44 | |
| 2015 | HC | 773 | Indéterminé tôle | Base-cuivre | | | 4,19 | |
| 2015 | HC | 776 | Agrafe de réparation | Plomb | | | 180 | |
| 2015 | HC | 779 | Perle | Base-cuivre | | | 5,68 | |
| 2015 | HC | 780 | Fibule | Base-cuivre | | | 0,69 | |
| 2015 | HC | 837 | Bague | Base-cuivre | | | 0,93 | |
| 2015 | HC | 913 | Bouclier | Fer | | | 21,12 | |
| 2015 | HC | 1012 | Silex | Lithique | | | 6 | |
| 2015 | HC | 1018 | Indéterminé tige | Base-cuivre | | | 3,93 | |
| 2015 | HC | 1025 | Jeton | Ceramique | | | 96,31 | |
| 2015 | HC | 1028 | Applique | Base-cuivre | | | 2,52 | |
| 2015 | HC | 1033 | Indéterminé tôle | Base-cuivre | | | 0,85 | |
| 2015 | HC | 1034 | Clou decoratif | Fer | | | 0,33 | |
| 2015 | HC | 1037 | Monnaie | Base-cuivre | | | 0,98 | |
| 2015 | HC | 1038 | Demi-produit (autres métaux) | Argent | | | 4,16 | |
| 2015 | HC | 1041 | Monnaie | Base-cuivre | | | 2,36 | |
| 2015 | HC | 1044 | Indéterminé tôle | Plomb | | | 4,94 | |
| 2015 | HC | 1050 | Agrafe de réparation | Base-cuivre | | | 9,27 | |
| 2015 | HC | 1051 | Indéterminé tôle | Base-cuivre | | | 0,57 | |
| 2015 | HC | 1052 | Perle | Base-cuivre | | | 3,21 | |
| 2015 | HC | 1053 | Monnaie | Base-cuivre | | | 6,04 | |
| 2015 | HC | 1054 | Monnaie | Base-cuivre | | | 3,53 | |
| 2015 | HC | 1055 | Clou decoratif | Base-cuivre | | | 1,26 | |
| 2015 | HC | 1056 | Rivet | Base-cuivre | | | 2,27 | |
| 2015 | HC | 1057 | Indéterminé plat | Fer | | | 10,45 | |
| 2015 | HC | 1058 | Applique | Base-cuivre | | | 0,35 | |
| 2015 | HC | 1059 | Monnaie | Base-cuivre | | | 3,1 | |
| 2015 | 25827 | 106 | Crampon | Fer | 1714599,39 | 5162613,949 | 2,98 | 579,3 |
| 2015 | 25827 | 107 | Indéterminé objet | Fer | 1714599,481 | 5162613,286 | 4,8 | 579,33 |
| 2015 | 25827 | 109 | Jeton | Ceramique | 1714600,893 | 5162614,987 | 9,86 | 579,16 |
| 2015 | 25827 | 110 | Indéterminé tôle | Base-cuivre | 1714600,571 | 5162614,117 | 0,5 | 579,16 |
| 2015 | 25827 | 126 | Clou de construction | Fer | 1714581,944 | 5162676,045 | 55,13 | 578,86 |
| 2015 | 25827 | 127 | Clou de | Fer | 1714581,585 | 5162676,516 | 0,84 | 578,91 |

| | | | | | | | | | |
|------|---------|-----|--------------------|-------------|-------------|-------------|--------|--------|---|
| | | | chaussures | | | | | | |
| 2015 | 25827 | 128 | Clou de chaussures | Fer | 1714581,153 | 5162677,819 | 1,92 | 578,89 | |
| 2015 | 25827 | 129 | Goutte | Plomb | 1714581,153 | 5162677,819 | 3,93 | 578,84 | |
| 2015 | 25827 | 130 | Rivet | Base-cuivre | 1714581,164 | 5162677,791 | 2,98 | 578,89 | |
| 2015 | 25827 | 131 | Clou de chaussures | Fer | 1714580,718 | 5162675,935 | 1,03 | 578,91 | |
| 2015 | 25827 | 132 | Clou de chaussures | Fer | 1714579,66 | 5162676,999 | 1,58 | 578,92 | |
| 2015 | 25827 | 133 | Clou de chaussures | Fer | 1714580,37 | 5162678,002 | 1,76 | 578,91 | |
| 2015 | 25827 | 134 | Scorie | Base-cuivre | 1714579,165 | 5162677,244 | 1,01 | 578,89 | |
| 2015 | 25827 | 135 | Bracelet | Base-cuivre | 1714580,337 | 5162674,836 | 2,27 | 578,9 | |
| 2015 | 25827 | 136 | Silex | Lithique | 1714572,935 | 5162678,975 | 1,95 | 578,78 | |
| 2015 | 25827 | 137 | Indéterminé objet | Fer | 1714582,832 | 5162673,106 | 55,6 | 579,08 | |
| 2015 | 25806 | 303 | Fourreau | Fer | | | 15,03 | | |
| 2015 | 25827 | 304 | Indéterminé tige | Fer | | | 2,47 | | |
| 2015 | 25834 | 471 | Chute | Base-cuivre | | | 0,39 | | |
| 2015 | 25858 | 493 | Clef | Fer | | | 25,99 | | |
| 2015 | 25859 | 728 | Scorie | Base-cuivre | | | 19,8 | | |
| 2015 | 25807 | 749 | Indéterminé plat | Fer | | | 20,95 | | |
| 2015 | 25834 | 751 | Applique | Base-cuivre | | | 4,8 | | |
| 2015 | 25858 | 763 | Indéterminé tige | Base-cuivre | | | 0,21 | | |
| 2015 | 25834 | 764 | Scorie | Base-cuivre | | | 101,24 | | |
| 2015 | 25859 | 765 | Scorie | Base-cuivre | | | 40,96 | | |
| 2015 | 25834 | 778 | Scorie | Base-cuivre | | | 37,13 | | |
| 2015 | 25620 | 1 | Silex | Lithique | | | 19,73 | | |
| 2015 | 25628 | 2 | Perle | Base-cuivre | | | 0,91 | | |
| 2015 | 25626 | 3 | Jeton | Ceramique | | | 11,04 | | |
| 2015 | 25700-3 | 4 | Silex | Lithique | | | 2,74 | | |
| 2015 | 25699-2 | 5 | Silex | Lithique | | | 16,26 | | |
| 2015 | 25641 | 6 | Jeton | Ceramique | | | 1,49 | | |
| 2015 | 25641 | 7 | Jeton | Ceramique | | | 6,62 | | |
| 2015 | 25641 | 8 | Jeton | Ceramique | | | 7,79 | | |
| 2015 | 25633 | 9 | Jeton | Ceramique | | | 11,81 | | |
| 2015 | 25641 | 10 | Silex | Lithique | | | 0,08 | | |
| 2015 | 25632 | 11 | Fer a boeuf | Fer | | | 70,22 | | |
| 2015 | 25634 | 12 | Monnaie | Base-cuivre | | | 1,68 | | |
| 2015 | HC | 13 | Rivet | Base-cuivre | | | 3,9 | | |
| 2015 | HC | 14 | Monnaie | Base-cuivre | | | 1,17 | | |
| 2015 | 25639 | 15 | Rondelle | Plomb | | | 2,83 | | |
| 2015 | HC | 16 | Bracelet | Base-cuivre | | | 6,98 | | |
| 2015 | HC | 17 | Scorie | Base-cuivre | | | 16,39 | | |
| 2015 | HC | 18 | Scorie | Base-cuivre | | | 16,13 | | |
| 2015 | HC | 19 | Coulure | Base-cuivre | | | 2,44 | | |
| 2015 | HC | 20 | Objet refondu | Base-cuivre | | | 6,85 | | |
| 2015 | HC | 21 | Scorie | Base-cuivre | | | 3,87 | | |
| 2015 | 25634 | 22 | Silex | Lithique | | | 2,25 | | |
| 2015 | 25688 | 23 | Silex | Lithique | | | 4,38 | | |
| 2015 | 25658 | 24 | Silex | Lithique | | | 8,41 | | |
| 2015 | 25658 | 25 | Jeton | Ceramique | | | 5,57 | | |
| 2015 | 25657 | 26 | Jeton | Ceramique | | | 12,48 | | |
| 2015 | 25656 | 27 | Fibule | Base-cuivre | | | 0,7 | | |
| 2015 | 25656 | 28 | Applique | Base-cuivre | | | 0,19 | | |
| 2015 | 25656 | 29 | Indéterminé objet | Base-cuivre | | | 0,24 | | |
| 2015 | 25689 | 30 | Silex | Lithique | | | 2,25 | | |
| 2015 | 25601 | 31 | Polissoir | Lithique | | | 29,29 | | |
| 2015 | 25601 | 32 | Silex | Lithique | | | 3,5 | | |
| 2015 | 25601 | 33 | Silex | Lithique | | | 11,24 | | |
| 2015 | 25711 | 34 | Recipient | Ceramique | | | 54,44 | | |
| 2015 | 25636 | 35 | Silex | Lithique | | | 3,19 | | |
| 2015 | 25690 | 36 | Silex | Lithique | | | 0,76 | | |
| 2015 | 25690 | 37 | Silex | Lithique | | | 0,5 | | 1 |

| | | | | | | | | | |
|------|---------|------|-------------------------|-------------|-------------|-------------|--|-------|--------|
| 2015 | 25690 | 38 | Indéterminé objet | Fer | | | | 28,34 | |
| 2015 | 25604-2 | 39 | Indéterminé lithique | Lithique | | | | 2,9 | |
| 2015 | 25604-2 | 40 | Brunissoir | Lithique | | | | 22,12 | |
| 2015 | 25703 | 41 | Jeton | Ceramique | | | | 2,52 | |
| 2015 | 25654 | 42 | Jeton | Ceramique | | | | 5,01 | |
| 2015 | 25654 | 43 | Jeton | Ceramique | | | | 1,63 | |
| 2015 | 25654 | 44 | Jeton | Ceramique | | | | 1,44 | |
| 2015 | 25721 | 45 | Jeton | Ceramique | | | | 24,85 | |
| 2015 | 25654 | 46 | Indéterminé tige | Base-cuivre | | | | 0,51 | |
| 2015 | 25720 | 47 | Outil trop fragmentaire | Fer | | | | 39,35 | |
| 2015 | 25654 | 48 | Jeton | Ceramique | | | | 4,08 | |
| 2015 | HC | 49 | Perle | Base-cuivre | | | | 0,69 | |
| 2015 | HC | 50 | Perle | Base-cuivre | | | | 1,02 | |
| 2015 | 25707 | 51 | Jeton | Ceramique | 1714600,078 | 5162674,224 | | 4,64 | 578,3 |
| 2015 | 25701 | 52 | Jeton | Ceramique | | | | 4,26 | |
| 2015 | 25707 | 53 | Silex | Lithique | | | | 4,63 | |
| 2015 | 25707 | 54 | Broyon | Lithique | | | | 194 | |
| 2015 | 25708 | 55 | Indéterminé tige | Fer | | | | 2,6 | |
| 2015 | 25694 | 56 | Silex | Lithique | | | | 14,3 | |
| 2015 | 25709 | 57 | Coulure | Plomb | | | | 2,92 | |
| 2015 | 25710 | 58 | Silex | Lithique | | | | 3,96 | |
| 2015 | 25617-2 | 59 | Silex | Lithique | | | | 2,44 | |
| 2015 | 25615 | 60 | Indéterminé tige | Base-cuivre | | | | 0,59 | |
| 2015 | 25605-1 | 61 | Polissoir | Lithique | | | | 167 | 1 |
| 2015 | 25720 | 62 | Indéterminé tige | Fer | | | | 0,87 | |
| 2015 | 25720 | 63 | Indéterminé plat | Fer | | | | 14,8 | |
| 2015 | 25720 | 64 | Jeton | Ceramique | | | | 8,88 | |
| 2015 | HC | 221 | Ferrure | Fer | | | | 72,8 | |
| 2015 | HC | 250 | Cabochon | Base-cuivre | | | | 0,8 | |
| 2015 | HC | 732 | Ferrure | Fer | | | | 13,8 | |
| 2015 | HC | 746 | Poinçon | Fer | | | | 17,1 | |
| 2015 | HC | 795 | Piton | Fer | 1714598,445 | 5162668,044 | | 4,7 | 578,36 |
| 2015 | HC | 796 | Clou | Fer | 1714598,127 | 5162667,842 | | 1,1 | 578,35 |
| 2015 | HC | 916 | Jeton | Ceramique | | | | 5,5 | |
| 2015 | HC | 919 | Piton | Fer | | | | 16 | |
| 2015 | HC | 920 | Crampon | Fer | | | | 39,5 | |
| 2015 | HC | 921 | Perle | Os | | | | 10 | |
| 2015 | 25422 | 922 | Aiguille | Fer | 1714645,225 | 5162630,291 | | 0,7 | 579,02 |
| 2015 | 25391 | 925 | Chaîne | Fer | 1714613,195 | 5162643,926 | | 11 | 578,82 |
| 2015 | 25408 | 926 | Jeton | Ceramique | 1714617,181 | 5162644,24 | | 3,4 | 578,78 |
| 2015 | 25017-1 | 929 | Indéterminé tige | Base-cuivre | 1714623,028 | 5162648,48 | | 1 | 578,41 |
| 2015 | H.C | 931 | Scorie | Base-cuivre | 1714626,276 | 5162650,76 | | 9,1 | 578,36 |
| 2015 | HC | 1013 | Chaudron | Fer | | | | 244,3 | |
| 2015 | 25068 | 622 | Burin | Fer | 1714605,716 | 5162678,939 | | 47,9 | 578,03 |
| 2015 | 24527 | 2000 | Chute | Fer | | | | 0,9 | |
| 2015 | 24334-2 | 2001 | Indéterminé plat | Fer | | | | 7,6 | |
| 2015 | 25804 | 2002 | Fibule | Fer | | | | 3,6 | |
| 2015 | 24094 | 2003 | Indéterminé plat | Fer | | | | 7,4 | |
| 2015 | 24334-2 | 2004 | Indéterminé tige | Fer | | | | 1,6 | |
| 2015 | 24334-2 | 2005 | Indéterminé tige | Fer | | | | 4 | |
| 2015 | 24088 | 2006 | Indéterminé tôle | Fer | | | | 2,9 | |
| 2015 | 24094 | 2007 | Fibule | Fer | | | | 2,2 | |
| 2015 | 25806 | 2008 | Rivet | Fer | | | | 3,3 | |
| 2015 | 25408-1 | 2009 | Monnaie | Base-cuivre | | | | 2,2 | |
| 2015 | 25408-1 | 2010 | Agrafe de ceinture | Base-cuivre | | | | 3,1 | |
| 2015 | 25002 | 2011 | Indéterminé tige | Fer | | | | 2 | |
| 2015 | 25408-2 | 2012 | Indéterminé tige | Fer | | | | 17,3 | |
| 2015 | 25002 | 2013 | Indéterminé tige | Fer | | | | 2,8 | |
| 2015 | HC | 2014 | Indéterminé tige | Fer | | | | 4,4 | |
| 2015 | 25009 | 2015 | Chaîne | Fer | | | | 3,4 | |

| | | | | | | | | | |
|------|---------|------|------------------------------|-------------|-------------|-------------|--|------|--------|
| 2015 | 25408-2 | 2016 | Indéterminé tige | Fer | | | | 8,3 | |
| 2015 | 25804 | 2017 | Indéterminé plat | Fer | | | | 3,5 | |
| 2015 | 25408-3 | 2018 | Indéterminé plat | Fer | | | | 9,8 | |
| 2015 | HC | 2019 | Clou | Fer | | | | 13,5 | |
| 2015 | HC | 2020 | Ferrure | Fer | | | | 30,2 | |
| 2015 | 25011 | 2021 | Rivet | Fer | | | | 1,6 | |
| 2015 | HC | 2022 | Indéterminé objet | Fer | | | | 7,7 | |
| 2015 | 24334-2 | 2023 | Stylets | Fer | | | | 7,8 | |
| 2015 | 24042-1 | 2024 | Indéterminé plat | Fer | | | | 4,7 | |
| 2015 | 24094 | 2025 | Fibule | Fer | | | | 2 | |
| 2015 | 24334-2 | 2026 | Fibule | Fer | | | | 2,3 | |
| 2015 | 25435-1 | 2027 | Indéterminé objet | Fer | | | | 3,4 | |
| 2015 | 25022-1 | 2028 | Indéterminé objet | Fer | | | | 11 | |
| 2015 | 25000 | 2029 | Indéterminé tige | Fer | | | | 1 | |
| 2015 | 25005 | 2030 | Indéterminé tôle | Base-cuivre | | | | 1,3 | |
| 2015 | 25005 | 2031 | Applique | Base-cuivre | | | | 0,4 | |
| 2015 | 24094 | 2032 | Demi-produit (fe) | Fer | | | | 2,6 | |
| 2015 | 24094 | 2033 | Fibule | Fer | | | | 1,1 | |
| 2015 | HC | 2034 | Demi-produit (fe) | Fer | | | | 1,9 | |
| 2015 | 24334-2 | 2035 | Indéterminé tige | Fer | | | | 2,3 | |
| 2015 | 24094 | 2036 | Clou décoratif | Fer | | | | 3,4 | |
| 2015 | 25009 | 2037 | Rivet | Fer | | | | 2,9 | |
| 2015 | 24334-2 | 2038 | Rivet | Fer | | | | 27,8 | |
| 2015 | 25022-1 | 2039 | Forces | Fer | | | | 21,1 | |
| 2015 | 25028-1 | 2040 | Indéterminé tige | Fer | | | | 8,6 | |
| 2015 | 25075-1 | 2041 | Outil trop fragmentaire | Fer | | | | 8,7 | |
| 2015 | 25002 | 2042 | Clou de chaussures | Fer | | | | 1,9 | |
| 2015 | 25408-1 | 2043 | Demi-produit (autres métaux) | Base-cuivre | | | | 6,7 | |
| 2015 | 25028-1 | 2044 | Indéterminé plat | Fer | | | | 7,7 | |
| 2015 | 24155 | 2045 | Agrafe | Fer | | | | 1,7 | |
| 2015 | 24088 | 2046 | Pêne | Fer | | | | 19,3 | |
| 2015 | 25075-1 | 2047 | Ferrure | Fer | | | | 12,6 | |
| 2015 | 24094 | 2048 | Fibule | Fer | | | | 2,1 | |
| 2015 | 24042-1 | 2049 | Indéterminé tôle | Fer | | | | 14,7 | |
| 2015 | 25087-1 | 2050 | Indéterminé tige | Fer | | | | 2,5 | |
| 2015 | 25408-2 | 2051 | Fibule | Fer | | | | 6,4 | |
| 2015 | HC | 2052 | Scorie | Base-cuivre | | | | 5,3 | |
| 2015 | HC | 2053 | Indéterminé tôle | Fer | | | | 2,7 | |
| 2015 | HC | 2054 | Indéterminé plat | Fer | | | | 10,1 | |
| 2015 | HC | 2055 | Demi-produit (fe) | Fer | | | | 11,8 | |
| 2015 | HC | 2056 | Indéterminé tige | Fer | | | | 2 | |
| 2015 | 25088-1 | 2057 | Clou | Fer | | | | 6,5 | |
| 2015 | 25002 | 2058 | Indéterminé tige | Fer | | | | 26,3 | |
| 2015 | 25013 | 2059 | Indéterminé plat | Fer | | | | 2,2 | |
| 2015 | HC | 2060 | Ferrure | Fer | | | | 18,1 | |
| 2015 | H.C | 261 | Perle | Base-cuivre | 1714585,853 | 5162665,612 | | 3,3 | 579,09 |
| 2015 | 25013 | 2061 | Indéterminé plat | Fer | | | | 2,7 | |
| 2015 | 25096-1 | 2062 | Serpette | Fer | | | | 40,7 | |
| 2015 | 25001 | 2063 | Piton | Fer | | | | 7,5 | |
| 2015 | 25017-1 | 2064 | Clou | Fer | | | | 2,9 | |
| 2015 | 24088 | 2065 | Ferrure | Fer | | | | 23,5 | |
| 2015 | HC | 2066 | Couteau multifonctionnel | Fer | | | | 43,9 | |
| 2015 | 25051 | 2067 | Alêne | Fer | | | | 9,9 | |
| 2015 | 25017-1 | 2068 | Anneau | Fer | | | | 2,6 | |
| 2015 | 25108 | 2069 | Boîte a sceau | Base-cuivre | | | | 3,2 | |
| 2015 | 25112 | 2070 | Rivet | Fer | | | | 16,3 | |
| 2015 | 25022-1 | 2071 | Indéterminé tige | Fer | | | | 2,4 | |
| 2015 | 25006-1 | 2072 | Indéterminé tôle | Fer | | | | 6,1 | |
| 2015 | 25009 | 2073 | Perle | Base-cuivre | | | | 2,7 | |

| | | | | | | | | |
|------|---------|------|---------------------------------|-------------|--|--|-------|--|
| 2015 | 25022-1 | 2074 | Indéterminé tôle | Fer | | | 0,5 | |
| 2015 | 25000 | 2075 | Indéterminé tôle | Fer | | | 44,7 | |
| 2015 | 25011 | 2076 | Dechets de tabletterie | Fer | | | 0,8 | |
| 2015 | 25054-1 | 2077 | Indéterminé tige | Fer | | | 8,2 | |
| 2015 | 25022-1 | 2078 | Chute | Fer | | | 1,3 | |
| 2015 | 25001 | 2079 | Fibule | Fer | | | 3,6 | |
| 2015 | 25408-2 | 2080 | Clou décoratif | Fer | | | 19,2 | |
| 2015 | 25022-1 | 2081 | Indéterminé plat | Fer | | | 4,5 | |
| 2015 | 25022-1 | 2082 | Indéterminé plat | Fer | | | 4,3 | |
| 2015 | 25022-1 | 2083 | Indéterminé tige | Fer | | | 4,7 | |
| 2015 | 25017-1 | 2084 | Indéterminé tige | Fer | | | 1,9 | |
| 2015 | 25022-1 | 2085 | Indéterminé tige | Fer | | | 2,1 | |
| 2015 | 25124 | 2086 | Lime | Fer | | | 10 | |
| 2015 | 25827 | 2087 | Scorie | Fer | | | 16,4 | |
| 2015 | 25022-1 | 2088 | Indéterminé tôle | Base-cuivre | | | 0,2 | |
| 2015 | 25023 | 2089 | Clou | Fer | | | 6,4 | |
| 2015 | 25041 | 2090 | Chute | Fer | | | 1,2 | |
| 2015 | 25059 | 2091 | Clou décoratif | Fer | | | 1,5 | |
| 2015 | 25113-1 | 2092 | Demi-produit (fe) | Fer | | | 10,8 | |
| 2015 | 25068 | 2093 | Chute | Fer | | | 3 | |
| 2015 | 25038-1 | 2094 | Indéterminé tôle | Fer | | | 5,2 | |
| 2015 | 25034-1 | 2095 | Indéterminé tige | Fer | | | 3 | |
| 2015 | 25088 | 2096 | Indéterminé tige | Fer | | | 2,9 | |
| 2015 | 25027-1 | 2097 | Ferrure | Fer | | | 21,2 | |
| 2015 | 25334-9 | 2098 | Demi-produit (autres métaux) | Fer | | | 229,5 | |
| 2015 | 25301 | 2099 | Clef | Fer | | | 27,8 | |
| 2015 | 25334-9 | 2100 | Stylets | Fer | | | 15,8 | |
| 2015 | 25334-5 | 2101 | Fibule | Fer | | | 4,5 | |
| 2015 | 25391-1 | 2102 | Stylets | Fer | | | 17,9 | |
| 2015 | 25334-2 | 2103 | Ciseau | Fer | | | 12,8 | |
| 2015 | HC | 1075 | Demi-produit (fe) | Fer | | | 49,8 | |
| 2015 | 25136-1 | 2104 | Fiche | Fer | | | 9,2 | |
| 2015 | 25334-4 | 2105 | Scorie | Fer | | | 42,1 | |
| 2015 | 25334-7 | 2106 | Clou | Fer | | | 4,6 | |
| 2015 | 25306 | 2107 | Indéterminé tige | Fer | | | 6,2 | |
| 2015 | 25333 | 2108 | Indéterminé tige | Fer | | | 1,8 | |
| 2015 | 25314 | 2109 | Indéterminé tige | Fer | | | 2,7 | |
| 2015 | 25300 | 2110 | Scorie | Base-cuivre | | | 43,5 | |
| 2015 | 25301 | 2111 | Indéterminé tige | Fer | | | 1,2 | |
| 2015 | 25303 | 2112 | Crampon | Fer | | | 3,4 | |
| 2015 | 25333-3 | 2113 | Indéterminé plat | Fer | | | 11 | |
| 2015 | 25391-1 | 2114 | Indéterminé plat | Fer | | | 8,2 | |
| 2015 | 25371-1 | 2115 | Ferrure | Fer | | | 25,1 | |
| 2015 | 25391-1 | 2116 | Crampon | Fer | | | 2,6 | |
| 2015 | 25314 | 2117 | Indéterminé tige | Fer | | | 1 | |
| 2015 | 25333 | 2118 | Chute | Fer | | | 4,8 | |
| 2015 | 25303 | 2119 | Demi-produit (fe) | Fer | | | 12,2 | |
| 2015 | 25306 | 2120 | Indéterminé plat | Fer | | | 5,6 | |
| 2015 | 25301 | 2121 | Indéterminé tige | Base-cuivre | | | 0,6 | |
| 2015 | 25334 | 2122 | Indéterminé tôle | Fer | | | 7,5 | |
| 2015 | 25303 | 2123 | Scorie | Fer | | | 41,3 | |
| 2015 | 25369 | 2124 | Fibule | Fer | | | 2,1 | |
| 2015 | 25303 | 2125 | Indéterminé tige | Fer | | | 3,9 | |
| 2015 | 25301 | 2126 | Clou de chaussures | Fer | | | 1,5 | |
| 2015 | 25341 | 2127 | Indéterminé tôle | Fer | | | 2,9 | |
| 2015 | 25300 | 2128 | Indéterminé tôle | Fer | | | 14,4 | |
| 2015 | 25304 | 2129 | Clou | Fer | | | 1,7 | |
| 2015 | 25302 | 2130 | Indéterminé tige | Fer | | | 4 | |
| 2015 | 25303 | 2131 | Rivet | Fer | | | 7,2 | |
| 2015 | 25303 | 2132 | Indéterminé objet | Fer | | | 9,5 | |

| | | | | | | | | |
|------|----------------|------|----------------------|-------------|--|--|-------|--|
| 2015 | 25334-7 | 2133 | Aiguille | Fer | | | 3,8 | |
| 2015 | 25310 | 2134 | Clou de chaussures | Fer | | | 2,6 | |
| 2015 | 25334-6 | 2135 | Indéterminé tige | Fer | | | 2,3 | |
| 2015 | 25335 | 2136 | Indéterminé plat | Fer | | | 5,7 | |
| 2015 | 25373 ou 25355 | 2137 | Clou | Fer | | | 5,5 | |
| 2015 | 25334-6 | 2138 | Indéterminé tige | Fer | | | 26,2 | |
| 2015 | 25303 | 2139 | Fiche | Fer | | | 4,1 | |
| 2015 | 25314 | 2140 | Clou de construction | Fer | | | 33 | |
| 2015 | 25310 | 2141 | Indéterminé tige | Fer | | | 1,3 | |
| 2015 | 25303 | 2142 | Chute | Fer | | | 1,2 | |
| 2015 | 25303 | 2143 | Scorie | Fer | | | 7,1 | |
| 2015 | 25300 | 2144 | Crampon | Fer | | | 1,5 | |
| 2015 | HC | 1081 | Tesselle | Lithique | | | 1,3 | |
| 2015 | HC | 1089 | Indéterminé tôle | Plomb | | | 6,6 | |
| 2015 | HC | 1085 | Rondelle | Base-cuivre | | | 0,6 | |
| 2015 | HC | 1084 | Agrafe de réparation | Plomb | | | 7,9 | |
| 2015 | HC | 1083 | Clou de chaussures | Fer | | | 0,4 | |
| 2015 | HC | 1080 | Monnaie | Base-cuivre | | | | |
| 2015 | 25108-1 | 1082 | Monnaie | Base-cuivre | | | | |
| 2015 | HC | 1086 | Monnaie | Base-cuivre | | | | |
| 2015 | HC | 1087 | Monnaie | Base-cuivre | | | | |
| 2015 | HC | 1088 | Monnaie | Base-cuivre | | | | |
| 2015 | HC | 1090 | Monnaie | Base-cuivre | | | | |
| 2015 | HC | 1091 | Monnaie | Base-cuivre | | | | |
| 2015 | HC | 1092 | Monnaie | Base-cuivre | | | | |
| 2015 | 25102-1 | | Clou | Fer | | | 6 | |
| 2015 | 25104-1 | | Clou | Fer | | | 29 | |
| 2015 | 25109-1 | | Clou | Fer | | | 90 | |
| 2015 | 25112 | | Clou | Fer | | | 90 | |
| 2015 | 25113-1 | | Clou | Fer | | | 127 | |
| 2015 | 25114 | | Clou | Fer | | | 142 | |
| 2015 | 25116 | | Clou | Fer | | | 35 | |
| 2015 | 25117 | | Clou | Fer | | | 19 | |
| 2015 | 25127-1 | | Clou | Fer | | | 4 | |
| 2015 | 25134-1 | | Clou | Fer | | | 106 | |
| 2015 | 25140-1 | | Clou | Fer | | | 30 | |
| 2015 | 25144-1 | | Clou | Fer | | | 28 | |
| 2015 | 25300 | | Clou | Fer | | | 646,3 | |
| 2015 | 25301 | | Clou | Fer | | | 175,7 | |
| 2015 | 25302 | | Clou | Fer | | | 107,7 | |
| 2015 | 25303 | | Clou | Fer | | | 799,5 | |
| 2015 | 25304 | | Clou | Fer | | | 59,5 | |
| 2015 | 25305 | | Clou | Fer | | | 11,3 | |
| 2015 | 25306 | | Clou | Fer | | | 68 | |
| 2015 | 25309 | | Clou | Fer | | | 48,1 | |
| 2015 | 25310 | | Clou | Fer | | | 258 | |
| 2015 | 25312 | | Clou | Fer | | | 25,5 | |
| 2015 | 25313 | | Clou | Fer | | | 19,8 | |
| 2015 | 25314 | | Clou | Fer | | | 328,9 | |
| 2015 | 25315 | | Clou | Fer | | | 85 | |
| 2015 | 25323 | | Clou | Fer | | | 107,7 | |
| 2015 | 25325 | | Clou | Fer | | | 11,3 | |
| 2015 | 25328 | | Clou | Fer | | | 11,3 | |
| 2015 | 25330 | | Clou | Fer | | | 39,7 | |
| 2015 | 25332 | | Clou | Fer | | | 5,7 | |
| 2015 | 25333-1 | | Clou | Fer | | | 226,8 | |
| 2015 | 25333-2 | | Clou | Fer | | | 5,7 | |
| 2015 | 25333-3 | | Clou | Fer | | | 28,3 | |

| | | | | | | | | |
|------|-----------------|--|------|-----|--|--|-------|--|
| 2015 | 25333-4 | | Clou | Fer | | | 39,7 | |
| 2015 | 25334 | | Clou | Fer | | | 226,8 | |
| 2015 | 25334-1 | | Clou | Fer | | | 229,6 | |
| 2015 | 25334-2 | | Clou | Fer | | | 121,9 | |
| 2015 | 25334-3 | | Clou | Fer | | | 42,5 | |
| 2015 | 25334-4 | | Clou | Fer | | | 56,7 | |
| 2015 | 25334-5 | | Clou | Fer | | | 62,4 | |
| 2015 | 25334-6 | | Clou | Fer | | | 292 | |
| 2015 | 25334-7 | | Clou | Fer | | | 190 | |
| 2015 | 25334-9 | | Clou | Fer | | | 76,5 | |
| 2015 | 25335 | | Clou | Fer | | | 119,1 | |
| 2015 | 25336 | | Clou | Fer | | | 39,7 | |
| 2015 | 25337 | | Clou | Fer | | | 45,4 | |
| 2015 | 25338 | | Clou | Fer | | | 34 | |
| 2015 | 25341 | | Clou | Fer | | | 5,7 | |
| 2015 | 25342 | | Clou | Fer | | | 8,5 | |
| 2015 | 25343 | | Clou | Fer | | | 14,1 | |
| 2015 | 25335 | | Clou | Fer | | | 31,2 | |
| 2015 | 25346 | | Clou | Fer | | | 31,2 | |
| 2015 | 25349-1 | | Clou | Fer | | | 5,7 | |
| 2015 | 25351 | | Clou | Fer | | | 17 | |
| 2015 | 25352 | | Clou | Fer | | | 22,7 | |
| 2015 | 25353 | | Clou | Fer | | | 141,7 | |
| 2015 | 25355-1 | | Clou | Fer | | | 127,6 | |
| 2015 | 25363 | | Clou | Fer | | | 22,7 | |
| 2015 | 25365 | | Clou | Fer | | | 19,8 | |
| 2015 | 25366 | | Clou | Fer | | | 2,8 | |
| 2015 | 25367-1 | | Clou | Fer | | | 102,1 | |
| 2015 | 25369 | | Clou | Fer | | | 70,9 | |
| 2015 | 25371-1 | | Clou | Fer | | | 198,4 | |
| 2015 | 25371-1 TR1 | | Clou | Fer | | | 28,3 | |
| 2015 | 25371-1 TR2 | | Clou | Fer | | | 76,5 | |
| 2015 | 25373 ou 335 | | Clou | Fer | | | 87,9 | |
| 2015 | 25375 | | Clou | Fer | | | 25,5 | |
| 2015 | 25376-1 | | Clou | Fer | | | 51 | |
| 2015 | 25377-1 | | Clou | Fer | | | 11,3 | |
| 2015 | 25379-1 | | Clou | Fer | | | 59,5 | |
| 2015 | 25381-1 | | Clou | Fer | | | 2,8 | |
| 2015 | 25382-1 | | Clou | Fer | | | 124,7 | |
| 2015 | 25382 | | Clou | Fer | | | 59,5 | |
| 2015 | 25383 | | Clou | Fer | | | 34 | |
| 2015 | 25386 | | Clou | Fer | | | 28,3 | |
| 2015 | 25387 | | Clou | Fer | | | 31,2 | |
| 2015 | 25391-1 | | Clou | Fer | | | 102,1 | |
| 2015 | 24059-6 | | Clou | Fer | | | 13 | |
| 2015 | 24042-1 | | Clou | Fer | | | 120 | |
| 2015 | 24088 | | Clou | Fer | | | 481 | |
| 2015 | 24089 | | Clou | Fer | | | 13 | |
| 2015 | 24092 | | Clou | Fer | | | 133 | |
| 2015 | 24094 | | Clou | Fer | | | 636 | |
| 2015 | 24133 | | Clou | Fer | | | 284 | |
| 2015 | 24145-1 | | Clou | Fer | | | 16 | |
| 2015 | 24154 | | Clou | Fer | | | 37 | |
| 2015 | 24155 | | Clou | Fer | | | 54 | |
| 2015 | 24334-2 | | Clou | Fer | | | 380 | |
| 2015 | 24334-8 | | Clou | Fer | | | 31 | |
| 2015 | 24456-1 | | Clou | Fer | | | 62 | |
| 2015 | 24527 | | Clou | Fer | | | 14 | |
| 2015 | 25408-1 | | Clou | Fer | | | 15 | |
| 2015 | 25408-2 | | Clou | Fer | | | 365 | |
| 2015 | 25408-3 | | Clou | Fer | | | 24 | |
| 2015 | 25408-4 | | Clou | Fer | | | 88 | |

| | | | | | | | | |
|------|---------|--|------|-----|--|--|------|--|
| 2015 | 25408-5 | | Clou | Fer | | | 22 | |
| 2015 | 25408-6 | | Clou | Fer | | | 15 | |
| 2015 | 25435-1 | | Clou | Fer | | | 38 | |
| 2015 | 25801 | | Clou | Fer | | | 24 | |
| 2015 | 25803 | | Clou | Fer | | | 5 | |
| 2015 | 25804 | | Clou | Fer | | | 19 | |
| 2015 | 25806 | | Clou | Fer | | | 7 | |
| 2015 | 25807 | | Clou | Fer | | | 54 | |
| 2015 | 25824 | | Clou | Fer | | | 5 | |
| 2015 | 25826 | | Clou | Fer | | | 23 | |
| 2015 | 25827 | | Clou | Fer | | | 134 | |
| 2015 | 25834 | | Clou | Fer | | | 142 | |
| 2015 | HC | | Clou | Fer | | | 379 | |
| 2015 | 25000 | | Clou | Fer | | | 1133 | |
| 2015 | 25001 | | Clou | Fer | | | 212 | |
| 2015 | 25002 | | Clou | Fer | | | 275 | |
| 2015 | 25003 | | Clou | Fer | | | 33 | |
| 2015 | 25004 | | Clou | Fer | | | 133 | |
| 2015 | 25005 | | Clou | Fer | | | 119 | |
| 2015 | 25008 | | Clou | Fer | | | 136 | |
| 2015 | 25009 | | Clou | Fer | | | 361 | |
| 2015 | 25010 | | Clou | Fer | | | 50 | |
| 2015 | 25011 | | Clou | Fer | | | 12 | |
| 2015 | 25013 | | Clou | Fer | | | 144 | |
| 2015 | 25015 | | Clou | Fer | | | 31 | |
| 2015 | 25018 | | Clou | Fer | | | 12 | |
| 2015 | 25022 | | Clou | Fer | | | 7 | |
| 2015 | 25023 | | Clou | Fer | | | 158 | |
| 2015 | 25037 | | Clou | Fer | | | 8 | |
| 2015 | 25038 | | Clou | Fer | | | 38 | |
| 2015 | 25041 | | Clou | Fer | | | 175 | |
| 2015 | 25042 | | Clou | Fer | | | 15 | |
| 2015 | 25044 | | Clou | Fer | | | 3 | |
| 2015 | 25045 | | Clou | Fer | | | 25 | |
| 2015 | 25049 | | Clou | Fer | | | 14 | |
| 2015 | 25050 | | Clou | Fer | | | 40 | |
| 2015 | 25051 | | Clou | Fer | | | 7 | |
| 2015 | 25057 | | Clou | Fer | | | 435 | |
| 2015 | 25059 | | Clou | Fer | | | 5 | |
| 2015 | 25063 | | Clou | Fer | | | 12 | |
| 2015 | 25067 | | Clou | Fer | | | 40 | |
| 2015 | 25068 | | Clou | Fer | | | 12 | |
| 2015 | 25082 | | Clou | Fer | | | 170 | |
| 2015 | 25088 | | Clou | Fer | | | 40 | |
| 2015 | 25097 | | Clou | Fer | | | 106 | |
| 2015 | 25006-1 | | Clou | Fer | | | 25 | |
| 2015 | 25012-1 | | Clou | Fer | | | 688 | |
| 2015 | 25014-1 | | Clou | Fer | | | 106 | |
| 2015 | 25017-1 | | Clou | Fer | | | 67 | |
| 2015 | 25021-1 | | Clou | Fer | | | 48 | |
| 2015 | 25022-1 | | Clou | Fer | | | 12 | |
| 2015 | 25025-1 | | Clou | Fer | | | 580 | |
| 2015 | 25026-1 | | Clou | Fer | | | 66 | |
| 2015 | 25026-2 | | Clou | Fer | | | 126 | |
| 2015 | 25027-1 | | Clou | Fer | | | 364 | |
| 2015 | 25028-1 | | Clou | Fer | | | 62 | |
| 2015 | 25029-1 | | Clou | Fer | | | 188 | |
| 2015 | 25030-1 | | Clou | Fer | | | 19 | |
| 2015 | 25033-1 | | Clou | Fer | | | 230 | |
| 2015 | 25034-1 | | Clou | Fer | | | 85 | |
| 2015 | 25036-1 | | Clou | Fer | | | 54 | |
| 2015 | 25038-1 | | Clou | Fer | | | 30 | |
| 2015 | 25049-2 | | Clou | Fer | | | 110 | |

| | | | | | | | | | |
|------|---------|-------|--------------------------|-------------|-------------|-------------|--|------|--------|
| 2015 | 25053-1 | | Clou | Fer | | | | 42 | |
| 2015 | 25054-1 | | Clou | Fer | | | | 129 | |
| 2015 | 25056-1 | | Clou | Fer | | | | 15 | |
| 2015 | 25058-1 | | Clou | Fer | | | | 222 | |
| 2015 | 25059-1 | | Clou | Fer | | | | 4 | |
| 2015 | 25060-2 | | Clou | Fer | | | | 40 | |
| 2015 | 25061-1 | | Clou | Fer | | | | 31 | |
| 2015 | 25064-1 | | Clou | Fer | | | | 20 | |
| 2015 | 25066-1 | | Clou | Fer | | | | 18 | |
| 2015 | 25068-1 | | Clou | Fer | | | | 50 | |
| 2015 | 25069-1 | | Clou | Fer | | | | 35 | |
| 2015 | 25071-1 | | Clou | Fer | | | | 56 | |
| 2015 | 25072-1 | | Clou | Fer | | | | 95 | |
| 2015 | 25075-1 | | Clou | Fer | | | | 170 | |
| 2015 | 25079-1 | | Clou | Fer | | | | 40 | |
| 2015 | 25085-1 | | Clou | Fer | | | | 45 | |
| 2015 | 25085-2 | | Clou | Fer | | | | 27 | |
| 2015 | 25088-1 | | Clou | Fer | | | | 94 | |
| 2015 | 25089-1 | | Clou | Fer | | | | 15 | |
| 2015 | 25096-1 | | Clou | Fer | | | | 37 | |
| 2015 | 25097-1 | | Clou | Fer | | | | 3 | |
| 2015 | 25097-2 | | Clou | Fer | | | | 14 | |
| 2015 | 25023 | 2145 | Scorie | Base-cuivre | | | | 2,8 | |
| 2015 | 25023 | 2146 | Canal de coulee | Base-cuivre | | | | 1,3 | |
| 2015 | 2500 | 2147 | Indéterminé tôle | Base-cuivre | | | | 1,3 | |
| 2015 | 25127-1 | 2148 | Fiche | Fer | | | | 6,6 | |
| 2015 | 25000 | 2149 | Indéterminé tôle | Base-cuivre | | | | 0,1 | |
| 2015 | 25002 | 2150 | Tesselle | Lithique | | | | 2,3 | |
| 2015 | HC | 2151 | Indéterminé verre | Verre | | | | 14,7 | |
| 2015 | 25386-1 | 2152 | Jeton | Ceramique | | | | 66,5 | |
| 2015 | 25300 | 2153 | Tesselle | Lithique | | | | 1,7 | |
| 2015 | 25371-1 | 2154 | Indéterminé tige | Fer | | | | 11,4 | |
| 2015 | 25416-1 | 1000b | Forces | Fer | 1714610,975 | 5162647,886 | | 13,4 | 578,66 |
| 2015 | 25416-1 | 1000c | Bouclier | Fer | 1714610,975 | 5162647,886 | | 33,1 | 578,66 |
| 2015 | 25416-1 | 1000d | Torque | Fer | 1714610,975 | 5162647,886 | | 16,3 | 578,66 |
| 2015 | 25416-1 | 1000j | Clou | Fer | 1714610,975 | 5162647,886 | | 76,7 | 578,66 |
| 2015 | 25416-1 | 1000i | Ferrure | Fer | 1714610,975 | 5162647,886 | | 6,2 | 578,66 |
| 2015 | 25416-1 | 1000g | Demi-produit (fe) | Fer | 1714610,975 | 5162647,886 | | 30,3 | 578,66 |
| 2015 | 25416-1 | 1000h | Ferrure | Fer | 1714610,975 | 5162647,886 | | 16,7 | 578,66 |
| 2015 | 25416-1 | 1000f | Ferrure | Fer | 1714610,975 | 5162647,886 | | 45,6 | 578,66 |
| 2015 | 25416-1 | 1000k | Rivet | Fer | 1714610,975 | 5162647,886 | | 1,9 | 578,66 |
| 2015 | 25416-1 | 1000e | Foncet | Fer | 1714610,975 | 5162647,886 | | 77 | 578,66 |
| 2015 | 25104-1 | 2155 | Indéterminé tôle | Fer | | | | 24,3 | |
| 2015 | 25006-1 | 2156 | Couteau multifonctionnel | Fer | | | | 16,3 | |
| 2015 | 25006-1 | 2157 | Indéterminé tôle | Fer | | | | 27,5 | |
| 2015 | 25371-1 | 2158 | Indéterminé plat | Fer | | | | 74,5 | |
| 2015 | 25338 | 2159 | Demi-produit (fe) | Fer | | | | 15,3 | |
| 2015 | 25303 | 160 | Fibule | Fer | | | | 2,9 | |
| 2015 | 25090-1 | 814b | Indéterminé tige | Fer | | | | 66,8 | 577,66 |
| 2015 | 25090-1 | 814c | Indéterminé tôle | Fer | | | | 37,3 | 577,66 |
| 2015 | 25090-1 | 814d | Piton | Fer | | | | 24,1 | 577,66 |
| 2015 | 25090-1 | 814e | Clou | Fer | | | | 103 | 577,66 |
| 2015 | 25090-1 | 814f | Indéterminé tige | Fer | | | | 12 | 577,66 |
| 2015 | HC | 548 | Fourreau | Base-cuivre | | | | 0,4 | |
| 2015 | H.C | 797 | | | 1714595,747 | 5162668,091 | | | 578,34 |
| 2015 | H.C | 798 | | | 1714595,135 | 5162668,278 | | | 578,34 |
| 2015 | H.C | 799 | | | 1714595,708 | 5162668,624 | | | 578,2 |
| 2015 | | 821 | | | | | | | |
| 2015 | H.C | 828 | | | 1714607,825 | 5162667,133 | | | 577,82 |
| 2015 | | 918 | | | | | | | |
| 2015 | | 927 | | | | | | | |
| 2015 | | 935 | | Ceramique | | | | | |

| | | | | | | | | |
|------|---------|-----|----------------------|-------------|-------------|-------------|-------|---------|
| 2016 | 26051 | 67 | Indéterminé tige | Base-cuivre | | | 0,7 | |
| 2016 | 26055 | 68 | Silex | Lithique | 1714553,058 | 5162727,302 | 2,4 | 576,22 |
| 2016 | 26055 | 69 | Anneau | Fer | 1714551,094 | 5162729,94 | 1,5 | 576,04 |
| 2016 | 26030-3 | 70 | Cabochon | Base-cuivre | | | 0,1 | |
| 2016 | 26071 | 71 | | | 1714558,948 | 5162715,035 | perdu | 576,47 |
| 2016 | 26059 | 73 | Indéterminé tige | Base-cuivre | 1714549,401 | 5162730,468 | 0,1 | 576 |
| 2016 | 26071-1 | 74 | Clou | Fer | | | 5 | |
| 2016 | 26071-1 | 75 | Indéterminé tige | Fer | | | 2,5 | |
| 2016 | 26071-1 | 76 | Indéterminé tige | Autre | | | 0,6 | |
| 2016 | 26064 | 77 | Recipient | Verre | 1714559,324 | 5162733,978 | 0,2 | 575,65 |
| 2016 | 26030-3 | 78 | Ferrure | Fer | 1714561,991 | 5162726,994 | 2,8 | 576,02 |
| 2016 | 26071-2 | 79 | Indéterminé objet | Fer | | | 11,4 | |
| 2016 | 26076 | 80 | Objet refondu | Fer | | | 14 | |
| 2016 | 26076 | 81 | Indéterminé tôle | Fer | 1714564,781 | 5162732,476 | 0,8 | 575,57 |
| 2016 | 26071-1 | 82 | Anneau | Fer | | | 1,4 | |
| 2016 | 26071-2 | 83 | Indéterminé tige | Fer | | | 3,9 | |
| 2016 | 26071-2 | 84 | Indéterminé tige | Fer | | | 7,4 | |
| 2016 | 26071-2 | 85 | Fibule | Base-cuivre | | | 0,4 | |
| 2016 | 26071 | 86 | Jeton | Ceramique | 1714558,642 | 5162720,559 | 45,8 | 575,86 |
| 2016 | 26072-1 | 87 | Indéterminé lithique | Lithique | | | 17,9 | |
| 2016 | 26072-1 | 88 | Indéterminé lithique | Lithique | | | 154 | |
| 2016 | 26072-1 | 89 | Indéterminé lithique | Lithique | | | 5,8 | |
| 2016 | 26072-1 | 90 | | | | | | |
| 2016 | 26072-1 | 91 | Ceramique | Ceramique | | | 18,2 | |
| 2016 | 26072-1 | 92 | Ceramique | Ceramique | | | 9,3 | |
| 2016 | 26072-1 | 93 | Polissoir | Lithique | | | 107 | |
| 2016 | 26060 | 94 | Clou decoratif | Fer | | | 0,7 | |
| 2016 | 26060 | 95 | Indéterminé tige | Fer | | | 1,1 | |
| 2016 | 26067 | 96 | Indéterminé tôle | Base-cuivre | 1714563,12 | 5162726,444 | 0,5 | 575,87 |
| 2016 | 26071-1 | 97 | | | | | | |
| 2016 | 26067-1 | 98 | Indéterminé tige | Base-cuivre | 1714563,215 | 5162726,921 | 0,9 | 575,8 |
| 2016 | 26071 | 99 | Ceramique | Ceramique | | | 77,4 | |
| 2016 | 26071 | 100 | Clou de construction | Fer | | | 65,3 | |
| 2016 | 26062 | 101 | Monnaie | Base-cuivre | 1714563,941 | 5162713,31 | 3,1 | 575,46 |
| 2016 | 26067-1 | 102 | Recipient | Verre | 1714562,966 | 5162727,228 | 1,8 | 575,75 |
| 2016 | 26104-1 | 103 | Recipient | Base-cuivre | | | 1,1 | |
| 2016 | 26105 | 104 | Percuteur | Lithique | | | 500 | |
| 2016 | 26000 | 105 | Clou | Fer | 1714560,384 | 5162717,436 | 57,8 | |
| 2016 | 26046 | 107 | Jeton | Ceramique | 1714564,959 | 5162729,999 | 12,2 | 575,49 |
| 2016 | 26100 | 108 | Ferrure | Fer | 1714561,038 | 5162736,858 | 37,1 | 575,33 |
| 2016 | 26100 | 109 | Jeton | Ceramique | 1714560,005 | 5162736,829 | 3,7 | 575,44+ |
| 2016 | 26030-3 | 110 | Rivet | Fer | | | 16,2 | |
| 2016 | 26040-1 | 111 | Demi-produit (fe) | Fer | 1714559,697 | 5162736,294 | 17,7 | 575,52 |
| 2016 | 26040-1 | 112 | Scorie | Fer | 1714561,258 | 5162736,602 | 16,1 | 575,32 |
| 2016 | 26040-1 | 113 | Scorie | Fer | 1714560,995 | 5162736,514 | 7,6 | 575,41 |
| 2016 | 26072-2 | 114 | Indéterminé tôle | Base-cuivre | | | 0,3 | |
| 2016 | 26040-1 | 115 | Scorie | Fer | 1714560,269 | 5162736,235 | 2 | 575,54 |
| 2016 | 26080 | 116 | Jeton | Ceramique | 1714569,181 | 5162722,23 | 5,2 | 575,26 |
| 2016 | 26107 | 117 | Clou decoratif | Base-cuivre | | | 0,1 | |
| 2016 | 26005-2 | 118 | Jeton | Ceramique | | | 3,1 | |
| 2016 | 26108 | 130 | Hache | Lithique | 1714566,423 | 5162712,825 | 23,1 | |
| 2016 | 26110 | 131 | Indéterminé ceram | Terre cuite | 1714575,575 | 5162711,635 | 189 | |
| 2016 | 26104 | 132 | Verre a vitre | Verre | 1714555,777 | 5162725,022 | 9 | |
| 2016 | 26042-2 | 133 | Coulure | Base-cuivre | 1714565,077 | 5162725,792 | 1,9 | |
| 2016 | 26110 | 134 | Monnaie | Base-cuivre | 1714576,43 | 5162713,511 | 1,3 | |
| 2016 | 26104 | 135 | Applique | Verre | 1714554,882 | 5162725,557 | 13,7 | 576,02 |
| 2016 | 26113 | 136 | Perle | Base-cuivre | | | 5,1 | |
| 2016 | 26106 | 137 | Broyon | Lithique | | | 697 | |

| | | | | | | | | |
|------|---------|-----|--------------------|-------------|-------------|-------------|------|--------|
| 2016 | 26104 | 138 | Recipient | Verre | 1714556,81 | 5162725,61 | 2,7 | 576,03 |
| 2016 | 26113 | 139 | Peson | Terre cuite | | | 2,7 | |
| 2016 | 26046 | 140 | Silex | Lithique | 1714562,893 | 5162728,548 | 2,3 | 575,54 |
| 2016 | 26000 | 141 | Indéterminé tige | Fer | | | 0,4 | |
| 2016 | 26104 | 142 | Aiguille | Os | | | 1,9 | |
| 2016 | 26042 | 143 | Indéterminé tôle | Base-cuivre | 1714564,652 | 5162726,899 | 0,4 | 575,57 |
| 2016 | 26104 | 144 | Silex | Lithique | 1714556,89 | 5162726,715 | 12,7 | 575,99 |
| 2016 | 26106 | 147 | Meule | | | | | |
| 2016 | 26071-2 | 148 | Clou de chaussures | Fer | | | 2 | |
| 2016 | 26071-2 | 149 | Jeton | Terre cuite | | | 5,4 | |
| 2016 | 26104 | 150 | Perle | Verre | 1714555,52 | 5162723,08 | 4 | 576,04 |
| 2016 | 26042 | 152 | Estampille amphore | Ceramique | 1714555,872 | 5162726,158 | 18,9 | 575,98 |
| 2016 | 26104 | 153 | Indéterminé tôle | Base-cuivre | 17144555,93 | 5162722,513 | 0,4 | 576,04 |
| 2016 | 26119 | 154 | Applique | Base-cuivre | 1714559,58 | 5162723,051 | 0,5 | 575,98 |
| 2016 | 26104 | 156 | Perle | Base-cuivre | 1714557,946 | 5162722,963 | 2,2 | 576,04 |
| 2016 | 26067 | 157 | Jeton | | 1714557,279 | 5162724,04 | 14 | |
| 2016 | | 159 | Scorie | Base-cuivre | | | 5,5 | |
| 2016 | 26020-1 | 160 | Bague | Base-cuivre | | | 1,4 | |
| 2016 | 26112 | 161 | Indéterminé tôle | Fer | | | 1,3 | |
| 2016 | 26080 | 162 | Indéterminé tige | Base-cuivre | 1714567,195 | 5162722,751 | 0,3 | 575,05 |
| 2016 | 26122 | 163 | Jeton | Ceramique | | | 3 | |
| 2016 | 26047 | 164 | Silex | Lithique | | | 2 | |
| 2016 | 26104 | 165 | Goutte | Base-cuivre | | | 0,4 | |
| 2016 | 26120 | 168 | | | | | 1 | |
| 2016 | 26040 | 169 | | | | | 7,1 | |
| 2016 | 26048 | 170 | Fusaïole | Ceramique | 1714559,265 | 516738,522 | 16,7 | |
| 2016 | 26078 | 171 | Indéterminé tige | Fer | | | 2,9 | |
| 2016 | 26048 | 172 | Indéterminé fer | Fer | 1714556,062 | 5162740,046 | | |
| 2016 | 26049 | 173 | Clou | Fer | | | 9,1 | |
| 2016 | 26049 | 174 | Indéterminé verre | Verre | | | 1,7 | |
| 2016 | 26049 | 175 | Indéterminé verre | Verre | | | 0,5 | |
| 2016 | 26078 | 176 | | | | | | |
| 2016 | 26049 | 177 | Poinçon | Fer | | | 8,3 | |
| 2016 | 26049 | 178 | Chute | Fer | | | 1,9 | |
| 2016 | 26088 | 179 | Jeton | Ceramique | 1714562,571 | 5162733,529 | 3,5 | |
| 2016 | 26049 | 180 | | | | | | |
| 2016 | 26049 | 181 | | | | | | |
| 2016 | 26126 | 182 | Clou | Fer | | | 20 | |
| 2016 | 26098 | 183 | Ferrure | Fer | 1714568,096 | 5162722,67 | 17,4 | |
| 2016 | 26098 | 184 | Fibule | Base-cuivre | 1714568,411 | 5162722,215 | 0,6 | |
| 2016 | 26129 | 185 | Jeton | Ceramique | | | 23,4 | |
| 2016 | 26129 | 186 | Indéterminé verre | Verre | 1714565,765 | 5162731,061 | 0,5 | |
| 2016 | 26137 | 187 | Ceramique | Ceramique | | | 66,2 | 576,01 |
| 2016 | 26071 | 190 | Silex | Lithique | | | 10,6 | 575,74 |
| 2016 | 26067 | 191 | Perle | Base-cuivre | | | 7 | 481,65 |
| 2016 | 26089 | 192 | Applique | Base-cuivre | 1714562,182 | 5162724,685 | 0,9 | 502,65 |
| 2016 | 26067 | 193 | Clou | Fer | | | 5,7 | 489,65 |
| 2016 | 26020-1 | 194 | Ferrure | Fer | | | 20,4 | 574,11 |
| 2016 | 26095 | 195 | Ferrure | Fer | | | 21,1 | 575,48 |
| 2016 | 26095 | 196 | Fourreau | Fer | | | 2,2 | 575,47 |
| 2016 | 26095 | 197 | Peson | Lithique | | | 6 | 575,47 |
| 2016 | 26095 | 198 | Indéterminé tôle | Base-cuivre | | | 0,4 | 575,47 |
| 2016 | 26118 | 199 | Bracelet | Verre | 1714553,703 | 5162726,07 | 0,7 | 575,96 |
| 2016 | 26080-1 | 201 | Recipient | Verre | | | 1,1 | 428,76 |
| 2016 | 26080-1 | 202 | Perle | Verre | 1714567,693 | 5162723,96 | 1,2 | 399,76 |
| 2016 | 26076 | 203 | Perle | Autre | 1714564,754 | 5162733,985 | 0,3 | |
| 2016 | 26076 | 204 | Jeton | Ceramique | 1714565,003 | 5162732,937 | 4,7 | |
| 2016 | | 205 | Indéterminé verre | Verre | | | 4,2 | |
| 2016 | 26049 | 206 | Perle | Os | 1714555,264 | 5162728,225 | 0,7 | 576,17 |
| 2016 | 26080-1 | 208 | Applique | Base-cuivre | 1714567,521 | 5162724,058 | 4,3 | 575,52 |
| 2016 | 26151 | 209 | Indéterminé | Lithique | 1714555,967 | 5162739,467 | 500 | |

| | | | | | | | | | |
|------|---------|-----|------------------------------|-------------|-------------|-------------|-------|--------|--|
| | | | lithique | | | | | | |
| 2016 | 26151 | 210 | Polissoir | Lithique | 1714556,392 | 5162739,724 | 143,5 | | |
| 2016 | 26151 | 211 | Broyon | Lithique | 1714555,637 | 5162739,76 | 500 | | |
| 2016 | 26151 | 212 | Polissoir | Lithique | 171556,062 | 5162740,581 | 440,2 | | |
| 2016 | 26151 | 213 | Broyon | Lithique | 1714553,564 | 5162740,237 | 452 | | |
| 2016 | 26151 | 214 | Indéterminé lithique | Lithique | 1714556,751 | 5162740,083 | 95,9 | | |
| 2016 | 26049 | 215 | Seau | Fer | 1714552,94 | 5162729,823 | 7,5 | | |
| 2016 | 26103 | 216 | Silex | Lithique | 17144533,87 | 5162717,487 | 6,5 | | |
| 2016 | 26103 | 217 | Indéterminé lithique | Lithique | 1714554,669 | 5162715,688 | 96,2 | | |
| 2016 | 26103 | 218 | Indéterminé lithique | Lithique | 1714554,457 | 5162715,312 | 61,6 | | |
| 2016 | 26103 | 219 | Indéterminé lithique | Lithique | 1714555,387 | 5162715,508 | 4,9 | | |
| 2016 | 26103 | 220 | Polissoir | Lithique | 1714554,892 | 5162713,882 | 193,1 | | |
| 2016 | 26000 | 221 | Monnaie | | | | 2,2 | | |
| 2016 | 26049 | 226 | Recipient | Verre | 1714554,758 | 5162729,002 | 0,5 | 576,16 | |
| 2016 | 26095 | 227 | Indéterminé tige | Base-cuivre | 1714558,417 | 5162735,367 | 2,9 | 575,52 | |
| 2016 | 26103 | 229 | Silex | Lithique | 1714553,549 | 5162724,465 | 0,9 | 575,99 | |
| 2016 | 26103 | 230 | Anneau | Fer | 1714555,513 | 5162725,433 | 7,7 | 575,97 | |
| 2016 | 26103 | 231 | Fibule | Fer | 1714555,398 | 5162721,675 | 2,3 | 575,95 | |
| 2016 | 26080-1 | 232 | Clou | Fer | 1714568,162 | 5162724,066 | 6,3 | 575,53 | |
| 2016 | 26157 | 233 | Indéterminé tige | Fer | 1714554,155 | 5162730,214 | 1,5 | 575,95 | |
| 2016 | 26089 | 234 | Silex | Lithique | | | 2,3 | 575,9 | |
| 2016 | 26103 | 235 | Monnaie | Base-cuivre | 1714553,084 | 5162721,947 | 2 | 575,99 | |
| 2016 | 26103 | 236 | Monnaie | Base-cuivre | 1714554,213 | 5162721,294 | 1,7 | 576,62 | |
| 2016 | 26089 | 237 | Indéterminé tige | Base-cuivre | | | 0,5 | 575,77 | |
| 2016 | 26103 | 238 | Ferrure | Fer | 1714552,705 | 5162723,035 | 25,6 | 573,11 | |
| 2016 | 26059 | 239 | Clou | Fer | 1714547,742 | 5162733,533 | 4,1 | 575,9 | |
| 2016 | 26059 | 240 | Clou | Fer | 1714547,743 | 5162733,534 | 0,9 | 575,52 | |
| 2016 | 26059 | 241 | | | 1714547,744 | 5162733,535 | | 575,52 | |
| 2016 | 26103 | 243 | Fusaïole | Ceramique | | | 20,1 | 576,03 | |
| 2016 | 26120 | 244 | Demi-produit (autres métaux) | Base-cuivre | 1714560,235 | 5162718,56 | 4,7 | 575,95 | |
| 2016 | 26080-1 | 245 | Jeton | Ceramique | 1714570,57 | 5162723,429 | 2,6 | 574,88 | |
| 2016 | 26153 | 246 | Fibule | Base-cuivre | 1714559,208 | 5162743,442 | 10,7 | 575,37 | |
| 2016 | 26107 | 247 | Jeton | Ceramique | | | 1 | 575,69 | |
| 2016 | 26107 | 248 | Ceramique | Ceramique | 1714551,433 | 5162737,347 | 0,7 | 575,76 | |
| 2016 | 26153 | 249 | Jeton | Ceramique | 1714560,665 | 5162743,394 | 5,6 | 575,32 | |
| 2016 | 26153 | 250 | Bague | Base-cuivre | 1714558,214 | 5162743,252 | 2,9 | 575,35 | |
| 2016 | 26059 | 251 | Indéterminé verre | Verre | 1714549,9 | 5162732,835 | 0,3 | 576,02 | |
| 2016 | 26059 | 252 | Indéterminé verre | Lithique | 1714549,003 | 5162729,578 | 0,2 | 576,01 | |
| 2016 | 26153 | 253 | Indéterminé tôle | Base-cuivre | 1714563,028 | 5162737,373 | 4,3 | 575,27 | |
| 2016 | 26103 | 254 | Stylets | Fer | 1714556,721 | 5162715,086 | 9,9 | 576,2 | |
| 2016 | 26103 | 255 | Monnaie | Base-cuivre | 1714555,033 | 5162722,329 | 1,4 | 576,04 | |
| 2016 | 26059 | 256 | Recipient | Verre | 1714551,137 | 5162728,337 | 0,7 | 576,08 | |
| 2016 | 26059 | 257 | Clou decoratif | Base-cuivre | 1714551,445 | 5162727,844 | 0,1 | 576,08 | |
| 2016 | 26003 | 258 | Ceramique | Ceramique | 1714556,979 | 5162725,342 | 107,9 | 576 | |
| 2016 | 26120 | 259 | | | 1714559,411 | 5162716,015 | | 575,66 | |
| 2016 | 26090 | 260 | Brique | Terre cuite | | | 500 | 576,27 | |
| 2016 | 26153 | 261 | Phallus | Lithique | 1714557,439 | 5162737,765 | 97 | 575,48 | |
| 2016 | 26103 | 262 | Rivet | Base-cuivre | 1714553,24 | 5162718,381 | 4,1 | 575,66 | |
| 2016 | 26089 | 263 | Silex | Lithique | 1714562,036 | 5162724,182 | 0,7 | 575,04 | |
| | H.C | 264 | | | 1714562,03 | 5162719,563 | | | |
| 2016 | 26103 | 265 | Mortier | Lithique | 1714556,651 | 5162724,045 | 496 | 575,89 | |
| 2016 | 26103 | 266 | Hache | Fer | 1714556,111 | 5162725,297 | 42,8 | 576,07 | |
| 2016 | 26164 | 267 | Bouton | Base-cuivre | 1714560,657 | 5162738,246 | 1,2 | 574,99 | |
| 2016 | 26076 | 268 | Silex | Lithique | | | 11,1 | | |
| 2016 | 26089 | 269 | Foncet | Base-cuivre | 1714562,973 | 5162725,688 | 0,9 | 575,77 | |
| 2016 | 26089 | 270 | Indéterminé tôle | Base-cuivre | 1714561,668 | 5162724,839 | 1,8 | 575,84 | |
| 2016 | 26089 | 271 | Recipient | Verre | 1714561,14 | 5162725,471 | 0,6 | 576,16 | |
| 2016 | 26089 | 272 | Indéterminé tôle | Fer | 1714555,023 | 5162724,166 | 5,8 | 576,12 | |

| | | | | | | | | |
|------|----------|-----|-----------------------|-------------|-------------|-------------|-------|--------------------------|
| 2016 | 26157 | 273 | Recipient | Verre | 1714554,207 | 5162727,748 | 0,7 | 575,96 |
| 2016 | 26103 | 274 | Jeton | Ceramique | | | 4,6 | 575,91 |
| 2016 | 26070 | 275 | Indéterminé tige | Base-cuivre | 1714567,756 | 5162723,49 | 0,1 | 574,62 |
| 2016 | 26157 | 276 | Silex | Lithique | 1714553,31 | 5162727,508 | 4,9 | 575,8 |
| 2016 | 26157 | 277 | Clou | Fer | | | 3,7 | 575,88 |
| 2016 | 26180 | 278 | Canal de coulee | Base-cuivre | 1714569,817 | 5162722,784 | 28,3 | 574,82 |
| 2016 | 26092 | 279 | Silex | Lithique | 1714556,242 | 5162723,769 | 8,3 | |
| 2016 | 26157 | 280 | Silex | Lithique | 1714555,306 | 5162724,863 | 7,1 | 576,05 |
| 2016 | 26157 | 281 | Couteau | Fer | 1714554,907 | 5162723,782 | 11,5 | 575,89 |
| 2016 | 26117 | 282 | Ceramique | Ceramique | | | 192,4 | |
| 2016 | 26157 | 283 | Silex | Lithique | 1714554,273 | 5162723,088 | 1,8 | 576,16 |
| 2016 | 26103 | 284 | Rivet | Base-cuivre | 1714558,28 | 5162721,588 | 0,8 | 575,95 |
| 2016 | 26103 | 285 | Jeton | Ceramique | 1714559,656 | 5162722,08 | 2,5 | 576,04 |
| 2016 | 26189 | 286 | Anneau | Fer | 1714560,684 | 5162722,324 | 12,7 | 575,92 |
| 2016 | 26157 | 290 | Jeton | Ceramique | 1714553,412 | 5162725,202 | 6,6 | 575,95 |
| 2016 | 26185-1 | 291 | | Ceramique | 1714557,714 | 5162714,165 | | 576,04 |
| 2016 | 26184 | 292 | Indéterminé lithique | Lithique | 1714553,672 | 5162718,041 | 172,6 | 576,24 |
| 2016 | 26192 | 293 | Recipient | Verre | 1714554,735 | 5162728,873 | 1 | 575,85 |
| 2016 | 26080 | 298 | Pendentif | Os | | | 4,1 | |
| 2016 | MR 26052 | 299 | Fiche | Fer | 1714551,306 | 5162733,327 | 3,8 | 575,65 |
| 2016 | 26117 | 300 | Fibule | Base-cuivre | 1714550,612 | 5162729,75 | 1,9 | 575,95 |
| 2016 | 26117 | 301 | Fusaïole | Ceramique | 1714549,889 | 5162729,02 | 42,8 | 575,96 |
| 2016 | 26117 | 302 | Jeton | Ceramique | 1714549,617 | 5162730,197 | 2,4 | 575,95 |
| 2016 | MR 26052 | 303 | Indéterminé tige | Fer | 1714549,095 | 5162730,862 | 30,3 | 575,42 |
| 2016 | 26185-1 | 304 | Indéterminé objet | Fer | 1714557,277 | 5162714,646 | 131,1 | 576,05 |
| 2016 | 26196-1 | 305 | Silex | Lithique | 1714554,969 | 5162715,664 | 4,4 | 575,71 |
| 2016 | 26081 | 306 | Indéterminé tige | Base-cuivre | | | 0,6 | |
| 2016 | 26206 | 307 | Ceramique | Ceramique | | | 3,9 | 575,92 |
| 2016 | 26153 | 308 | Jeton | Ceramique | 1714561,874 | 5162741,584 | 11 | 575,19 |
| 2016 | 26205-1 | 309 | Ceramique | Ceramique | | | 10,3 | |
| 2016 | 26205-2 | 310 | Ceramique | Ceramique | | | 9,2 | |
| 2016 | 26205-1 | 311 | Ceramique | Ceramique | | | 3,7 | |
| 2016 | 26206 | 312 | Recipient | Verre | | | 0,9 | 575,97 |
| 2016 | 26156 | 313 | Ceramique | Ceramique | | | 6 | |
| 2016 | 26205-1 | 314 | Indéterminé tige | Fer | | | 3,5 | 574,46 |
| 2016 | 26163-2 | 315 | Jeton | Ceramique | | | 2 | 574,61 |
| 2016 | 26140-1 | 316 | Ceramique | Ceramique | 1714562,699 | 5162729,858 | 2,8 | 154 (calcul pas fait) |
| 2016 | 26183 | 317 | Epingle vestimentaire | Base-cuivre | 1714556,539 | 5162723,068 | 3,6 | 575,71 |
| 2016 | 26140-1 | 318 | Ceramique | Ceramique | 1714562,351 | 5162729,418 | 48,2 | |
| 2016 | 26182-1 | 319 | Recipient | Base-cuivre | 1714558,389 | 5162724,966 | 4,1 | 575,72 |
| 2016 | 26163-2 | 320 | Couteau | Fer | 1714568,636 | 5162724,069 | 118,2 | 574,48 |
| 2016 | 26206 | 321 | Indéterminé tôle | Base-cuivre | 1714565,077 | 5162723,798 | 10,5 | 575,7 |
| 2016 | 26182-1 | 322 | Indéterminé plat | Fer | 1714558,044 | 5162723,845 | 10,7 | 575,67 |
| 2016 | 26182-1 | 323 | Silex | Lithique | 1714558,871 | 5162724,468 | 6,1 | 575,62 |
| 2016 | 26183-1 | 324 | Objet refondu | Base-cuivre | 1714556,521 | 5162722,408 | 53,8 | 575,57 |
| 2016 | 26182-1 | 325 | Clou | Fer | 1714558,571 | 5162723,648 | 4,8 | 575,71 |
| 2016 | 26000 | 326 | Indéterminé verre | Verre | | | 0,1 | |
| 2016 | 26203 | 327 | Percuteur | Lithique | 1714555,338 | 5162720,518 | 258,6 | 575,85 |
| 2016 | 26118 | 328 | Indéterminé tige | Base-cuivre | 1714553,515 | 5162732,877 | 1,2 | 575,96 |
| 2016 | 26103 | 329 | Stylets | Fer | 1714555,912 | 5162726,245 | 12,9 | 575,83 |
| 2016 | 26220-1 | 330 | Silex | Lithique | 1714559,583 | 5162720,923 | 10,8 | 575,03 |
| 2016 | 26103 | 331 | Rate de production | Base-cuivre | 1714557,435 | 5162717,023 | 0,4 | 576,12 |
| 2016 | 26000 | 332 | Entraves | Fer | 1714564,109 | 5162709,615 | 1133 | 575,95 |
| 2016 | 26076 | 333 | Recipient | Verre | 1714562,572 | 5162710,435 | 6,4 | 576,91 |
| 2016 | 26103 | 334 | Applique | Base-cuivre | 1714556,252 | 5162725,788 | 1,6 | 575,92 |
| 2016 | 26157 | 335 | Calotte | Fer | 1714553,112 | 5162728,267 | 138,2 | 576,01 |
| 2016 | 26007 | 336 | Indéterminé ceram | Ceramique | 1714562,843 | 5162728,509 | 237,4 | 575,52 |

| | | | | | | | | |
|------|----------|-----|----------------------|-------------|-------------|-------------|-------|--------|
| 2016 | 26061 | 337 | Ceramique | Ceramique | 1714554,512 | 5162732,22 | 148,7 | 576,12 |
| 2016 | 26163-3 | 338 | Jeton | Ceramique | 1714567,93 | 5162723,156 | 5,5 | 574,32 |
| 2016 | 26230 | 339 | | | | | | 575,54 |
| 2016 | 26220-1 | 340 | Indéterminé lithique | Lithique | 1714559,415 | 5162721,167 | 98,3 | 575,72 |
| 2016 | 26107 | 341 | Jeton | Ceramique | | | 9,1 | 575,48 |
| 2016 | 26163-3 | 342 | Jeton | Terre cuite | | | 45,2 | 574,22 |
| 2016 | 26169-1 | 343 | Silex | Lithique | 1714555,644 | 5162716,982 | 1,2 | 575,87 |
| 2016 | 26205-5 | 345 | Jeton | Ceramique | 1714570,898 | 5162722,296 | 95,7 | 574,42 |
| 2016 | 26229-2 | 346 | Polissoir | Lithique | 1714560,835 | 5162725,688 | 96,4 | 575,52 |
| 2016 | 26169 | 347 | Silex | Lithique | 1714555,432 | 5162717,364 | 10,5 | 575,9 |
| 2016 | H.C | 348 | Jeton | Ceramique | 1714551,522 | 5162737,007 | 19,8 | |
| 2016 | 26229-1 | 349 | Fibule | Base-cuivre | 1714559,115 | 5162723,908 | 1,6 | 575,61 |
| 2016 | 26229-2 | 350 | Pique-bœuf | Fer | | | 8,9 | 575,57 |
| 2016 | 26103 | 352 | Fibule | Fer | | | 2,2 | 575,99 |
| 2016 | 26103 | 353 | Indéterminé tôle | Base-cuivre | | | 1,8 | 575,83 |
| 2016 | 26142 | 354 | Fibule | Base-cuivre | 1714562,727 | 5162729,298 | 11,4 | 576,83 |
| 2016 | 26163-3 | 355 | Jeton | Ceramique | 1714568,22 | 5162722,743 | 16,3 | 573,97 |
| 2016 | 26219-6 | 356 | Recipient | Verre | | | 1,1 | |
| 2016 | 26219-8 | 357 | Recipient | Verre | | | 0,7 | |
| 2016 | 26220-1 | 358 | Tesselle | Ceramique | 1714559,72 | 5162721,107 | 3,3 | 575,61 |
| 2016 | 26277-1 | 359 | Jeton | Ceramique | 1714556,753 | 5162714,069 | 5,6 | 576,27 |
| 2016 | 26277-1 | 360 | Indéterminé lithique | Lithique | 1714556,965 | 5162714,297 | 194,1 | 576,04 |
| 2016 | 26229-1 | 361 | Silex | Lithique | 1714559,199 | 5162722,561 | 6,6q | 575,59 |
| 2016 | 26205-3 | 362 | Fusaïole | Ceramique | 1714569,862 | 5162721,493 | 22,2 | 574,73 |
| 2016 | 26220-1 | 363 | Silex | Lithique | 1714559,591 | 5162721,027 | 3,4 | 575,63 |
| 2016 | 26205-3 | 365 | Tesselle | Ceramique | | | 2,6 | 574,71 |
| 2016 | 26007 | 366 | Ceramique | Ceramique | | | 15,3 | |
| 2016 | 26219-1 | 367 | Indéterminé verre | Verre | | | 0,6 | |
| 2016 | 26220-1 | 368 | Silex | Lithique | | | 26 | 575,58 |
| 2016 | 26229-1 | 369 | Brunissoir | Lithique | | | 83,2 | 575,83 |
| 2016 | 26229-1 | 370 | Polissoir | Lithique | | | 168,8 | 575,84 |
| 2016 | 26122 | 371 | Indéterminé tige | Fer | 1714556,173 | 5162738,822 | 5 | 575,78 |
| 2016 | 26232 | 372 | Indéterminé lithique | Lithique | | | 3,4 | 575,57 |
| 2016 | 26277-1 | 373 | Calotte | Fer | | | 225,6 | 576,26 |
| 2016 | 26103 | 374 | Indéterminé verre | Verre | | | 0,3 | 575,85 |
| 2016 | 26229-1 | 375 | Hache | Lithique | | | 14,6 | 575,57 |
| 2016 | 26219-11 | 376 | Bague | Fer | | | 13,8 | 573,79 |
| 2016 | 26219-11 | 377 | Calotte | Fer | | | 56,8 | 573,73 |
| 2016 | 26219-12 | 378 | Cabochon | Base-cuivre | | | 0,1 | 574,91 |
| 2016 | 26118 | 380 | Indéterminé lithique | Lithique | | | 24,4 | 575,79 |
| 2016 | 26218 | 381 | Silex | Lithique | | | 9 | 575,83 |
| 2016 | 26163-1 | 382 | Fibule | Base-cuivre | | | 5,5 | 574,09 |
| 2016 | 26163-1 | 396 | Jeton | Ceramique | | | 10 | |
| 2016 | 26263 | 397 | Monnaie | Base-cuivre | | | 1,8 | |
| 2016 | 26166 | 402 | Indéterminé lithique | Lithique | | | 20,8 | |
| 2016 | 26118 | 403 | Indéterminé verre | Verre | | | 4,6 | |
| 2016 | 26039 | 407 | Jeton | Ceramique | | | 35,7 | 575,9 |
| 2016 | 26040 | 410 | Ceramique | Ceramique | | | 7,1 | |
| 2016 | 26008 | 411 | Silex | Lithique | | | 3,9 | |
| 2016 | 26067 | 412 | Jeton | Ceramique | | | 14,1 | |
| 2016 | 26120 | 413 | Silex | Lithique | | | 1 | |
| 2016 | 26020-1 | 414 | Jeton | Ceramique | | | 56,5 | |
| 2016 | 26071 | 419 | Jeton | Ceramique | | | 7,4 | |
| 2016 | 26030-3 | 420 | Silex | Lithique | | | 4,6 | |
| 2016 | 26043 | 421 | Silex | Lithique | | | 3,3 | |
| 2016 | 26107 | 423 | Jeton | Ceramique | | | 4,3 | |
| 2016 | 26229 | 424 | Silex | Lithique | | | 4,2 | |
| 2016 | 26099 | 425 | Jeton | Ceramique | | | 5 | |

| | | | | | | | | |
|------|----------|-----|---------------------------|-------------|--|--|-------|--------|
| 2016 | 26049 | 426 | Ceramique | Ceramique | | | 39,2 | |
| 2016 | 26163-1 | 427 | Dechets de tabletterie | Os | | | 3,8 | |
| 2016 | 26049 | 428 | Couteau | Fer | | | 35,5 | |
| 2016 | 26049 | 429 | Ferrure | Fer | | | 23,5 | |
| 2016 | 26048 | 430 | Indéterminé objet | Fer | | | 2,9 | |
| 2016 | 26078 | 431 | Indéterminé tige | Fer | | | 1,3 | |
| 2016 | 26191 | 432 | Ceramique | Ceramique | | | 20,2 | 575,44 |
| 2016 | 26241 | 433 | Indéterminé tôle | Fer | | | 14,8 | 575,83 |
| 2016 | 26219-14 | 434 | Indéterminé tôle | Base-cuivre | | | 0,1 | 574,78 |
| 2016 | 26257-1 | 435 | Jeton | Ceramique | | | 4,7 | 575,74 |
| 2016 | H-C | 436 | Indéterminé tôle | Plomb | | | 15,7 | 574,64 |
| 2016 | 26190-1 | 437 | Cremaillère | Fer | | | 7,1 | 574,58 |
| 2016 | 26103 | 438 | Jeton | Ceramique | | | 7,6 | |
| 2016 | 26251 | 439 | Clou de chaussures | Fer | | | 2,9 | |
| 2016 | 26120 | 440 | Indéterminé verre | Verre | | | 2,8 | |
| 2016 | 26163-1 | 441 | Jeton | Ceramique | | | 92,4 | 574,17 |
| 2016 | 26265-3 | 442 | Polissoir | Lithique | | | 222,1 | |
| 2016 | 26163-1 | 443 | Polissoir | Lithique | | | 90,2 | 574,17 |
| 2016 | 26163-1 | 444 | Estampille amphore | Ceramique | | | 272,9 | |
| 2016 | 26192-1 | 445 | Indéterminé tige | Fer | | | 2,1 | 575,6 |
| 2016 | 26007 | 446 | Cabochon | Ceramique | | | 49,7 | |
| 2016 | 26265-1 | 447 | Jeton | Ceramique | | | 87,3 | 575,44 |
| 2016 | 26252-1 | 448 | Indéterminé tige | Fer | | | 3,7 | 575,11 |
| 2016 | 26268-1 | 449 | Indéterminé tige | Fer | | | 1 | 575,47 |
| 2016 | 26190-1 | 450 | Recipient | Verre | | | 3,9 | 574,41 |
| 2016 | 26190-1 | 451 | Recipient | Verre | | | 0,2 | 574,36 |
| 2016 | 26190-1 | 452 | Recipient | Verre | | | 2,2 | 574,36 |
| 2016 | 26190-1 | 453 | Silex | Lithique | | | 1,9 | 574,28 |
| 2016 | 26272-1 | 454 | Jeton | Ceramique | | | 11,1 | 575,78 |
| 2016 | 26117 | 455 | Monnaie | Base-cuivre | | | 2,4 | 575,88 |
| 2016 | 26163-5 | 456 | Applique | Base-cuivre | | | 2,8 | 573,48 |
| 2016 | 26192 | 457 | Indéterminé verre | Verre | | | 0,6 | 575,71 |
| 2016 | 26192 | 458 | Couteau | Fer | | | 69,1 | 575,54 |
| 2016 | 26271 | 459 | Jeton | Ceramique | | | 6,1 | 575,88 |
| 2016 | 26192 | 460 | Jeton | Ceramique | | | 6,9 | 575,54 |
| 2016 | 26192 | 461 | Jeton | Ceramique | | | 5,4 | 575,54 |
| 2016 | 26192 | 462 | Perle | Lithique | | | 2,5 | 575,54 |
| 2016 | 26080 | 463 | Estampille amphore | Ceramique | | | 201,1 | |
| 2016 | 26229 | 464 | Monnaie | Base-cuivre | | | 1,8 | |
| 2016 | 26182-1 | 465 | Ceramique | Ceramique | | | 78,3 | |
| 2016 | 26107-1 | 466 | Estampille amphore | Ceramique | | | 195,8 | |
| 2016 | 26190-1 | 467 | Recipient | Verre | | | 0,7 | 574,16 |
| 2016 | 26190-1 | 468 | Recipient | Verre | | | 0,9 | 574,17 |
| 2016 | 26278 | 469 | Anneau | Fer | | | 22,6 | 575,79 |
| 2016 | 26190-2 | 470 | Recipient | Verre | | | 5,1 | 573,89 |
| 2016 | 26205-6 | 471 | Jeton | Ceramique | | | 132 | |
| 2016 | 26272-2 | 472 | Cabochon | Ceramique | | | 5,1 | 420,81 |
| 2016 | 26205-6 | 473 | Estampille amphore | Ceramique | | | 220,6 | 574,16 |
| 2016 | 26278 | 481 | Indéterminé plat | Fer | | | 15,1 | 575,79 |
| 2016 | 26190-3 | 482 | Recipient | Verre | | | 1,1 | 574,76 |
| 2016 | 26280 | 483 | Percuteur | Verre | | | 8,3 | 575,99 |
| 2016 | 26163-3 | 484 | Jeton | Ceramique | | | 166,6 | 573,53 |
| 2016 | 26170-3 | 485 | Jeton | Lithique | | | 6,9 | 573,02 |
| 2016 | 26163-5 | 486 | Jeton | Ceramique | | | 4,1 | 573,45 |
| 2016 | 26163-5 | 487 | Jeton | Ceramique | | | 11,4 | 573,45 |
| 2016 | 26190-3 | 488 | Jeton | Ceramique | | | 6,4 | 573,5 |
| 2016 | 26170-3 | 489 | Indéterminé verre | Verre | | | 9 | 574,19 |

| | | | | | | | | |
|------|---------|-----|--------------------|-------------|--|------|-------|--------|
| 2016 | 26273-1 | 731 | Silex | Lithique | | | 2 | 575,54 |
| 2016 | 26273-1 | 732 | Silex | Lithique | | | 1,8 | 575,54 |
| 2016 | 26273-1 | 733 | Silex | Lithique | | | 2,6 | 576,54 |
| 2016 | 26273-1 | 735 | Fusaïole | Ceramique | | | 3,2 | 575,54 |
| 2016 | 26283-1 | 736 | Recipient | Verre | | | 2,9 | 574,54 |
| 2016 | 26283-1 | 737 | Monnaie | Base-cuivre | | | 1,9 | 575,71 |
| 2016 | 26205-7 | 740 | Jeton | Ceramique | | | 41,3 | 573,8 |
| 2016 | 26283-1 | 743 | Indéterminé tige | Fer | | | 0,8 | 575,79 |
| 2016 | 26283-1 | 744 | Indéterminé verre | Verre | | | 0,5 | 575,79 |
| 2016 | 26283-1 | 745 | Perle | Base-cuivre | | | 5,2 | 575,79 |
| 2016 | 26067 | 752 | Indéterminé tige | Fer | | | 3,6 | 575,75 |
| 2016 | 26067 | 753 | Gouge | Fer | | | 37,5 | 575,74 |
| 2016 | 26067 | 754 | Fibule | Fer | | | 2,6 | 575,73 |
| 2016 | 26283-1 | 755 | Monnaie | Base-cuivre | | | 2,3 | 575,75 |
| 2016 | 26283-1 | 756 | Monnaie | Base-cuivre | | | 2,2 | 575,75 |
| 2016 | 26283-1 | 757 | Monnaie | Base-cuivre | | | 1,6 | 575,75 |
| 2016 | 26283-1 | 758 | Jeton | Ceramique | | | 89 | 575,79 |
| 2016 | 26283-1 | 759 | Indéterminé tige | Fer | | | 0,8 | 575,75 |
| 2016 | 26279 | 760 | Monnaie | Base-cuivre | | | 2,6 | 506,8 |
| 2016 | 26067 | 761 | Fibule | Base-cuivre | | | 1,1 | 575,73 |
| 2016 | 26284-1 | 762 | Jeton | Ceramique | | | 40,5 | 575,75 |
| 2016 | 26067 | 763 | Tesselle | Autre | | | 2 | 575,73 |
| 2016 | 26277 | 764 | Grille de fenêtre | Fer | | | 43 | 575,67 |
| 2016 | 26279 | 765 | Monnaie | Base-cuivre | | | 1,8 | |
| 2016 | 26279 | 766 | Jeton | Ceramique | | | 8,4 | |
| 2016 | 26284-1 | 767 | De | Os | | | 6,6 | |
| 2016 | 26284-1 | 768 | Indéterminé tôle | Base-cuivre | | | 1,3 | 575,75 |
| 2016 | 26279 | 769 | Chaîne | Fer | | | 5 | |
| 2016 | 26067 | 770 | Ferrure | Fer | | | 1,6 | 575,71 |
| 2016 | 26272-2 | 771 | Ceramique | Ceramique | | | 19,8 | 575,55 |
| 2016 | 26067 | 772 | Clou | Fer | | | 0,6 | 571,71 |
| 2016 | 26000 | 773 | Jeton | Ceramique | | | 69 | |
| 2016 | 26283-1 | 774 | Jeton | Ceramique | | | 13,4 | 575,75 |
| 2016 | 26284-1 | 775 | Rivet | Base-cuivre | | | 0,3 | 575,75 |
| 2016 | 26067 | 776 | Jeton | Ceramique | | | 30,1 | 575,63 |
| 2016 | 26067 | 777 | Estampille amphore | Ceramique | | | 148,2 | 575,6 |
| 2016 | 26272 | 778 | Monnaie | Base-cuivre | | 2,3f | | 575,62 |
| 2016 | 26272 | 779 | Fusaïole | Ceramique | | | 24,5 | 575,5 |
| 2016 | 26272 | 780 | Ceramique | Ceramique | | | 12,1 | 575,91 |
| 2016 | 26153-1 | 781 | Coulure | Base-cuivre | | | 0,1 | 471,89 |
| 2016 | 26280-1 | 782 | Jeton | Ceramique | | | 4,5 | 575,66 |
| 2016 | 26283-1 | 783 | Monnaie | Base-cuivre | | | 2,4 | |
| 2016 | 26283-1 | 784 | Monnaie | Base-cuivre | | | 2,4 | |
| 2016 | 26170-3 | 785 | Cabochoon | Ceramique | | | 66,2 | 574,82 |
| 2016 | 26067 | 786 | Anneau | Fer | | | 66,7 | 575,59 |
| 2016 | 26283-1 | 787 | Jeton | Ceramique | | | 4 | 575,66 |
| 2016 | 26067 | 788 | Maillon rapide | Fer | | | 1 | 575,54 |
| 2016 | 26170-4 | 789 | Ferrure | Fer | | | 56,6 | 574,39 |
| 2016 | 26297-1 | 790 | Clou | Fer | | | 17,5 | 575,79 |
| 2016 | 26297-1 | 791 | Ferrure | Fer | | | 22,1 | 575,79 |
| 2016 | 26297-1 | 792 | Jeton | Ceramique | | | 8,1 | 575,79 |
| 2016 | 26283-1 | 793 | Jeton | Ceramique | | | 21,1 | 575,66 |
| 2016 | 26297-1 | 794 | Silex | Lithique | | | 4,9 | 575,69 |
| 2016 | 26283-1 | 795 | Jeton | Ceramique | | | 2,1 | 575,66 |
| 2016 | 26294 | 796 | Estampille amphore | Ceramique | | NP | | |
| 2016 | 26277 | 799 | Ferrure | Fer | | | 5,5 | |
| 2016 | / | 1 | Antefixe | Terre cuite | | | 104 | |
| 2016 | 26016 | 7 | Specillum | Base-cuivre | | | 6,3 | |
| 2016 | 26016 | 8 | | Ceramique | | | 2,6 | |
| 2016 | 26016 | 9 | Silex | Lithique | | | 10,5 | |
| 2016 | H-C | 10 | Fibule | Fer | | | 2 | |

| | | | | | | | | |
|------|---------|-----|-------------------------------|-------------|--|--|-------|--|
| 2016 | 26016 | 11 | Perle | Base-cuivre | | | 2,5 | |
| 2016 | 26016 | 12 | Indéterminé lithique | Lithique | | | 3,6 | |
| 2016 | 26016 | 13 | | | | | | |
| 2016 | 26021 | 14 | Fibule | Base-cuivre | | | 1,2 | |
| 2016 | 26024 | 17 | Coulure | Base-cuivre | | | 4 | |
| 2016 | 26016 | 19 | Coulure | Base-cuivre | | | 36,3 | |
| 2016 | 26031 | 20 | Decapsuleur | Fer | | | 27,1 | |
| 2016 | 26033 | 22 | Coulure | Base-cuivre | | | 5,2 | |
| 2016 | 26024 | 23 | Objet en cours de fabrication | Fer | | | 1,5 | |
| 2016 | 26025 | 24 | Indéterminé tôle | Base-cuivre | | | 2,3 | |
| 2016 | 26025 | 25 | Scorie | Base-cuivre | | | 4,5 | |
| 2016 | 26025 | 26 | Anneau | Fer | | | 2,5 | |
| 2016 | 26025-5 | 27 | Indéterminé tige | Base-cuivre | | | 0,4 | |
| 2016 | 26026 | 28 | Coulure | Base-cuivre | | | 22,8 | |
| 2016 | 26026 | 29 | Indéterminé tige | Base-cuivre | | | 1 | |
| 2016 | 26026 | 36 | Perle | Verre | | | 20,1 | |
| 2016 | 26016 | 38 | Coulure | Base-cuivre | | | 16 | |
| 2016 | 26026 | 40 | Objet refondu | Base-cuivre | | | 177,9 | |
| 2016 | 26016 | 43 | Jeton | Ceramique | | | 7,8 | |
| 2016 | 26500 | 44 | Pique-bœuf | Fer | | | 9,2 | |
| 2016 | 26500 | 45 | Lime | Fer | | | 18,1 | |
| 2016 | 26500 | 46 | Outil trop fragmentaire | Fer | | | 11,7 | |
| 2016 | 26500 | 47 | Demi-produit (autres métaux) | Base-cuivre | | | 3,1 | |
| 2016 | 26016 | 58 | Indéterminé tige | Base-cuivre | | | 0,4 | |
| 2016 | 26700 | 167 | Indéterminé tôle | Base-cuivre | | | 0,9 | |
| 2016 | 26712 | 501 | Indéterminé tôle | Base-cuivre | | | 0,1 | |
| 2016 | 26716 | 502 | Fusaïole | Ceramique | | | 8,6 | |
| 2016 | 26712 | 503 | Fourreau | Base-cuivre | | | 0,5 | |
| 2016 | 26026 | 504 | Recipient | Base-cuivre | | | 0,6 | |
| 2016 | 26026 | 505 | Clou decoratif | Base-cuivre | | | 0,3 | |
| 2016 | 26026 | 506 | Jeton | Ceramique | | | 4,6 | |
| 2016 | 26026 | 507 | Coulure | Base-cuivre | | | 5,4 | |
| 2016 | 26026 | 508 | Indéterminé tôle | Base-cuivre | | | 1,6 | |
| 2016 | 26026 | 509 | Rivet | Base-cuivre | | | 0,5 | |
| 2016 | 26025-1 | 510 | Jeton | Ceramique | | | 46,3 | |
| 2016 | 26025-2 | 511 | Ceramique | Ceramique | | | 227 | |
| 2016 | 26712 | 512 | Chute | Fer | | | 0,4 | |
| 2016 | 26026 | 513 | Scorie | Base-cuivre | | | 32,1 | |
| 2016 | 26026 | 514 | Indéterminé tôle | Base-cuivre | | | 1,7 | |
| 2016 | 26026 | 515 | Indéterminé tige | Base-cuivre | | | 1,2 | |
| 2016 | 26025-5 | 516 | Indéterminé tôle | Base-cuivre | | | 1,3 | |
| 2016 | 26026 | 517 | Indéterminé tôle | Base-cuivre | | | 0,9 | |
| 2016 | 26026 | 518 | Indéterminé tige | Base-cuivre | | | 0,6 | |
| 2016 | 26026 | 519 | Demi-produit (autres métaux) | Base-cuivre | | | 15 | |
| 2016 | 26026 | 520 | Indéterminé tige | Base-cuivre | | | 0,4 | |
| 2016 | 26026 | 521 | Indéterminé tige | Base-cuivre | | | 0,9 | |
| 2016 | 26026 | 522 | Indéterminé tôle | Base-cuivre | | | 1,1 | |
| 2016 | 26026 | 523 | Indéterminé tige | Base-cuivre | | | 2,9 | |
| 2016 | 26026 | 524 | Indéterminé tôle | Base-cuivre | | | 0,7 | |
| 2016 | H-C | 525 | Pique-bœuf | Fer | | | 58,4 | |
| 2016 | 26026 | 526 | Objet refondu | Base-cuivre | | | 0,4 | |
| 2016 | 26025-6 | 527 | Silex | Lithique | | | 12,9 | |
| 2016 | 26025-6 | 528 | Tarière | Fer | | | 42,2 | |
| 2016 | 26025-6 | 529 | Indéterminé tôle | Base-cuivre | | | 0,1 | |
| 2016 | 26025-6 | 530 | Chute | Base-cuivre | | | 2,3 | |
| 2016 | 26025-6 | 531 | | | | | | |
| 2016 | 26025-6 | 532 | Cabochon | Base-cuivre | | | 0,2 | |
| 2016 | 26025-6 | 533 | Silex | Lithique | | | 4 | |

| | | | | | | | | |
|------|---------|-----|-----------------------|-------------|--|--|-------|--|
| 2016 | 26025-6 | 534 | Dechet de fabrication | Fer | | | 2,5 | |
| 2016 | 26025-6 | 535 | Indéterminé tôle | Base-cuivre | | | 1,5 | |
| 2016 | 26026 | 536 | Indéterminé tôle | Base-cuivre | | | 0,3 | |
| 2016 | 26026 | 537 | | | | | perdu | |
| 2016 | 26026 | 538 | Indéterminé tôle | Base-cuivre | | | 0,4 | |
| 2016 | 26026 | 539 | Coulure | Base-cuivre | | | 0,9 | |
| 2016 | 26512 | 540 | Indéterminé tige | Fer | | | 1,6 | |
| 2016 | 26026 | 541 | Indéterminé tige | Base-cuivre | | | 0,3 | |
| 2016 | 26026 | 542 | Coulure | Base-cuivre | | | 1 | |
| 2016 | 26026 | 543 | Jeton | Ceramique | | | 10,2 | |
| 2016 | 26026 | 544 | Indéterminé tôle | Base-cuivre | | | 0,1 | |
| 2016 | 26026 | 545 | Indéterminé tige | Base-cuivre | | | 0,4 | |
| 2016 | 26026 | 546 | Scorie | Base-cuivre | | | 6,9 | |
| 2016 | 26026 | 547 | Coulure | Base-cuivre | | | 8,5 | |
| 2016 | 26512 | 548 | Fibule | Fer | | | 1,6 | |
| 2016 | 26512 | 549 | Anneau | Plomb | | | 5 | |
| 2016 | 26026 | 550 | Indéterminé tige | Base-cuivre | | | 0,5 | |
| 2016 | 26026 | 551 | Indéterminé tige | Base-cuivre | | | 0,2 | |
| 2016 | 26026 | 552 | Coulure | Base-cuivre | | | 0,3 | |
| 2016 | 26026 | 553 | Scorie | Base-cuivre | | | 8 | |
| 2016 | 26024 | 554 | | | | | 0,6 | |
| 2016 | 26512 | 555 | Chute | Fer | | | 2 | |
| 2016 | 26512 | 556 | Fusaïole | Ceramique | | | 5,8 | |
| 2016 | 26512 | 557 | Jeton | Ceramique | | | 7,1 | |
| 2016 | 26026 | 558 | Indéterminé tige | Base-cuivre | | | 1,1 | |
| 2016 | 26026 | 559 | Clou decoratif | Base-cuivre | | | 0,4 | |
| 2016 | 26026 | 560 | Indéterminé tige | Base-cuivre | | | 0,2 | |
| 2016 | 26026 | 561 | Indéterminé tige | Base-cuivre | | | 0,3 | |
| 2016 | 26712 | 562 | Indéterminé tôle | Fer | | | 7,3 | |
| 2016 | 26517 | 563 | Coulure | Base-cuivre | | | 2,1 | |
| 2016 | 26517 | 564 | Jeton | Ceramique | | | 2 | |
| 2016 | 26517 | 565 | Jeton | Ceramique | | | 9,9 | |
| 2016 | 26517 | 566 | Jeton | Ceramique | | | 6,6 | |
| 2016 | 26026 | 567 | Coulure | Base-cuivre | | | 6,4 | |
| 2016 | 26512 | 568 | Indéterminé plat | Fer | | | 8,7 | |
| 2016 | 26512 | 569 | Anneau | Fer | | | 13,9 | |
| 2016 | 26512 | 570 | Indéterminé tige | Fer | | | 2,8 | |
| 2016 | 26512 | 571 | Jeton | Ceramique | | | 4,7 | |
| 2016 | 26512 | 572 | Jeton | Ceramique | | | 5,4 | |
| 2016 | 26512 | 573 | Jeton | Ceramique | | | 6,4 | |
| 2016 | 26514 | 574 | Monnaie | Autre | | | 7,6 | |
| 2016 | 26514 | 575 | Coulure | Base-cuivre | | | 3,2 | |
| 2016 | 26514 | 576 | Perle | Base-cuivre | | | 0,5 | |
| 2016 | 26514 | 577 | Fibule | Fer | | | 4,7 | |
| 2016 | 26514 | 578 | Monnaie | Base-cuivre | | | 3,3 | |
| 2016 | 26514 | 579 | Agrafe de reparation | Plomb | | | 9,7 | |
| 2016 | 26514 | 580 | Demi-produit (fe) | Fer | | | 15,1 | |
| 2016 | 26514 | 581 | | | | | | |
| 2016 | 26514 | 582 | | | | | | |
| 2016 | 26514 | 583 | Perle | Base-cuivre | | | 1,6 | |
| 2016 | 26516 | 584 | Jeton | Ceramique | | | 5,6 | |
| 2016 | 26516 | 585 | Indéterminé plat | Fer | | | 37,7 | |
| 2016 | 26519 | 586 | Jeton | Ceramique | | | 13,7 | |
| 2016 | 26520 | 587 | Jeton | Ceramique | | | 5,4 | |
| 2016 | 26520 | 588 | Indéterminé tige | Fer | | | 3,1 | |
| 2016 | 26520 | 589 | Perle | Verre | | | 9,5 | |
| 2016 | 26500 | 590 | Recipient | Verre | | | 1,8 | |
| 2016 | 26518 | 591 | Indéterminé tige | Base-cuivre | | | 0,3 | |
| 2016 | 26518 | 592 | Chute | Base-cuivre | | | 2,1 | |
| 2016 | 26518 | 593 | Coulure | Base-cuivre | | | 5,9 | |
| 2016 | 26518 | 594 | Indéterminé tige | Base-cuivre | | | 1,6 | |

| | | | | | | | | | |
|------|-----------|-----|-----------------------|-------------|-------------|-------------|--|------|---------|
| 2016 | 26518 | 595 | Scorie | Base-cuivre | | | | 7,2 | |
| 2016 | 26518 | 596 | Pince a epiler | Base-cuivre | | | | 1,2 | |
| 2016 | 26518 | 597 | Indéterminé tige | Base-cuivre | | | | 0,2 | |
| 2016 | 26518 | 598 | Monnaie | Base-cuivre | | | | 1,2 | |
| 2016 | 26518 | 599 | Indéterminé tôle | Base-cuivre | | | | 0,3 | |
| 2016 | 26518 | 600 | Chute | Base-cuivre | | | | 1,4 | |
| 2016 | 26524 | 601 | Monnaie | Base-cuivre | | | | 1,9 | |
| 2016 | 26524 | 602 | Fibule | Base-cuivre | | | | 0,7 | |
| 2016 | 26527 | 603 | Monnaie | Base-cuivre | | | | 2,2 | |
| 2016 | 26702 | 956 | | Base-cuivre | 1714597,378 | 5162679,124 | | 0,3 | 578,19 |
| 2016 | 26703 | 963 | | Base-cuivre | 1714630,303 | 5162640,135 | | 0,5 | 578,711 |
| 2016 | 26707 | 970 | Base-cuivre | Base-cuivre | 1714600,212 | 5162672,391 | | 0,3 | 578,239 |
| 2016 | 26701 | 604 | Perle | Verre | | | | 18,8 | |
| 2016 | 26700 | 605 | Fibule | Base-cuivre | | | | 0,3 | |
| 2016 | 26024 | 606 | | | | | | 0,6 | |
| 2016 | 26700 | 607 | Fibule | Base-cuivre | | | | 0,7 | |
| 2016 | 26538 | 608 | | | | | | | NP |
| 2016 | 26522 | 609 | Fibule | Fer | | | | 4 | |
| 2016 | 26522 | 610 | Gouttière | Fer | | | | 4 | |
| 2016 | 26522 | 611 | Crampon | Fer | | | | 6,2 | |
| 2016 | 26025-6 | 612 | Indéterminé tôle | Base-cuivre | | | | 0,5 | |
| 2016 | 26725 | 613 | Ferrure | Fer | | | | 19,9 | |
| 2016 | 26185-1 | 614 | Jeton | Ceramique | | | | 4,1 | |
| 2016 | 26026 | 615 | Jeton | Ceramique | | | | 6,4 | |
| 2016 | 26026 | 616 | Jeton | Ceramique | | | | 20 | |
| 2016 | H-C | 72 | Recipient | Verre | | | | 1,1 | |
| 2016 | H-C | 106 | Fibule | Base-cuivre | | | | 3 | |
| 2016 | 25056 | 119 | Monnaie | Base-cuivre | | | | 3,7 | |
| 2016 | H-C | 120 | Poinçon | Fer | | | | 22,9 | |
| 2016 | H-C | 121 | Indéterminé tôle | Fer | | | | 3,5 | |
| 2016 | H-C | 122 | Coulure | Base-cuivre | | | | 1 | |
| 2016 | H-C | 123 | Indéterminé objet | Base-cuivre | | | | 4 | |
| 2016 | H-C | 124 | Monnaie | Base-cuivre | | | | 6,4 | |
| 2016 | H-C | 125 | Monnaie | Base-cuivre | | | | 4 | |
| 2016 | H-C | 126 | Rouelle | Base-cuivre | | | | 12,5 | |
| 2016 | H-C | 127 | Dechet de fabrication | Base-cuivre | | | | 5,7 | |
| 2016 | H-C | 128 | Monnaie | Autre | | | | 2,1 | |
| 2016 | H-C | 129 | Anneau | Fer | | | | 10,7 | |
| 2016 | H-C | 145 | Jeton | Ceramique | | | | 83,3 | |
| 2016 | H-C | 146 | Jeton | Ceramique | | | | 47 | |
| 2016 | H-C | 151 | Ceramique | Ceramique | | | | 22 | |
| 2016 | H-C | 155 | Indéterminé tige | Fer | | | | 0,3 | |
| 2016 | H-C | 158 | Monnaie | Base-cuivre | | | | 4,2 | |
| 2016 | H-C | 159 | | | | | | | NP |
| 2016 | H-C | 166 | Polissoir | Lithique | | | | 130 | |
| 2016 | H-C | 169 | Perle | Base-cuivre | | | | 2,5 | |
| 2016 | H-C | 188 | Bracelet | Base-cuivre | | | | 3,4 | |
| 2016 | H-C | 189 | Indéterminé tôle | Base-cuivre | | | | 0,3 | |
| 2016 | H-C | 200 | Jeton | Ceramique | | | | 3,6 | |
| 2016 | 26000 | 207 | Hameçon | Fer | | | | 0,4 | |
| 2016 | 26000 H-C | 221 | | Argent | | | | 2,2 | |
| 2016 | 26000 H-C | 222 | Clou decoratif | Base-cuivre | | | | 0,5 | |
| 2016 | 26000 H-C | 222 | | | | | | | |
| 2016 | 26000 H-C | 223 | Coulure | Base-cuivre | | | | 9,3 | |
| 2016 | 26000 | 224 | Indéterminé tôle | Plomb | | | | 5,7 | |
| 2016 | 26000 | 225 | Agrafe de reparation | Plomb | | | | 15,9 | |
| 2016 | H-C | 228 | Monnaie | Base-cuivre | | | | 3,2 | |
| 2016 | H-C | 242 | Peson | Lithique | | | | 500 | |
| 2016 | H-C | 264 | Tas | Fer | | | | 77,5 | |
| 2016 | H-C | 287 | Indéterminé tôle | Plomb | | | | 14,9 | |
| 2016 | H-C | 288 | Indéterminé tige | Plomb | | | | 14,8 | |

| | | | | | | | | |
|------|---------|-----|-------------------------|-------------|--|----|------|--|
| 2016 | H-C | 289 | Jeton | Ceramique | | | 2,2 | |
| 2016 | H-C | 294 | Perle | Base-cuivre | | | 2,7 | |
| 2016 | H-C | 295 | Coulure | Base-cuivre | | | 40,6 | |
| 2016 | H-C | 296 | Indéterminé tôle | Base-cuivre | | | 2,4 | |
| 2016 | H-C | 297 | Monnaie | Base-cuivre | | | 1,8 | |
| 2016 | H-C | 344 | Jeton | Ceramique | | | 4 | |
| 2016 | H-C | 351 | Indéterminé verre | Verre | | | 1,7 | |
| 2016 | H-C | 364 | Indéterminé tige | Base-cuivre | | | 1,1 | |
| 2016 | H-C | 379 | Couteau | Fer | | | 19,3 | |
| 2016 | H-C | 383 | Monnaie | Base-cuivre | | | 3 | |
| 2016 | H-C | 384 | Monnaie | Base-cuivre | | | 1,2 | |
| 2016 | H-C | 385 | Indéterminé tôle | Base-cuivre | | | 1,1 | |
| 2016 | H-C | 386 | Indéterminé tige | Fer | | | 1,7 | |
| 2016 | H-C | 387 | Goutte | Base-cuivre | | | 1,7 | |
| 2016 | H-C | 388 | Coulure | Base-cuivre | | | 3,6 | |
| 2016 | H-C | 389 | Coulure | Plomb | | | 4,4 | |
| 2016 | H-C | 390 | Indéterminé tôle | Plomb | | | 3,5 | |
| 2016 | H-C | 391 | Indéterminé tôle | Plomb | | | 1,1 | |
| 2016 | H-C | 392 | Indéterminé tôle | Plomb | | | 2,3 | |
| 2016 | H-C | 393 | Meule | Lithique | | | 500 | |
| 2016 | H-C | 394 | Jeton | Ceramique | | | 15,6 | |
| 2016 | H-C | 395 | Jeton | Ceramique | | | 25,8 | |
| 2016 | H-C | 398 | Indéterminé tige | Fer | | | 2,4 | |
| 2016 | H-C | 399 | Indéterminé tige | Base-cuivre | | | 0,9 | |
| 2016 | H-C | 400 | Applique | Base-cuivre | | | 1,6 | |
| 2016 | H-C | 401 | Indéterminé tôle | Base-cuivre | | | 3 | |
| 2016 | H-C | 404 | Scorie | Base-cuivre | | | 6,5 | |
| 2016 | H-C | 405 | Agrafe de reparation | Plomb | | | 20,3 | |
| 2016 | H-C | 408 | Ferrure | Fer | | | 35,9 | |
| 2016 | H-C | 409 | Ceramique | Ceramique | | | 16,5 | |
| 2016 | H-C | 415 | Monnaie | Base-cuivre | | NP | | |
| 2016 | H-C | 416 | Monnaie | Base-cuivre | | | 1,8 | |
| 2016 | H-C | 417 | Monnaie | Base-cuivre | | | 2,7 | |
| 2016 | H-C | 418 | Monnaie | Base-cuivre | | | 1,3 | |
| 2016 | H-C | 427 | Monnaie | Base-cuivre | | | 1,2 | |
| 2016 | H-C | 428 | Indéterminé tôle | Plomb | | | 17,3 | |
| 2016 | H-C | 429 | Perle | Base-cuivre | | | 1,9 | |
| 2016 | H-C | 430 | Indéterminé tôle | Plomb | | | 5,8 | |
| 2016 | H-C | 431 | Indéterminé objet | Base-cuivre | | | 2,3 | |
| 2016 | H-C | 432 | Monnaie | Base-cuivre | | | 1,4 | |
| 2016 | H-C | 434 | Clou decoratif | Fer | | | 0,5 | |
| 2016 | H-C | 435 | Monnaie | Base-cuivre | | | 1,1 | |
| 2016 | 26190-1 | 436 | Recipient | Verre | | | 1,1 | |
| 2016 | H-C | 437 | Applique | Base-cuivre | | | 0,3 | |
| 2016 | H-C | 438 | Indéterminé tôle | Fer | | | 5,2 | |
| 2016 | H-C | 439 | Ferrure | Fer | | | 9,5 | |
| 2016 | H-C | 500 | Stylets | Fer | | | 15,4 | |
| 2016 | H-C | 612 | Indéterminé plat | Fer | | | 36,6 | |
| 2016 | H-C | 474 | Indéterminé tige | Fer | | | 2 | |
| 2016 | H-C | 475 | Indéterminé tôle | Plomb | | | 14,8 | |
| 2016 | H-C | 476 | Indéterminé tôle | Base-cuivre | | | 2,1 | |
| 2016 | H-C | 477 | Coulure | Plomb | | | 4,5 | |
| 2016 | H-C | 478 | Monnaie | Base-cuivre | | | 3,4 | |
| 2016 | H-C | 479 | Indéterminé tôle | Plomb | | | 6,2 | |
| 2016 | H-C | 480 | Applique | Base-cuivre | | | 0,4 | |
| 2016 | H-C | 490 | Perle | Verre | | | 6,7 | |
| 2016 | H-C | 491 | Agrafe de ceinturon | Fer | | | 14,4 | |
| 2016 | H-C | 492 | Chaîne | Fer | | | 2,8 | |
| 2016 | H-C | 493 | Indéterminé tige | Fer | | | 1,6 | |
| 2016 | H-C | 494 | Indéterminé tôle | Plomb | | | 5 | |
| 2016 | H-C | 495 | Indéterminé tôle | Plomb | | | 16,3 | |

| | | | | | | | | |
|------|---------|-----|--------------------|-------------|--|--|------|--|
| 2016 | H-C | 496 | Coulure | Base-cuivre | | | 15,2 | |
| 2016 | H-C | 497 | Fusaïole | Ceramique | | | 3,6 | |
| 2016 | H-C | 498 | Indéterminé tôle | Base-cuivre | | | 1,4 | |
| 2016 | H-C | 499 | Indéterminé tôle | Plomb | | | 3,6 | |
| 2016 | H-C | 700 | Coulure | Base-cuivre | | | 4,4 | |
| 2016 | H-C | 701 | Monnaie | Base-cuivre | | | 1,6 | |
| 2016 | H-C | 702 | Clou de chaussures | Fer | | | 0,6 | |
| 2016 | H-C | 703 | Applique | Base-cuivre | | | 0,3 | |
| 2016 | H-C | 704 | Monnaie | Base-cuivre | | | 3,4 | |
| 2016 | H-C | 705 | Monnaie | Base-cuivre | | | 1,8 | |
| 2016 | H-C | 706 | Monnaie | Base-cuivre | | | 1,8 | |
| 2016 | H-C | 707 | Monnaie | Base-cuivre | | | 1,7 | |
| 2016 | H-C | 708 | Monnaie | Base-cuivre | | | 2,4 | |
| 2016 | H-C | 709 | Monnaie | Base-cuivre | | | 2,3 | |
| 2016 | H-C | 710 | Perle | Base-cuivre | | | 3,9 | |
| 2016 | H-C | 711 | Monnaie | Base-cuivre | | | 1 | |
| 2016 | H-C | 712 | Monnaie | Base-cuivre | | | 6,6 | |
| 2016 | H-C | 713 | Miroir | Base-cuivre | | | 0,8 | |
| 2016 | H-C | 714 | Indéterminé tôle | Base-cuivre | | | 1,1 | |
| 2016 | H-C | 715 | Clou de chaussures | Fer | | | 1,2 | |
| 2016 | H-C | 716 | Coulure | Base-cuivre | | | 2,5 | |
| 2016 | H-C | 717 | Boîte a sceau | Base-cuivre | | | 3,4 | |
| 2016 | H-C | 718 | Coulure | Base-cuivre | | | 19,3 | |
| 2016 | H-C | 719 | Applique | Base-cuivre | | | 9,2 | |
| 2016 | H-C | 720 | Indéterminé tôle | Base-cuivre | | | 0,5 | |
| 2016 | H-C | 721 | Demi-produit (fe) | Fer | | | 28,3 | |
| 2016 | H-C | 722 | Poids | Plomb | | | 11,2 | |
| 2016 | H-C | 723 | Monnaie | Base-cuivre | | | 1,5 | |
| 2016 | H-C | 724 | Anneau | Base-cuivre | | | 1,8 | |
| 2016 | H-C | 725 | Perle | Base-cuivre | | | 3 | |
| 2016 | H-C | 726 | Clou decoratif | Fer | | | 4,2 | |
| 2016 | H-C | 727 | Monnaie | Base-cuivre | | | 1,8 | |
| 2016 | H-C | 728 | Monnaie | Base-cuivre | | | 1,5 | |
| 2016 | H-C | 729 | Goutte | Base-cuivre | | | 2 | |
| 2016 | H-C | 730 | Goutte | Plomb | | | 2,8 | |
| 2016 | H-C | 734 | Indéterminé tige | Base-cuivre | | | 0,6 | |
| 2016 | H-C | 738 | Indéterminé objet | Plomb | | | 61,2 | |
| 2016 | H-C | 739 | Monnaie | Base-cuivre | | | 1,8 | |
| 2016 | H-C | 741 | Monnaie | Base-cuivre | | | 1,2 | |
| 2016 | H-C | 742 | Indéterminé tôle | Base-cuivre | | | 0,3 | |
| 2016 | H-C | 746 | Monnaie | Base-cuivre | | | 3,4 | |
| 2016 | H-C | 747 | Monnaie | Base-cuivre | | | 7,1 | |
| 2016 | H-C | 748 | Perle | Base-cuivre | | | 2,6 | |
| 2016 | H-C | 749 | Monnaie | Base-cuivre | | | 1,8 | |
| 2016 | H-C | 750 | Indéterminé tôle | Plomb | | | 7,6 | |
| 2016 | H-C | 751 | Bracelet | Base-cuivre | | | 3,1 | |
| 2016 | H-C | 797 | Piton | Fer | | | 21 | |
| 2016 | H-C | 798 | Clou | Fer | | | 11,7 | |
| 2016 | Sans UF | | Clou | Fer | | | 13,9 | |
| 2016 | Sans UF | | Clou | Fer | | | 9,9 | |
| 2016 | 26301-1 | | Clou | Fer | | | 21,9 | |
| 2016 | 26540-1 | | Clou | Fer | | | 9,4 | |
| 2016 | 26539 | | Clou | Fer | | | 42 | |
| 2016 | 26534 | | Clou | Fer | | | 3,3 | |
| 2016 | 26529-1 | | Clou | Fer | | | 7,6 | |
| 2016 | 26526 | | Clou | Fer | | | 62,1 | |
| 2016 | 26525 | | Clou | Fer | | | 133 | |
| 2016 | 26524-1 | | Clou | Fer | | | 10,7 | |
| 2016 | 26523 | | Clou | Fer | | | 8,9 | |
| 2016 | 26522 | | Clou | Fer | | | 26,4 | |
| 2016 | 26521 | | Clou | Fer | | | 17,3 | |

| | | | | | | | | |
|------|----------|--|------|-----|--|--|-------|--|
| 2016 | 26519 | | Clou | Fer | | | 101,3 | |
| 2016 | 26103 | | Clou | Fer | | | 452,7 | |
| 2016 | 26105 | | Clou | Fer | | | 4,7 | |
| 2016 | 26106 | | Clou | Fer | | | 12,8 | |
| 2016 | 26107 | | Clou | Fer | | | 53 | |
| 2016 | 26107-1 | | Clou | Fer | | | 55,2 | |
| 2016 | 26109 | | Clou | Fer | | | 10,3 | |
| 2016 | 26110 | | Clou | Fer | | | 8,8 | |
| 2016 | 26117 | | Clou | Fer | | | 316,5 | |
| 2016 | 26118 | | Clou | Fer | | | 10,4 | |
| 2016 | 26120 | | Clou | Fer | | | 84,9 | |
| 2016 | 26140 | | Clou | Fer | | | 21,1 | |
| 2016 | 26140-1 | | Clou | Fer | | | 120 | |
| 2016 | 26142 | | Clou | Fer | | | 12 | |
| 2016 | 26143 | | Clou | Fer | | | 11,15 | |
| 2016 | 26145-1 | | Clou | Fer | | | 22 | |
| 2016 | 26156 | | Clou | Fer | | | 26,7 | |
| 2016 | 26157 | | Clou | Fer | | | 376 | |
| 2016 | 26163-5 | | Clou | Fer | | | 37,3 | |
| 2016 | 26163-4 | | Clou | Fer | | | 11,3 | |
| 2016 | 26163-3 | | Clou | Fer | | | 133,1 | |
| 2016 | 26163-2 | | Clou | Fer | | | 61,9 | |
| 2016 | 26163-1 | | Clou | Fer | | | 161,7 | |
| 2016 | 26163 | | Clou | Fer | | | 59,9 | |
| 2016 | 26166 | | Clou | Fer | | | 95,7 | |
| 2016 | 26167 | | Clou | Fer | | | 30,4 | |
| 2016 | 26169-1 | | Clou | Fer | | | 27,8 | |
| 2016 | 26169 | | Clou | Fer | | | 8,9 | |
| 2016 | 26170-1 | | Clou | Fer | | | 37,9 | |
| 2016 | 26170-2 | | Clou | Fer | | | 21,5 | |
| 2016 | 26170-3 | | Clou | Fer | | | 30,7 | |
| 2016 | 26177 | | Clou | Fer | | | 8,9 | |
| 2016 | 26178-1 | | Clou | Fer | | | 5,6 | |
| 2016 | 26182-1 | | Clou | Fer | | | 95,1 | |
| 2016 | 26184 | | Clou | Fer | | | 2,2 | |
| 2016 | 26185 | | Clou | Fer | | | 62,9 | |
| 2016 | 26190-1 | | Clou | Fer | | | 30 | |
| 2016 | 26191 | | Clou | Fer | | | 128,4 | |
| 2016 | 26192 | | Clou | Fer | | | 71,1 | |
| 2016 | 26192-1 | | Clou | Fer | | | 50,9 | |
| 2016 | 26196-1 | | Clou | Fer | | | 2,6 | |
| 2016 | 26098 | | Clou | Fer | | | 20,9 | |
| 2016 | 26091 | | Clou | Fer | | | 17,1 | |
| 2016 | 26087 | | Clou | Fer | | | 26,9 | |
| 2016 | 26080 | | Clou | Fer | | | 153 | |
| 2016 | 26089 | | Clou | Fer | | | 3,6 | |
| 2016 | 26076 | | Clou | Fer | | | 37,4 | |
| 2016 | 26068 | | Clou | Fer | | | 43,4 | |
| 2016 | 26067 | | Clou | Fer | | | 68,7 | |
| 2016 | 26059 | | Clou | Fer | | | 77,2 | |
| 2016 | 26042 | | Clou | Fer | | | 28,9 | |
| 2016 | 26020-1 | | Clou | Fer | | | 30,6 | |
| 2016 | 26020-6 | | Clou | Fer | | | 29,6 | |
| 2016 | 26020-4 | | Clou | Fer | | | 6,5 | |
| 2016 | 26000 | | Clou | Fer | | | 26,3 | |
| 2016 | 26220-1 | | Clou | Fer | | | 24,8 | |
| 2016 | 26229-1 | | Clou | Fer | | | 63 | |
| 2016 | 26219-14 | | Clou | Fer | | | 97,7 | |
| 2016 | 26219-13 | | Clou | Fer | | | 107,4 | |
| 2016 | 26219-12 | | Clou | Fer | | | 26,3 | |
| 2016 | 26219-11 | | Clou | Fer | | | 138 | |
| 2016 | 26219-10 | | Clou | Fer | | | 88,6 | |
| 2016 | 26219 | | Clou | Fer | | | 11,5 | |

| | | | | | | | | |
|------|----------|--|------|-----|--|--|-------|--|
| 2016 | 26219-20 | | Clou | Fer | | | 67,8 | |
| 2016 | 26229 | | Clou | Fer | | | 96,2 | |
| 2016 | 26219-7 | | Clou | Fer | | | 6,8 | |
| 2016 | TP26276 | | Clou | Fer | | | 17,5 | |
| 2016 | 26277-1 | | Clou | Fer | | | 45,4 | |
| 2016 | 26277 | | Clou | Fer | | | 78,1 | |
| 2016 | 26278 | | Clou | Fer | | | 17,4 | |
| 2016 | 26279 | | Clou | Fer | | | 5,9 | |
| 2016 | 26286 | | Clou | Fer | | | 3,9 | |
| 2016 | 26283-1 | | Clou | Fer | | | 123,8 | |
| 2016 | 26273-1 | | Clou | Fer | | | 13,1 | |
| 2016 | 26272-2 | | Clou | Fer | | | 44,8 | |
| 2016 | 26272-4 | | Clou | Fer | | | 4 | |
| 2016 | 26120 | | Clou | Fer | | | 40 | |
| 2016 | 26124 | | Clou | Fer | | | 8 | |
| 2016 | 26106 | | Clou | Fer | | | 3 | |
| 2016 | 26151 | | Clou | Fer | | | 7 | |
| 2016 | 26153 | | Clou | Fer | | | 11 | |
| 2016 | 26106 | | Clou | Fer | | | 13 | |
| 2016 | 26822 | | Clou | Fer | | | 17 | |
| 2016 | 26105 | | Clou | Fer | | | 5 | |
| 2016 | 26108 | | Clou | Fer | | | 34 | |
| 2016 | 26129 | | Clou | Fer | | | 4 | |
| 2016 | 26572 | | Clou | Fer | | | 11 | |
| 2016 | 26513 | | Clou | Fer | | | 12 | |
| 2016 | 26511 | | Clou | Fer | | | 12 | |
| 2016 | 26512 | | Clou | Fer | | | 48 | |
| 2016 | 26500 | | Clou | Fer | | | 26 | |
| 2016 | 26512 | | Clou | Fer | | | 6 | |
| 2016 | 26022 | | Clou | Fer | | | 8 | |
| 2016 | 26004 | | Clou | Fer | | | 13 | |
| 2016 | 26029 | | Clou | Fer | | | 11 | |
| 2016 | 26036 | | Clou | Fer | | | 7 | |
| 2016 | 25408-5 | | Clou | Fer | | | 10 | |
| 2016 | 26025-6 | | Clou | Fer | | | 35,9 | |
| 2016 | 26051 | | Clou | Fer | | | 62,8 | |
| 2016 | 26059 | | Clou | Fer | | | 54 | |
| 2016 | 26086 | | Clou | Fer | | | 54 | |
| 2016 | 26060 | | Clou | Fer | | | 86,1 | |
| 2016 | 26065 | | Clou | Fer | | | 1 | |
| 2016 | 26089 | | Clou | Fer | | | 2,3 | |
| 2016 | 26019 | | Clou | Fer | | | 2,3 | |
| 2016 | 26000 | | Clou | Fer | | | 85 | |
| 2016 | 26032 | | Clou | Fer | | | 8 | |
| 2016 | 26061 | | Clou | Fer | | | 7 | |
| 2016 | 26067 | | Clou | Fer | | | 140 | |
| 2016 | 26080-18 | | Clou | Fer | | | 8 | |
| 2016 | 26090-11 | | Clou | Fer | | | 6 | |
| 2016 | 26091-1 | | Clou | Fer | | | 6 | |
| 2016 | 26117 | | Clou | Fer | | | 45 | |
| 2016 | 26133 | | Clou | Fer | | | 7 | |
| 2016 | 26272 | | Clou | Fer | | | 121 | |
| 2016 | 26279 | | Clou | Fer | | | 70 | |
| 2016 | 26294 | | Clou | Fer | | | 23 | |
| 2016 | 26298 | | Clou | Fer | | | 4 | |
| 2016 | 26300 | | Clou | Fer | | | 32 | |
| 2016 | 26301 | | Clou | Fer | | | 155 | |
| 2016 | 26302 | | Clou | Fer | | | 50 | |
| 2016 | 26305 | | Clou | Fer | | | 26 | |
| 2016 | 26306 | | Clou | Fer | | | 7 | |
| 2016 | 26307 | | Clou | Fer | | | 3 | |
| 2016 | 26309 | | Clou | Fer | | | 21 | |
| 2016 | 26312 | | Clou | Fer | | | 1 | |

| | | | | | | | | |
|------|-------------------|--|------|-----|--|--|-----|--|
| 2016 | 26508 | | Clou | Fer | | | 52 | |
| 2016 | 26514 | | Clou | Fer | | | 3 | |
| 2016 | 26517 | | Clou | Fer | | | 79 | |
| 2016 | 26701 | | Clou | Fer | | | 44 | |
| 2016 | 26711 | | Clou | Fer | | | 6 | |
| 2016 | 26712 | | Clou | Fer | | | 120 | |
| 2016 | 26713 | | Clou | Fer | | | 77 | |
| 2016 | 26752 | | Clou | Fer | | | 35 | |
| 2016 | 26848 | | Clou | Fer | | | 6 | |
| 2016 | 26133-3 | | Clou | Fer | | | 34 | |
| 2016 | 26163-3 | | Clou | Fer | | | 45 | |
| 2016 | 26163-7 | | Clou | Fer | | | 23 | |
| 2016 | 26170-4 | | Clou | Fer | | | 47 | |
| 2016 | 26190-2 | | Clou | Fer | | | 20 | |
| 2016 | 26190-3 | | Clou | Fer | | | 6 | |
| 2016 | 26191-1 | | Clou | Fer | | | 17 | |
| 2016 | 26205-7 | | Clou | Fer | | | 34 | |
| 2016 | 26240-1 | | Clou | Fer | | | 18 | |
| 2016 | 26241-1 | | Clou | Fer | | | 10 | |
| 2016 | 26272-1 | | Clou | Fer | | | 195 | |
| 2016 | 26272-2/3 | | Clou | Fer | | | 9 | |
| 2016 | 26272-3 | | Clou | Fer | | | 45 | |
| 2016 | 26272-4 | | Clou | Fer | | | 20 | |
| 2016 | 26272-5 | | Clou | Fer | | | 13 | |
| 2016 | 26272-6 | | Clou | Fer | | | 5 | |
| 2016 | 26272-7 | | Clou | Fer | | | 24 | |
| 2016 | 26273-1 | | Clou | Fer | | | 14 | |
| 2016 | 26278-1 | | Clou | Fer | | | 8 | |
| 2016 | 26280-1 | | Clou | Fer | | | 5 | |
| 2016 | 26280-2 | | Clou | Fer | | | 57 | |
| 2016 | 26281-1 | | Clou | Fer | | | 8 | |
| 2016 | 26282-1 | | Clou | Fer | | | 46 | |
| 2016 | 26283-1 | | Clou | Fer | | | 122 | |
| 2016 | 26284-1 | | Clou | Fer | | | 32 | |
| 2016 | 26285-1 | | Clou | Fer | | | 27 | |
| 2016 | 26297-1 | | Clou | Fer | | | 31 | |
| 2016 | G18 (latenien) | | Clou | Fer | | | 52 | |
| 2016 | sans UF | | Clou | Fer | | | 162 | |
| 2016 | HC detecteur | | Clou | Fer | | | 10 | |
| 2016 | espace V1 | | Clou | Fer | | | 111 | |
| 2016 | 26000 | | Clou | Fer | | | 39 | |
| 2016 | 26001 | | Clou | Fer | | | 4 | |
| 2016 | 26003 | | Clou | Fer | | | 32 | |
| 2016 | 26008 | | Clou | Fer | | | 13 | |
| 2016 | 26010 | | Clou | Fer | | | 16 | |
| 2016 | 26014 | | Clou | Fer | | | 43 | |
| 2016 | 26016 | | Clou | Fer | | | 75 | |
| 2016 | 26017 | | Clou | Fer | | | 3 | |
| 2016 | 26024 | | Clou | Fer | | | 36 | |
| 2016 | 26025 | | Clou | Fer | | | 64 | |
| 2016 | 26026 | | Clou | Fer | | | 172 | |
| 2016 | 26031 | | Clou | Fer | | | 64 | |
| 2016 | 26042 | | Clou | Fer | | | 93 | |
| 2016 | 26043 | | Clou | Fer | | | 44 | |
| 2016 | 26048 | | Clou | Fer | | | 84 | |
| 2016 | 26049 | | Clou | Fer | | | 187 | |
| 2016 | 26053 | | Clou | Fer | | | 25 | |
| 2016 | 26055 | | Clou | Fer | | | 163 | |
| 2016 | 26062 | | Clou | Fer | | | 89 | |
| 2016 | 26063 | | Clou | Fer | | | 53 | |
| 2016 | 26064 | | Clou | Fer | | | 10 | |

| | | | | | | | |
|------|---------|--|------|-----|--|--|-----|
| 2016 | 26067 | | Clou | Fer | | | 8 |
| 2016 | 26071 | | Clou | Fer | | | 217 |
| 2016 | 26077 | | Clou | Fer | | | 71 |
| 2016 | 26080 | | Clou | Fer | | | 48 |
| 2016 | 26089 | | Clou | Fer | | | 300 |
| 2016 | 26100 | | Clou | Fer | | | 20 |
| 2016 | 26103 | | Clou | Fer | | | 412 |
| 2016 | 26104 | | Clou | Fer | | | 250 |
| 2016 | 26107 | | Clou | Fer | | | 73 |
| 2016 | 26112 | | Clou | Fer | | | 39 |
| 2016 | 26113 | | Clou | Fer | | | 32 |
| 2016 | 26117 | | Clou | Fer | | | 46 |
| 2016 | 26118 | | Clou | Fer | | | 299 |
| 2016 | 26119 | | Clou | Fer | | | 44 |
| 2016 | 26120 | | Clou | Fer | | | 114 |
| 2016 | 26135 | | Clou | Fer | | | 21 |
| 2016 | 26155 | | Clou | Fer | | | 36 |
| 2016 | 26157 | | Clou | Fer | | | 90 |
| 2016 | 26503 | | Clou | Fer | | | 29 |
| 2016 | 26512 | | Clou | Fer | | | 351 |
| 2016 | 26514 | | Clou | Fer | | | 105 |
| 2016 | 26516 | | Clou | Fer | | | 50 |
| 2016 | 26003-2 | | Clou | Fer | | | 3 |
| 2016 | 26003-3 | | Clou | Fer | | | 7 |
| 2016 | 26020-1 | | Clou | Fer | | | 31 |
| 2016 | 26027-2 | | Clou | Fer | | | 57 |
| 2016 | 26030-3 | | Clou | Fer | | | 62 |
| 2016 | 26052-2 | | Clou | Fer | | | 2 |
| 2016 | 26068-3 | | Clou | Fer | | | 140 |
| 2016 | 26071-1 | | Clou | Fer | | | 39 |
| 2016 | 26072-2 | | Clou | Fer | | | 144 |
| 2016 | 26080-1 | | Clou | Fer | | | 45 |
| 2016 | 26104-1 | | Clou | Fer | | | 25 |
| 2016 | 26215 | | Clou | Fer | | | 4 |
| 2016 | 26205-6 | | Clou | Fer | | | 187 |
| 2016 | 26205-1 | | Clou | Fer | | | 101 |
| 2016 | 26206 | | Clou | Fer | | | 7 |
| 2016 | 26205-3 | | Clou | Fer | | | 68 |
| 2016 | 26203-1 | | Clou | Fer | | | 28 |
| 2016 | 26210 | | Clou | Fer | | | 5 |
| 2016 | 26237 | | Clou | Fer | | | 9 |
| 2016 | 26236 | | Clou | Fer | | | 2 |
| 2016 | 26234-1 | | Clou | Fer | | | 4 |
| 2016 | 26233-1 | | Clou | Fer | | | 15 |
| 2016 | 26232-1 | | Clou | Fer | | | 21 |
| 2016 | 26237 | | Clou | Fer | | | 5 |
| 2016 | 26247-1 | | Clou | Fer | | | 32 |
| 2016 | 26240-1 | | Clou | Fer | | | 15 |
| 2016 | 26241 | | Clou | Fer | | | 109 |
| 2016 | 26268-1 | | Clou | Fer | | | 17 |
| 2016 | 26267 | | Clou | Fer | | | 5 |
| 2016 | 26264 | | Clou | Fer | | | 27 |
| 2016 | 26263-1 | | Clou | Fer | | | 18 |
| 2016 | 26252-1 | | Clou | Fer | | | 6 |
| 2016 | 26269-1 | | Clou | Fer | | | 18 |
| 2016 | 26270 | | Clou | Fer | | | 4 |
| 2016 | 26271-1 | | Clou | Fer | | | 35 |
| 2016 | 26006 | | Clou | Fer | | | 7 |
| 2016 | 26020-2 | | Clou | Fer | | | 13 |
| 2016 | 26018 | | Clou | Fer | | | 12 |
| 2016 | 26025-1 | | Clou | Fer | | | 23 |
| 2016 | 26012 | | Clou | Fer | | | 9 |
| 2016 | 26002 | | Clou | Fer | | | 7 |

| | | | | | | | |
|------|-----------|------|-------------------------------|-------------|--|--|-------|
| 2016 | 26013 | | Clou | Fer | | | 1 |
| 2016 | 26020-1 | | Clou | Fer | | | 63 |
| 2016 | 26046 | | Clou | Fer | | | 45 |
| 2016 | 26095 | | Clou | Fer | | | 22 |
| 2016 | 26075 | | Clou | Fer | | | 6 |
| 2016 | 26047 | | Clou | Fer | | | 16 |
| 2016 | 26081 | | Clou | Fer | | | 84 |
| 2016 | 26076 | | Clou | Fer | | | 30 |
| 2016 | 26072-2 | | Clou | Fer | | | 21 |
| 2016 | 26080-1 | | Clou | Fer | | | 6 |
| 2016 | 26078 | | Clou | Fer | | | 16 |
| 2016 | 26044 | | Clou | Fer | | | 13 |
| 2016 | 26099 | | Clou | Fer | | | 38 |
| 2016 | 26098 | | Clou | Fer | | | 38 |
| 2016 | 26097 | | Clou | Fer | | | 12 |
| 2016 | 26039 | | Clou | Fer | | | 2 |
| 2016 | 26040-1 | | Clou | Fer | | | 7 |
| 2016 | 26713 | 1000 | Objet en cours de fabrication | Fer | | | 4,1 |
| 2016 | 26713 | 1001 | Piton | Fer | | | 15 |
| 2016 | 26191-1 | 1002 | Couteau | Fer | | | 11,7 |
| 2016 | espace V1 | 1003 | Clou | Fer | | | 31,4 |
| 2016 | 26305 | 1004 | Demi-produit (fe) | Fer | | | 23,3 |
| 2016 | 26305 | 1005 | Indéterminé tige | Fer | | | 1,2 |
| 2016 | 26000 | 1006 | Indéterminé objet | Fer | | | 7,1 |
| 2016 | 26712 | 1007 | Piton | Fer | | | 7 |
| 2016 | 26163-3 | 1008 | Indéterminé plat | Fer | | | 25,8 |
| 2016 | 26117 | 1009 | Indéterminé tige | Fer | | | 1,9 |
| 2016 | H-C | 1010 | Indéterminé tige | Fer | | | 0,3 |
| 2016 | H-C | 1011 | Dechet de fabrication | Fer | | | 5,1 |
| 2016 | 26284-1 | 1012 | Indéterminé tôle | Fer | | | 2,3 |
| 2016 | 26133-3 | 1013 | Scorie | Fer | | | 8,9 |
| 2016 | 26133-3 | 1014 | Indéterminé plat | Fer | | | 9,7 |
| 2016 | 26025-6 | 1015 | Cabocho | Base-cuivre | | | 0,5 |
| 2016 | H-C | 1016 | Indéterminé tôle | Plomb | | | 3,8 |
| 2016 | H-C | 1017 | Indéterminé tôle | Plomb | | | 4,9 |
| 2016 | H-C | 1018 | Indéterminé tôle | Plomb | | | 17 |
| 2016 | H-C | 1019 | Seau | Fer | | | 19,5 |
| 2016 | H-C | 1020 | Ferrure | Fer | | | 10,3 |
| 2016 | 26085-1 | 1021 | Piton | Fer | | | 11,7 |
| 2016 | 26053-2 | 1022 | Lime | Fer | | | 17,9 |
| 2016 | 26062 | 1023 | Indéterminé verre | Verre | | | 0,4 |
| 2016 | H-C | 1024 | Indéterminé tige | Fer | | | 2,6 |
| 2016 | H-C | 1025 | Indéterminé tôle | Fer | | | 5,8 |
| 2016 | H-C | 1026 | Jeton | Ceramique | | | 63,5 |
| 2016 | H-C | 1027 | Silex | Lithique | | | 13,8 |
| 2016 | H-C | 1028 | Indéterminé objet | Fer | | | 10,7 |
| 2016 | H-C | 1029 | Ciseau | Fer | | | 33,4 |
| 2016 | H-C | 1030 | Jeton | Ceramique | | | 29,6 |
| 2016 | H-C | 1031 | Clou | Fer | | | 9 |
| 2016 | 26712 | 1032 | Pique-bœuf | Fer | | | 19,5 |
| 2016 | 26272-4 | 1033 | Scorie | Fer | | | 27,5 |
| 2016 | 26133 | 1034 | Indéterminé plat | Fer | | | 3,1 |
| 2016 | 26091-1 | 1035 | Indéterminé tige | Fer | | | 4,9 |
| 2016 | 26067 | 1036 | Scorie | Fer | | | 6,7 |
| 2016 | 26067 | 1037 | Indéterminé tige | Fer | | | 3,5 |
| 2016 | 26067 | 1038 | Ferrure | Fer | | | 5,9 |
| 2016 | 26298 | 1039 | Indéterminé plat | Fer | | | 13,6 |
| 2016 | 26298 | 1040 | Indéterminé tige | Fer | | | 4,3 |
| 2016 | 26157 | 1041 | Indéterminé tige | Fer | | | 3,2 |
| 2016 | G18 | 1042 | Ciseau | Fer | | | 117,8 |
| 2016 | 26205-7 | 1043 | Indéterminé plat | Fer | | | 29,7 |

| | | | | | | | |
|------|----------|------|----------------------------------|-------------|--|--|------|
| 2016 | 26508 | 1044 | Ferrure | Fer | | | 16,4 |
| 2016 | 26701 | 1045 | Bouclier | Fer | | | 4,7 |
| 2016 | 26701 | 1046 | Piton | Fer | | | 27 |
| 2016 | 26712 | 1047 | Ciseau | Fer | | | 6,2 |
| 2016 | 26284-1 | 1049 | Indéterminé tige | Fer | | | 12,3 |
| 2016 | 26712 | 1048 | Clou de ferrure | Fer | | | 5,5 |
| 2016 | 26273-1 | 1050 | Calotte | Fer | | | 49,3 |
| 2016 | 26177 | 1051 | Scorie | Fer | | | 1,6 |
| 2016 | 26167 | 1052 | Clou | Fer | | | 15,9 |
| 2016 | H-C | 1053 | Indéterminé tôle | Fer | | | 1 |
| 2016 | 26002 | 1054 | Indéterminé tôle | Fer | | | 2,5 |
| 2016 | 26026 | 1055 | Demi-produit (fe) | Fer | | | 18,3 |
| 2016 | 26118 | 1056 | Indéterminé tige | Fer | | | 0,8 |
| 2016 | 26071-1 | 1057 | Indéterminé tige | Fer | | | 1 |
| 2016 | 26025 | 1058 | Ferrure | Fer | | | 17 |
| 2016 | 26020-2 | 1059 | Indéterminé tige | Fer | | | 3,8 |
| 2016 | 26044 | 1060 | Chute | Fer | | | 6 |
| 2016 | 26071 | 1061 | Calotte | Fer | | | 63 |
| 2016 | 26080-1 | 1062 | Alêne | Fer | | | 2,7 |
| 2016 | 26030-3 | 1063 | Indéterminé tige | Fer | | | 1 |
| 2016 | 26043-1 | 1064 | Indéterminé tôle | Fer | | | 0,6 |
| 2016 | 26522 | 1065 | Pique-bœuf | Fer | | | 17,4 |
| 2016 | 26277-1 | 1066 | Lime | Fer | | | 15,4 |
| 2016 | H-C | 1067 | Clou | Fer | | | 2 |
| 2016 | 26302 | 1068 | Fourreau | Fer | | | 1,2 |
| 2016 | 26302 | 1069 | Fibule | Fer | | | 1,5 |
| 2016 | 26713 | 1070 | Scorie | Fer | | | 2,7 |
| 2016 | 26713 | 1071 | Indéterminé tige | Fer | | | 2,1 |
| 2016 | H-C | 1072 | Agrafe de reparation | Plomb | | | 13,4 |
| 2016 | H-C | 1073 | Scorie | Fer | | | 4,9 |
| 2016 | 26157 | 1074 | Indéterminé objet | Fer | | | 12,3 |
| 2016 | 26157 | 1075 | Outil trop fragmentaire | Fer | | | 26,2 |
| 2016 | 26192 | 1076 | Indéterminé tôle | Fer | | | 2 |
| 2016 | 26277 | 1077 | Indéterminé tôle | Fer | | | 4 |
| 2016 | 26156 | 1078 | Indéterminé tige | Fer | | | 0,9 |
| 2016 | 26205-3 | 1079 | Indéterminé tige | Fer | | | 2,4 |
| 2016 | 26219-10 | 1080 | Indéterminé tige | Fer | | | 3,9 |
| 2016 | 26219-10 | 1081 | Outil trop fragmentaire | Fer | | | 19,5 |
| 2016 | 26219-12 | 1082 | Clou de chaussures | Fer | | | 1,7 |
| 2016 | 26219-14 | 1083 | Clou de chaussures | Fer | | | 1,7 |
| 2016 | 26081 | 1084 | Indéterminé objet | Fer | | | 14,2 |
| 2016 | 26081 | 1085 | Ferrure | Fer | | | 36,1 |
| 2016 | 26059 | 1086 | Clou de chaussures | Fer | | | 1,4 |
| 2016 | H-C | 1087 | Chaînette | Fer | | | 1,7 |
| 2016 | 26142 | 1088 | Indéterminé tige | Base-cuivre | | | 0,5 |
| 2016 | H-C | 1089 | Objet en cours de fabrication | Base-cuivre | | | 1,5 |
| 2016 | 26219-14 | 1090 | Silex | Lithique | | | 8,2 |
| 2016 | 26120 | 1091 | Indéterminé tige | Fer | | | 2,2 |
| 2016 | 26140-1 | 1092 | Indéterminé tige | Base-cuivre | | | 3,3 |
| 2016 | 26117 | 1093 | Indéterminé plat | Fer | | | 3,8 |
| 2016 | 26103 | 1094 | Rivet | Fer | | | 21,5 |
| 2016 | 26120 | 1095 | Indéterminé plat | Fer | | | 5 |
| 2016 | 26540-1 | 1096 | Poinçon | Fer | | | 26,5 |
| 2016 | 26103 | 1097 | Scorie | Fer | | | 57,5 |
| 2016 | 26211 | 1098 | Indéterminé tige | Fer | | | 3,2 |
| 2016 | 26103 | 1099 | Piton | Fer | | | 5,1 |

| | | | | | | | | | |
|------|---------|------|------------------------------|-------------|-------------|-------------|--|-------|---------|
| 2016 | 26117 | 1100 | Indéterminé tige | Fer | | | | 0,4 | |
| 2016 | 26522 | 1101 | Piton | Fer | | | | 16,2 | |
| 2016 | 26089 | 1102 | Indéterminé tige | Fer | | | | 14,8 | |
| 2016 | 26153 | 1103 | Indéterminé tôle | Fer | | | | 2,3 | |
| 2016 | 26112 | 1104 | Indéterminé tige | Fer | | | | 1,8 | |
| 2016 | 26055 | 1105 | Indéterminé tige | Fer | | | | 3 | |
| 2016 | 26283-1 | 1106 | Indéterminé tôle | Fer | | | | 5,4 | |
| 2016 | 26500 | 1107 | Scorie | Fer | | | | 30,7 | |
| 2016 | 26104 | 1108 | Calotte | Fer | | | | 55,3 | |
| 2016 | 26080 | 1109 | Indéterminé tige | Fer | | | | 11,5 | |
| 2016 | 26118 | 1110 | Indéterminé tige | Fer | | | | 1,1 | |
| 2016 | 26109 | 1111 | Indéterminé tige | Fer | | | | 0,8 | |
| 2016 | 26856 | 1112 | Ferrure | Fer | | | | 11,1 | |
| 2016 | 26701 | 1113 | Indéterminé tôle | Base-cuivre | | | | 2,2 | |
| 2016 | 26713 | 1114 | Applique | Base-cuivre | | | | 8,9 | |
| 2016 | 26712 | 1115 | Indéterminé objet | Base-cuivre | | | | 7,5 | |
| 2016 | 26707 | 1116 | Indéterminé plat | Fer | | | | 17 | |
| 2016 | 26707 | 1117 | Indéterminé objet | Fer | | | | 16,6 | |
| 2016 | 26712 | 1118 | Indéterminé plat | Fer | | | | 27,3 | |
| 2016 | 26712 | 1119 | Flèche | Fer | | | | 6,3 | |
| 2016 | 26712 | 1120 | Clou | Fer | | | | 17,3 | |
| 2016 | 26701 | 1121 | Indéterminé plat | Fer | | | | 8 | |
| 2016 | 26806 | 964 | | Base-cuivre | 1714596,387 | 5162674,424 | | 0,5 | 578,31 |
| 2016 | 26806 | 979 | | Base-cuivre | 1714599,737 | 5162674,203 | | 1,5 | 578,159 |
| 2016 | 26806 | 981 | | Base-cuivre | 1714601,798 | 5162671,435 | | 0,5 | 578,155 |
| 2016 | 26806 | 1005 | | Base-cuivre | 1714599,648 | 5162677,686 | | 0,1 | 578,14 |
| 2016 | 26806 | 1006 | | Base-cuivre | 1714595,906 | 5162673,475 | | 0,4 | 578,345 |
| 2016 | 26806 | 1122 | Clou de chaussures | Fer | | | | 5,7 | |
| 2016 | 26712 | 1123 | Ferrure | Fer | | | | 34,5 | |
| 2016 | H-C | 1124 | Canal de coulee | Base-cuivre | | | | 0,6 | |
| 2016 | H.C | 1070 | | Ceramique | 1714727,926 | 5162636,184 | | 45,5 | 577,933 |
| 2016 | 26133-3 | 1125 | Indéterminé tige | Base-cuivre | | | | 0,5 | |
| 2016 | 26133-3 | 806 | Cabochon | Base-cuivre | | | | 0,4 | |
| 2016 | 26133-3 | 804 | Applique | Base-cuivre | | | | 1,4 | |
| 2016 | 26133-3 | 805 | Monnaie | Base-cuivre | | | | 2,2 | |
| 2016 | 26302 | 802 | Fibule | Base-cuivre | | | | 1,7 | |
| 2016 | H-C | 800 | Clef | Fer | | | | 43,6 | |
| 2016 | 26301 | 808 | Ferrure | Fer | | | | 106 | |
| 2016 | 26133-3 | 801 | Fibule | Base-cuivre | | | | 2,4 | |
| 2016 | H-C | 807 | Outil trop fragmentaire | Fer | | | | 71,8 | |
| 2016 | 26301-1 | 1128 | Jeton | Ceramique | | | | 112 | |
| 2016 | 26285-1 | 1127 | Jeton | Ceramique | | | | 5,3 | |
| 2016 | 26301-1 | 1126 | Indéterminé tôle | Fer | | | | 18,7 | |
| 2016 | 26301-1 | 1129 | Indéterminé tôle | Fer | | | | 18,7 | |
| 2016 | 26296 | 1130 | Silex | Lithique | | | | 0,8 | |
| 2016 | 26067 | 1131 | Silex | Lithique | | | | 0,9 | |
| 2016 | 26301-1 | 1132 | Rivet | Fer | | | | 36,3 | |
| 2016 | 26302 | 1133 | Indéterminé tôle | Fer | | | | 10,8 | |
| 2016 | 26302 | 1134 | Indéterminé plat | Fer | | | | 14,1 | |
| 2016 | 26302 | 1135 | Indéterminé tige | Fer | | | | 2,9 | |
| 2016 | 26291 | 1136 | Meule | Lithique | | | | 3200 | |
| | HC | 3005 | Clous, pitons, crampons (fe) | Fer | | | | 198,5 | |
| | HC | 3006 | Objets (fe) | Fer | | | | 6,5 | |
| | HC | 3007 | Objets (fe) | Fer | | | | 5,8 | |
| | HC | 3008 | Objets (fe) | Fer | | | | 4 | |
| | HC | 3009 | Objets (fe) | Fer | | | | 17,2 | |
| | HC | 3010 | Objets (fe) | Fer | | | | 10,5 | |
| | HC | 3011 | Demi-produits (bc) | Base-cuivre | | | | 6,5 | |
| | HC | 3012 | Demi-produits (fe) | Fer | | | | 4,7 | |

| | | | | | | | | |
|--|----|------|---------------------------------|-----|--|---|------|--|
| | HC | 3013 | Demi-produits (fe) | Fer | | | 17,5 | |
| | HC | 3014 | Objets (fe) | Fer | | | 15 | |
| | HC | 3015 | Quincaillerie autres (fe) | Fer | | | 7,8 | |
| | HC | 3016 | Quincaillerie autres (fe) | Fer | | | 3,1 | |
| | HC | 3017 | Clous, pitons, crampons (fe) | Fer | | | 2,8 | |
| | HC | 3018 | Objets (fe) | Fer | | ? | | |
| | HC | 3019 | Objets (fe) | Fer | | | 12 | |
| | HC | 3020 | Objets (fe) | Fer | | | 12,1 | |
| | HC | 3021 | Quincaillerie autres (fe) | Fer | | | 14,6 | |
| | HC | 3022 | Quincaillerie autres (fe) | Fer | | | 8,3 | |